

X. ANEXO ESPECTROS

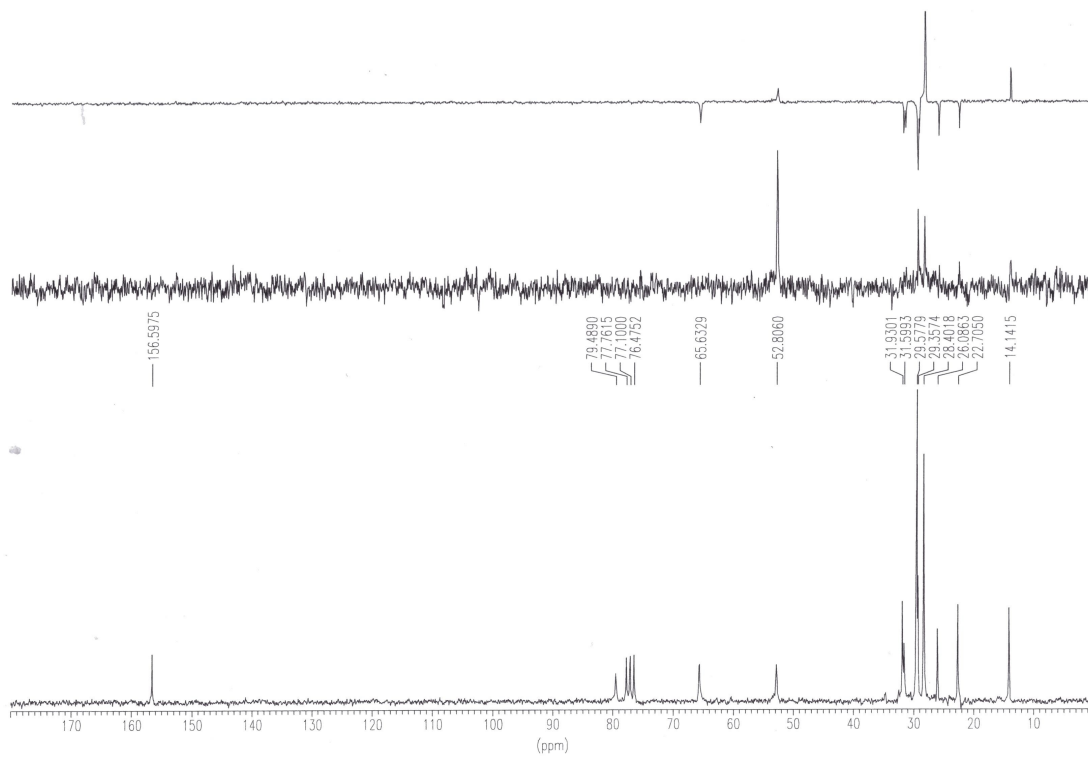
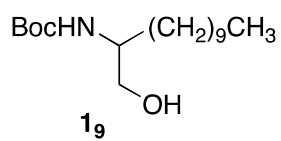
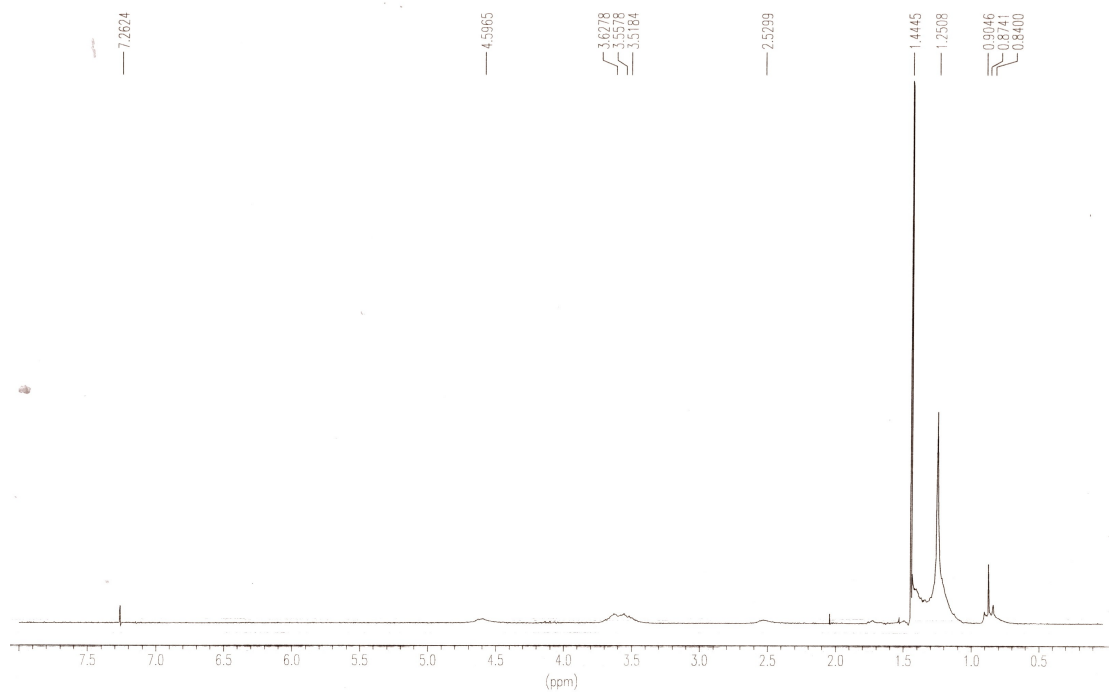


Figura X.1. Espectros de RMN ^1H y ^{13}C del compuesto **19**.

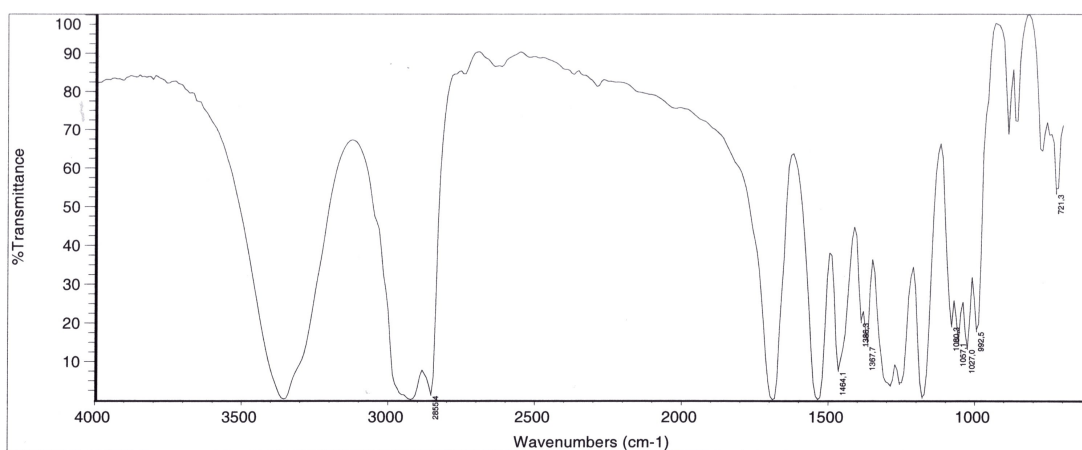
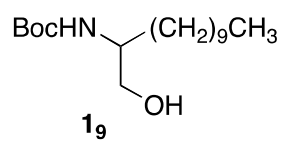
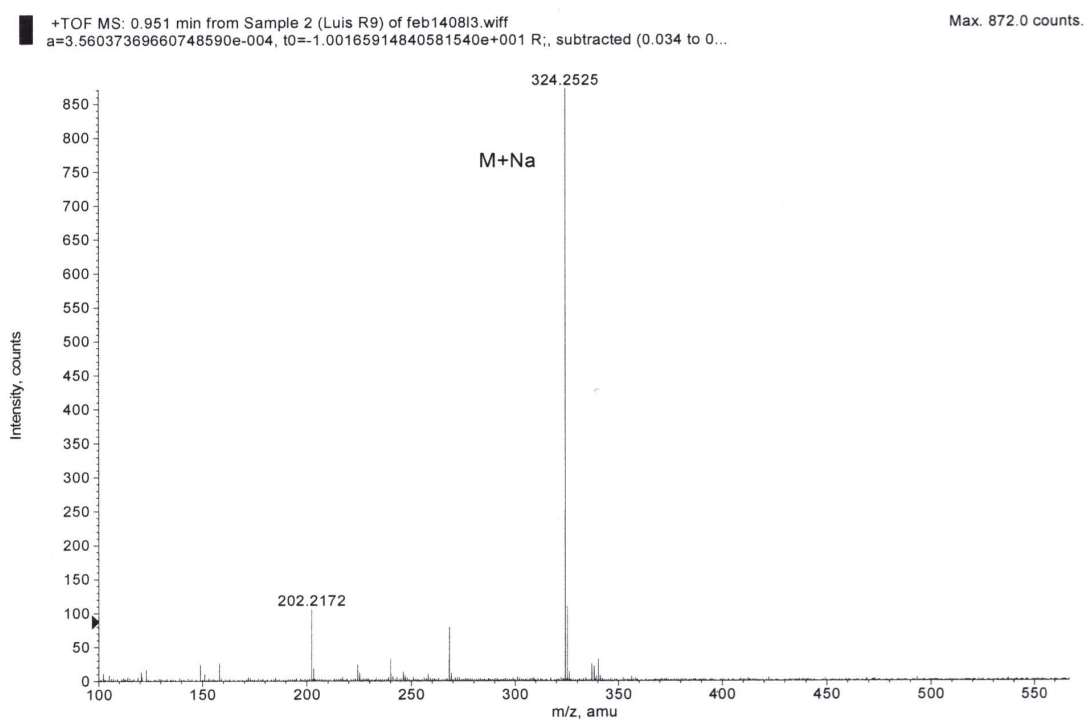


Figura X.2. Espectros de IR y MS del compuesto **19**.

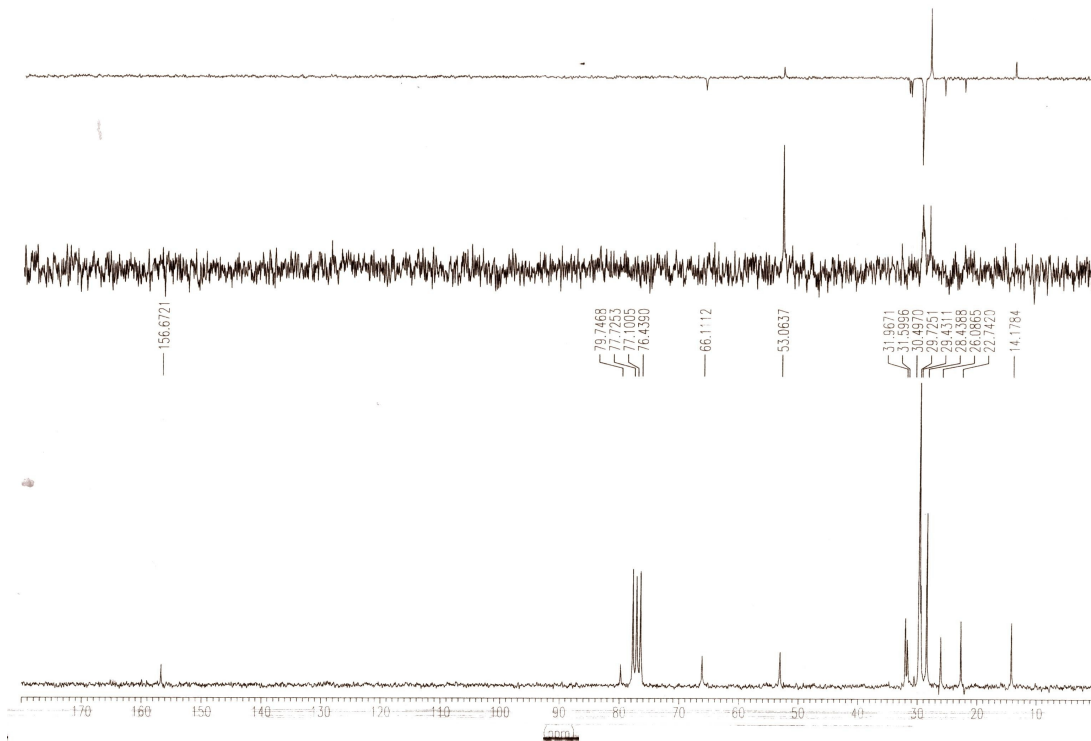
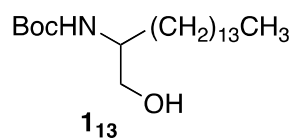
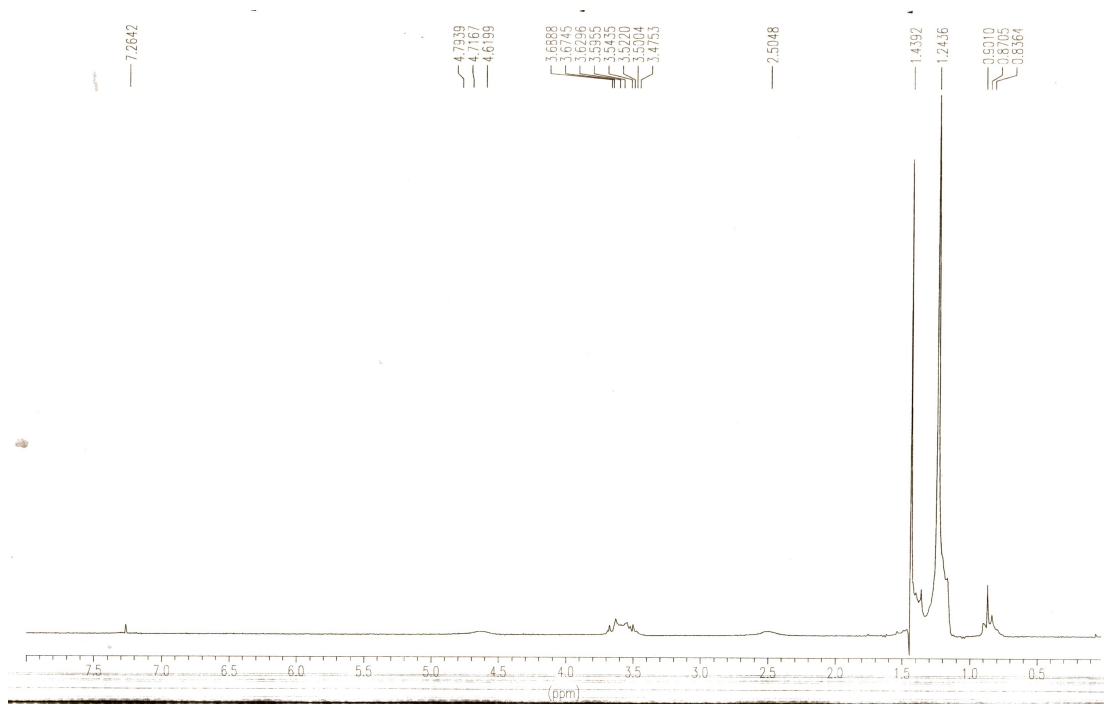


Figura X.3. Espectros de RMN ^1H y ^{13}C del compuesto $\mathbf{1}_{13}$.

+TOF MS: 0.301 min from Sample 3 (LuisN13) of abr020913.wiff
a=3.56473082232441180e-004, t0=-1.08859422487294070e+001 R_i, subtracted (0.017 to 0... Max. 635.8 counts.

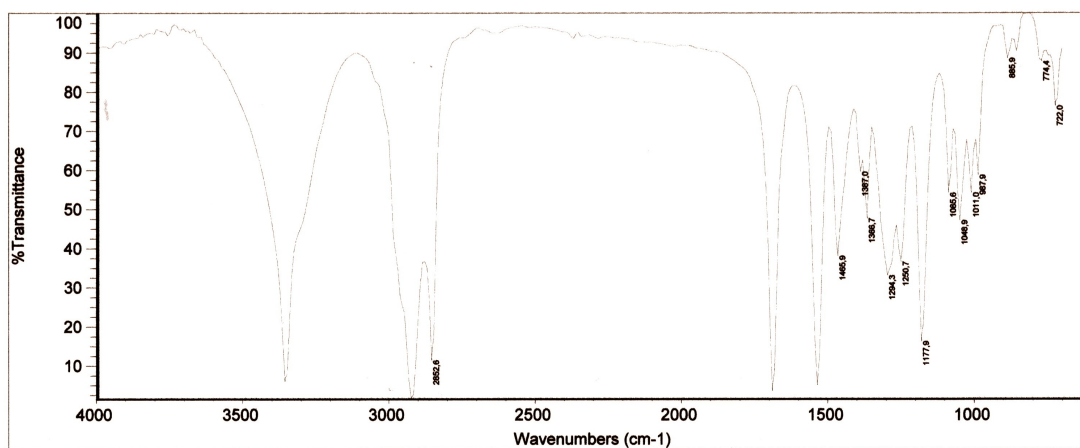
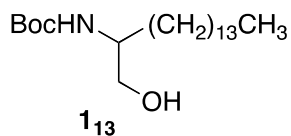
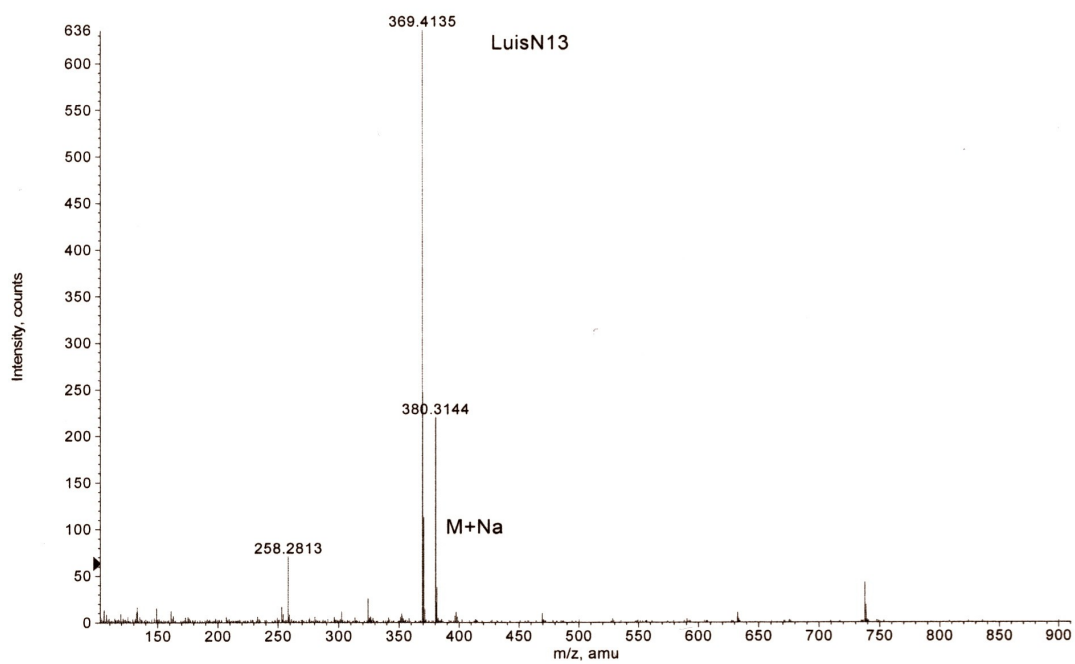


Figura X.4. Espectros de IR y MS del compuesto **13**.

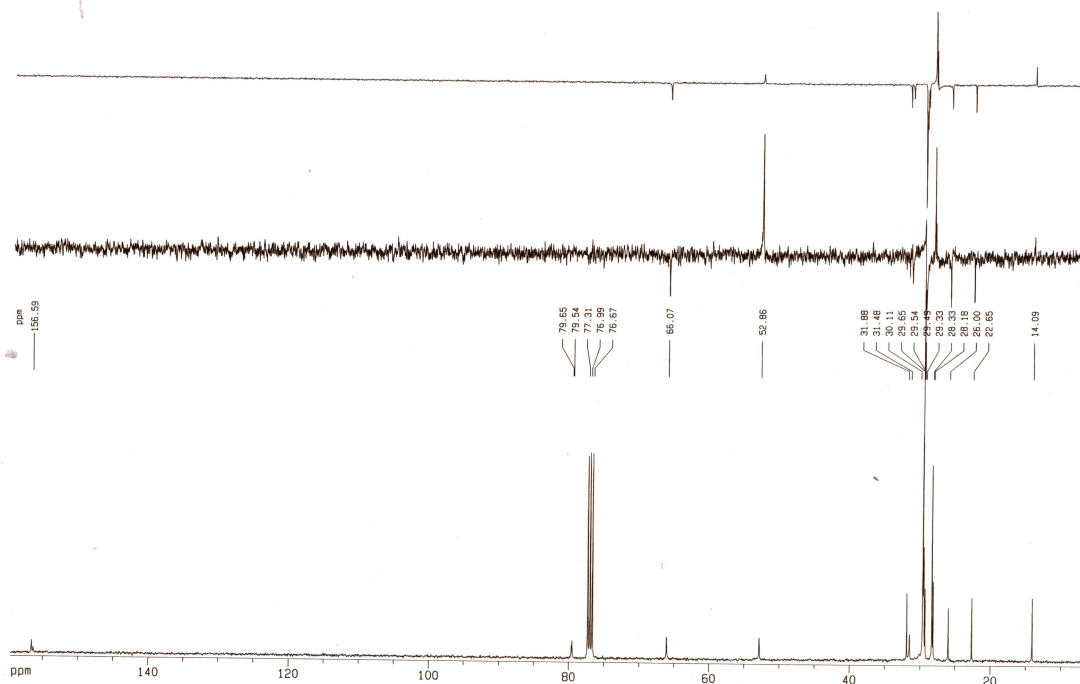
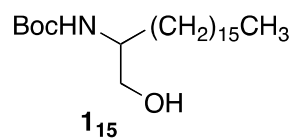
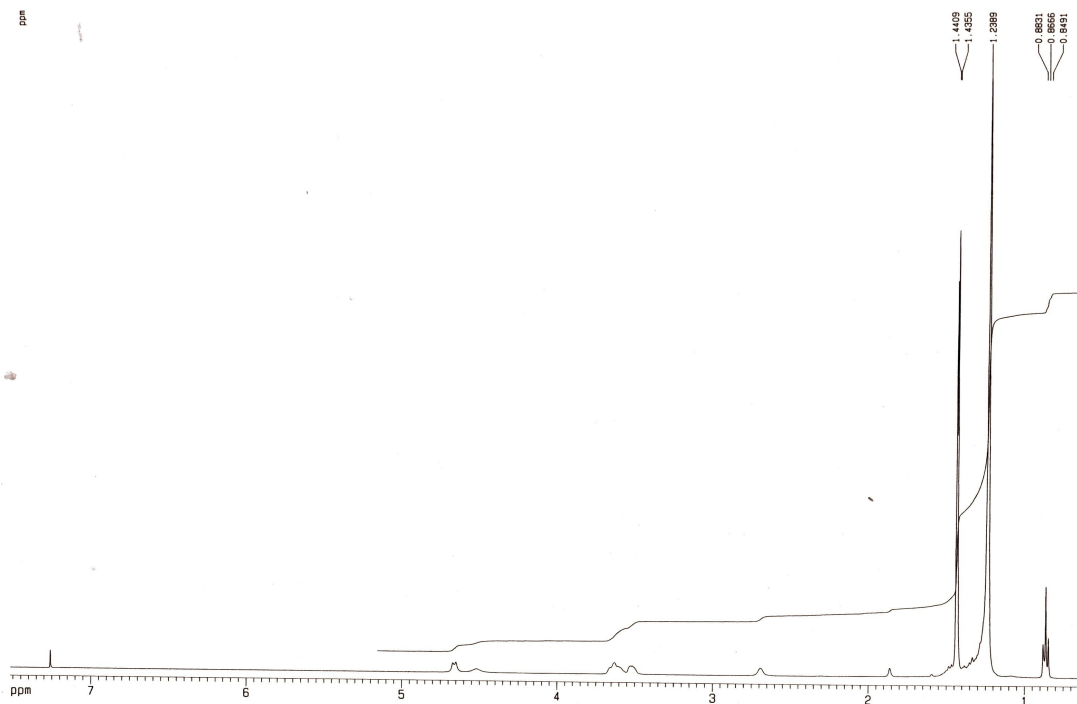


Figura X.5. Espectros de RMN ^1H y ^{13}C del compuesto **1₁₅**.

+TOF MS: 1.001 min from Sample 10 (Luis BR15) of ene250711.wiff
a=3.56016997588952430e-004, t0=-1.06437925037462260e+001 R., subtracted (0.017 to 0...

Max. 535.0 counts.

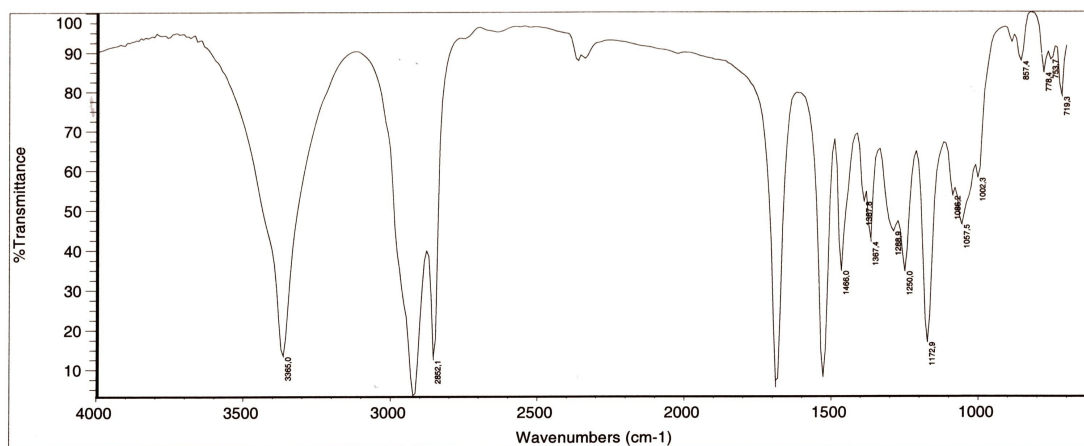
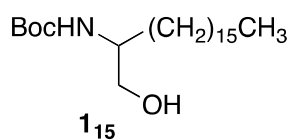
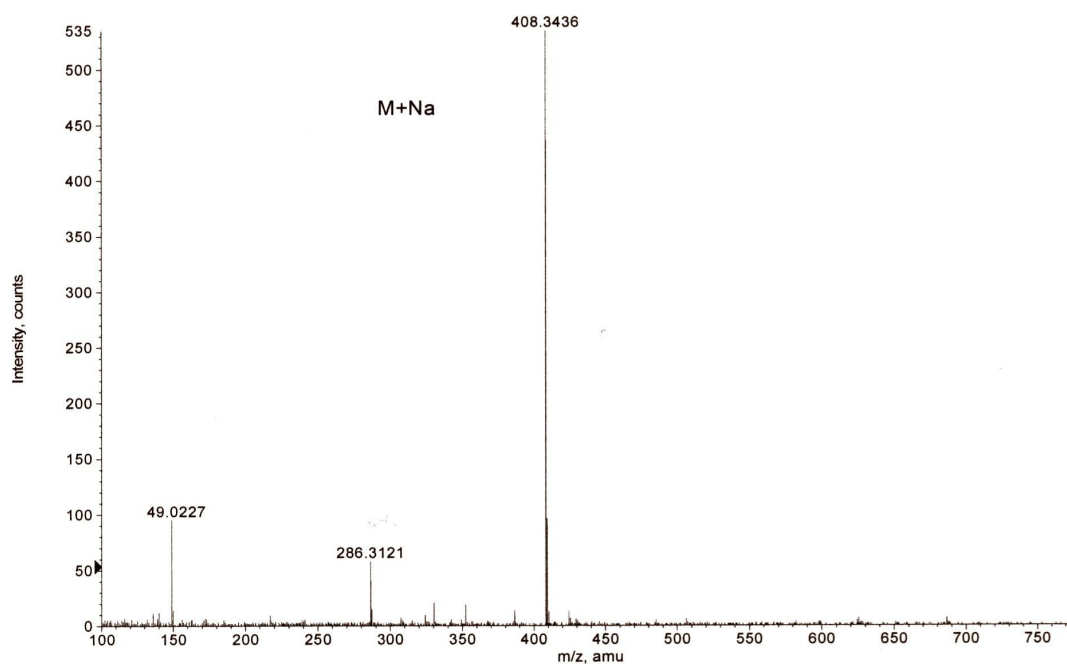


Figura X.6. Espectros de IR y MS del compuesto **1₁₅**.

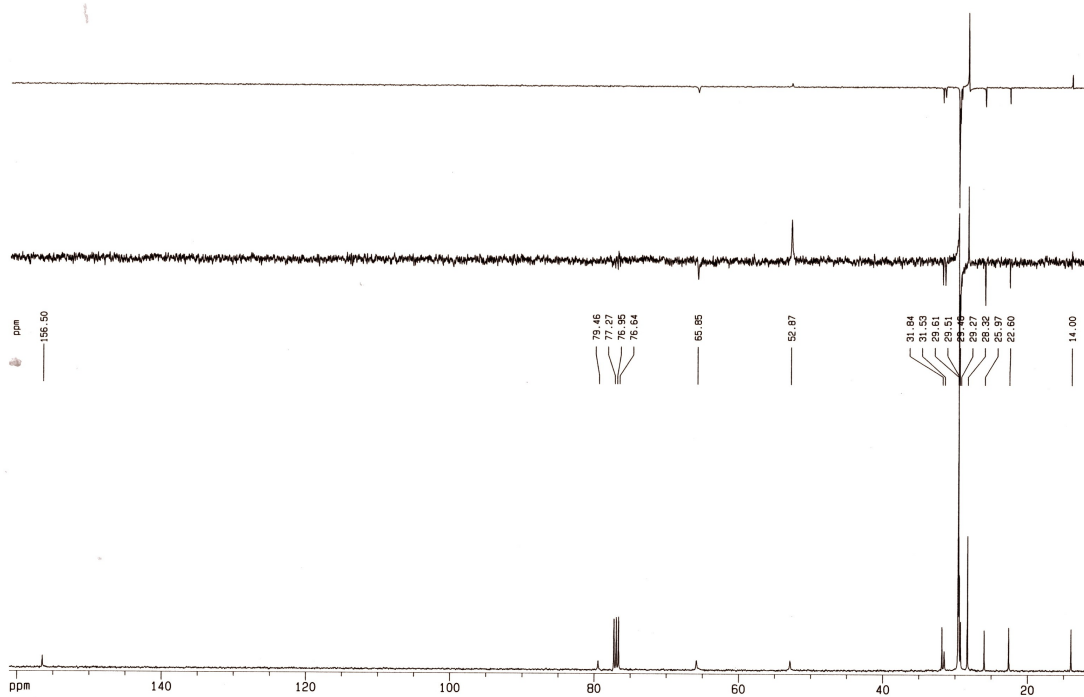
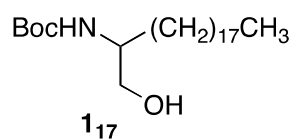
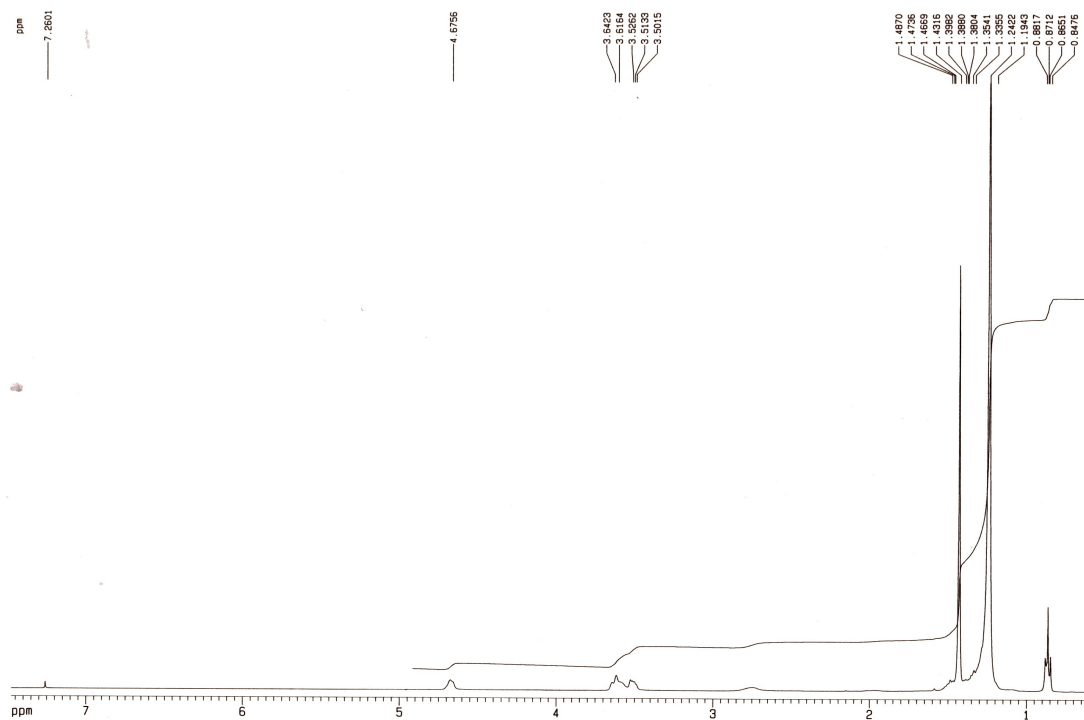


Figura X.7. Espectros de RMN ^1H y ^{13}C del compuesto **17**.

+TOF MS: 0.267 min from Sample 3 (luis1.d1) of ene210814.wiff
a=3.56014444857188990e-004, t0=-1.02703391998184090e+001 R_i, subtracted (0.034 to ...

Max. 1923.0 counts.

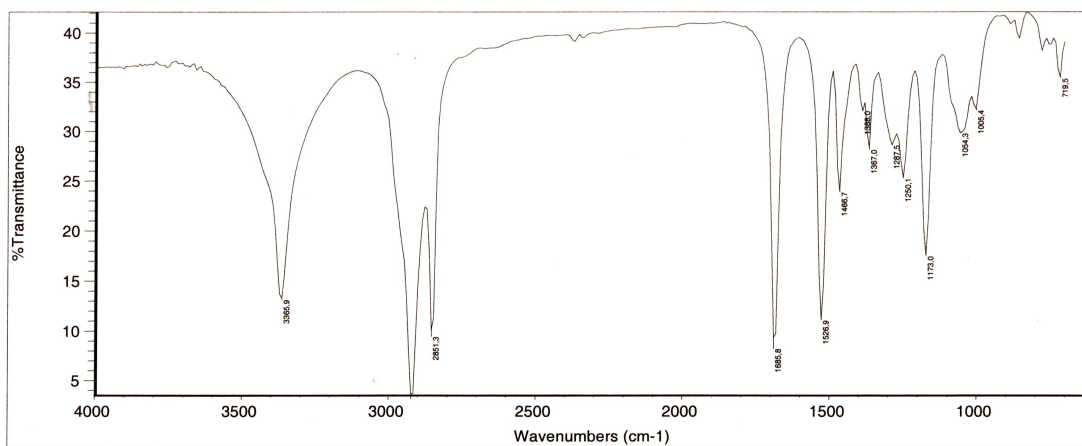
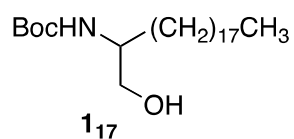
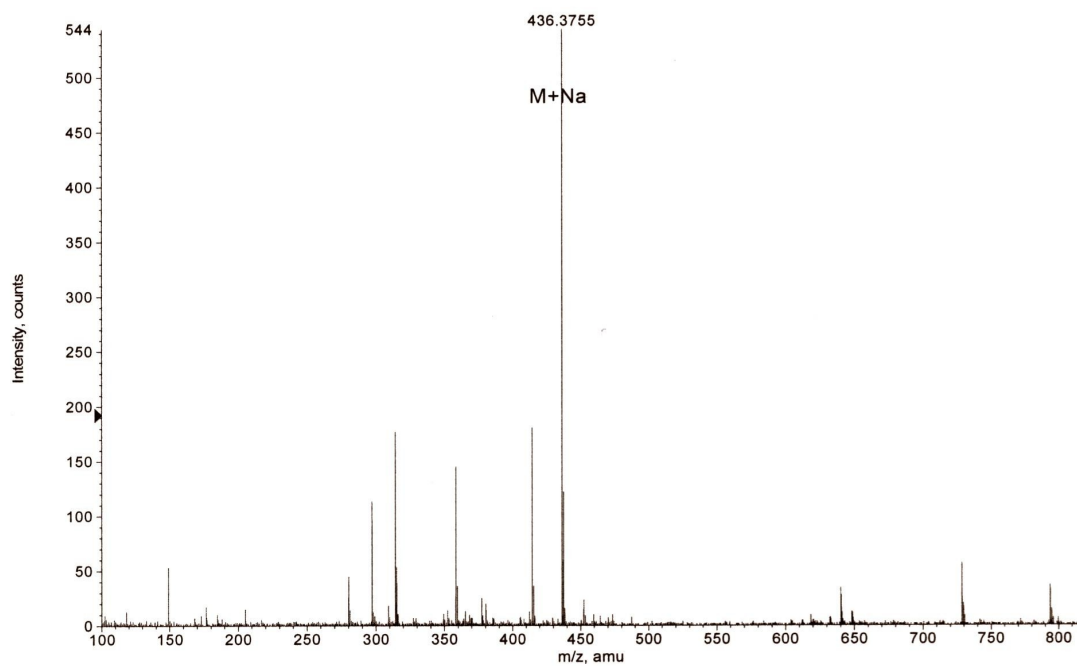


Figura X.8. Espectros de IR y MS del compuesto **17**.

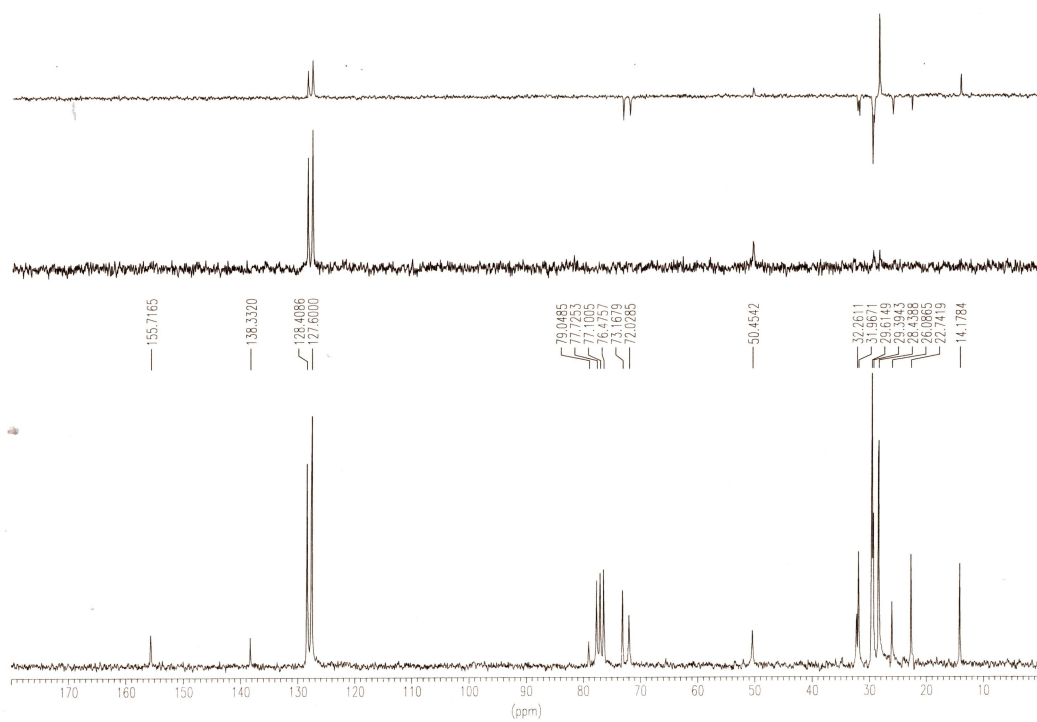
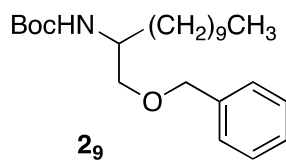
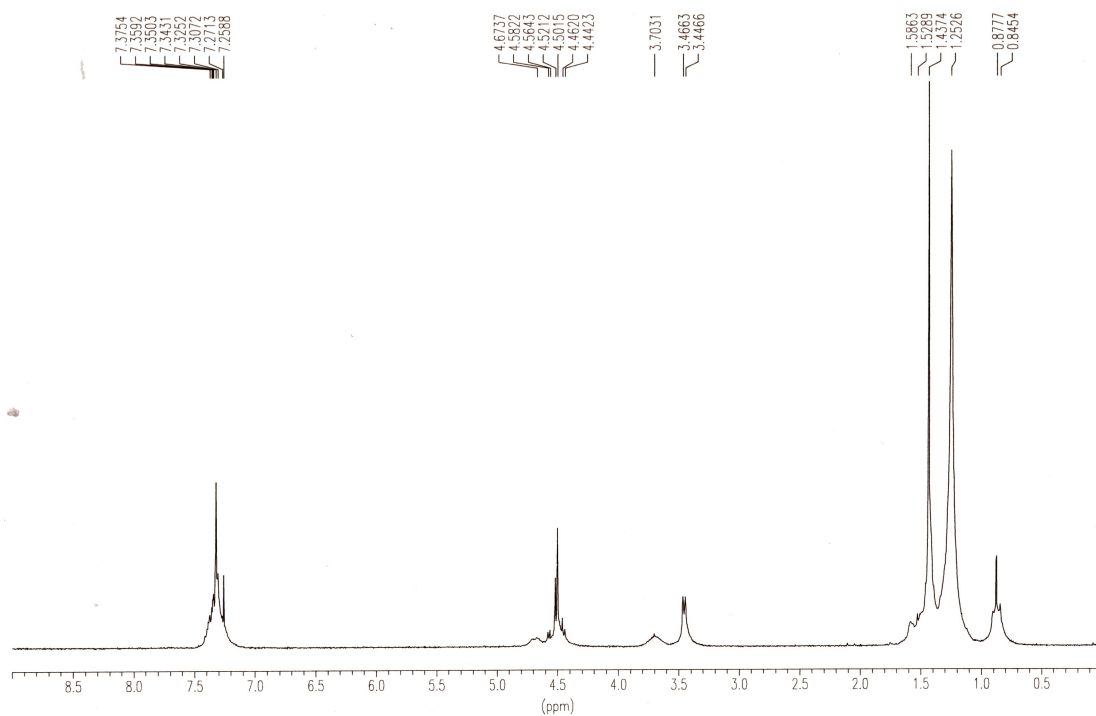


Figura X.9. Espectros de RMN ^1H y ^{13}C del compuesto **2₉**.

+TOF MS: 0.734 min from Sample 3 (Luis r13) of abr170711.wiff
a=3.56005765136148180e-004, t0=-1.03625075846575780e+001 R;; subtracted (0.034 to 0...

Max. 674.7 counts.

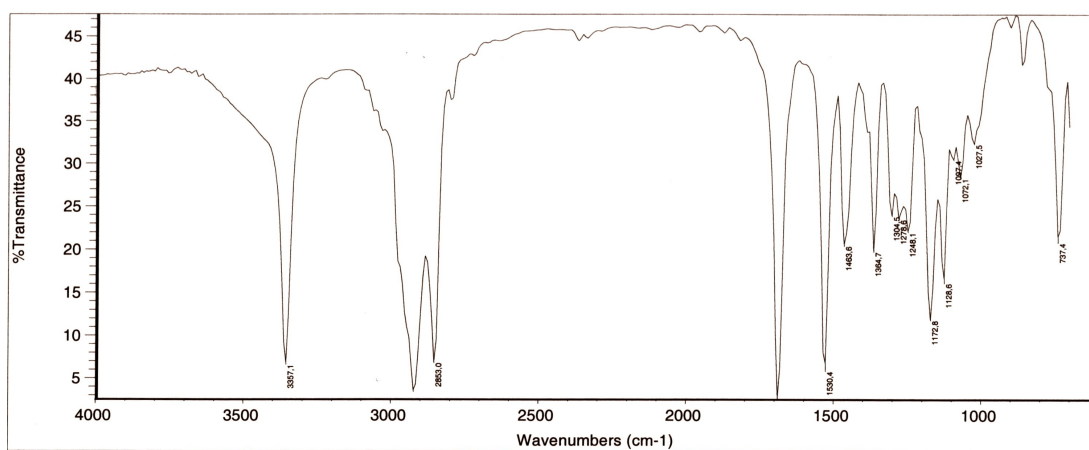
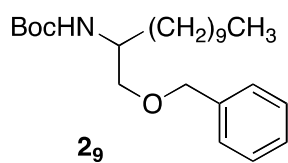
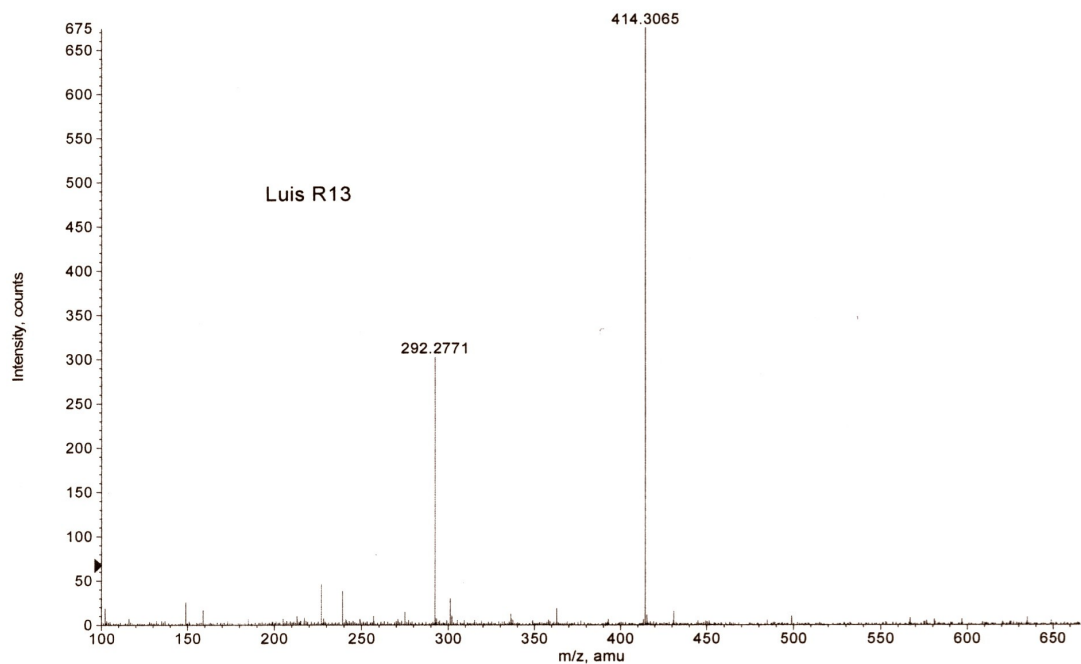


Figura X.10. Espectros de IR y MS del compuesto 2₉.

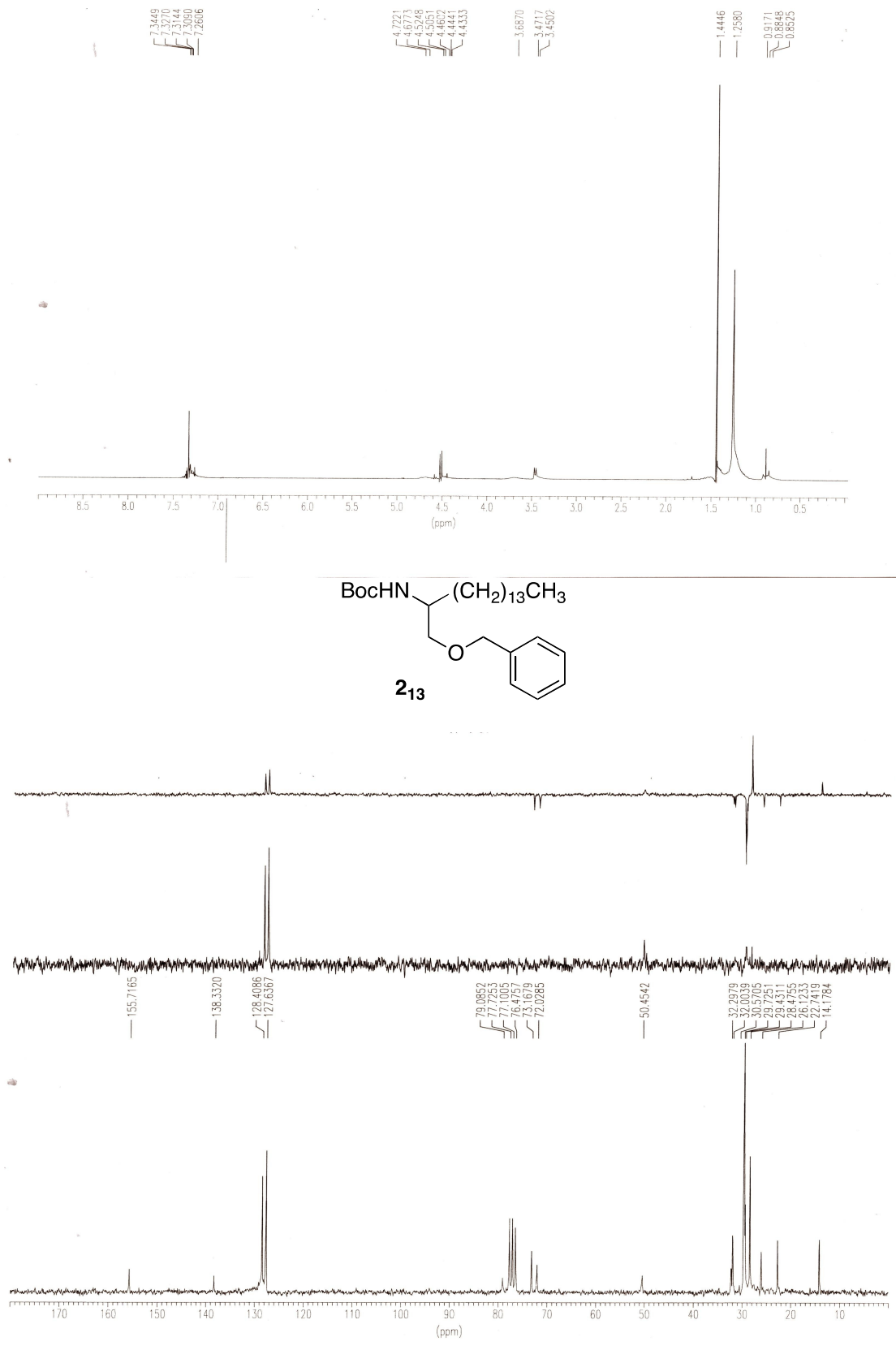


Figura X.11. Espectros de RMN ¹H y ¹³C del compuesto 2₁₃.

+TOF MS: 0.317 min from Sample 3 (LuisRp) of ene160911.wiff
a=3.56440664437634490e-004, t0=-9.50523121406877180e+000 R., subtracted (0.017 to ...

Max. 2200.1 counts.

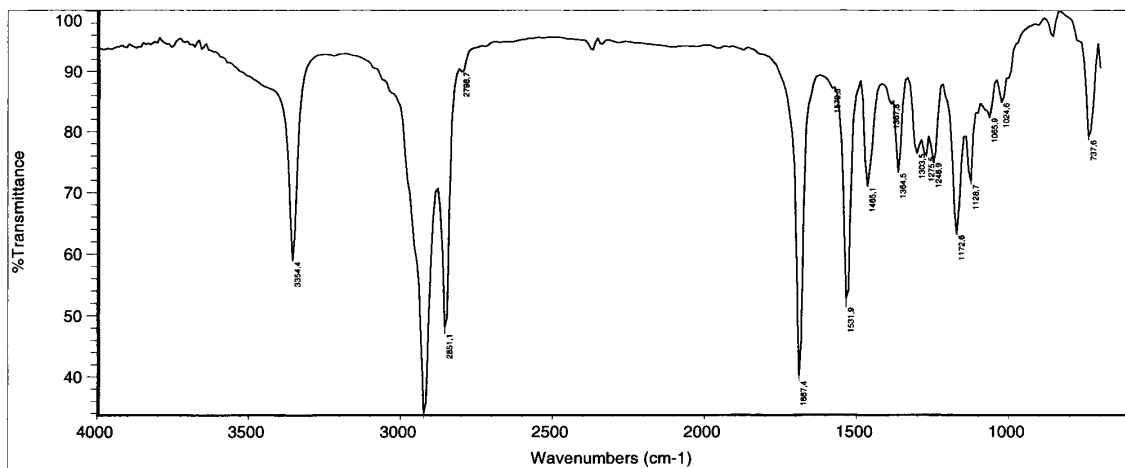
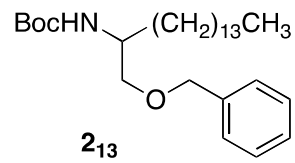
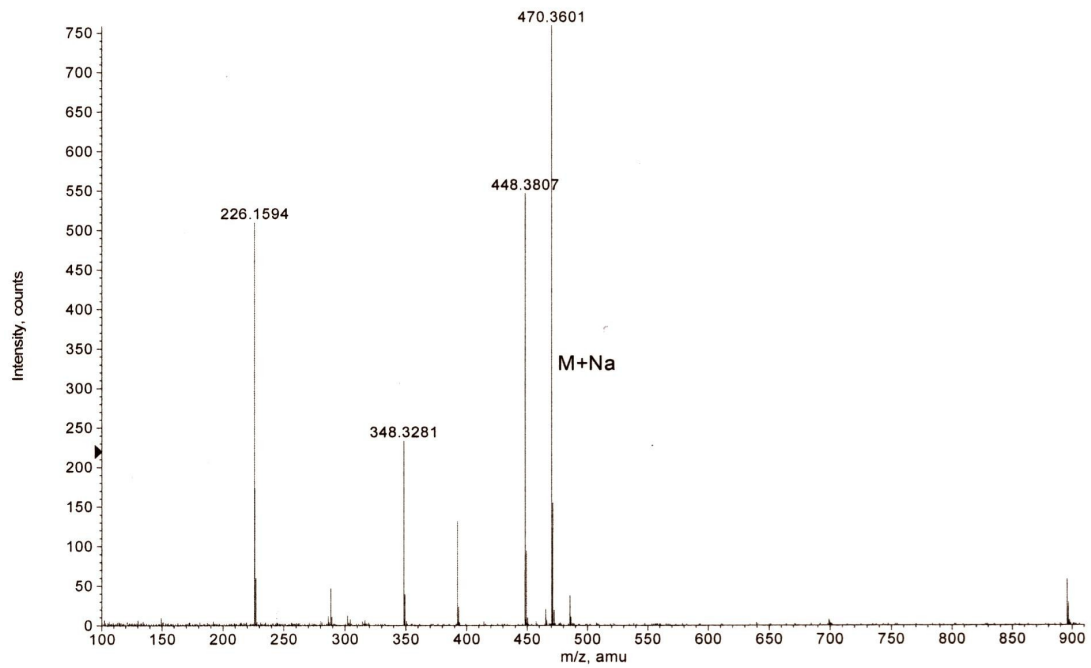


Figura X.12. Espectros de IR y MS del compuesto 2₁₃.

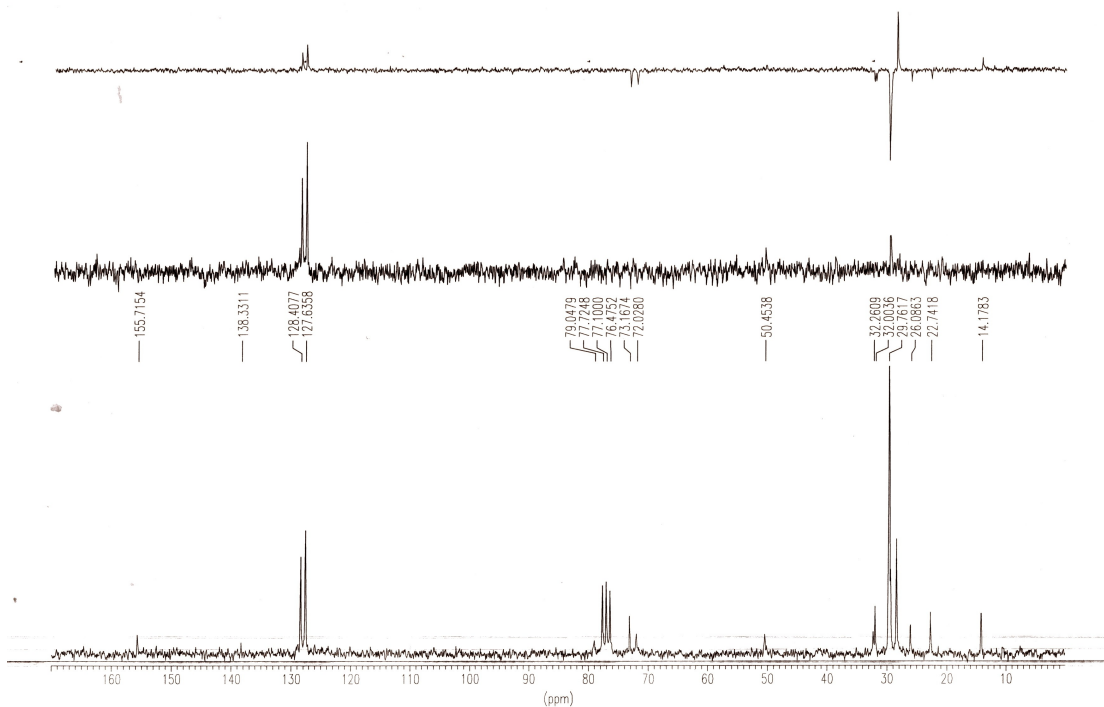
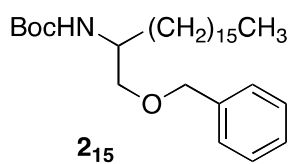
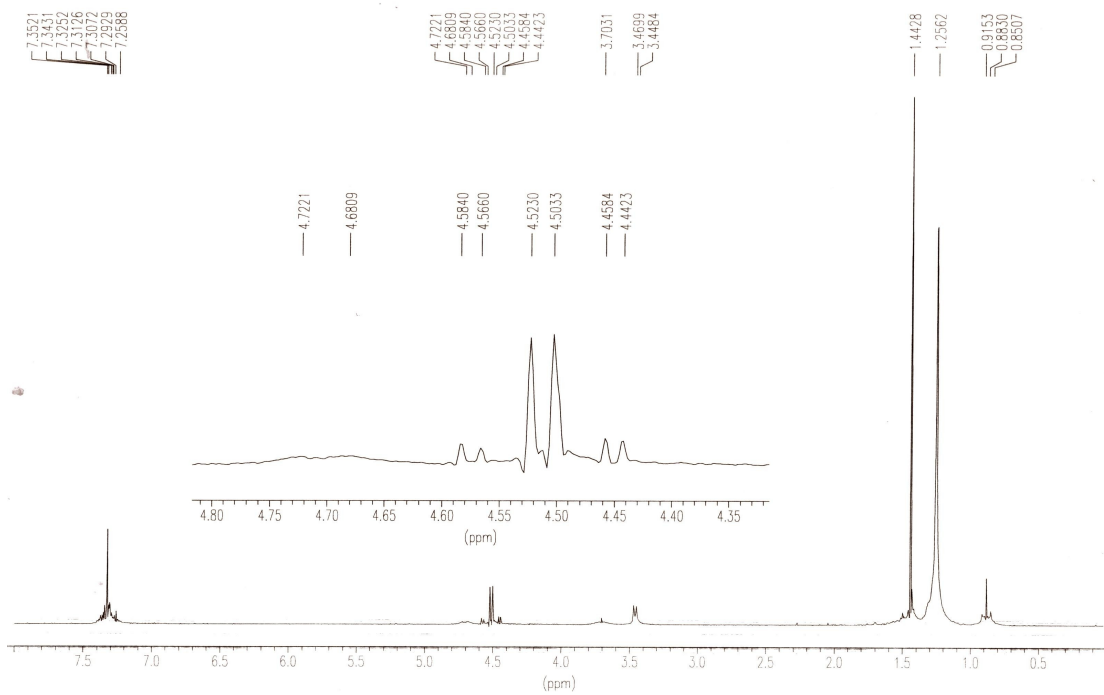


Figura X.13. Espectros de RMN ^1H y ^{13}C del compuesto **2₁₅**.

+TOF MS: 0.450 min from Sample 4 (luisr14) of abr070813.wiff
a=3.56042227916877580e-004, t0=-9.92402363007204260e+000 R; subtracted (0.017 to 0...

Max. 567.6 counts.

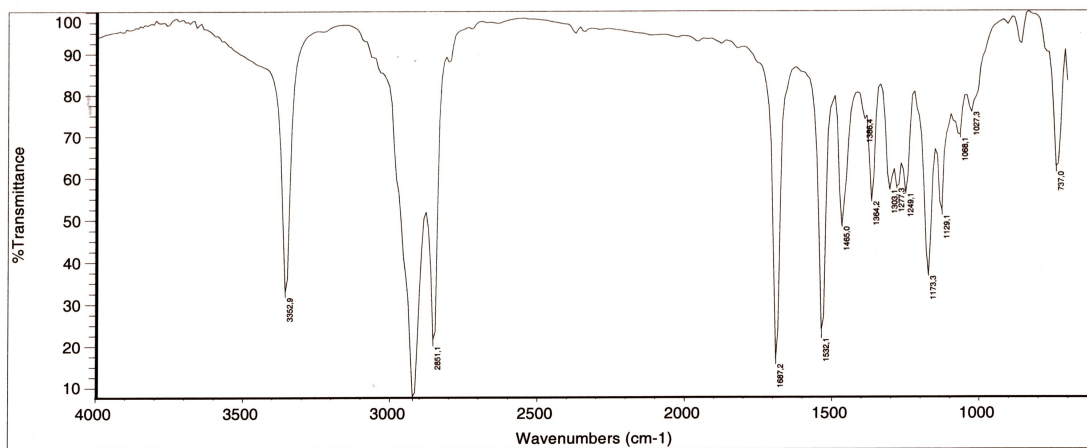
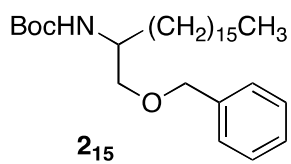
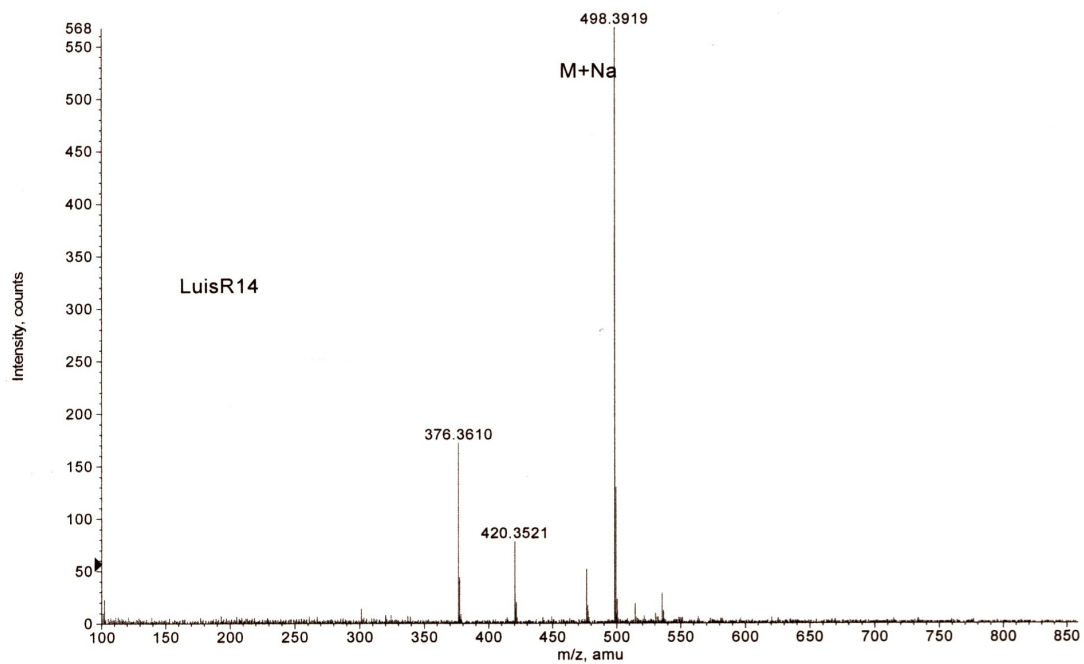


Figura X.14. Espectros de IR y MS del compuesto 215.

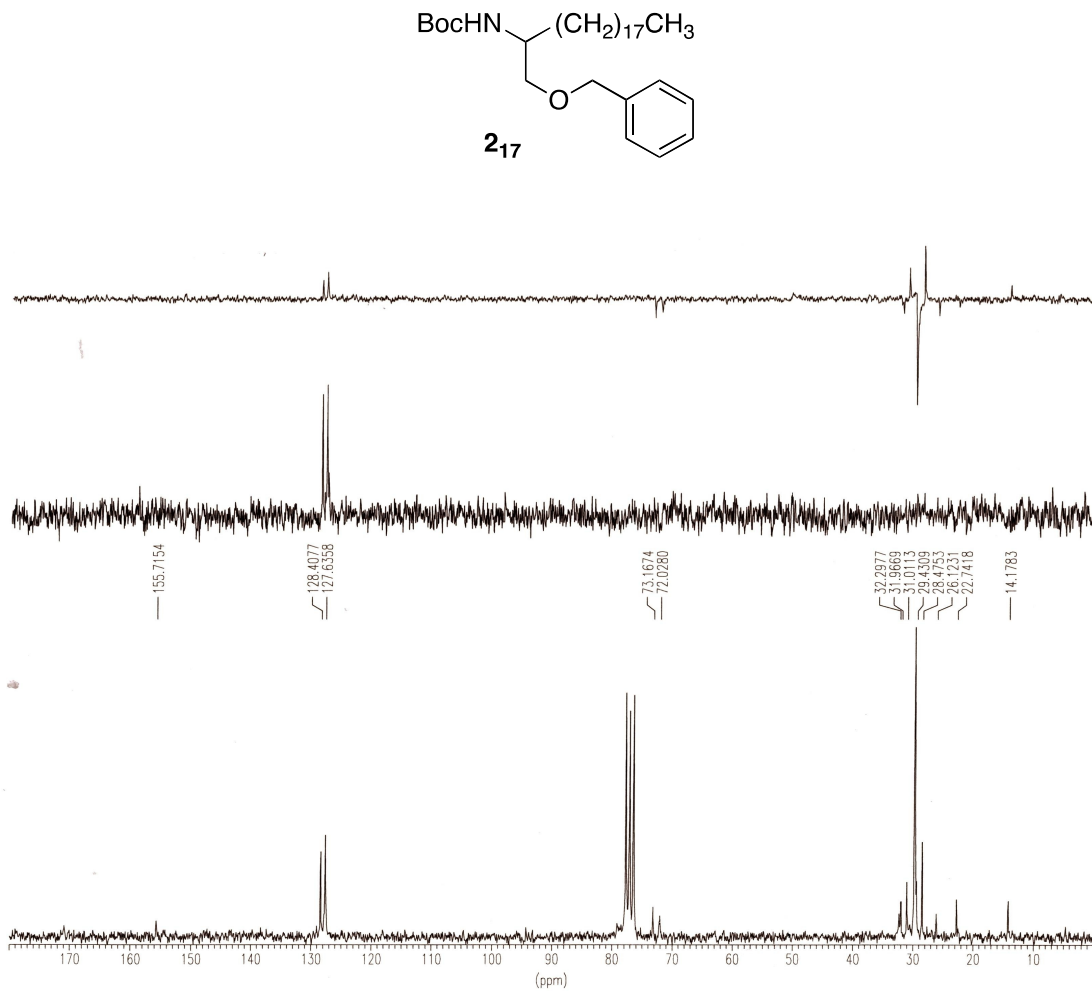
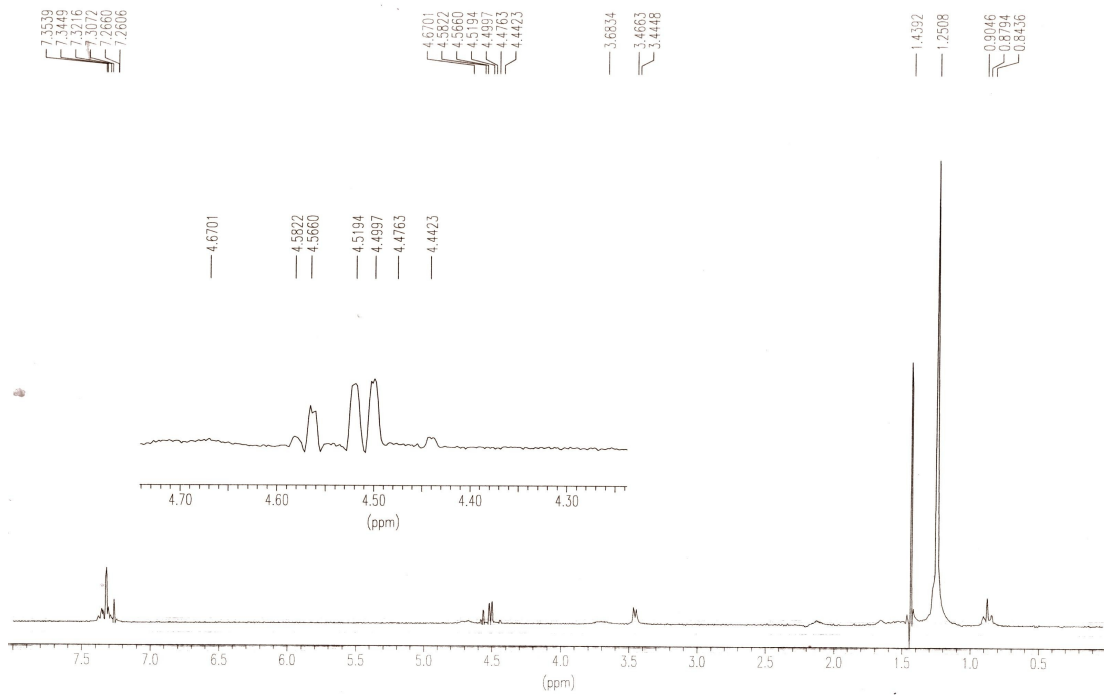


Figura X.15. Espectros de RMN ^1H y ^{13}C del compuesto **217**.

+TOF MS: 0.567 min from Sample 5 (Luis R15) of abr070811.wiff
a=3.56040063720972790e-004, t0=-1.01064979606526320e+001 R_i; subtracted (0.017 to 0...

Max. 427.0 counts.

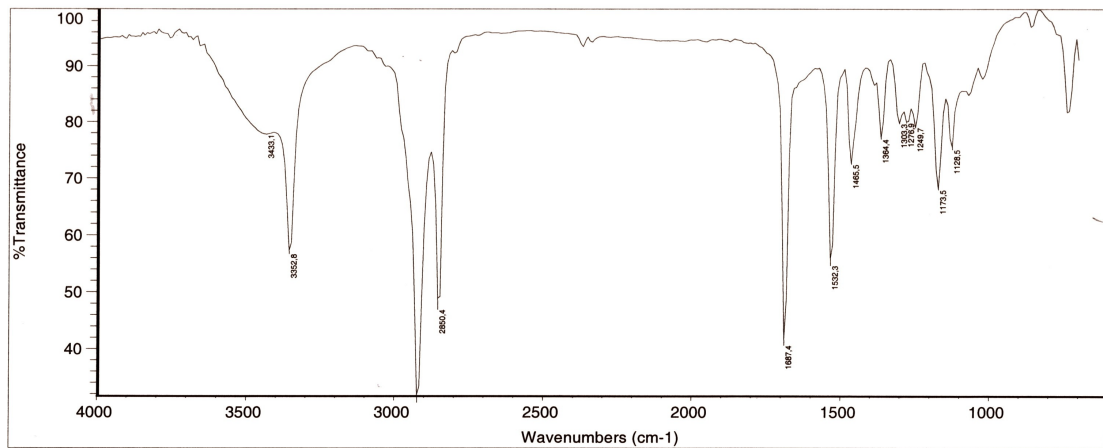
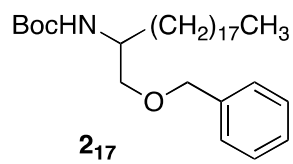
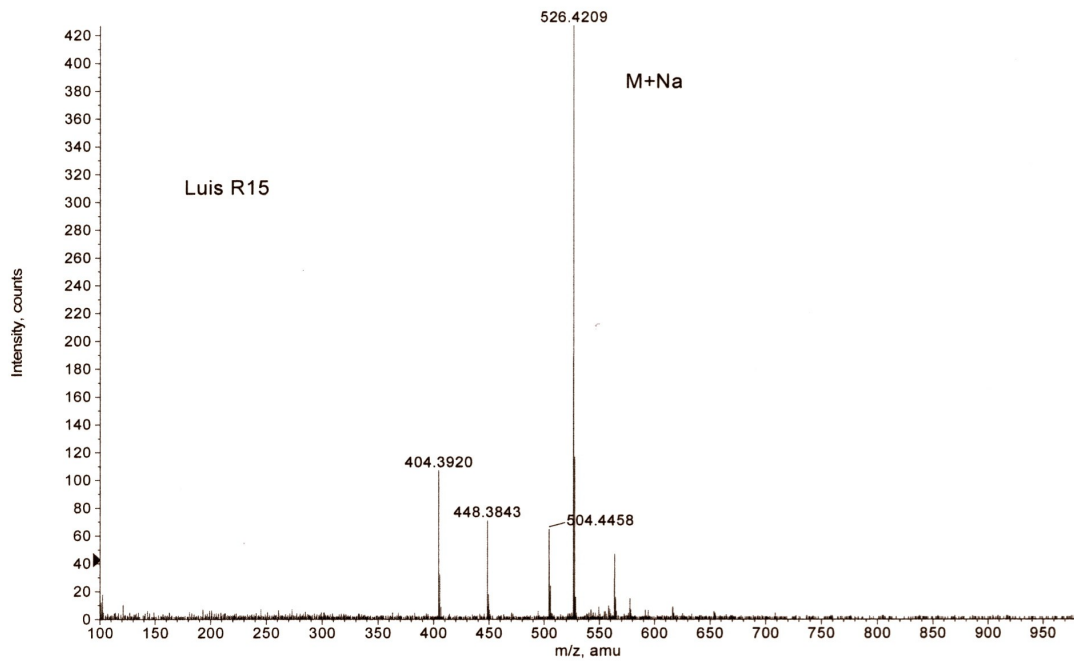


Figura X.16. Espectros de IR y MS del compuesto 217.

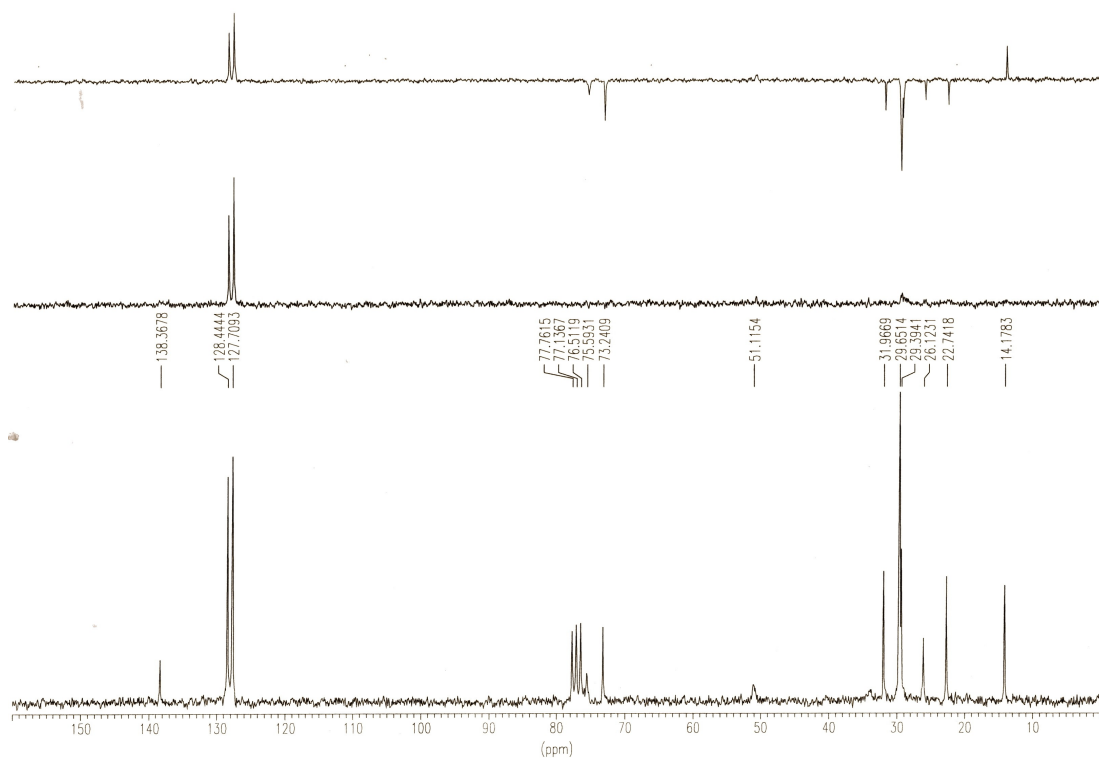
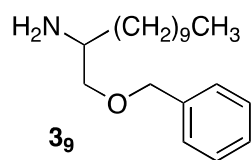
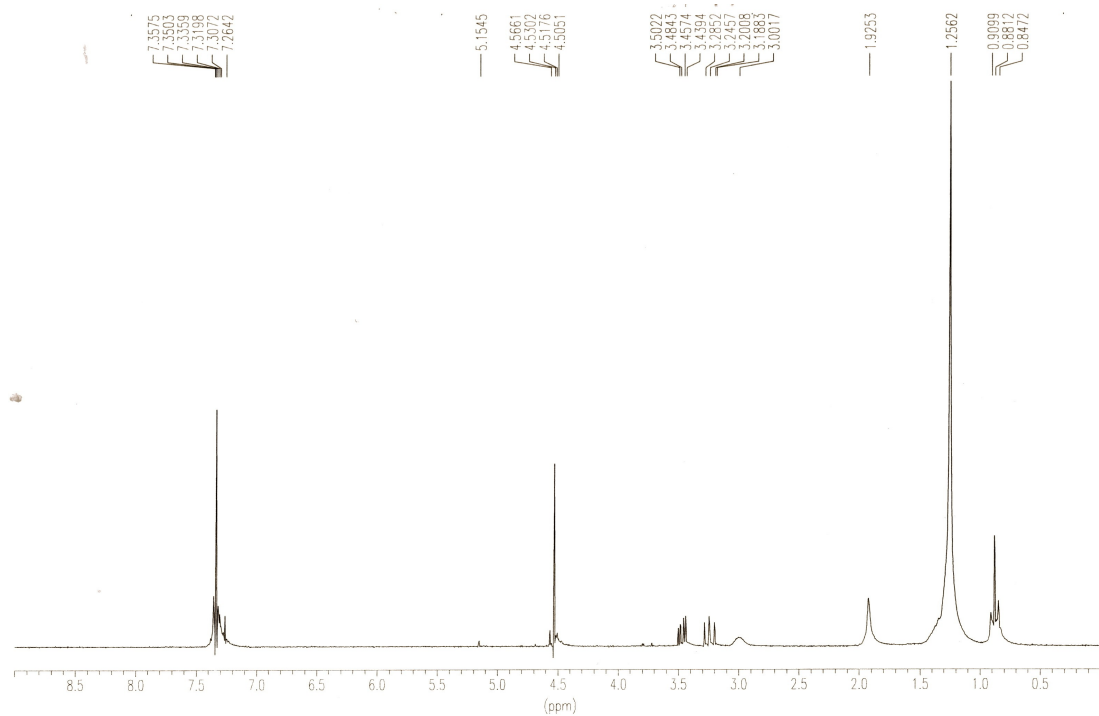


Figura X.17. Espectros de RMN ^1H y ^{13}C del compuesto 3_9 .

+TOF MS: 0.067 min from Sample 1 (ref) of jul040815.wiff
a=3.56062839757372290e-004, t0=-1.03589159680523150e+001 R;

Max. 930.0 counts.

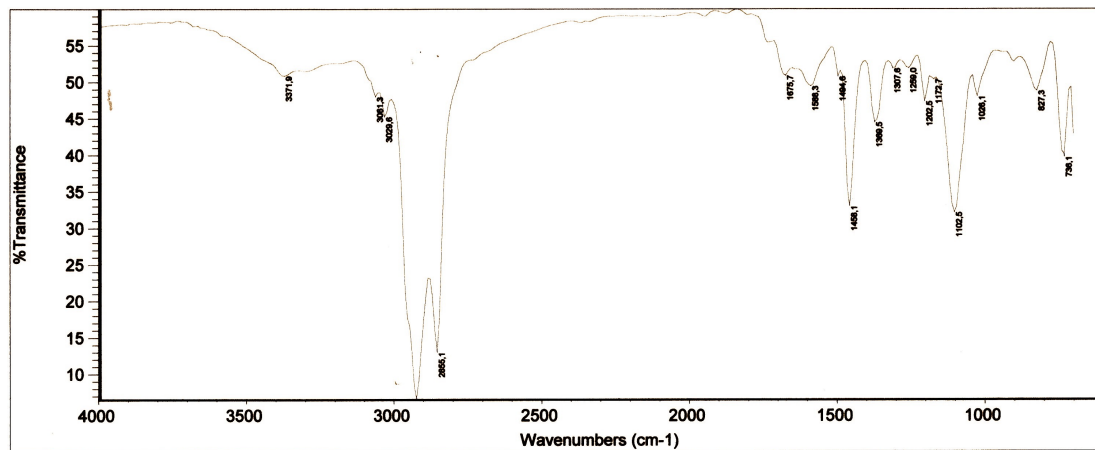
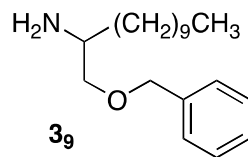
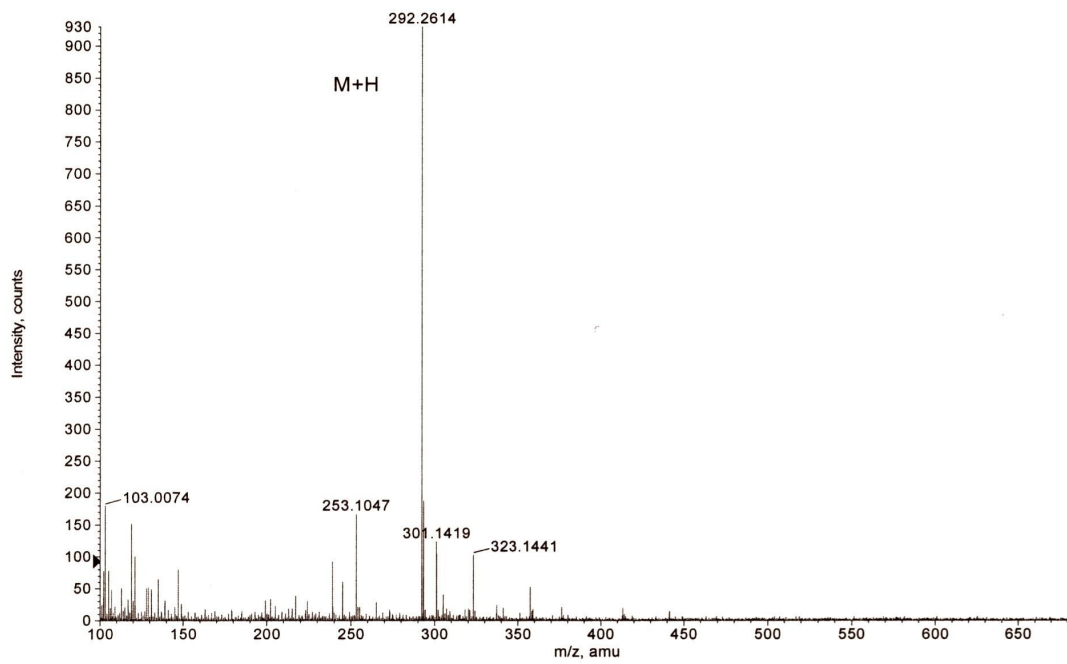


Figura X.18. Espectros de IR y MS del compuesto 3₉.

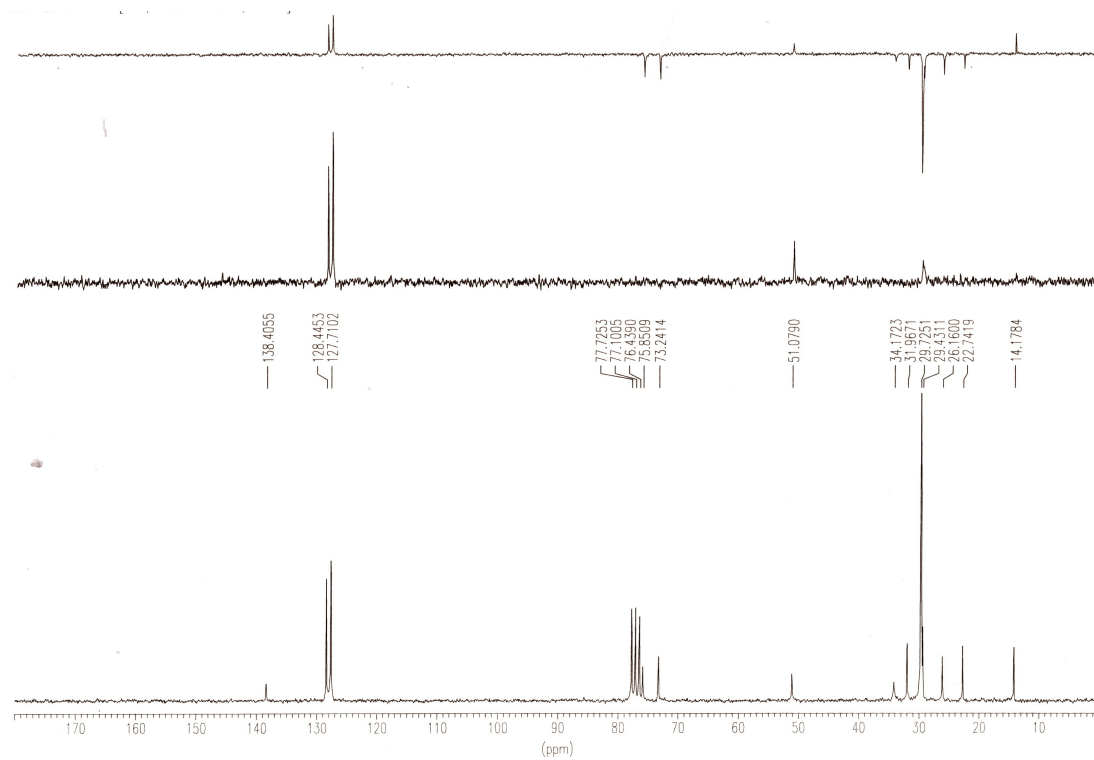
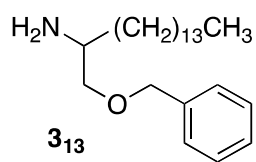
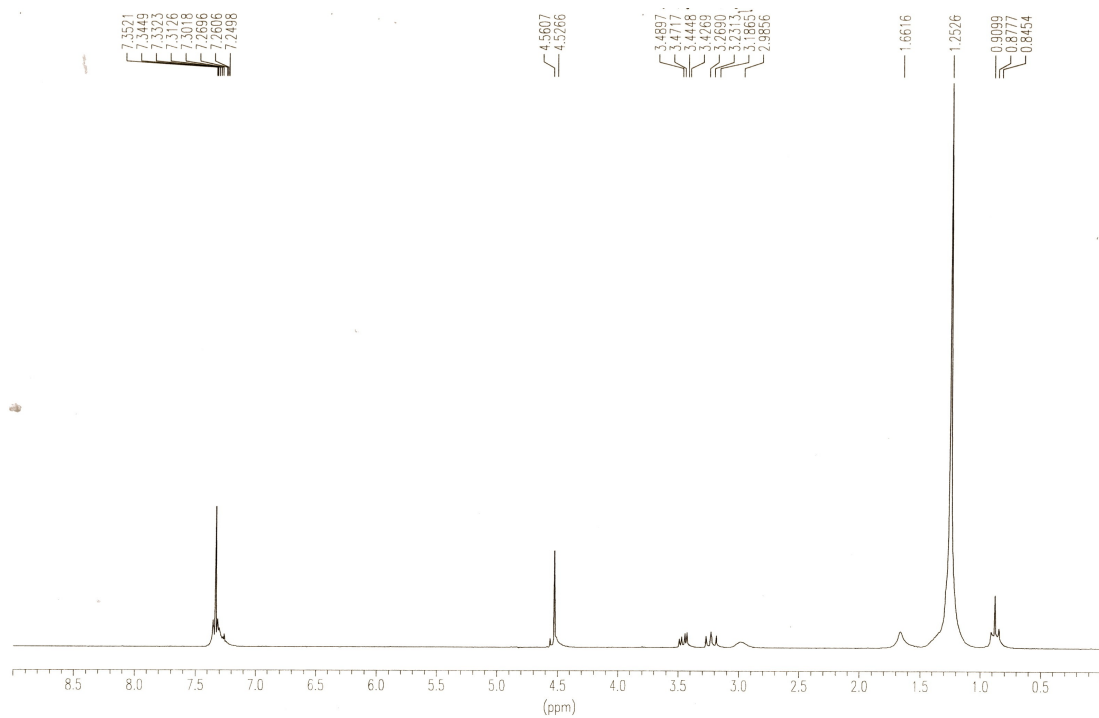


Figura X.19. Espectros de RMN ^1H y ^{13}C del compuesto 313 .

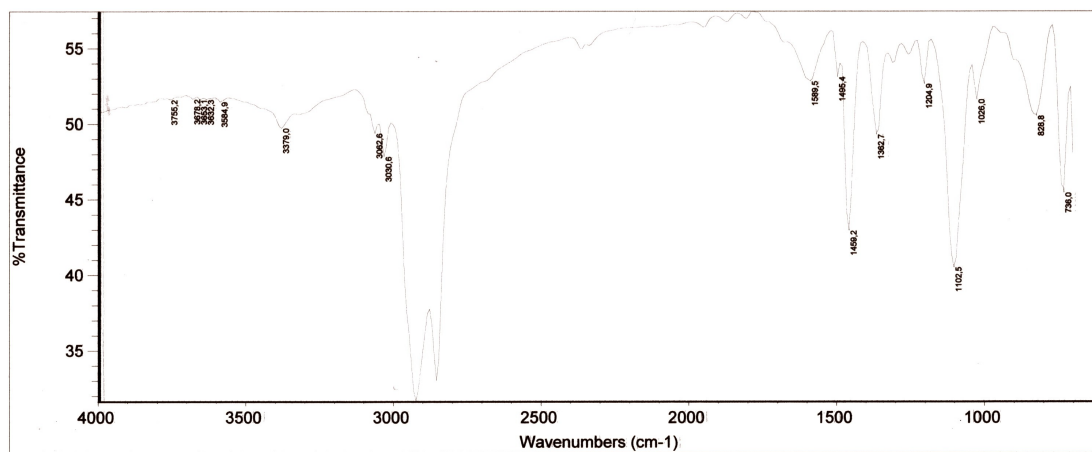
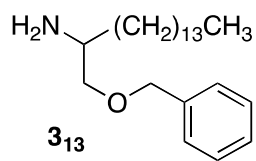
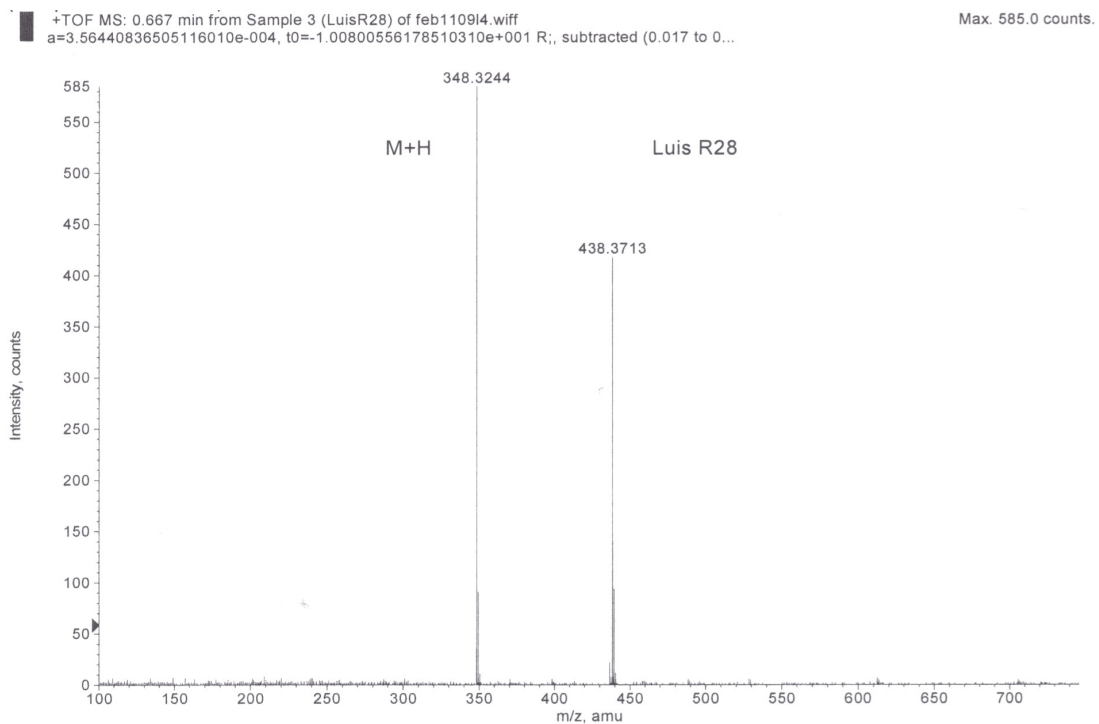


Figura X.20. Espectros de IR y MS del compuesto **3₁₃**.

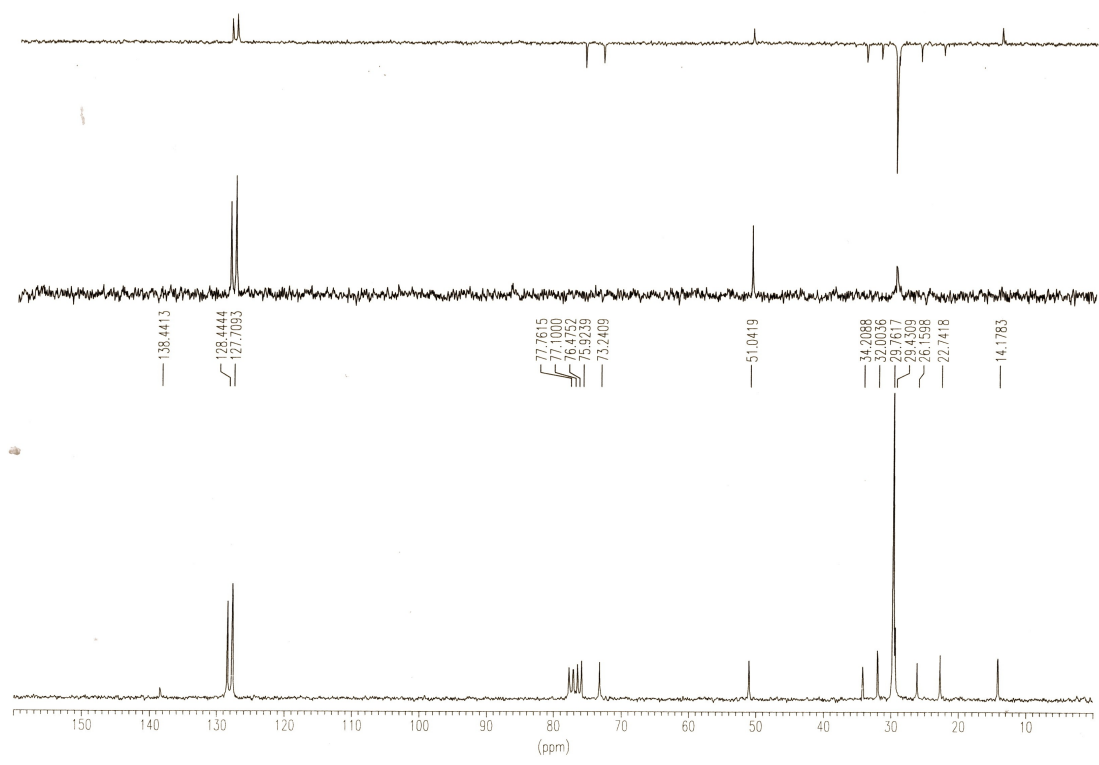
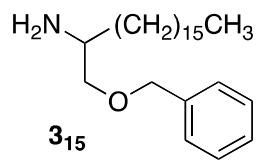
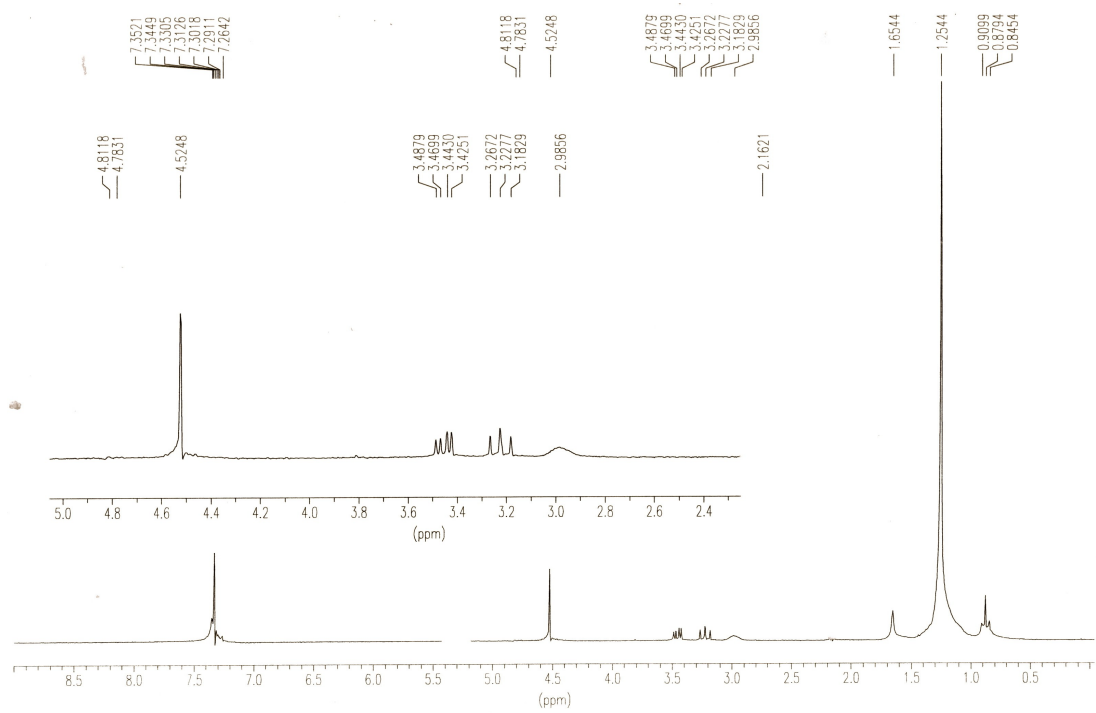


Figura X.21. Espectros de RMN ^1H y ^{13}C del compuesto **3₁₅**.

+TOF MS: 1.000 min from Sample 4 (Luis R37) of jul040814.wiff
a=3.56065095334746420e-004, t0=-1.02666830408270470e+001 R_i, subtracted (0.017 to ...

Max. 1340.0 counts.

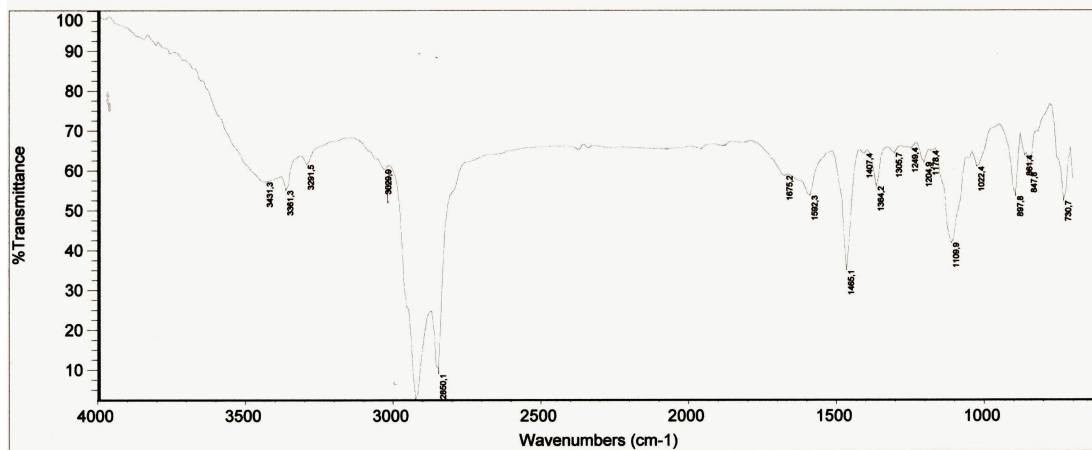
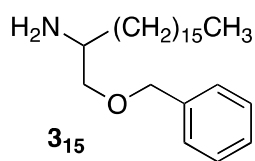
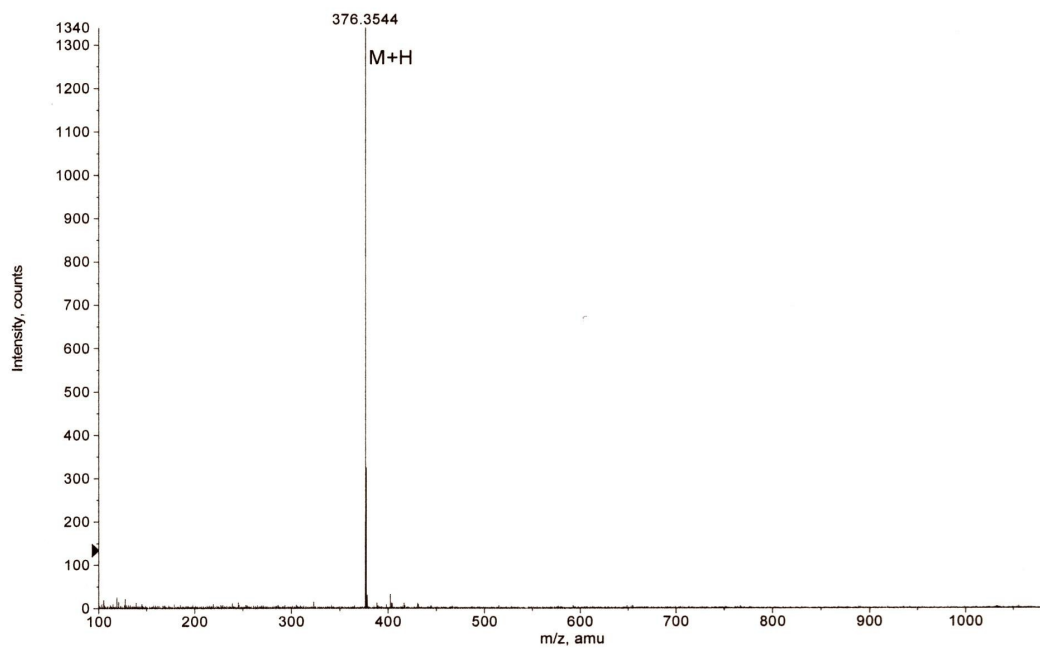


Figura X.22. Espectros de IR y MS del compuesto 3₁₅.

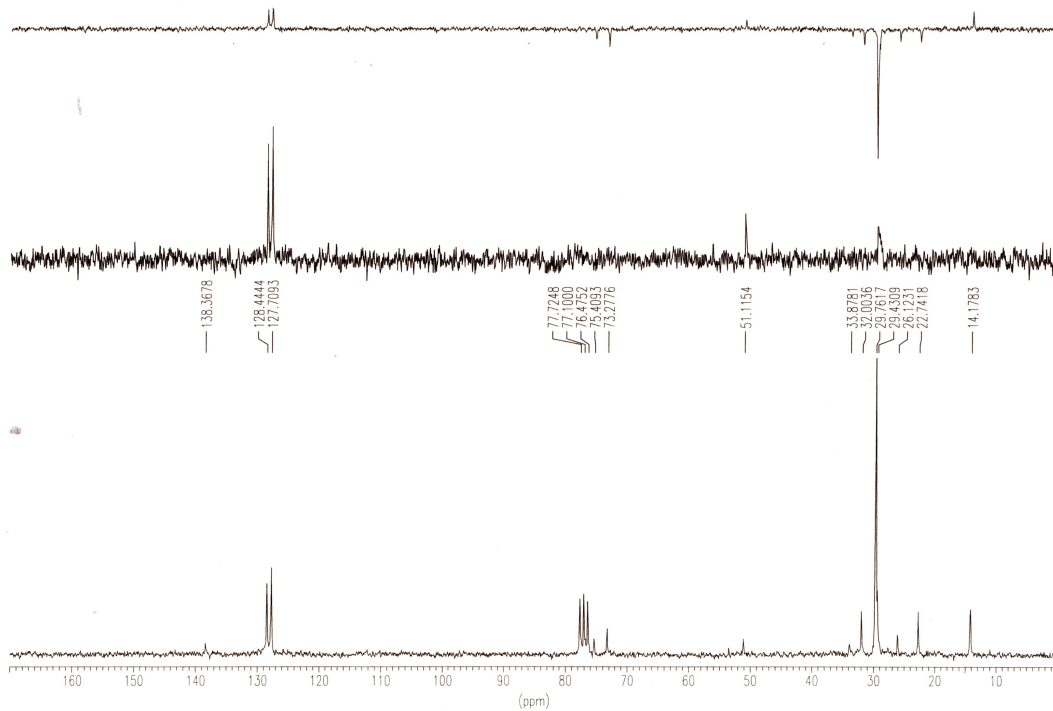
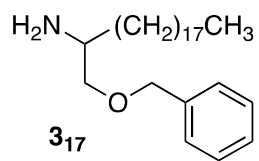
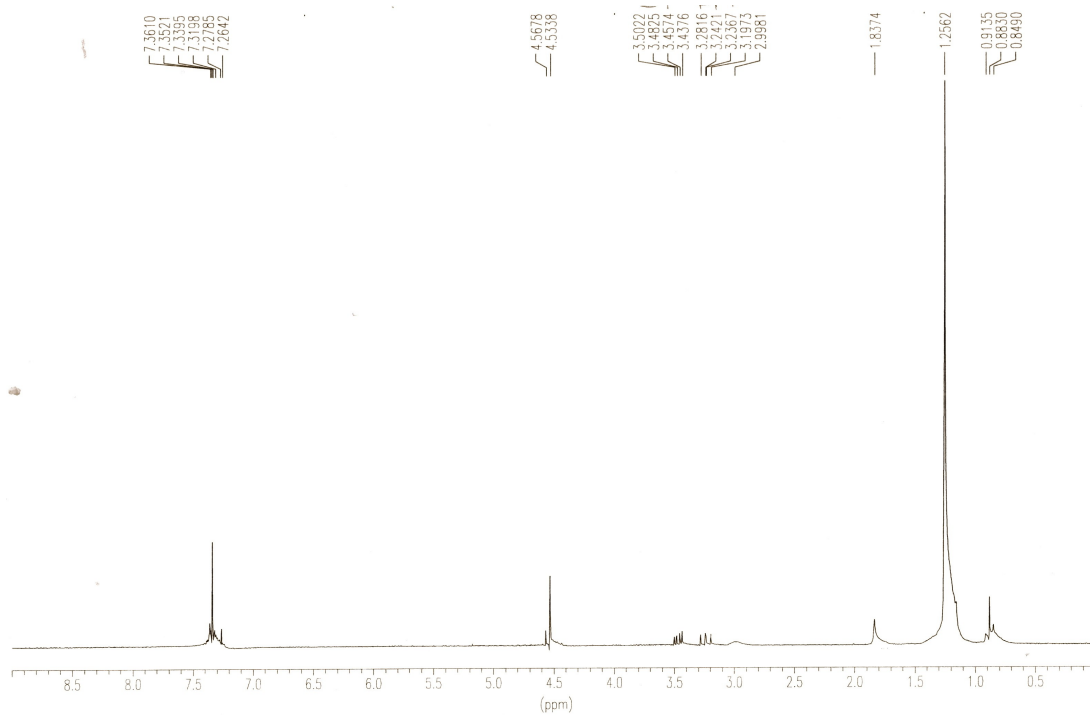


Figura X.23. Espectros de RMN ^1H y ^{13}C del compuesto **317**.

+TOF MS: 0.967 min from Sample 2 (Luis R39) of jul040815.wiff
a=3.56062839757372290e-004, t0=-1.03589159680523150e+001 R₁, subtracted (0.017 to ...

Max. 1282.0 counts.

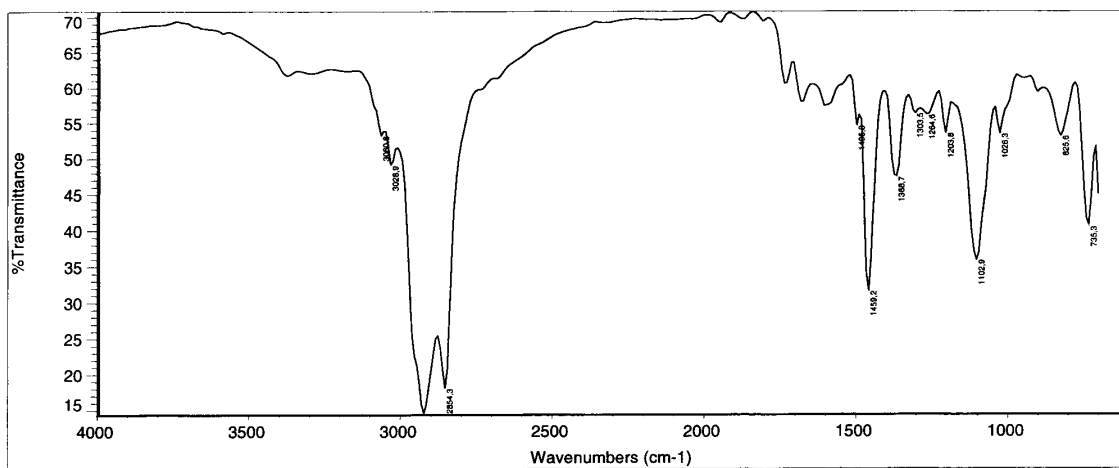
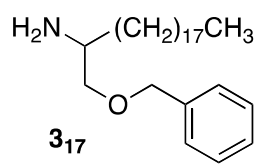
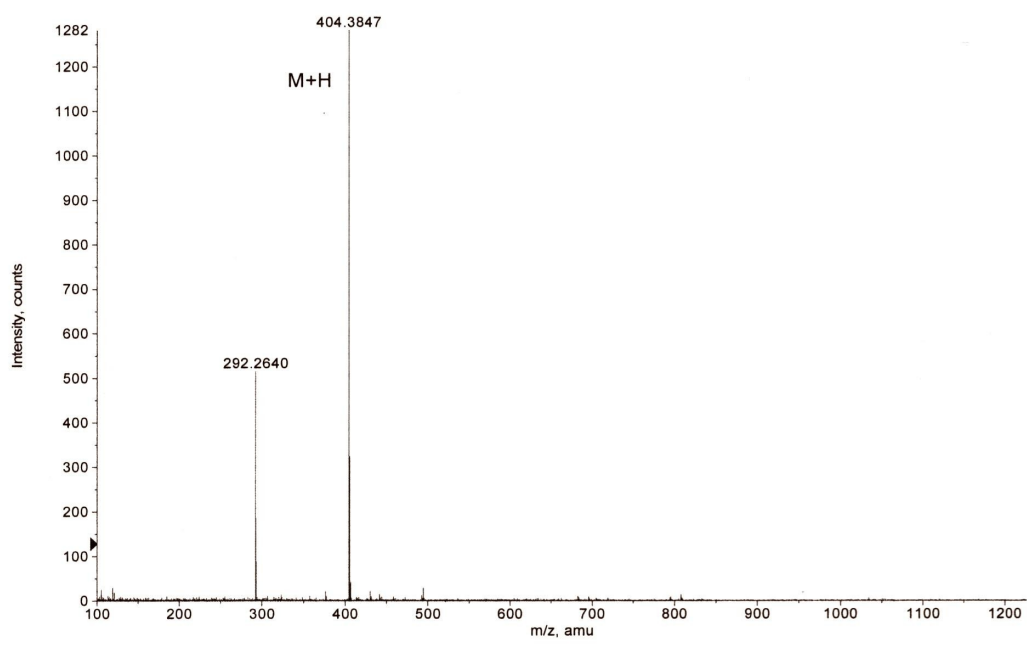


Figura X.24. Espectros de IR y MS del compuesto 317.

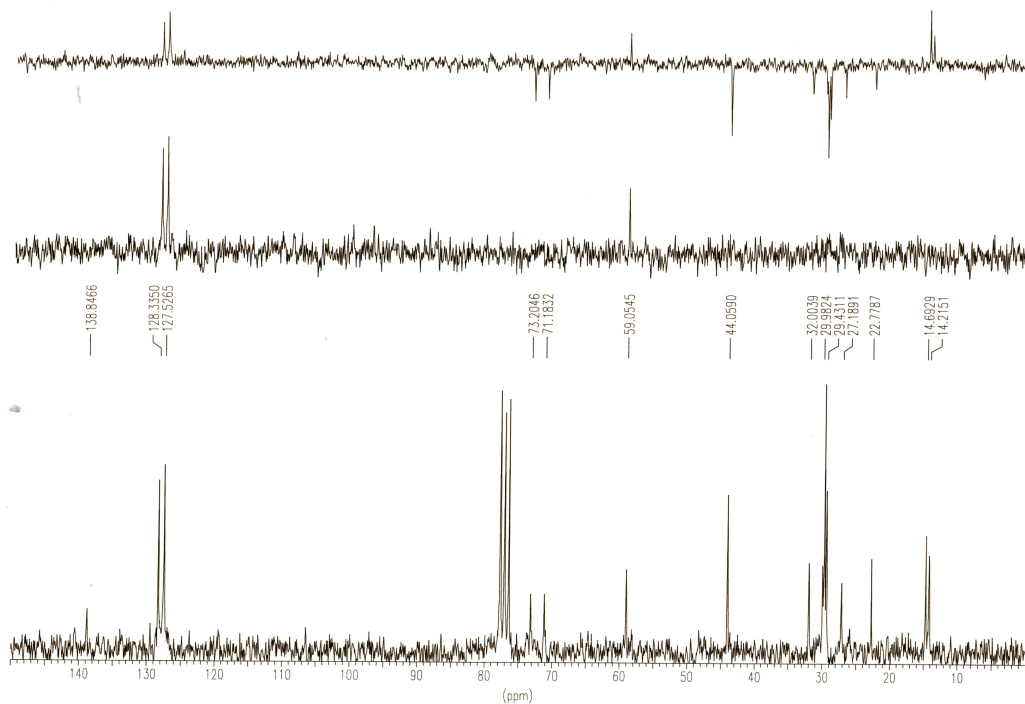
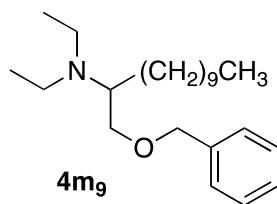
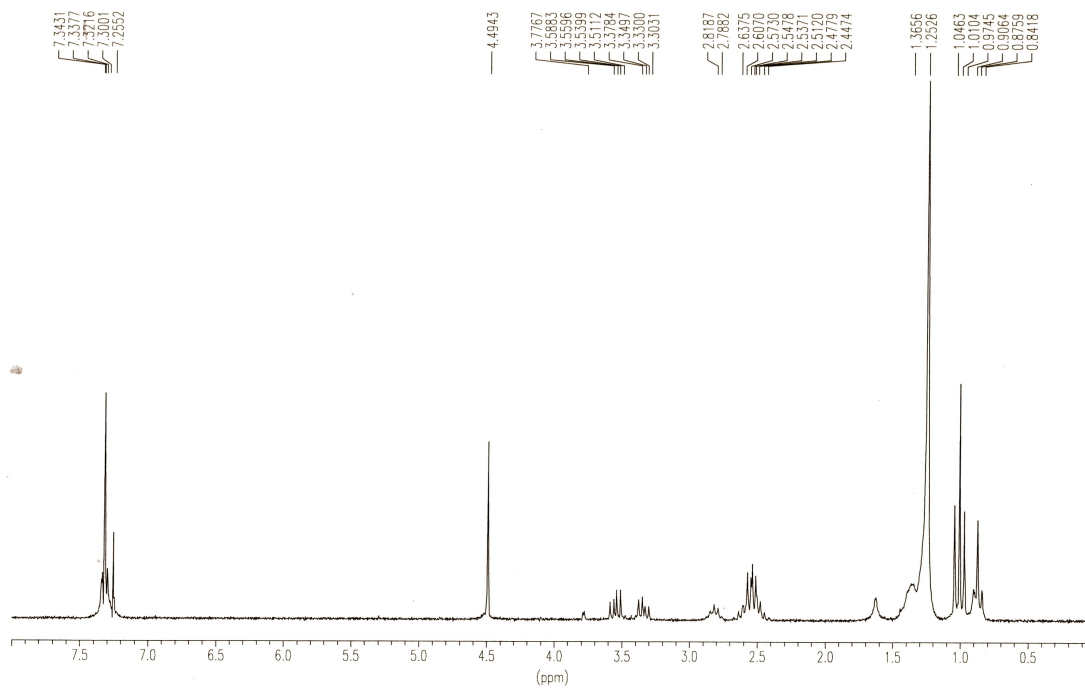


Figura X.25. Espectros de RMN ^1H y ^{13}C del compuesto **4m₉**.

+TOF MS: 1.001 min from Sample 3 (4a10) of nov111111.wiff
a=3.56665831078924690e-004, t0=-3.55481576667843910e+001 R., subtracted (0.033 to 0... Max. 993.0 counts.

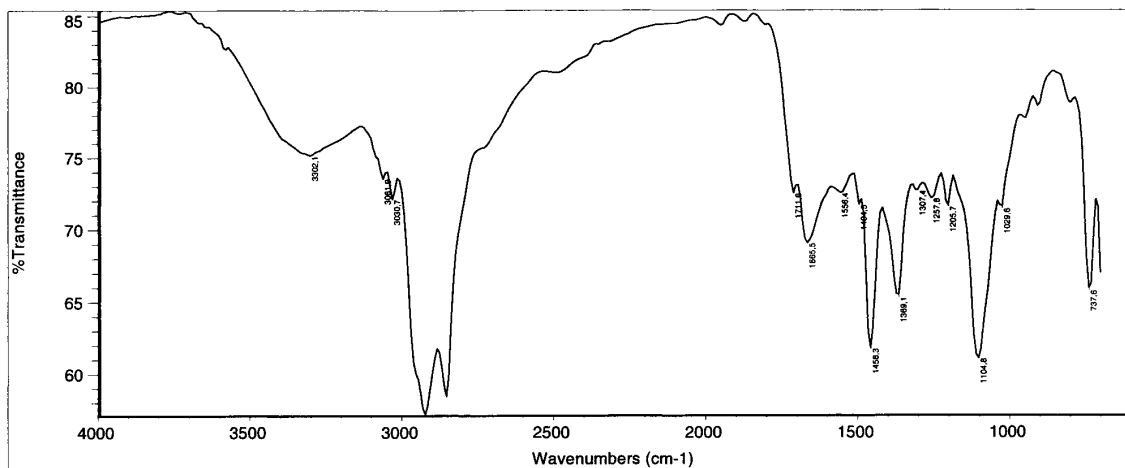
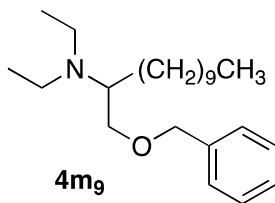
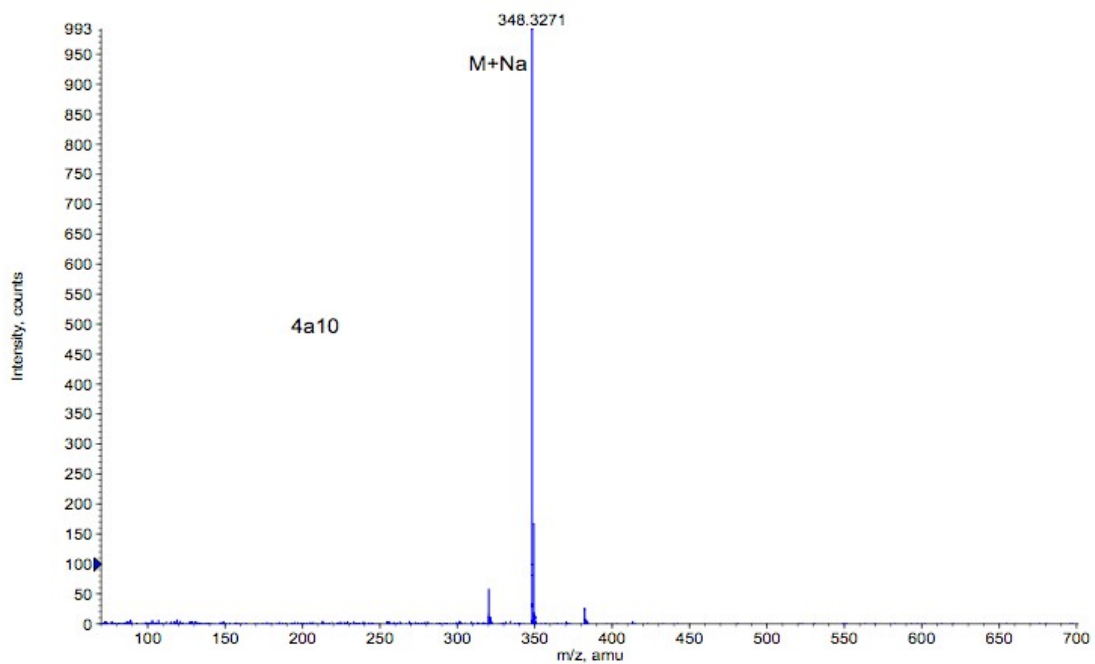


Figura X.26. Espectros de IR y MS del compuesto 4m₉.

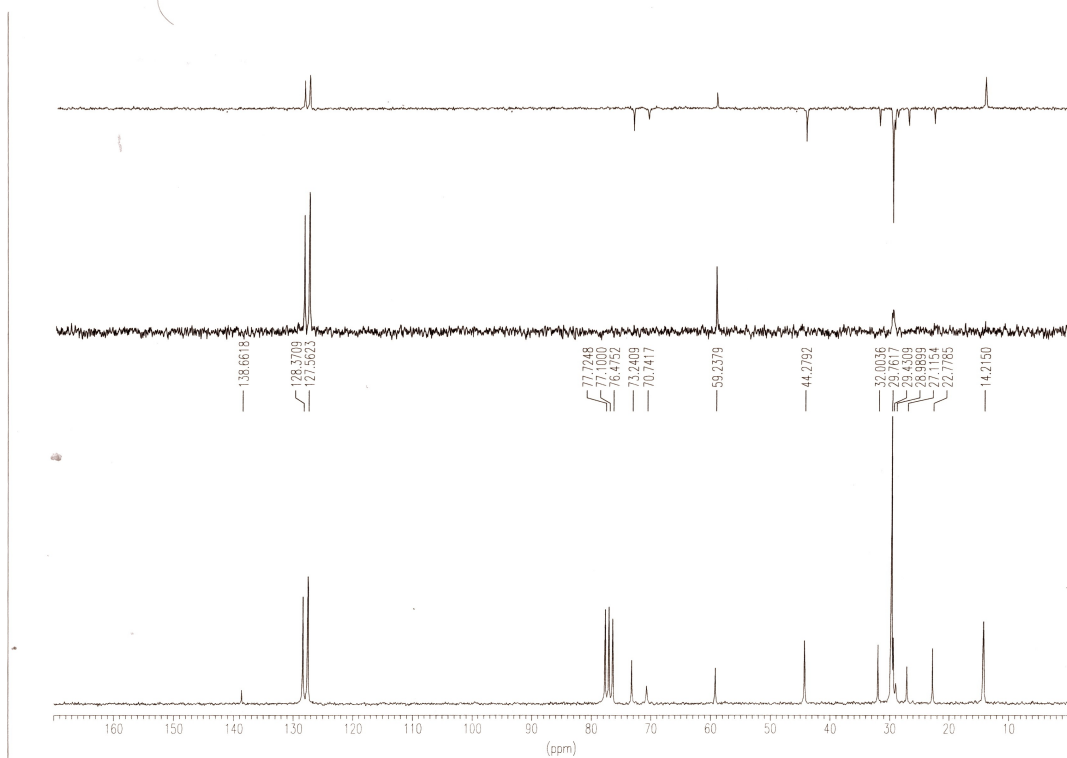
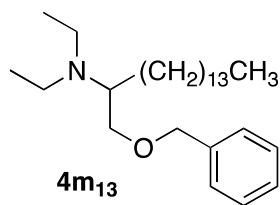
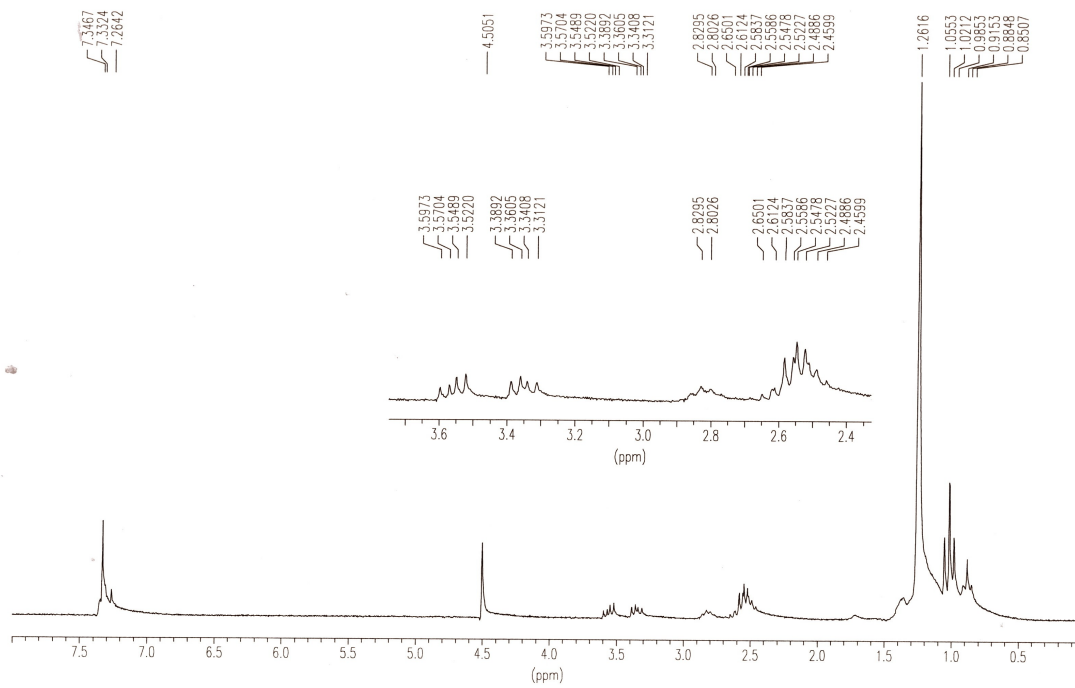


Figura X.27. Espectros de RMN ^1H y ^{13}C del compuesto **4m₁₃**.

+TOF MS: 0.984 min from Sample 3 (LuisR43) of oct140812.wiff
a=3.56116077239511190e-004, t0=-9.93743529962375760e+000 R; Max. 1408.0 counts.

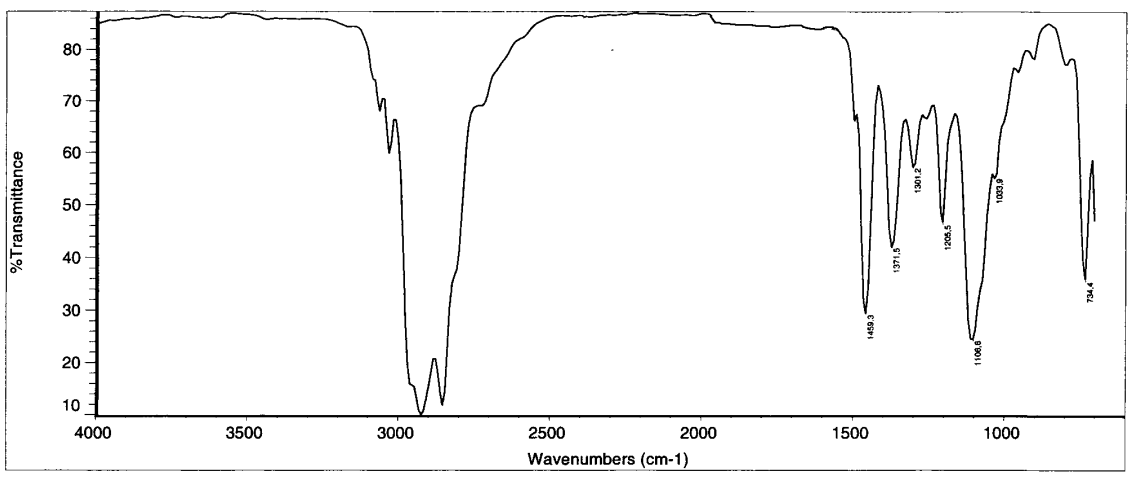
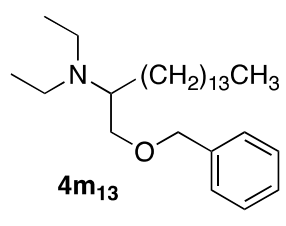
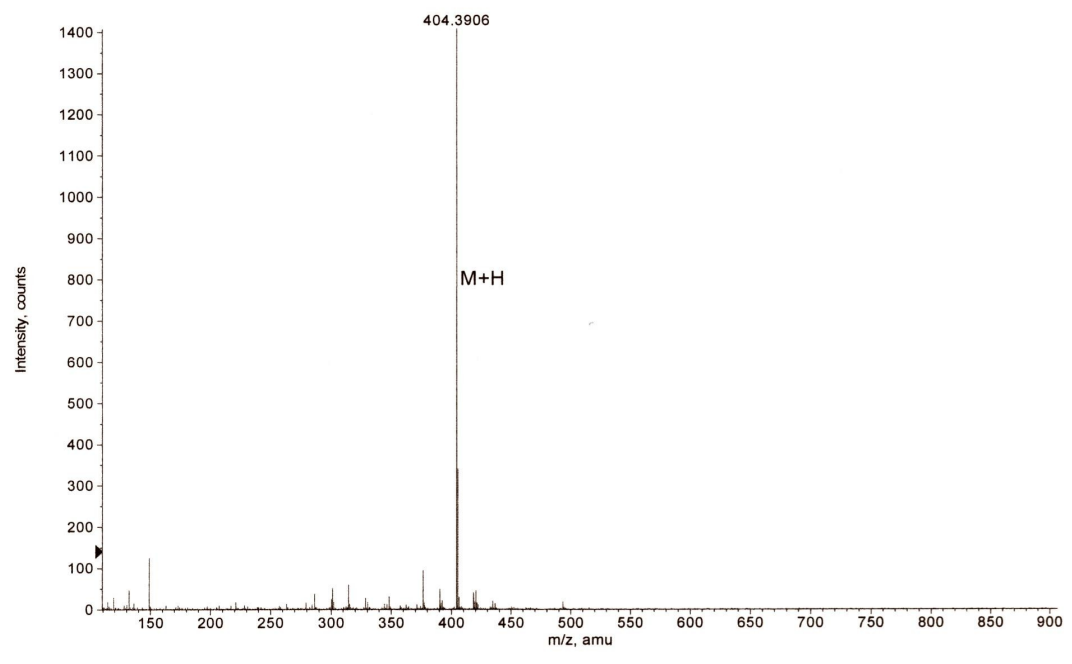


Figura X.28. Espectros de IR y MS del compuesto **4m₁₃**.

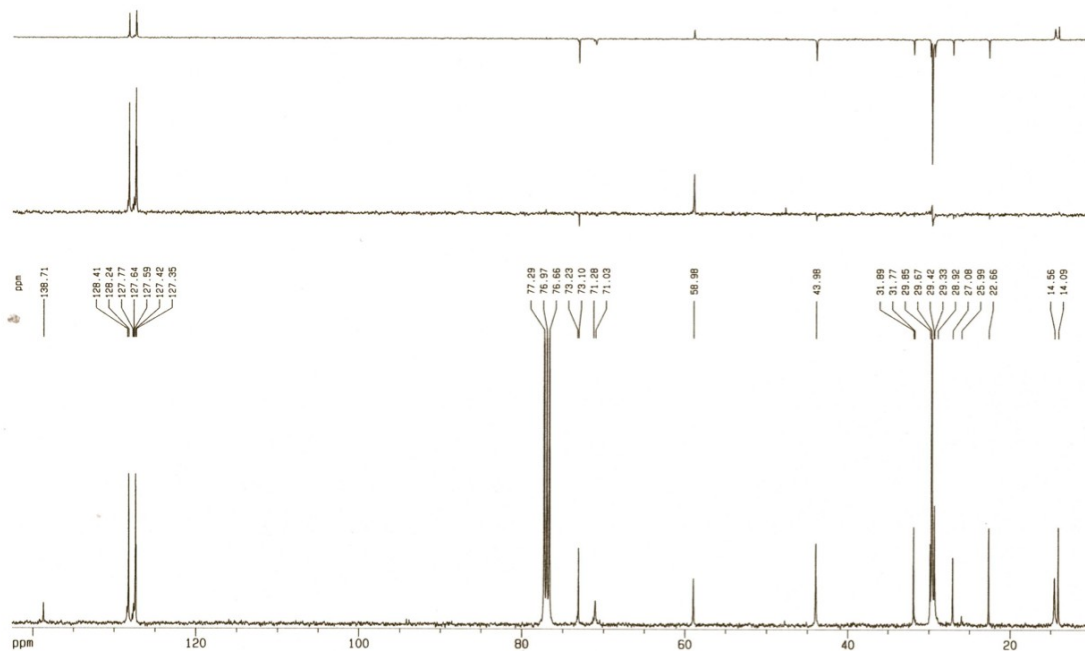
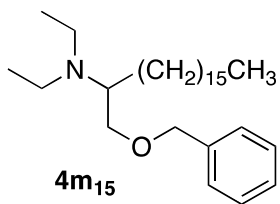
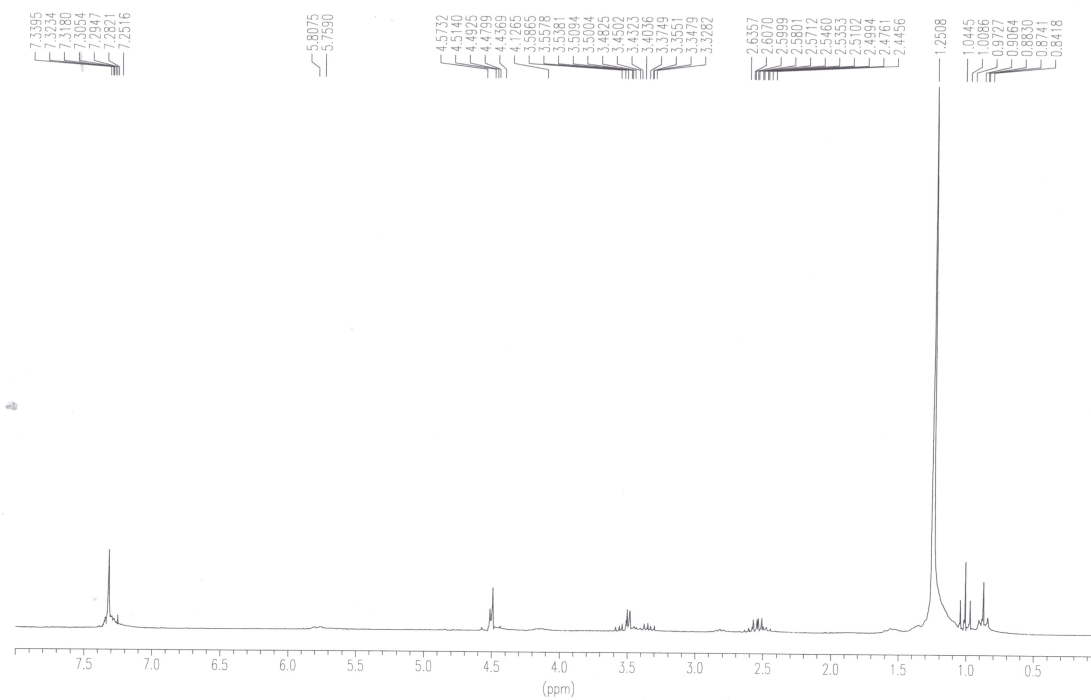


Figura X.29. Espectros de RMN 1H y ^{13}C del compuesto **4m₁₅**.

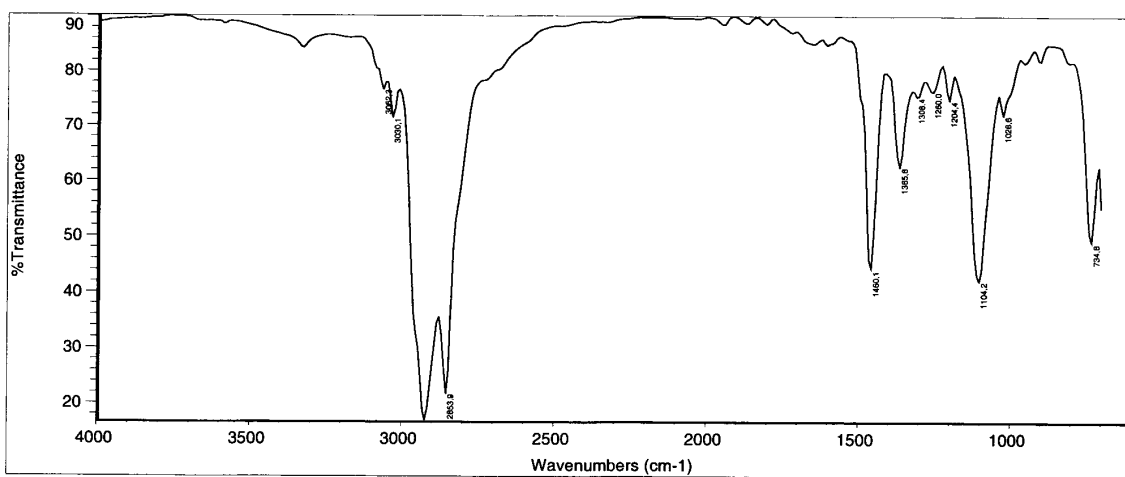
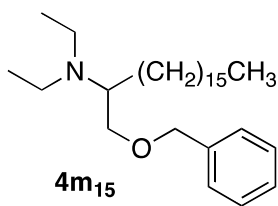
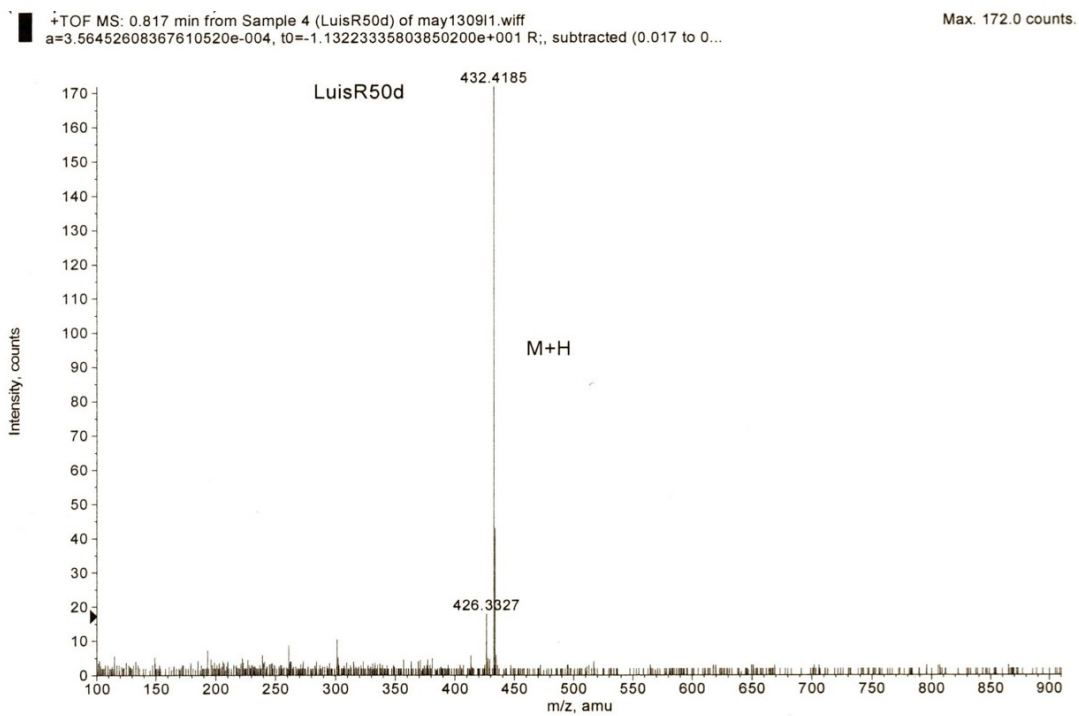


Figura X.30. Espectros de IR y MS del compuesto **4m₁₅**.

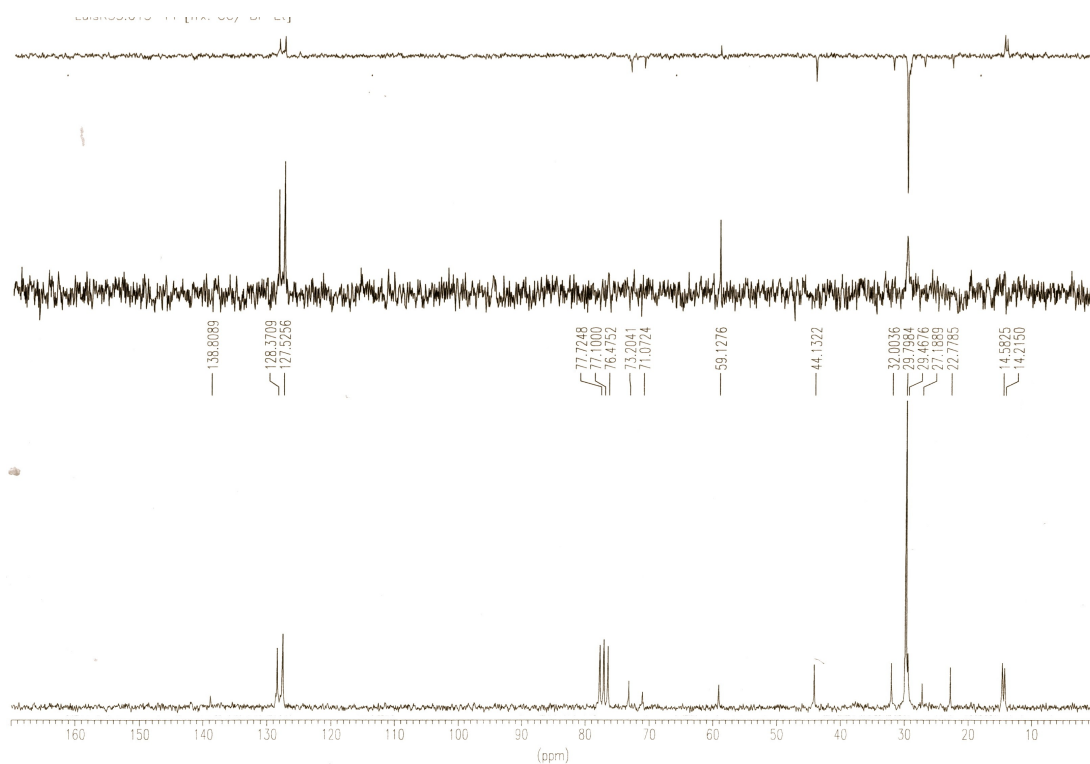
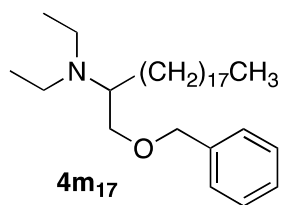
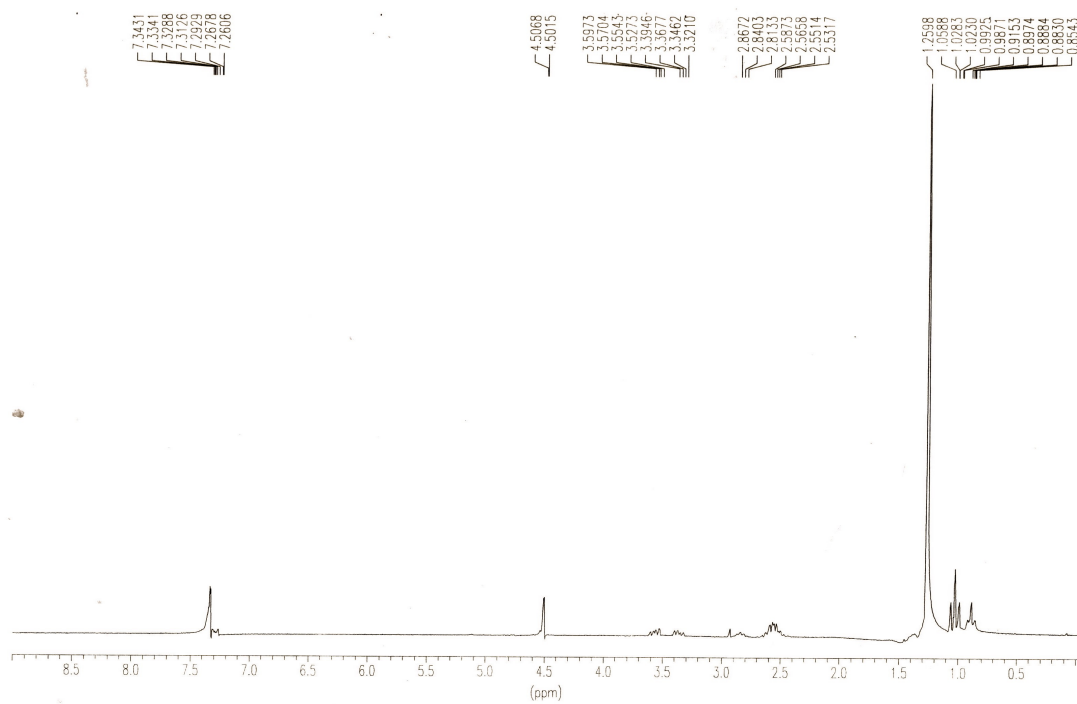


Figura X.31. Espectros de RMN ^1H y ^{13}C del compuesto **4m₁₇**.

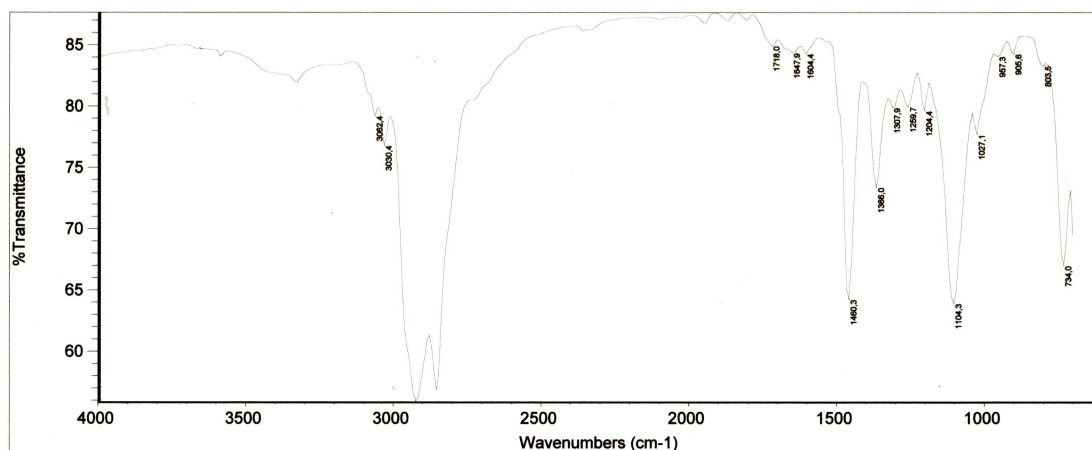
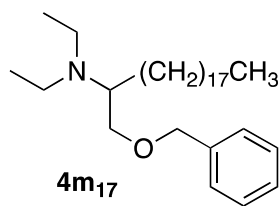
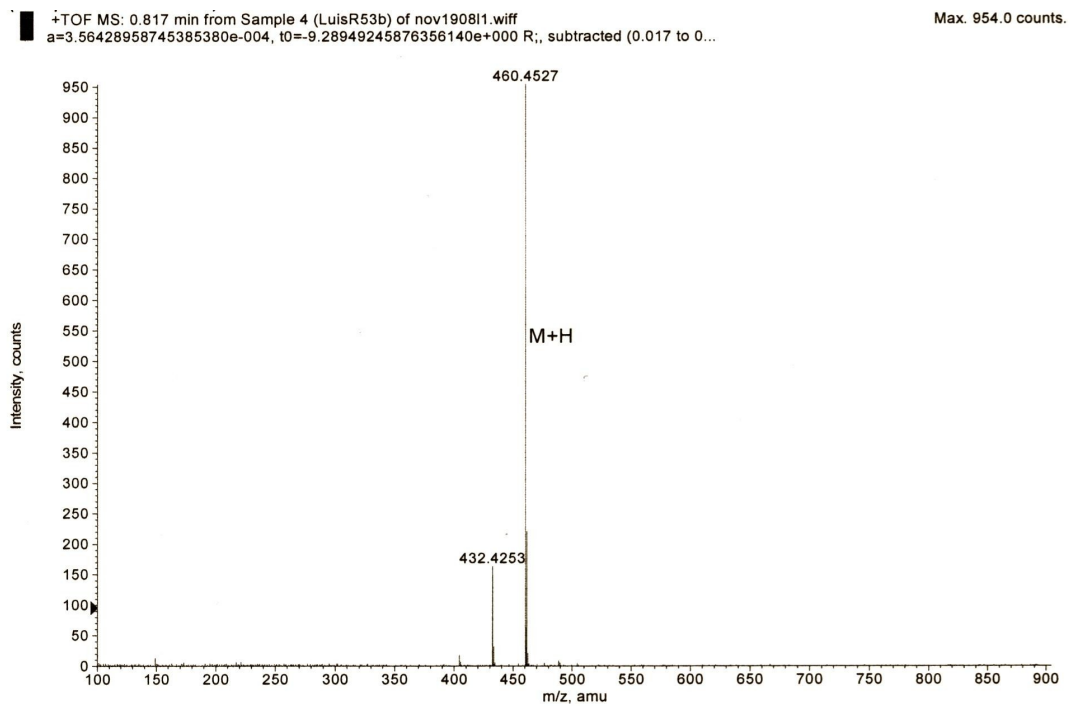


Figura X.32. Espectros de IR y MS del compuesto **4m₁₇**.

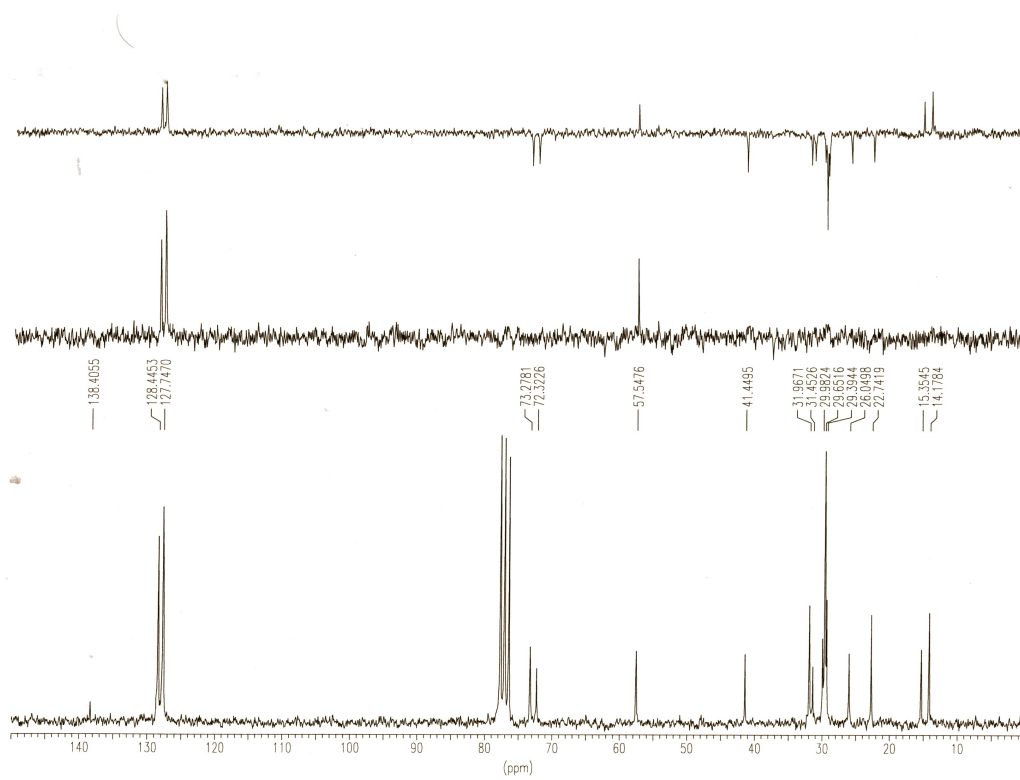
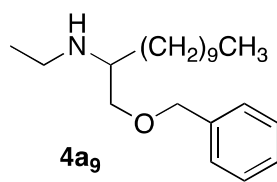
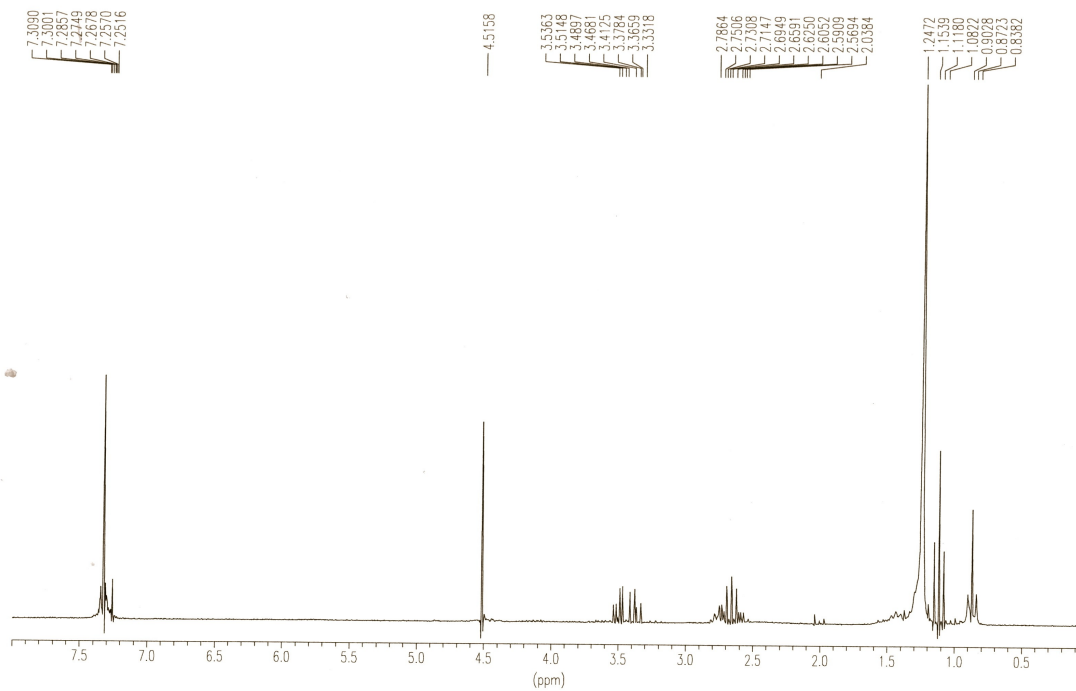


Figura X.33. Espectros de RMN 1H y ^{13}C del compuesto **4a₉**.

TOF MS: 0.800 min from Sample 5 (LuisR46) of oct140812.wiff
a=3.56115633629098460e-004, t0=-9.98964964904371300e+000 R_z, subtracted (0.017 to ... Max. 1529.0 counts.

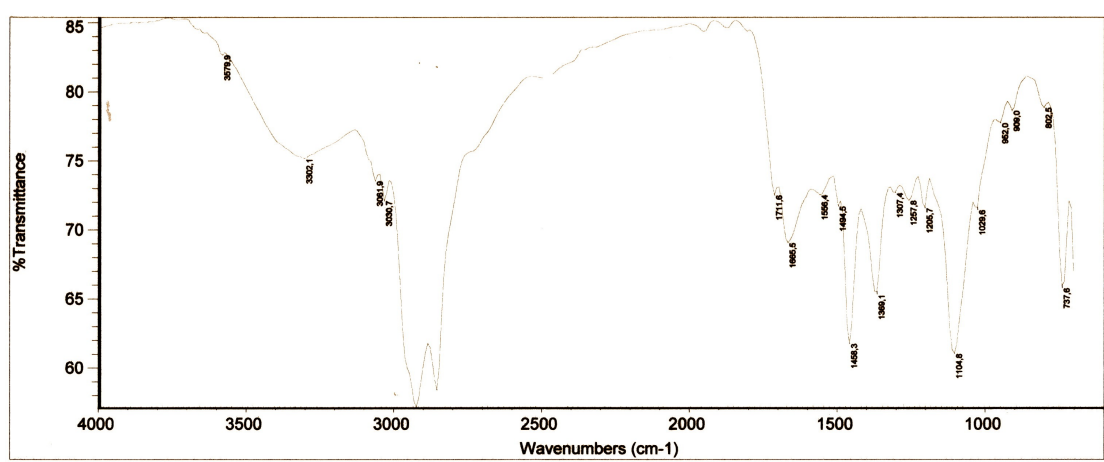
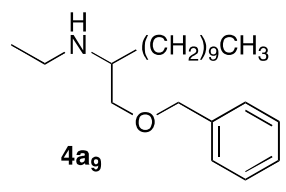
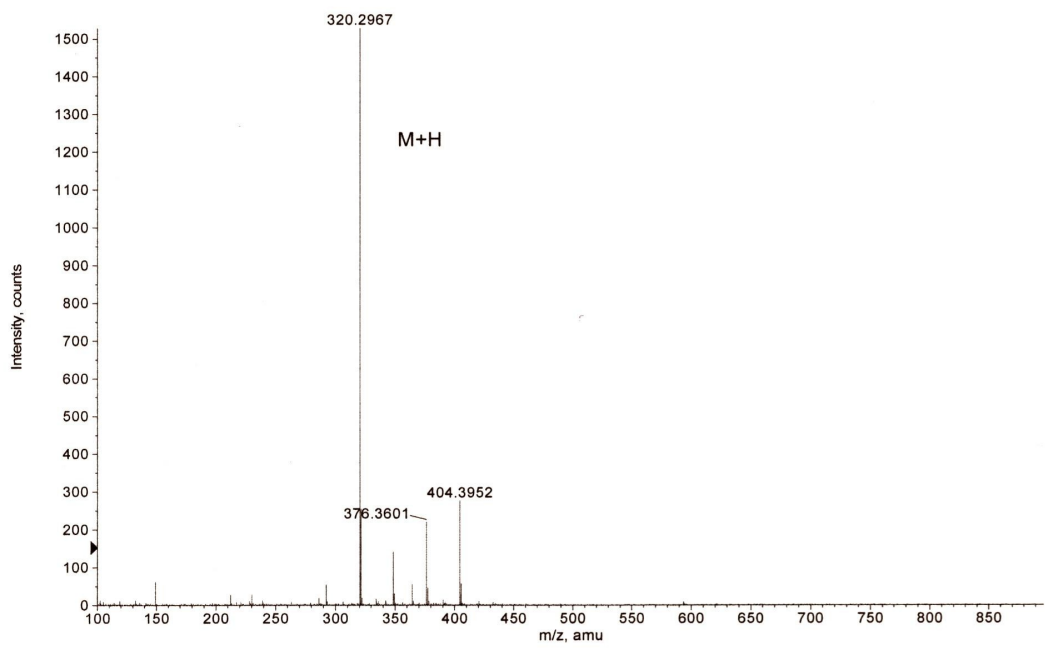


Figura X.34. Espectros de IR y MS del compuesto 4a₉.

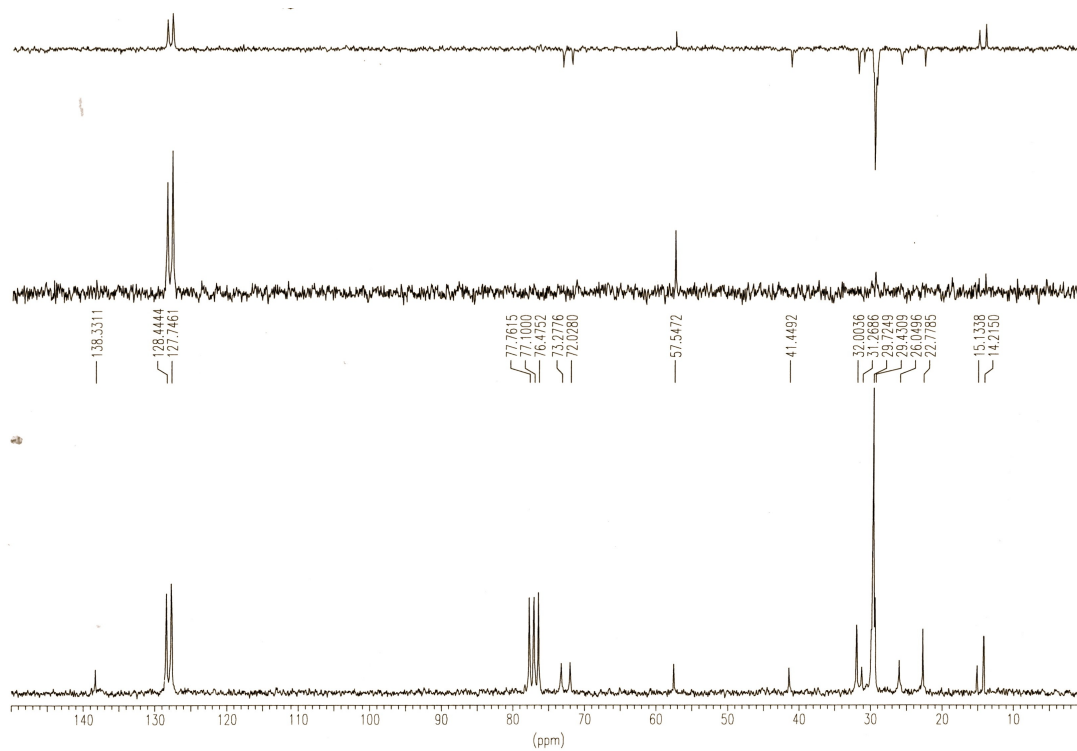
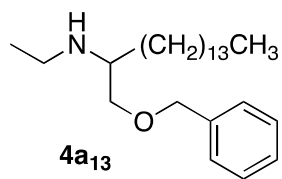
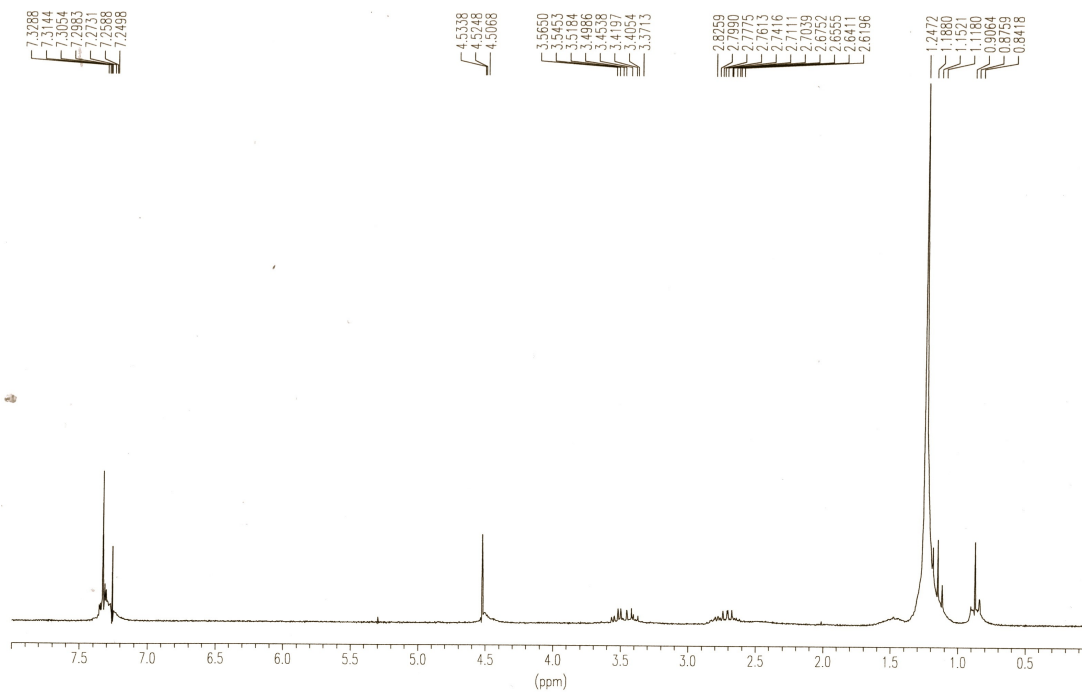


Figura X.35. Espectros de RMN ¹H y ¹³C del compuesto **4a₁₃**.

+TOF MS: 0.784 min from Sample 3 (LuisR42m) of may130911.wiff
a=3.56452895097150260e-004, t0=-1.10506856241045170e+001 R.; subtracted (0.017 to 0.017)

Max. 626.7 counts.

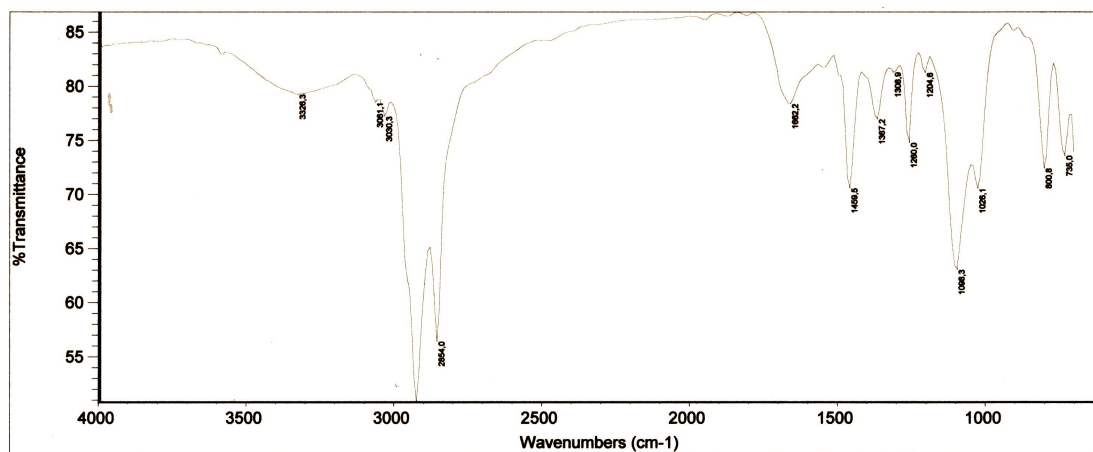
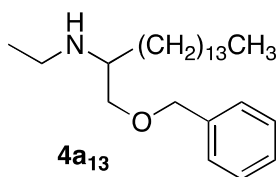
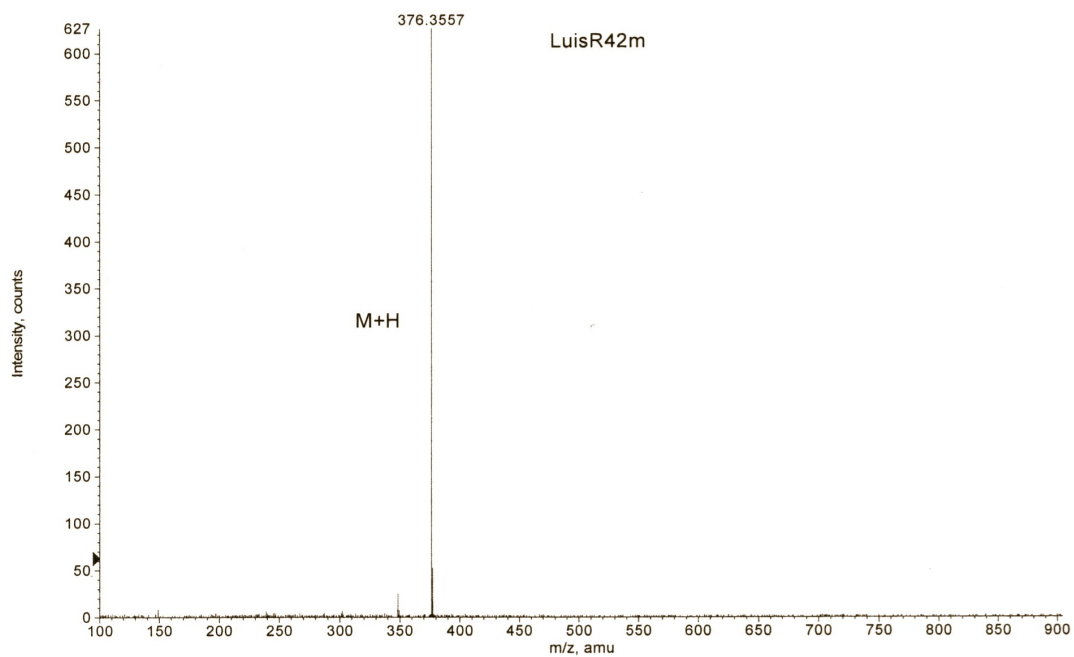


Figura X.36. Espectros de IR y MS del compuesto 4a₁₃.

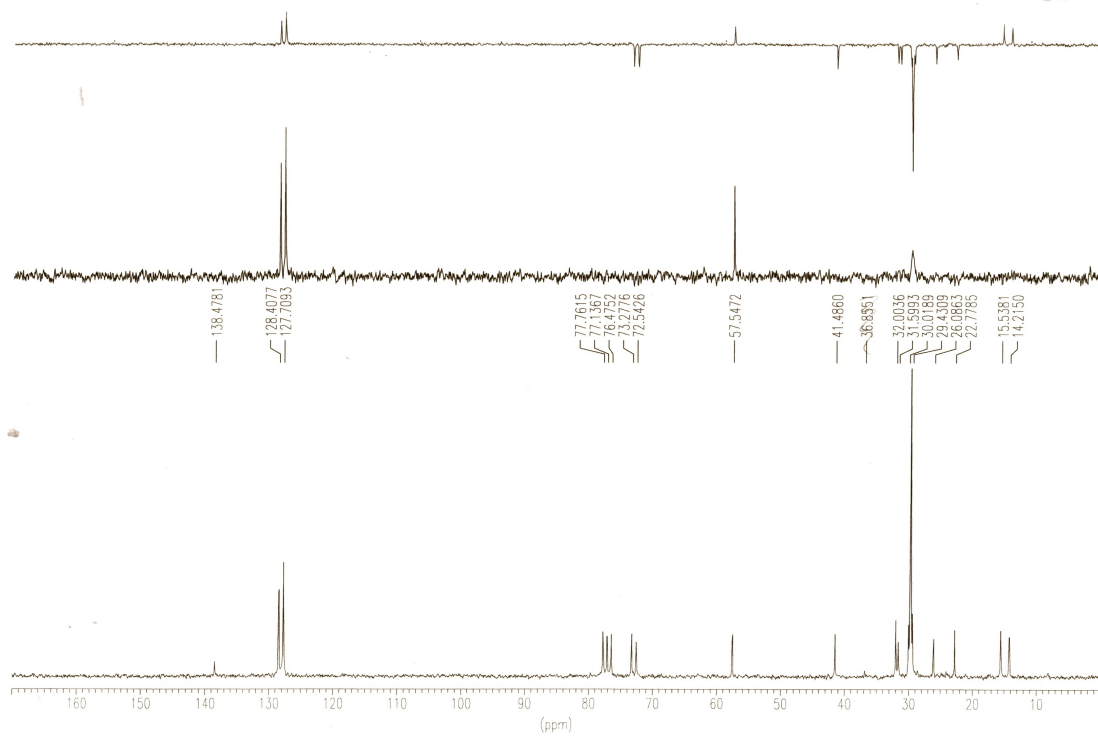
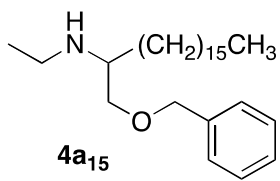
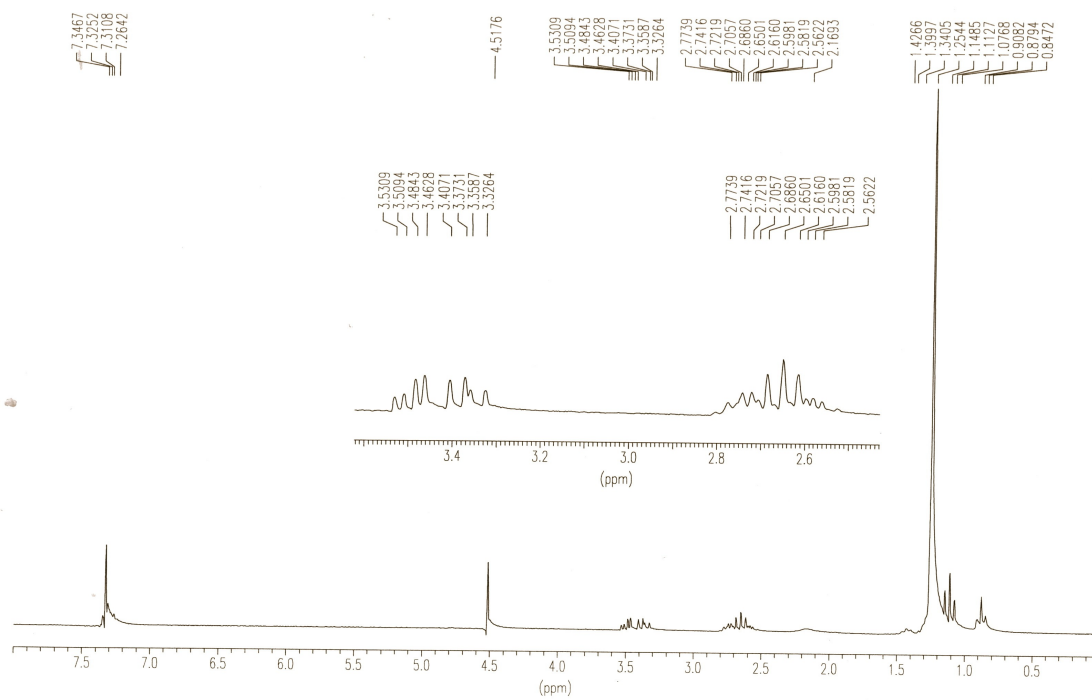


Figura X.37. Espectros de RMN ^1H y ^{13}C del compuesto **4a₁₅**.

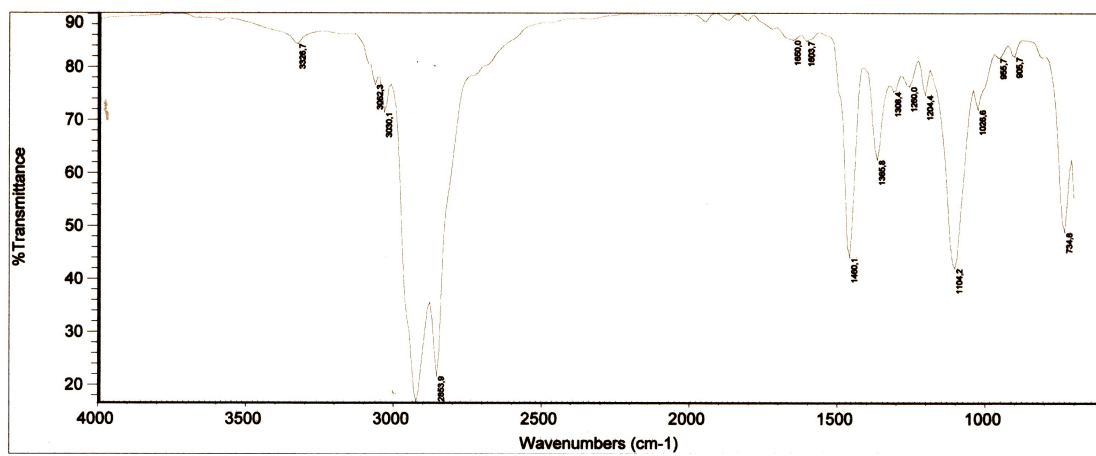
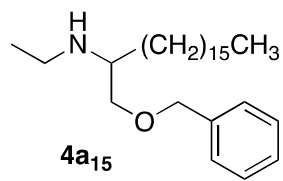
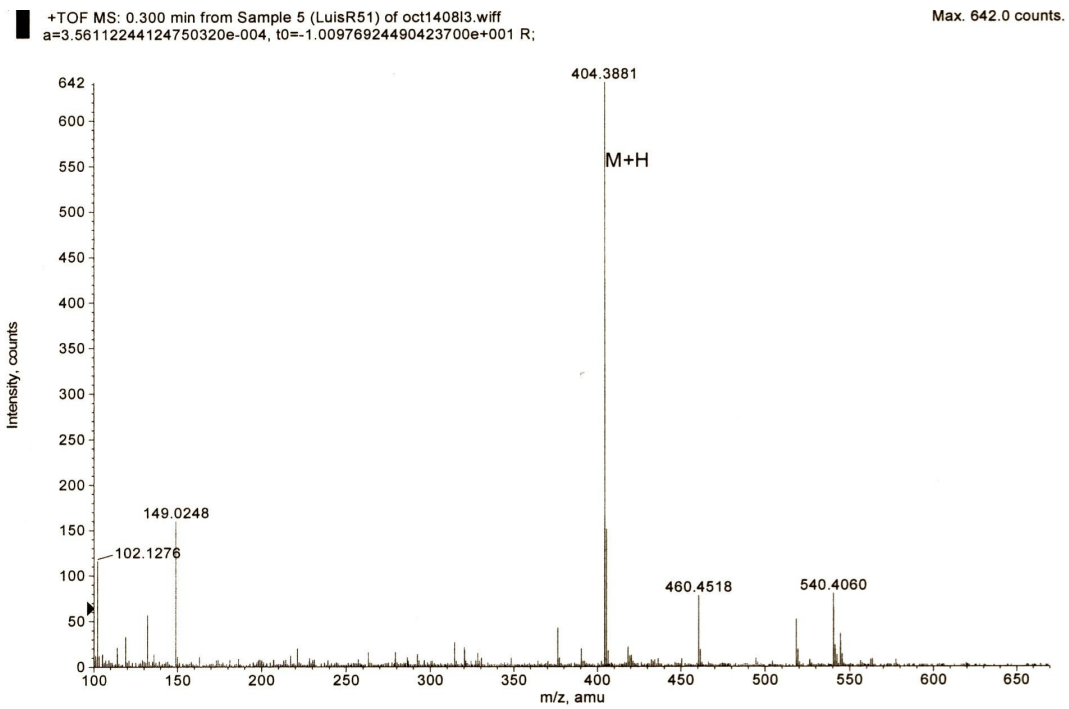


Figura X.38. Espectros de IR y MS del compuesto 4a₁₅.

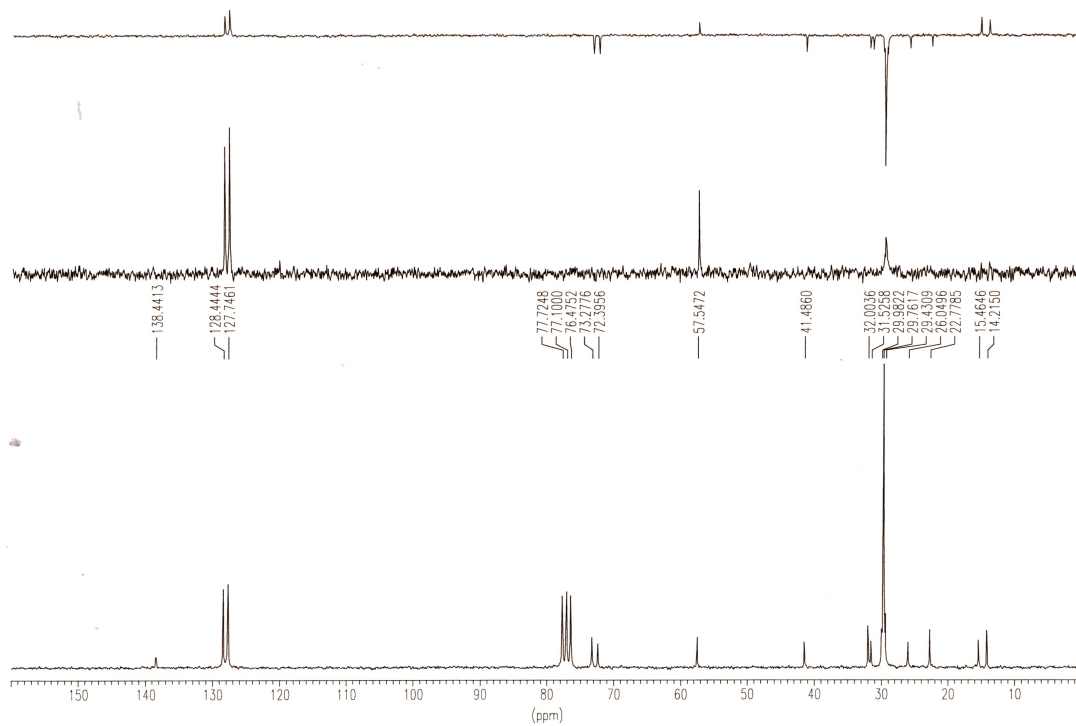
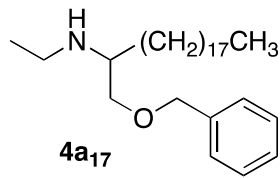
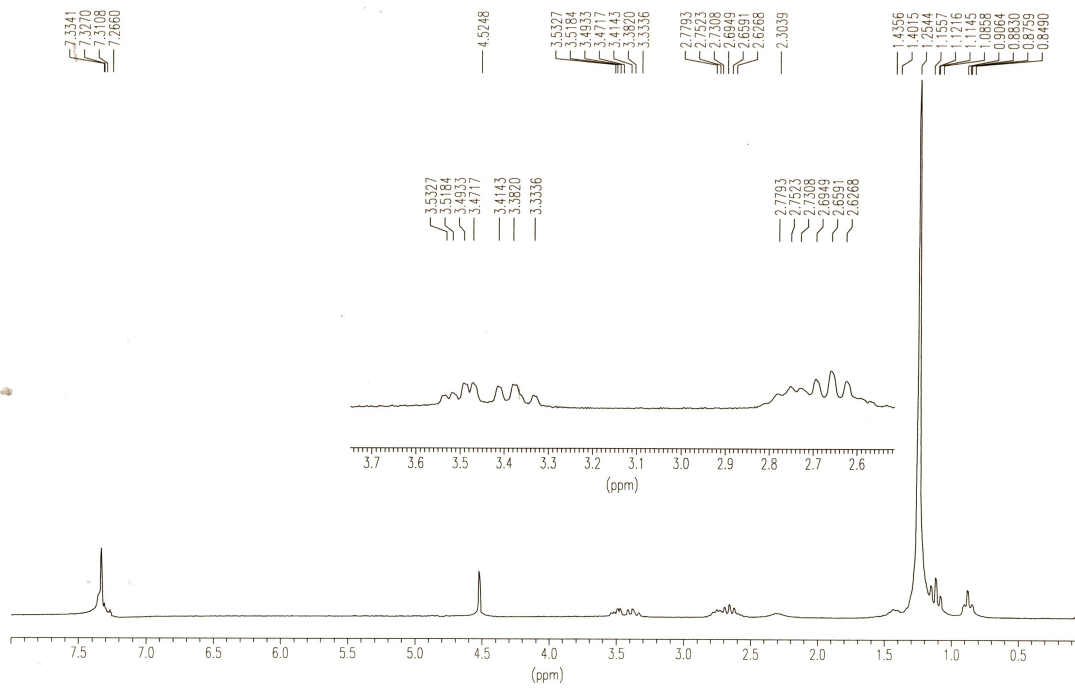


Figura X.39. Espectros de RMN ^1H y ^{13}C del compuesto **4a₁₇**.

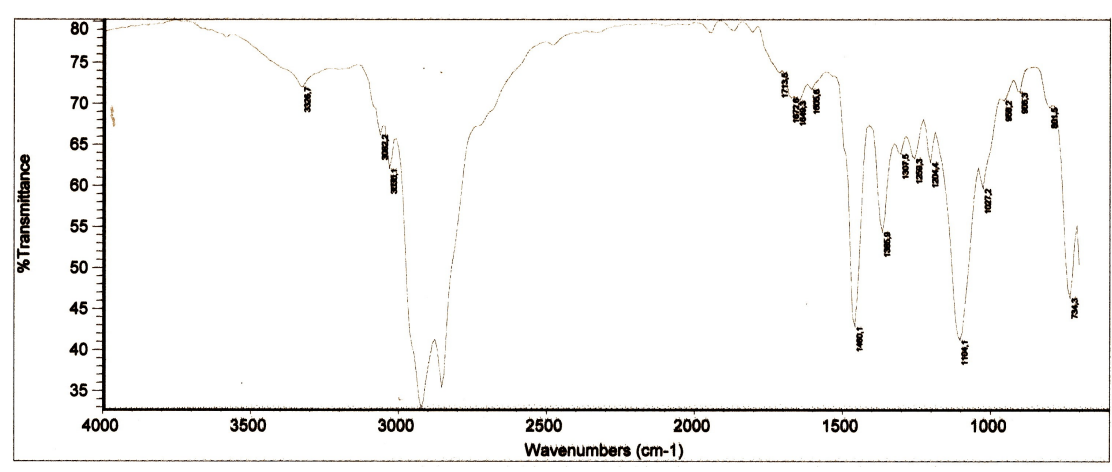
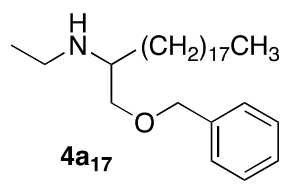
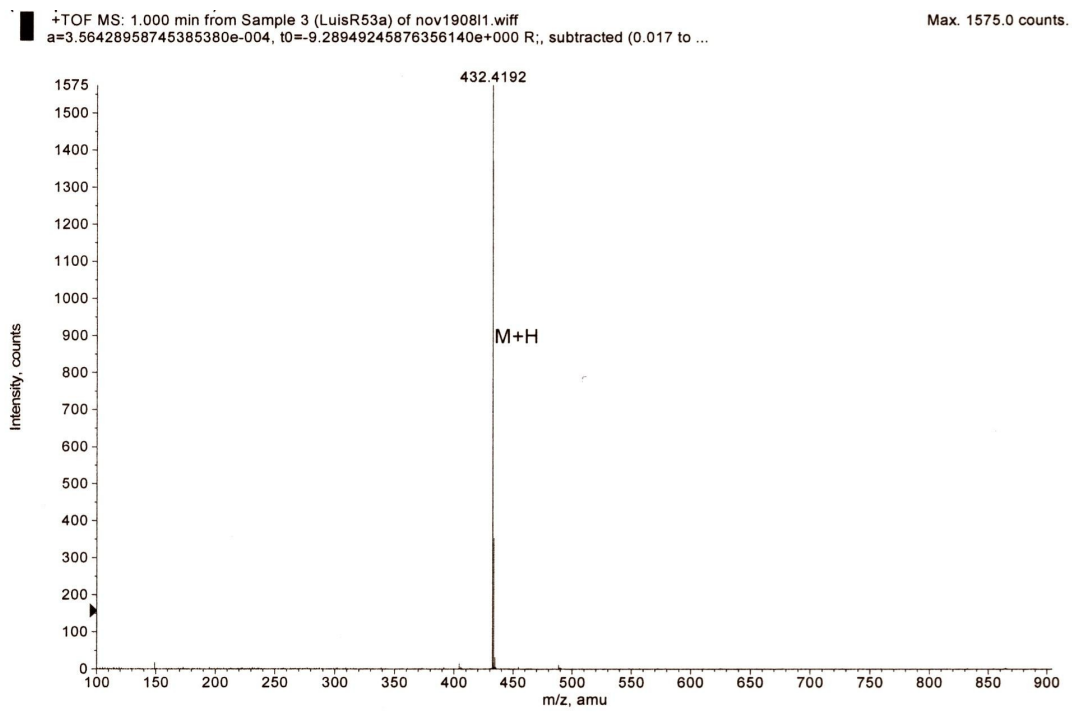


Figura X.40. Espectros de IR y MS del compuesto **4a₁₇**.

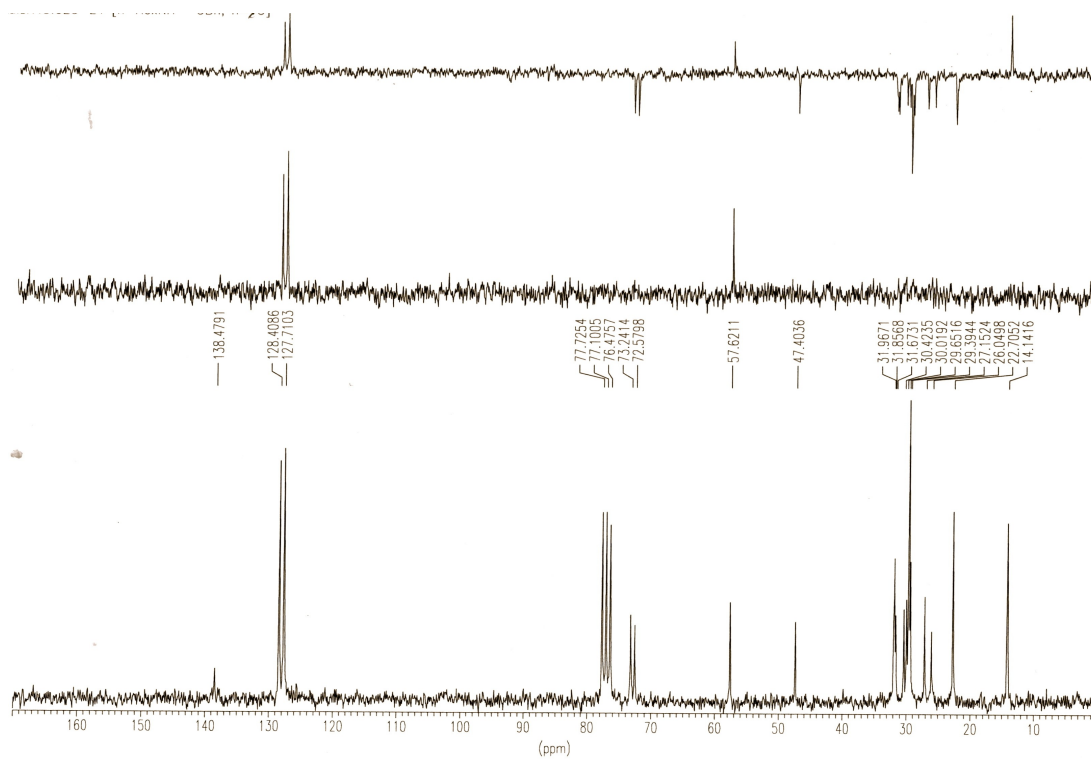
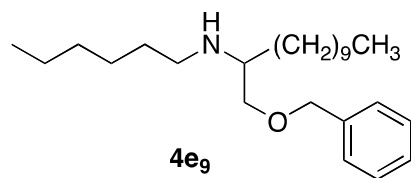
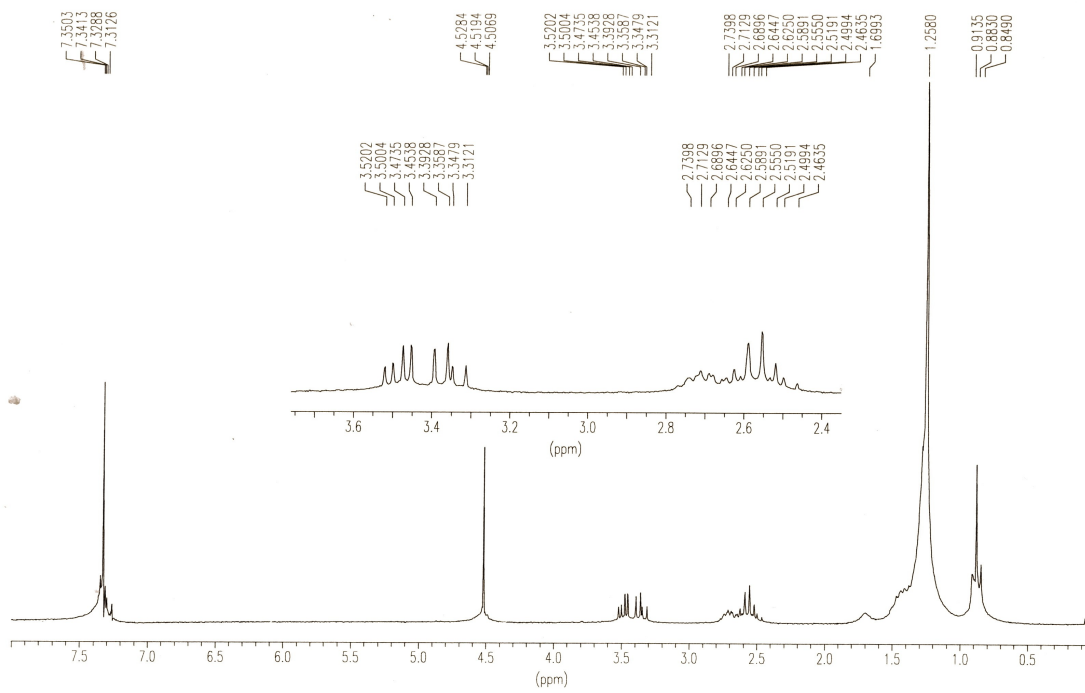


Figura X.41. Espectros de RMN ^1H y ^{13}C del compuesto **4e₉**.

+TOF MS: 0.984 min from Sample 4 (LuisR45) of oct1408l2.wiff
a=3.56115633629098460e-004, t0=-9.98964964904371300e+000 R;

Max. 2397.0 counts

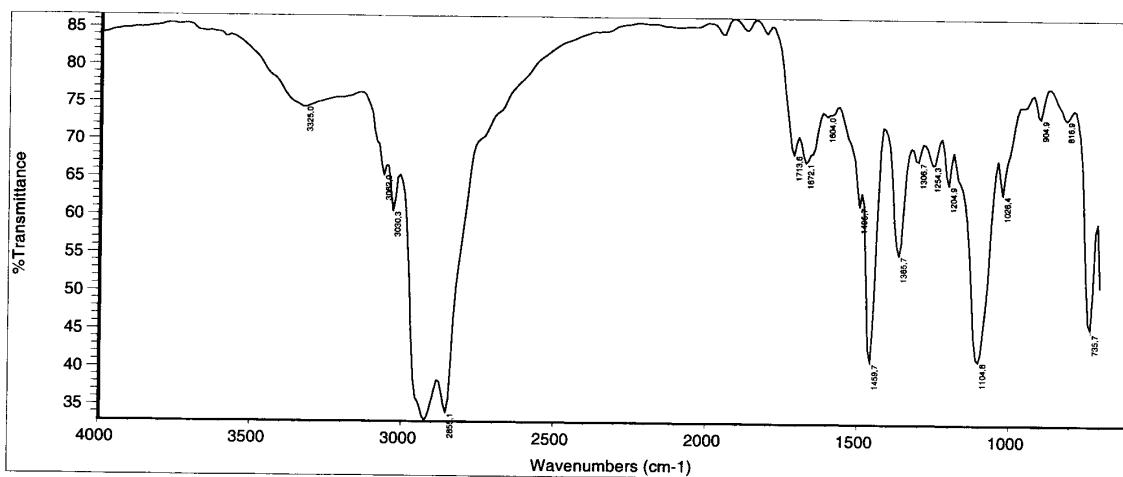
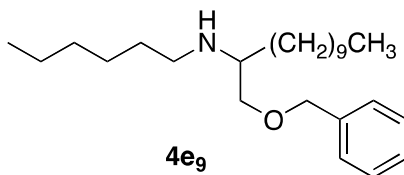
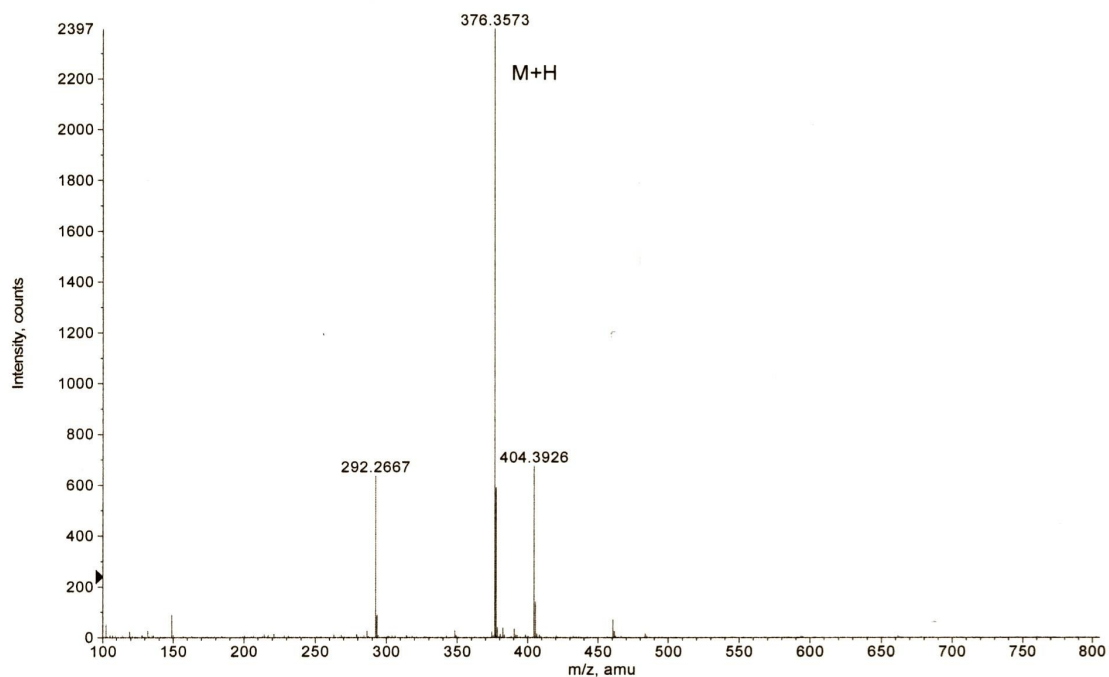


Figura X.42. Espectros de IR y MS del compuesto **4e₉**.

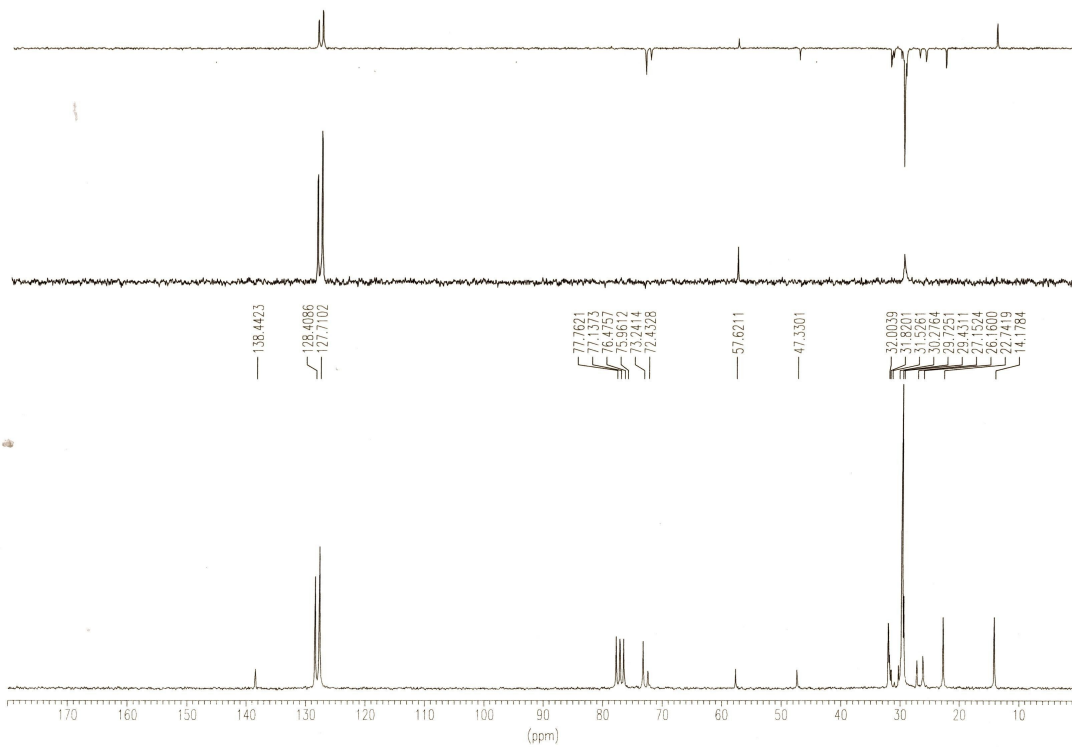
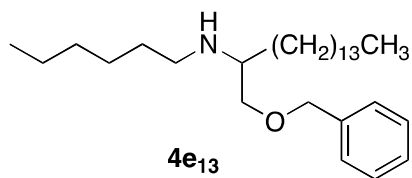
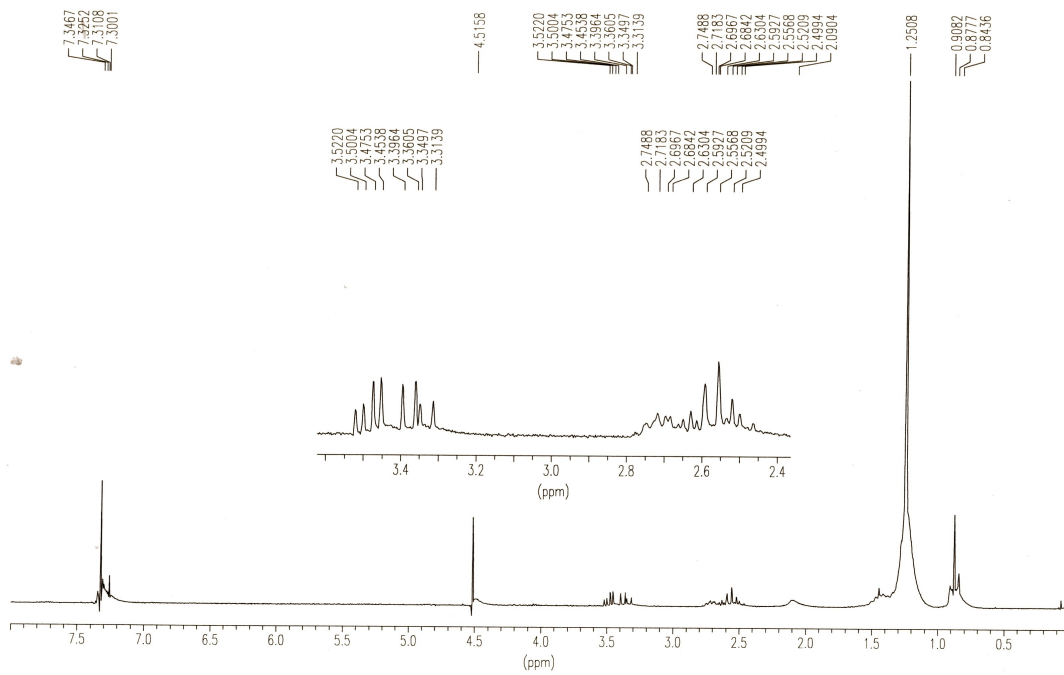


Figura X.43. Espectros de RMN ^1H y ^{13}C del compuesto $4e_{13}$.

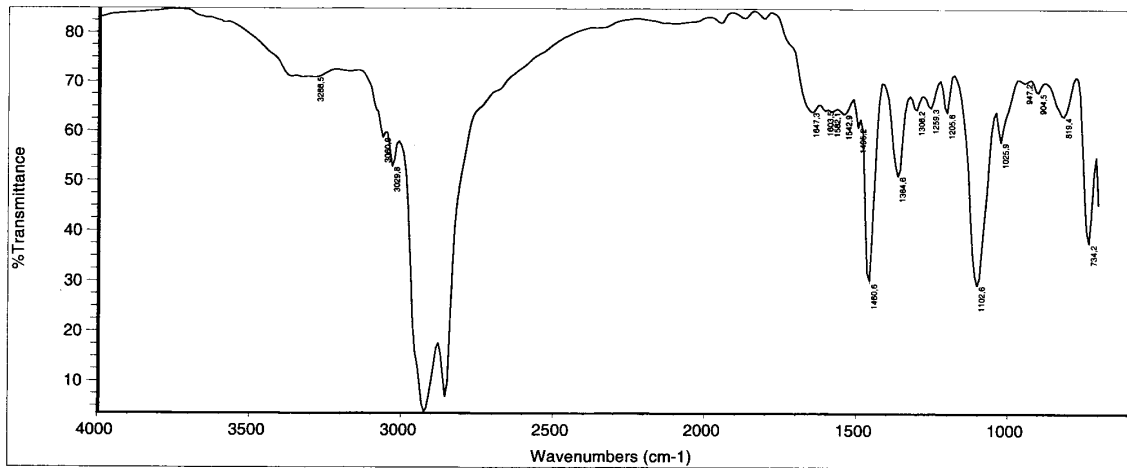
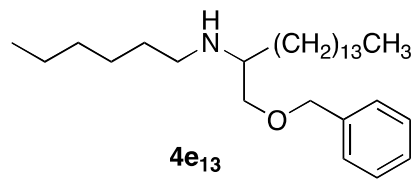
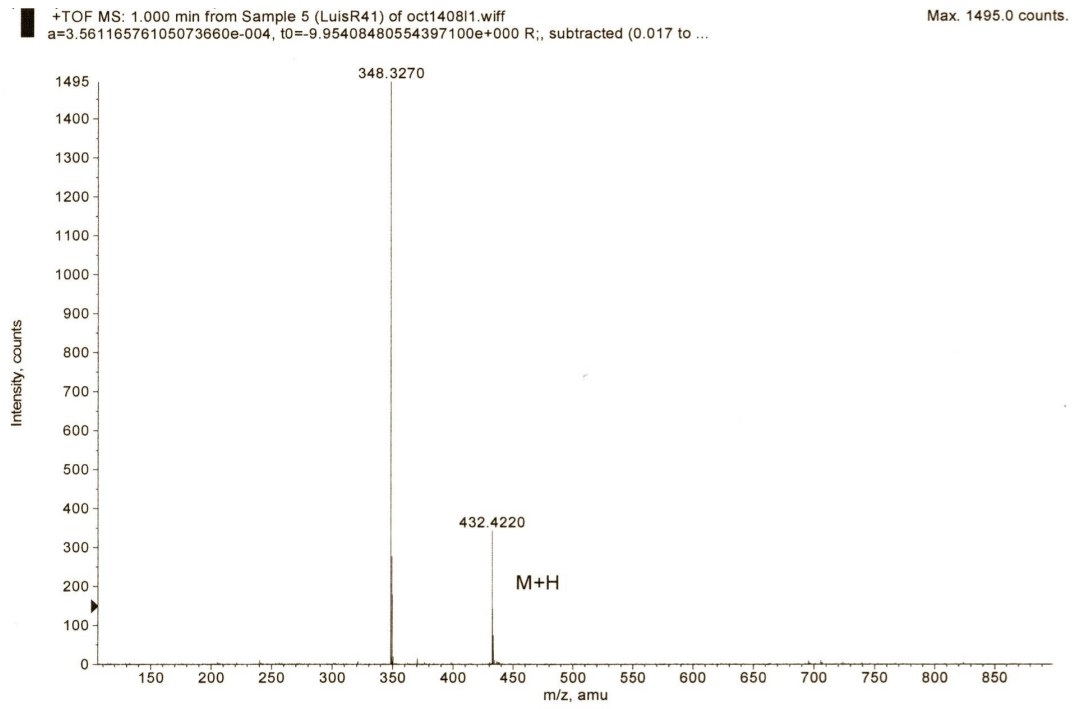


Figura X.44. Espectros de IR y MS del compuesto **4e₁₃**.

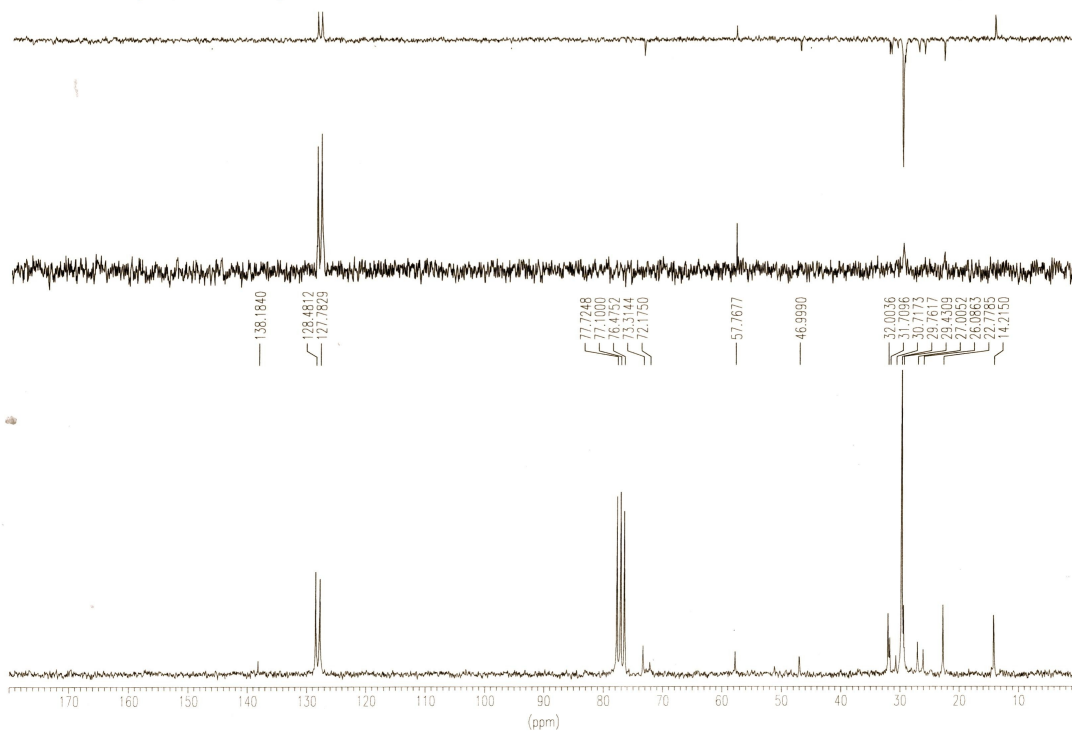
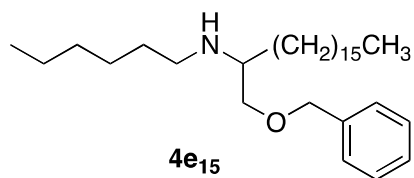
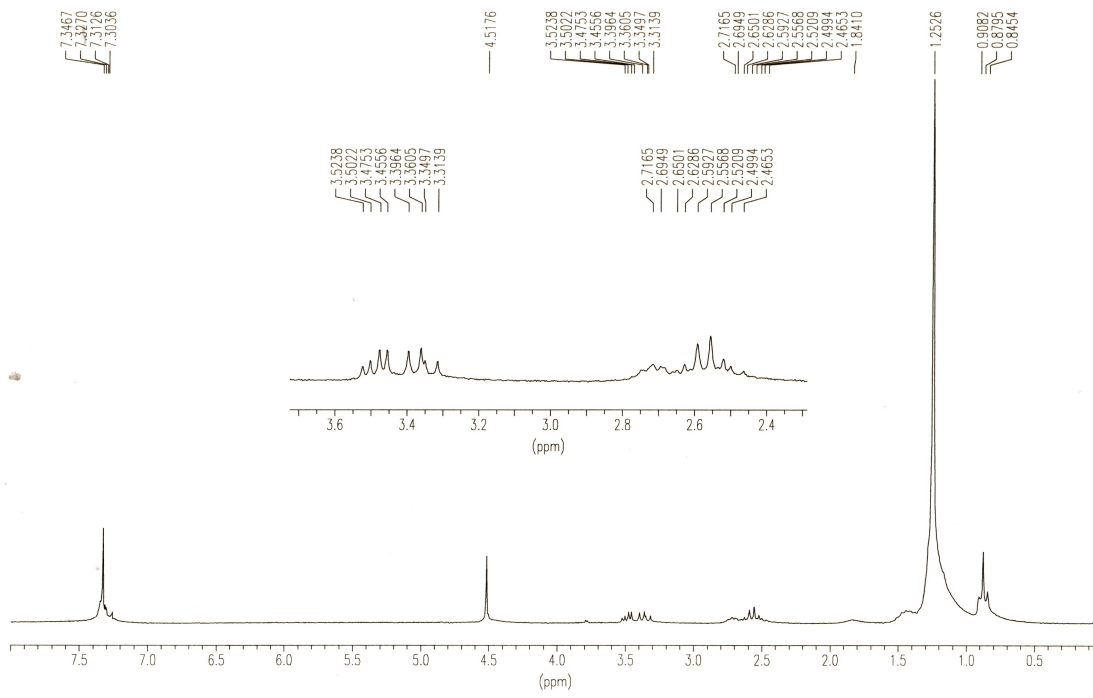


Figura X.45. Espectros de RMN ^1H y ^{13}C del compuesto **4e₁₅**.

TOF MS: 1.000 min from Sample 3 (LuisR49) of oct140813.wiff
a=3.56112244124750320e-004, t0=-1.00976924490423700e+001 R_i, subtracted (0.017 to ...
Max. 1244.0 counts.

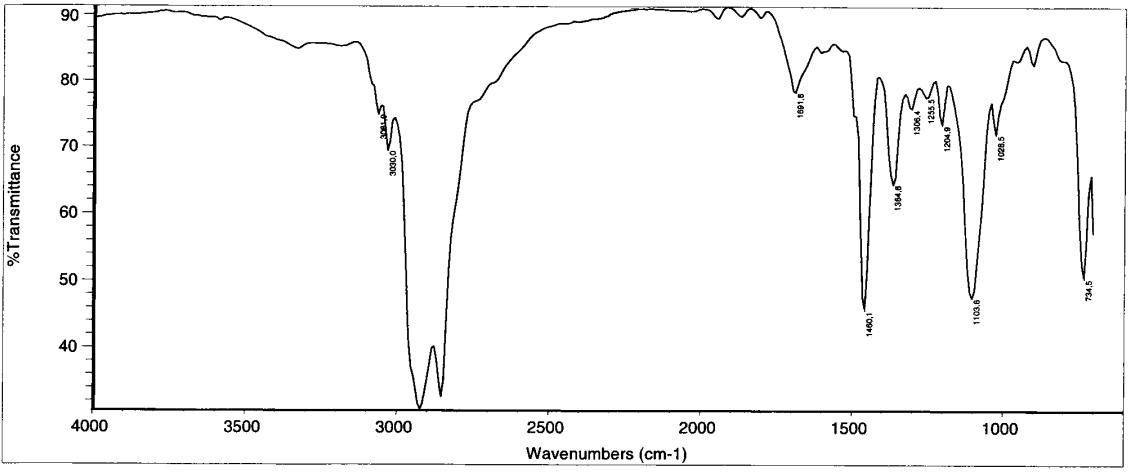
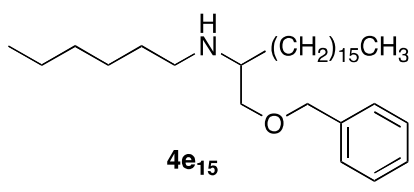
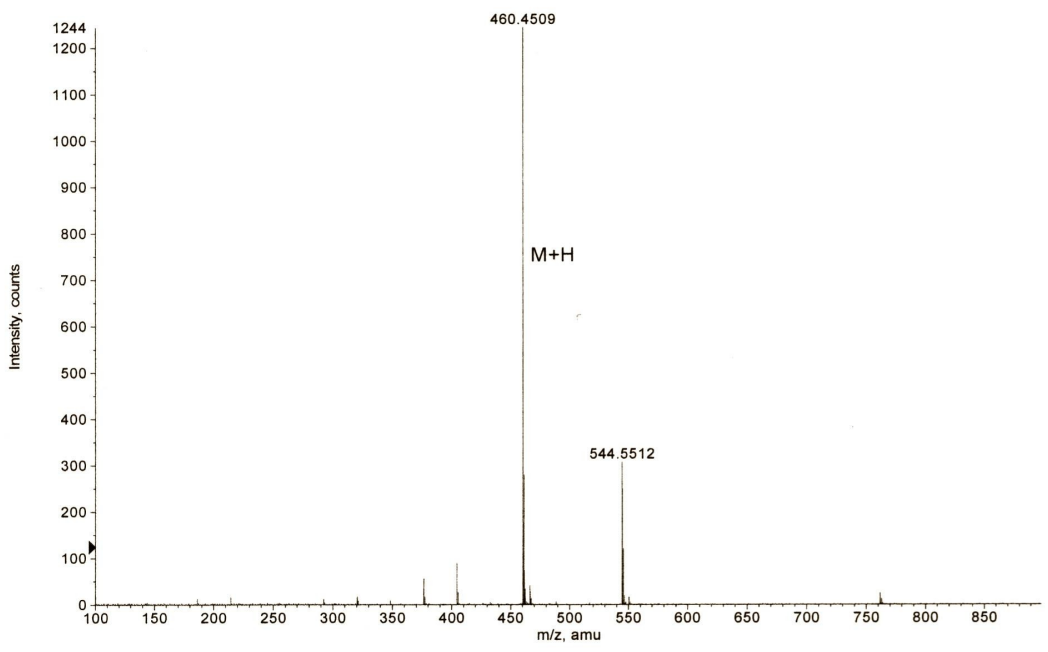


Figura X.46. Espectros de IR y MS del compuesto **4e15**.

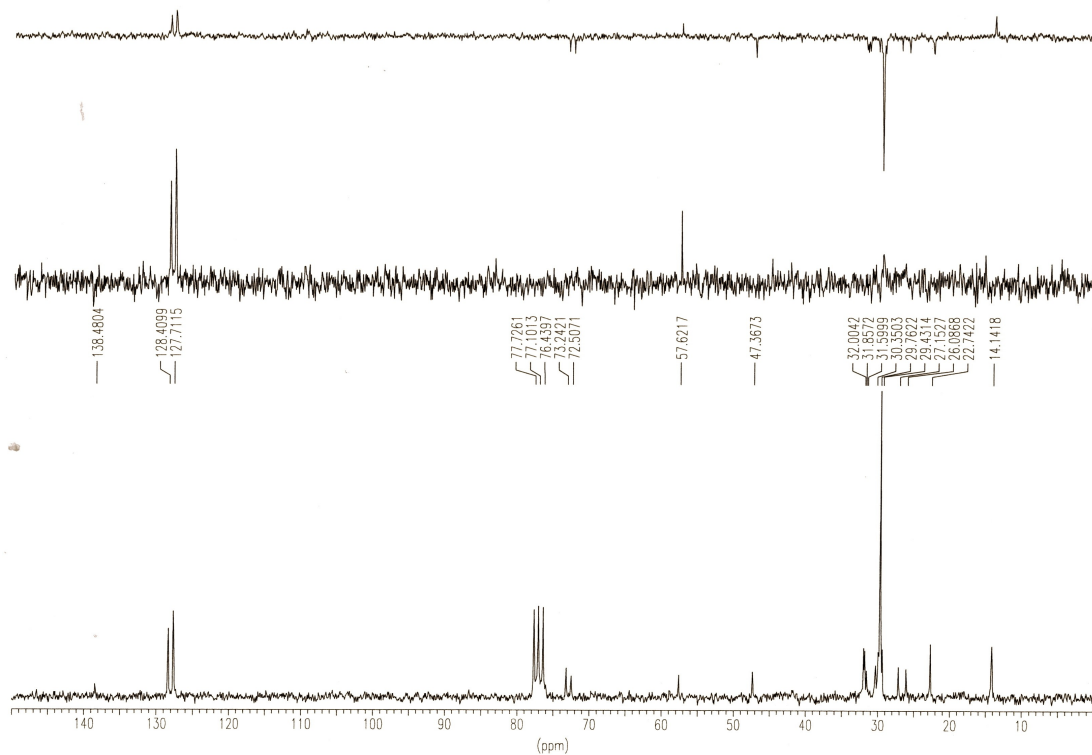
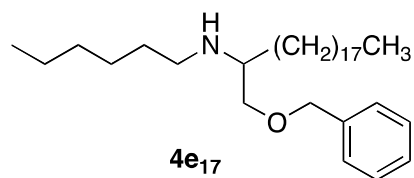
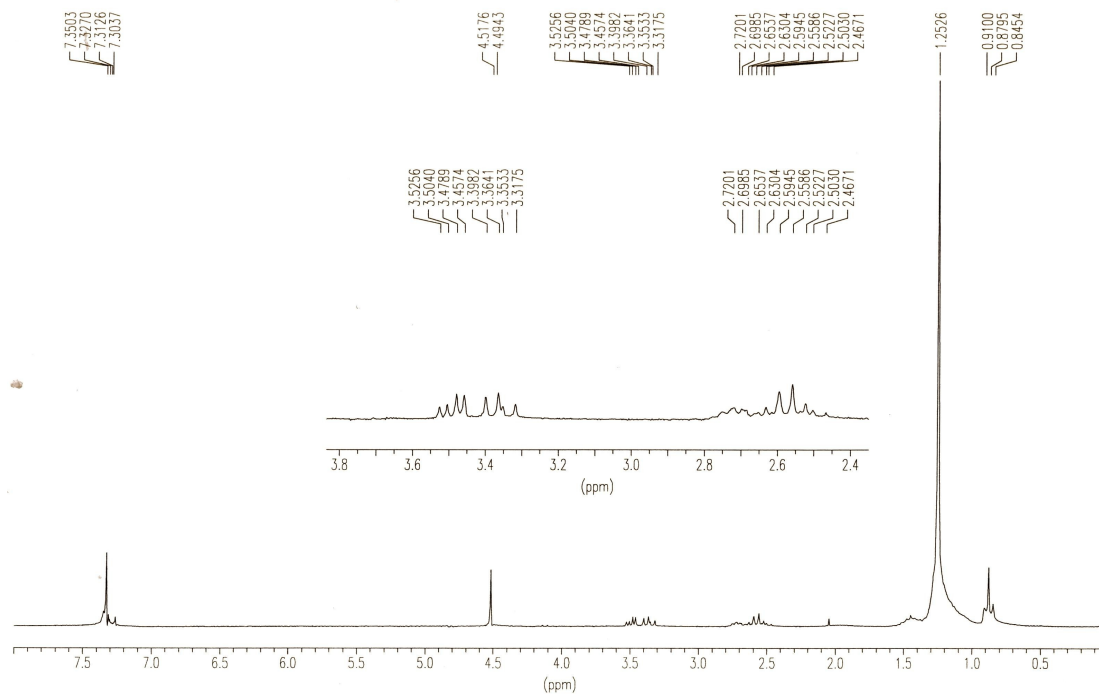


Figura X.47. Espectros de RMN ¹H y ¹³C del compuesto **4e₁₇**.

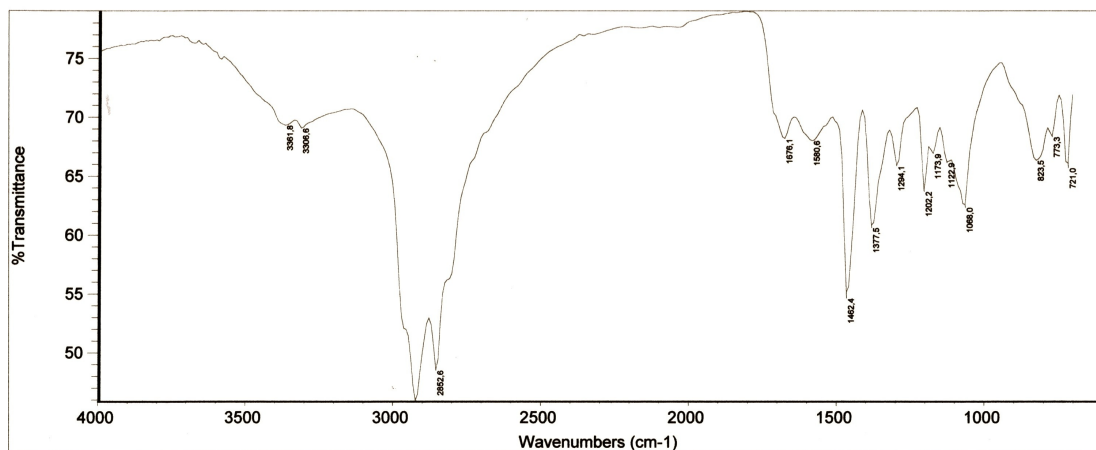
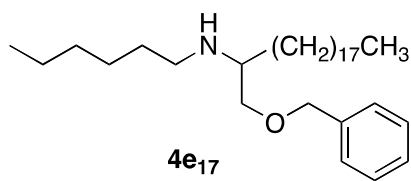
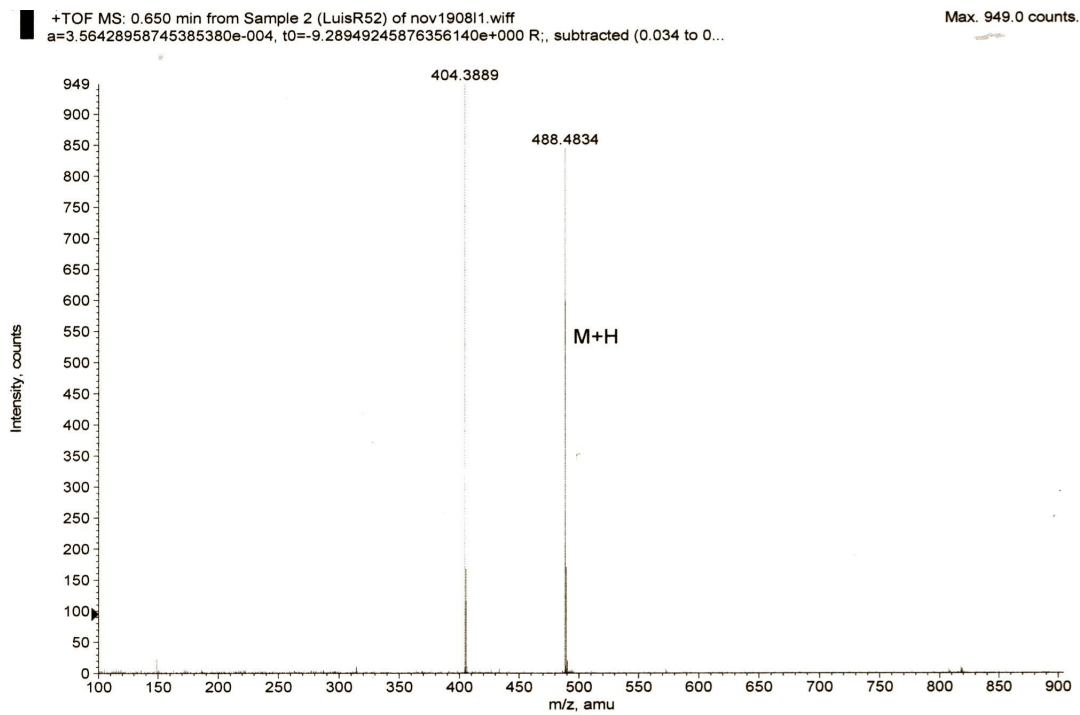
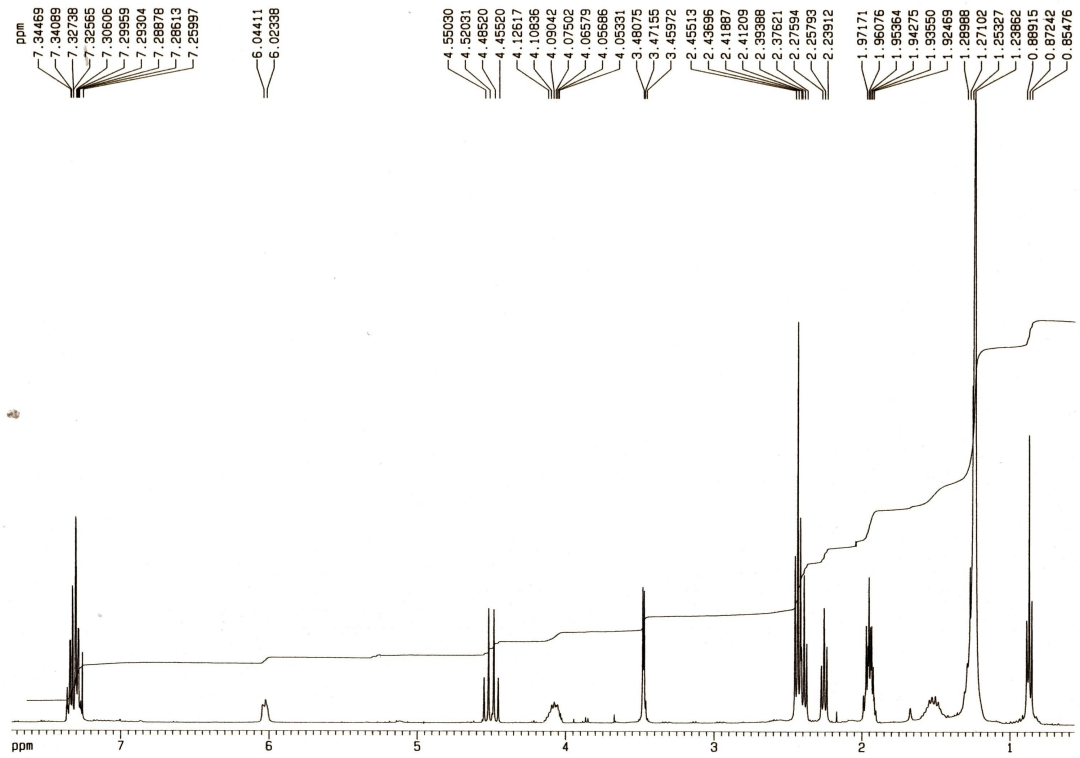


Figura X.48. Espectros de IR y MS del compuesto **4e17**.



4x₉

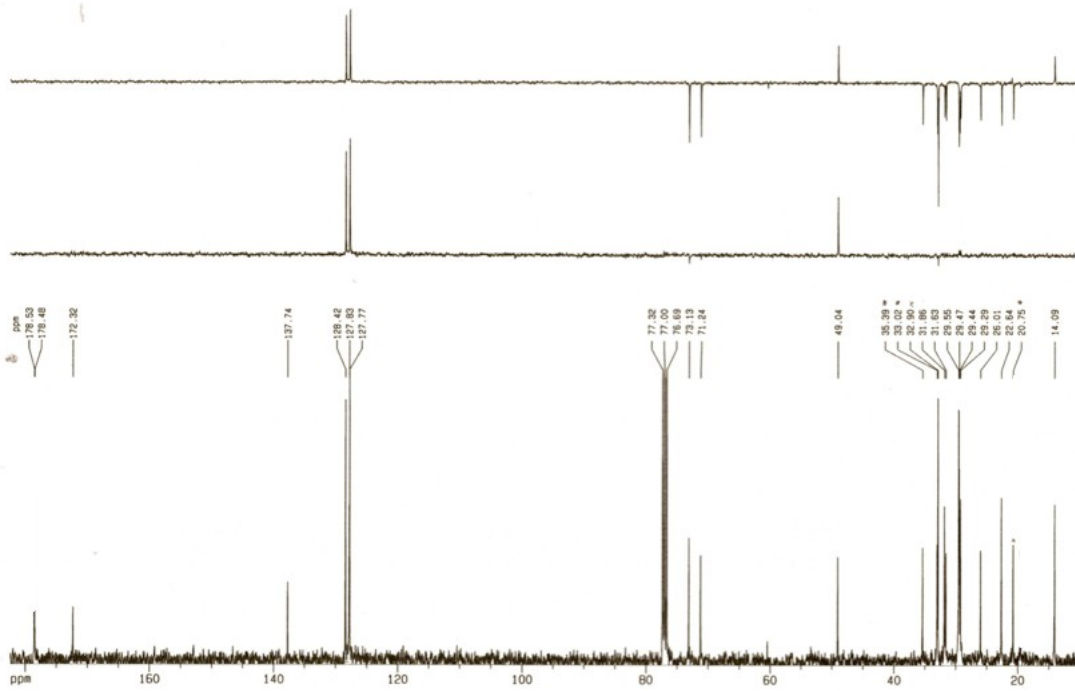
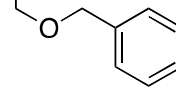


Figura X.49. Espectros de RMN ¹H y ¹³C del compuesto 4x₉.

+TOF MS: 0.301 min from Sample 5 (LuisR70) of may130911.wiff
a=3.56452608367610520e-004, t0=-1.13223335803850200e+001 R; subtracted (0.017 to 0...

Max. 262.0 counts.

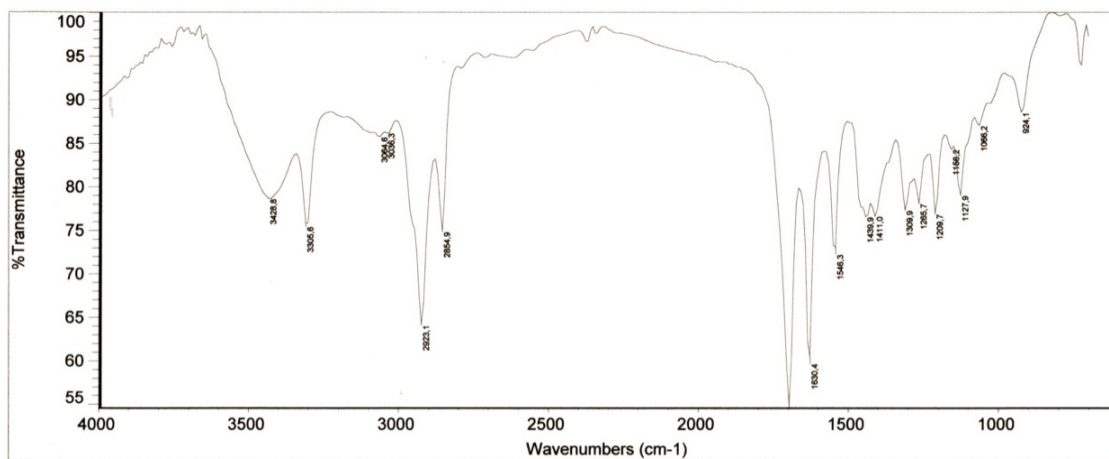
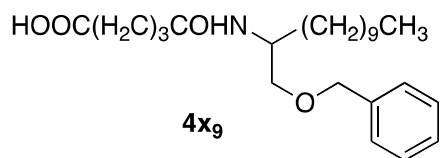
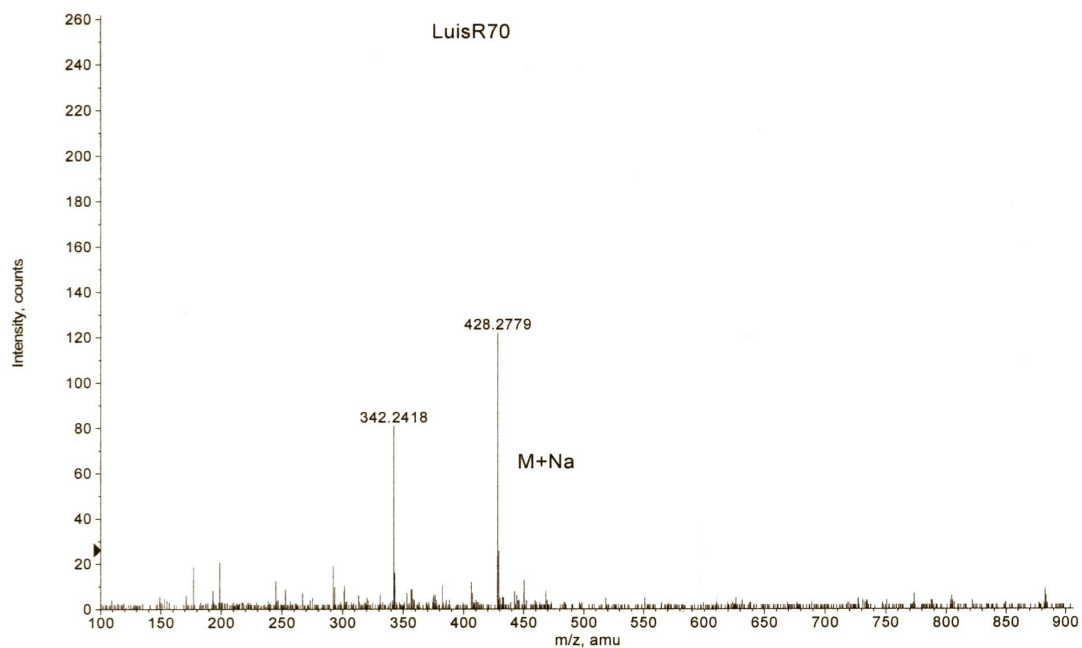
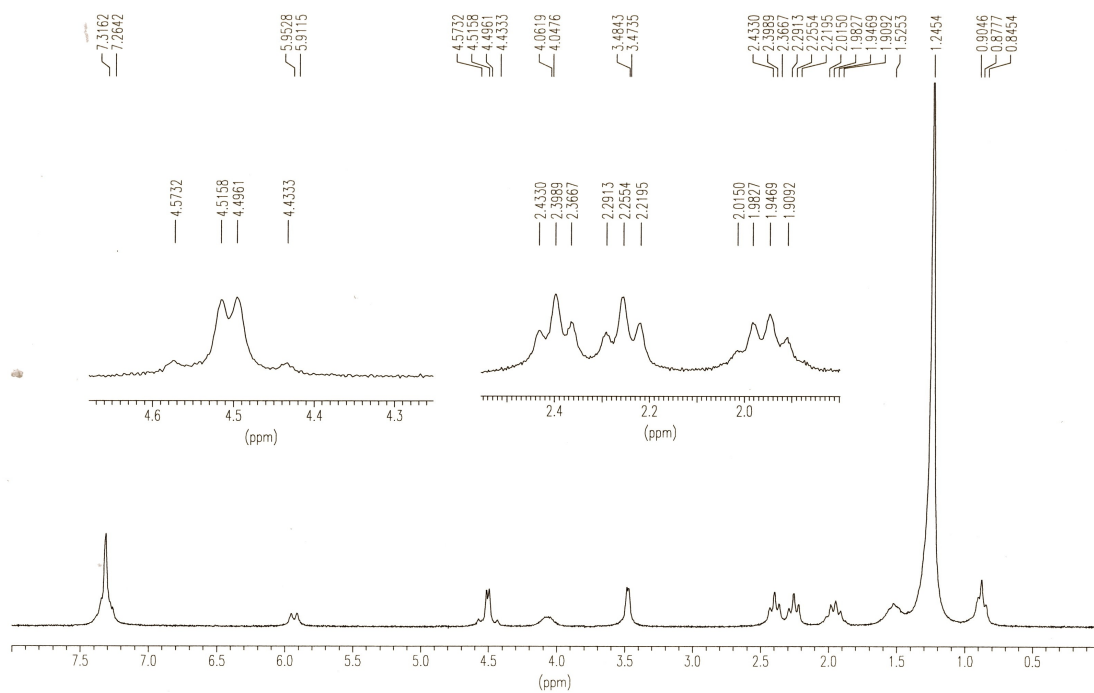


Figura X.50. Espectros de IR y MS del compuesto **4x₉**.



4x13

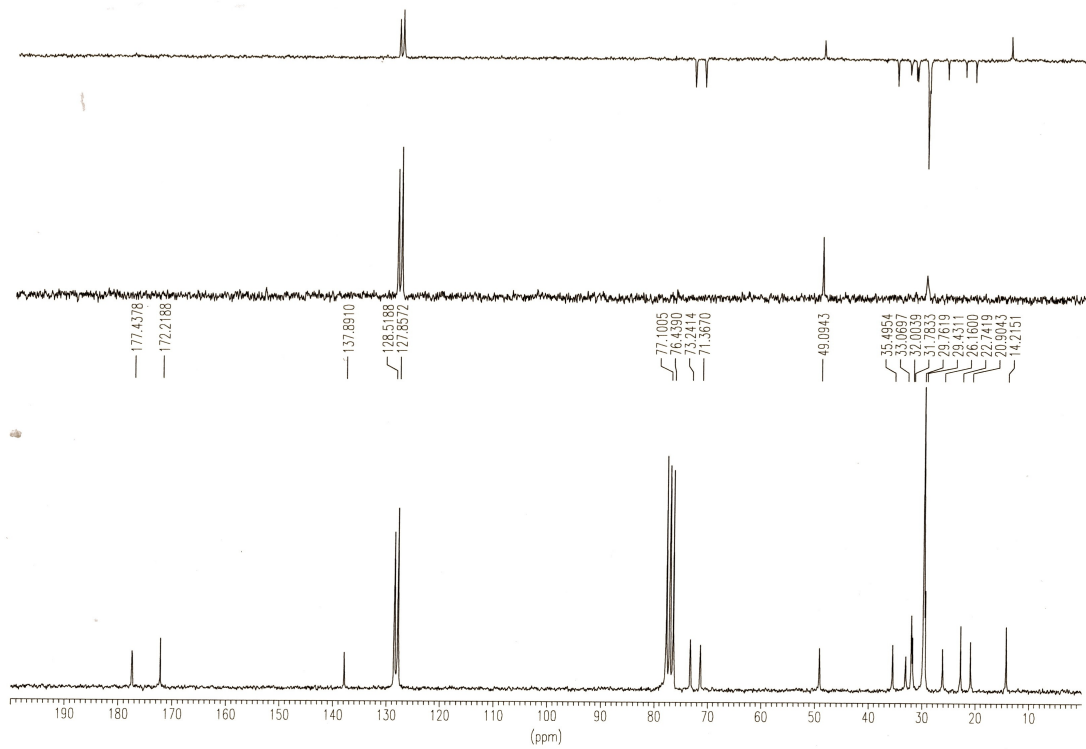
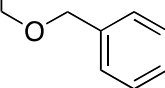


Figura X.51. Espectros de RMN ^1H y ^{13}C del compuesto 4x13.

TOF MS: 0.250 min from Sample 4 (LuisR61) of abr020912.wiff
a=3.56469745679635270e-004, t0=-1.12100976356996400e+001 R_i, subtracted (0.017 to 0...

Max. 114.0 counts.

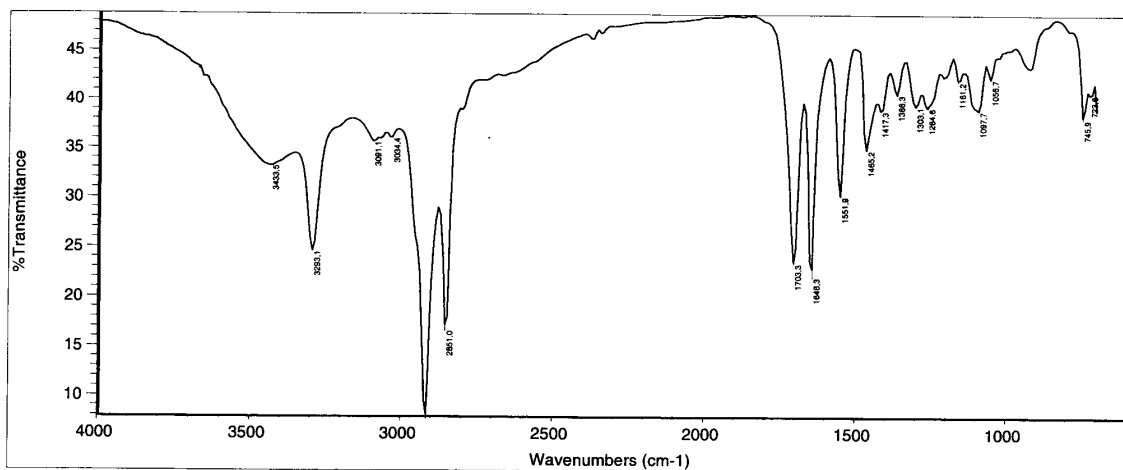
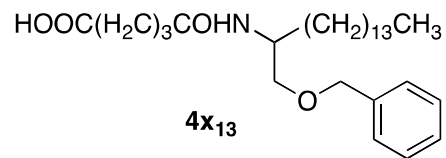
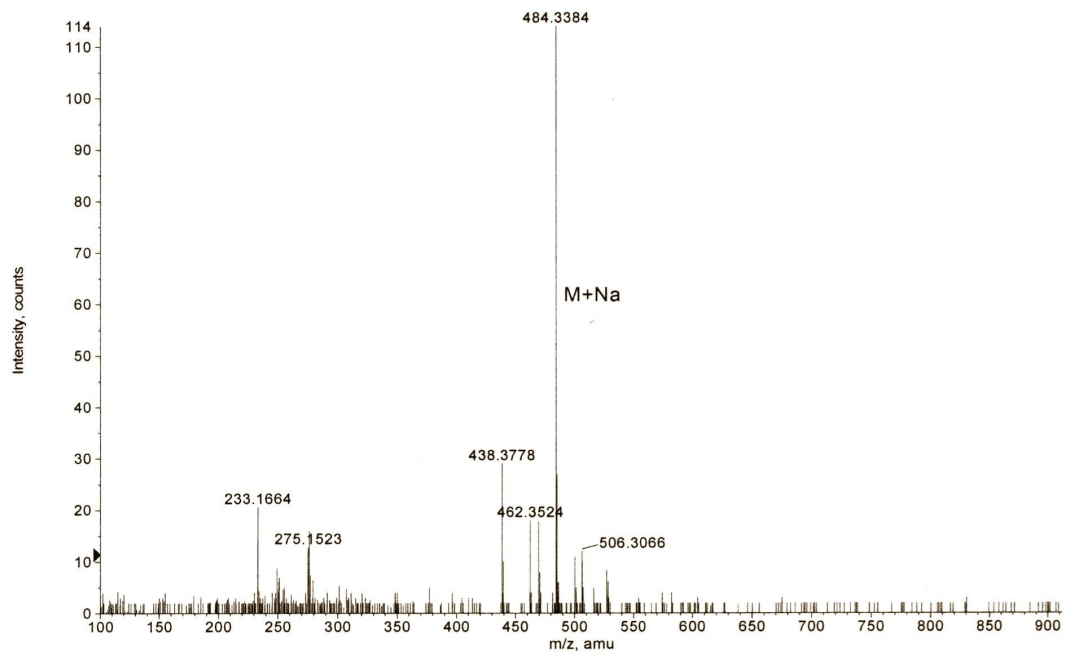


Figura X.52. Espectros de IR y MS del compuesto **4x₁₃**.

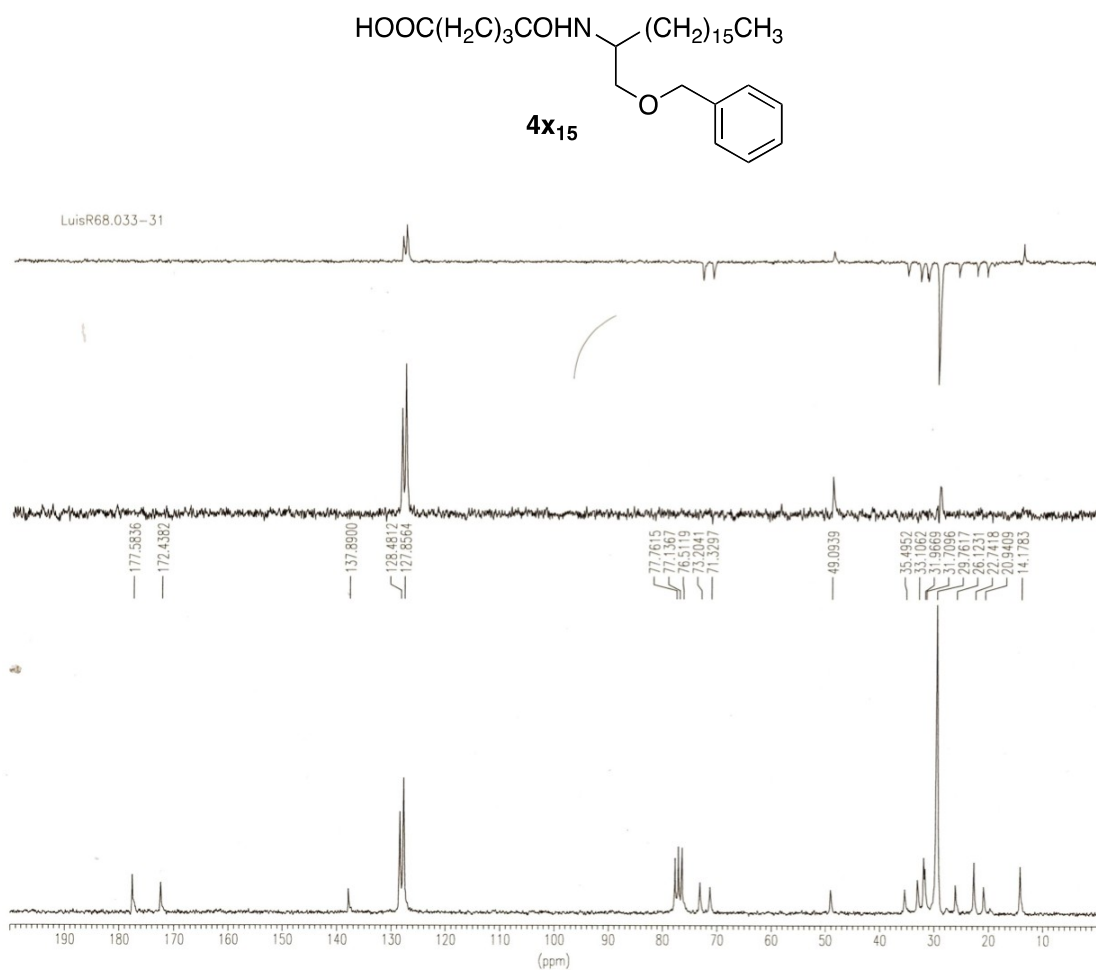
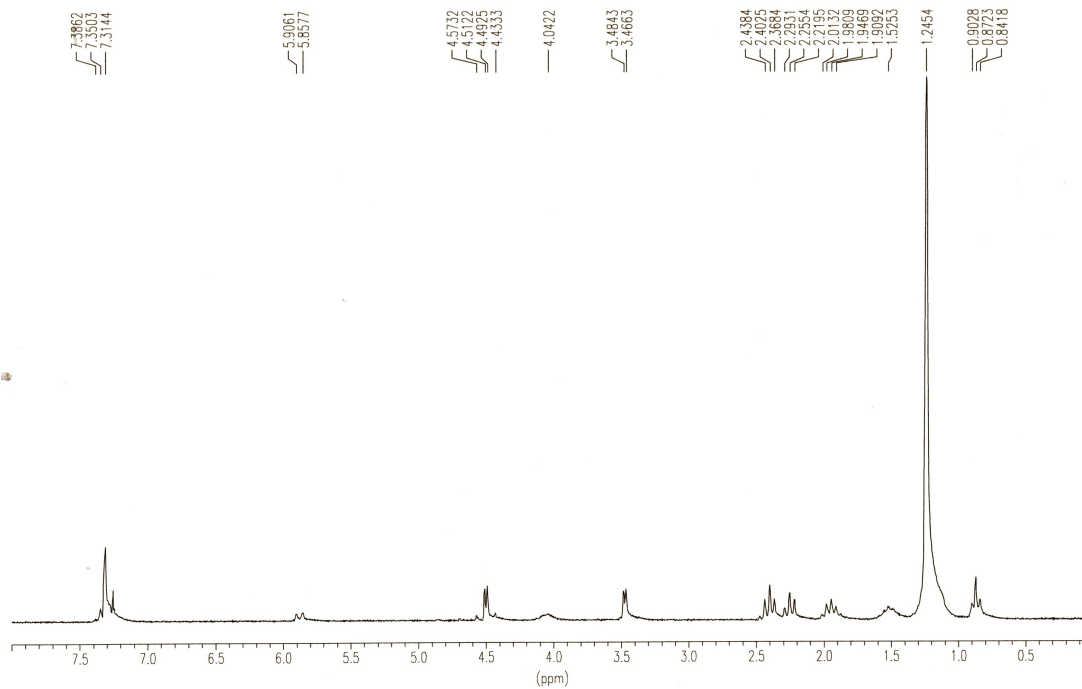


Figura X.53. Espectros de RMN ^1H y ^{13}C del compuesto **4x15**.

+TOF MS: 0.234 min from Sample 5 (LuisR68) of abr3009i2.wiff
a=3.56451827862303320e-004, t0=-1.06669910696073200e+001 R.; subtracted (0.017 to 0...

Max. 801.0 counts.

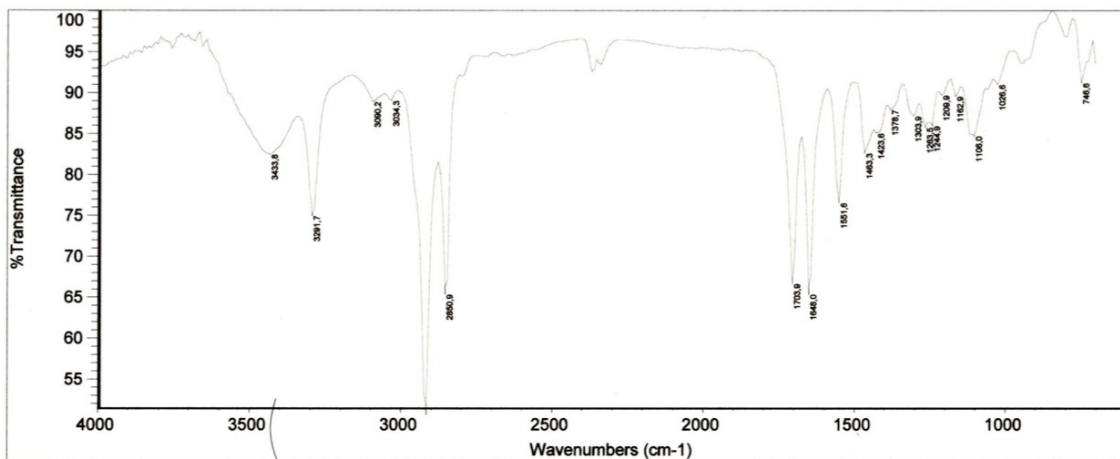
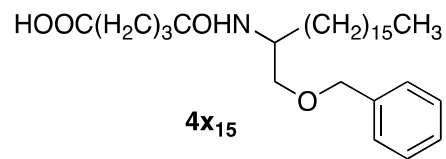
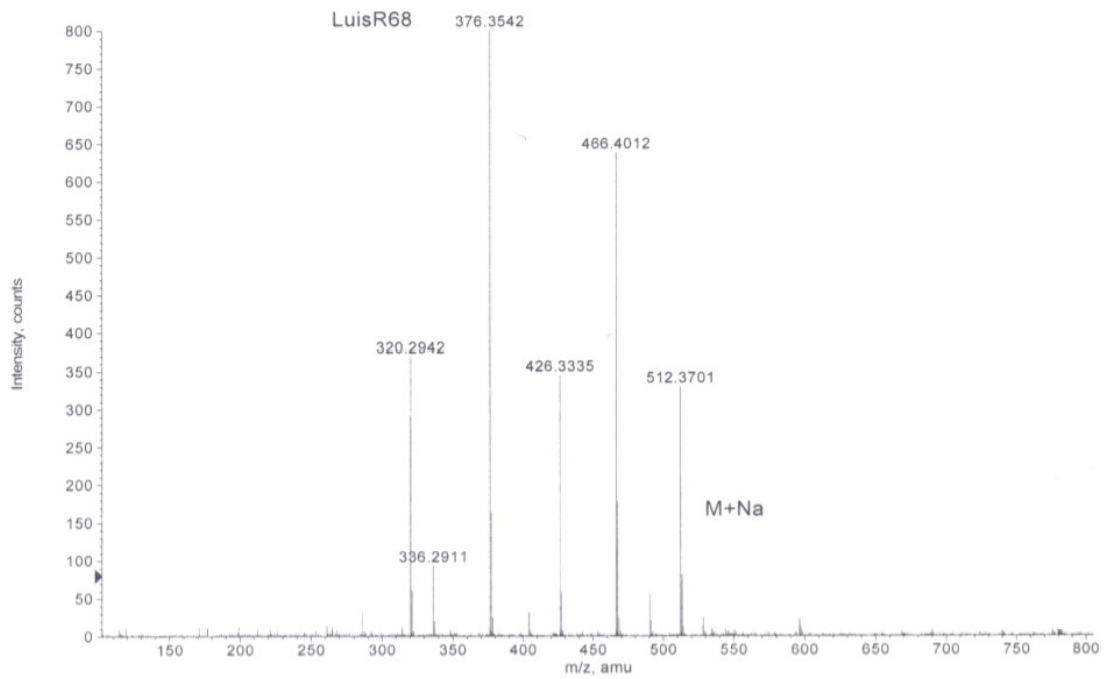


Figura X.54. Espectros de IR y MS del compuesto **4x₁₅**.

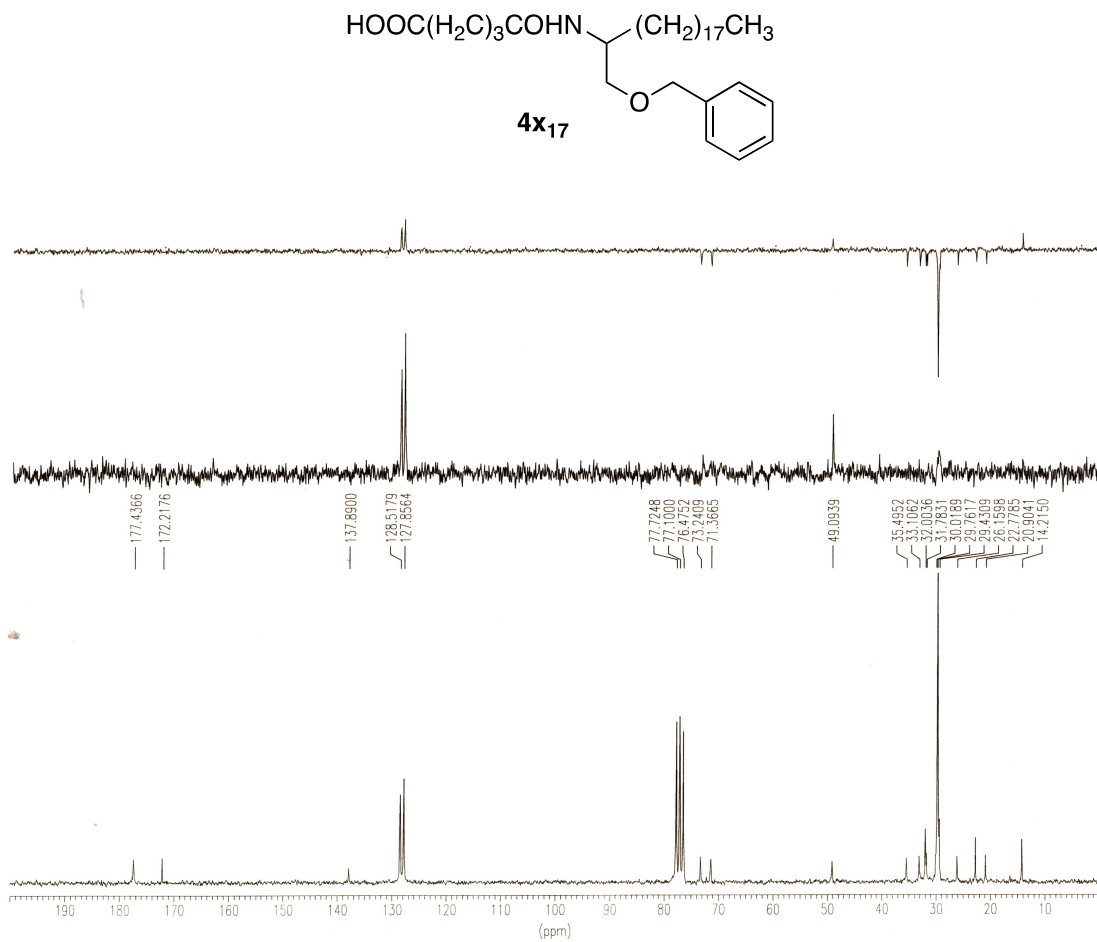
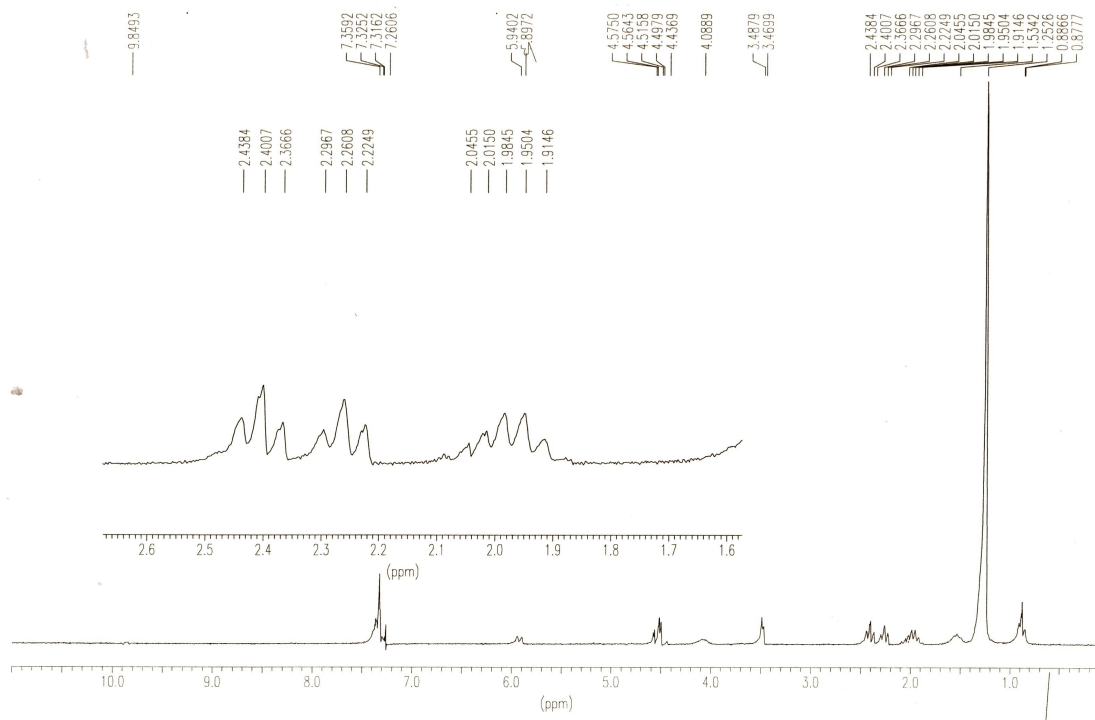


Figura X.55. Espectros de RMN ¹H y ¹³C del compuesto **4x₁₇**.

TOF MS: 0.234 min from Sample 3 (LuisR51) of abr020912.wiff
 a=3.56469745679635270e-004, t0=-1.12100976356996400e+001 R_i, subtracted (0.034 to 0... Max. 337.0 counts.

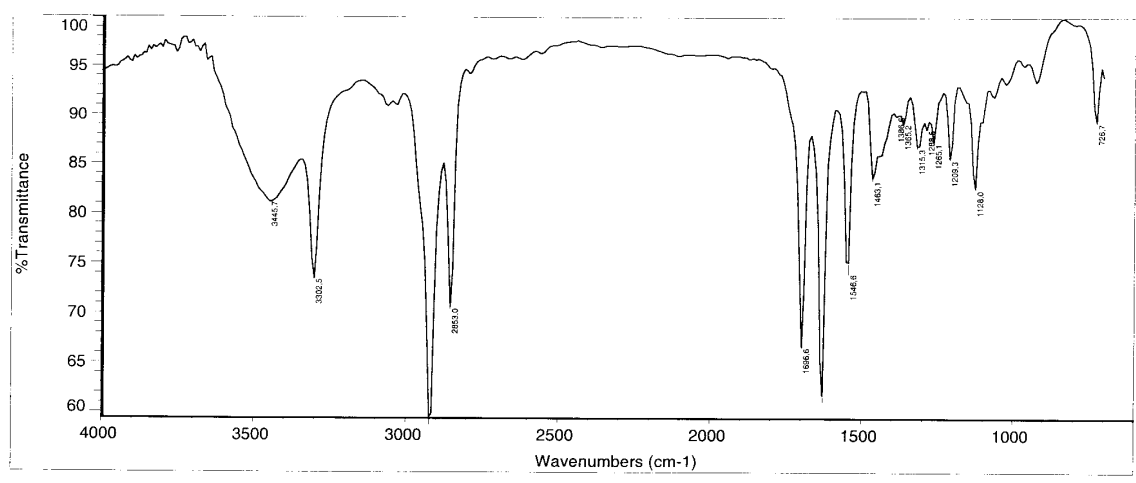
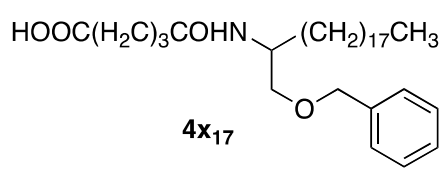
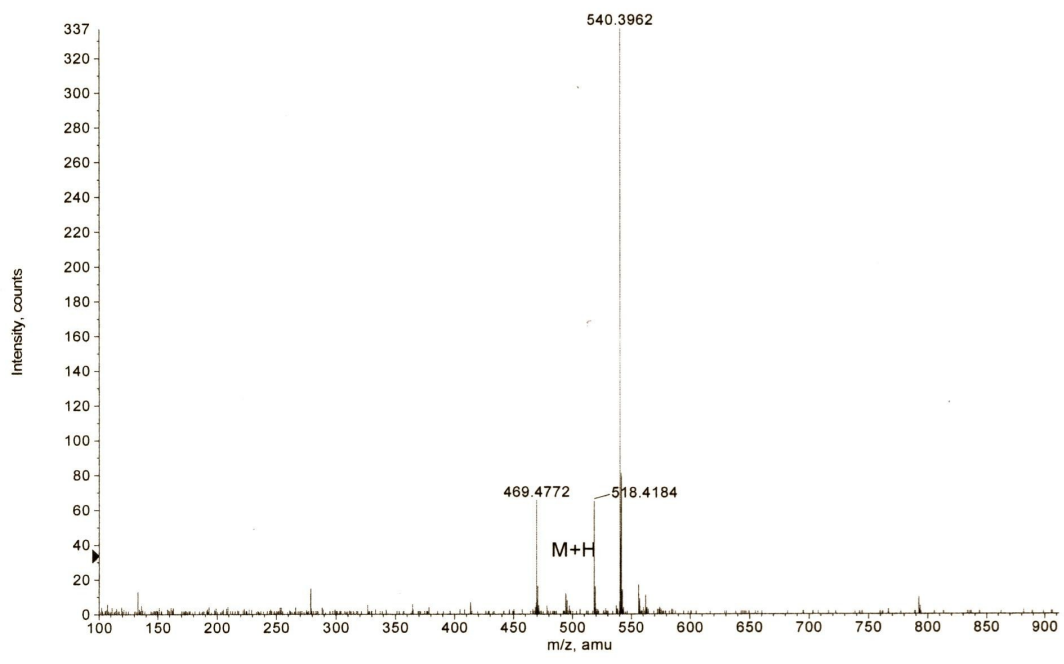
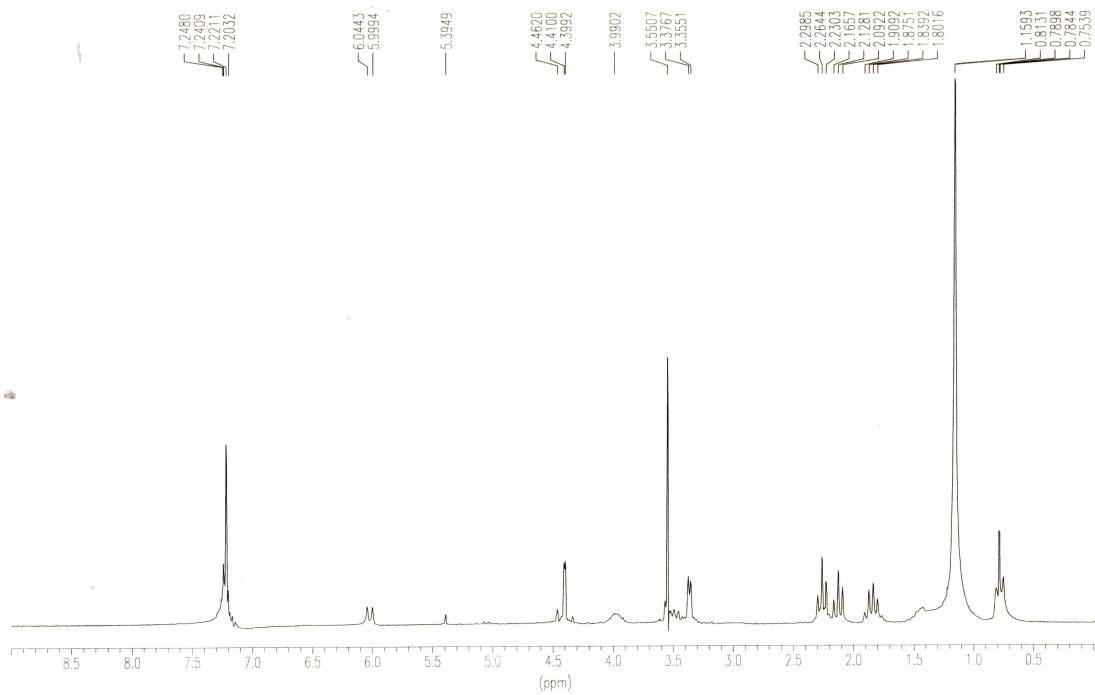


Figura X.56. Espectros de IR y MS del compuesto **4x₁₇**.



4y₉

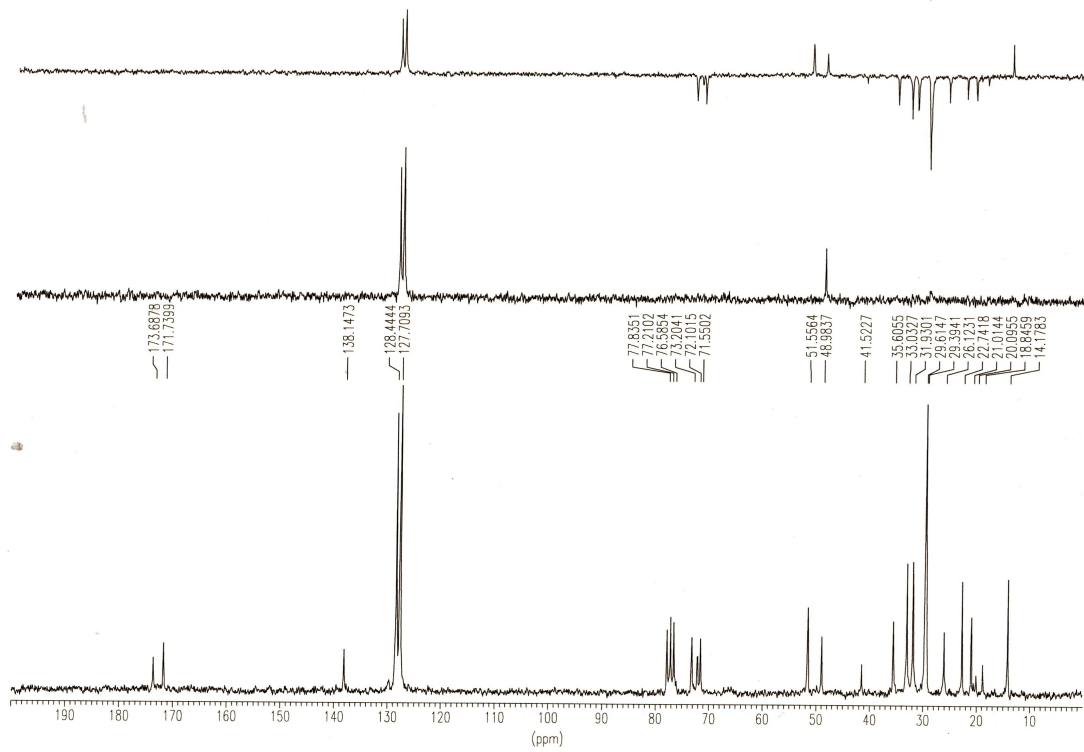


Figura X.57. Espectros de RMN ¹H y ¹³C del compuesto 4y₉.

+TOF MS: 0.317 min from Sample 4 (LuisR44) of feb110915.wiff
a=3.56440320299146060e-004, t0=-1.01632963637566720e+001 R_i, subtracted (0.017 to 0...

Max. 287.2 counts.

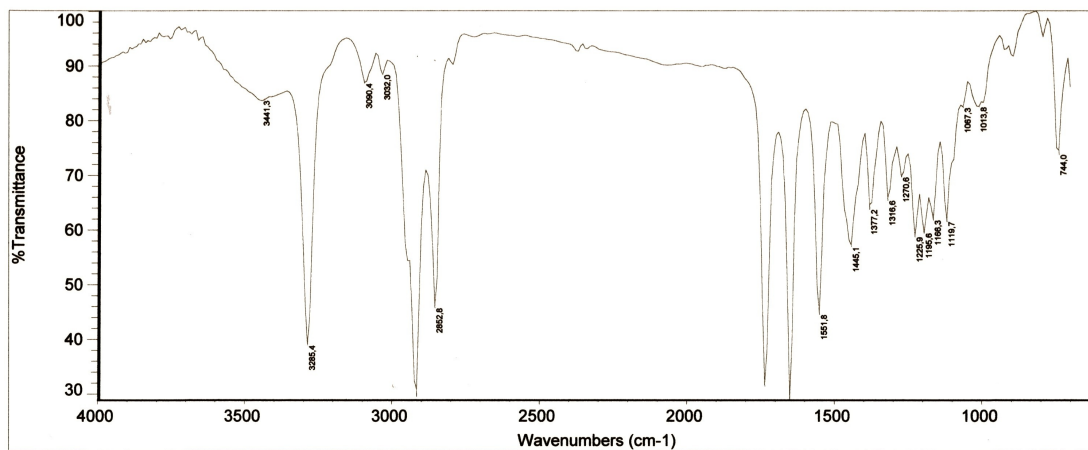
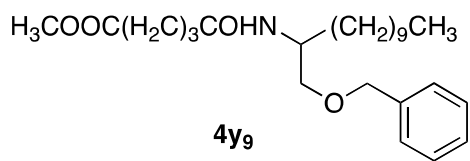
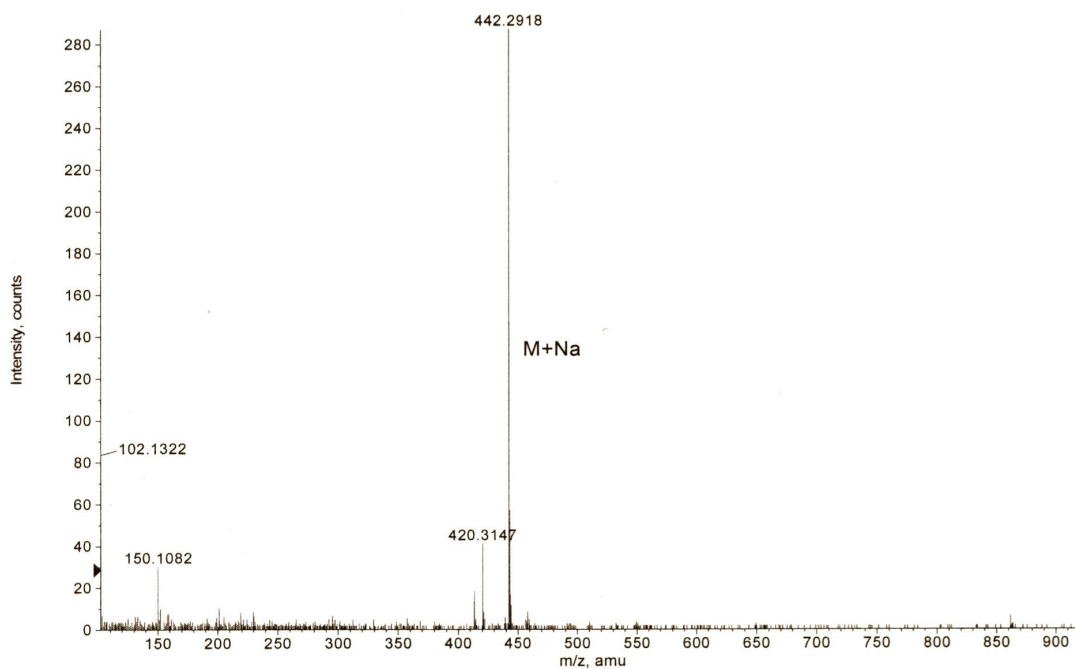


Figura X.58. Espectros de IR y MS del compuesto 4y₉.

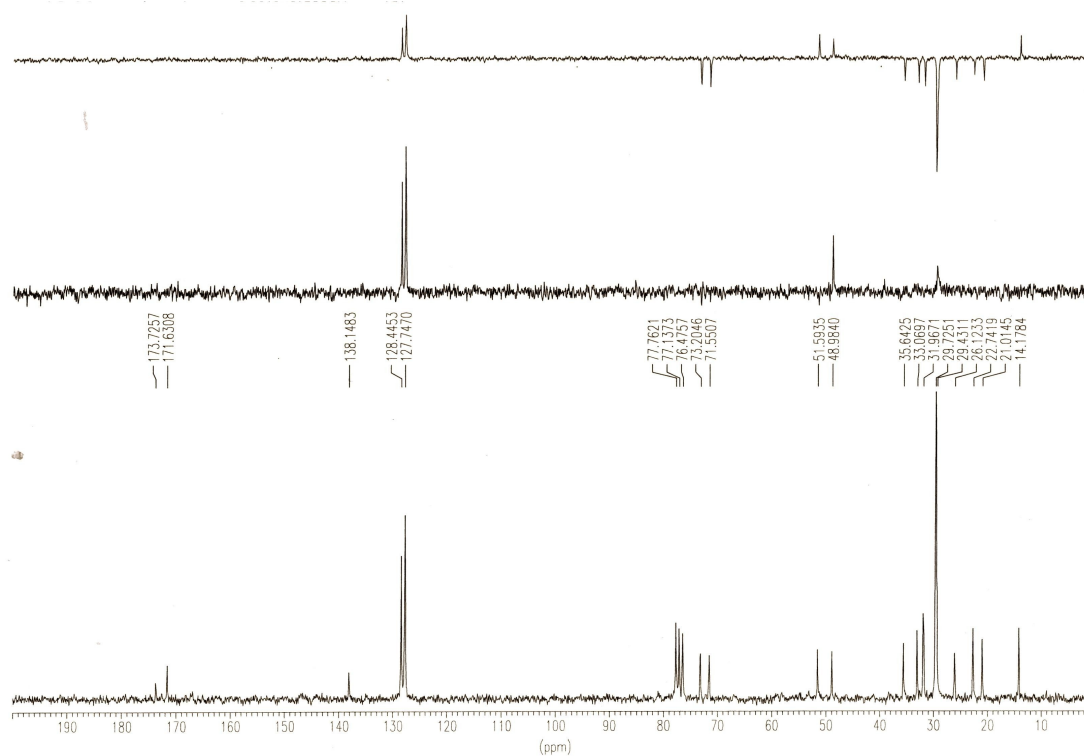
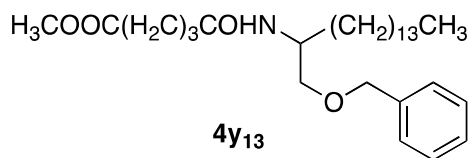
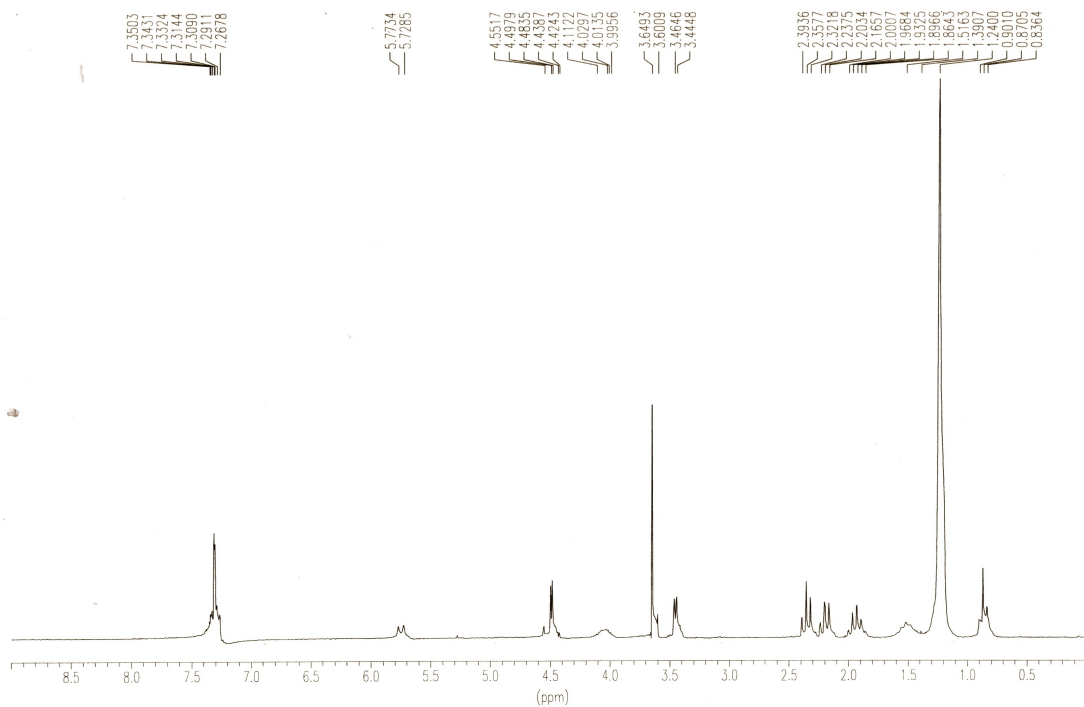


Figura X.59. Espectros de RMN ^1H y ^{13}C del compuesto $4y_{13}$.

+TOF MS: 0.301 min from Sample 4 (LuisR40) of oct14081.wiff
a=3.56116576105073660e-004, t0=-9.95408480554397100e+000 R_i, subtracted (0.017 to 0... Max. 642.3 counts.

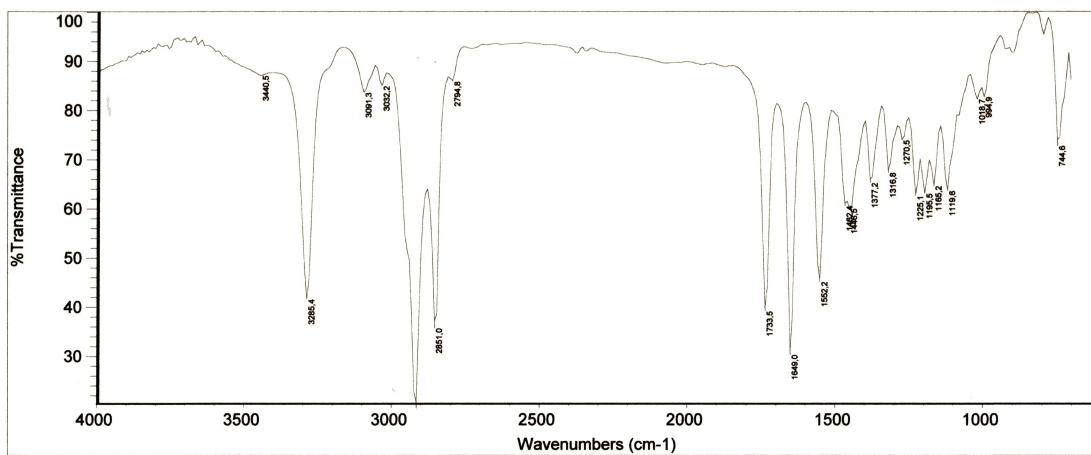
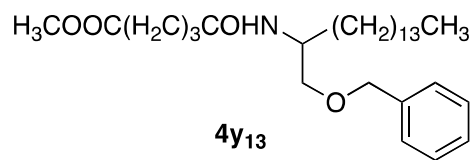
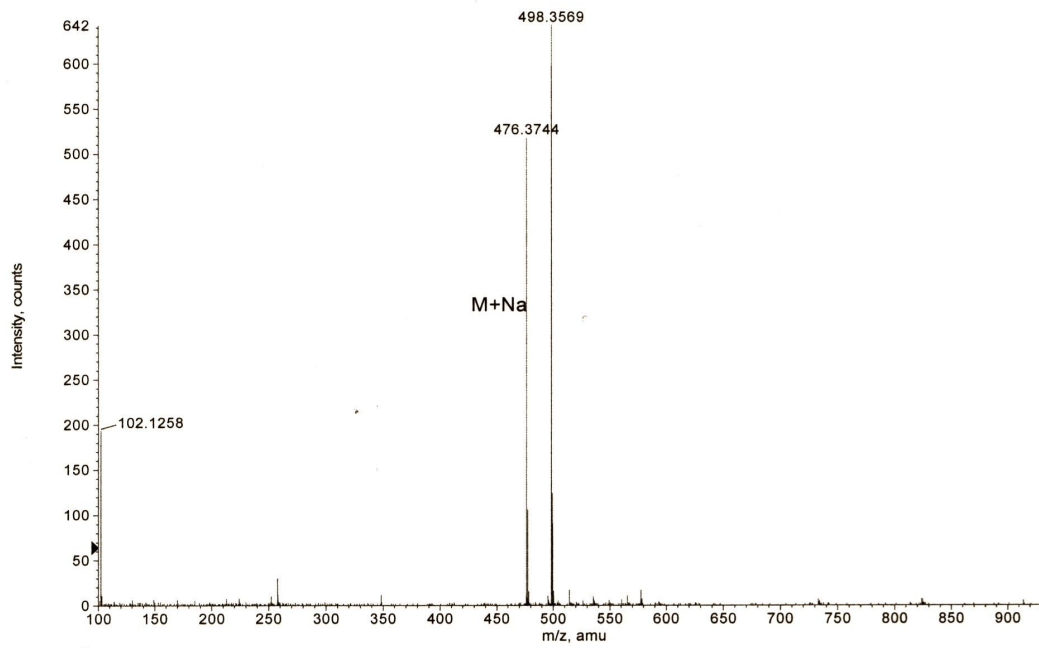


Figura X.60. Espectros de IR y MS del compuesto **4y₁₃**.

+TOF MS: 0.283 min from Sample 2 (LuisR48) of oct140813.wiff
a=3.56112244124750320e-004, t0=-1.00976924490423700e+001 R_i; subtracted (0.033 to ...

Max. 1601.7 counts.

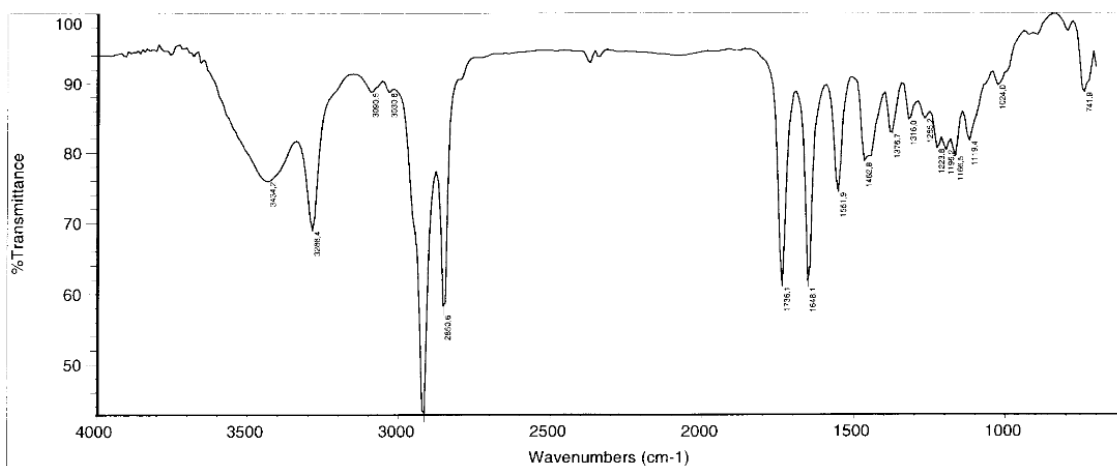
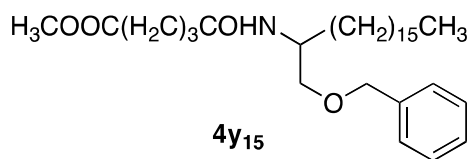
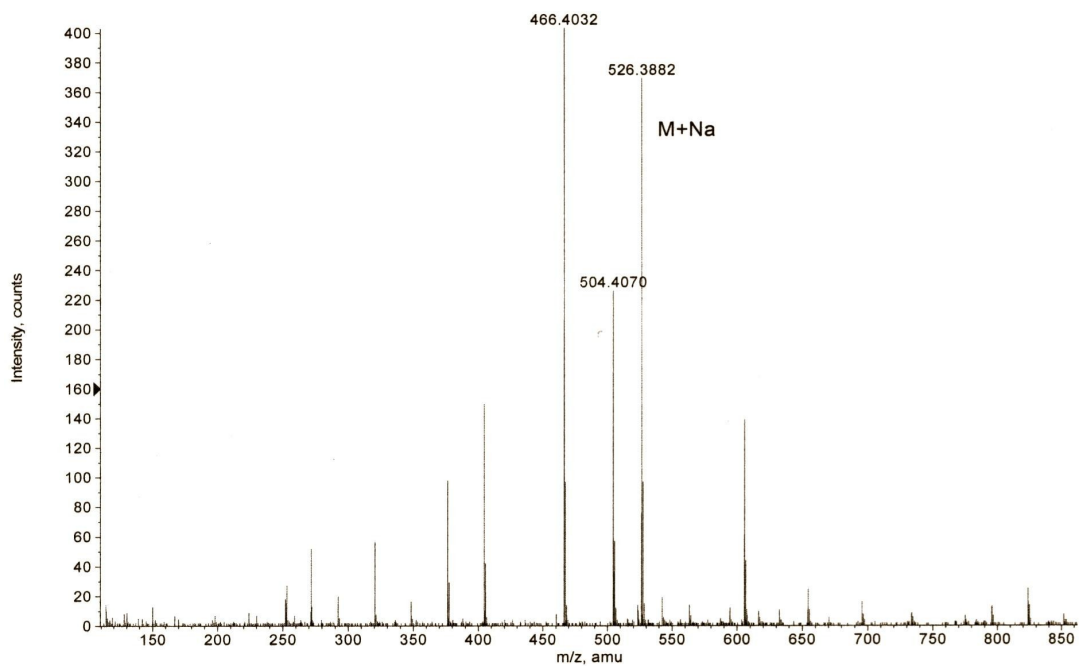


Figura X.62. Espectros de IR y MS del compuesto **4y₁₅**.

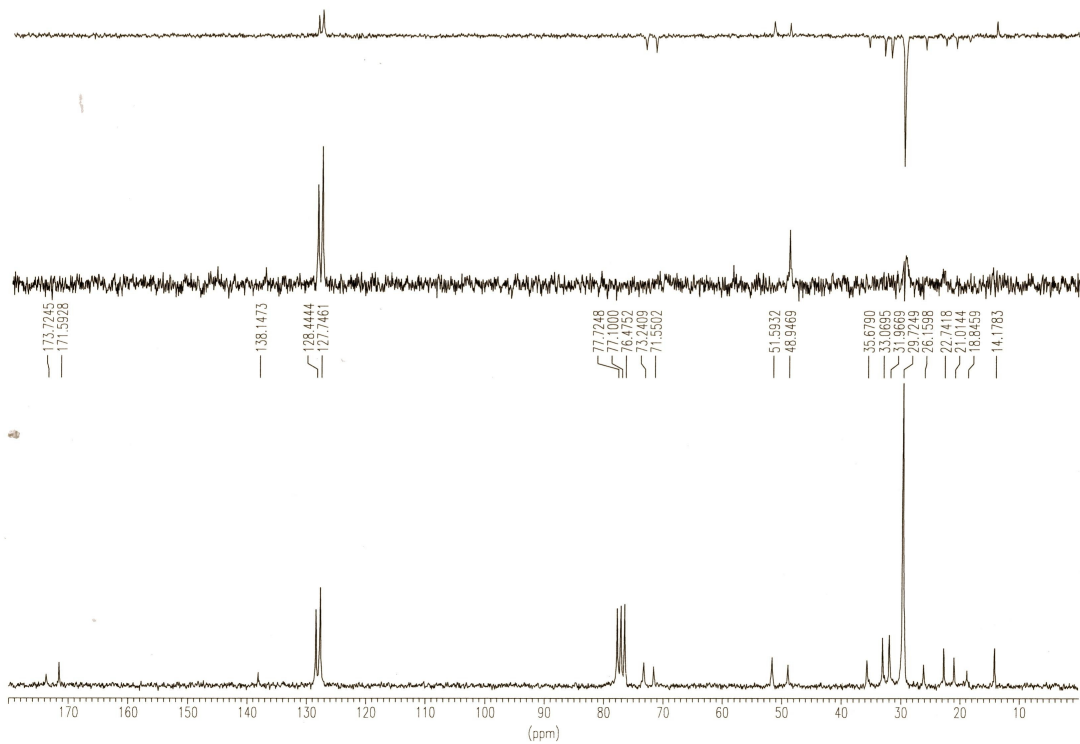
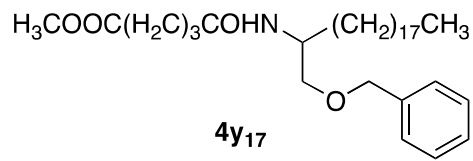
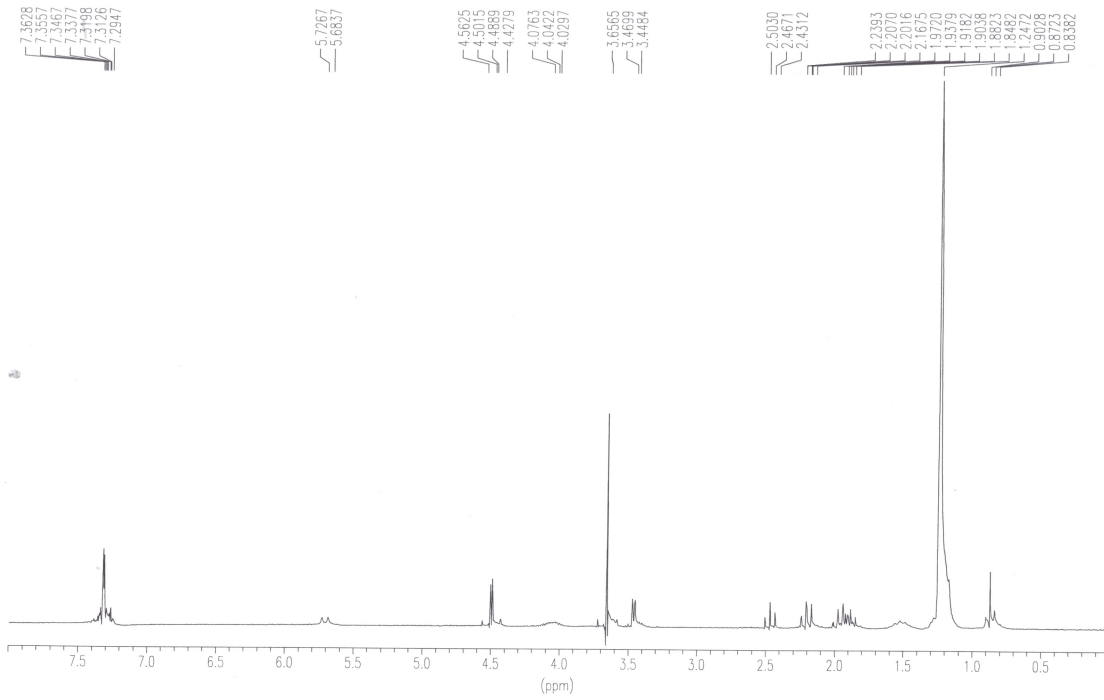


Figura X.63. Espectros de RMN ¹H y ¹³C del compuesto 4y₁₇.

+TOF MS: 0.284 min from Sample 2 (LuisR69) of abr3009l3.wiff
a=3.56452072124311620e-004, t0=-1.06081723419665650e+001 R., subtracted (0.017 to 0...

Max. 833.0 counts.

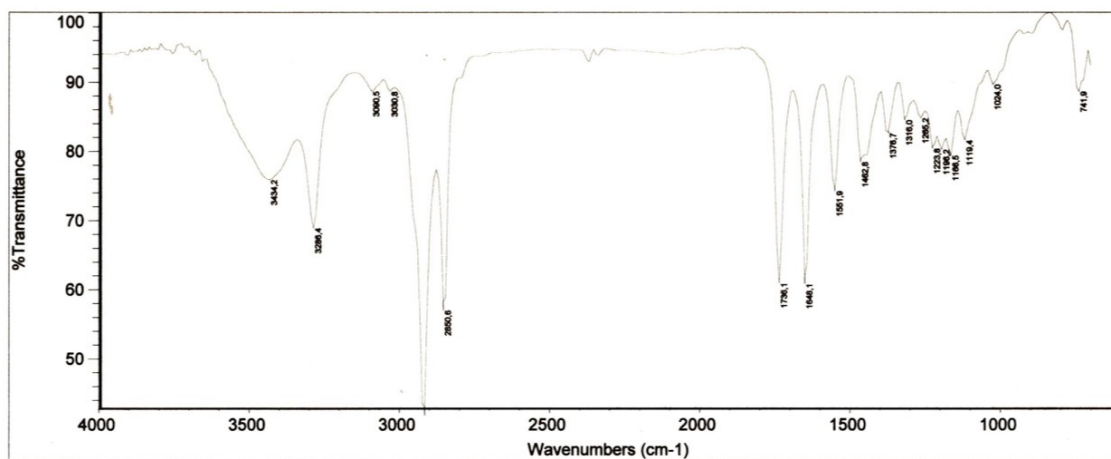
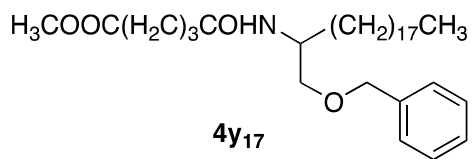
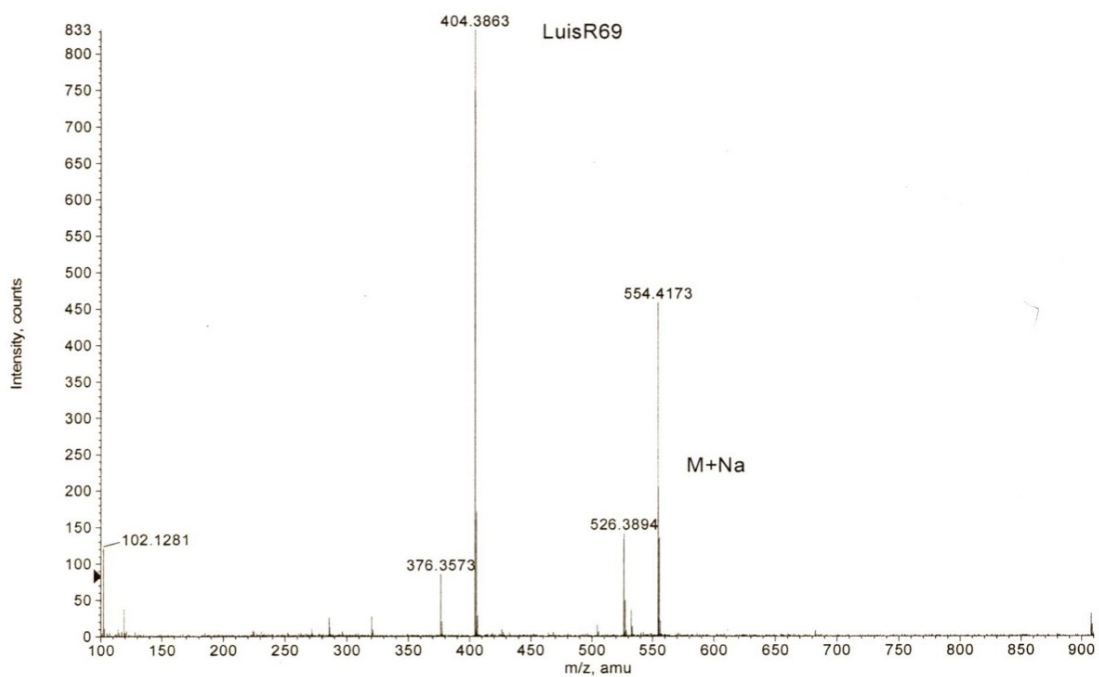


Figura X.64. Espectros de IR y MS del compuesto 4y₁₇.

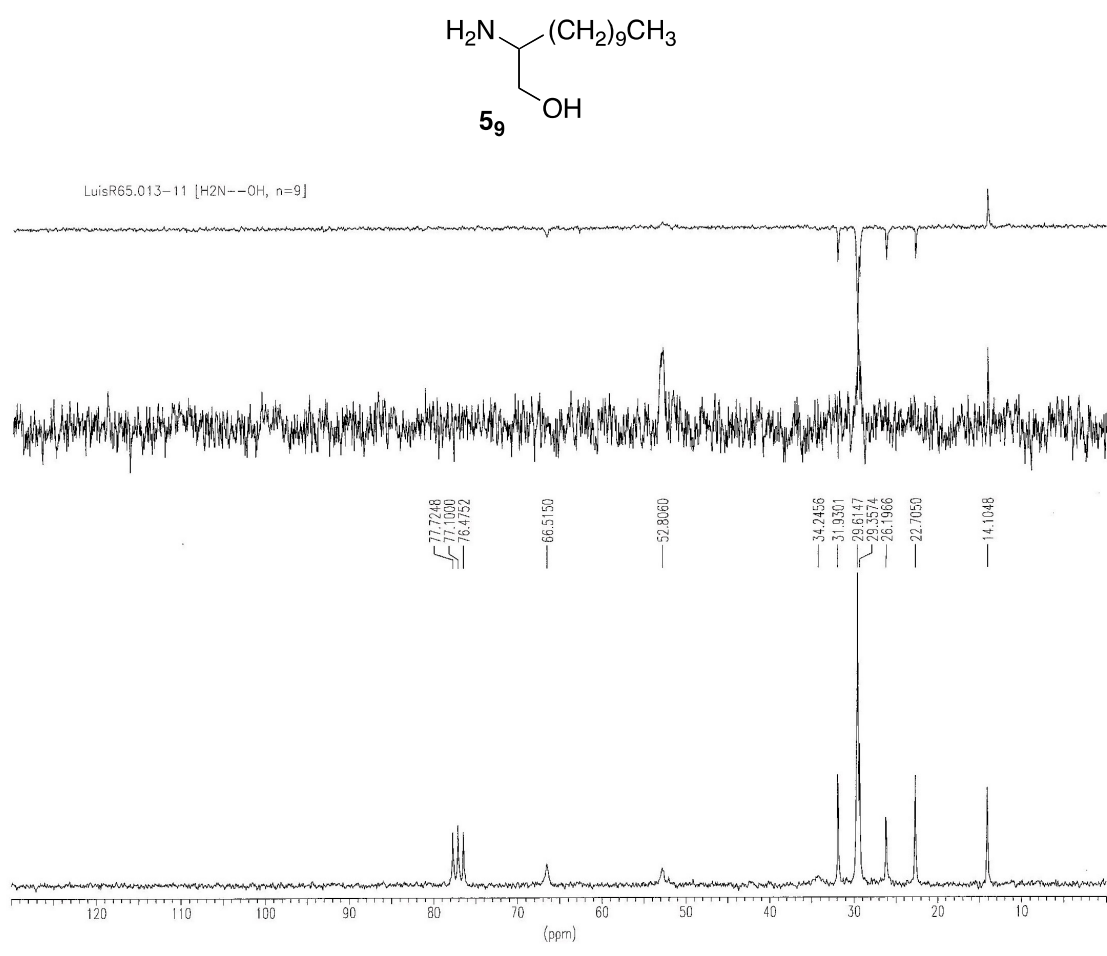
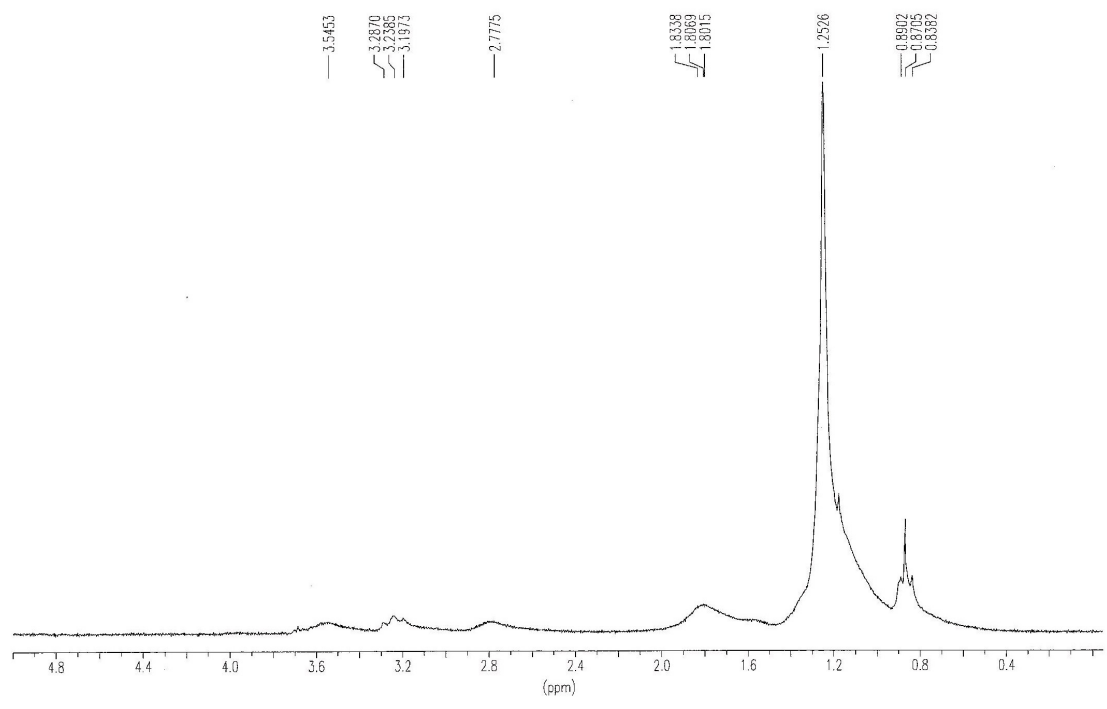


Figura X.65. Espectros de RMN ¹H y ¹³C del compuesto **5₉**.

+TOF MS: 0.567 min from Sample 4 (Luis R65) of dic101012.wiff
a=3.56372697006189890e-004, t0=-9.59773796676017810e+000 R; Max. 36.0 counts.

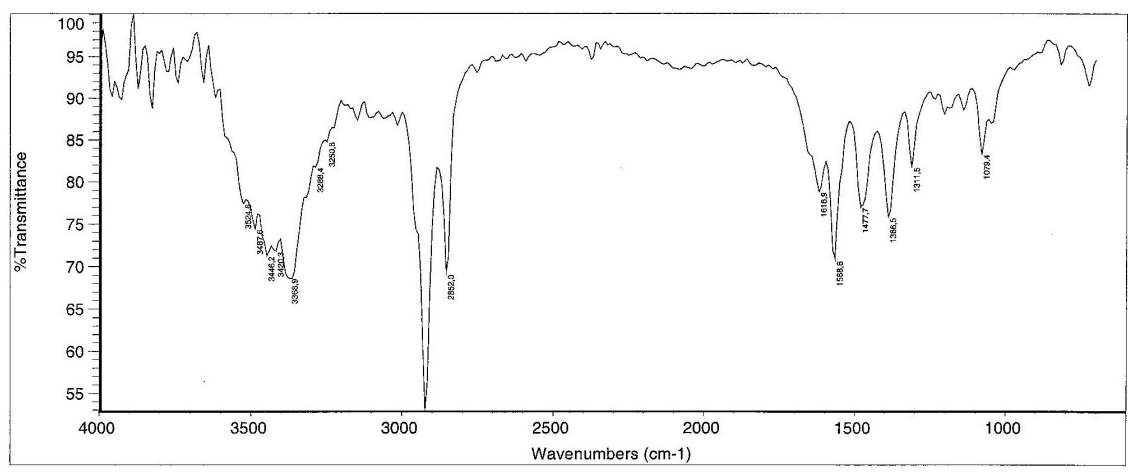
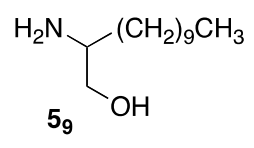
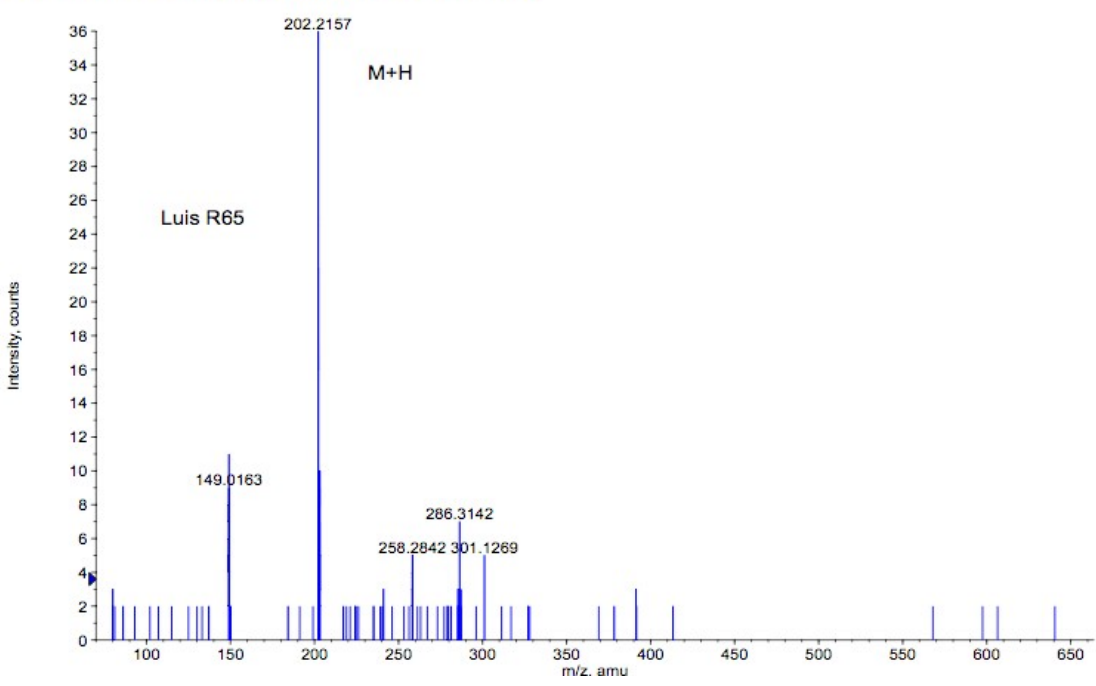


Figura X.66. Espectros de IR y MS del compuesto 5₉.

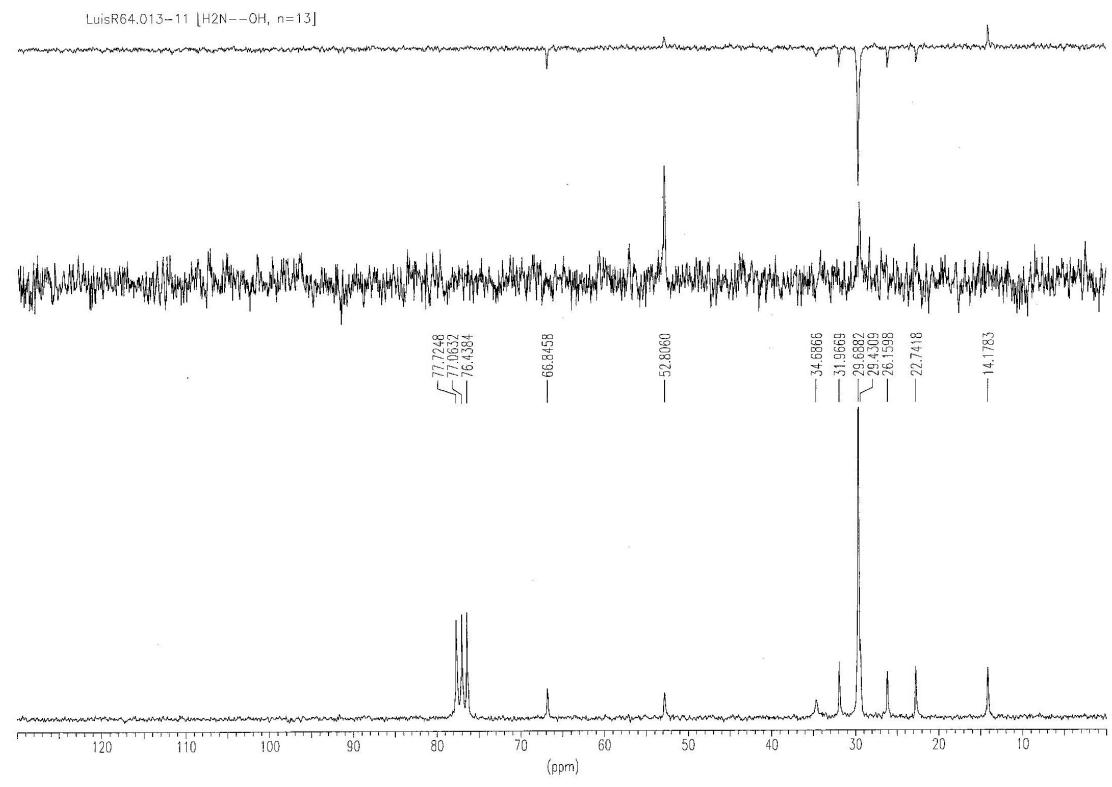
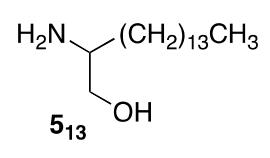
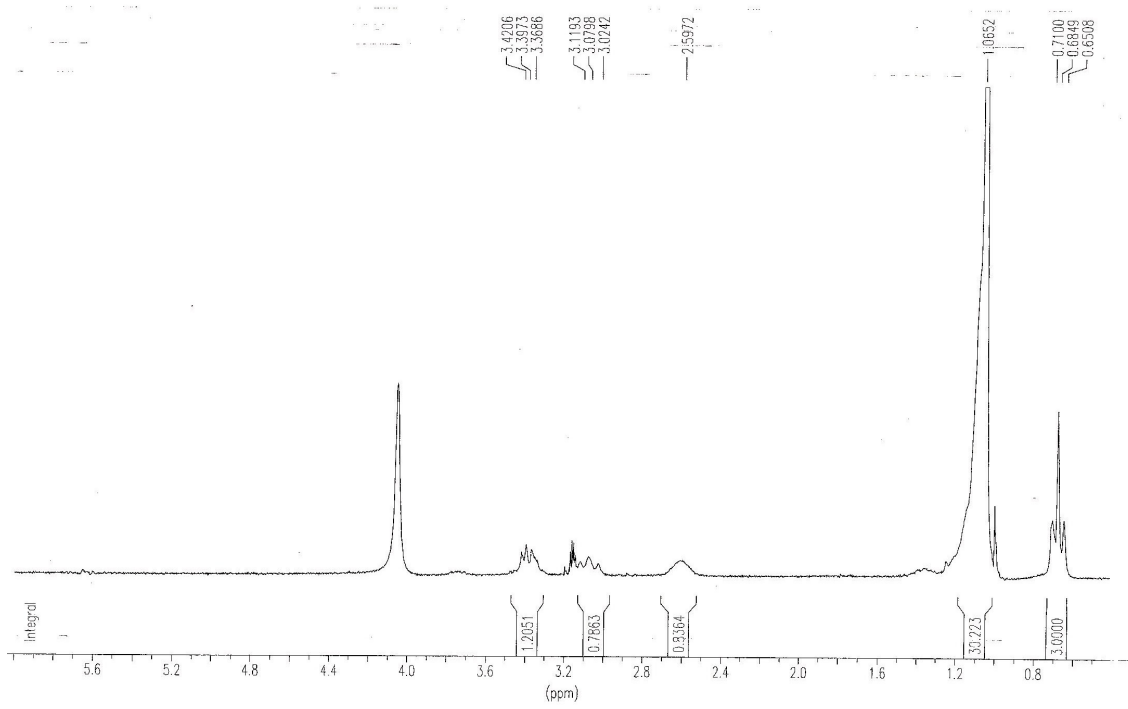


Figura X.67. Espectros de RMN ¹H y ¹³C del compuesto 5₁₃.

+TOF MS: 0.701 min from Sample 3 (Luis R64) of dic101012.wiff
a=3.56372697006189890e-004, t0=-9.59773796676017810e+000 R;

Max. 45.0 counts.

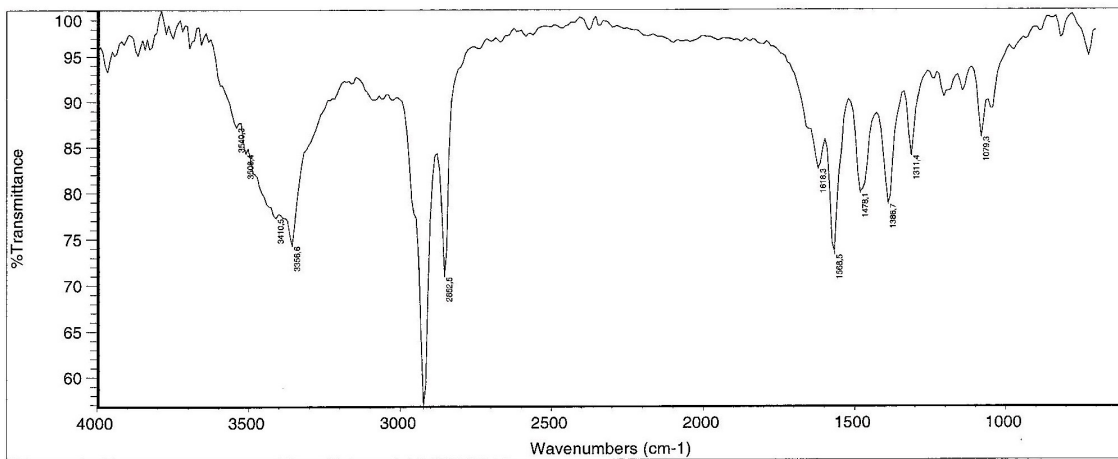
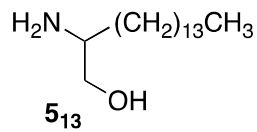
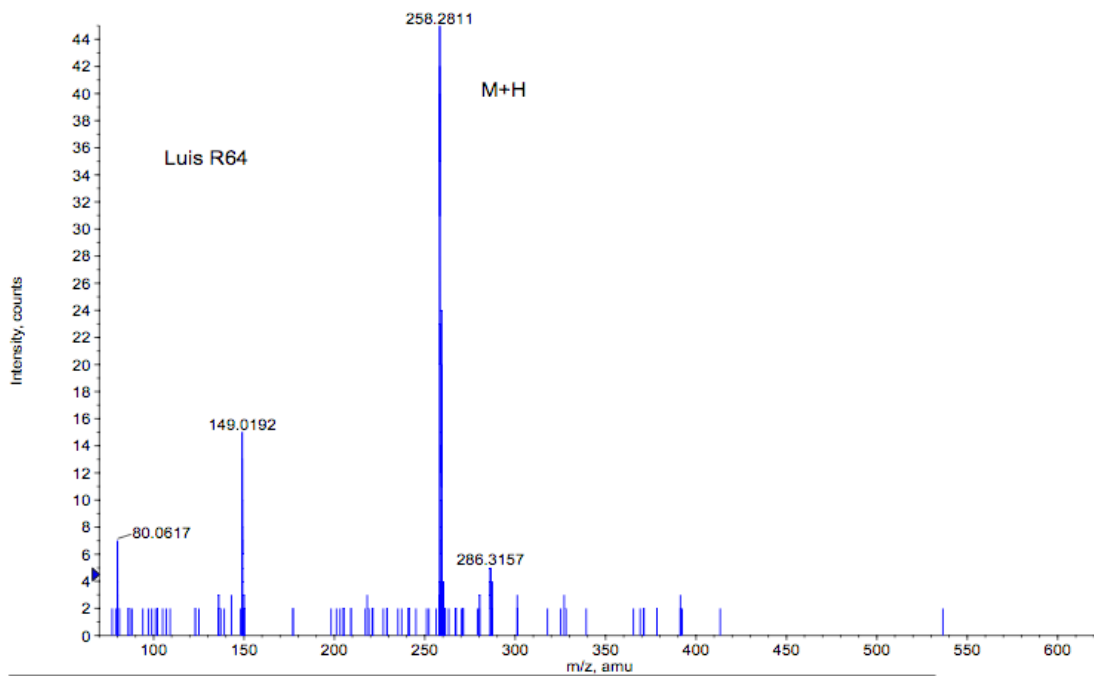


Figura X.68. Espectros de IR y MS del compuesto 5₁₃

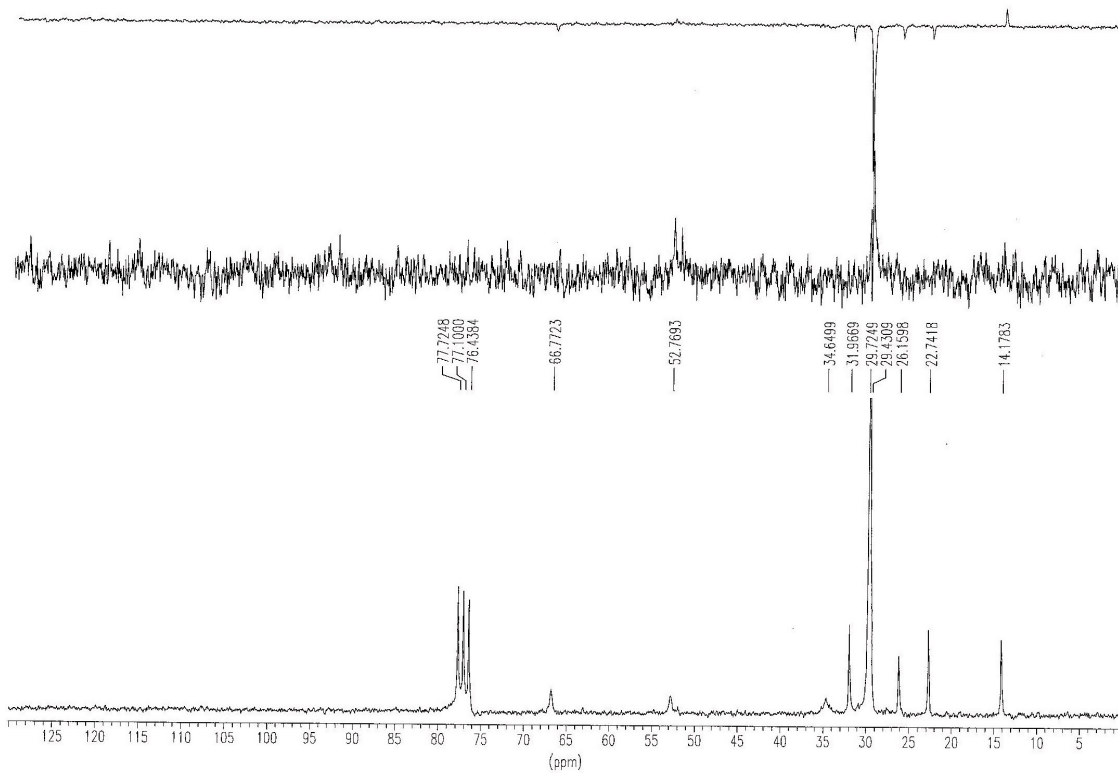
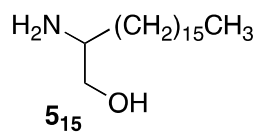
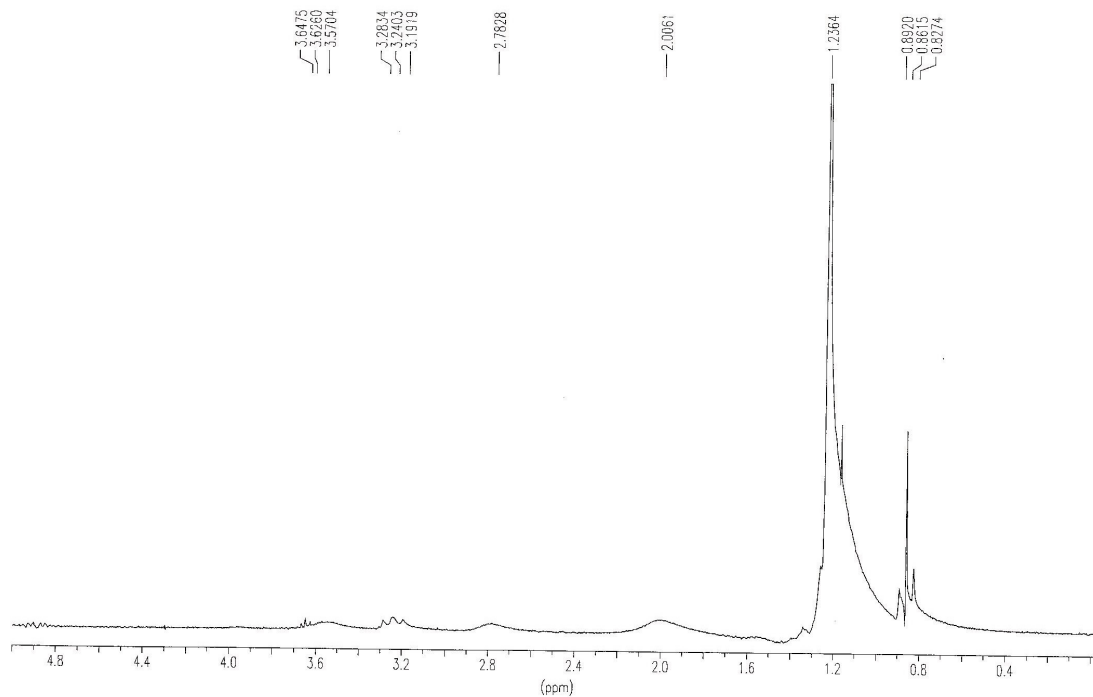


Figura X.69. Espectros de RMN ^1H y ^{13}C del compuesto 5_{15} .

+TOF MS: 0.701 min from Sample 2 (Luis R66) of dic101012.wiff
a=3.56372697006189890e-004, t0=-9.59773796676017810e+000 R;

Max. 51.0 counts.

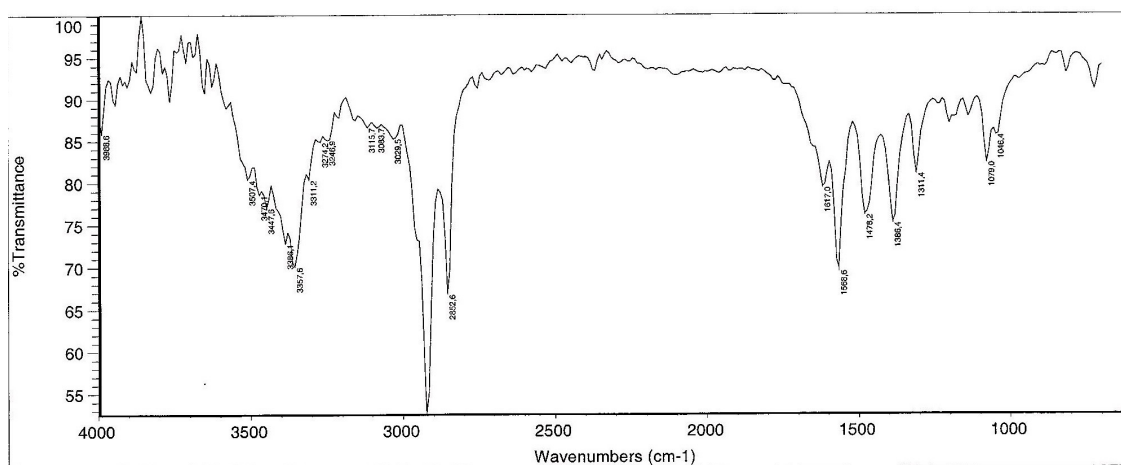
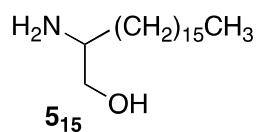
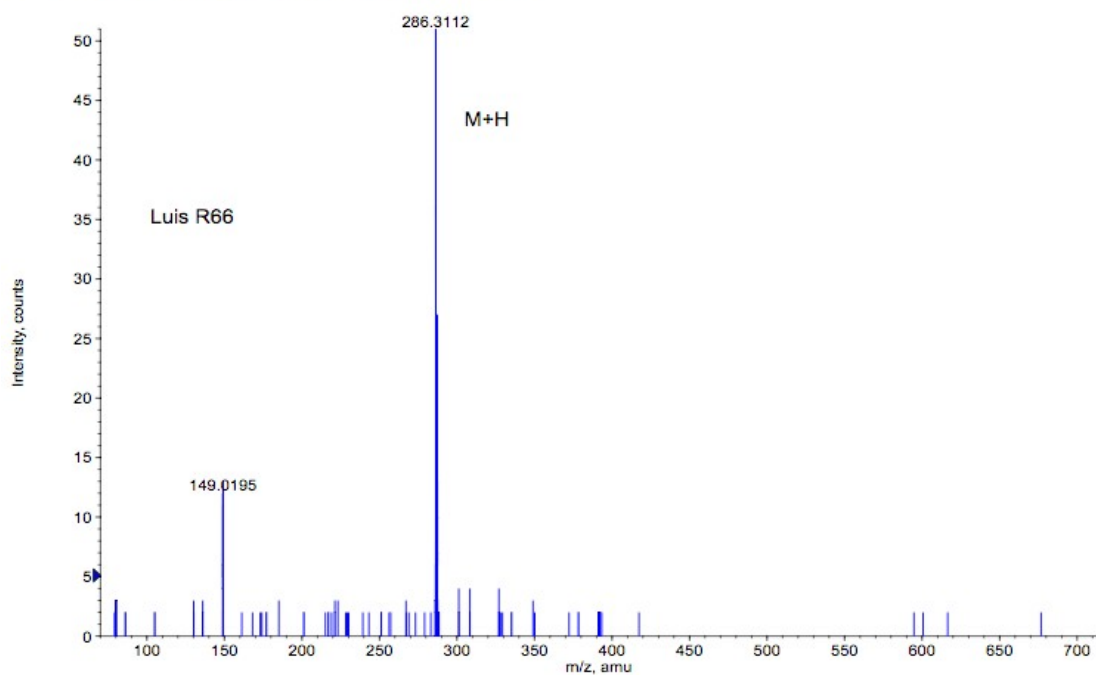


Figura X.70. Espectros de IR y MS del compuesto 5₁₅.

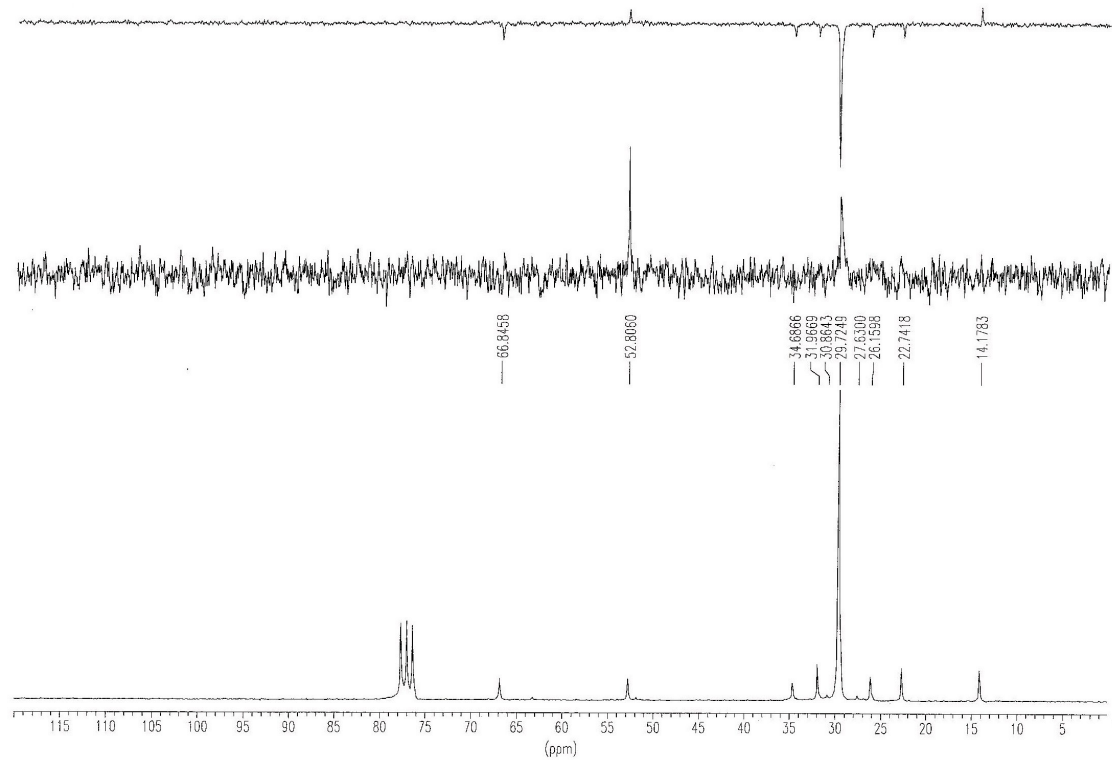
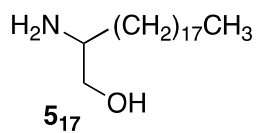
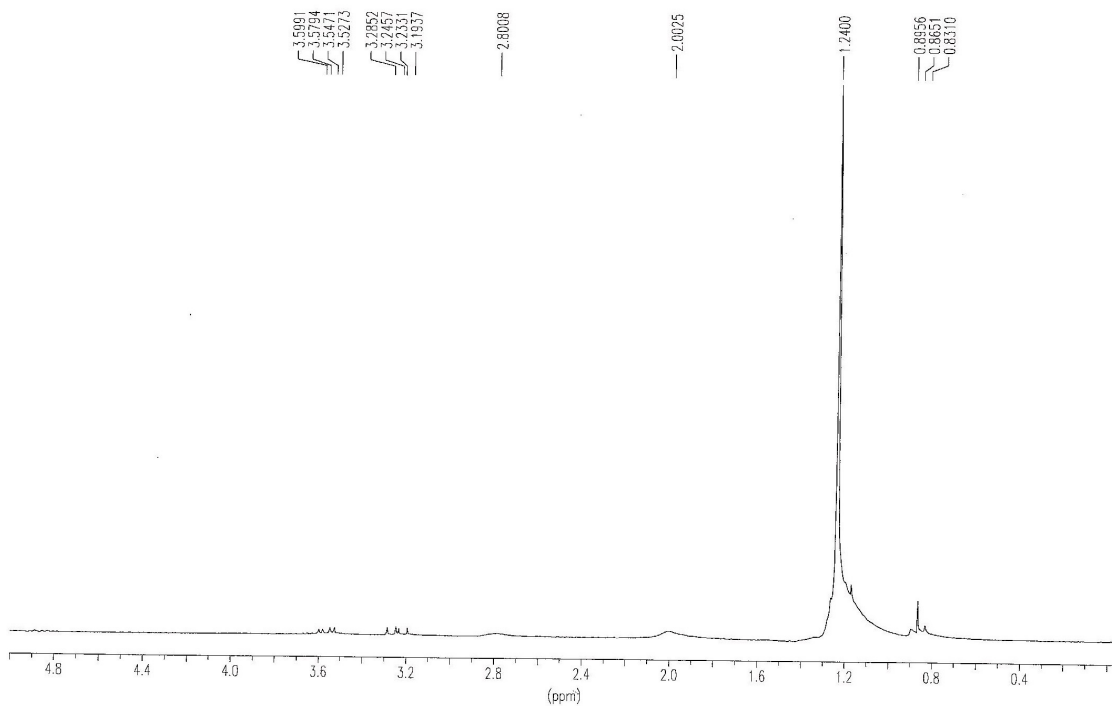


Figura X.71. Espectros de RMN ^1H y ^{13}C del compuesto 5_{17} .

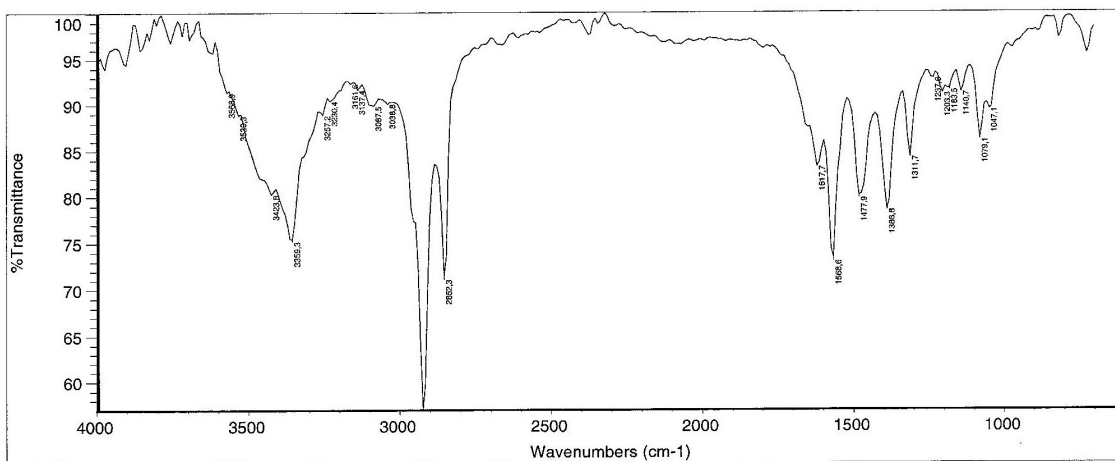
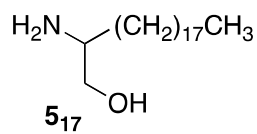
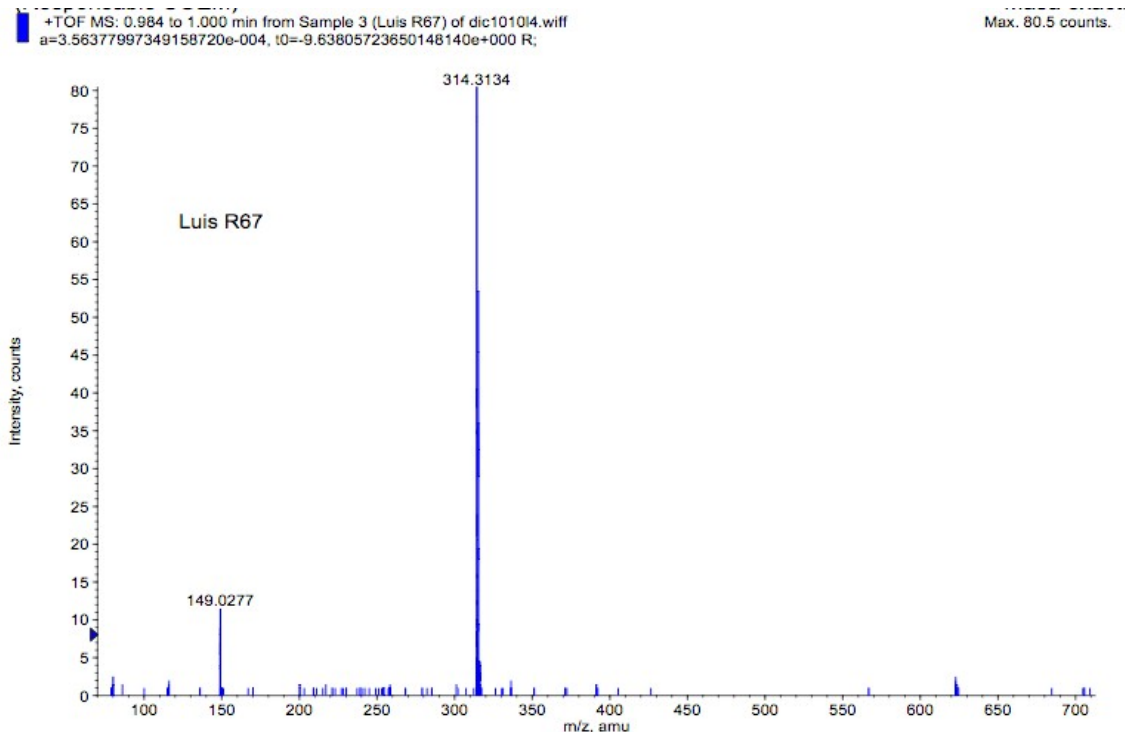


Figura X.72. Espectros de IR y MS del compuesto 5₁₇.

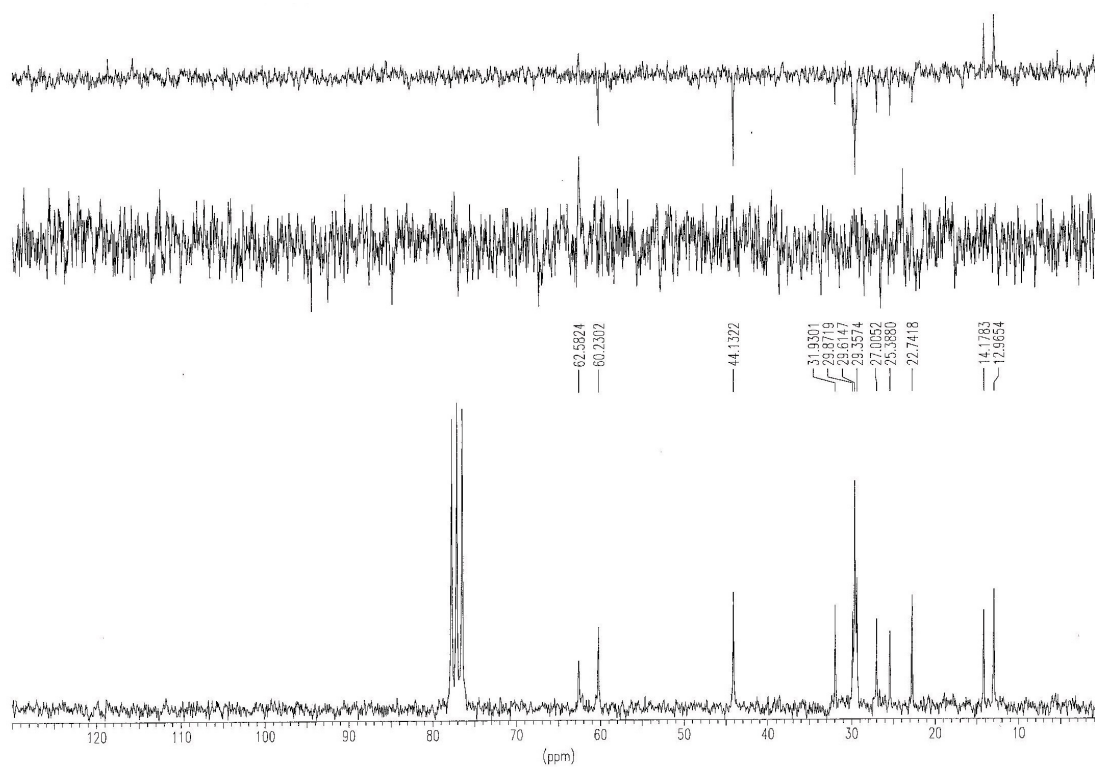
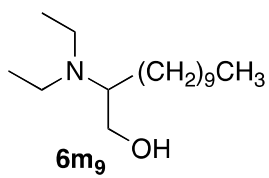
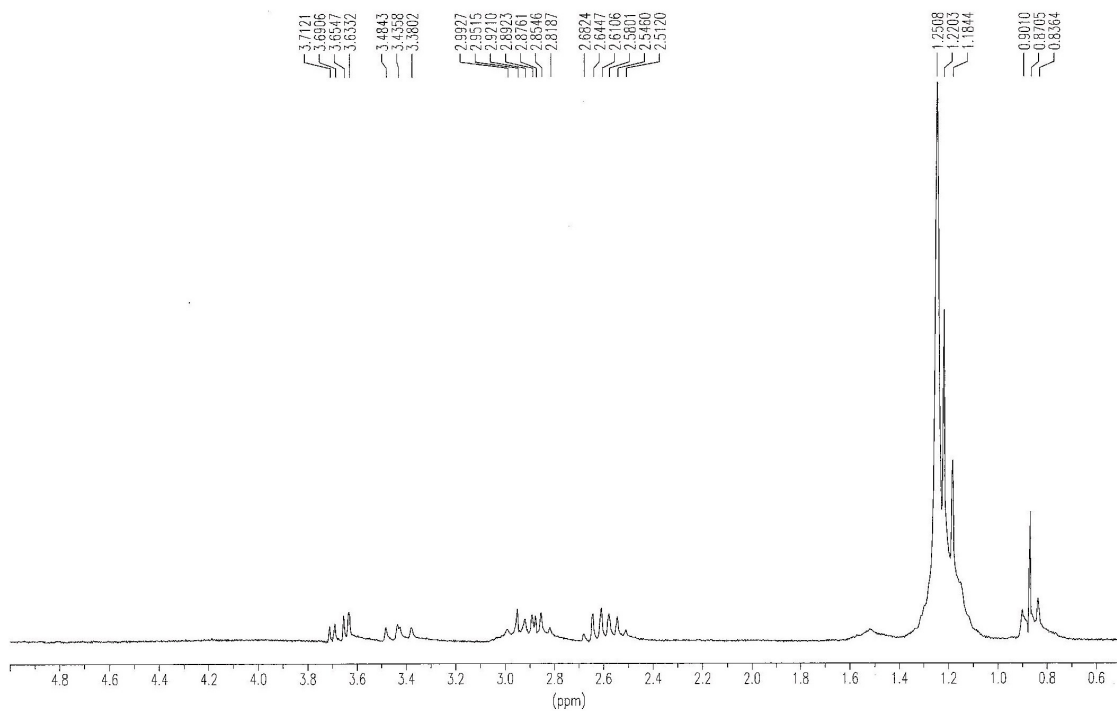


Figura X.73. Espectros de RMN ^1H y ^{13}C del compuesto **6m₉**.

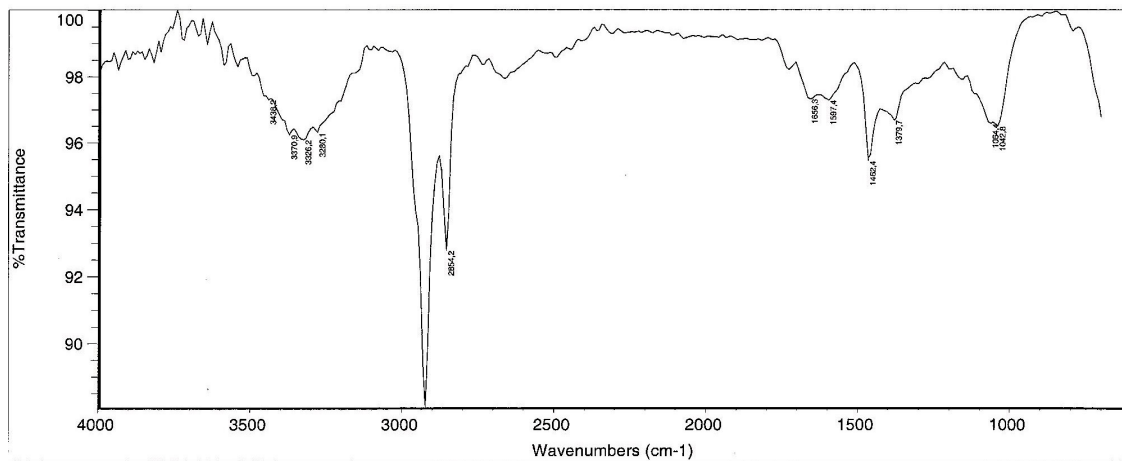
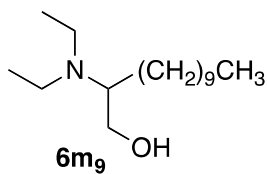
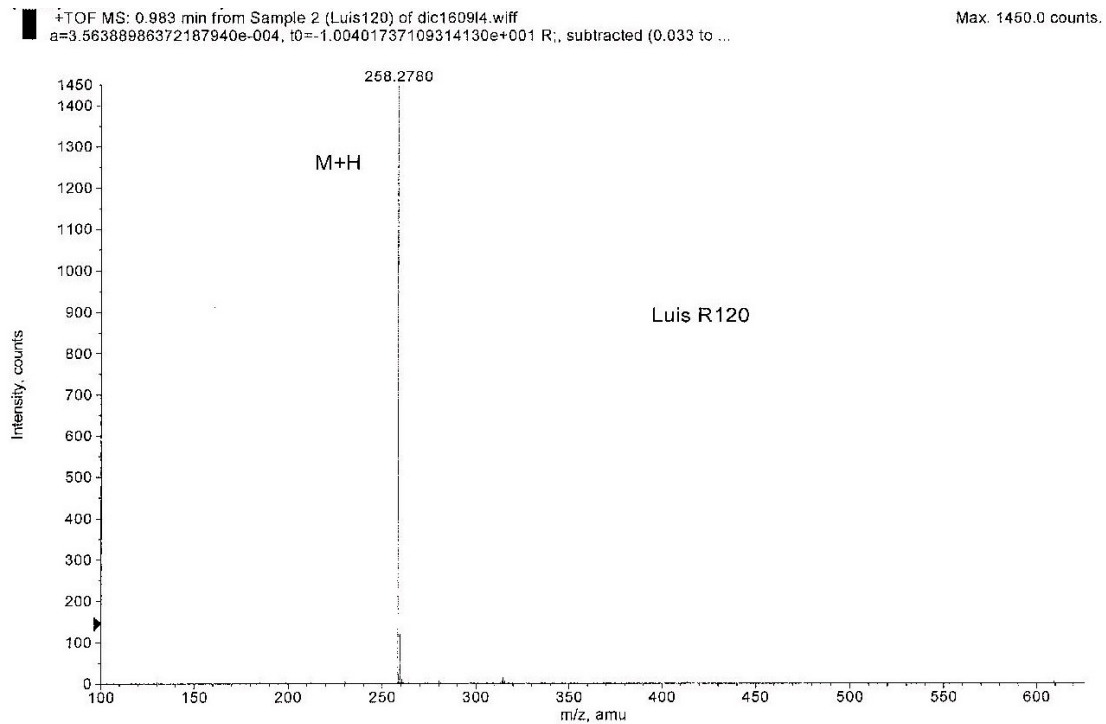


Figura X.74. Espectros de IR y MS del compuesto **6m₉**.

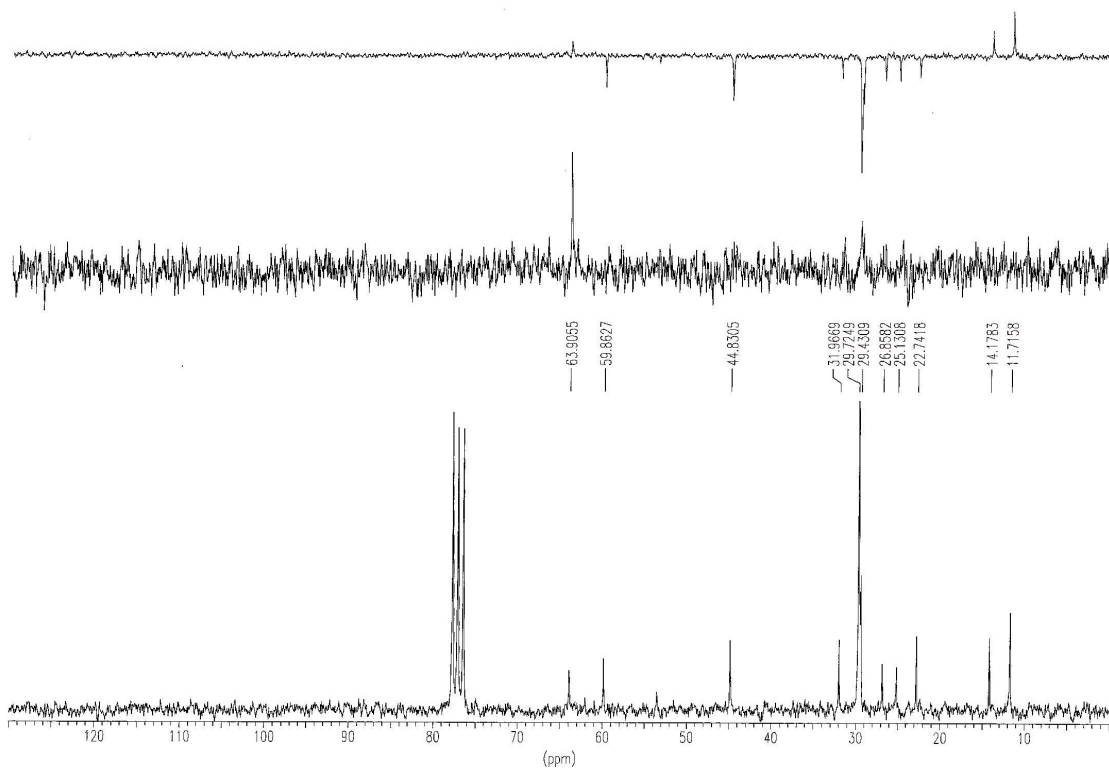
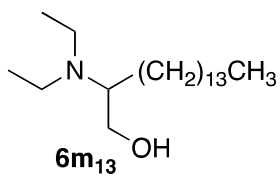
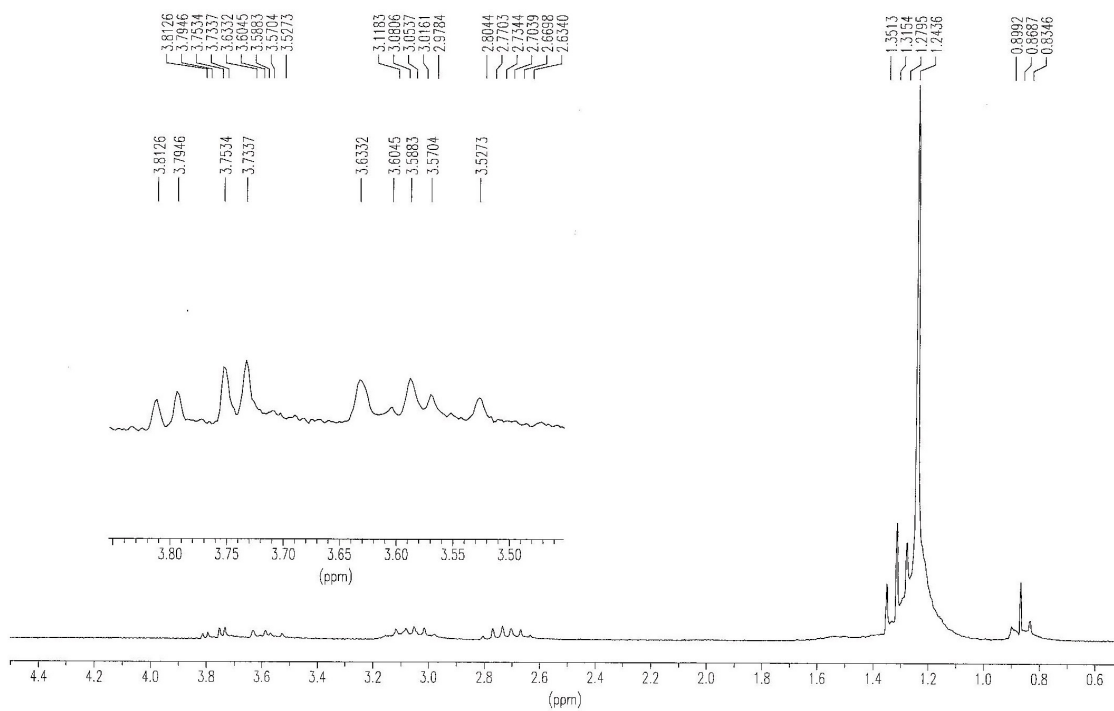


Figura X.75. Espectros de RMN ^1H y ^{13}C del compuesto **6m₁₃**.

+TOF MS: 0.833 min from Sample 5 (ref) of may111014.wiff
a=3.56359452041120300e-004, t0=-8.79514997324804430e+000 R., subtracted (0.033 to 0.067 mi... Max. 716.3 counts.

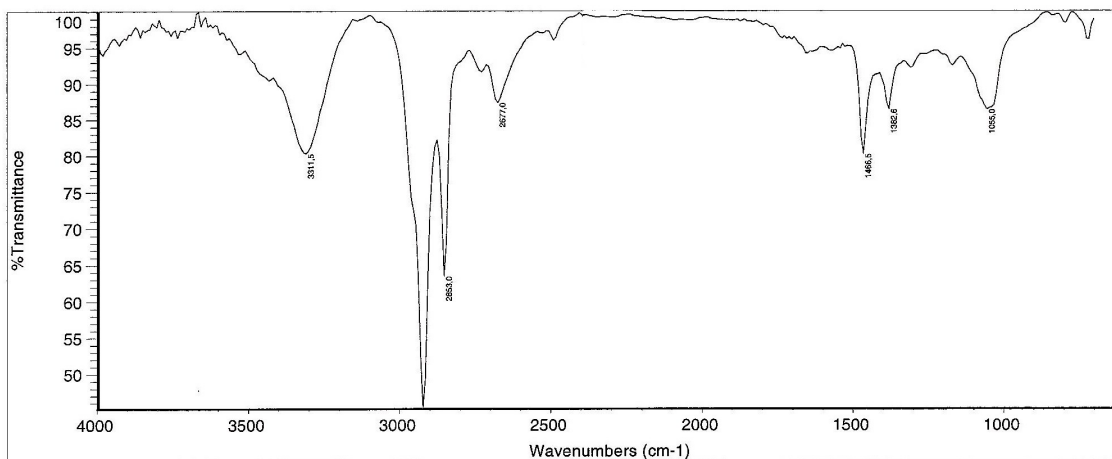
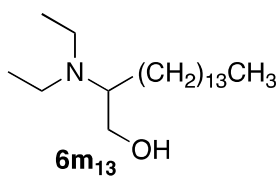
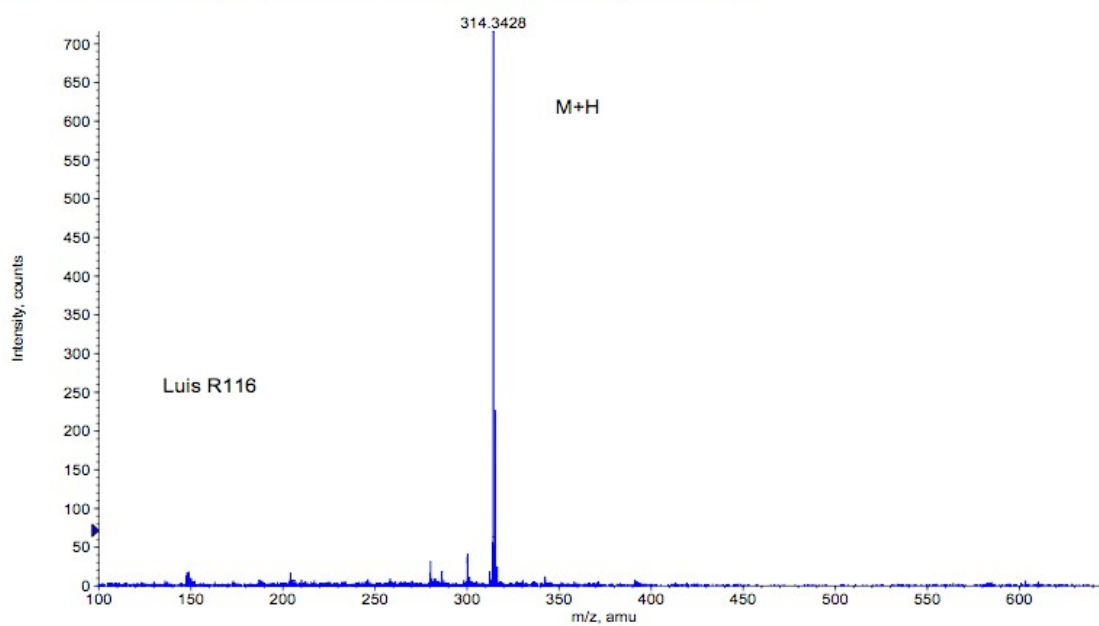


Figura X.76. Espectros de IR y MS del compuesto **6m₁₃**.

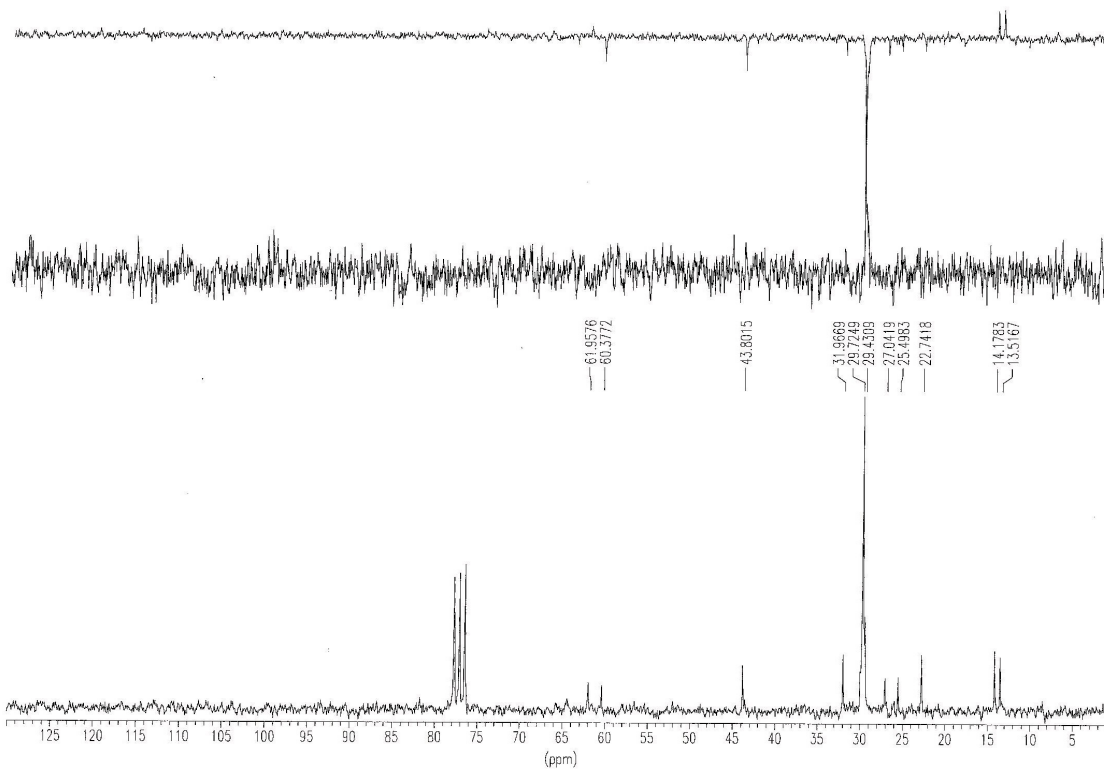
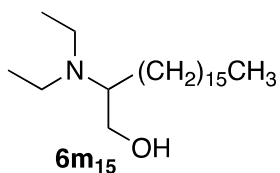
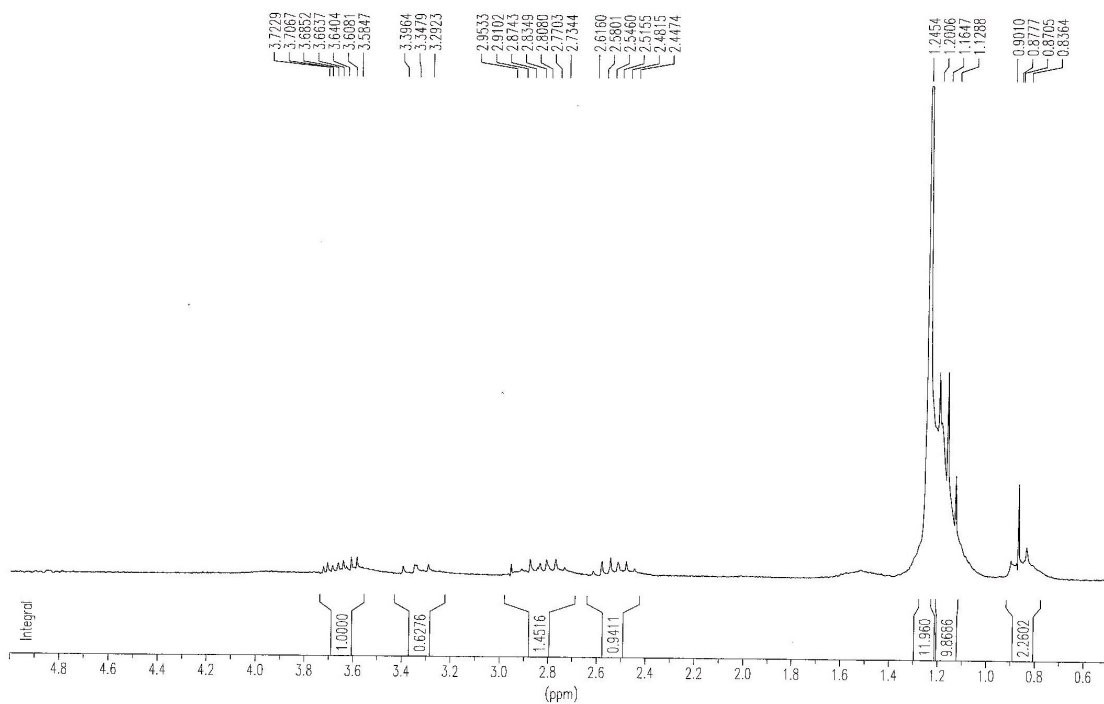


Figura X.77. Espectros de RMN ¹H y ¹³C del compuesto **6m₁₅**.

TOF MS: 0.984 min from Sample 3 (Luis121) of dic160914.wiff
a=3.56388988372187940e-004, t0=-1.00401737109314130e+001 R; subtracted (0.034 to ...

Max. 1166.0 counts.

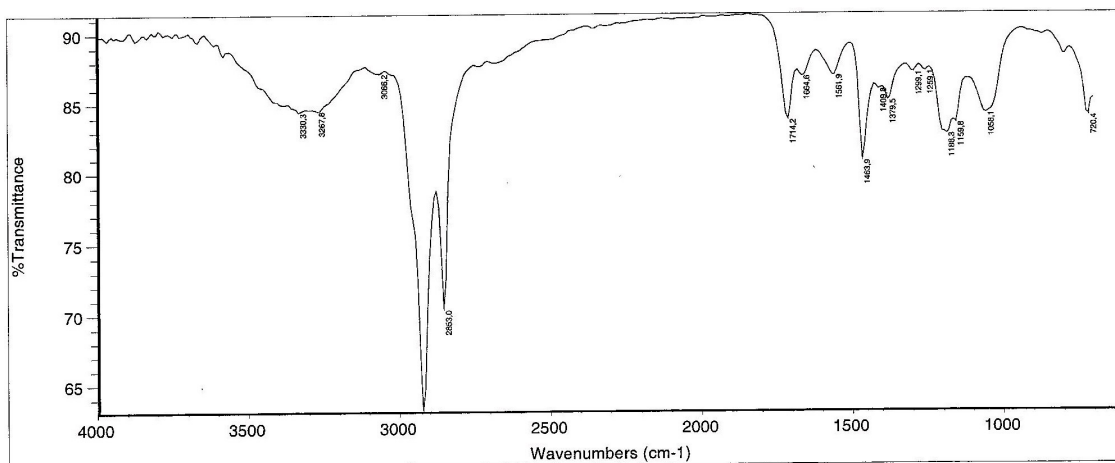
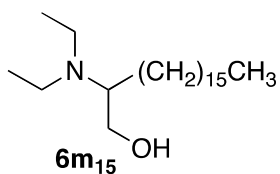
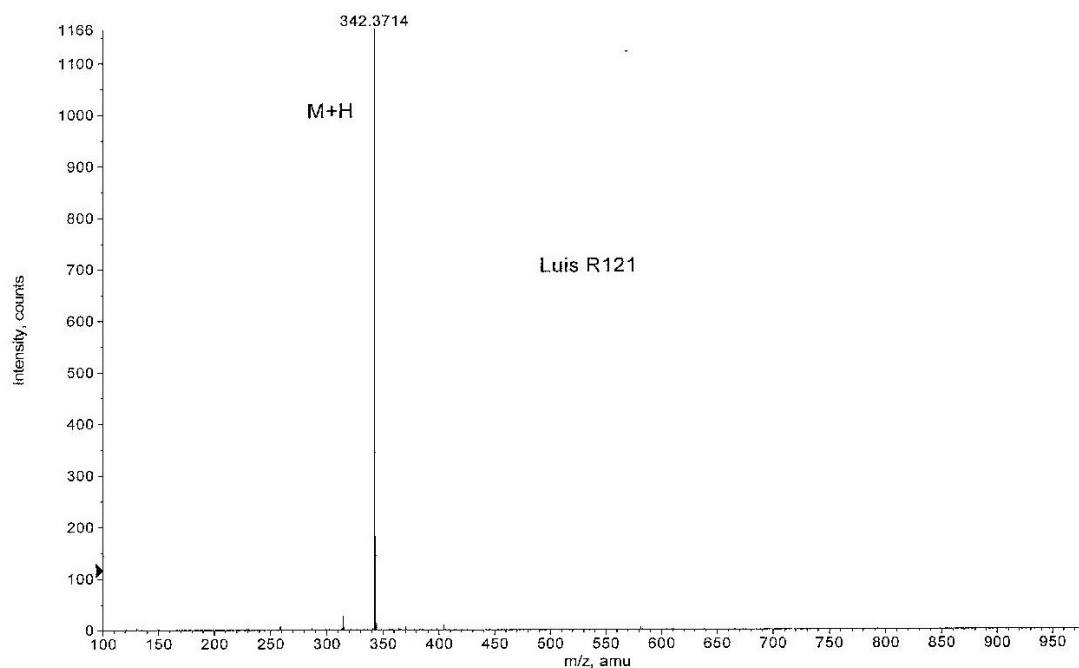


Figura X.78. Espectros de IR y MS del compuesto **6m₁₅**.

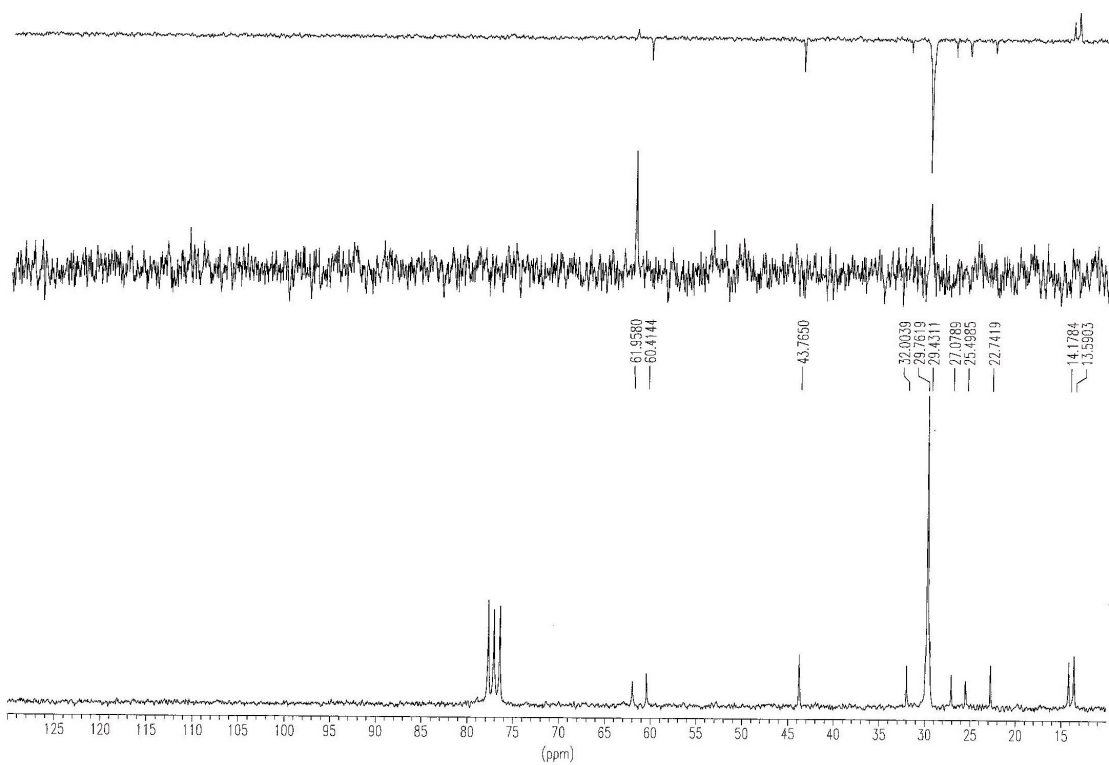
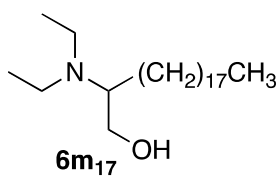


Figura X.79. Espectros de RMN ¹H y ¹³C del compuesto **6m₁₇**.

†TOF MS: 0.984 min from Sample 4 (Luis122) of dic160914.wiff
a=3.58388986372187940e-004, t0=-1.00401737109314130e+001 R; subtracted (0.034 to 0... Max. 716.0 counts.

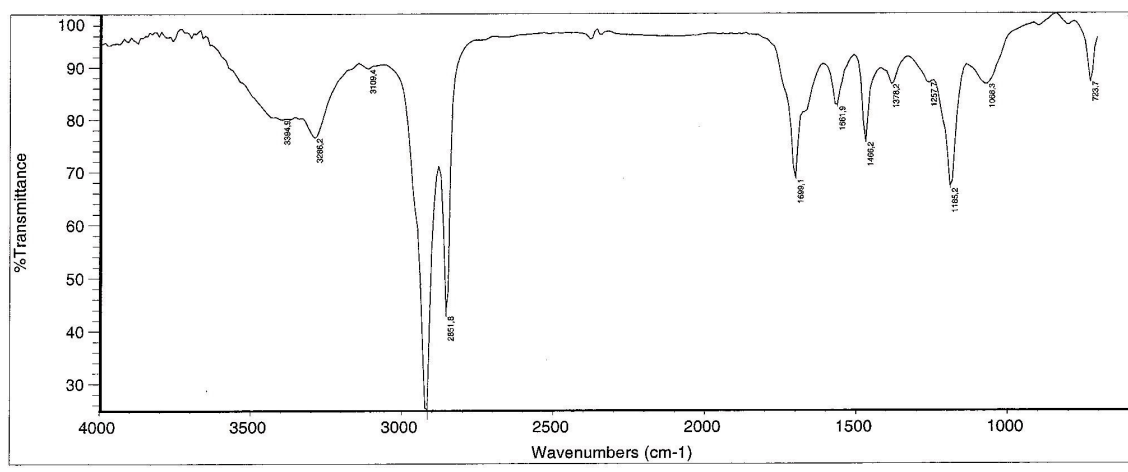
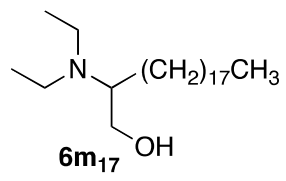
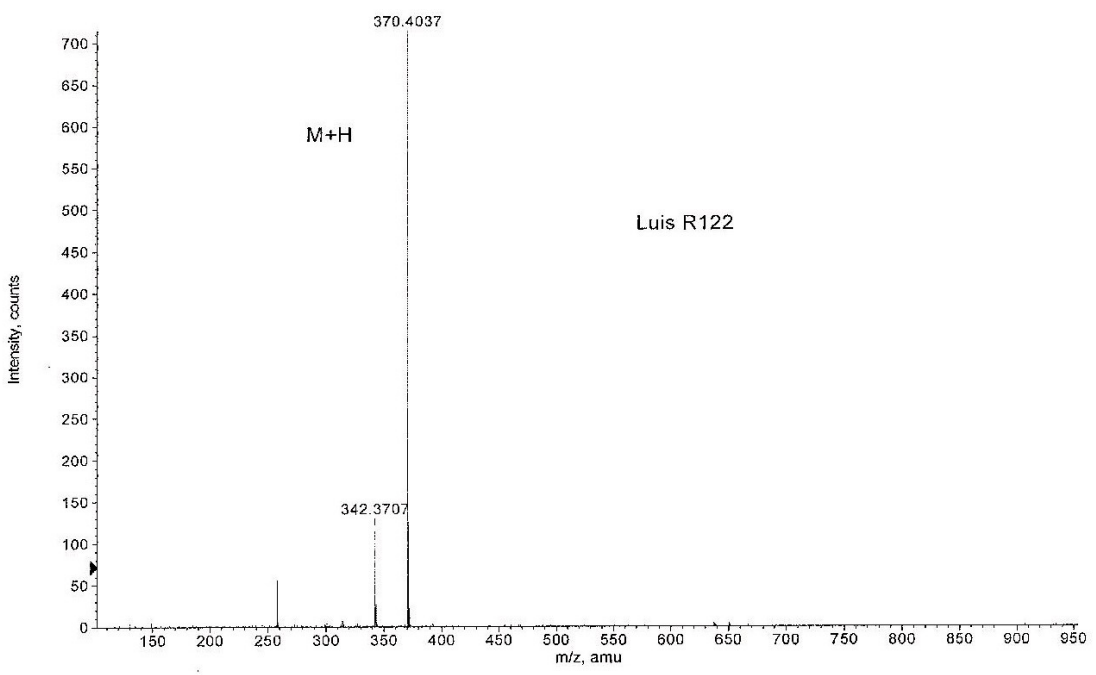


Figura X.80. Espectros de IR y MS del compuesto 6m₁₇.

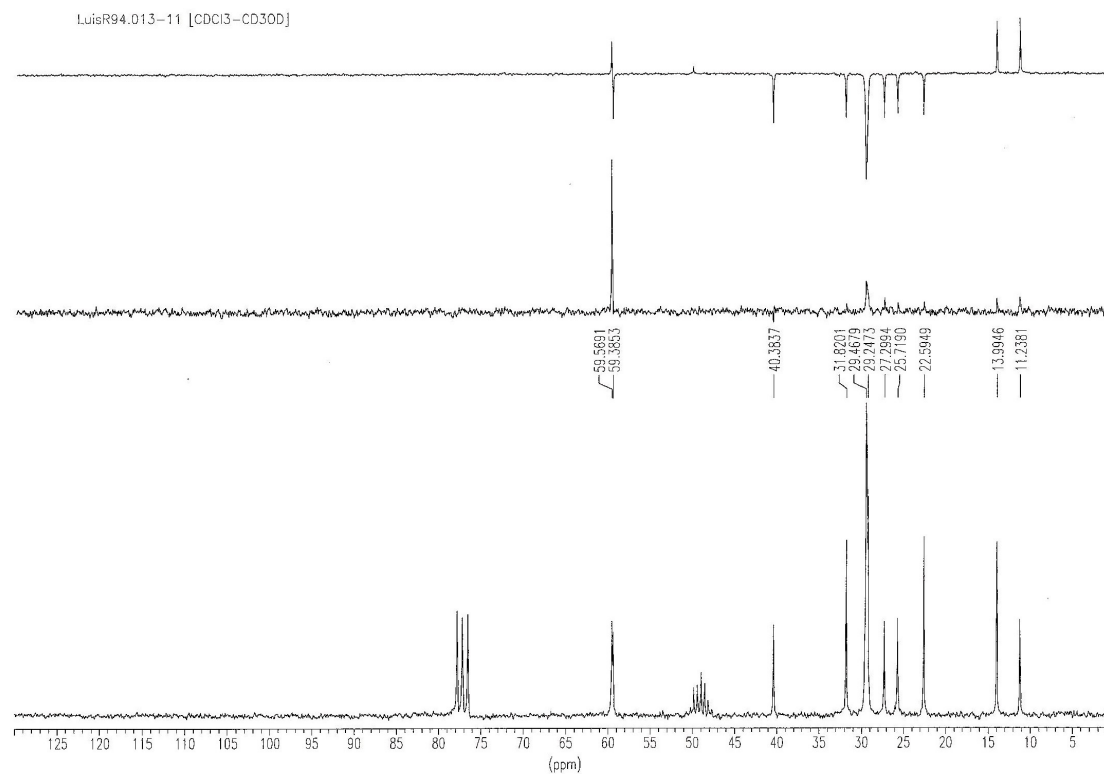
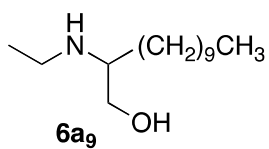
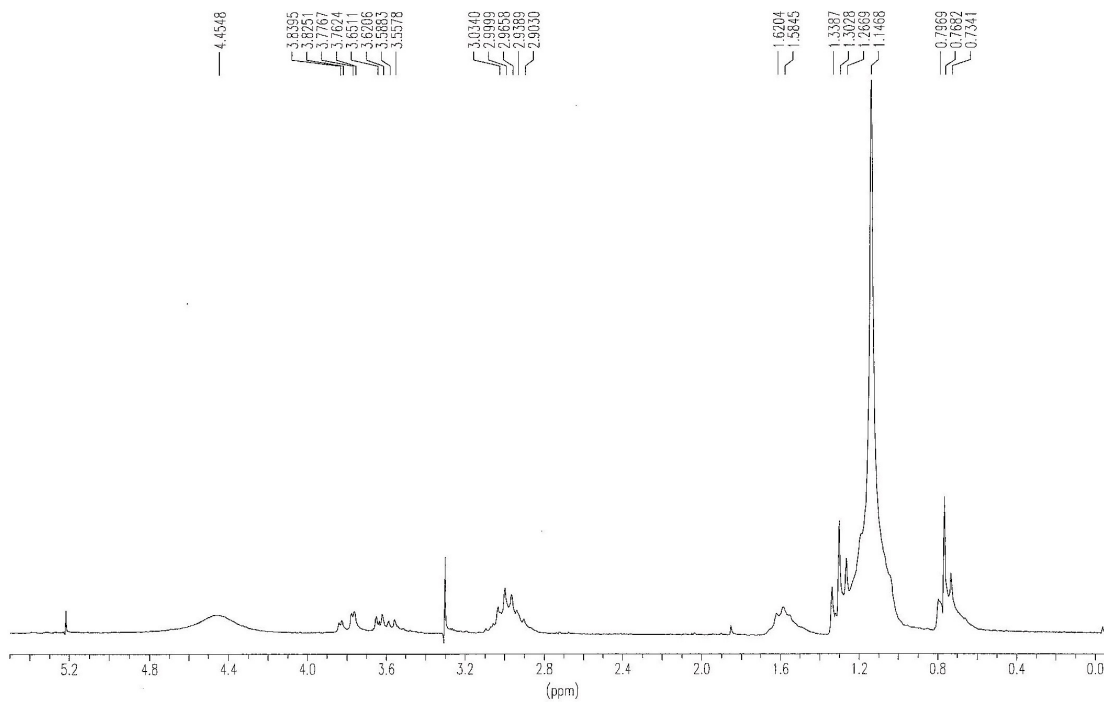


Figura X.81. Espectros de RMN ¹H y ¹³C del compuesto **6a₉**.

TOF MS: 0.517 min from Sample 3 (LuisR94) of oct270911.wiff
a=3.56413345469551160e-004, t0=-1.04097717487493360e+001 R_i, subtracted (0.017 to 0...

Max. 337.0 counts.

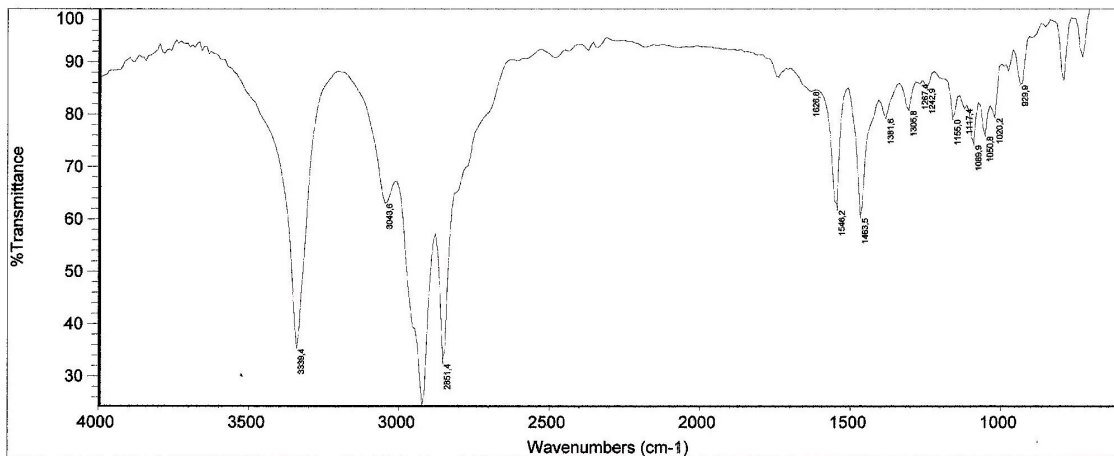
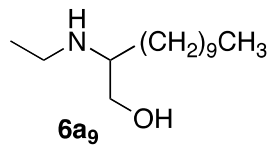
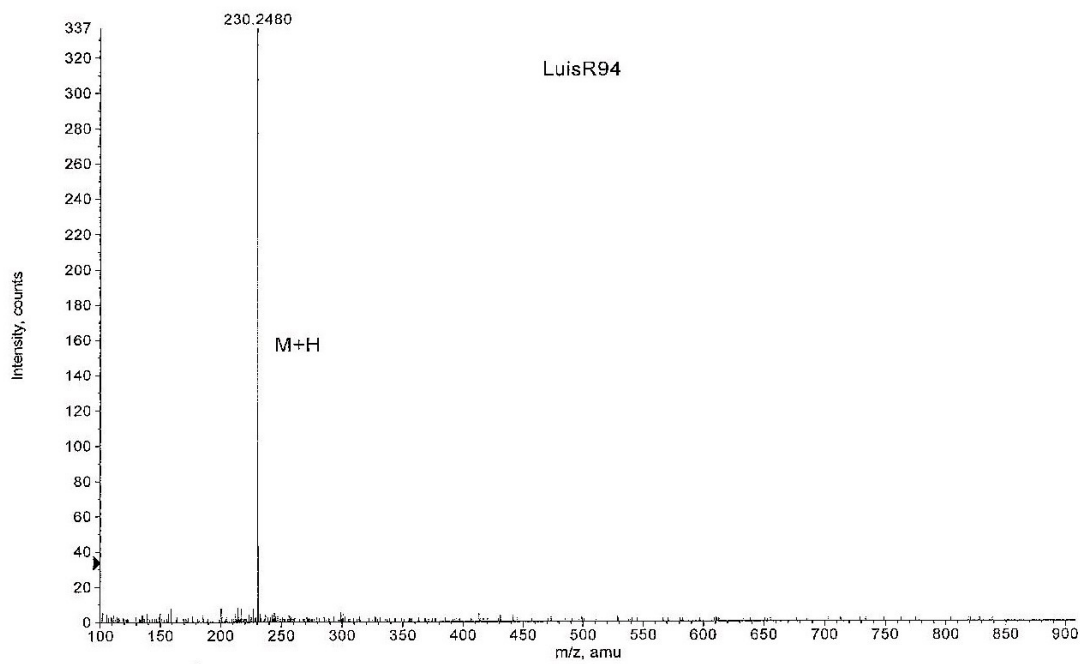


Figura X.82. Espectros de IR y MS del compuesto 6a₉.

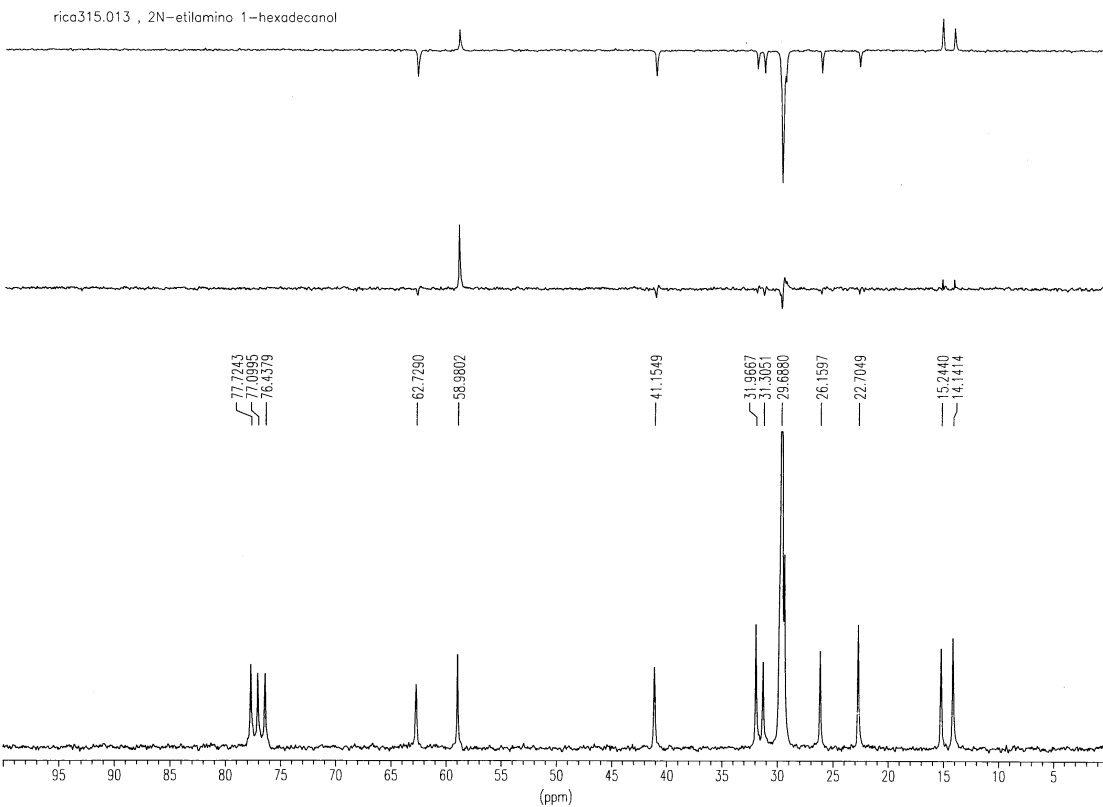
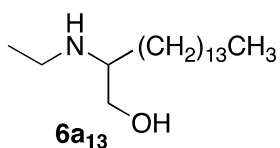
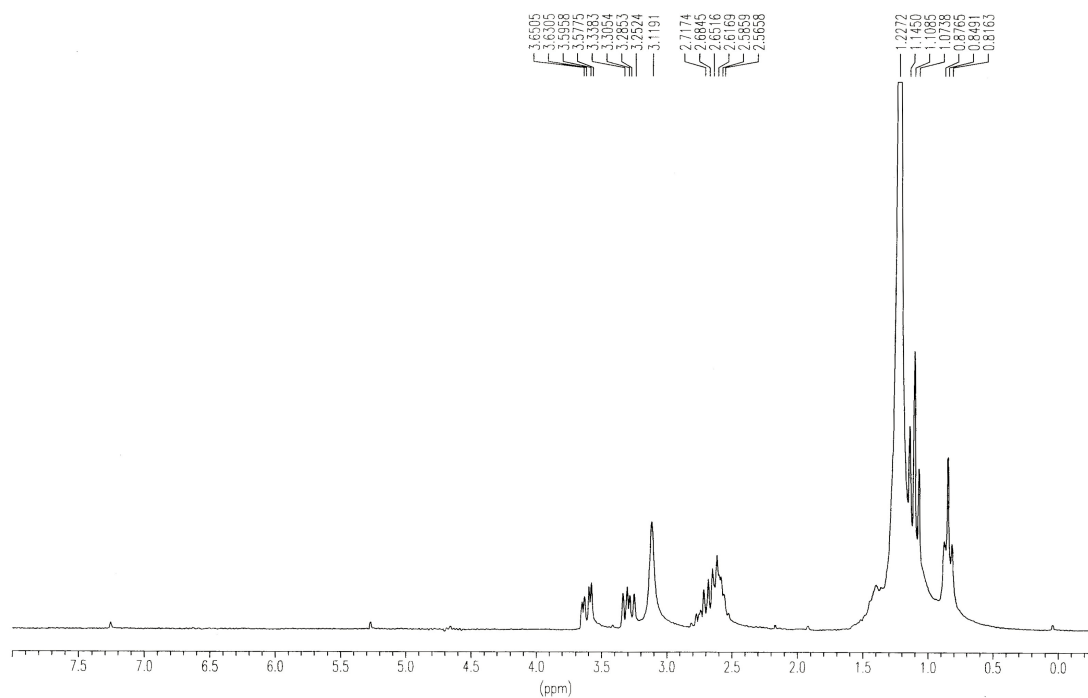


Figura X.83. Espectros de RMN ^1H y ^{13}C del compuesto **6a₁₃**.

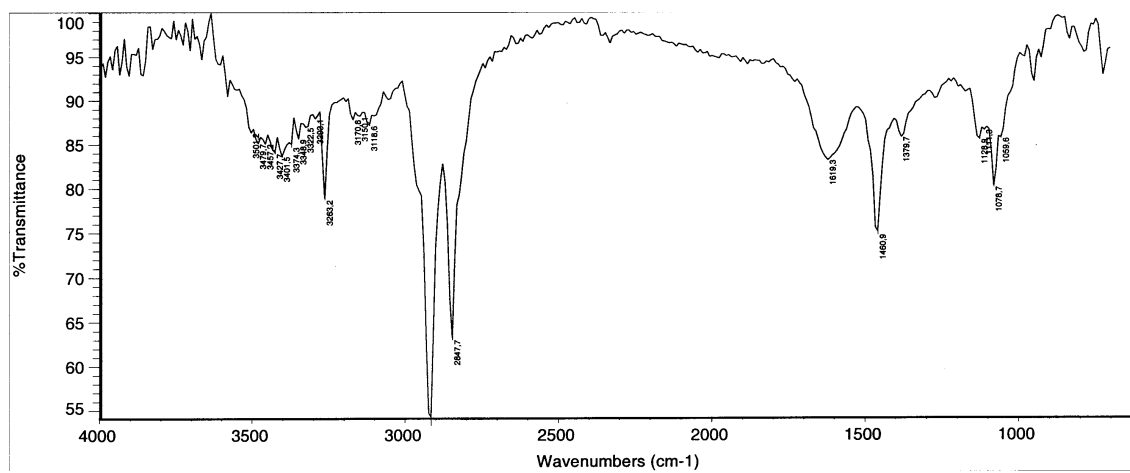
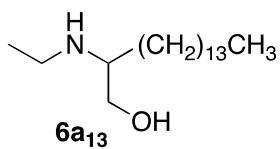
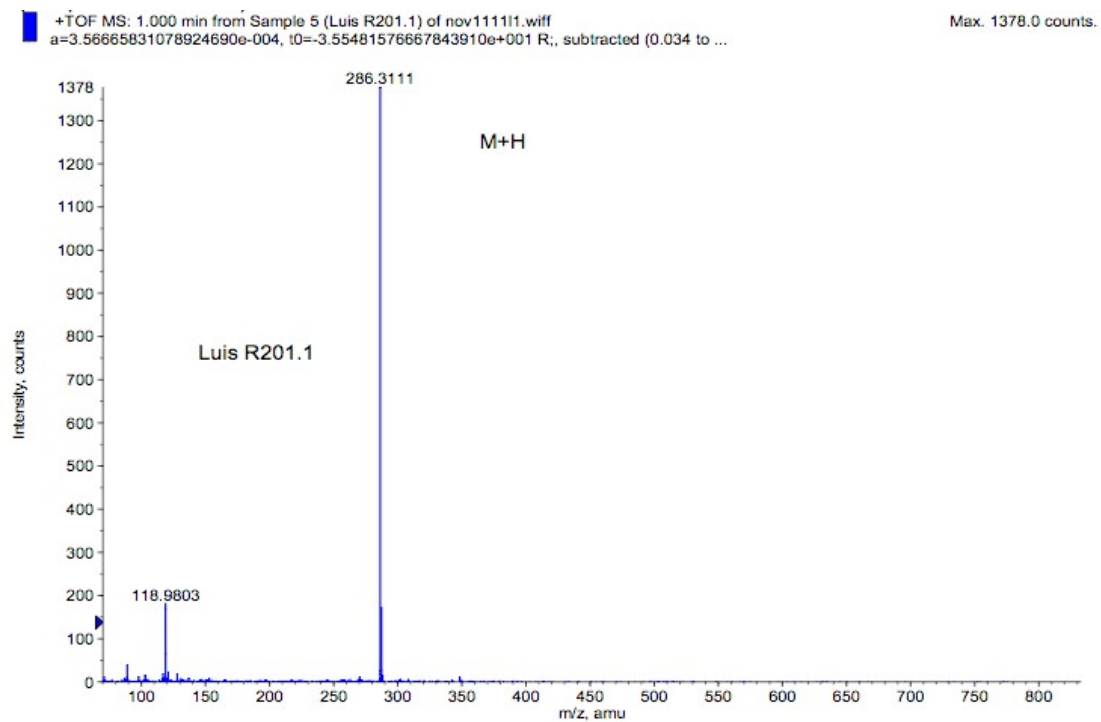


Figura X.84. Espectros de IR y MS del compuesto **6a₁₃**.

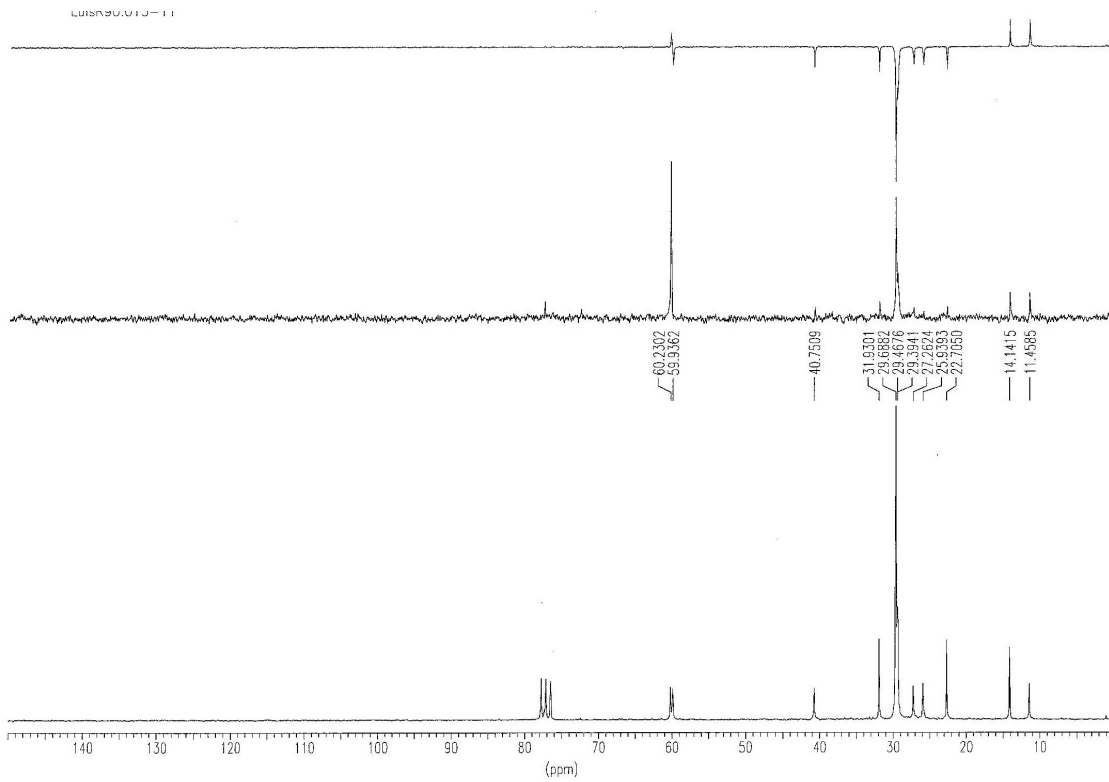
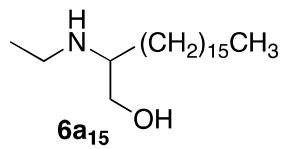
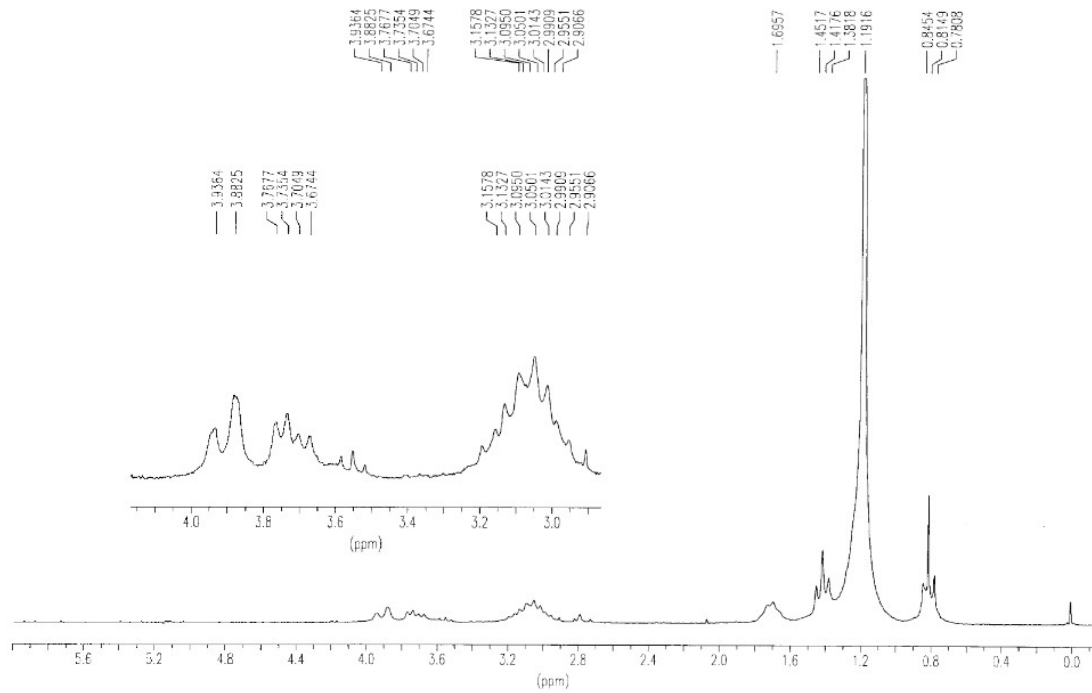


Figura X.85. Espectros de RMN ¹H y ¹³C del compuesto **6a₁₅**.

+TOF MS: 0.517 min from Sample 3 (LuisR90) of oct1309I2.wiff
a=3.56417000595401810e-004, t0=-1.02905025533946170e+001 R., subtracted (0.017 to 0... Max. 218.0 counts.

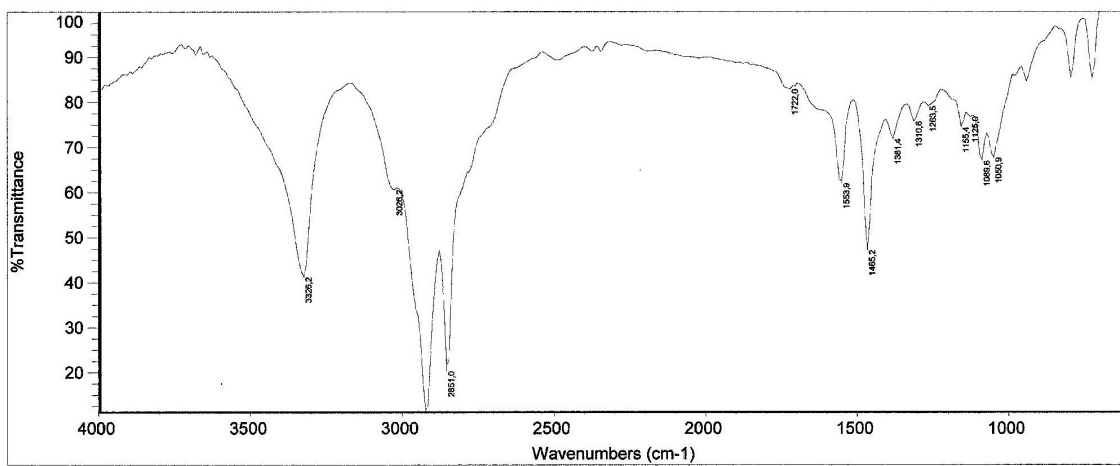
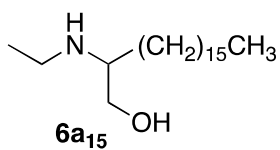
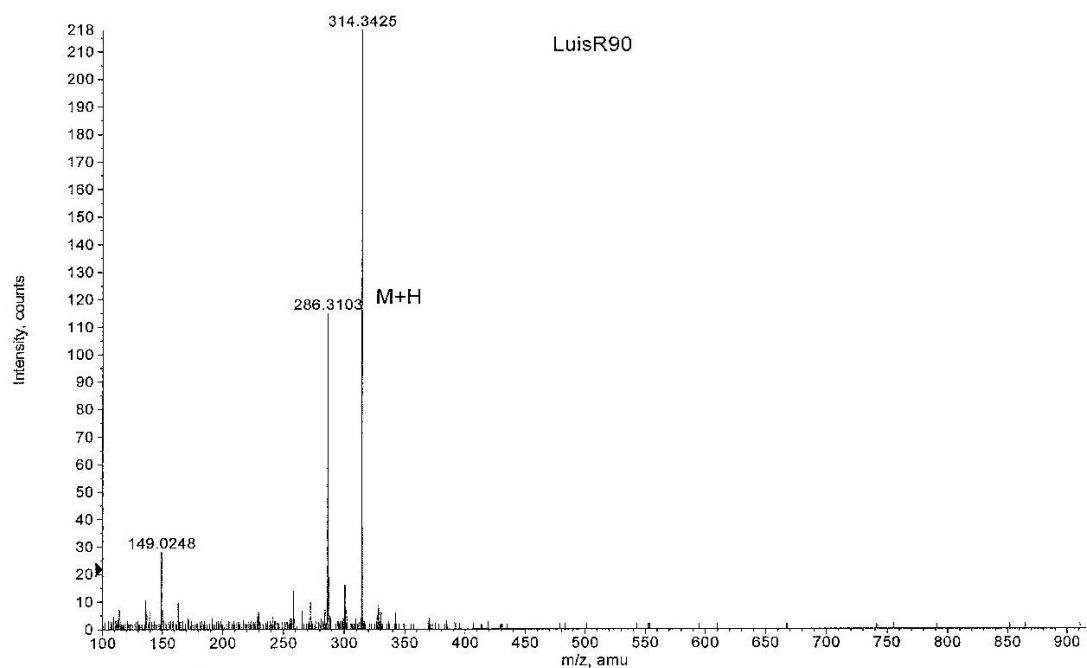


Figura X.86. Espectros de IR y MS del compuesto **6a₁₅**.

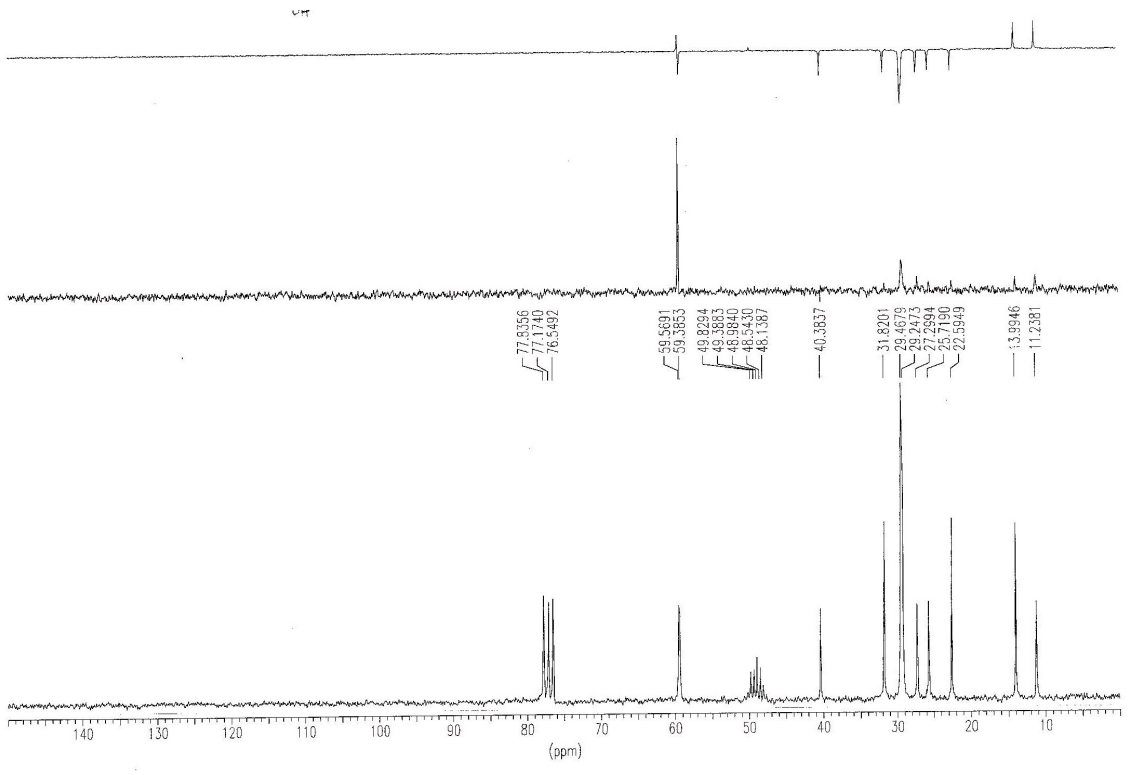
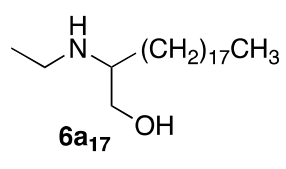
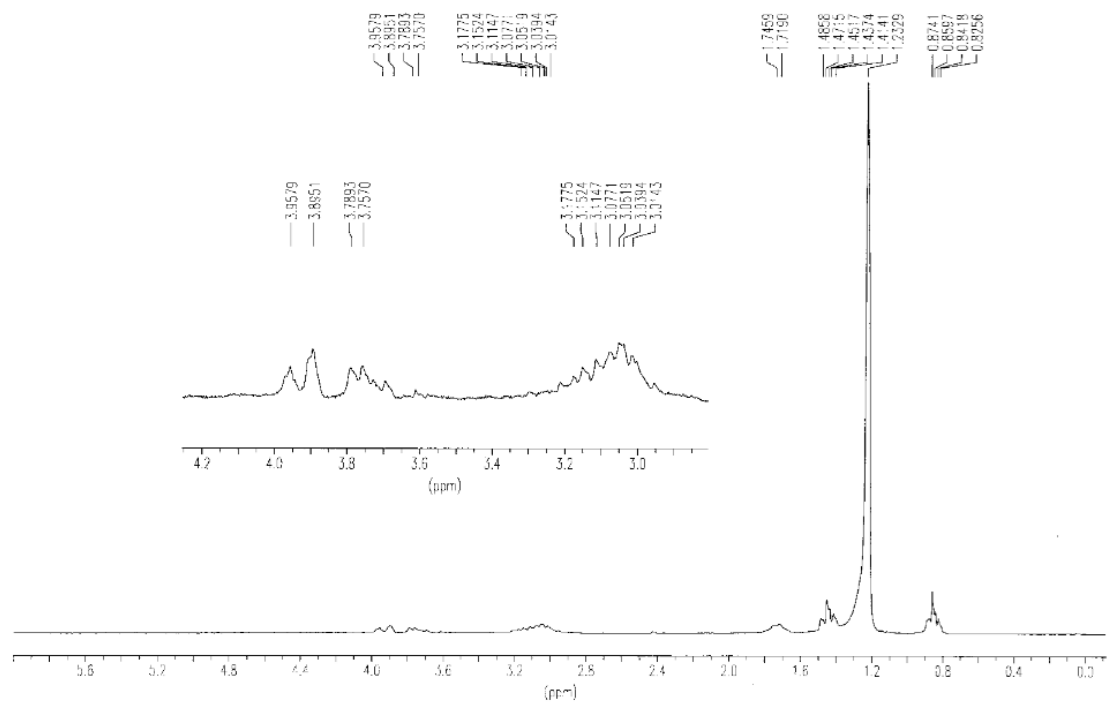


Figura X.87. Espectros de RMN ^1H y ^{13}C del compuesto **6a₁₇**.

+TOF MS: 0.384 min from Sample 4 (LuisR91) of oct130912.wiff
a=3.56417000595401810e-004, t0=-1.02905025533946170e+001 R; subtracted (0.017 to 0... Max. 213.0 counts.

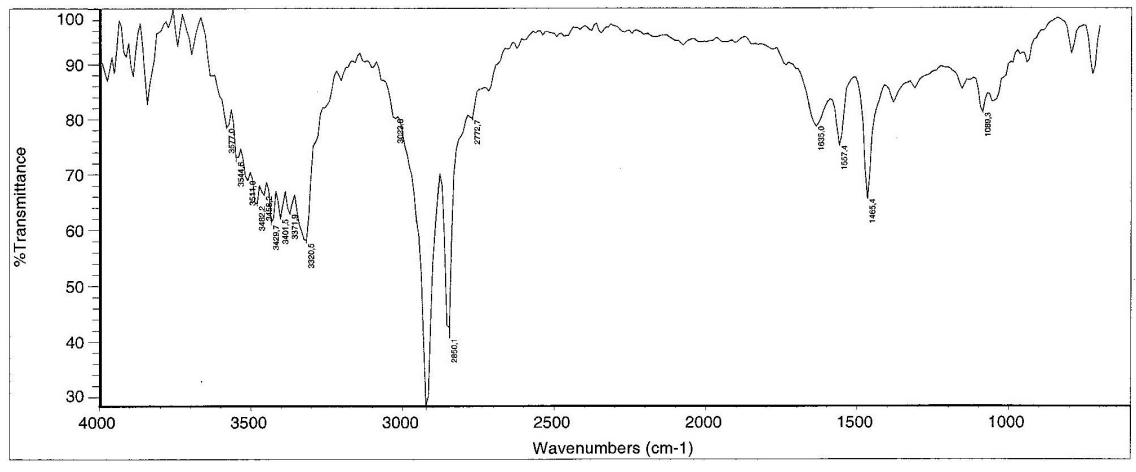
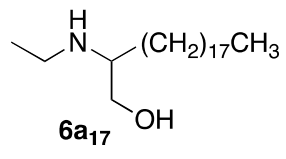
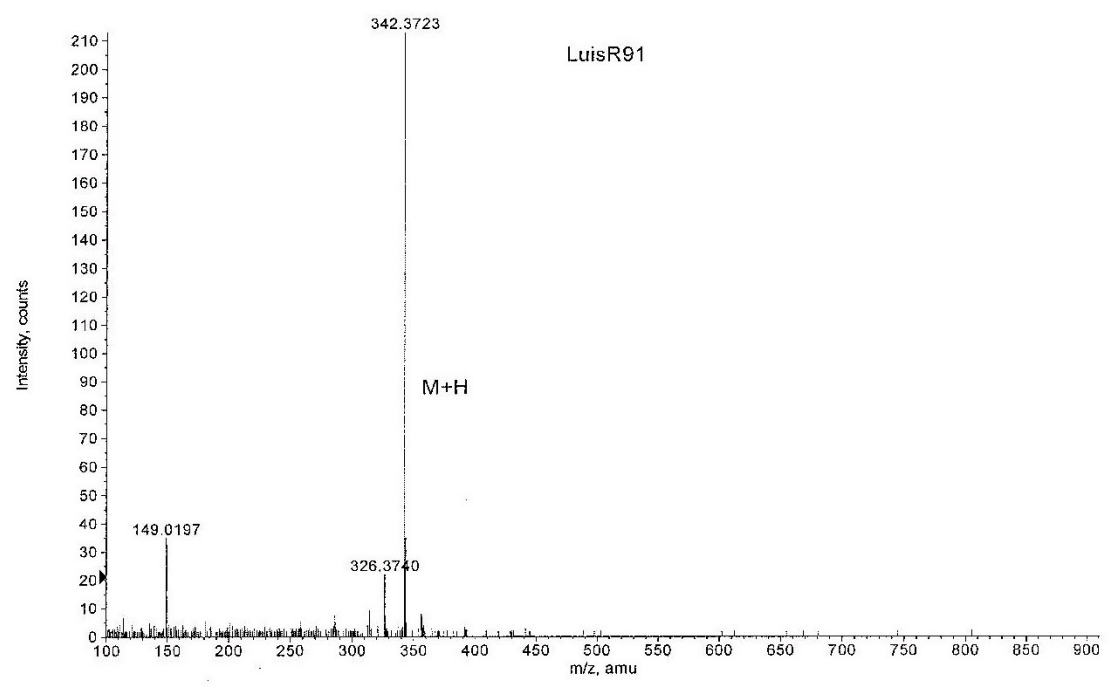


Figura X.88. Espectros de IR y MS del compuesto 6a₁₇.

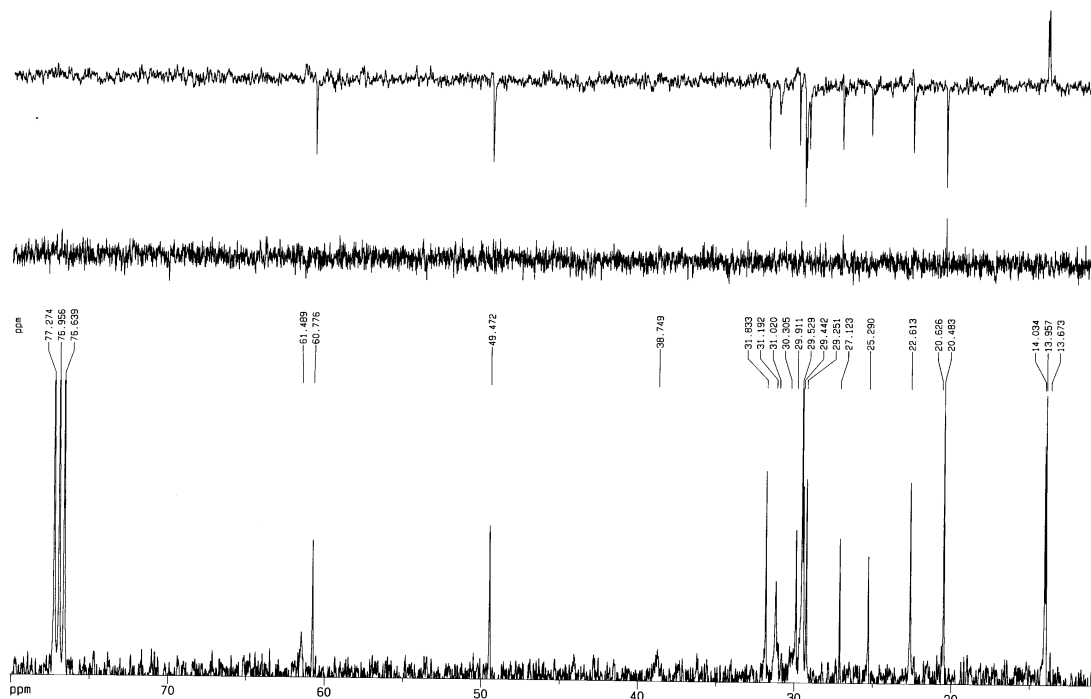
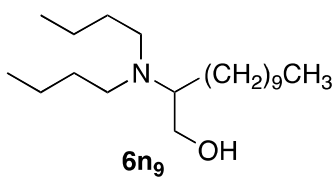
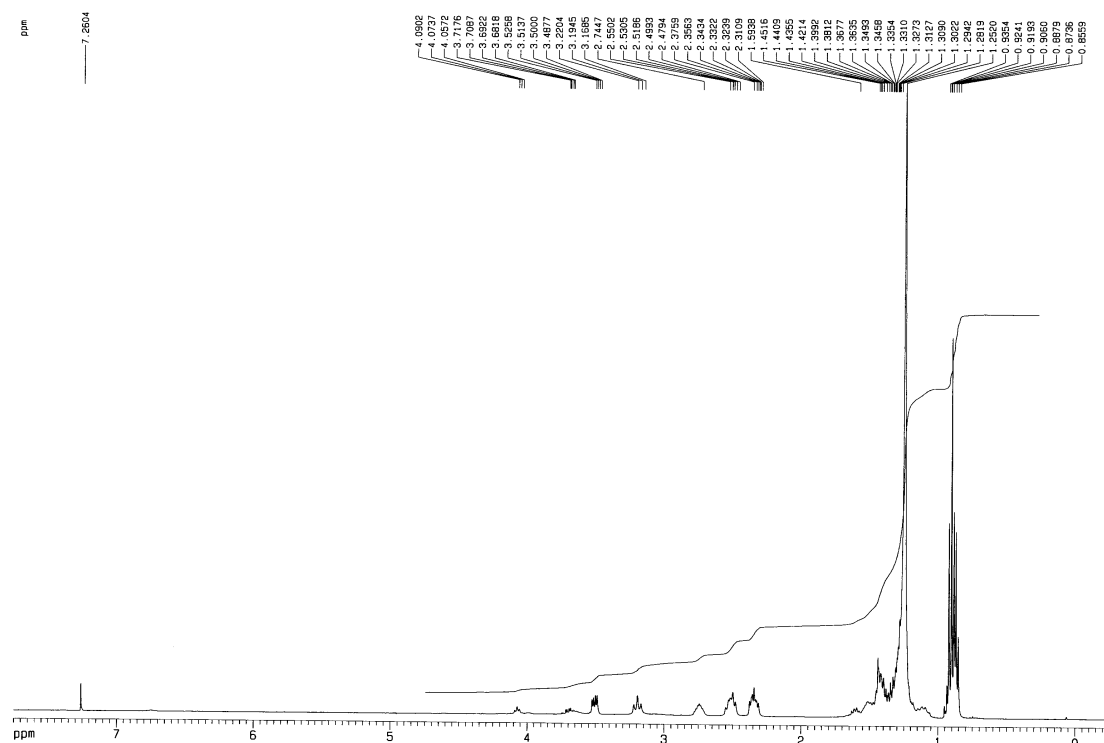


Figura X.89. Espectros de RMN ¹H y ¹³C del compuesto 6n₉.

+TOF MS: 0.517 min from Sample 3 (Luis R186a) of feb2311i2.wiff
a=3.56412415850516310e-004, t0=-1.29905640666183900e+001 R;

Max. 150.0 counts.

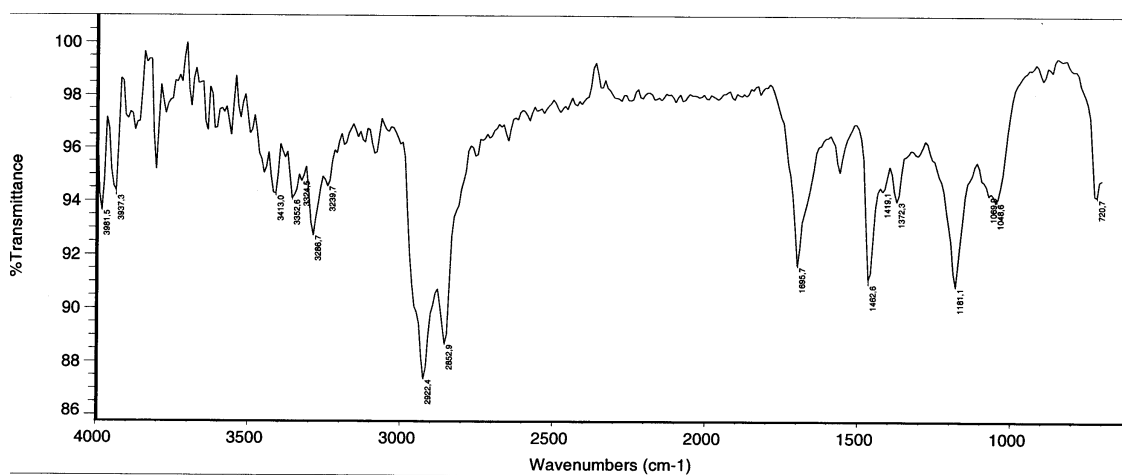
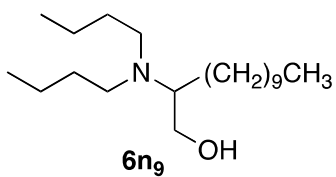
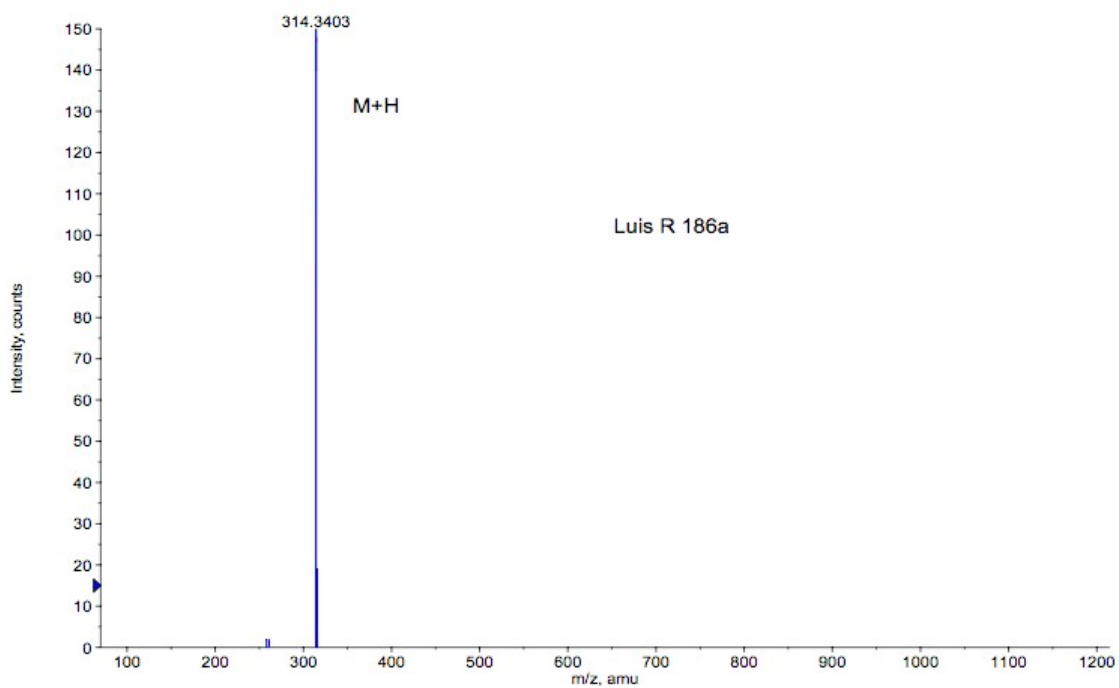


Figura X.90. Espectros de IR y MS del compuesto **6n₉**

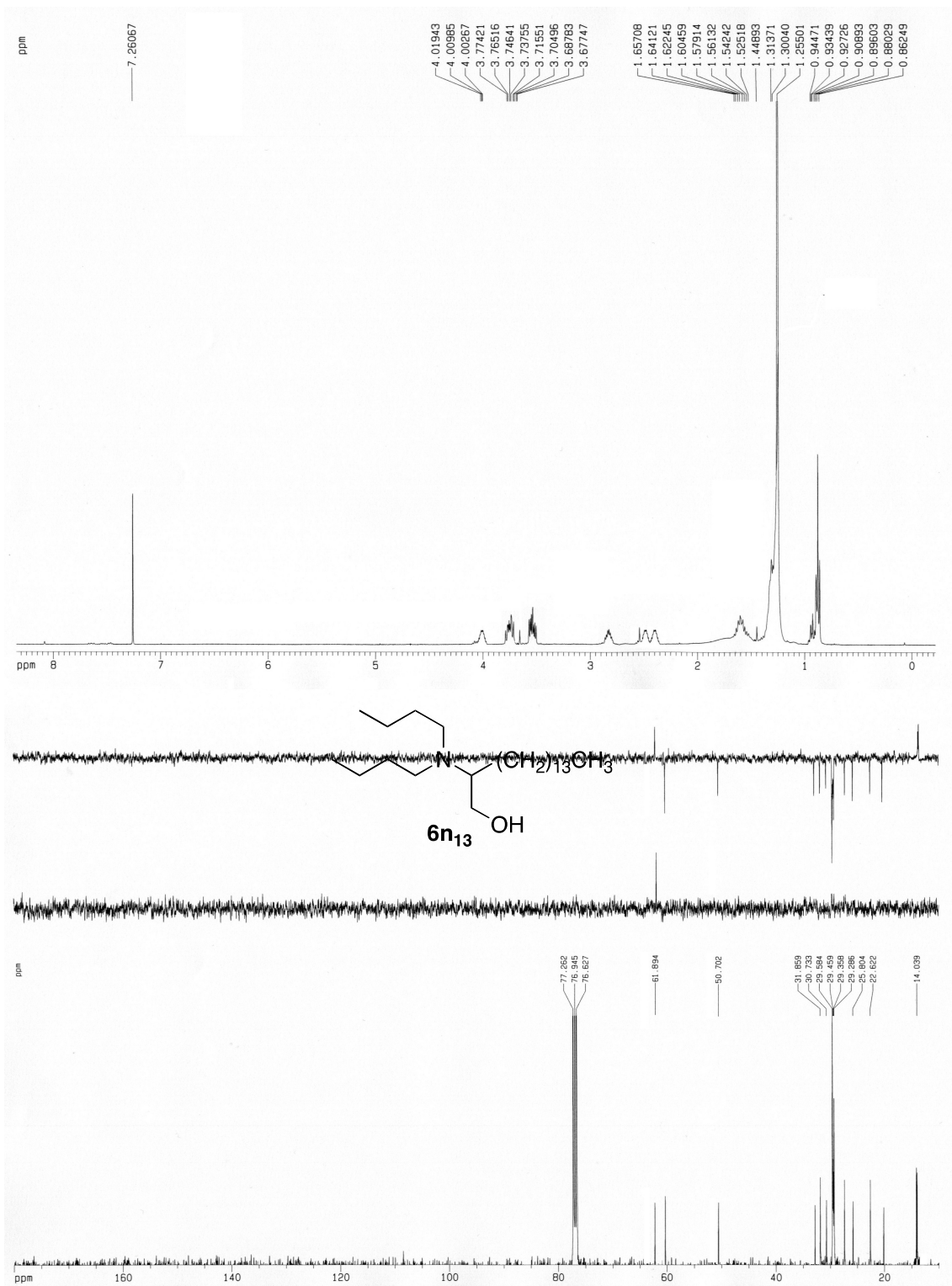


Figura X.91. Espectros de RMN ^1H y ^{13}C del compuesto **6n₁₃**.

+TOF MS: 0.284 min from Sample 5 (Luis R202.2) of oct271111.wiff
a=3.56671011164009690e-004, t0=-3.51450310762229490e+001 R, subtracted (0.034 to 0... Max. 410.0 counts.

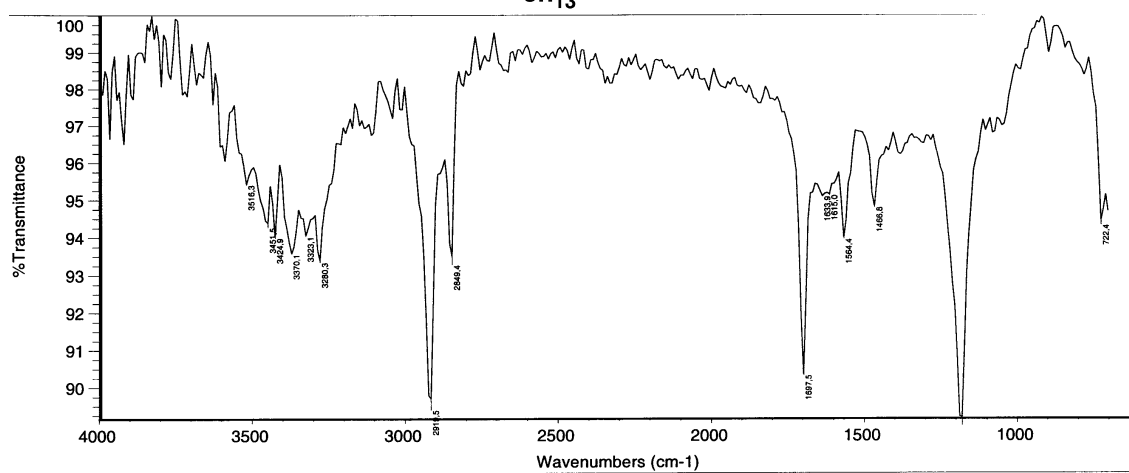
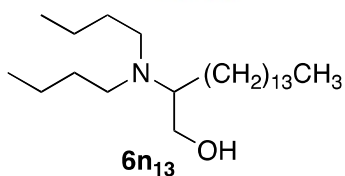
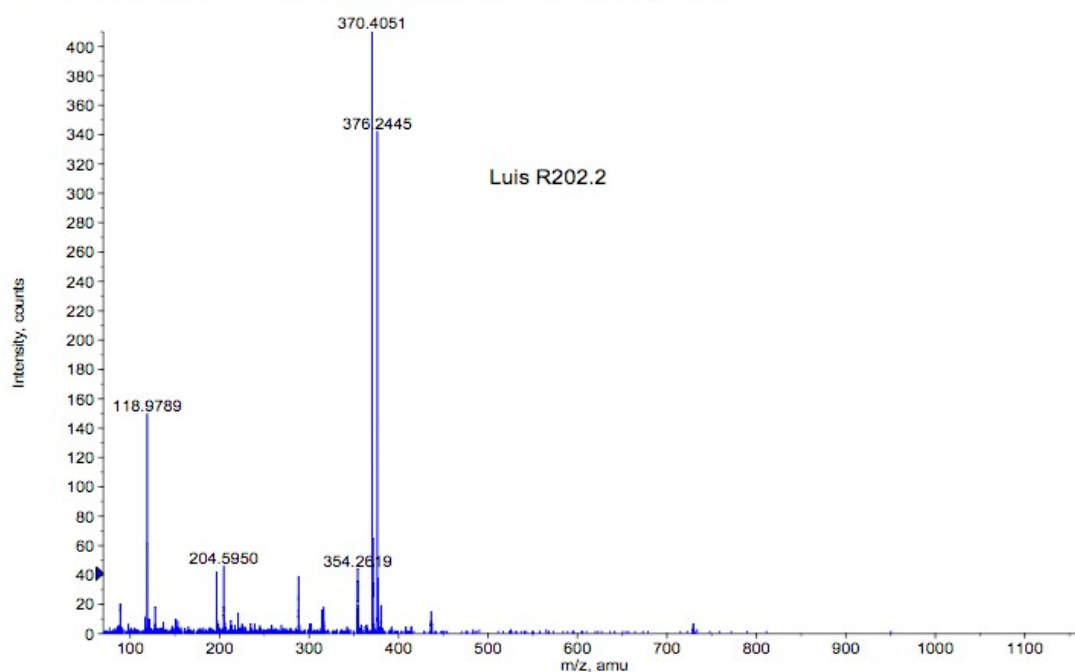


Figura X.92. Espectros de IR y MS del compuesto **6n₁₃**

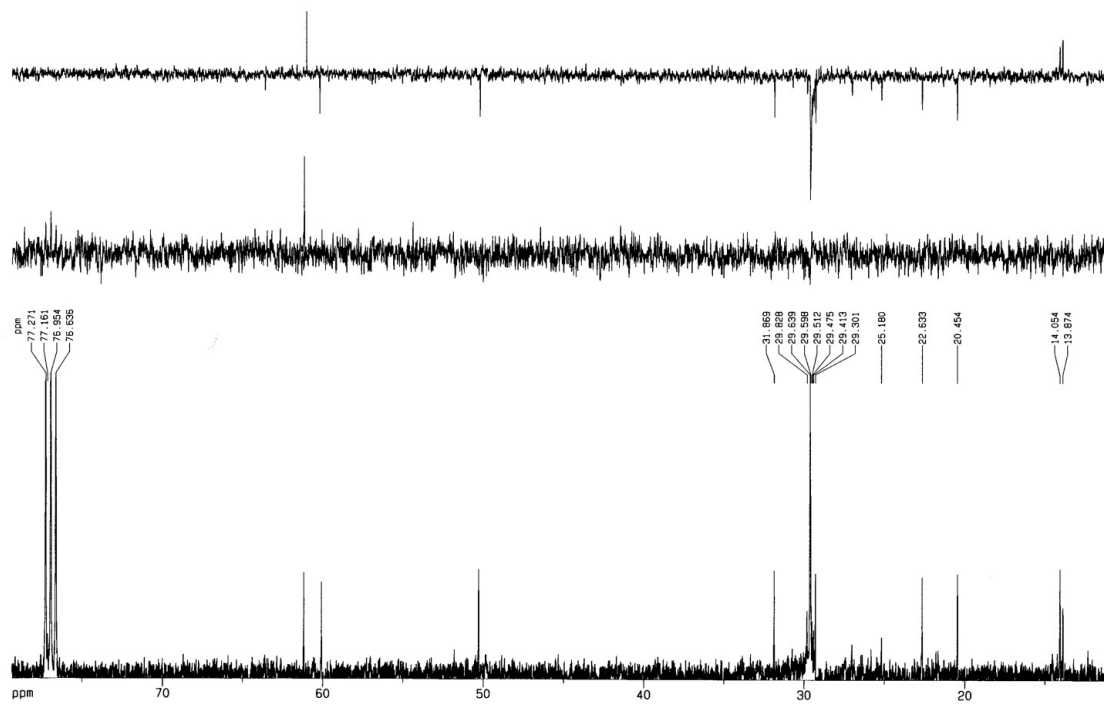
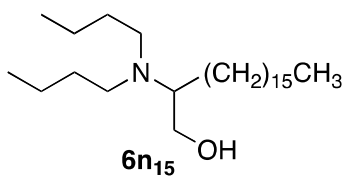
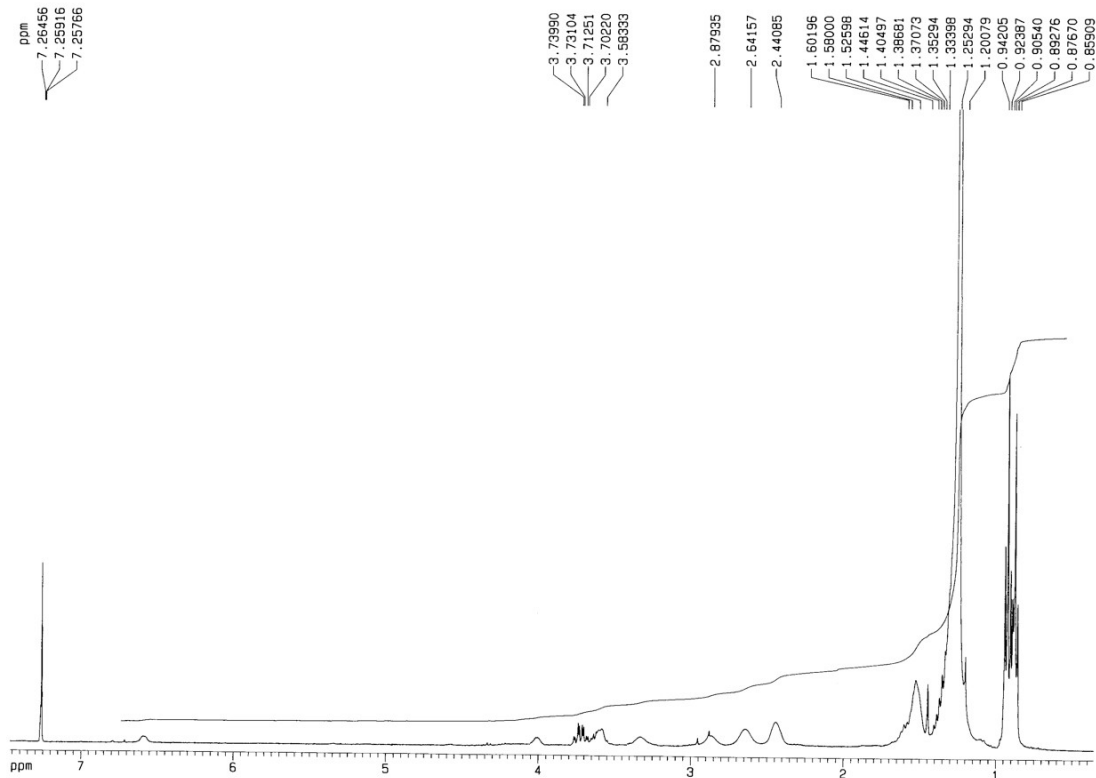


Figura X.93. Espectros de RMN ^1H y ^{13}C del compuesto $6n_{15}$.

+TOF MS: 0.467 min from Sample 2 (Luis R185a) of feb231112.wiff
a=3.56412415850516310e-004, t0=-1.29905640666183900e+001 R;

Max. 174.0 counts.

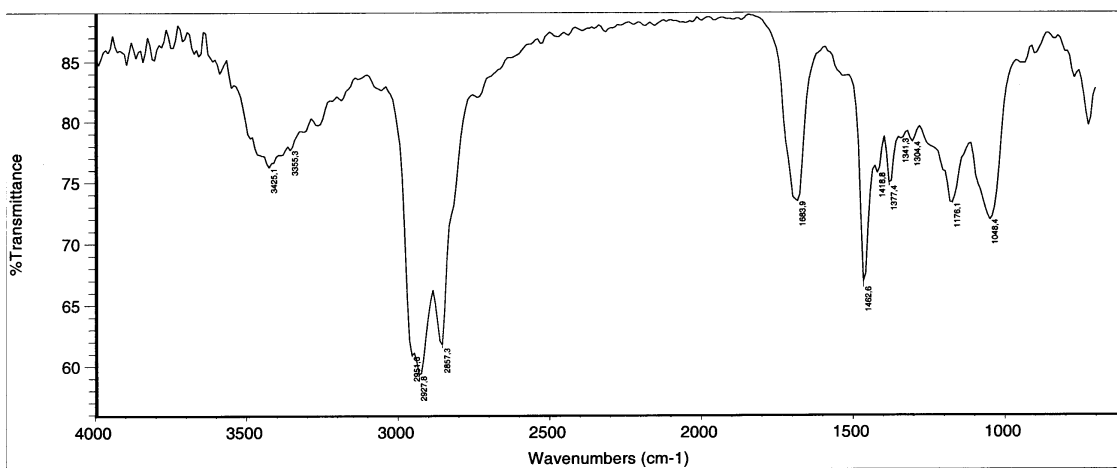
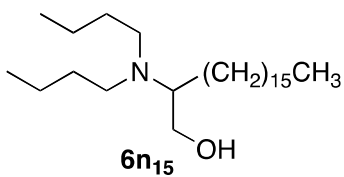
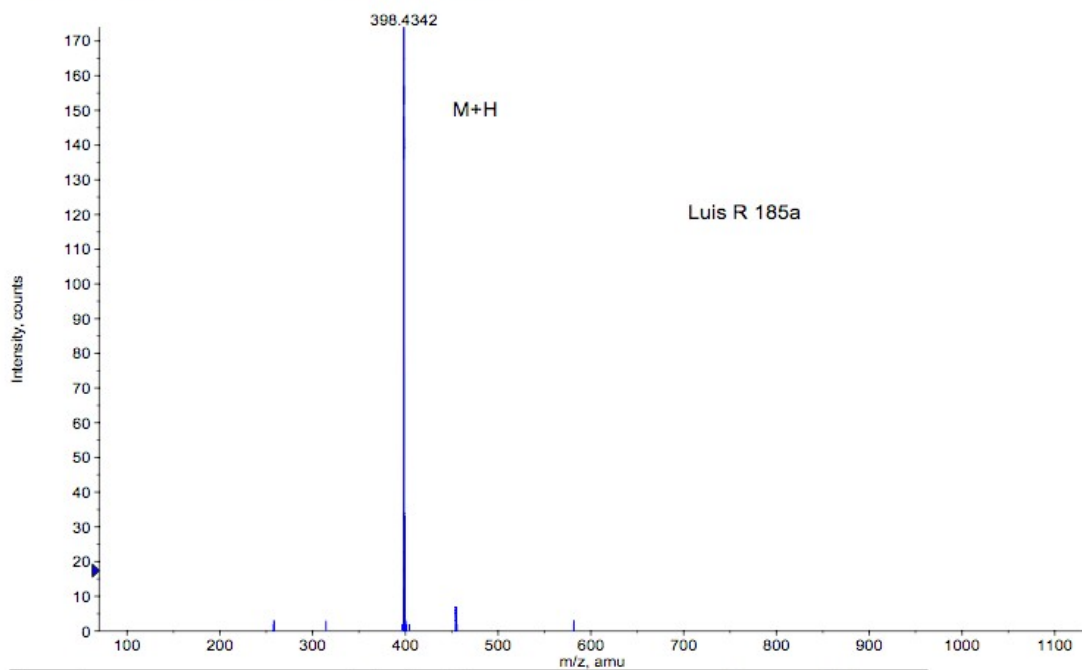


Figura X.94. Espectros de IR y MS del compuesto **6n₁₅**

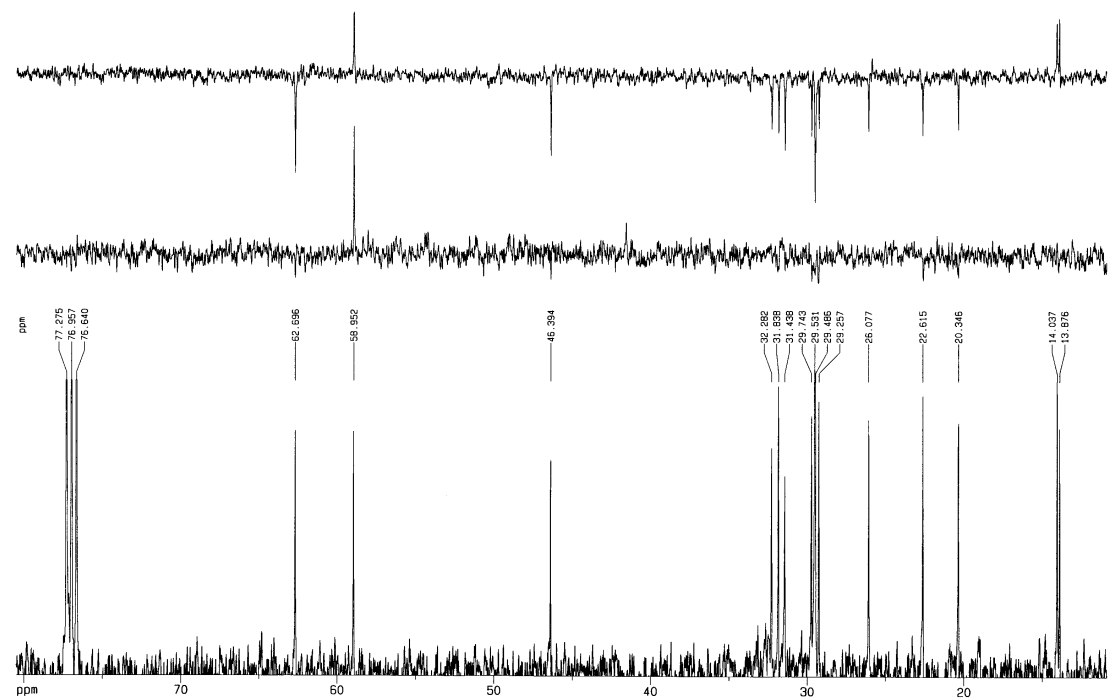
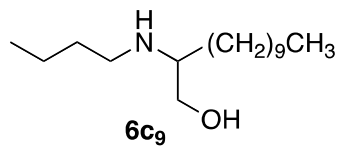
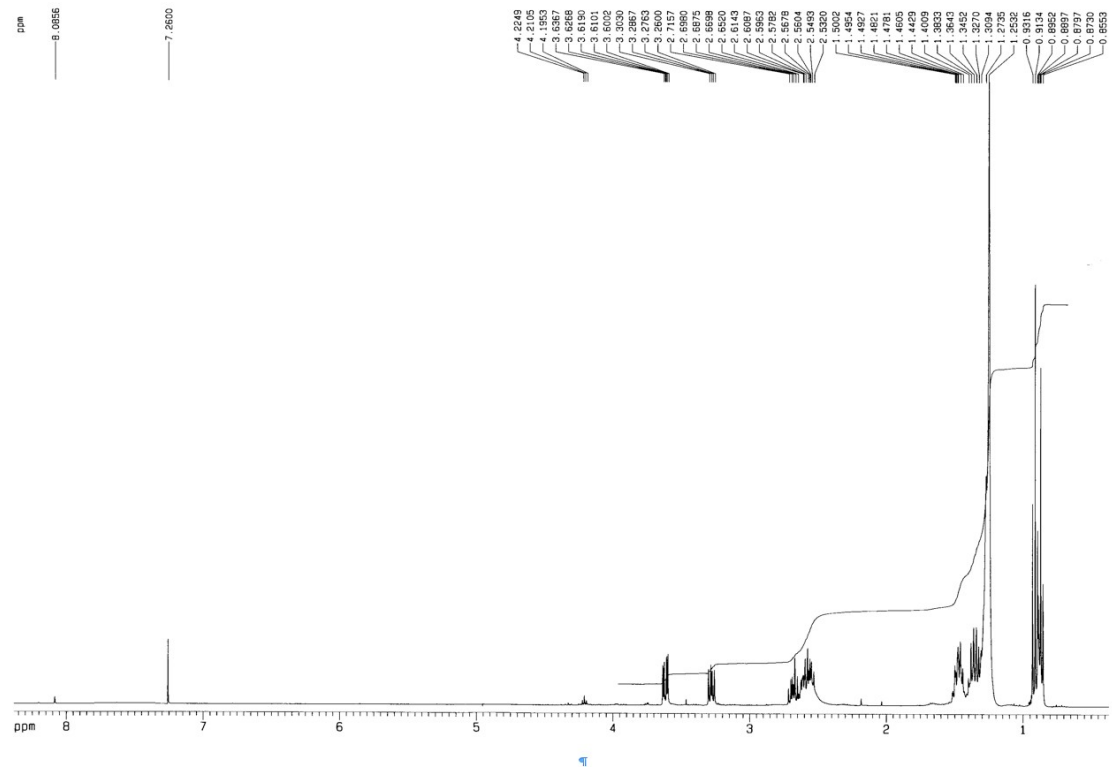


Figura X.95. Espectros de RMN ^1H y ^{13}C del compuesto 6c₉.

+TOF MS: 0.600 min from Sample 5 (Luis R186b) of feb231111.wiff
a=3.56439932360834110e-004, t0=-1.04579457734507740e+001 R;

Max. 180.0 counts.

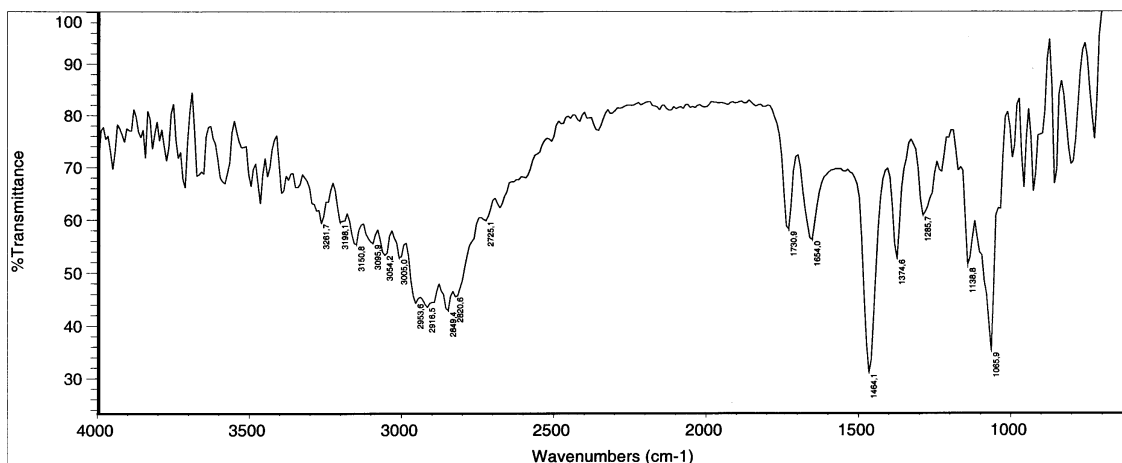
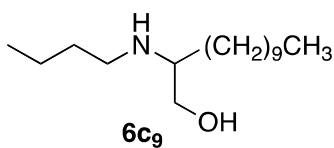
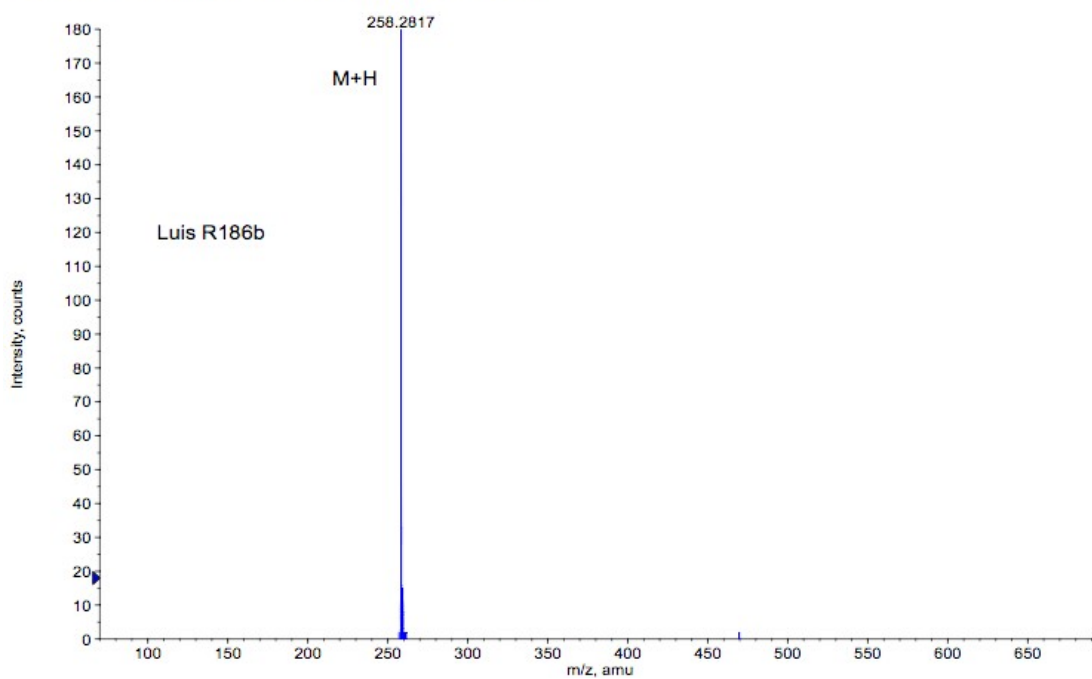


Figura X.96. Espectros de IR y MS del compuesto **6c9**

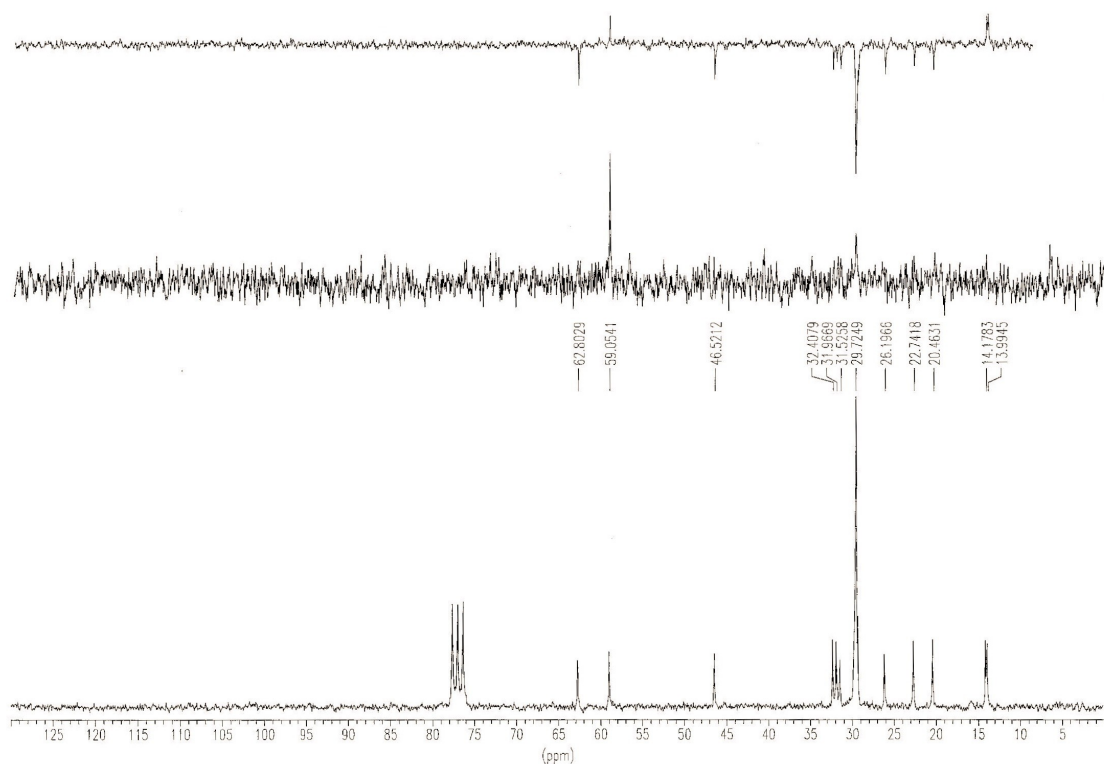
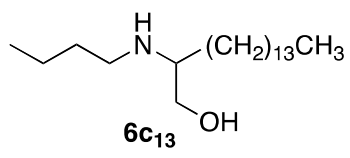
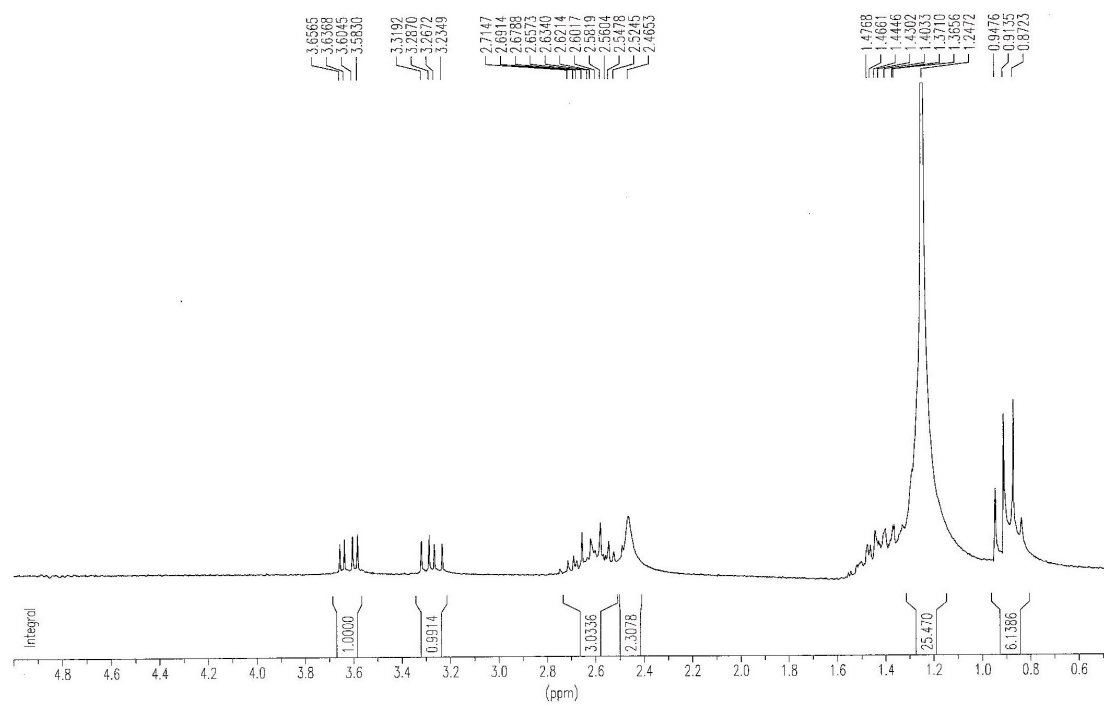


Figura X.97. Espectros de RMN ¹H y ¹³C del compuesto 6c₁₃.

+TOF MS: 0.884 min from Sample 4 (Luis R117) of dic160913.wiff
a=3.56387500352920940e-004, t0=-1.01982463813874350e+001 R., subtracted (0.034 to 0...

Max. 547.0 counts.

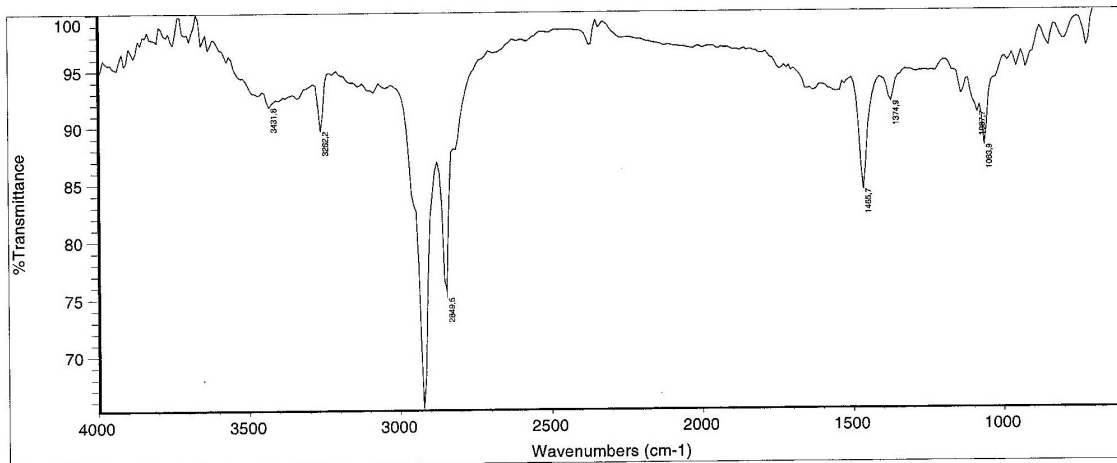
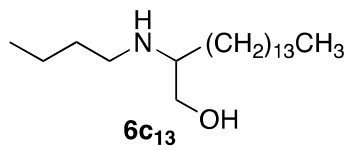
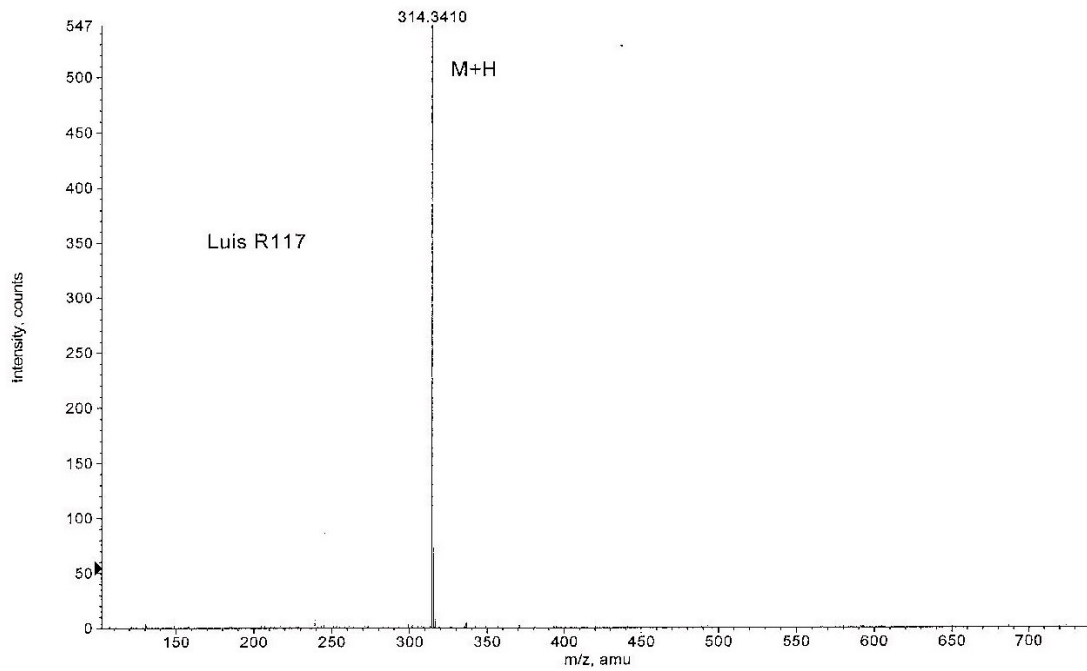


Figura X.98. Espectros de IR y MS del compuesto **6c₁₃**.

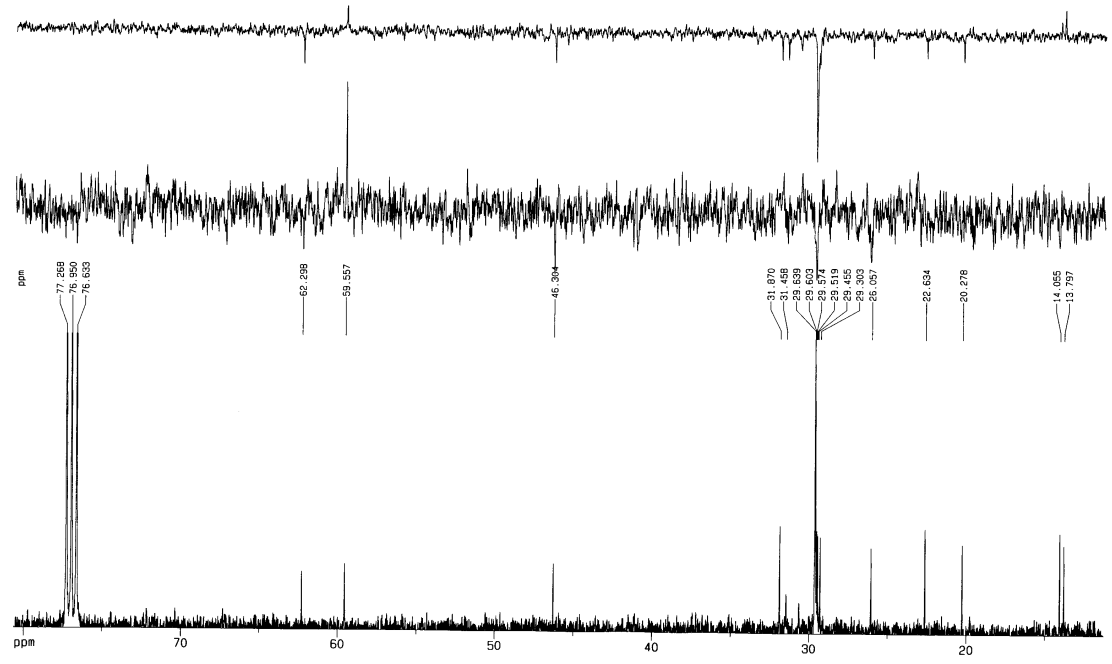
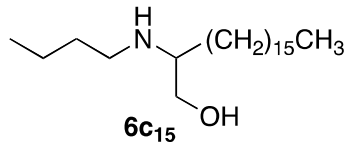
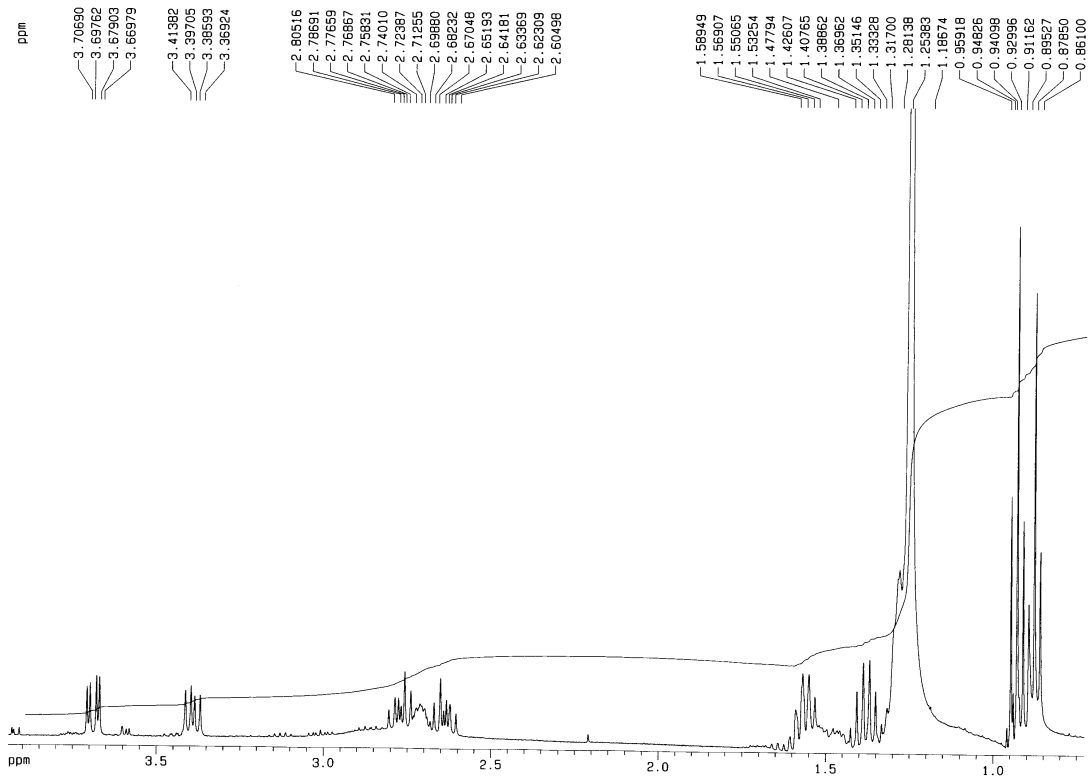


Figura X.99. Espectros de RMN ¹H y ¹³C del compuesto 6c₁₅.

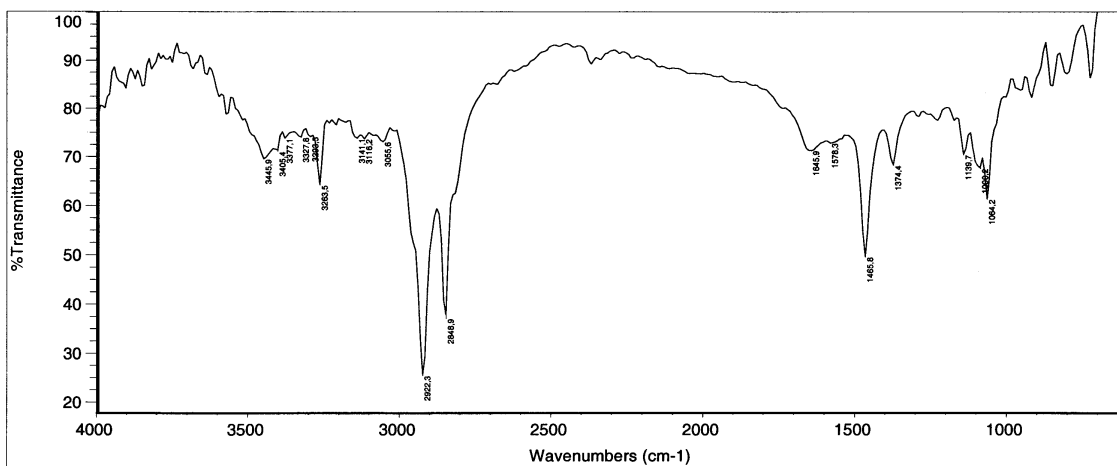
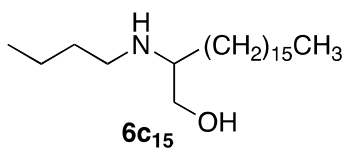
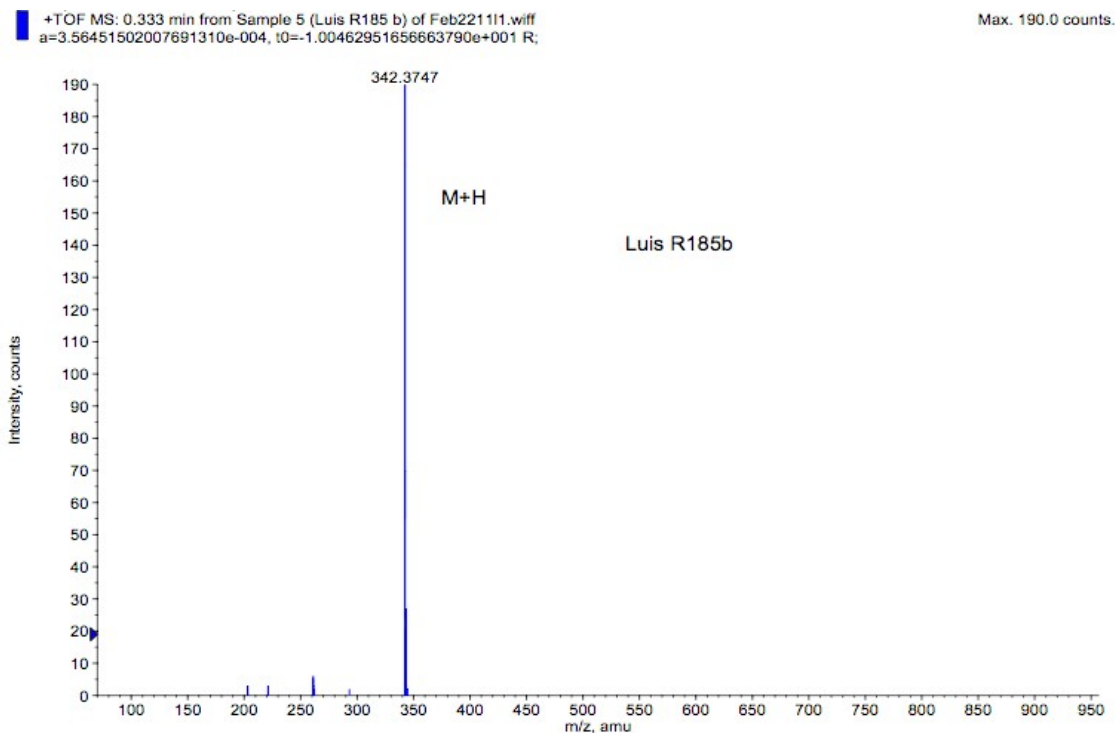


Figura X.100. Espectros de IR y MS del compuesto **6c₁₅**.

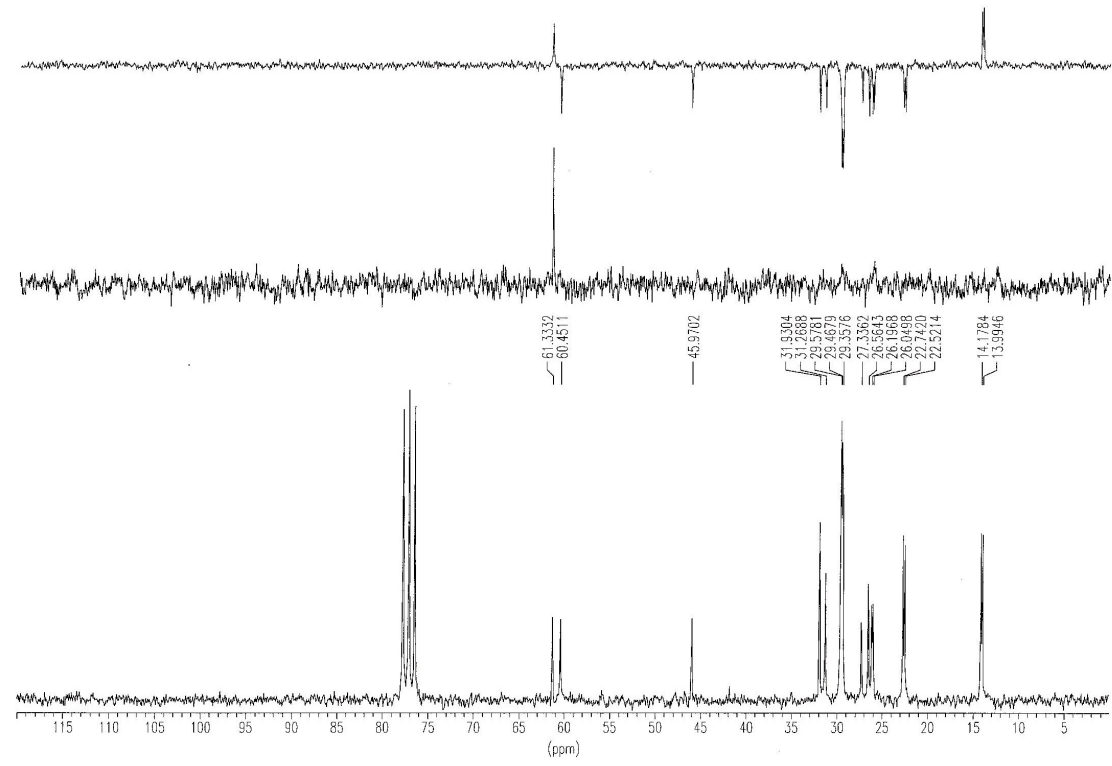
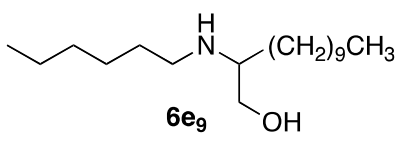
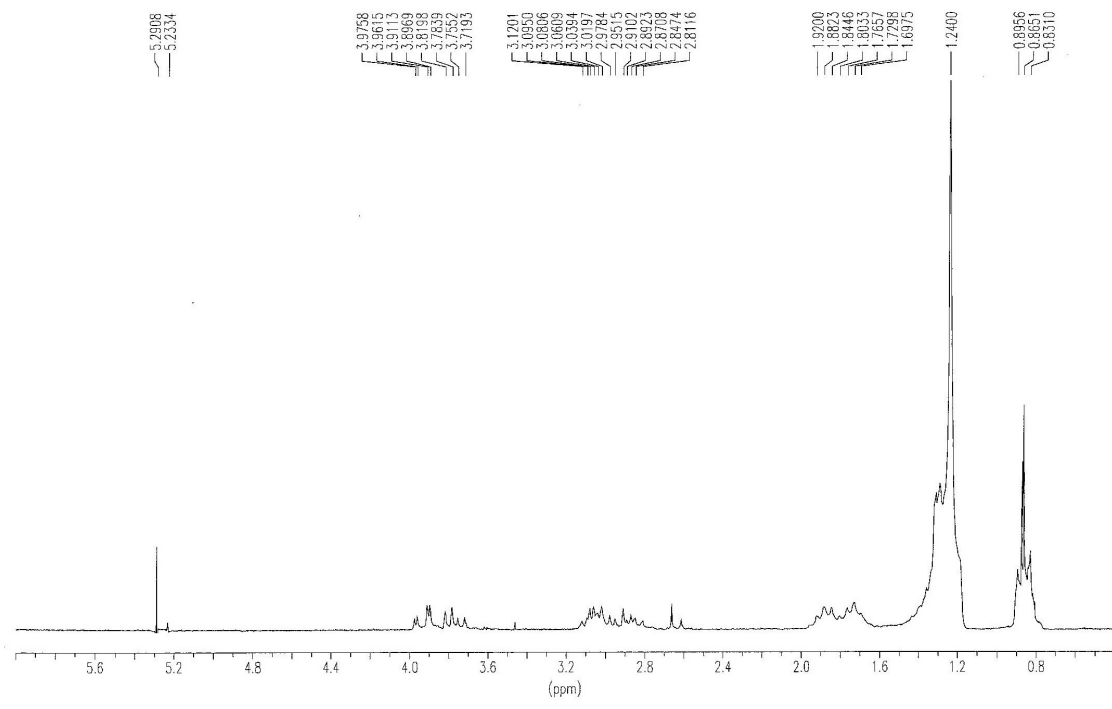


Figura X.101. Espectros de RMN ^1H y ^{13}C del compuesto **6e₉**.

+TOF MS: 0.834 min from Sample 2 (LuisR98) of oct130913.wiff
a=3.56418514257763820e-004, t0=-1.01668565205327470e+001 R_i, subtracted (0.017 to 0...

Max. 218.0 counts.

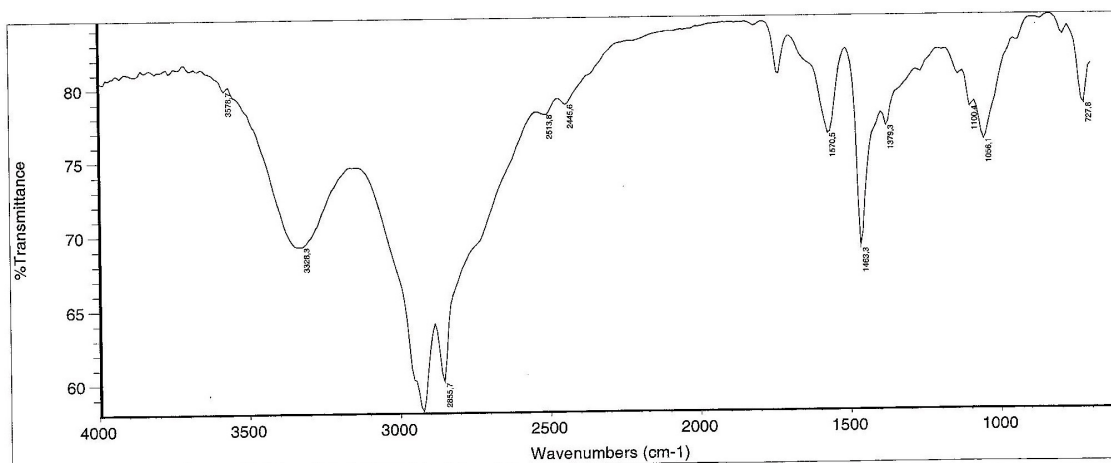
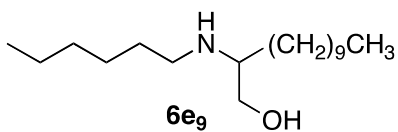
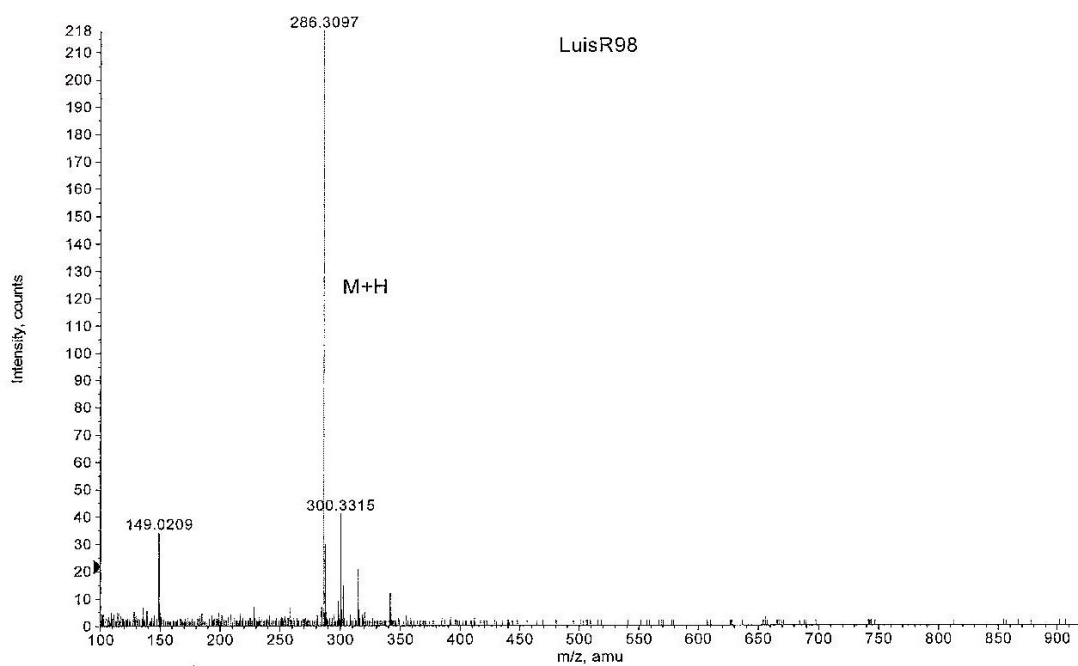


Figura X.102. Espectros de IR y MS del compuesto **6e9**.

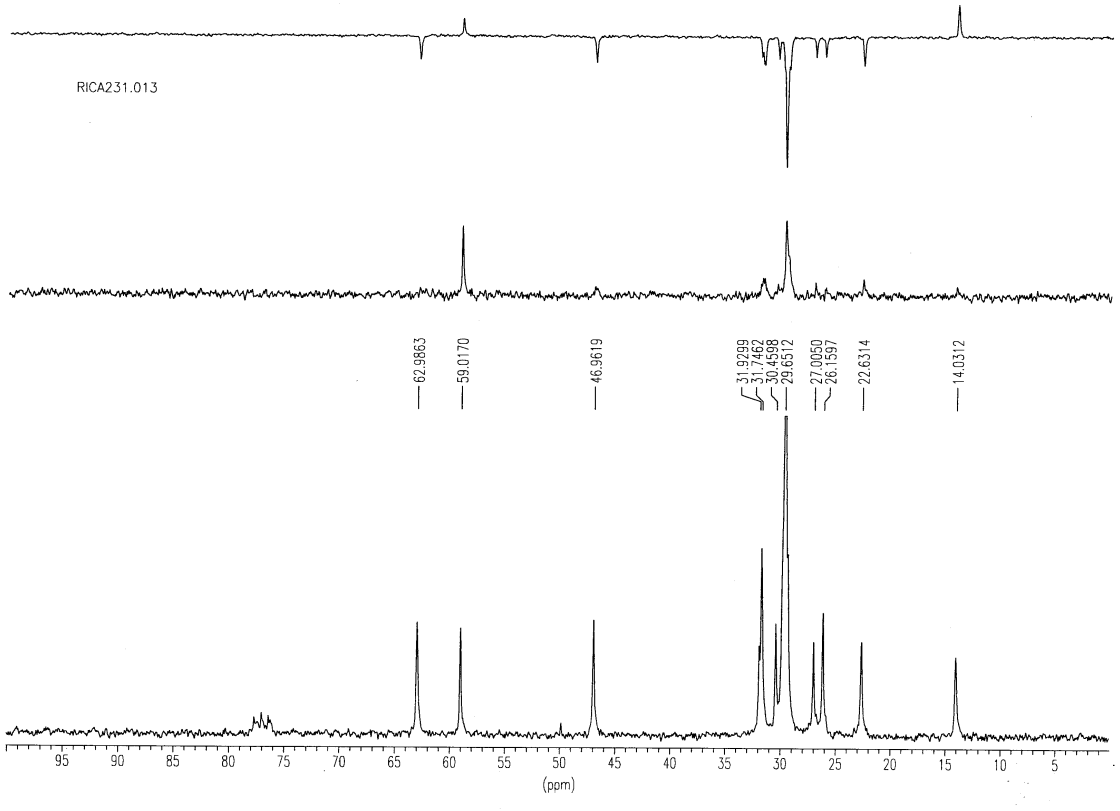
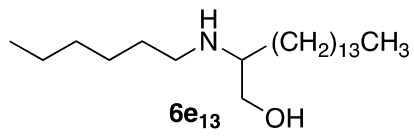
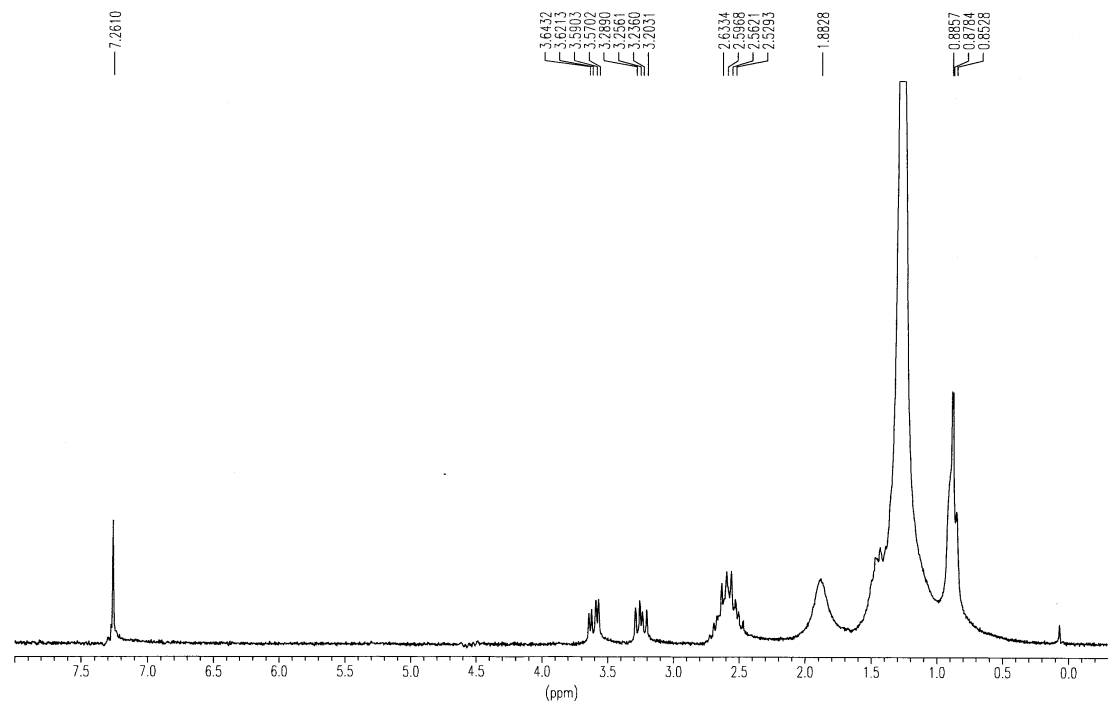


Figura X.103. Espectros de RMN ¹H y ¹³C del compuesto **6e₁₃**.

+TOF MS: 0.950 min from Sample 4 (Luis R203) of nov11111.wiff
a=3.56665831078924690e-004, t0=-3.55481576667843910e+001 R; , subtracted (0.034 to 0... Max. 714.0 counts.

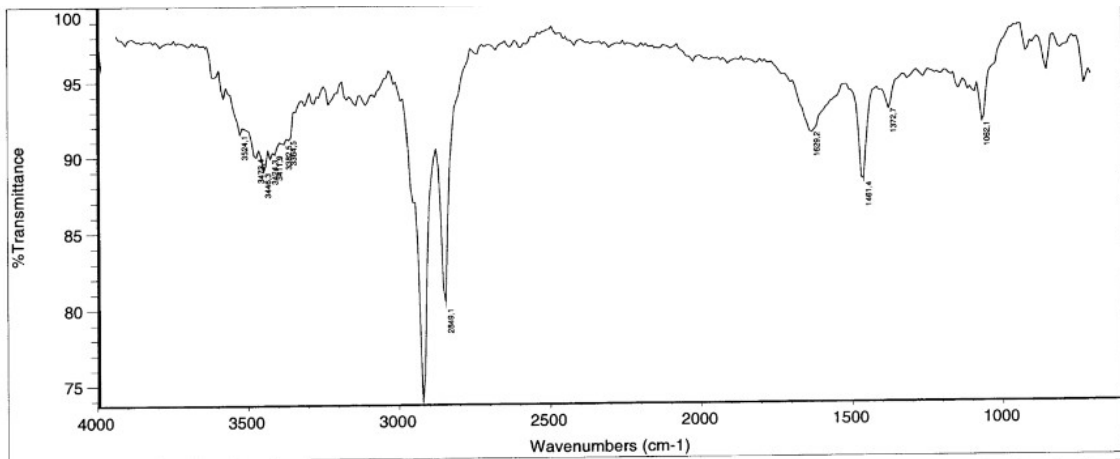
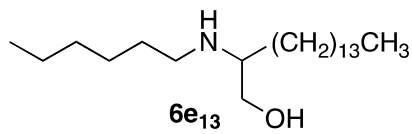
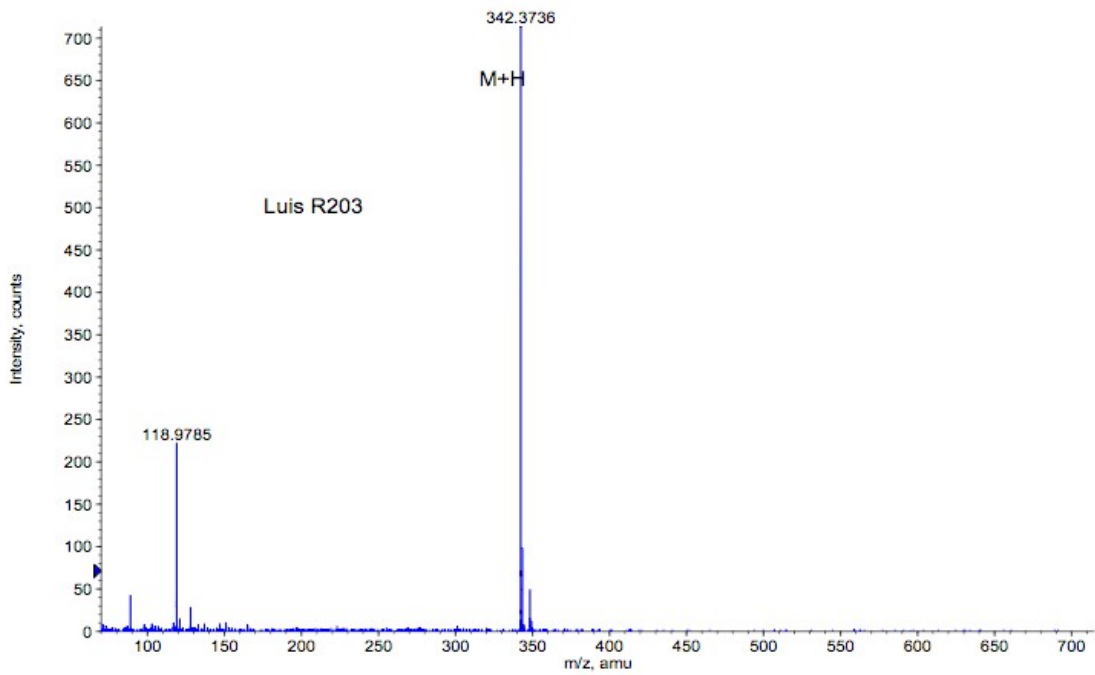


Figura X.104. Espectros de IR y MS del compuesto **6e₁₃**.

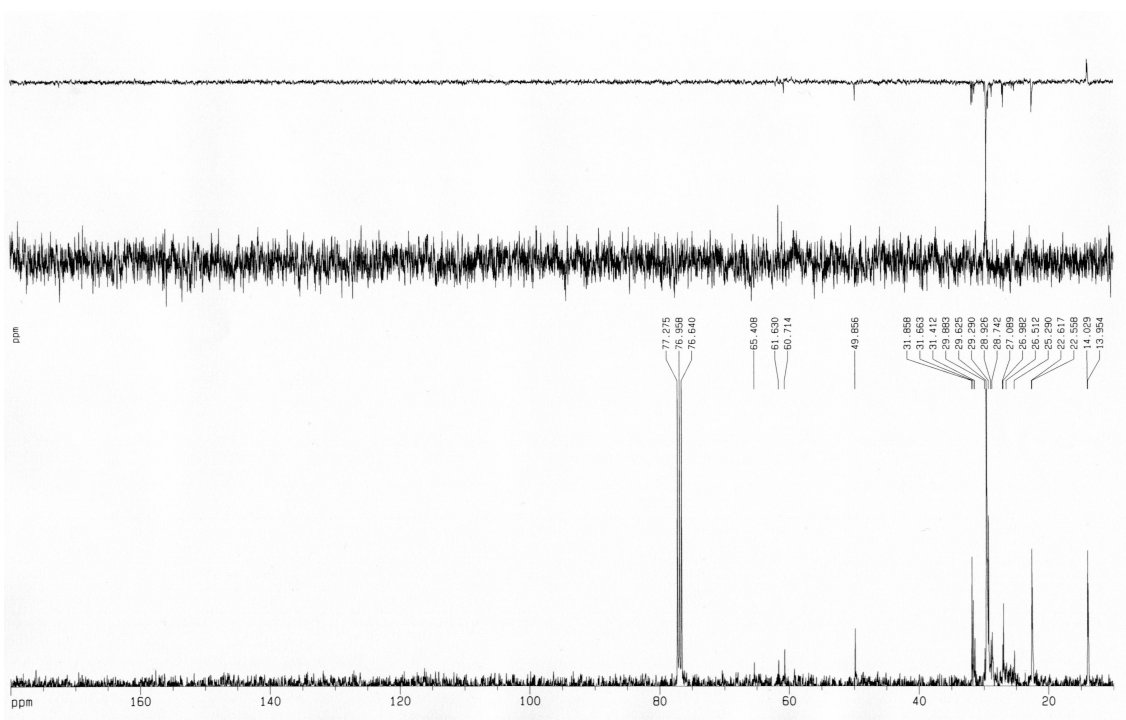
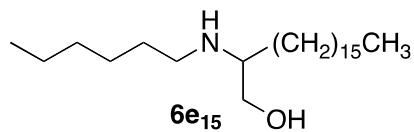
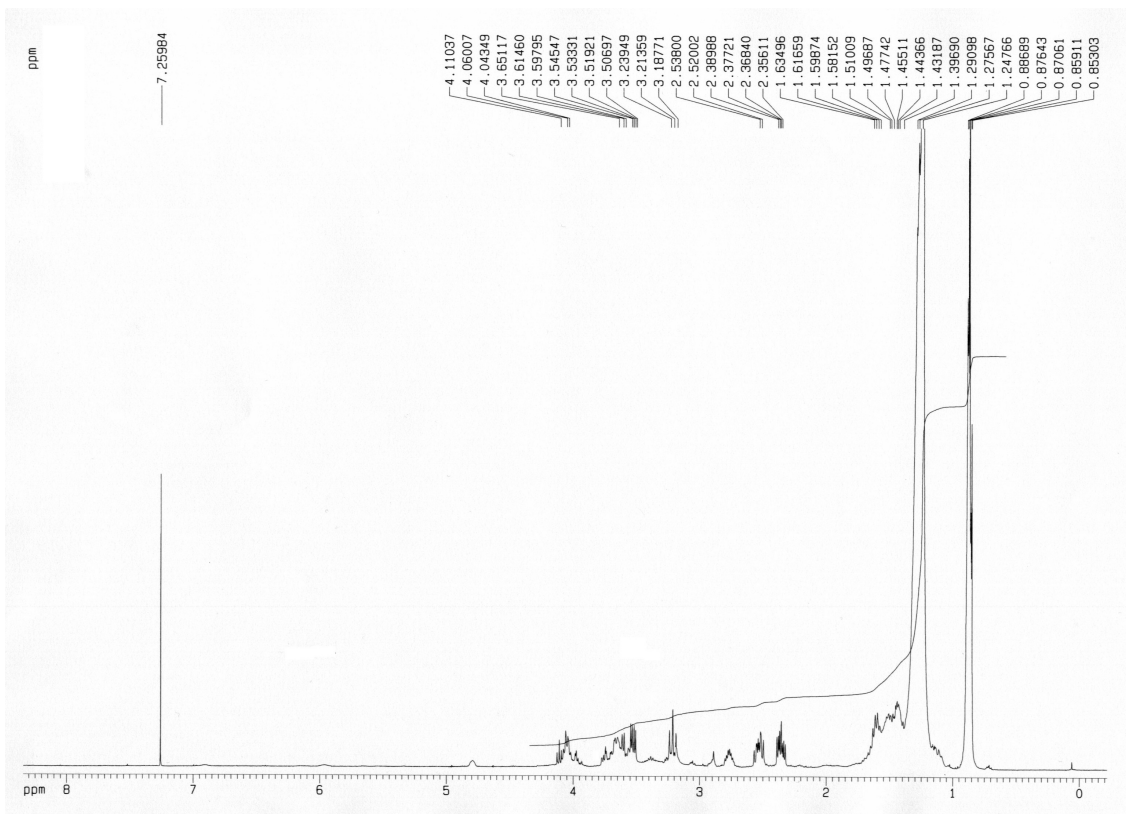


Figura X.105. Espectros de RMN ¹H y ¹³C del compuesto **6e₁₅**.

+TOF MS: 0.367 min from Sample 2 (LuisR85.2) of oct130912.wiff
a=3.56417000595401810e-004, t0=-1.02905025533946170e+001 R_i, subtracted (0.017 to 0...

Max. 159.0 counts.

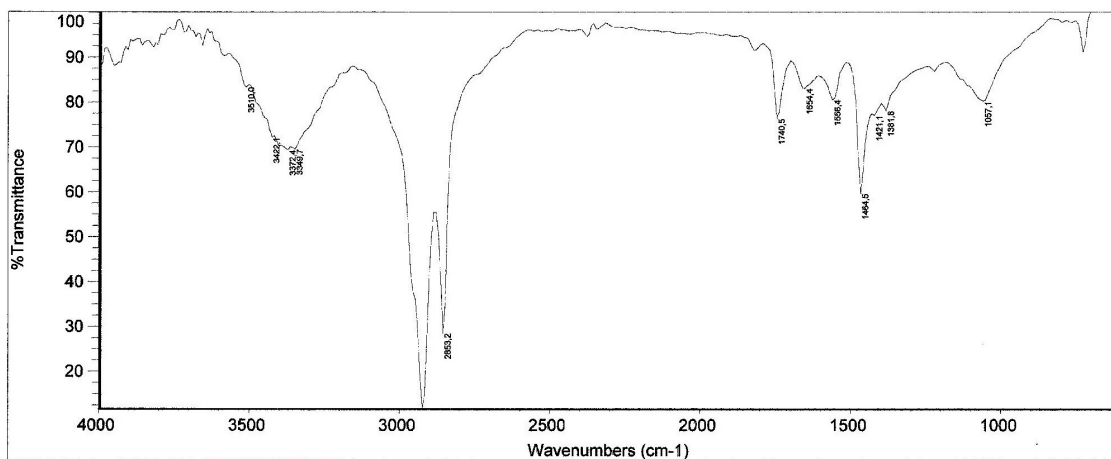
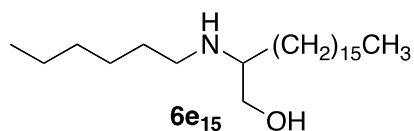
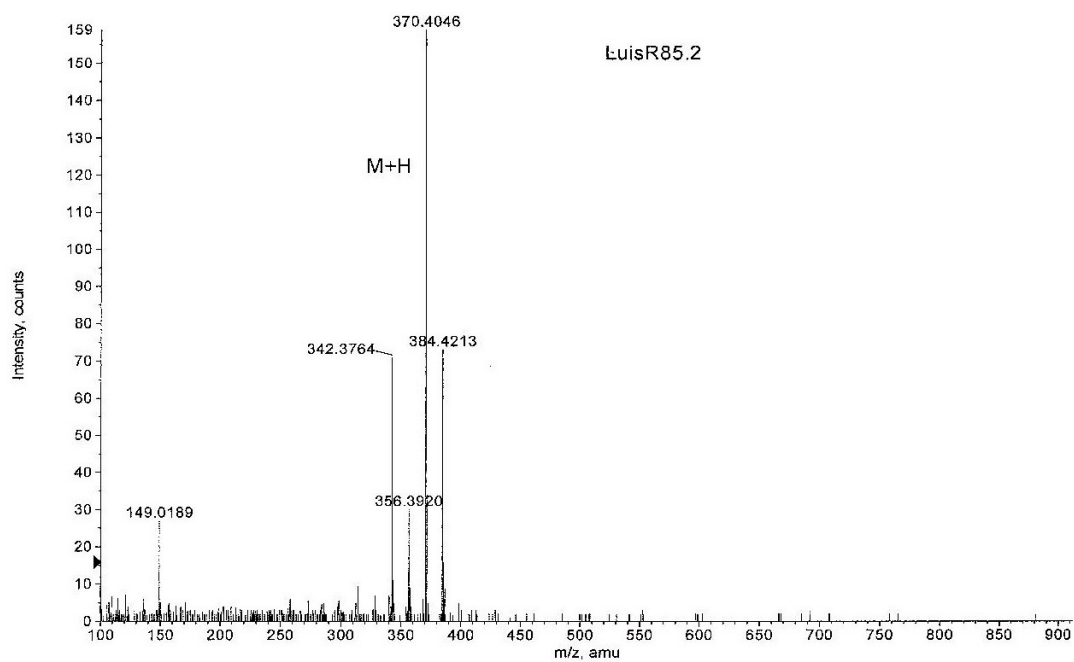


Figura X.106. Espectros de IR y MS del compuesto **6e₁₅**.

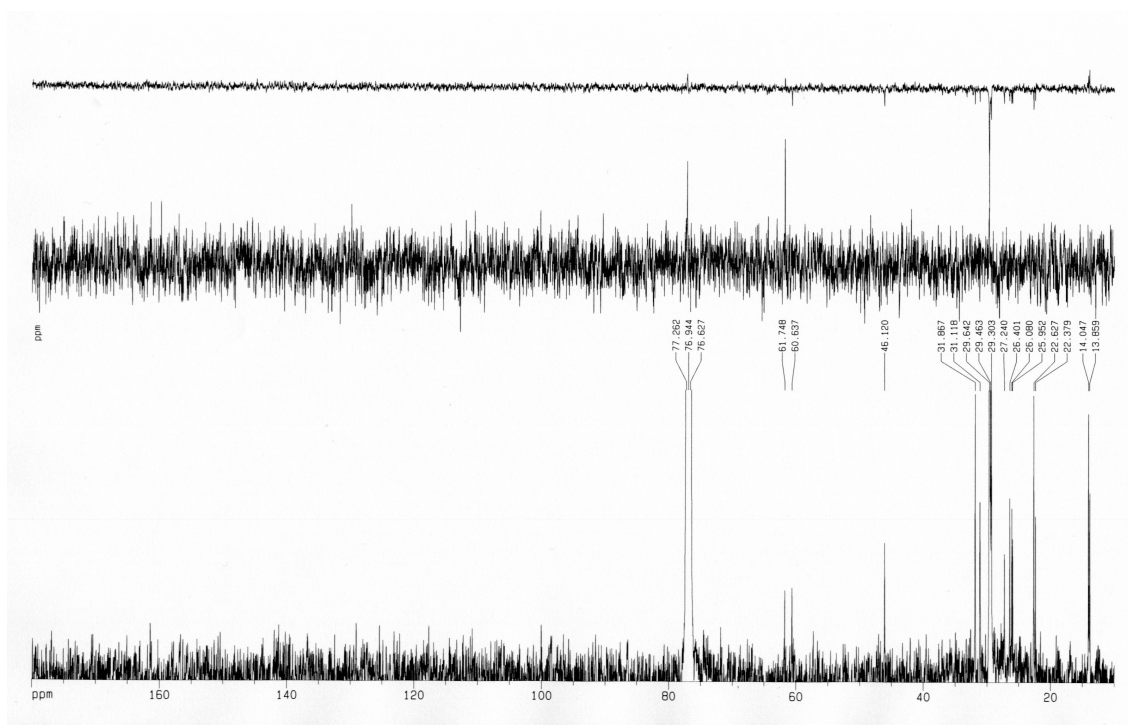
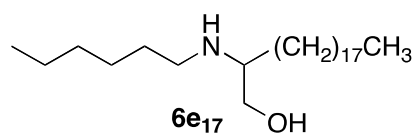
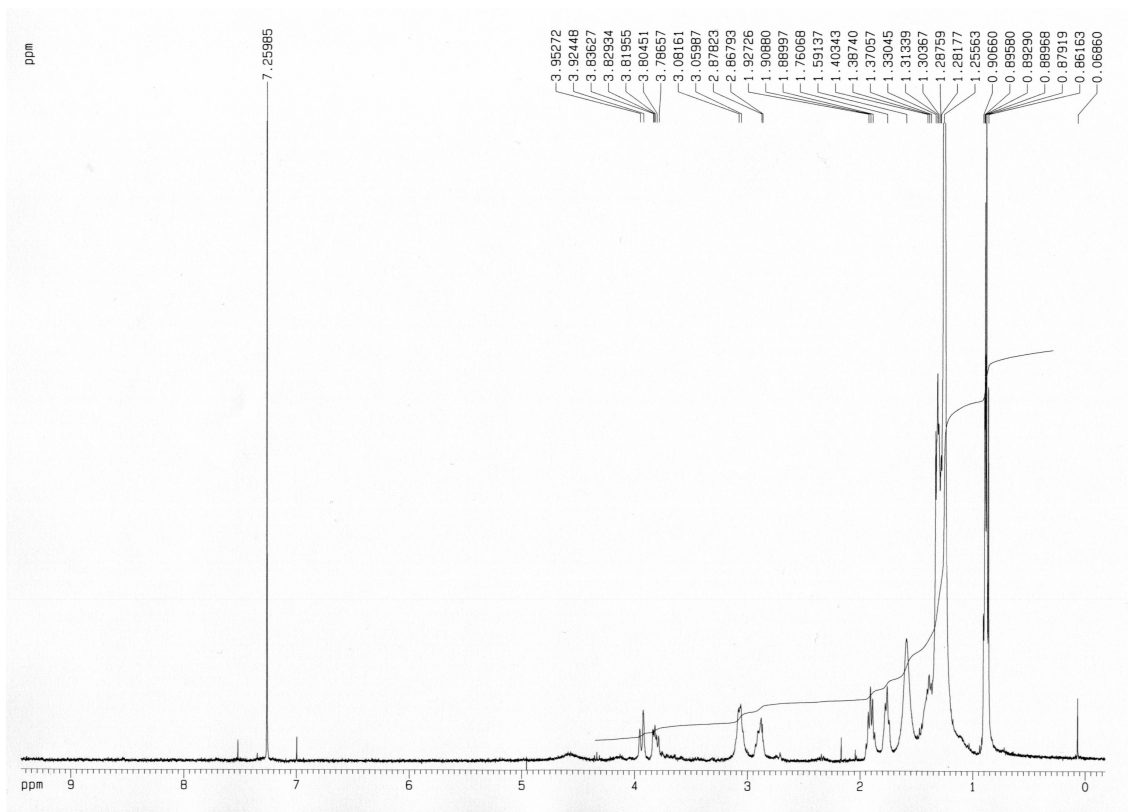


Figura X.107. Espectros de RMN ^1H y ^{13}C del compuesto **6e₁₇**.

+TOF MS: 0.317 min from Sample 4 (LuisR99) of oct270911.wiff
a=3.56413345469551160e-004, t0=-1.04097717487493360e+001 R_i; subtracted (0.017 to 0...

Max: 621.0 counts.

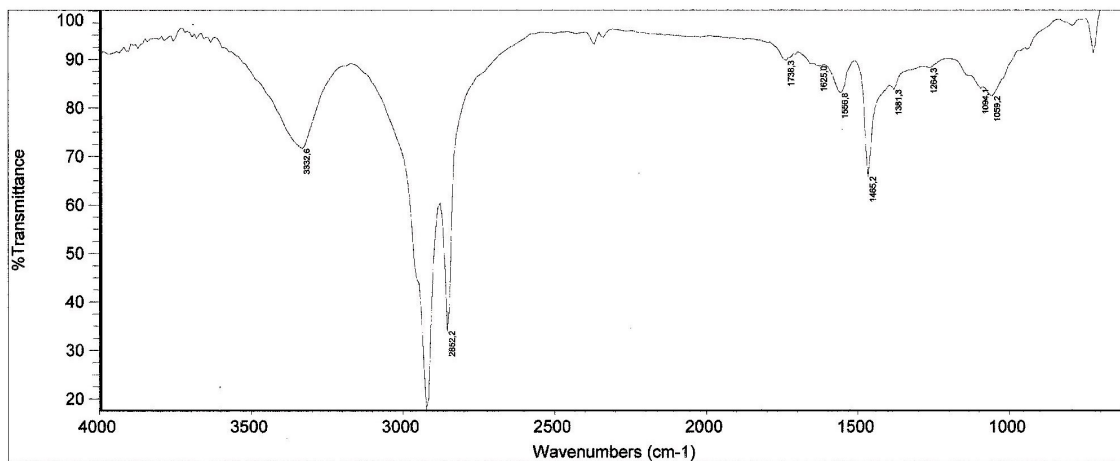
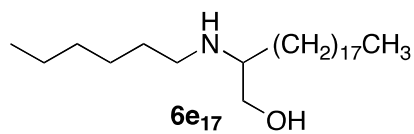
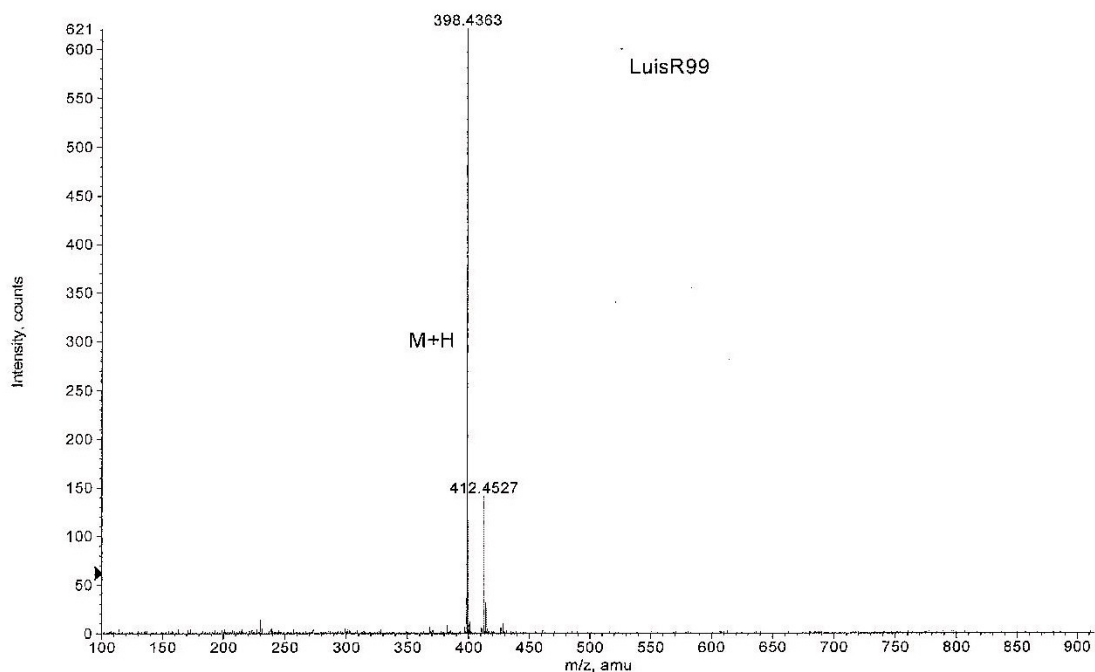


Figura X.108. Espectros de IR y MS del compuesto **6e₁₇**.

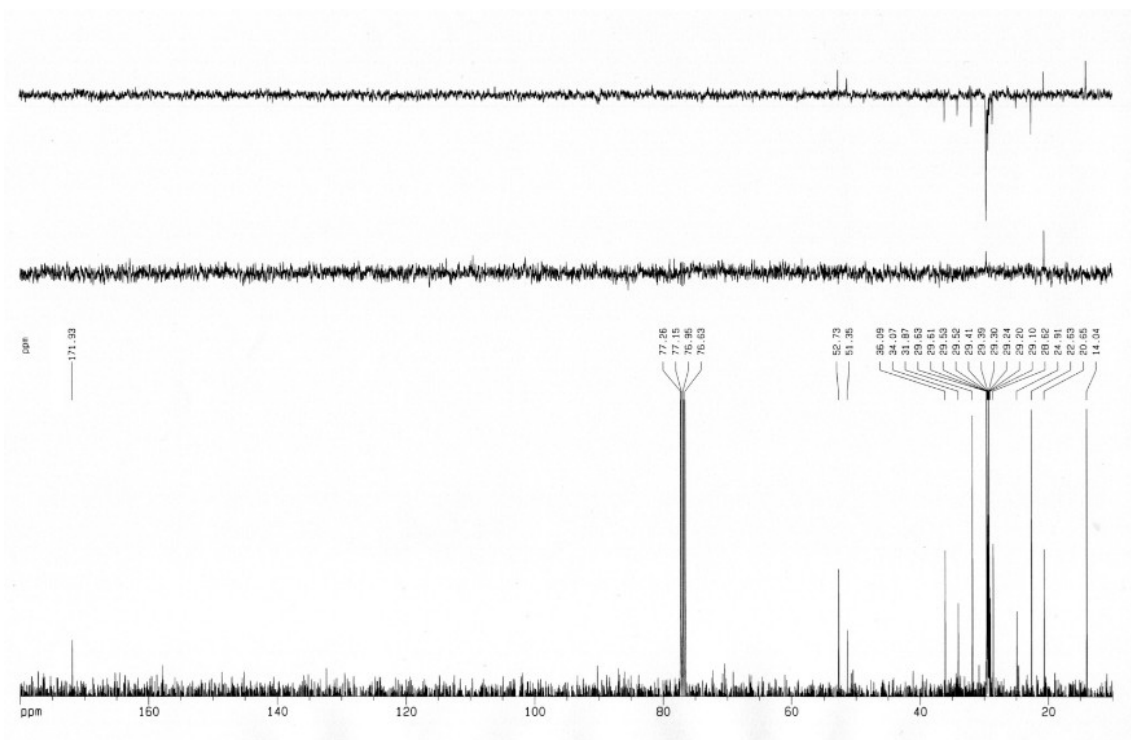
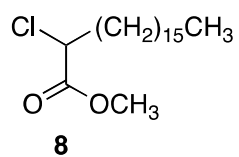
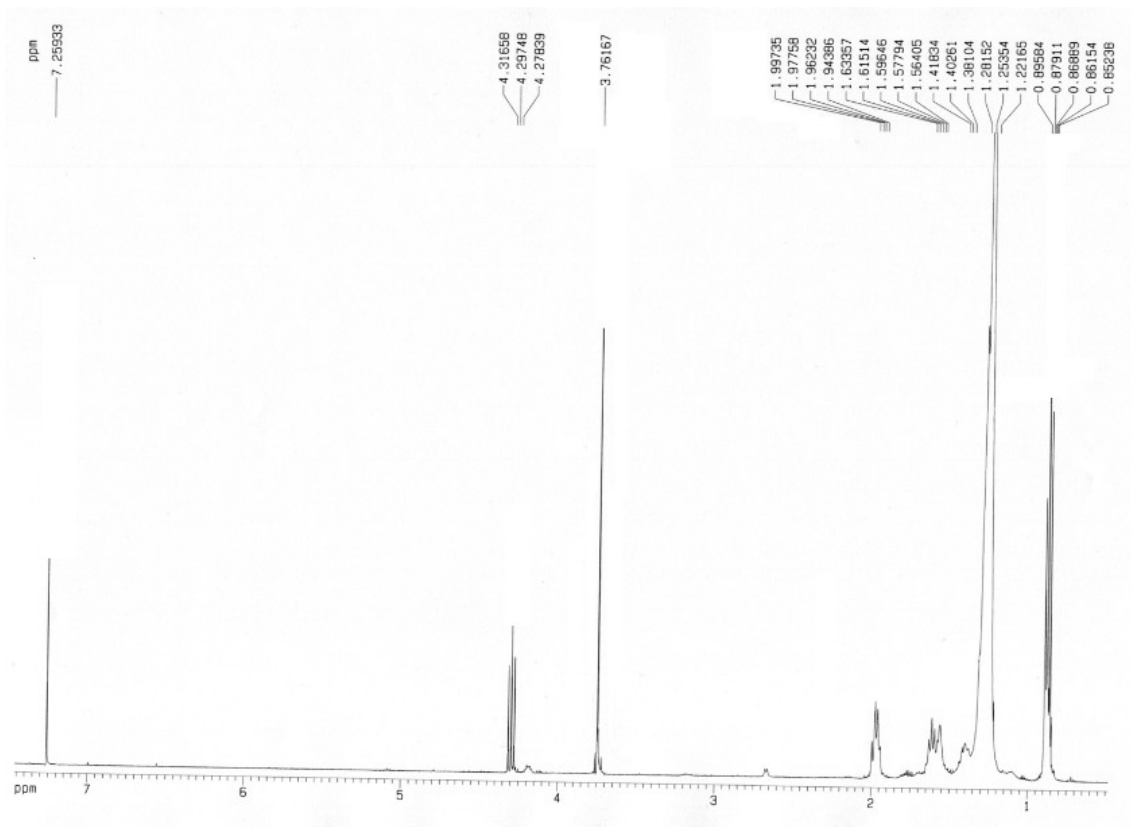


Figura X.109. Espectros de RMN ^1H y ^{13}C del compuesto **8**.

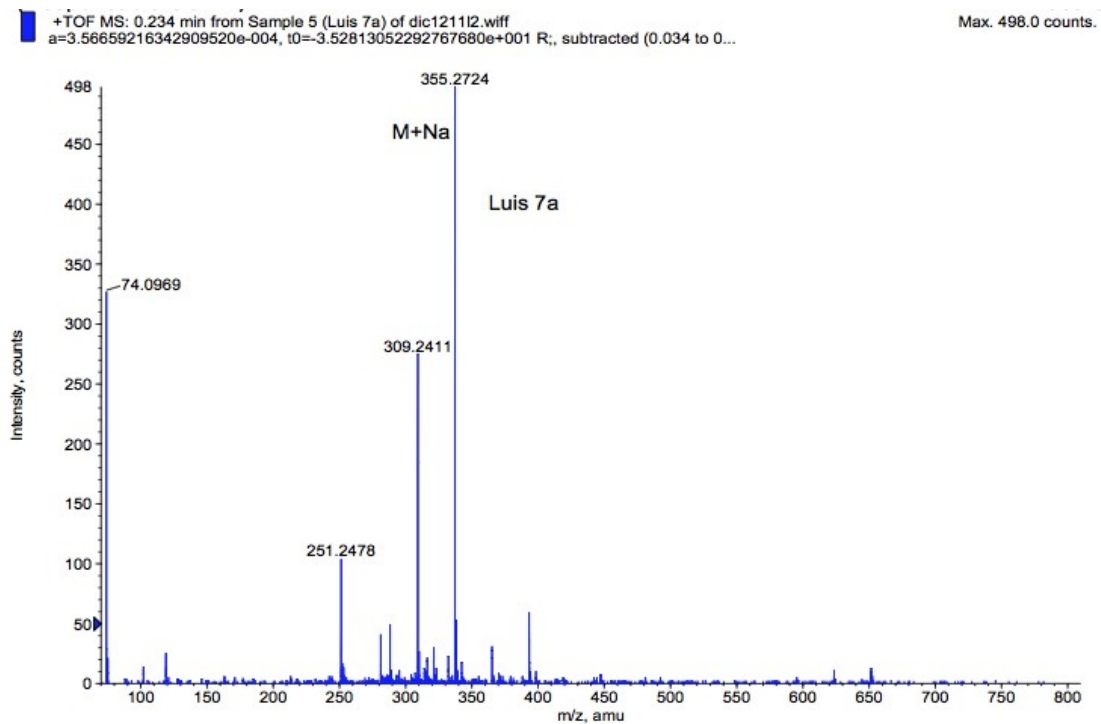
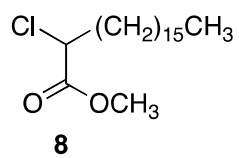


Figura X.110. Espectros de MS del compuesto **8**.

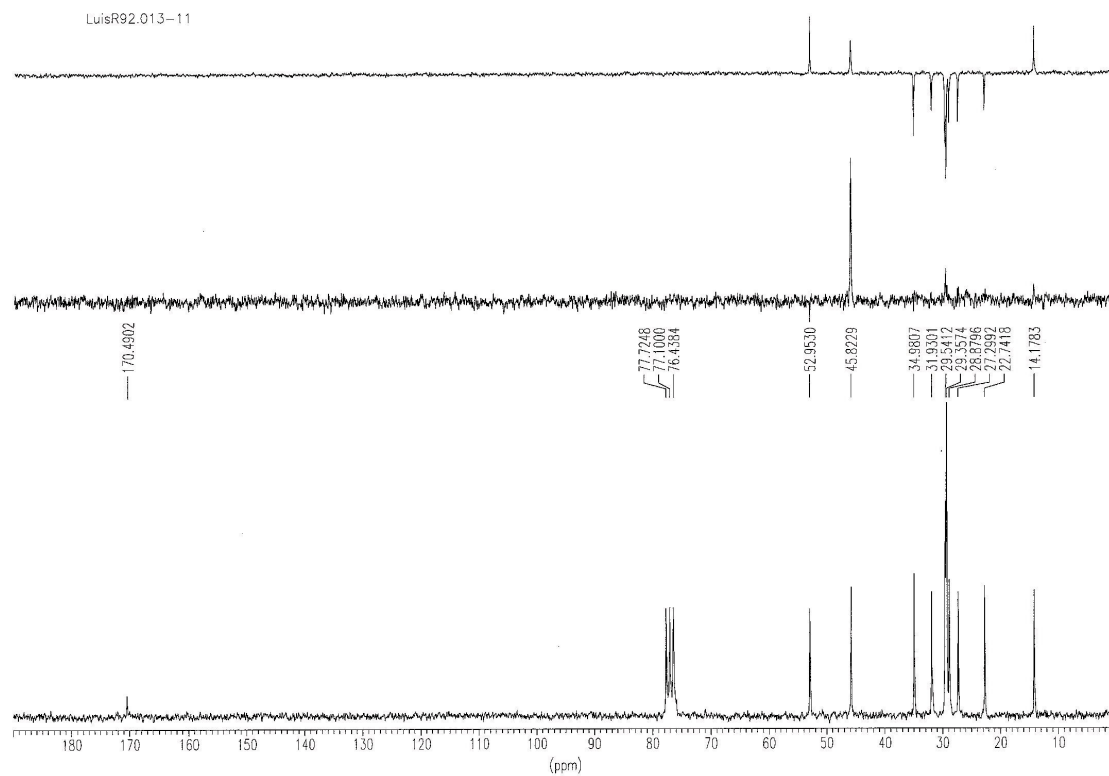
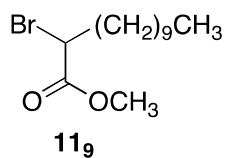
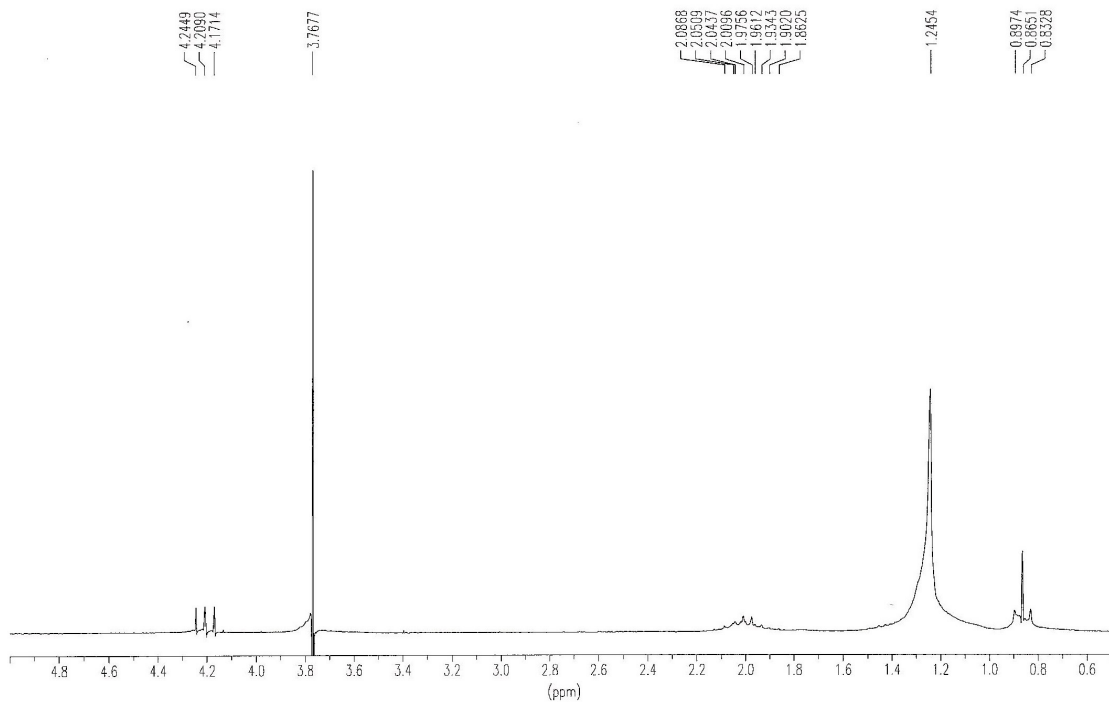


Figura X.111. Espectros de RMN ^1H y ^{13}C del compuesto **119**.

+TOF MS: 0.250 min from Sample 3 (LuisR92) of oct060912.wiff
a=3.56420238592779360e-004, t0=-1.01841144637619440e+001 R_i, subtracted (0.033 to 0... Max: 727.0 counts.

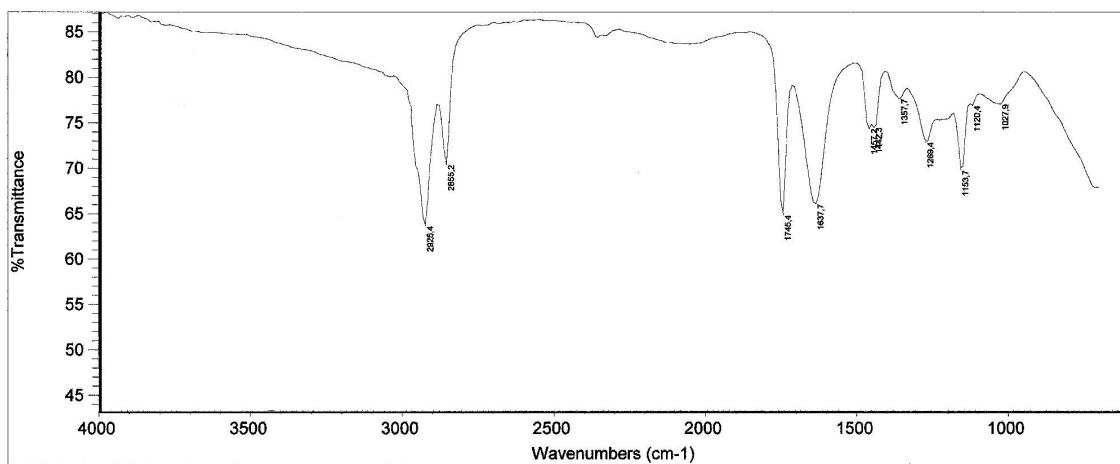
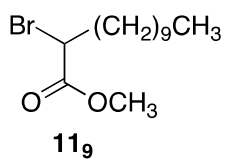
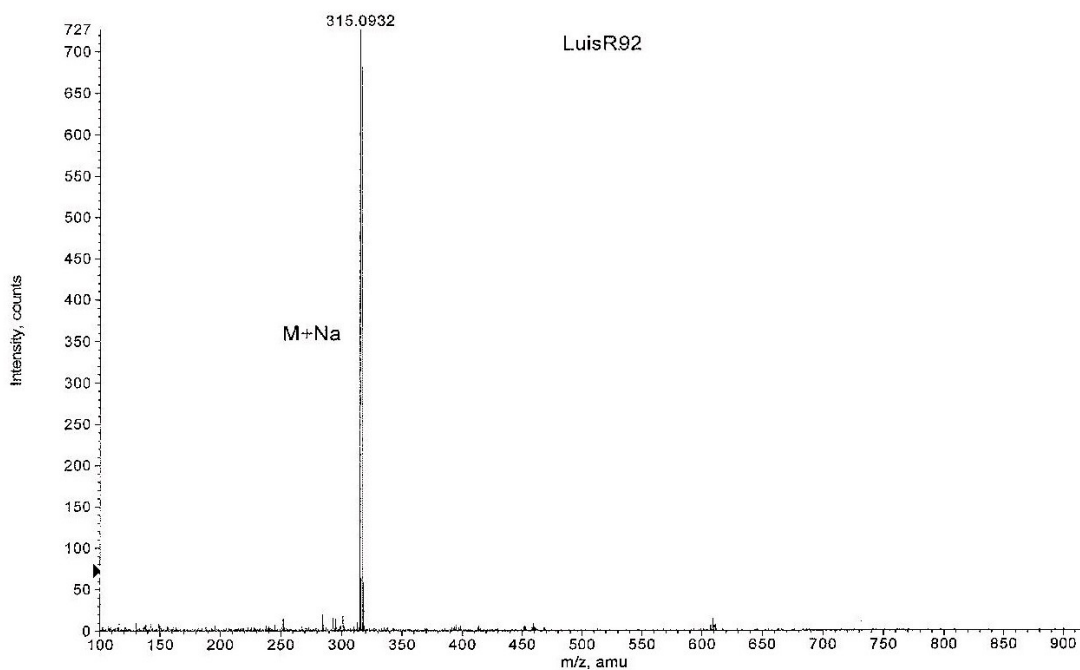


Figura X.112. Espectros de IR y MS del compuesto 11_g.

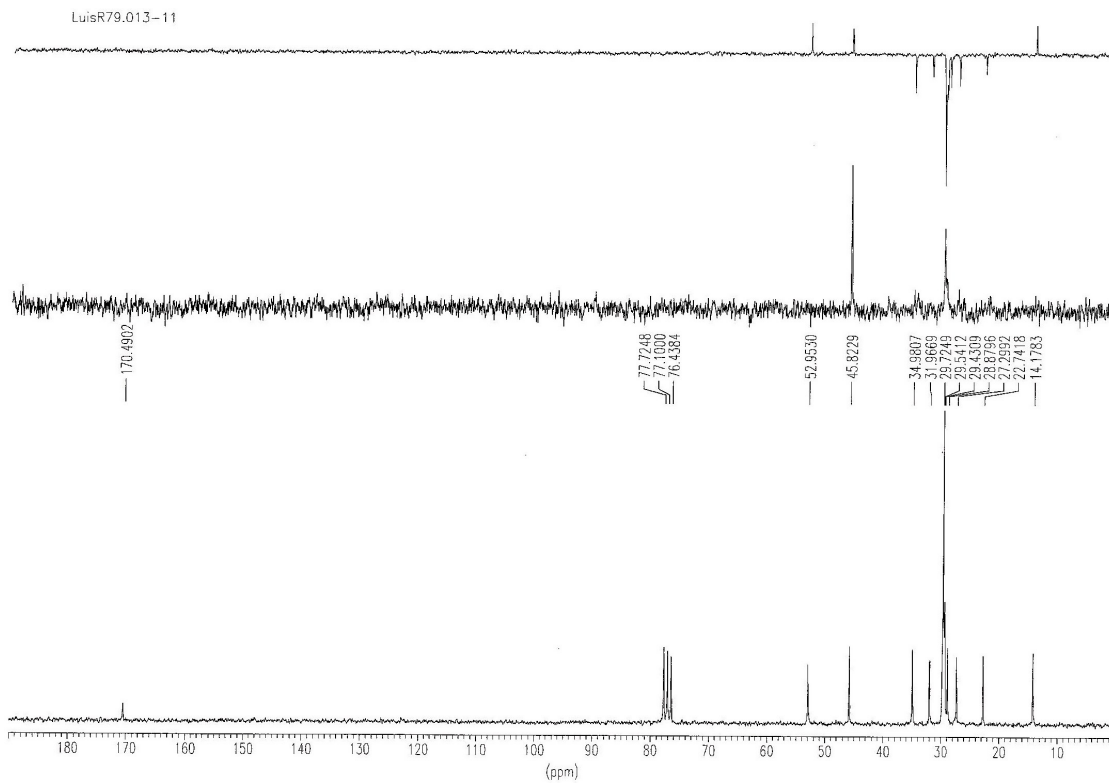
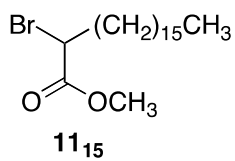
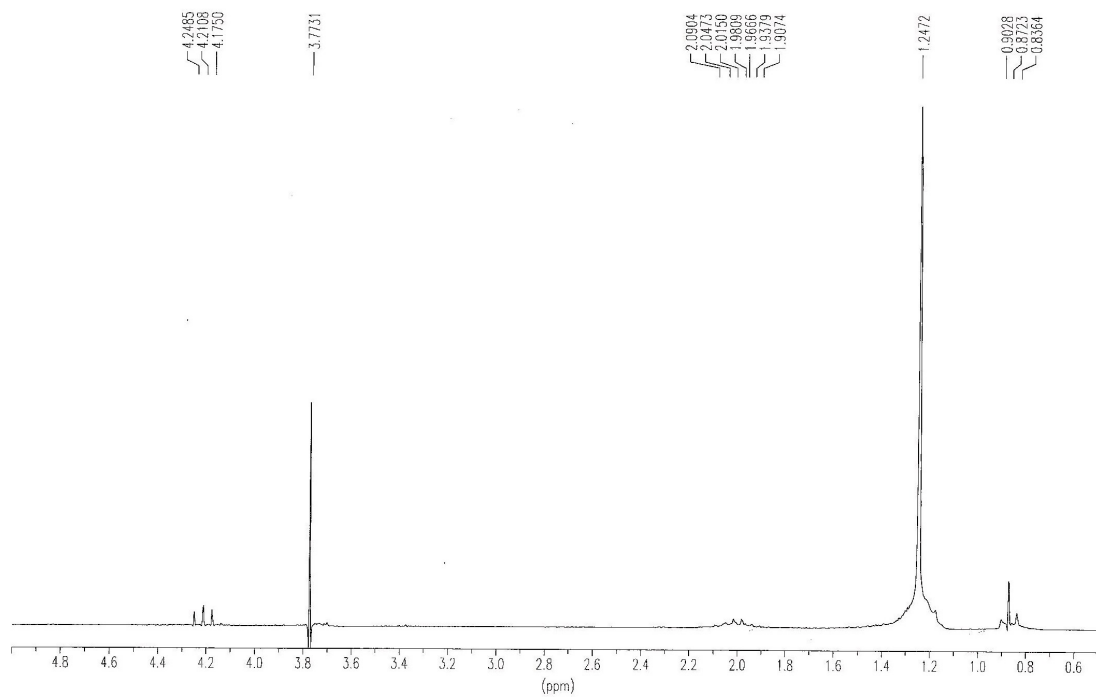


Figura X.113. Espectros de RMN ¹H y ¹³C del compuesto **11₁₅**.

+TOF MS: 0.217 min from Sample 3 (LuisR79) of oct060911.wiff
a=3.56421144217553260e-004, t0=-1.00536064555271880e+001 R.; subtracted (0.034 to ...

Max. 2615.0 counts.

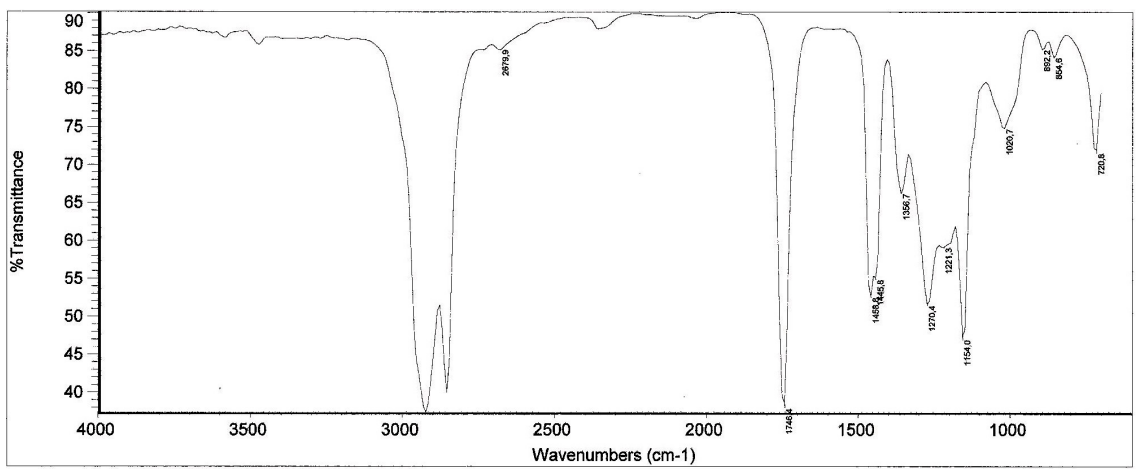
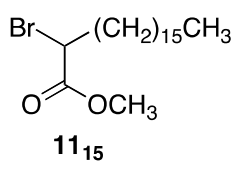
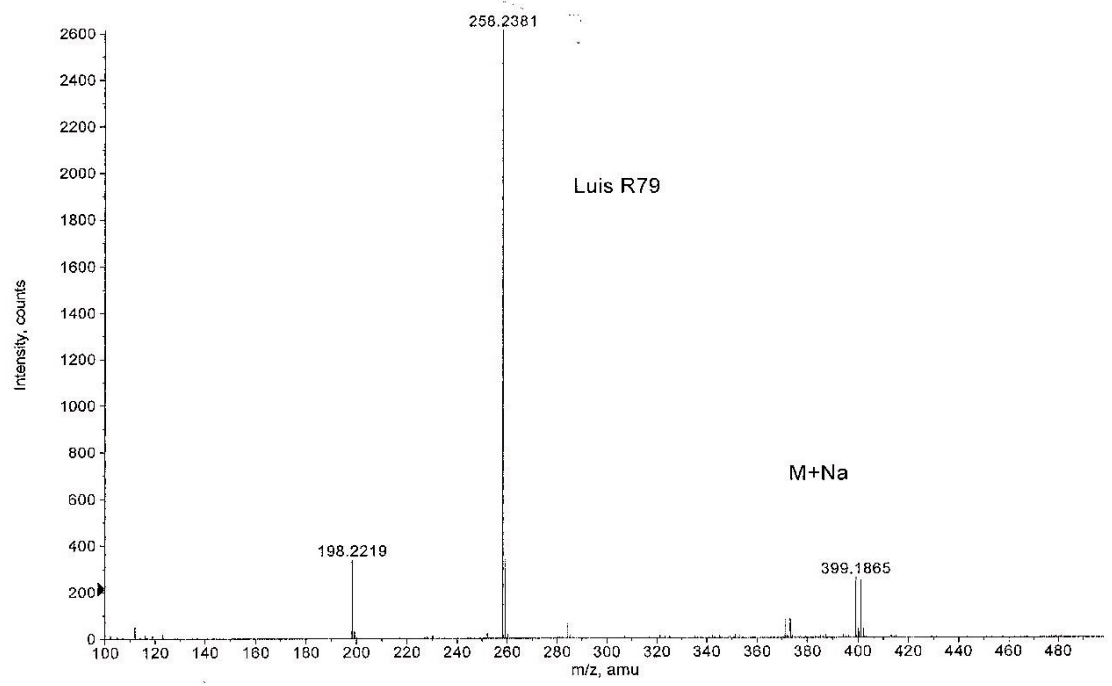


Figura X.114. Espectros de IR y MS del compuesto 11₁₅.

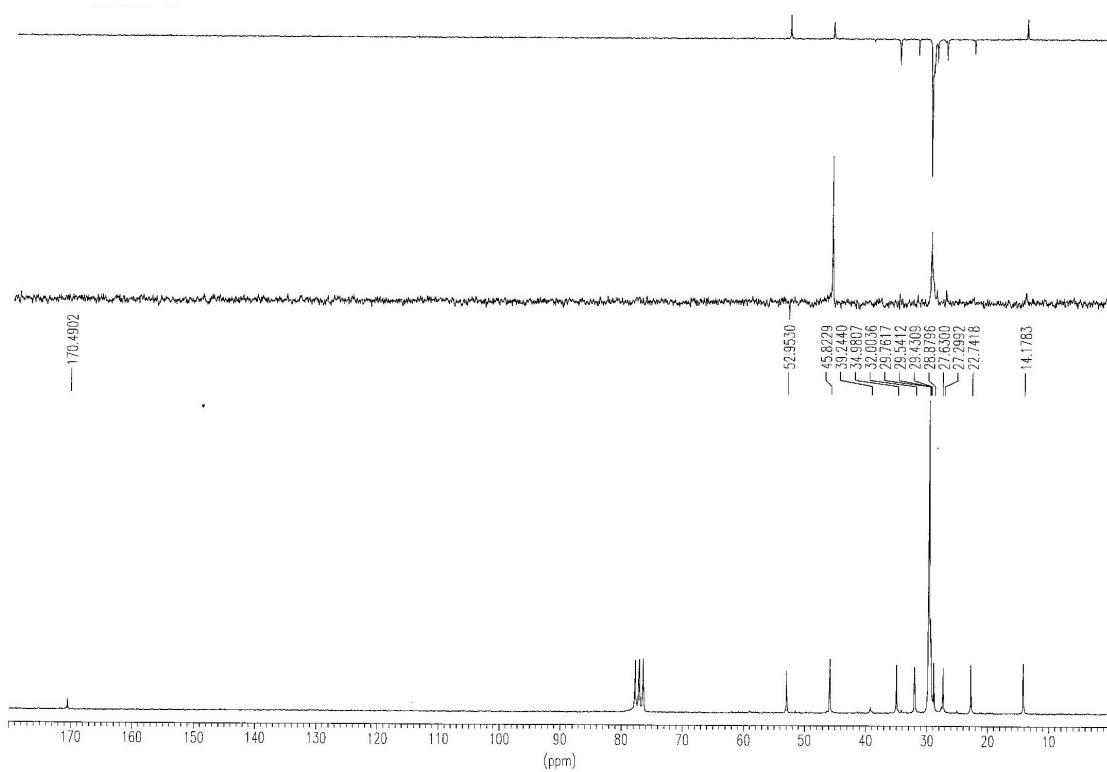
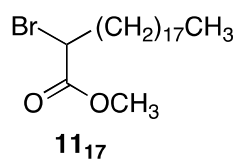
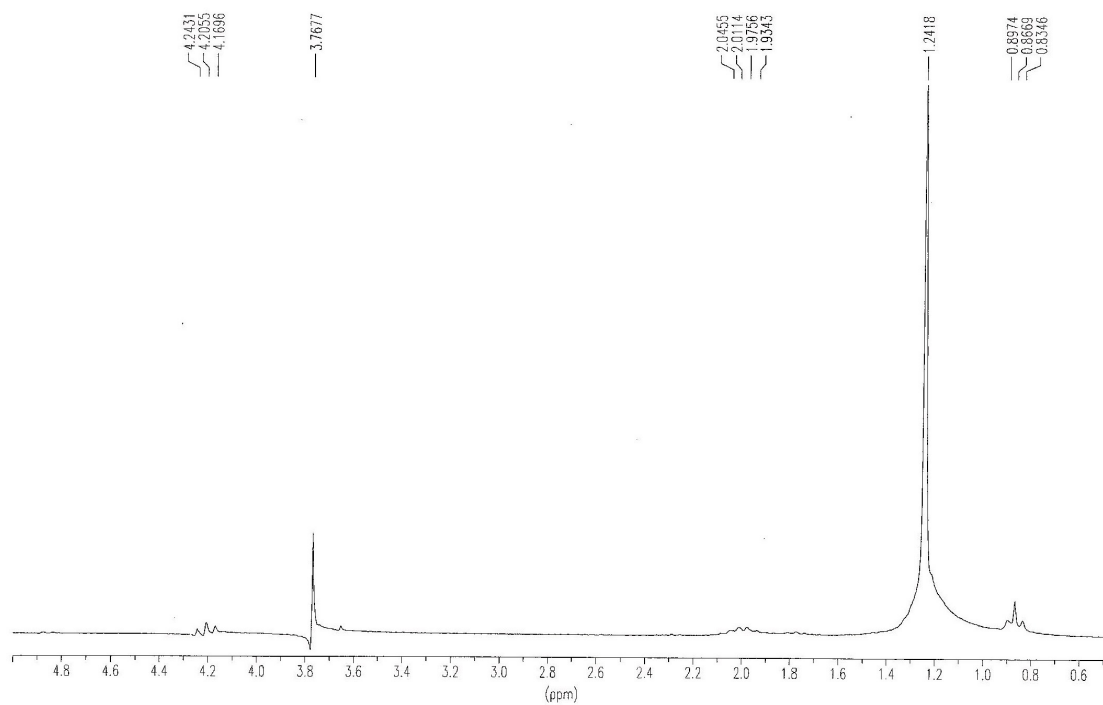


Figura X.115. Espectros de RMN ^1H y ^{13}C del compuesto **11₁₇**.

+TOF MS: 0.150 min from Sample 4 (LuisR84) of oct060911.wiff
a=3.56421144217853260e-004, t0=-1.00536064555271880e+001 R; subtracted (0.033 to 0...

Max. 221.0 counts.

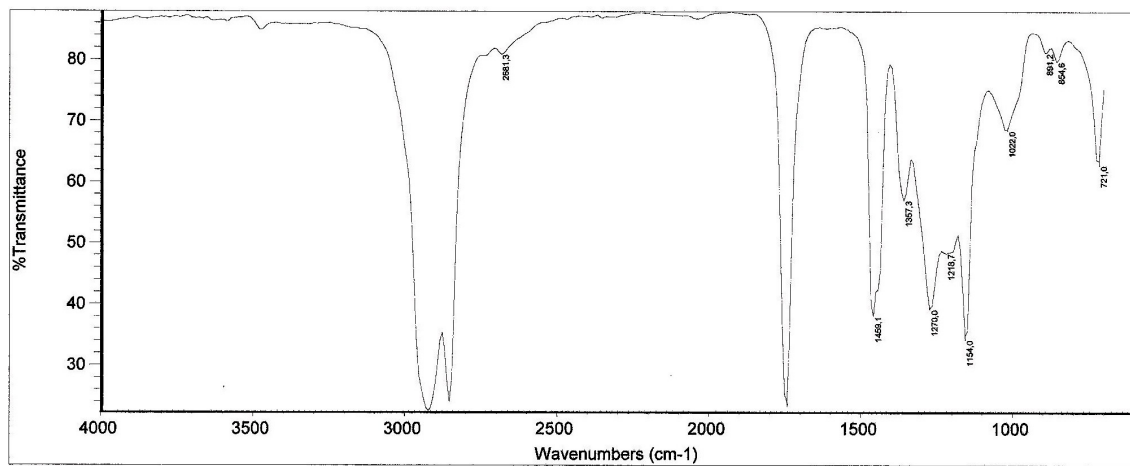
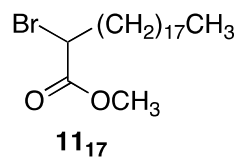
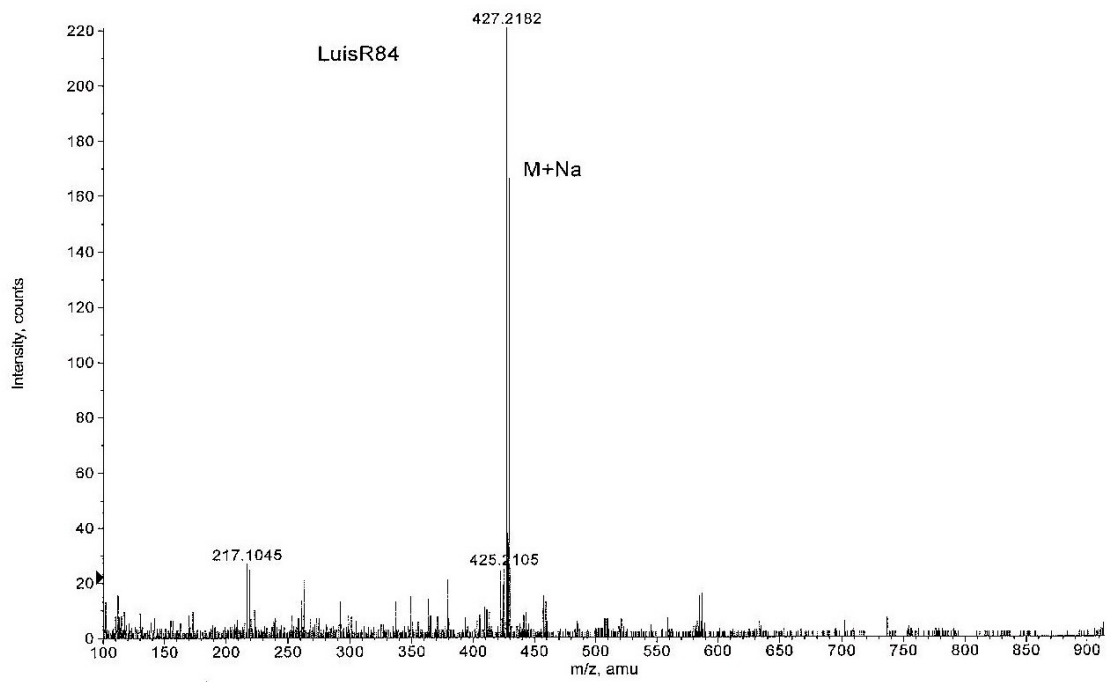


Figura X.116. Espectros de IR y MS del compuesto **11₁₇**.

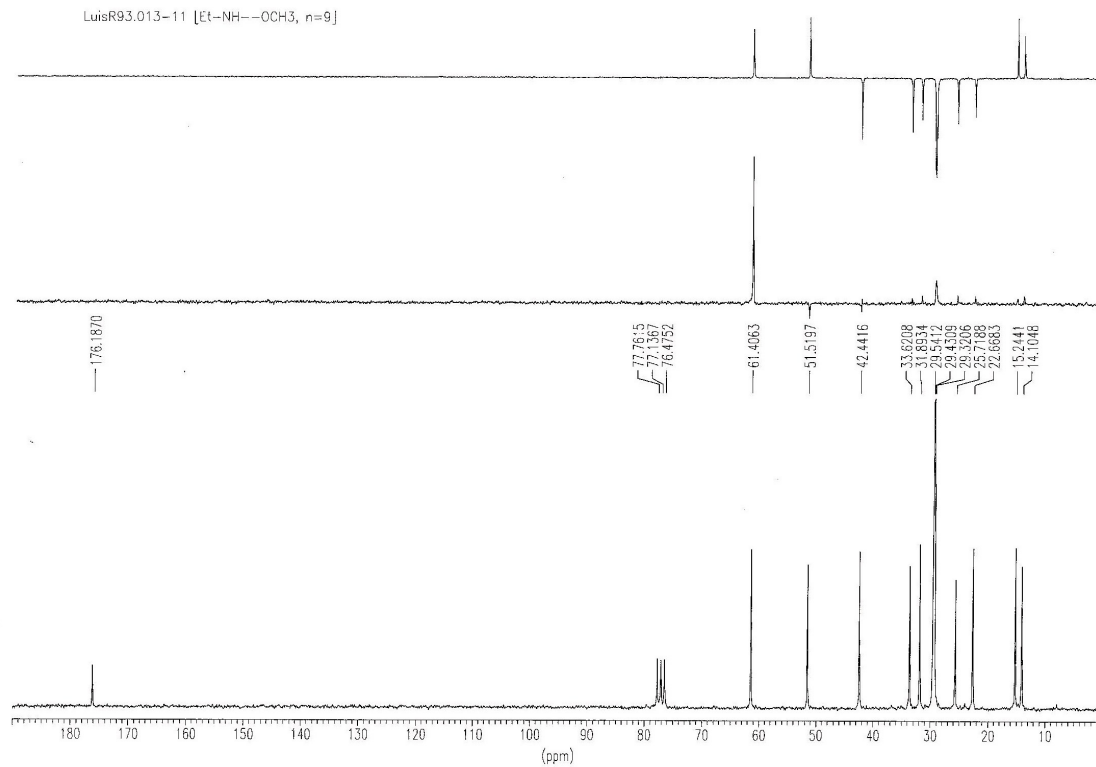
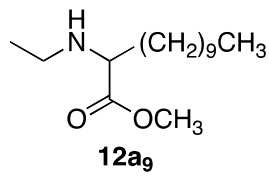
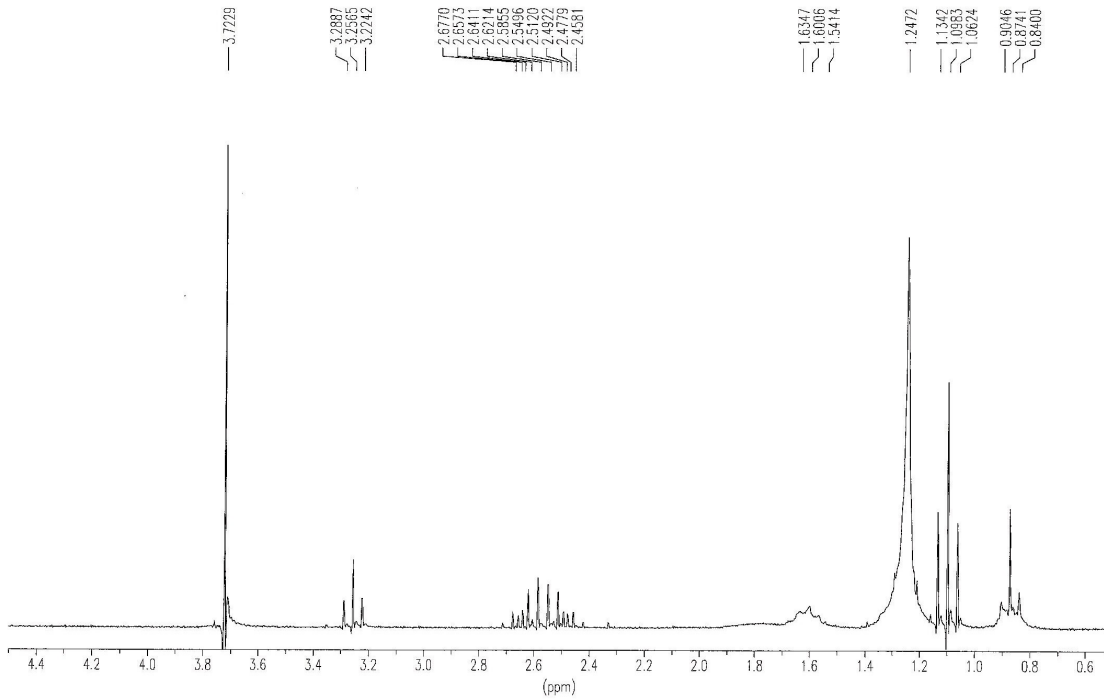


Figura X.117. Espectros de RMN ¹H y ¹³C del compuesto 12a₉.

TOF MS: 0.284 min from Sample 3 (LuisR93) of oct060913.wiff
a=3.56421097712827570e-004, t0=-9.97172453366056840e+000 R;, subtracted (0.017 to 0...

Max. 737.4 counts.

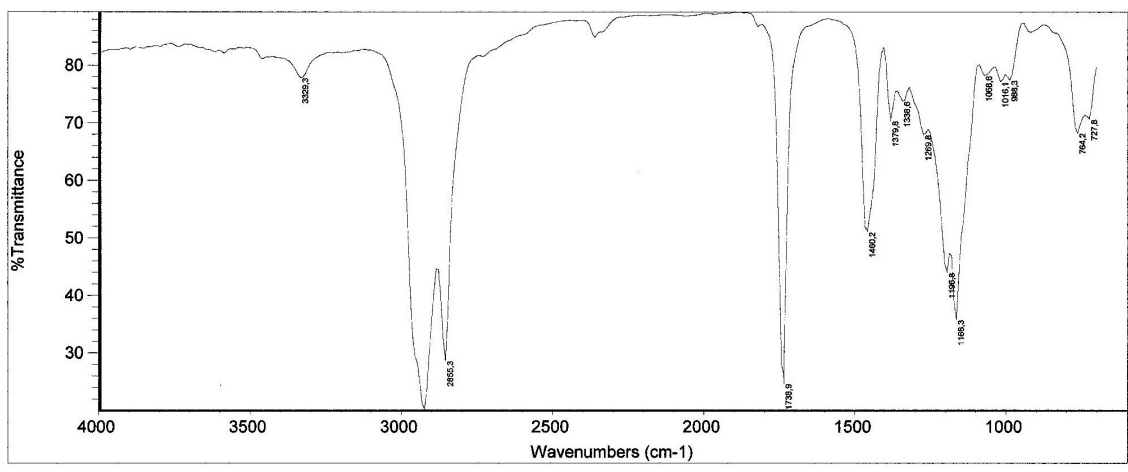
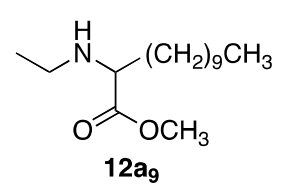
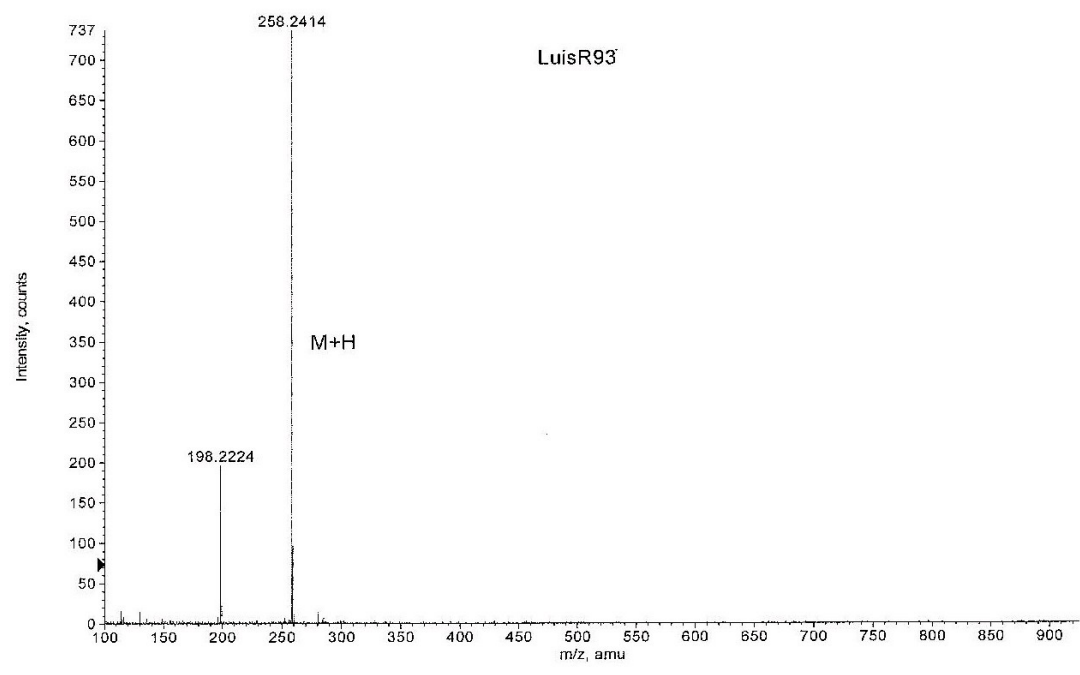


Figura X.118. Espectros de IR y MS del compuesto 12a9.

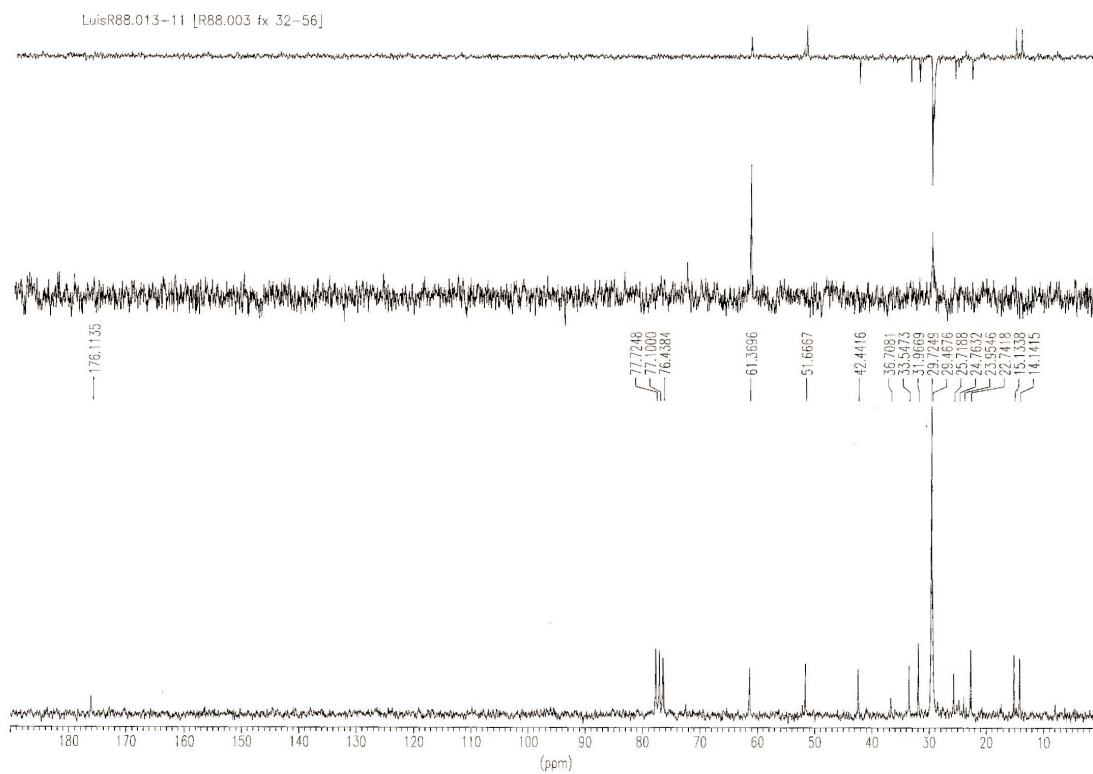
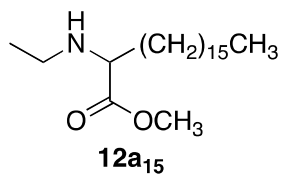
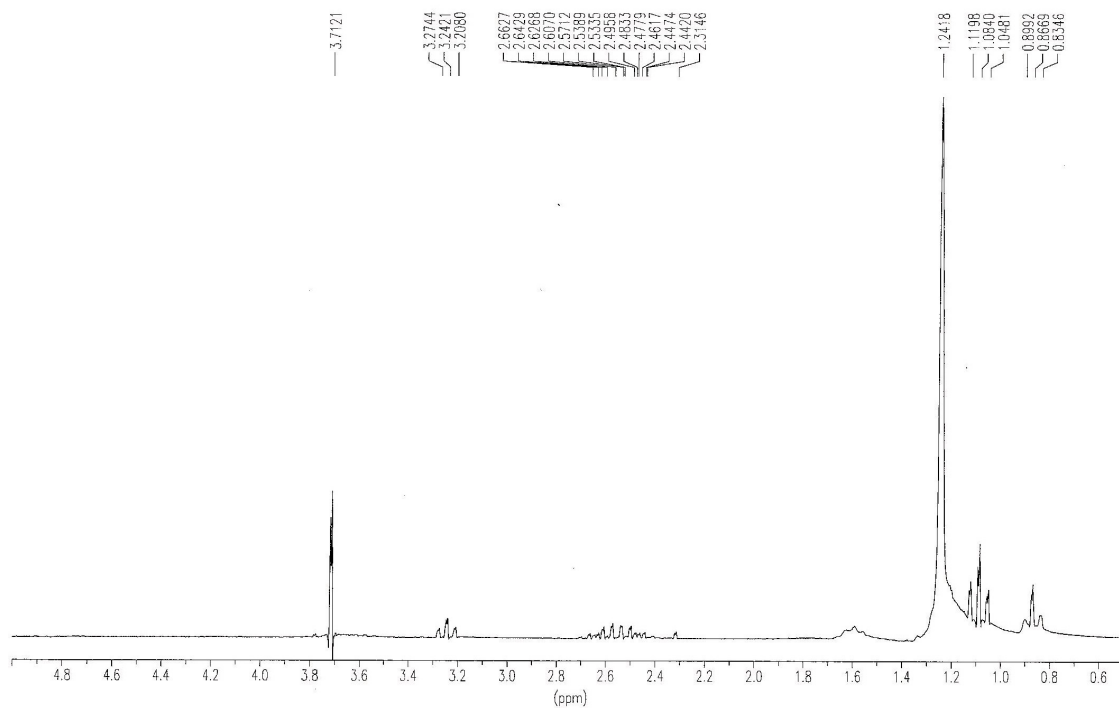


Figura X.119. Espectros de RMN ¹H y ¹³C del compuesto 12a₁₅.

+TOF MS: 0.751 min from Sample 4 (LuisR82) of sep1509112.wiff
a=3.56397282547715850e-004, t0=-1.01559437465803060e+001 R₁, subtracted (0.017 to 0...

Max. 348.0 counts.

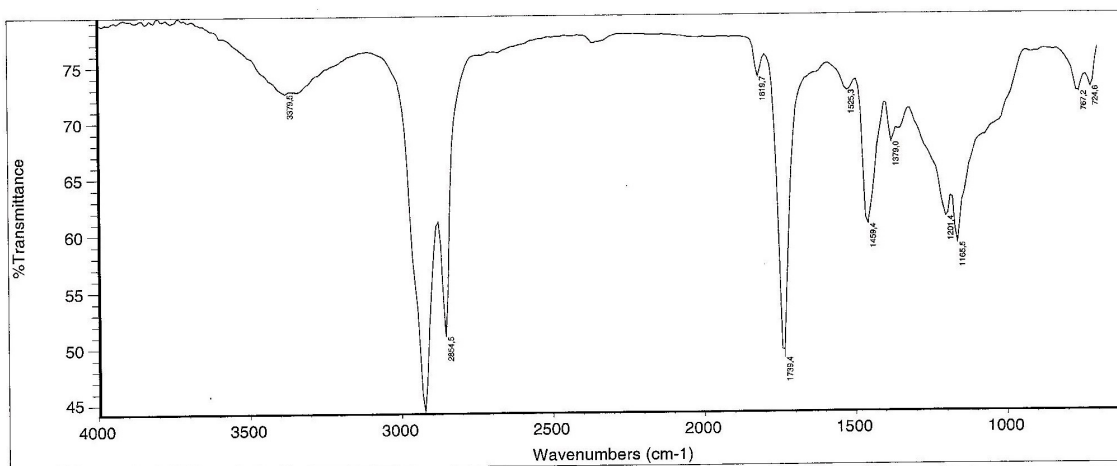
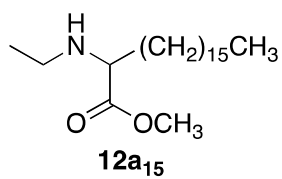
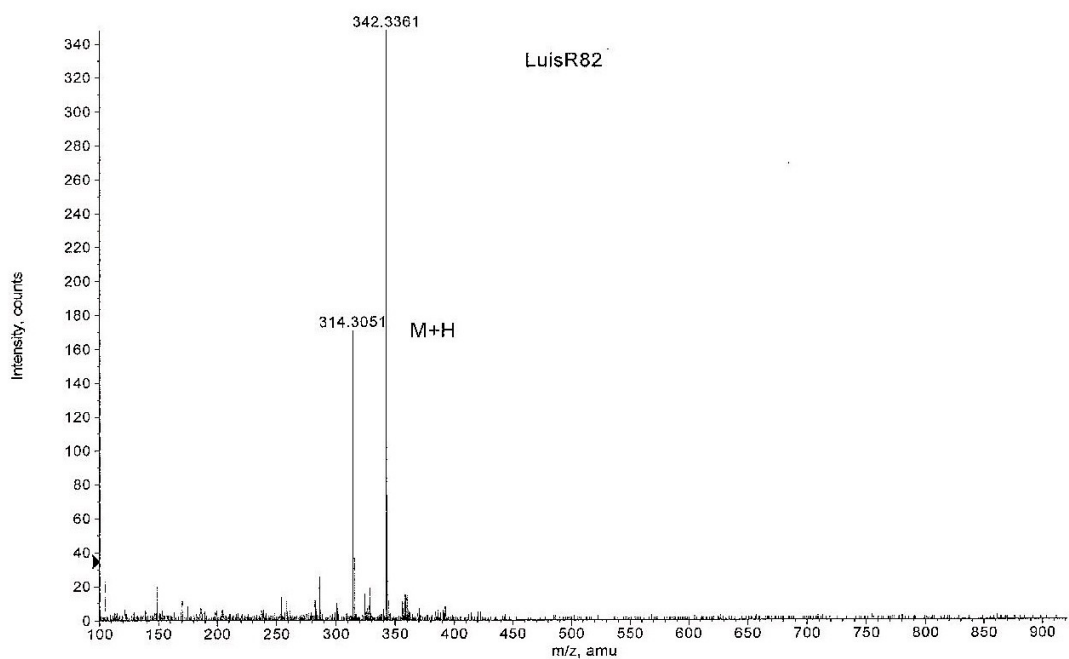


Figura X.120. Espectros de IR y MS del compuesto 12a₁₅.

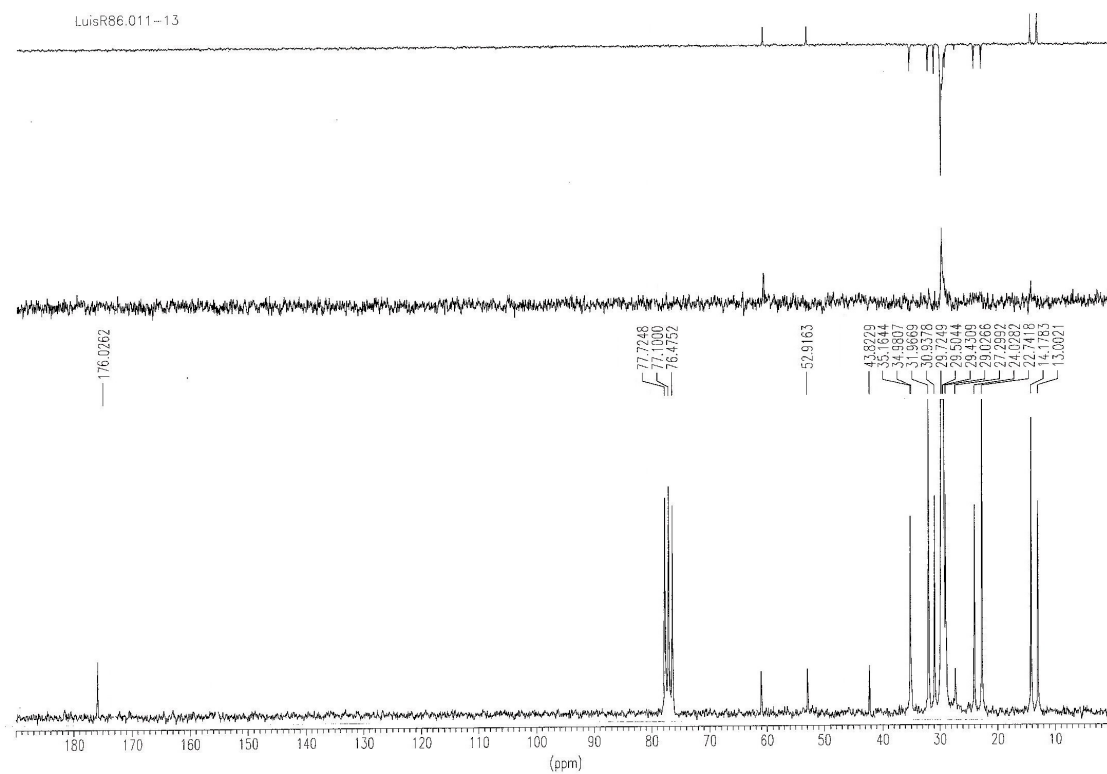
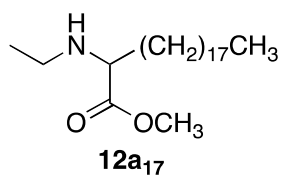
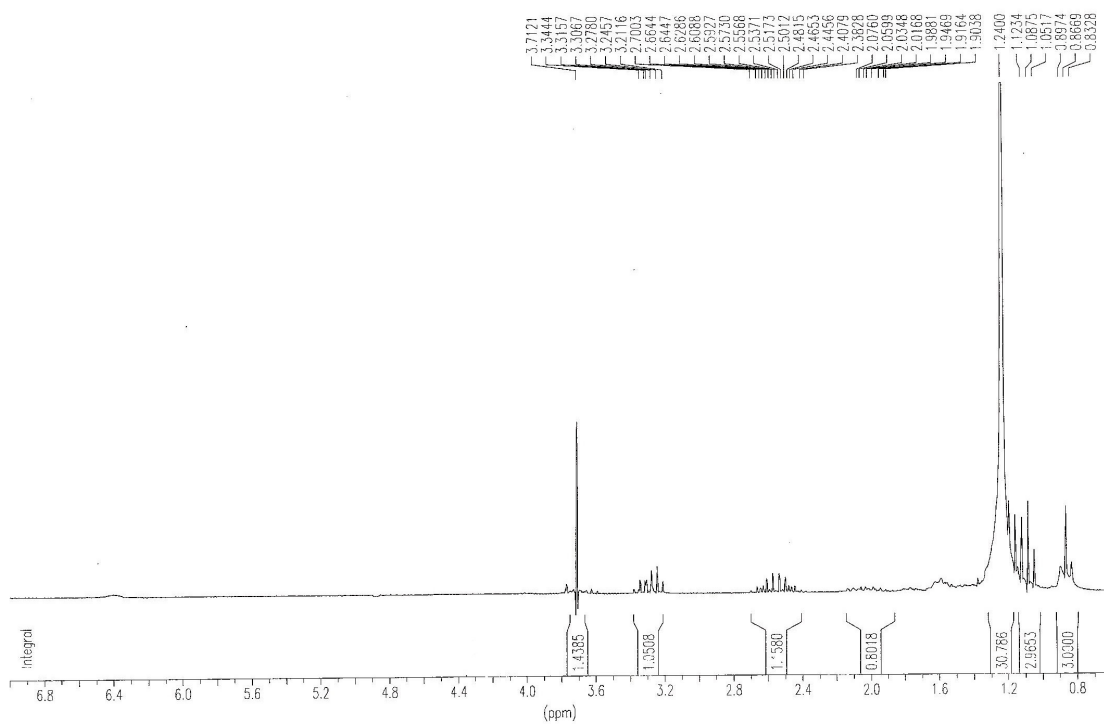


Figura X.121. Espectros de RMN ¹H y ¹³C del compuesto **12a₁₇**.

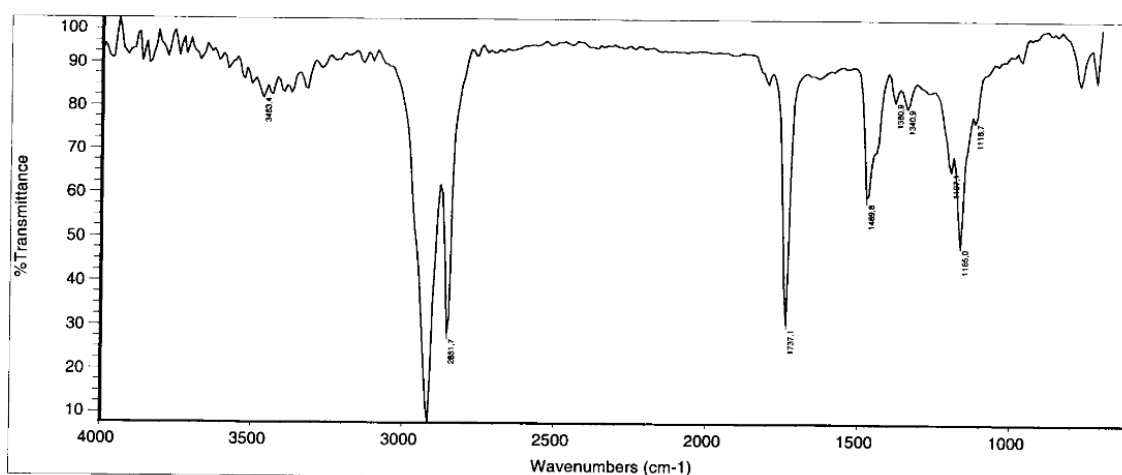
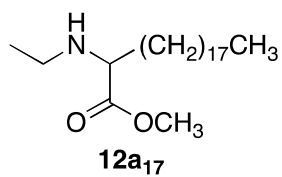
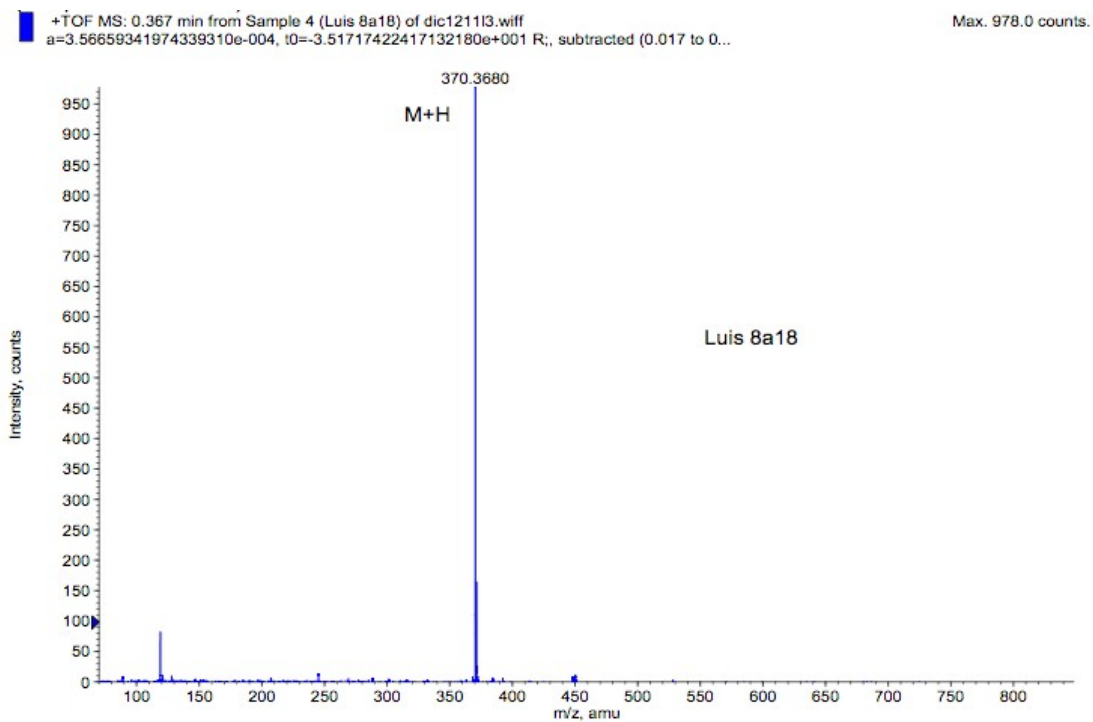


Figura X.122. Espectros de IR y MS del compuesto **12a₁₇**.

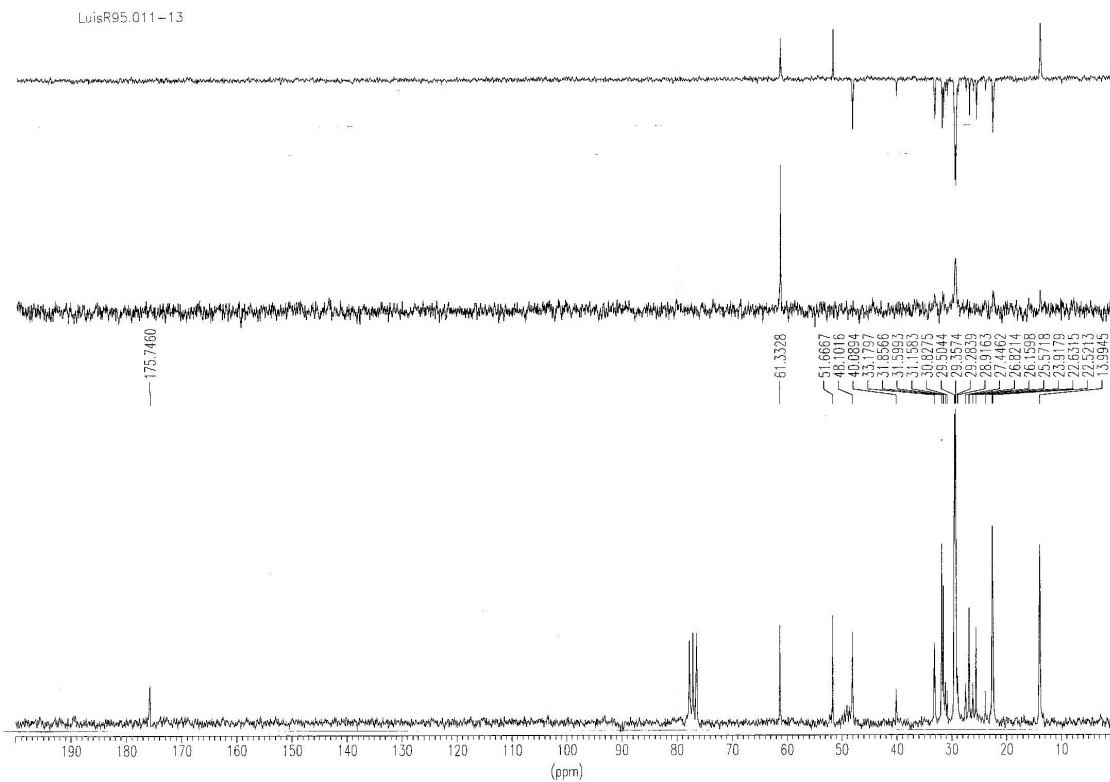
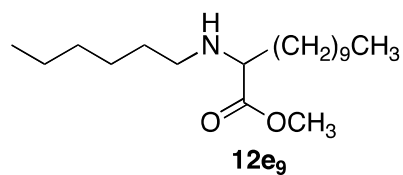
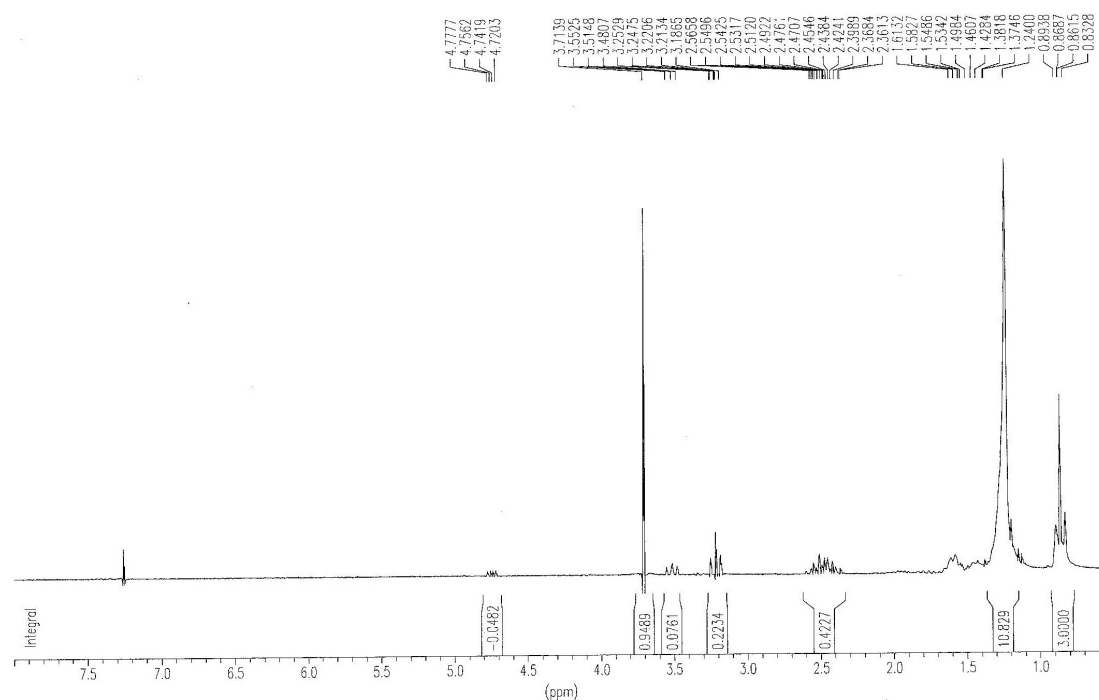


Figura X.123. Espectros de RMN ¹H y ¹³C del compuesto 12e₉.

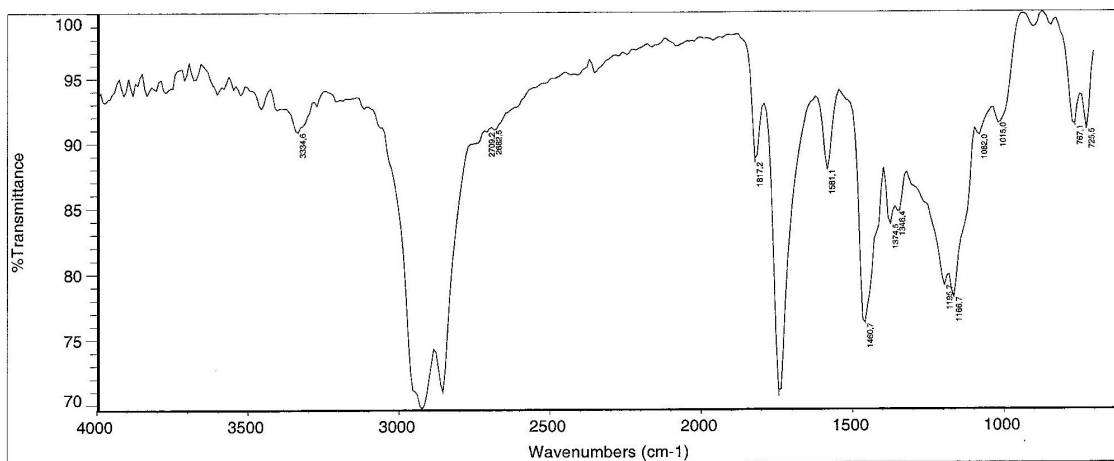
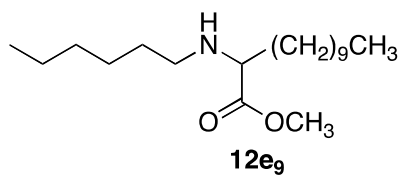
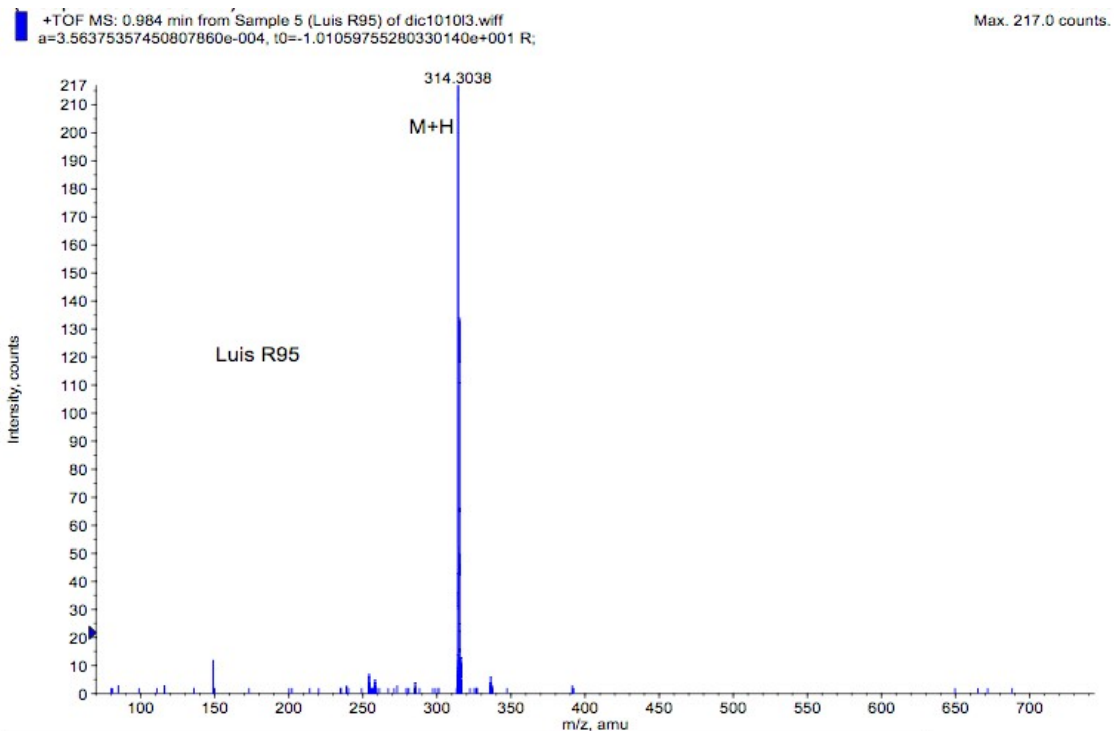


Figura X.124. Espectros de IR y MS del compuesto **12e₉**.

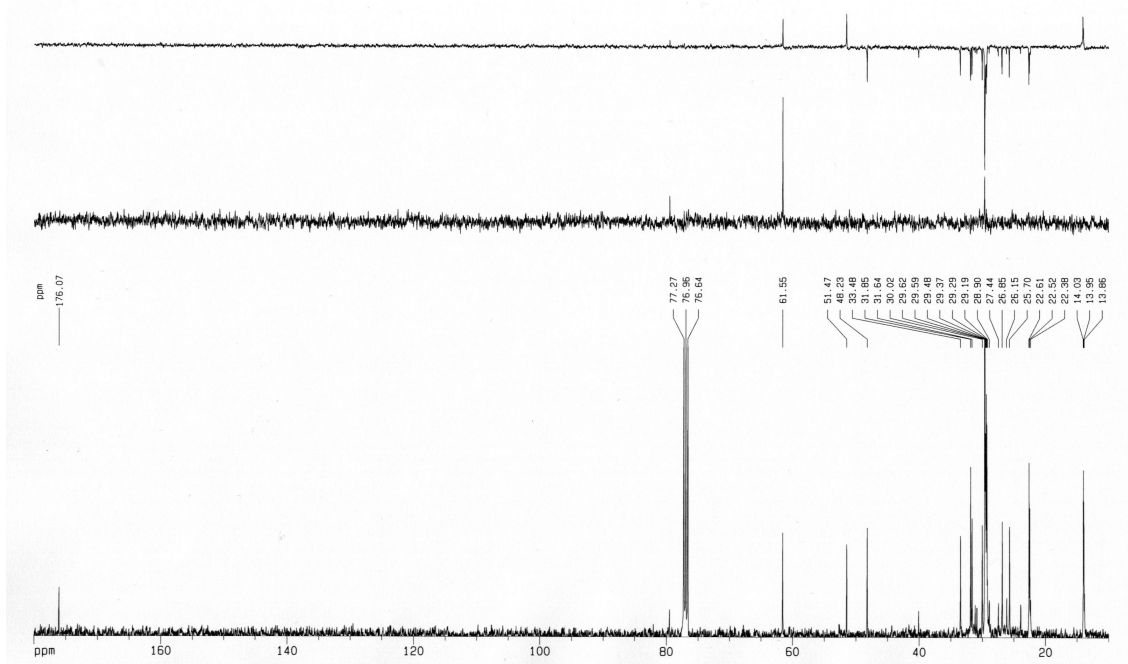
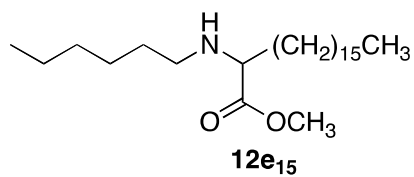
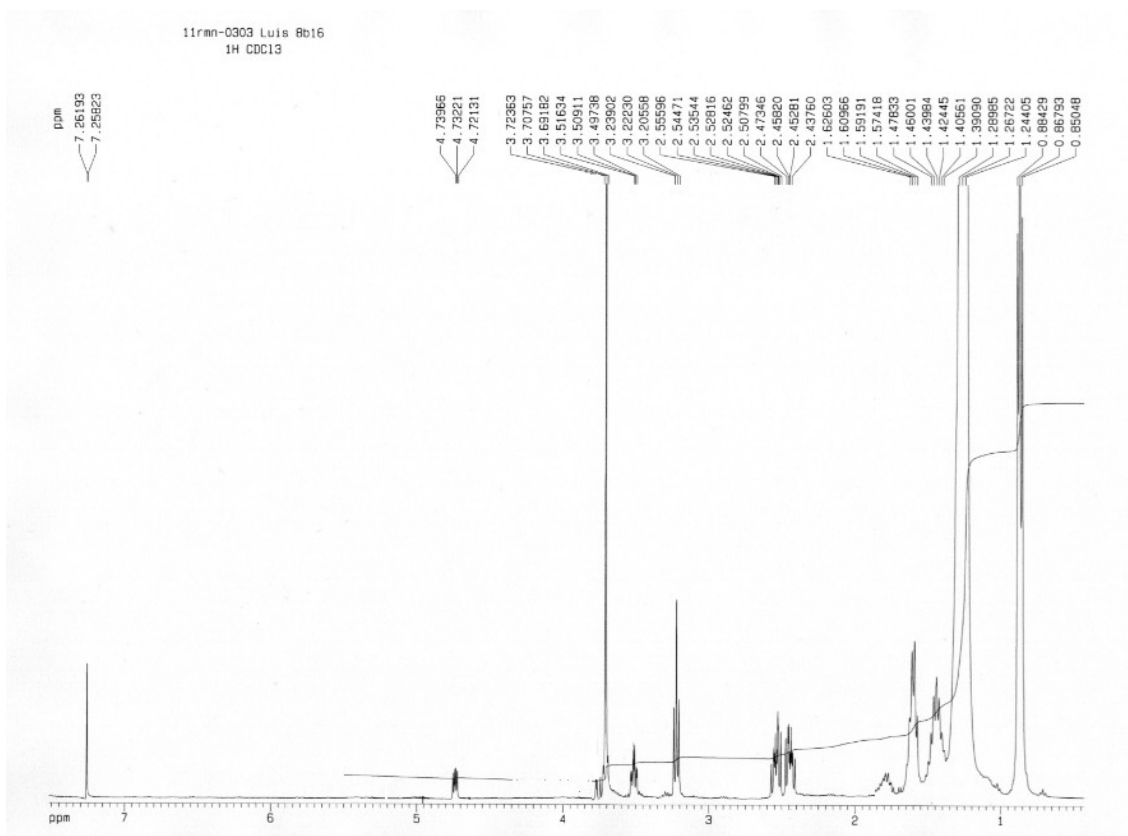


Figura X.125. Espectros de RMN ¹H y ¹³C del compuesto 12e₁₅.

+TOF MS: 0.550 min from Sample 5 (Luis 8b-16) of feb091211.wiff
a=3.56657341425876150e-004, t0=-3.56337668844535070e+001 R;., subtracted (0.034 to 0.0...

Max. 676.0 counts.

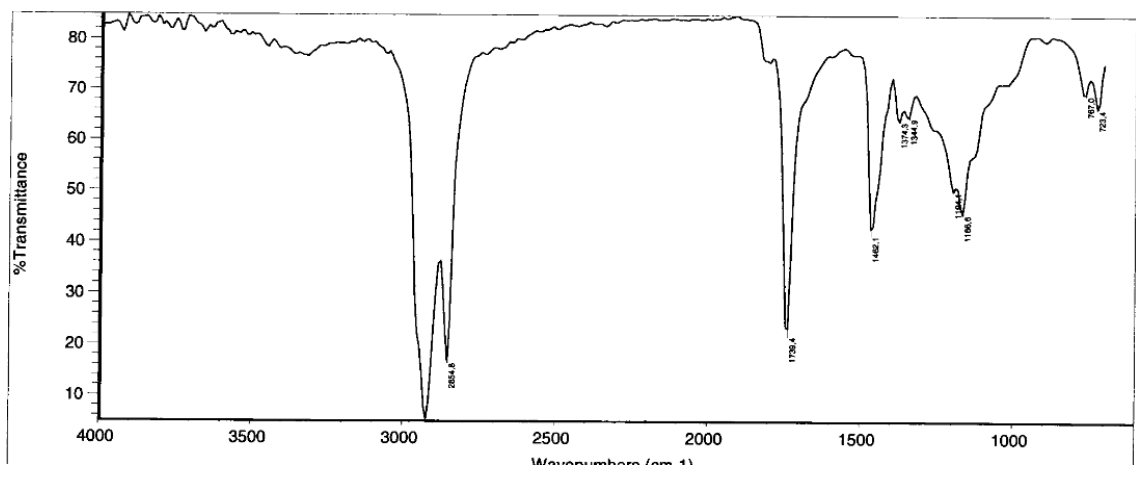
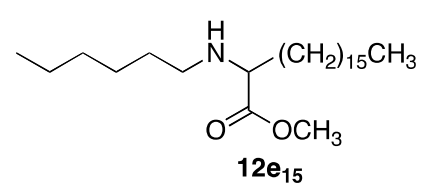
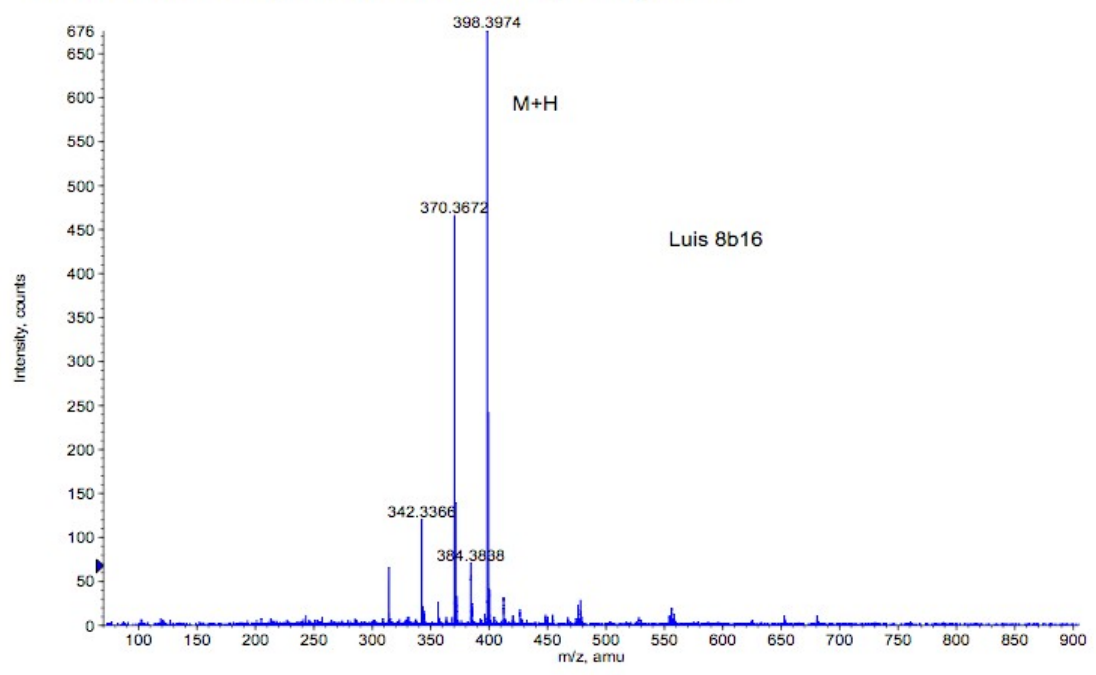


Figura X.126. Espectros de IR y MS del compuesto 12e15.

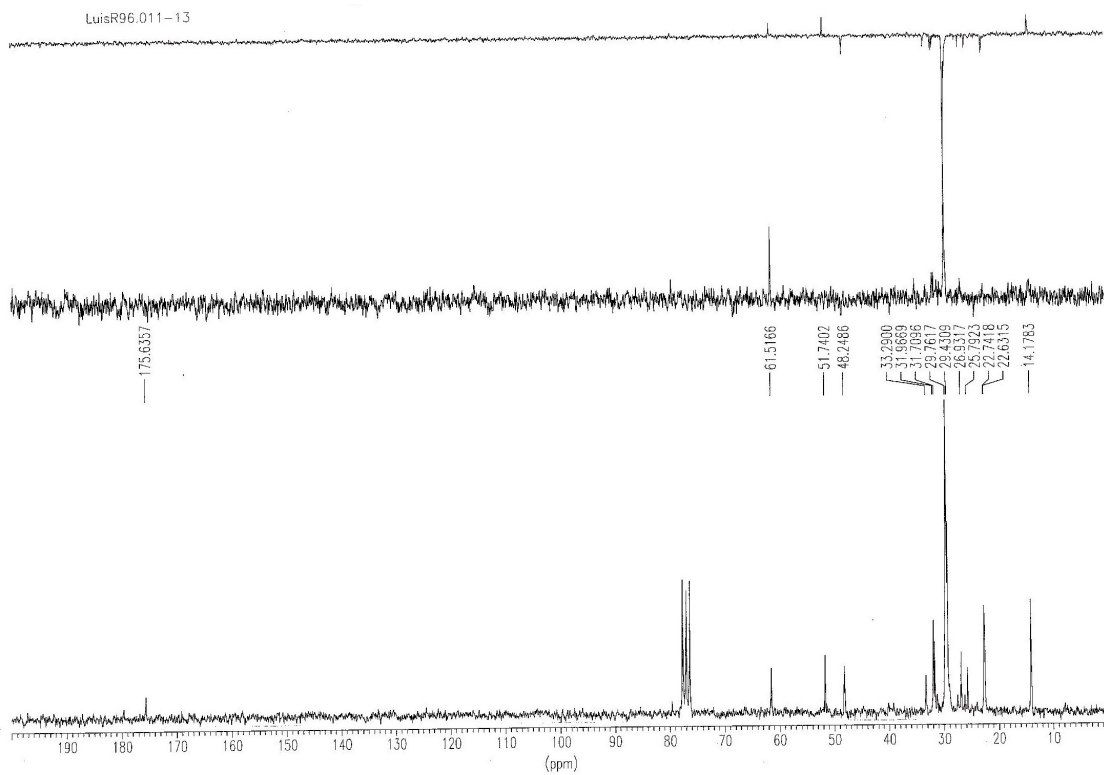
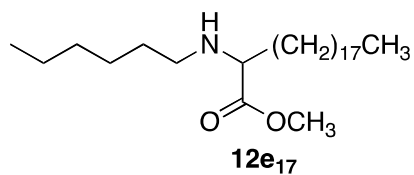
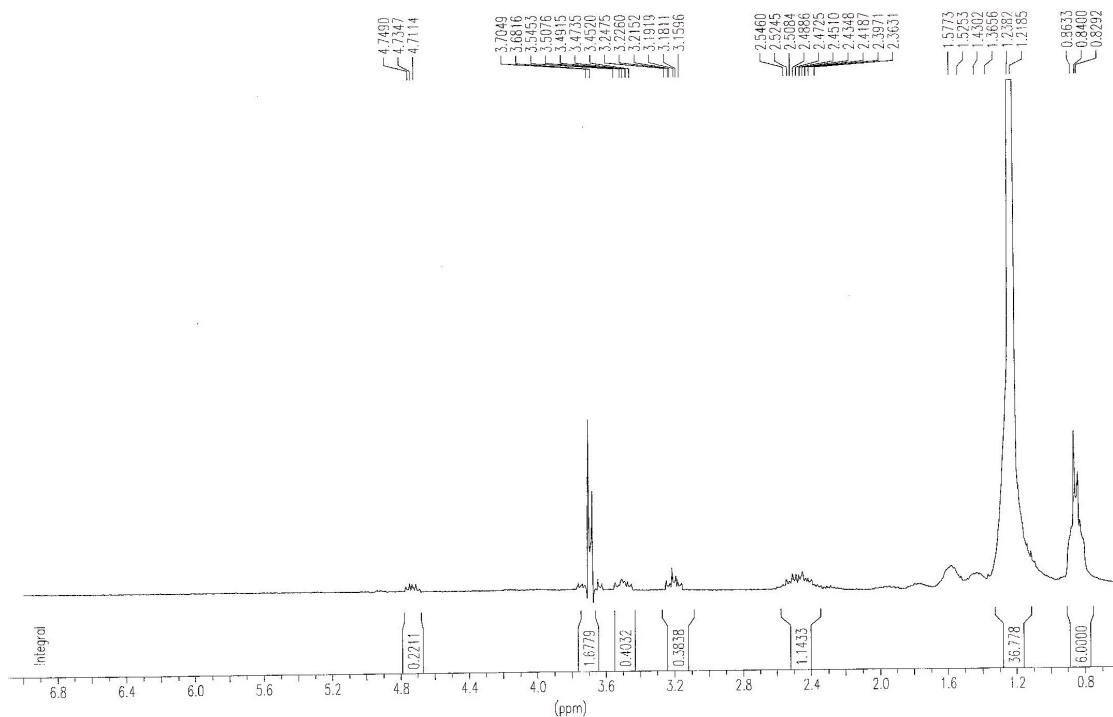


Figura X.127. Espectros de RMN ¹H y ¹³C del compuesto 12e₁₇.

+TOF MS: 0.300 to 0.317 min from Sample 2 (Luis R96) of dic101014.wiff
a=3.56377997349158720e-004, 10=-9.63805723650148140e+000 R; Max. 161.0 counts.

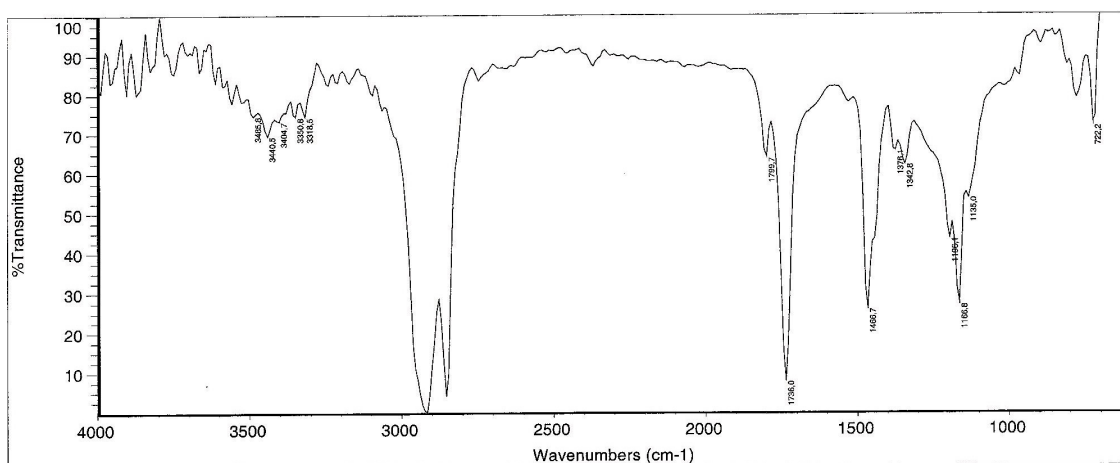
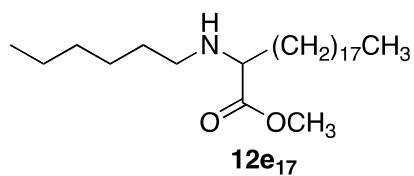
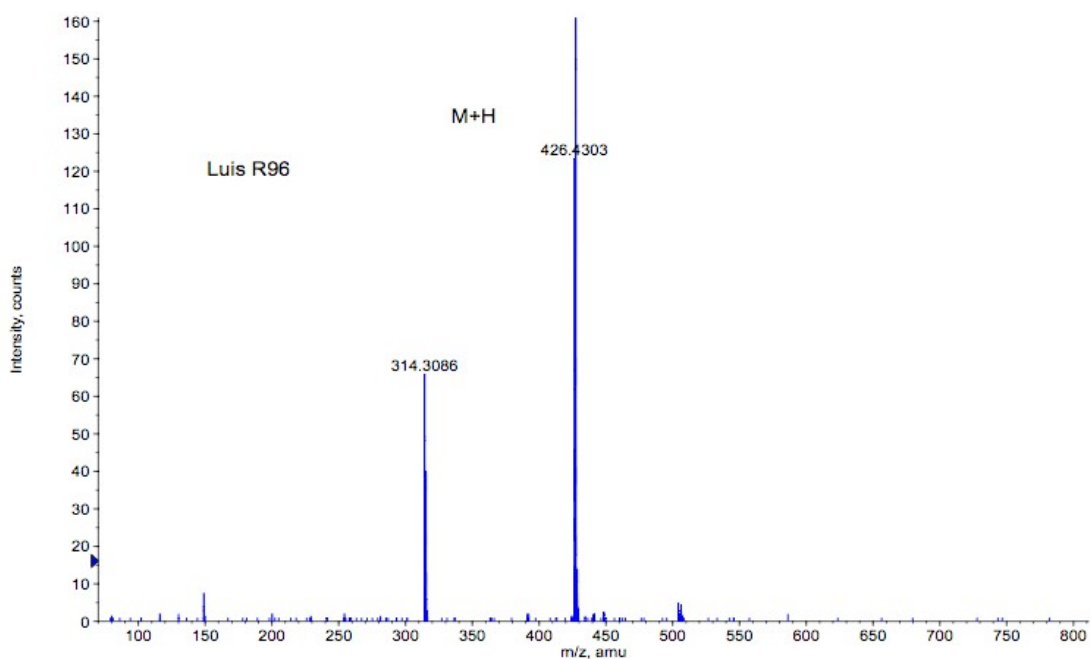


Figura X.128. Espectros de IR y MS del compuesto **12e₁₇**.

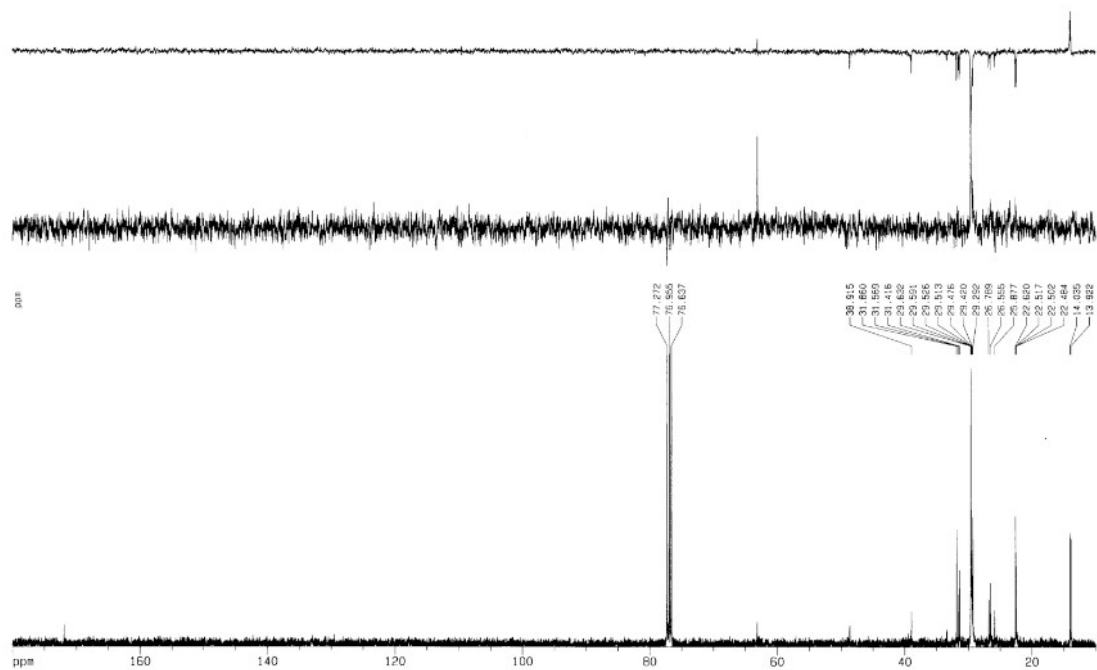
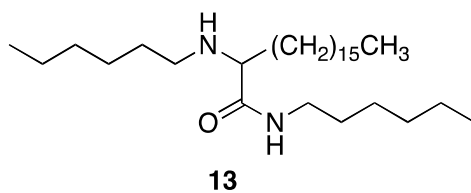
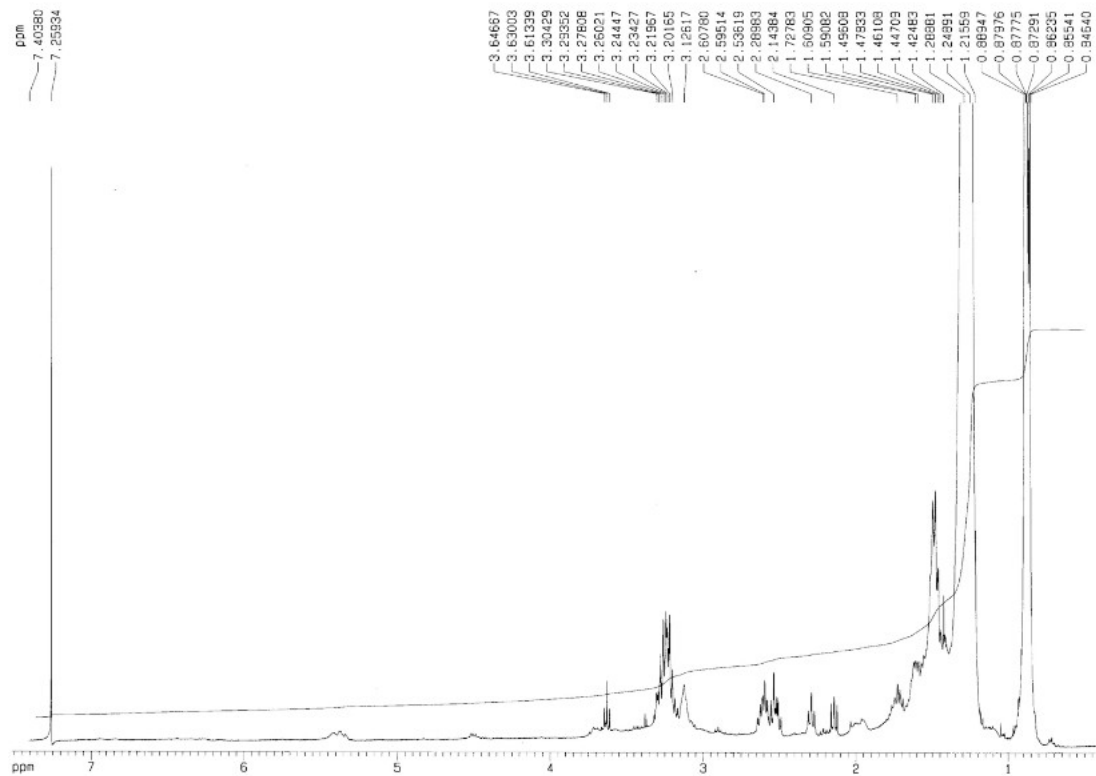


Figura X.129. Espectros de RMN ^1H y ^{13}C del compuesto 13.

TOF MS: 0.334 min from Sample 3 (LuisR85.1) of sep150913.wiff
a=3.56398514204835900e-004, t0=-9.99614476644637760e+000 R_i; subtracted (0.017 to 0.100) Max. 312.0 counts.

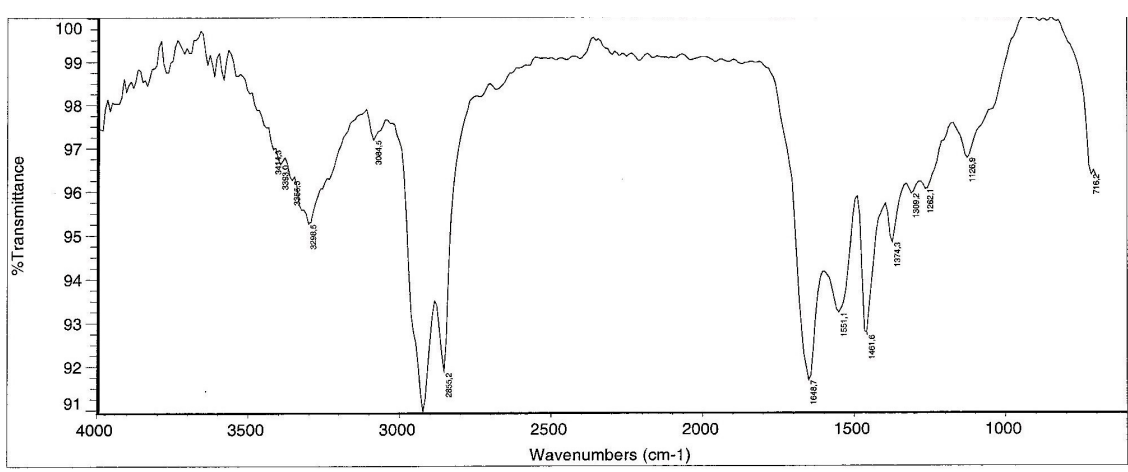
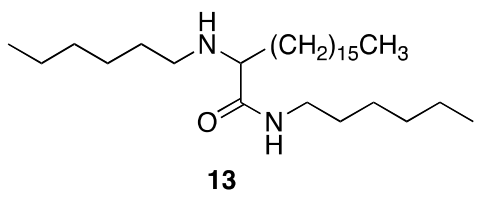
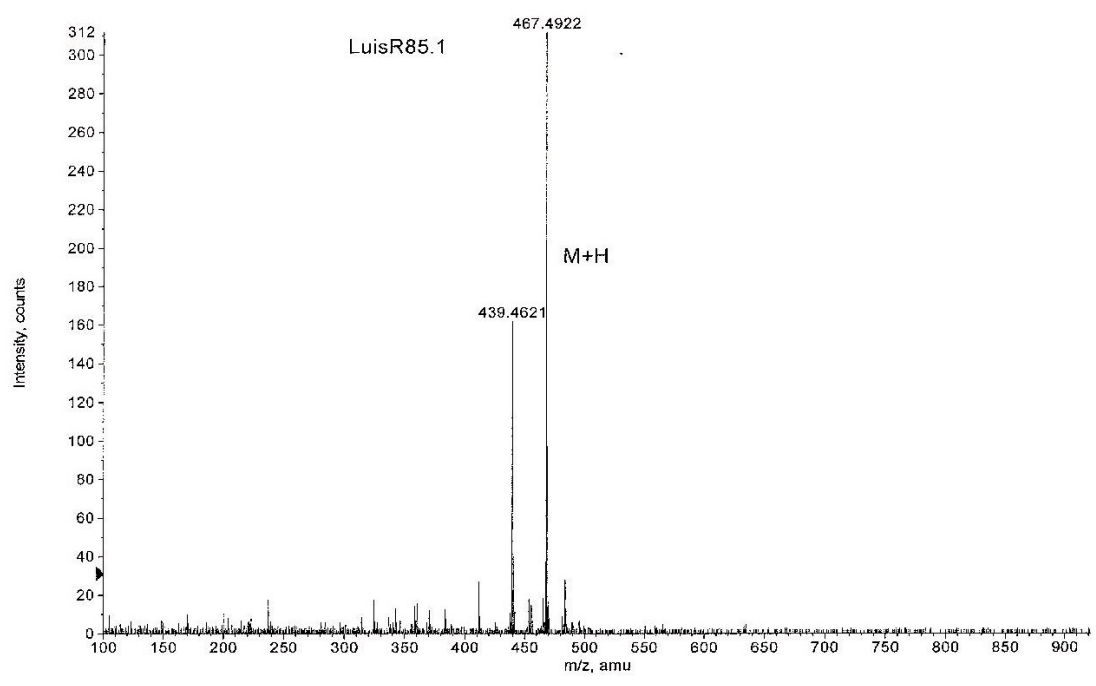


Figura X.130. Espectros de IR y MS del compuesto 13.

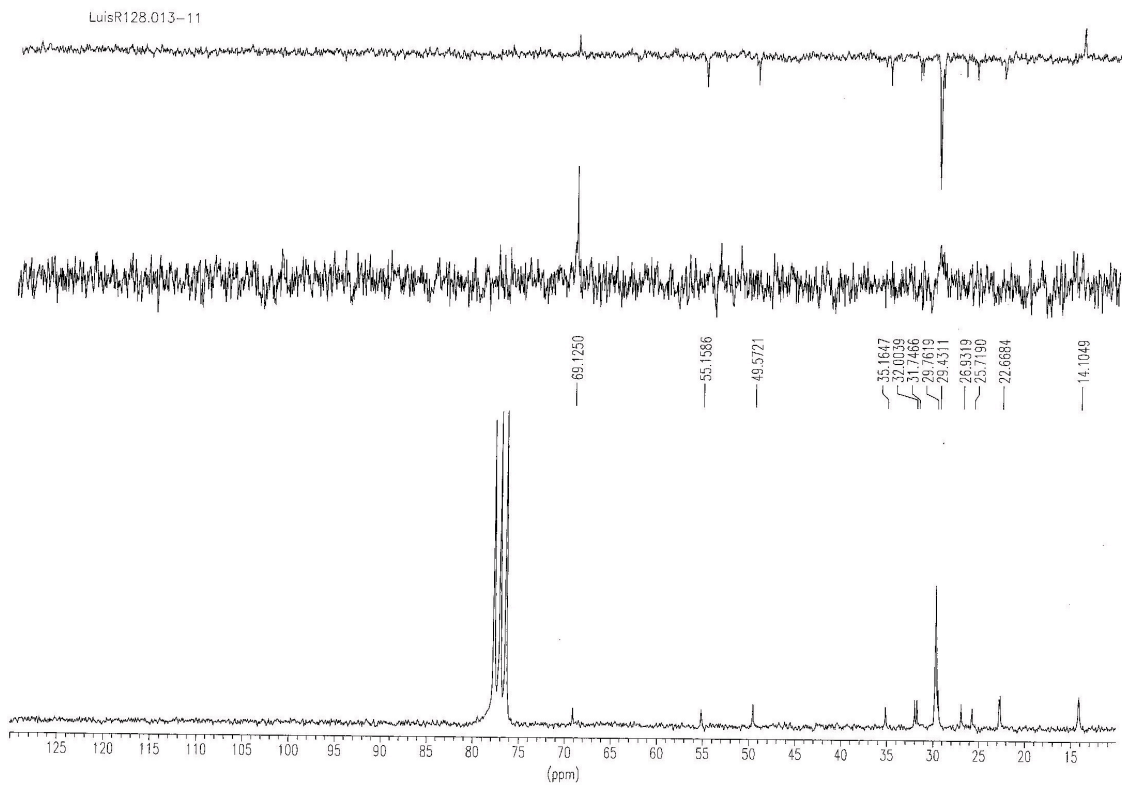
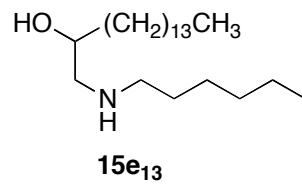
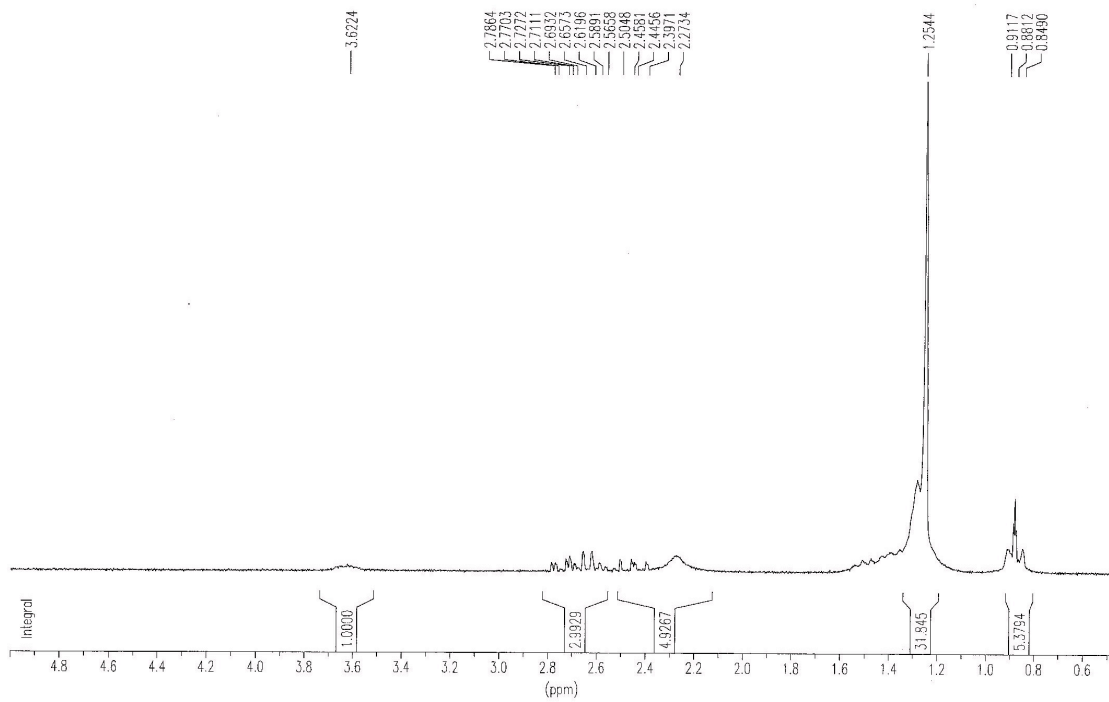


Figura X.131. Espectros de RMN ¹H y ¹³C del compuesto **15e₁₃**.

TOF MS: 0.450 min from Sample 4 (Luis R128) of feb101012.wiff
a=3.56409109108974640e-004, t0=-1.02617812043936280e+001 R_i; subtracted (0.034 to 0...

Max. 775.0 counts.

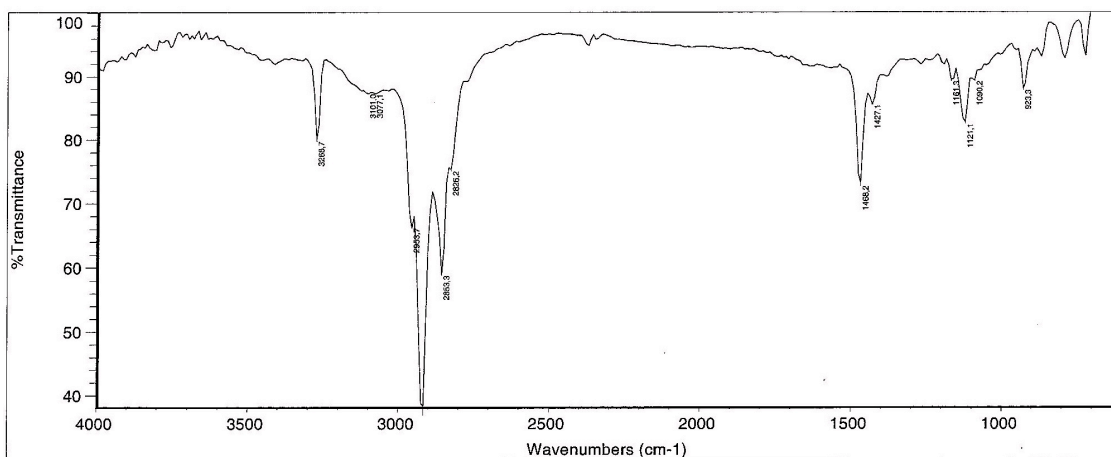
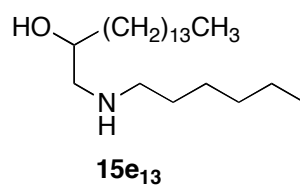
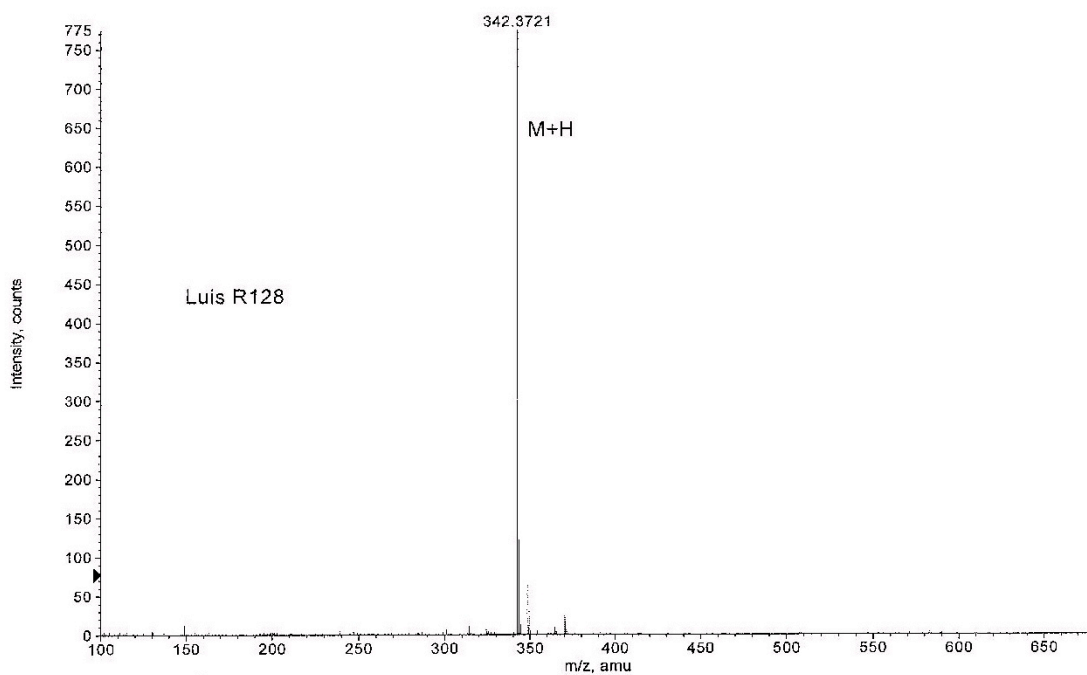


Figura X.132. Espectros de IR y MS del compuesto **15e₁₃**.

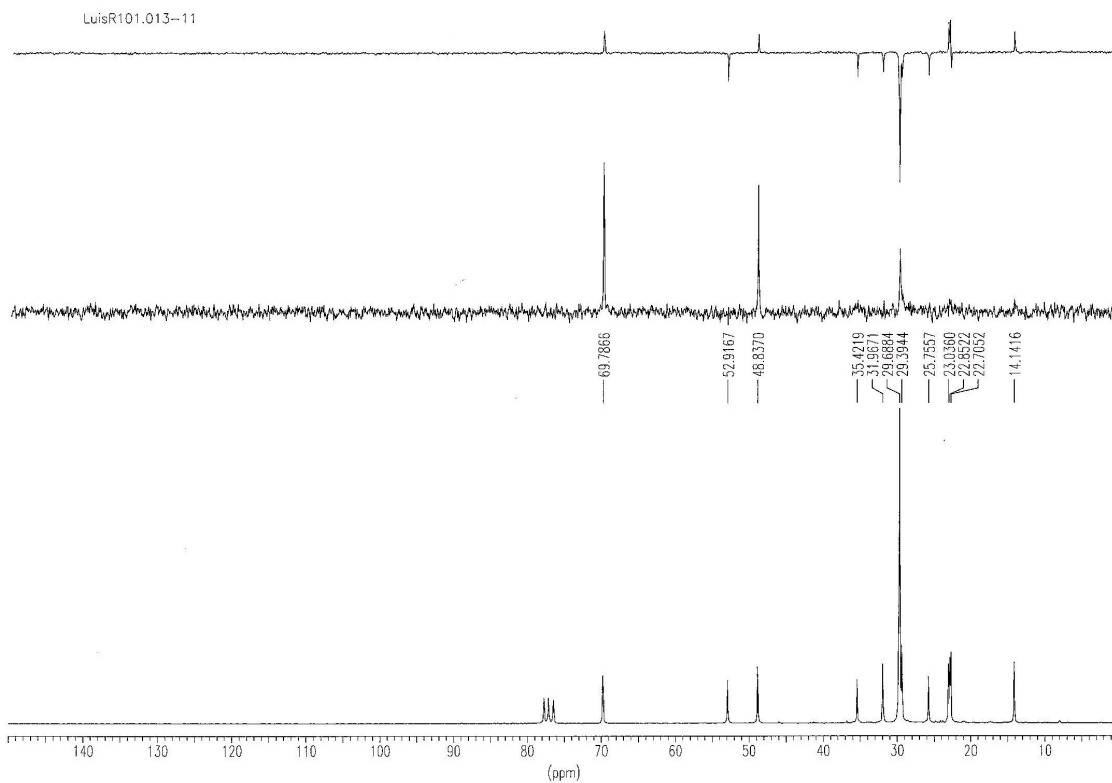
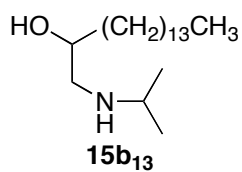
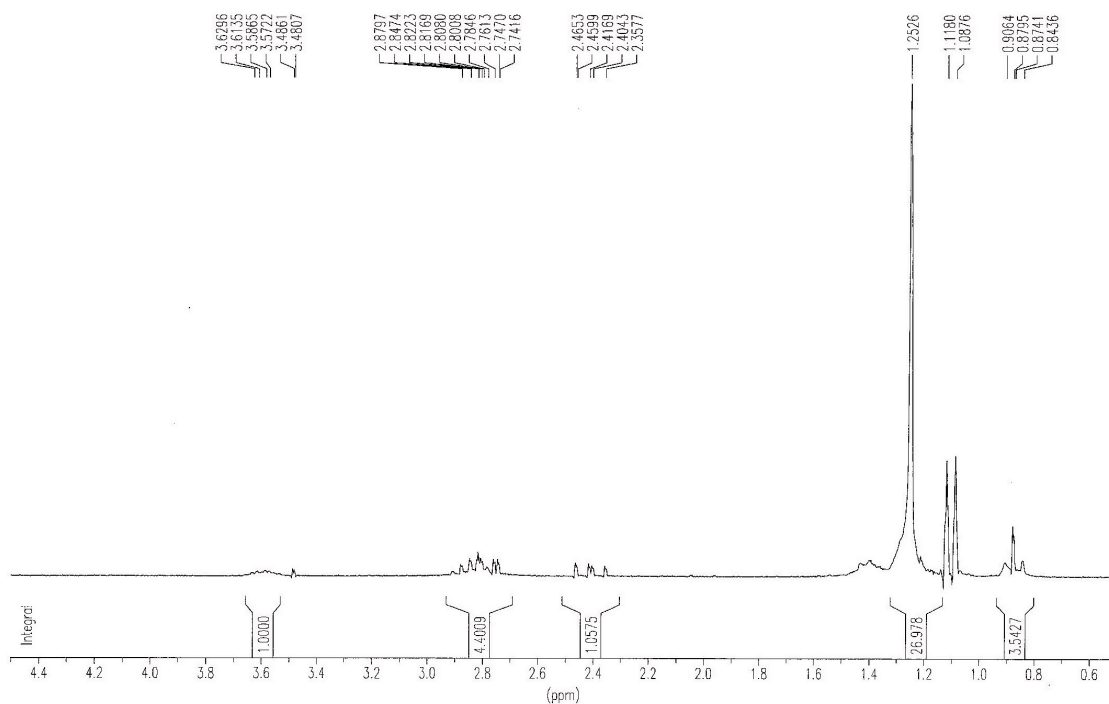


Figura X.133. Espectros de RMN ¹H y ¹³C del compuesto **15b₁₃**.

+TOF MS: 0.751 min from Sample 2 (LuisR101) of oct270912.wiff
a=3.56412619793604690e-004, t0=-1.04257697844877840e+001 R_i, subtracted (0.017 to 0...

Max. 251.0 counts.

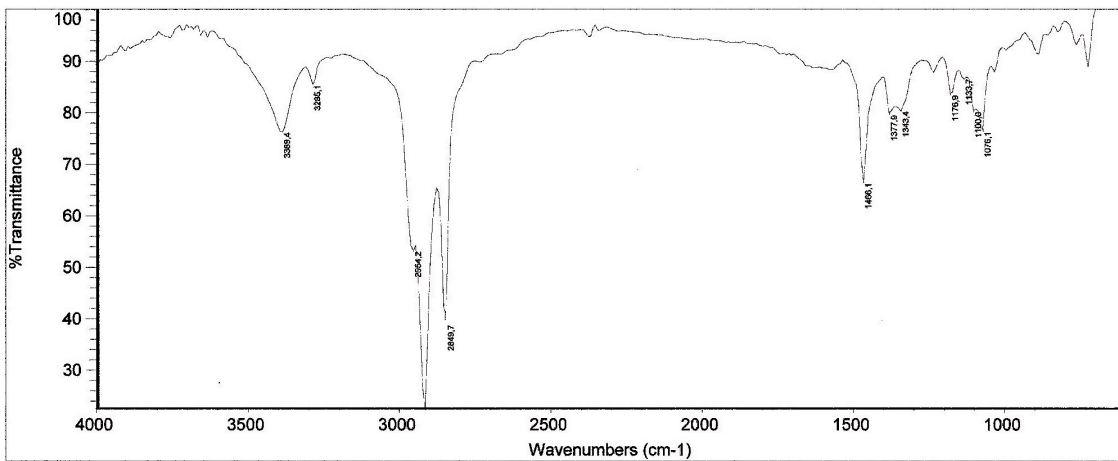
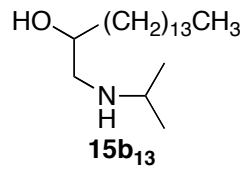
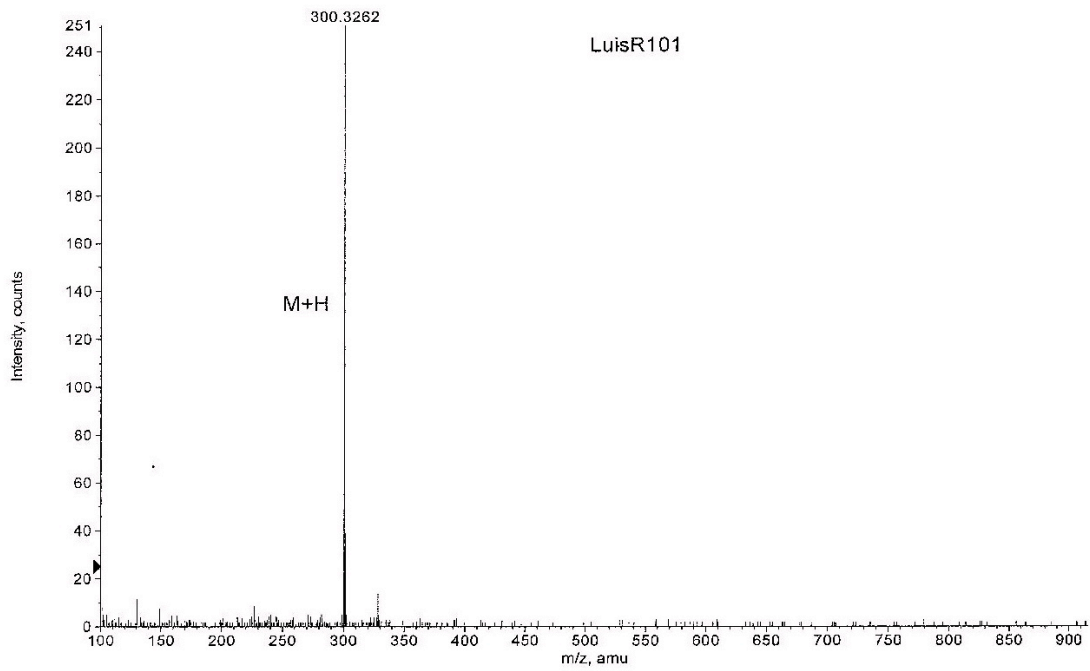


Figura X.134. Espectros de IR y MS del compuesto 15b₁₃.

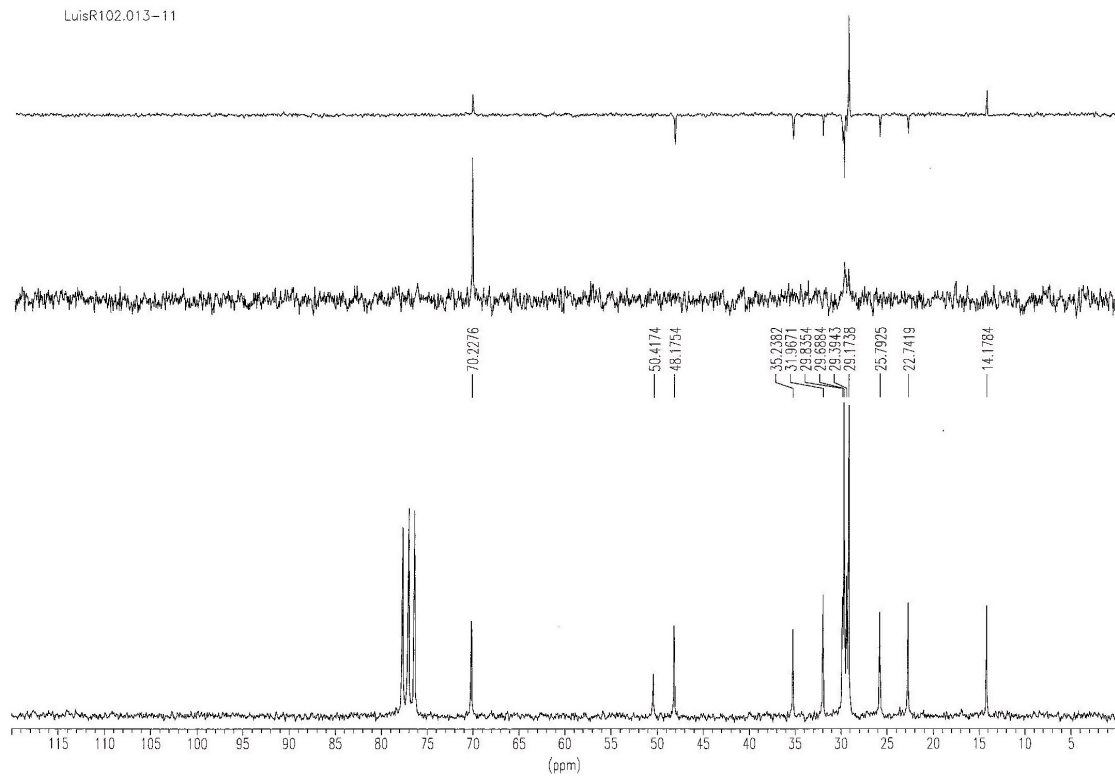
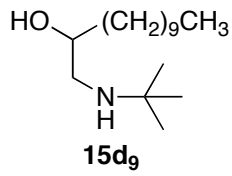
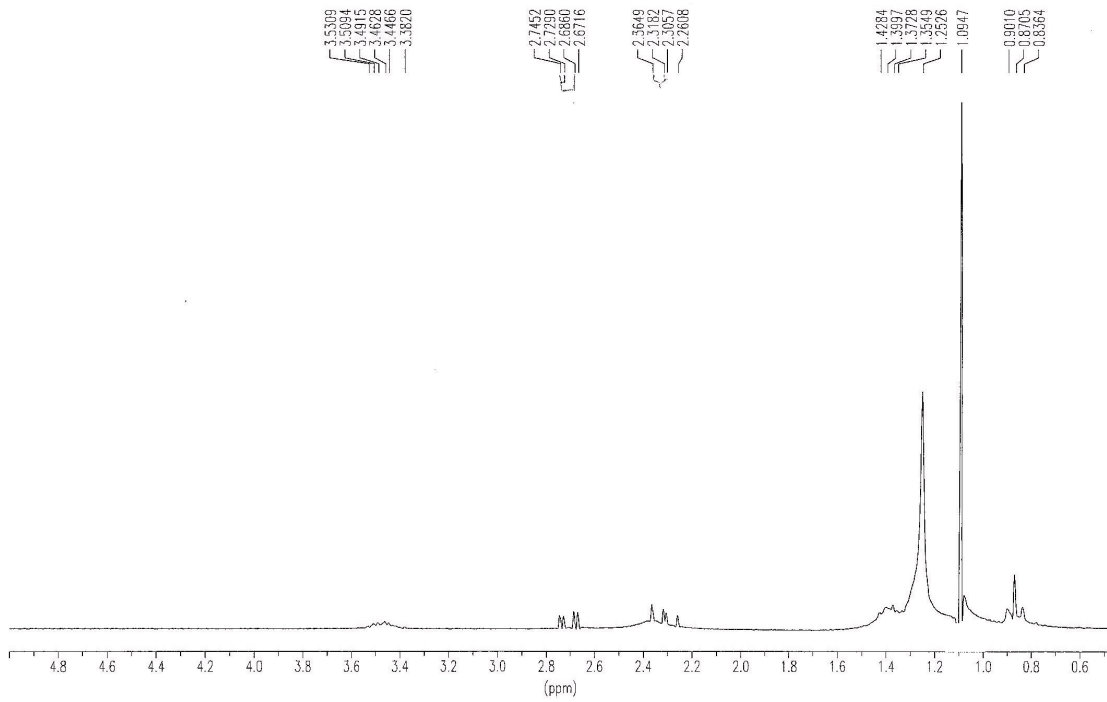


Figura X.135. Espectros de RMN ^1H y ^{13}C del compuesto **15d₉**.

TOF MS: 0.800 min from Sample 3 (LuisR102) of oct270913.wiff
a=3.56412373584468340e-004, t0=-1.03372370500874240e+001 R; , subtracted (0.017 to 0...

Max. 531.2 counts.

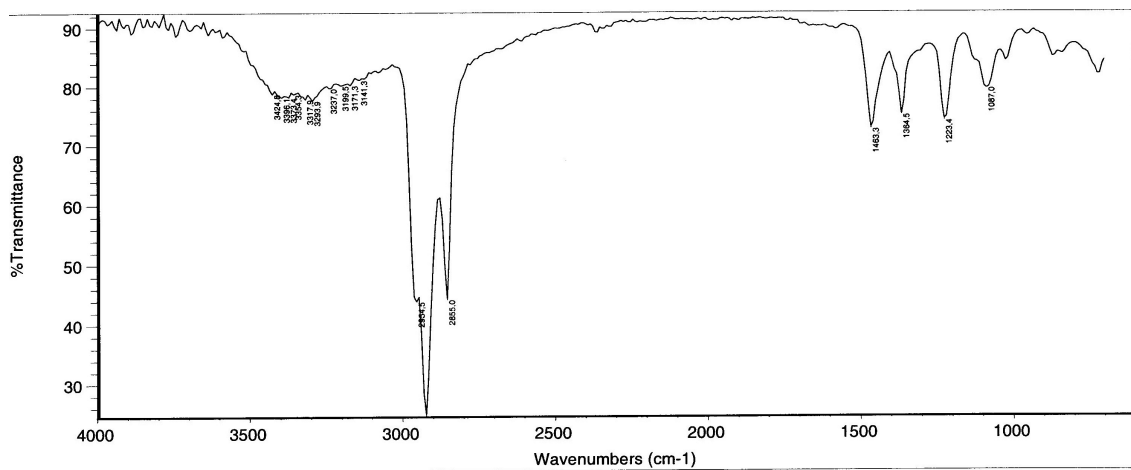
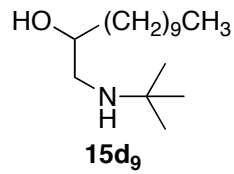
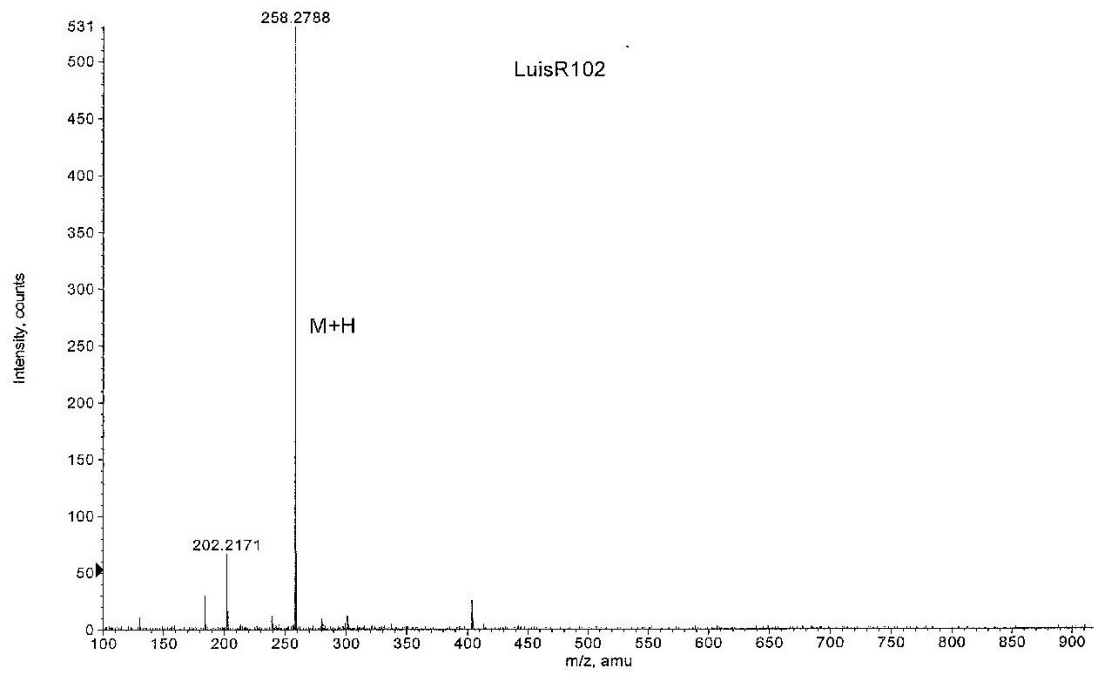


Figura X.136. Espectros de IR y MS del compuesto **15d₉**.

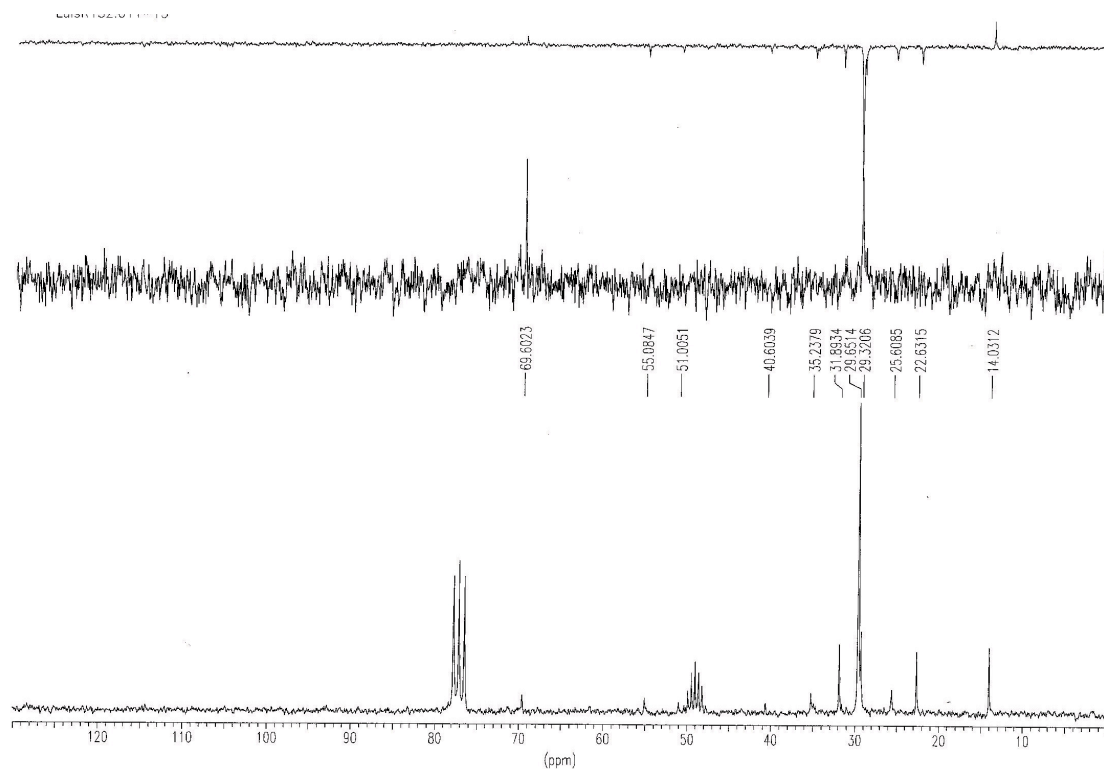
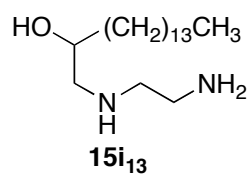
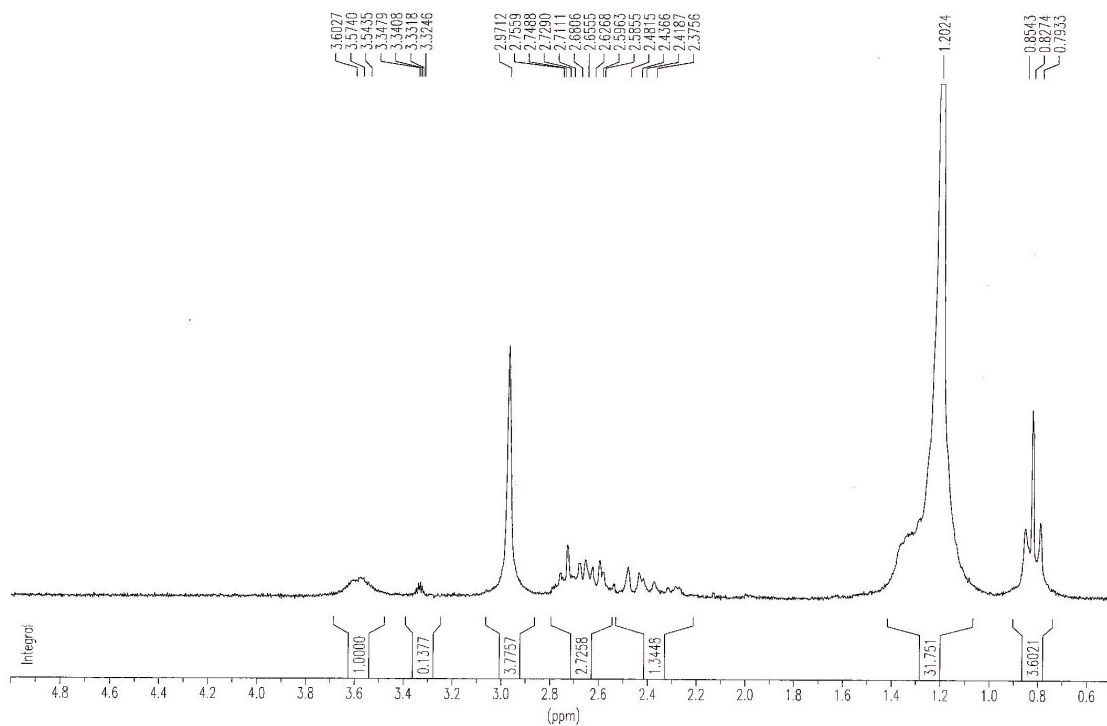


Figura X.137. Espectros de RMN ¹H y ¹³C del compuesto **15i₁₃**.

+TOF MS: 0.917 min from Sample 3 (Luis R132) of feb081011.wiff
a=3.56408574120118260e-004, t0=-1.02975329429718840e+001 R; subtracted (0.034 to 0...

Max. 727.0 counts.

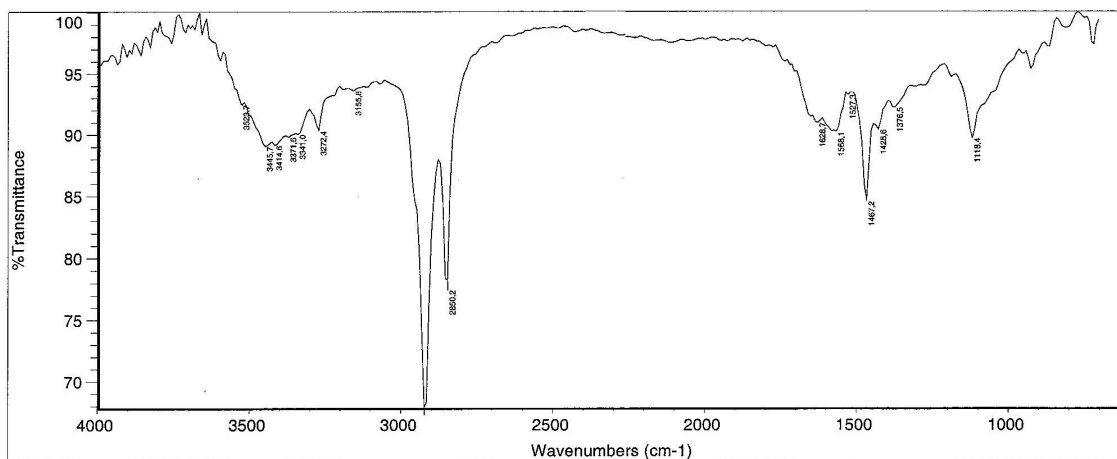
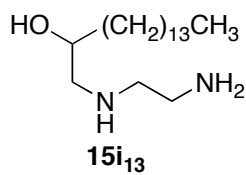
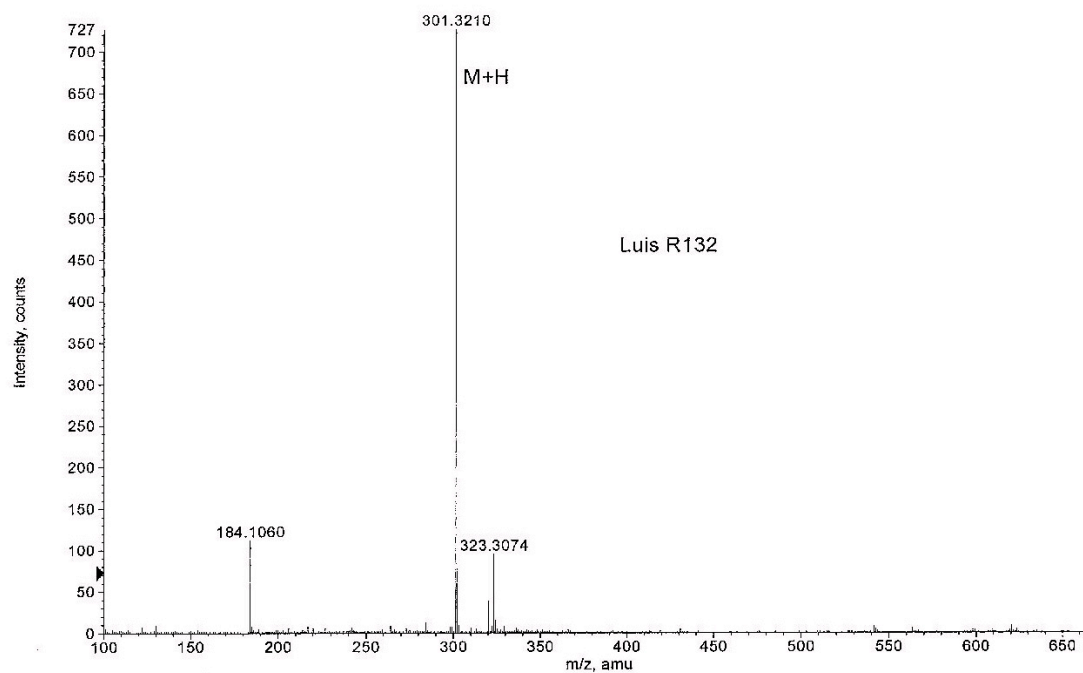


Figura X.138. Espectros de IR y MS del compuesto **15i₁₃**.

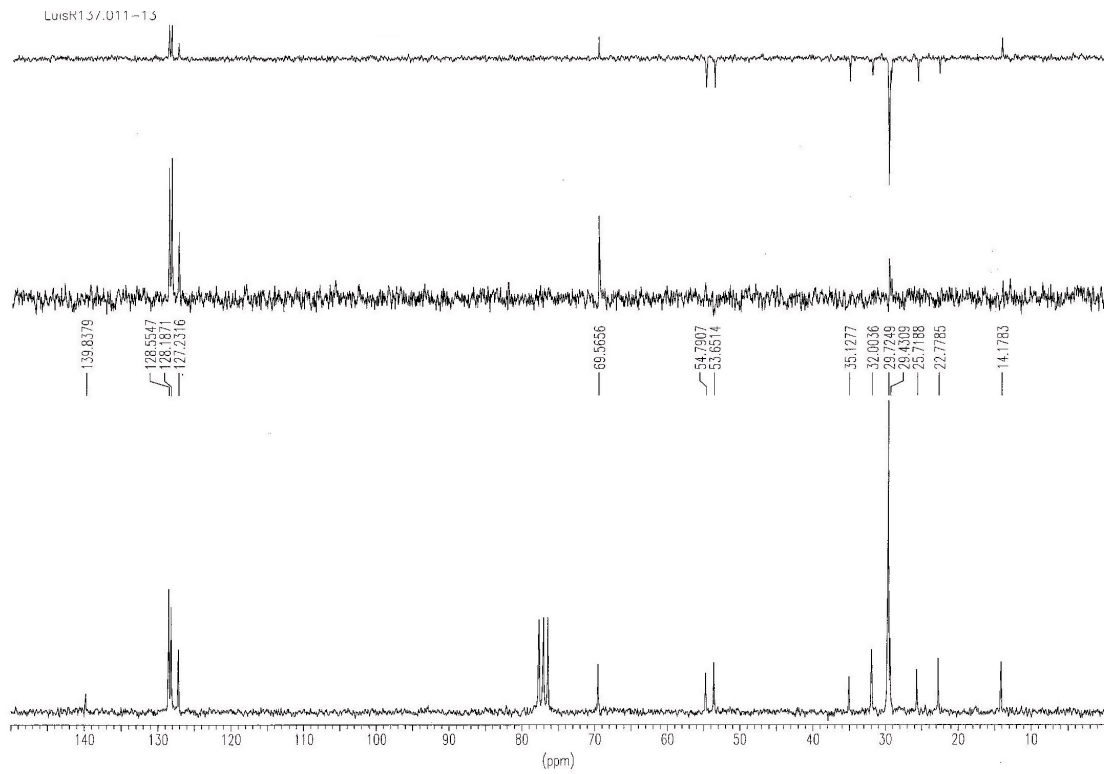
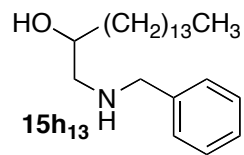
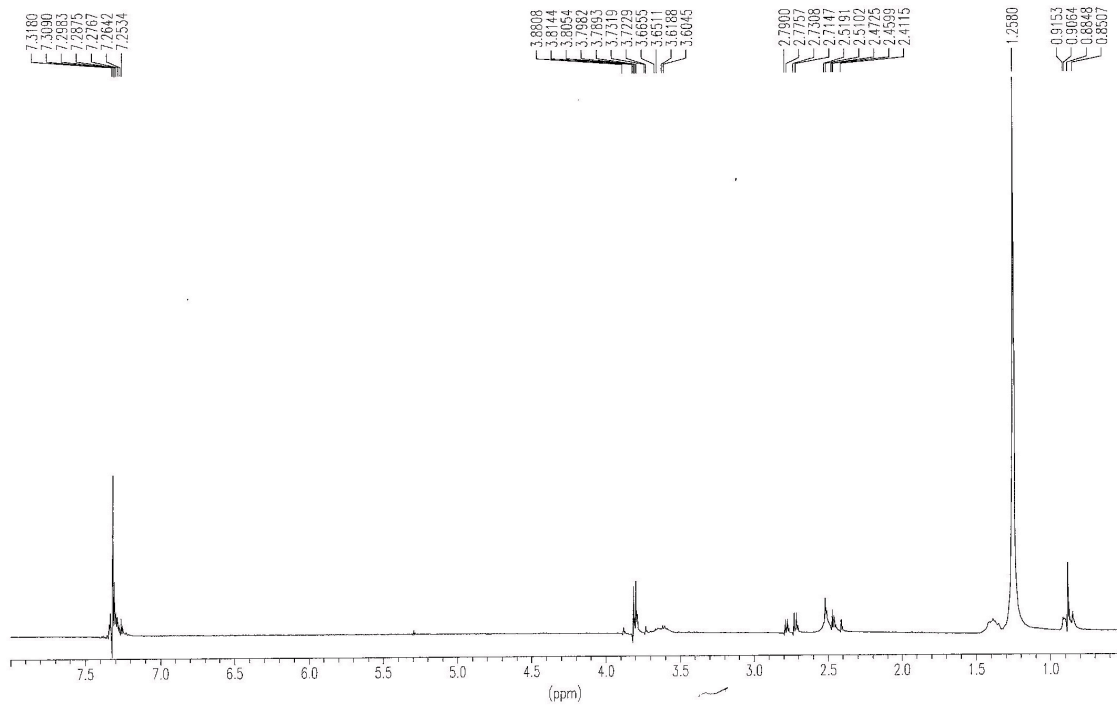


Figura X.139. Espectros de RMN ^1H y ^{13}C del compuesto 15h_{13} .

+TOF MS: 0.951 min from Sample 3 (Luis R137) of feb101012.wiff
a=3.56409109108974640e-004, t0=-1.02617812043936280e+001 R; subtracted (0.034 to 0...

Max: 631.0 counts.

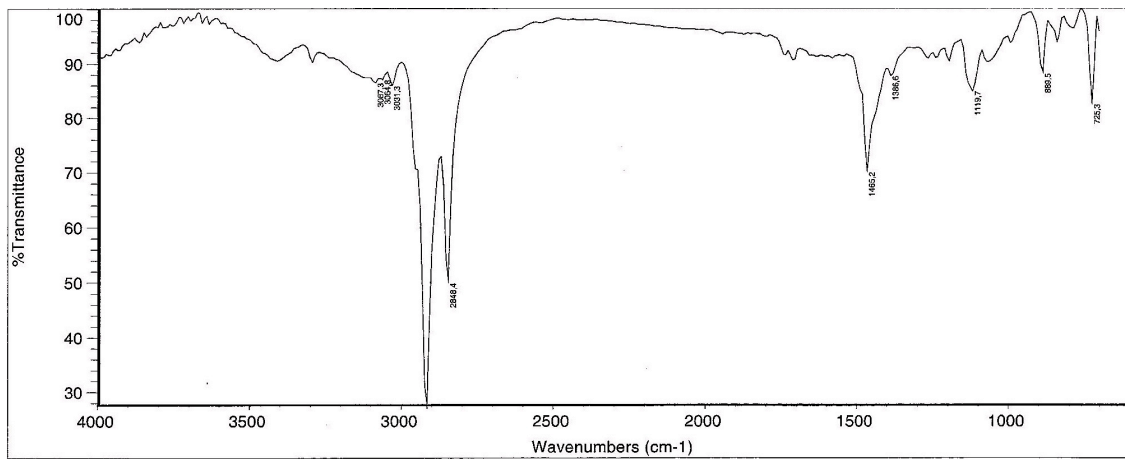
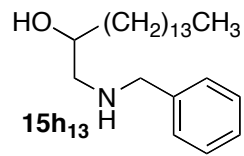
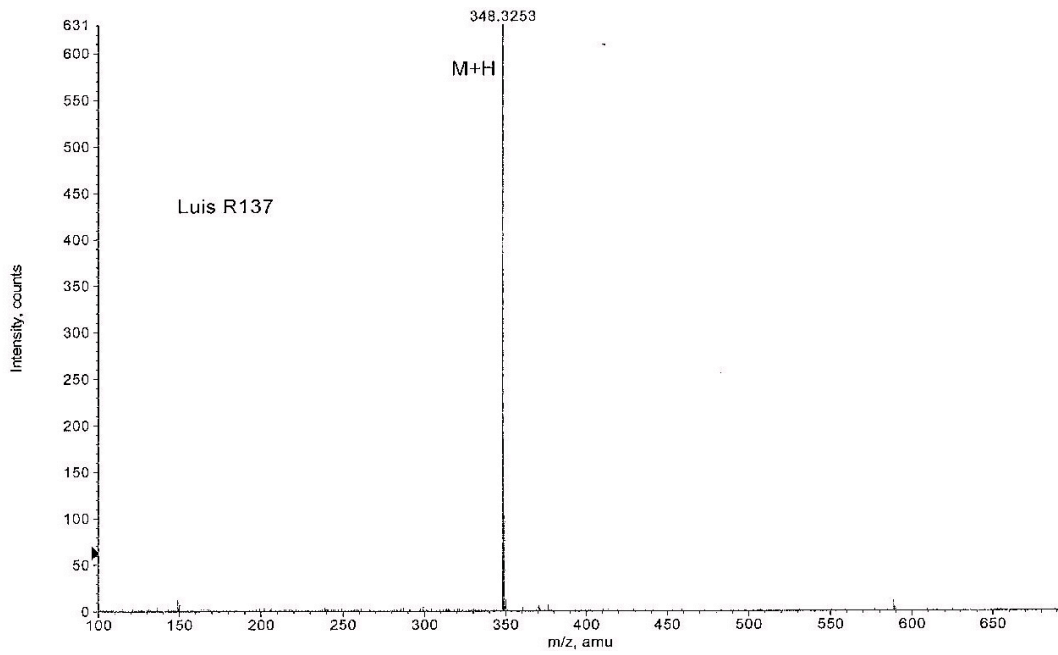


Figura X.140. Espectros de IR y MS del compuesto 15h₁₃.

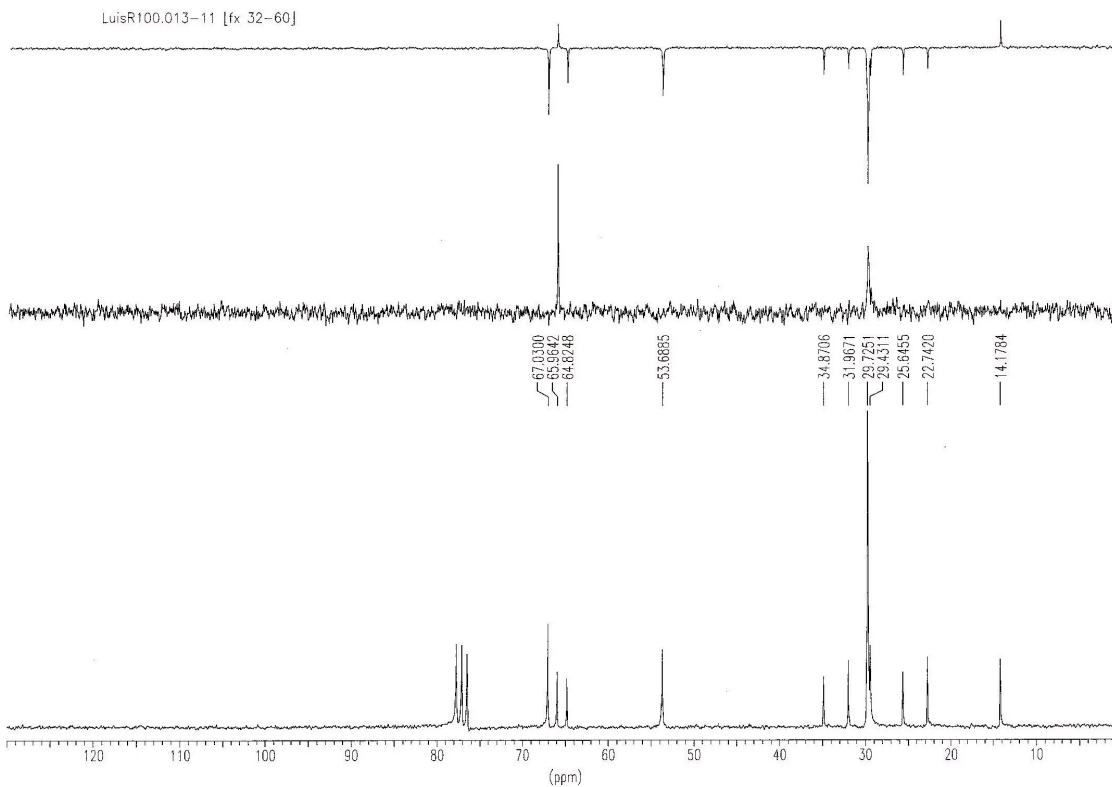
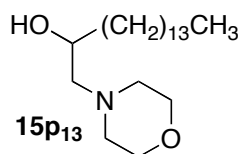
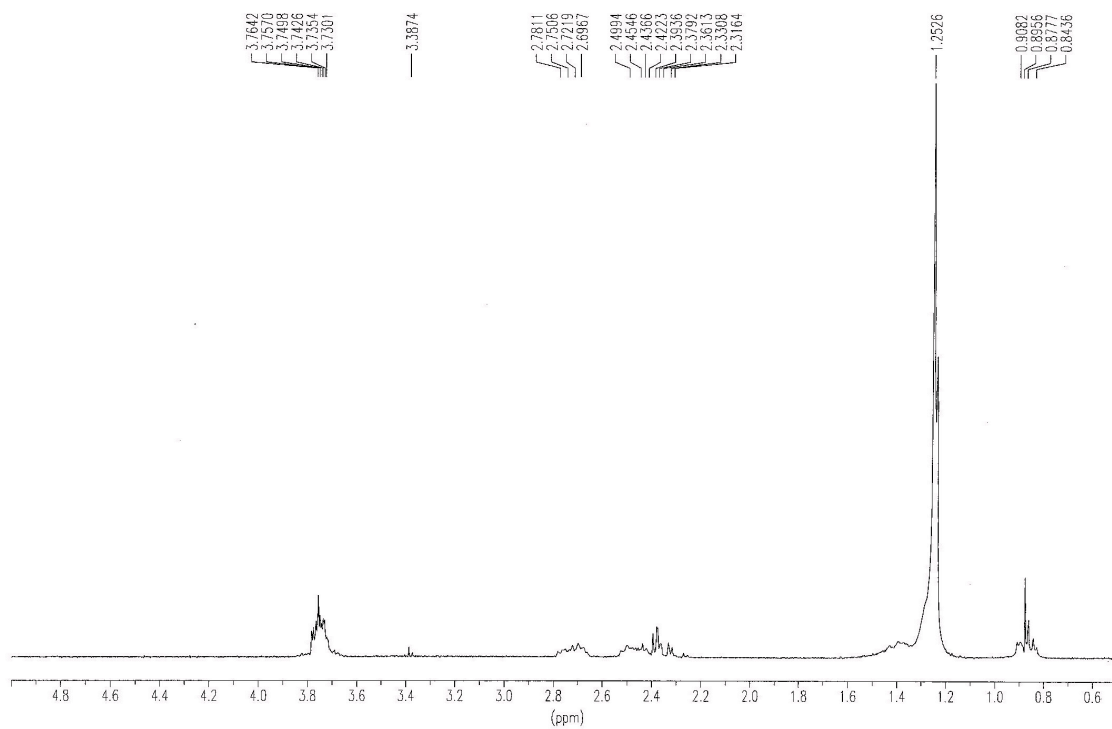


Figura X.141. Espectros de RMN ^1H y ^{13}C del compuesto 15p_{13} .

+TOF MS: 0.551 min from Sample 5 (LuisR100) of oct270911.wiff
a=3.56413345469551160e-004, t0=-1.04097717487493360e+001 R, subtracted (0.017 to 0...

Max. 535.0 counts.

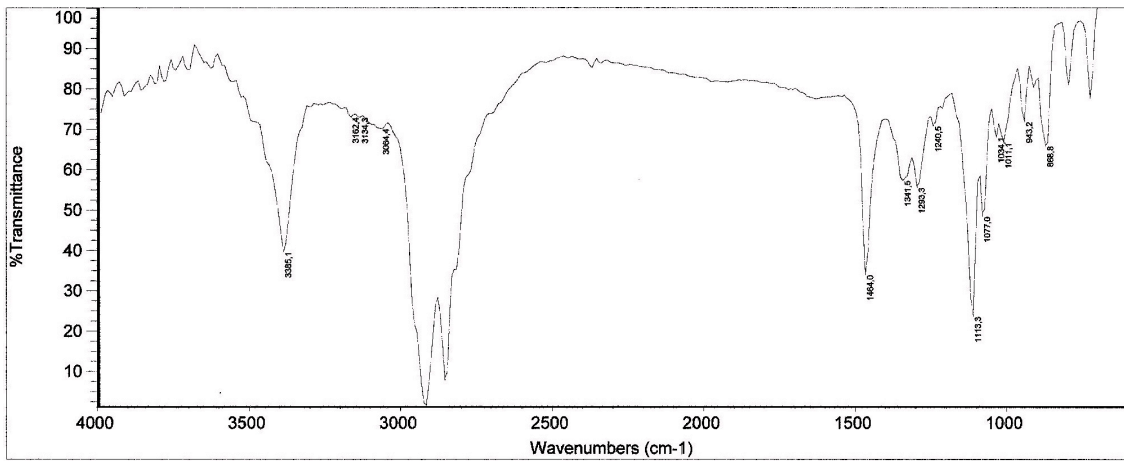
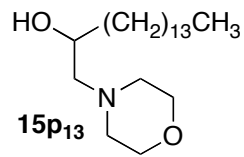
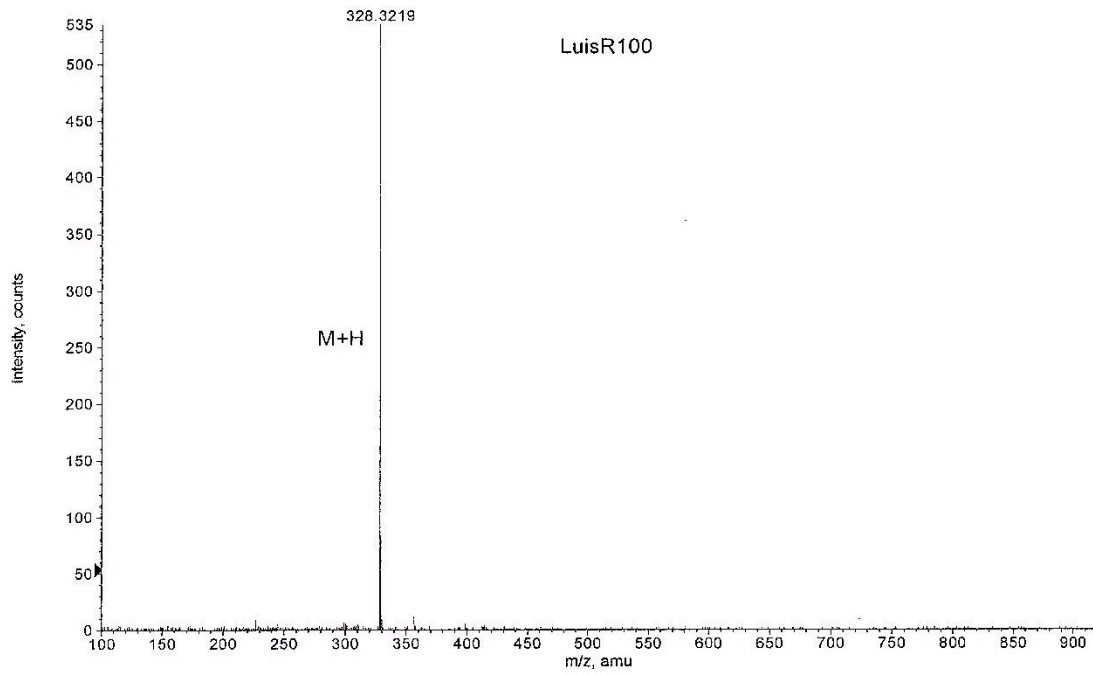


Figura X.142. Espectros de IR y MS del compuesto **15p13**.

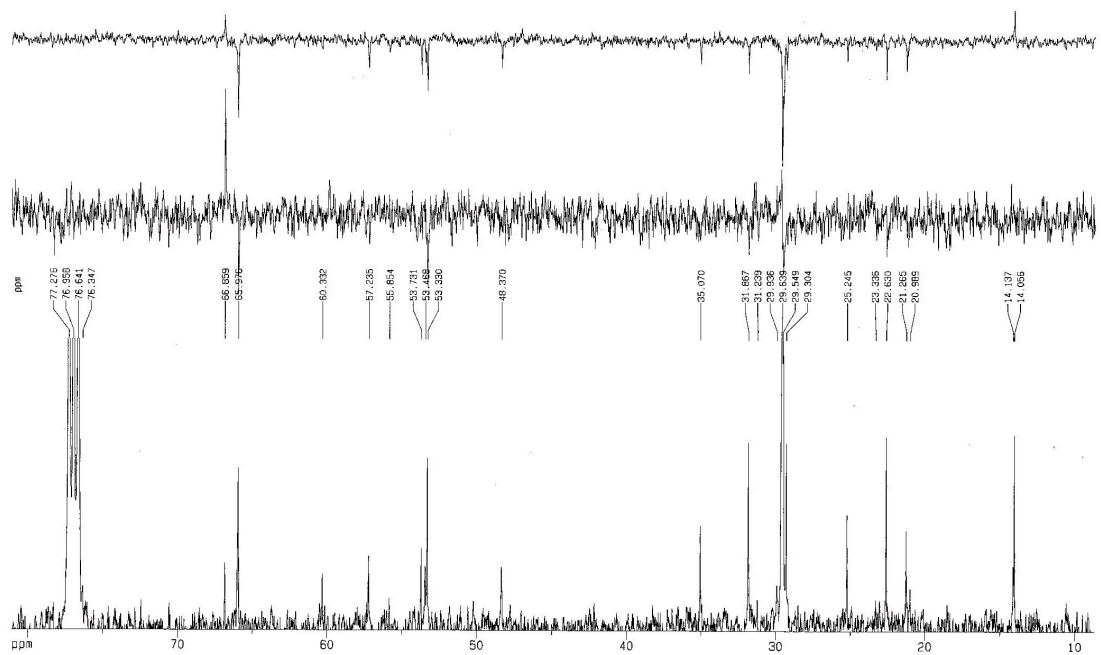
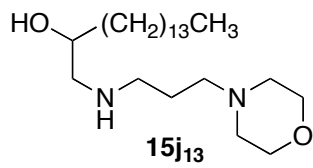
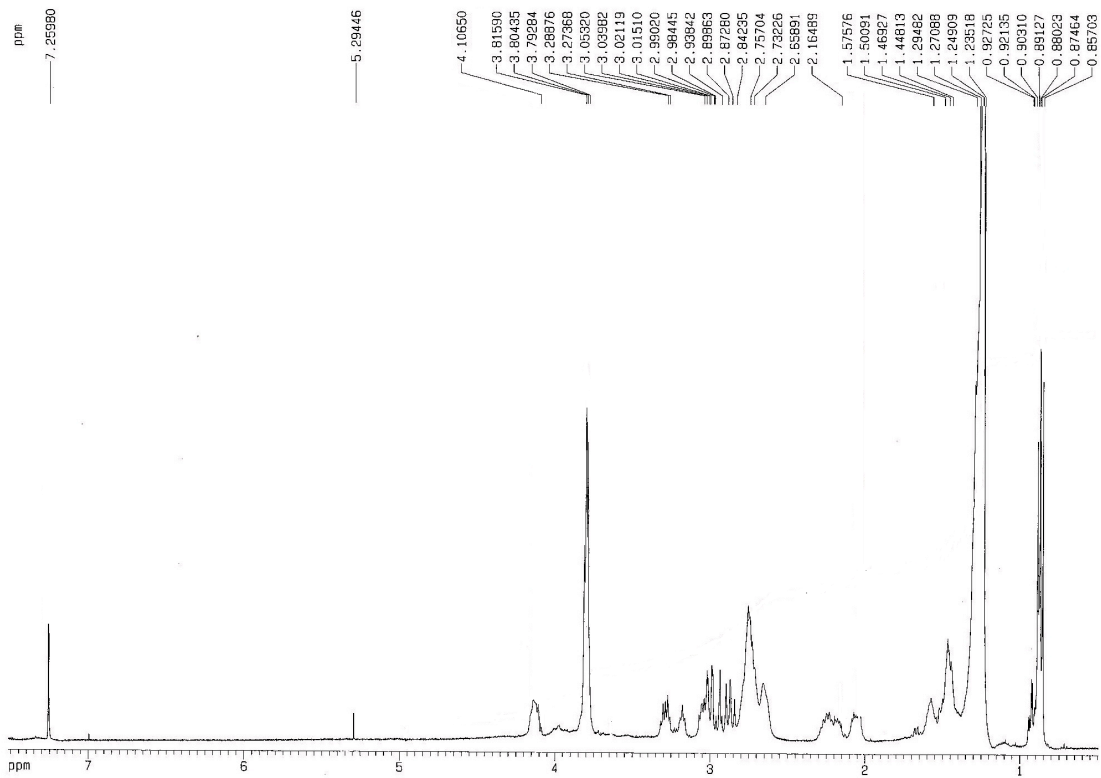


Figura X.143. Espectros de RMN ^1H y ^{13}C del compuesto **15j₁₃**.

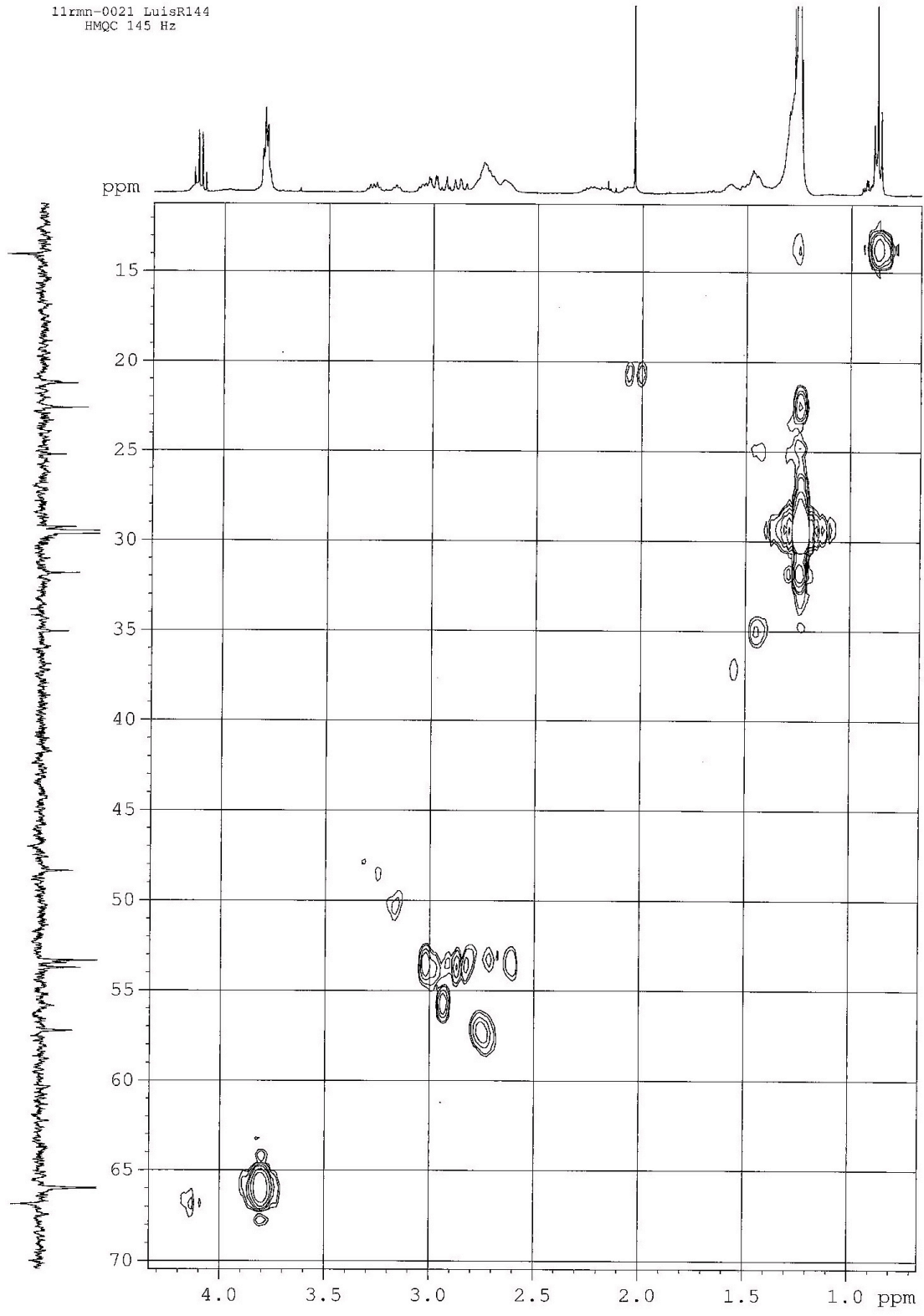
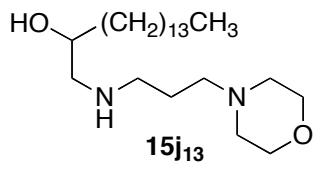
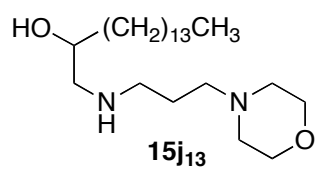


Figura X.144. Espectros de HMQC del compuesto **15j₁₃**.



1144

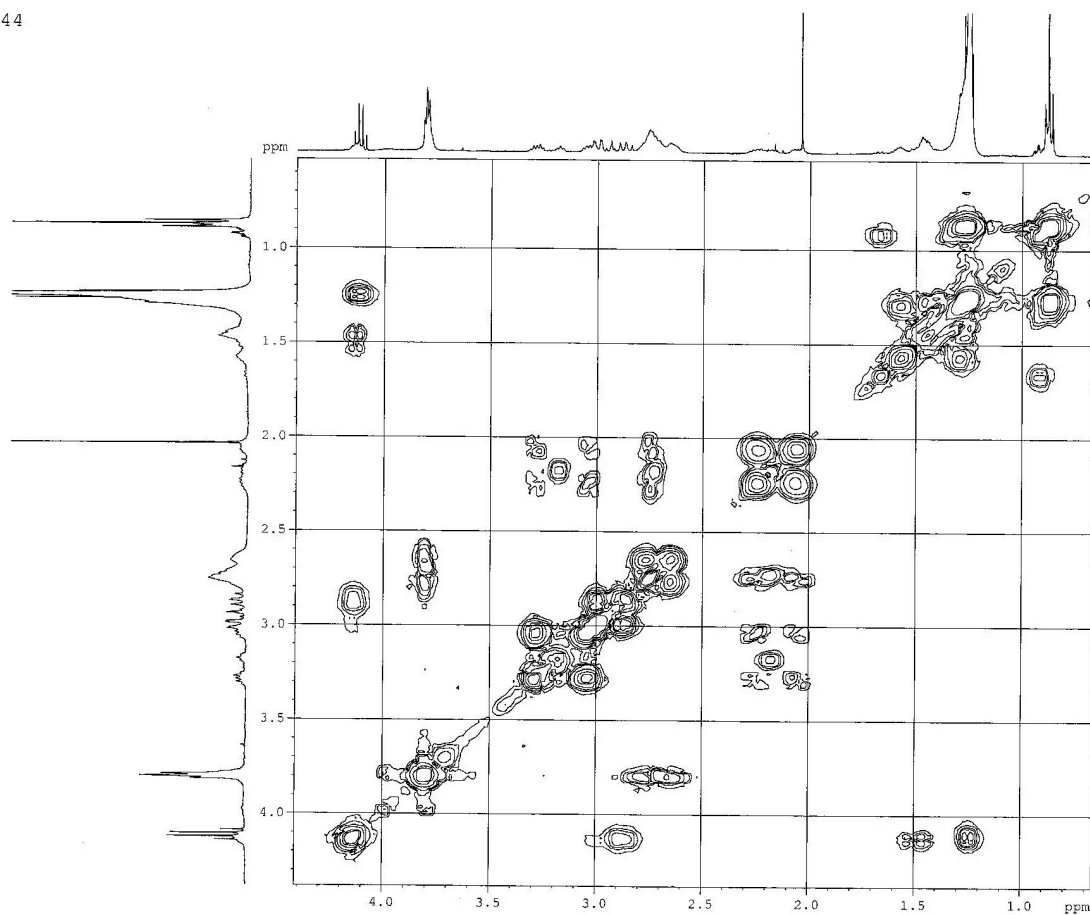
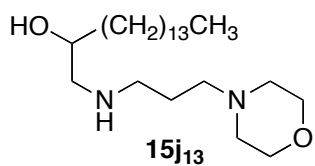


Figura X.145. Espectros de COSY del compuesto **15j₁₃**.



11rnn-0021 LuisR144
HMBC 50 ms

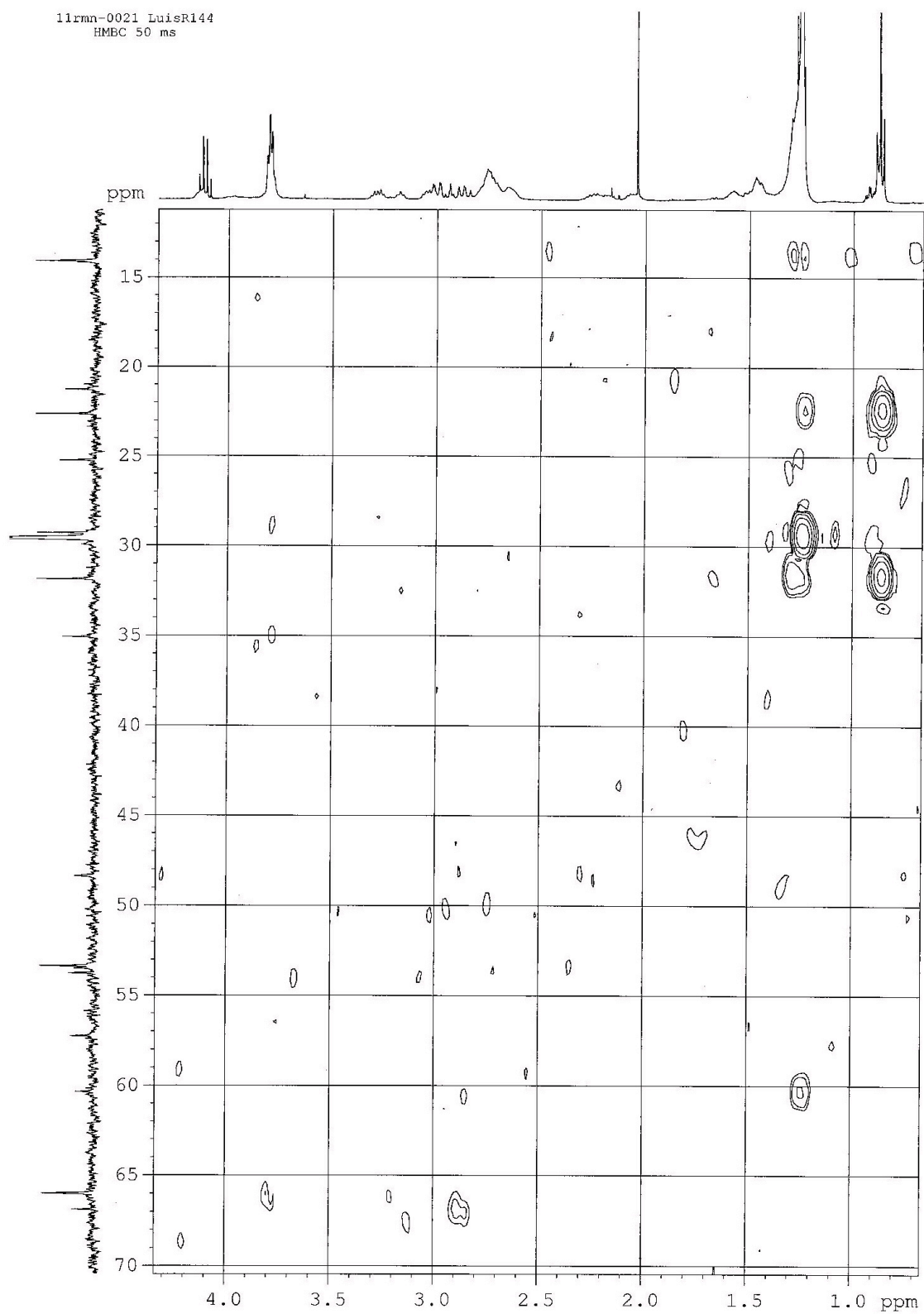


Figura X.146. Espectros de HMBC del compuesto **15j₁₃**.

+TOF MS: 0.467 min from Sample 5 (Luis R144m) of may061014.wiff
a=3.56364802673708550e-004, t0=-9.26133603159541960e+000 R_i; subtracted (0.034 to 0.067 ml...

Max. 750.0 counts.

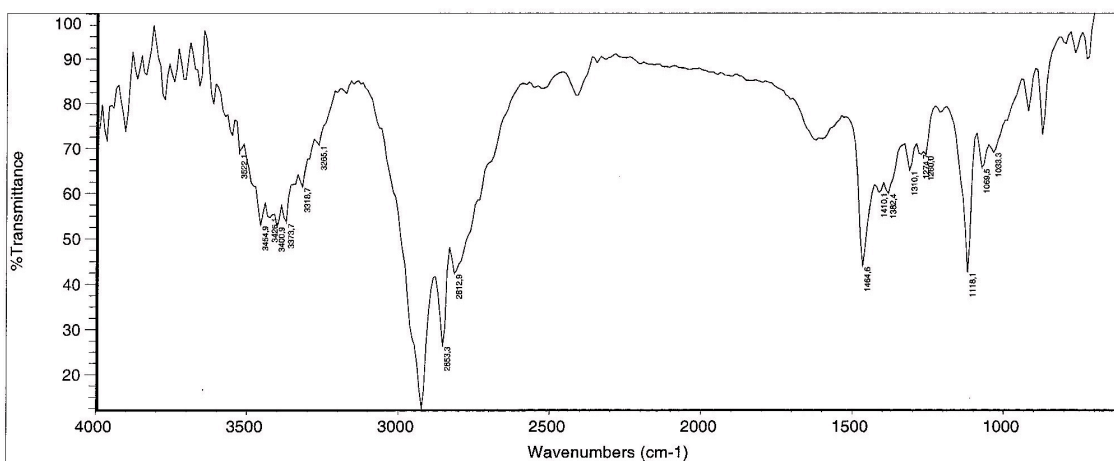
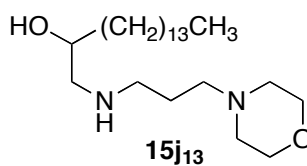
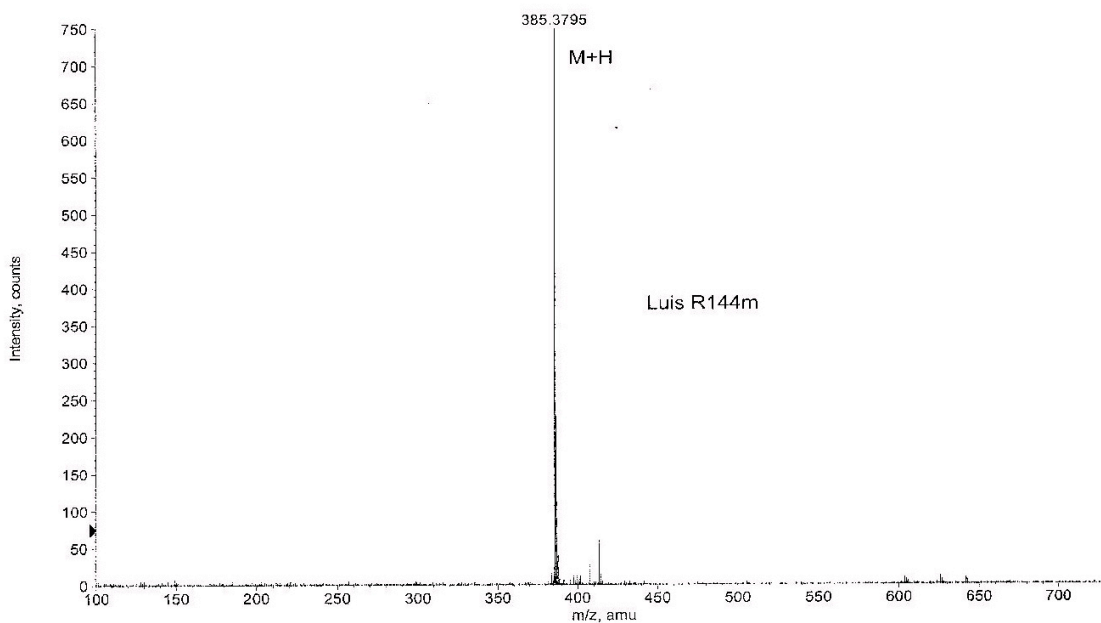


Figura X.147. Espectros de IR y MS del compuesto **15j₁₃**.

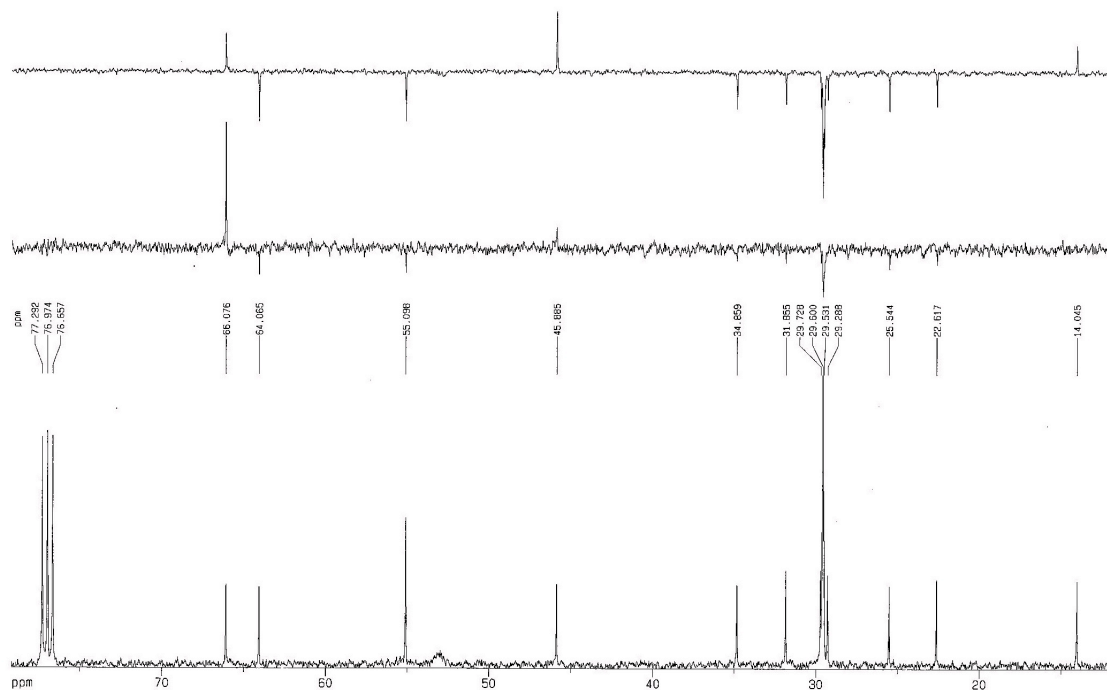
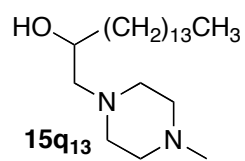
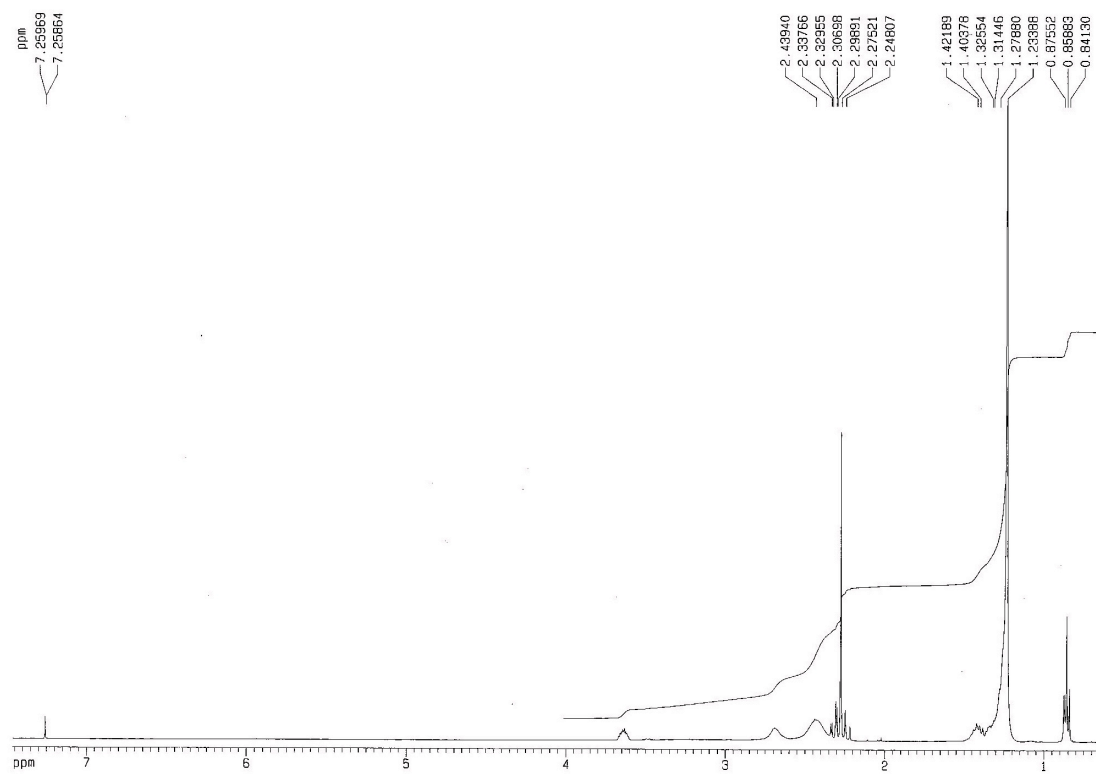
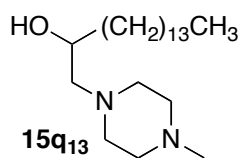


Figura X.148. Espectros de RMN ^1H y ^{13}C del compuesto 15q_{13} .



11rnm-0019 LuisR97
HMQC 145 Hz

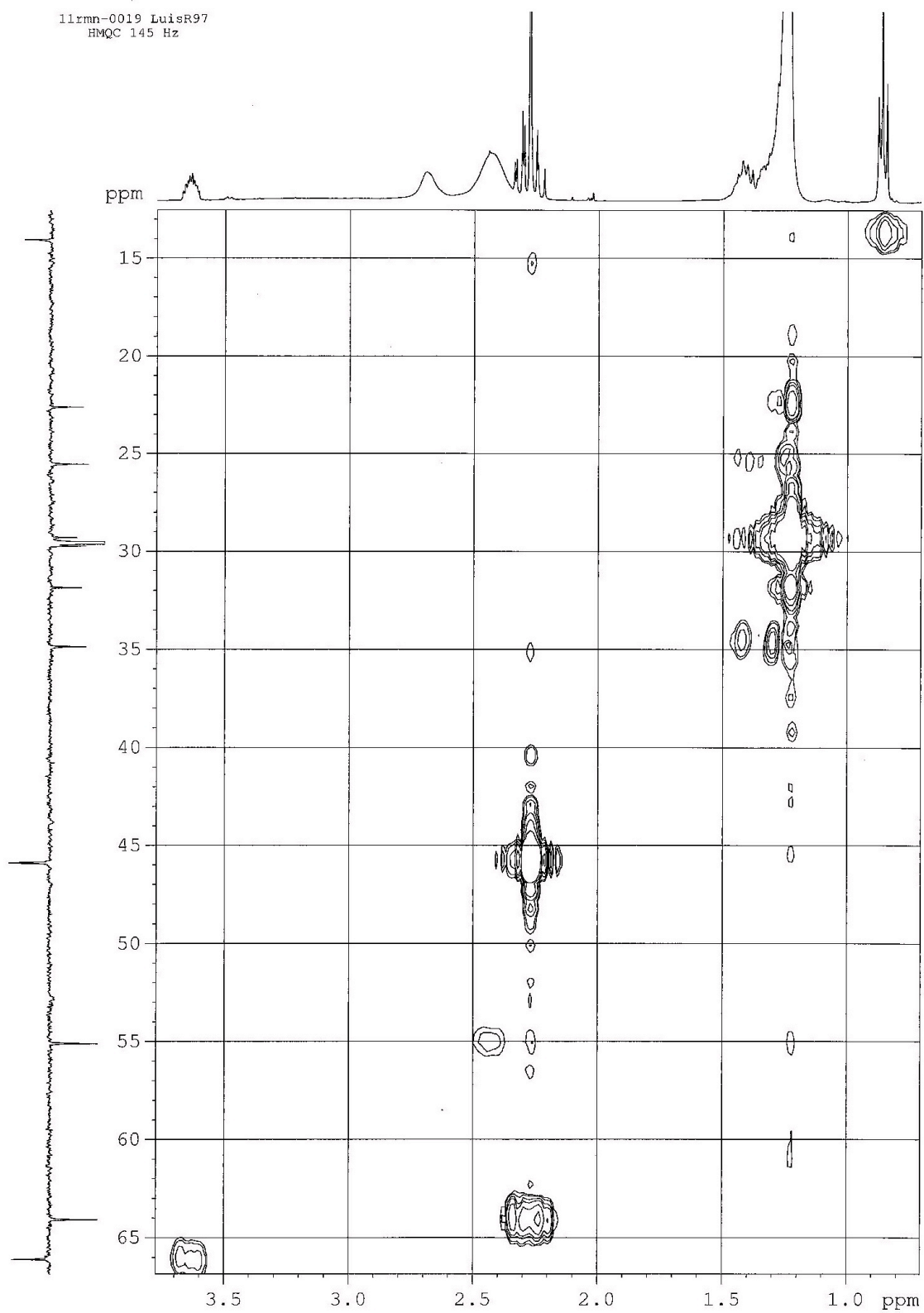
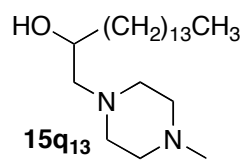


Figura X.149. Espectros de HMQC del compuesto 15q₁₃.



197

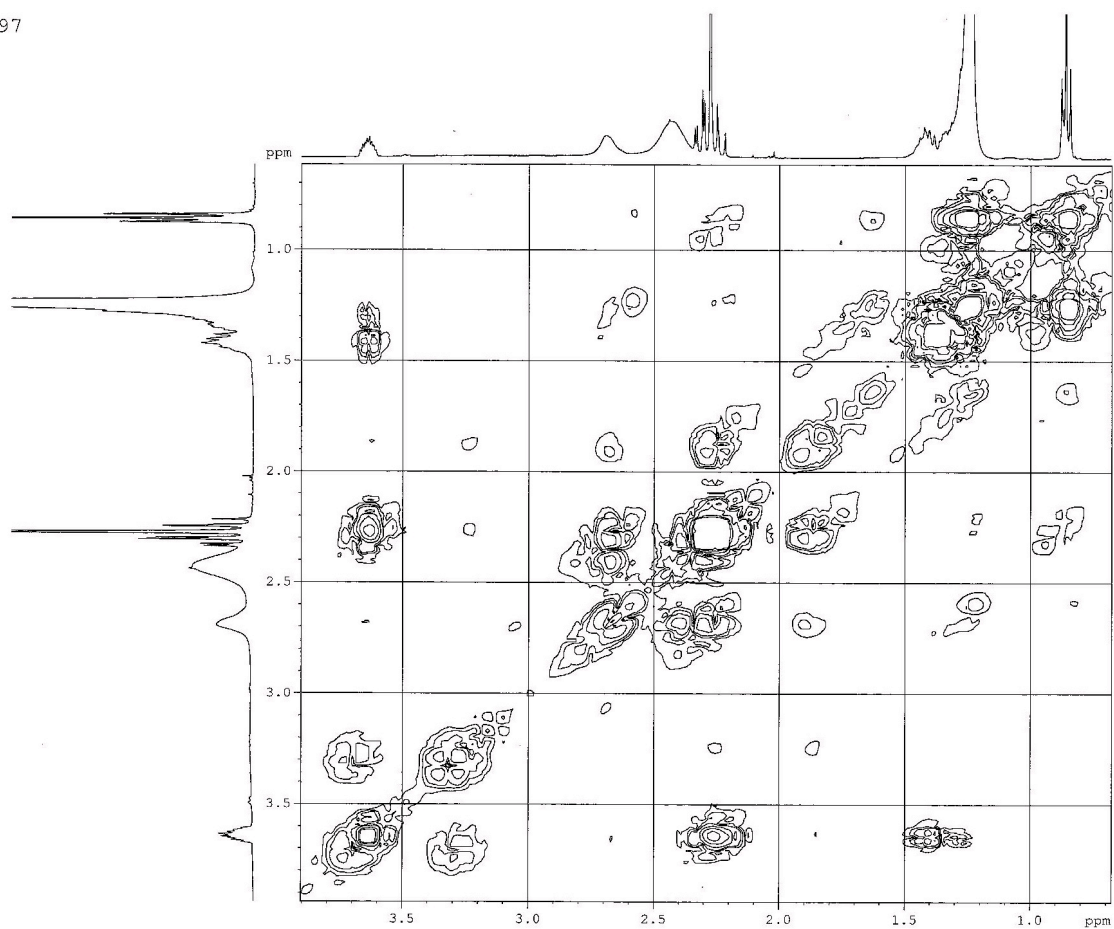
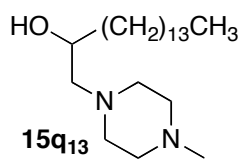


Figura X.150. Espectros de COSY del compuesto **15q₁₃**.



11rnm-0019 LuisR97
HMBC 50 ms

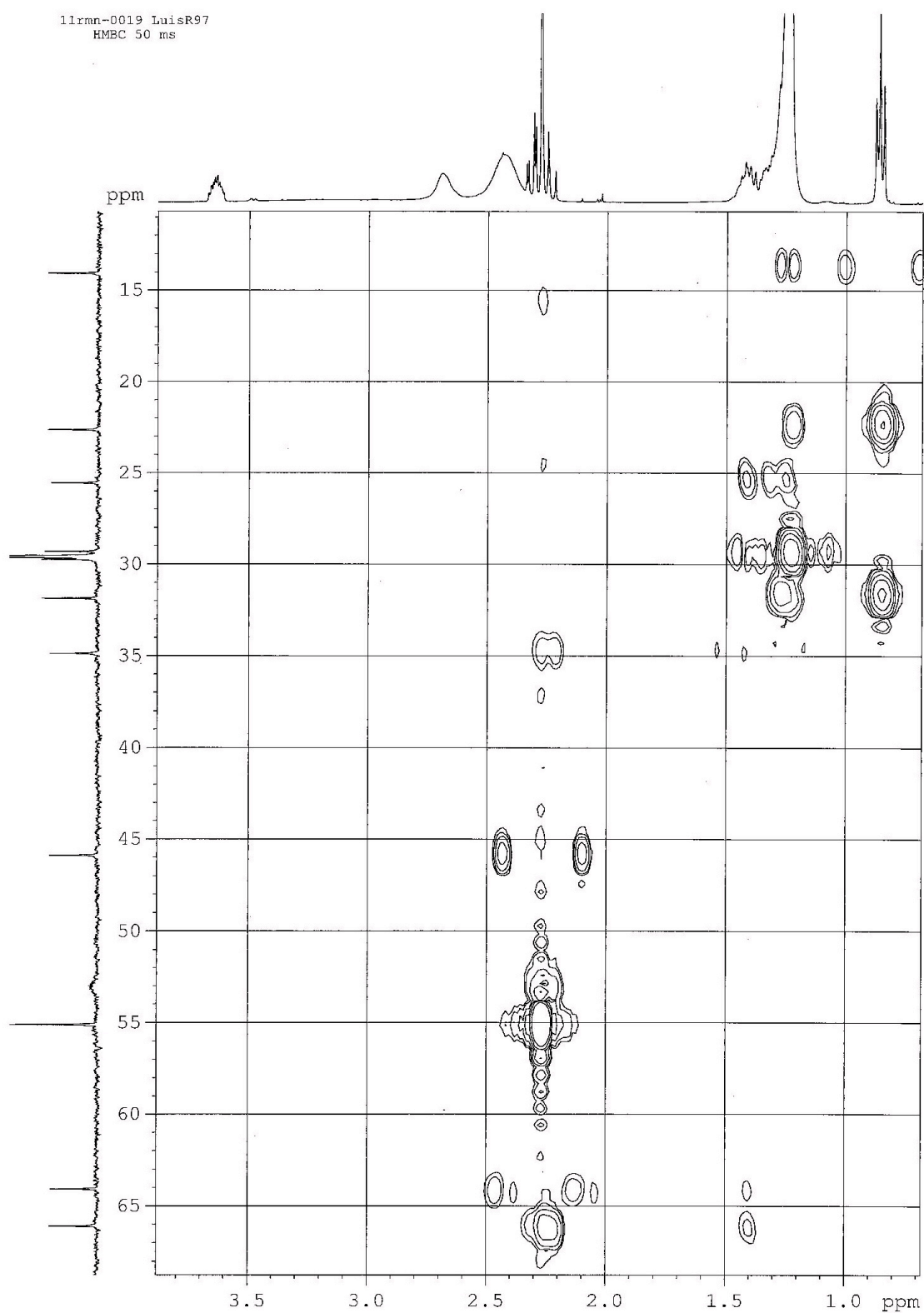


Figura X.151. Espectros de HMBC del compuesto **15q₁₃**.

+TOF MS: 0.701 min from Sample 5 (LuisR97) of oct130912.wiff
a=3.56417000595401810e-004, t0=-1.02905025533946170e+001 R., subtracted (0.017 to 0... Max. 163.0 counts.

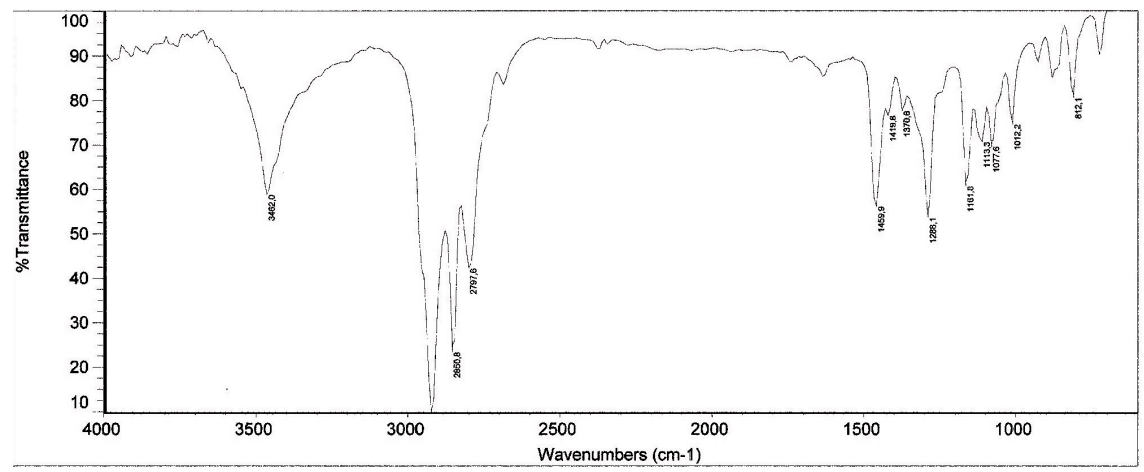
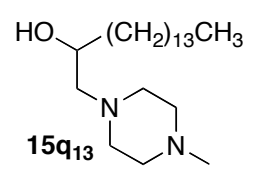
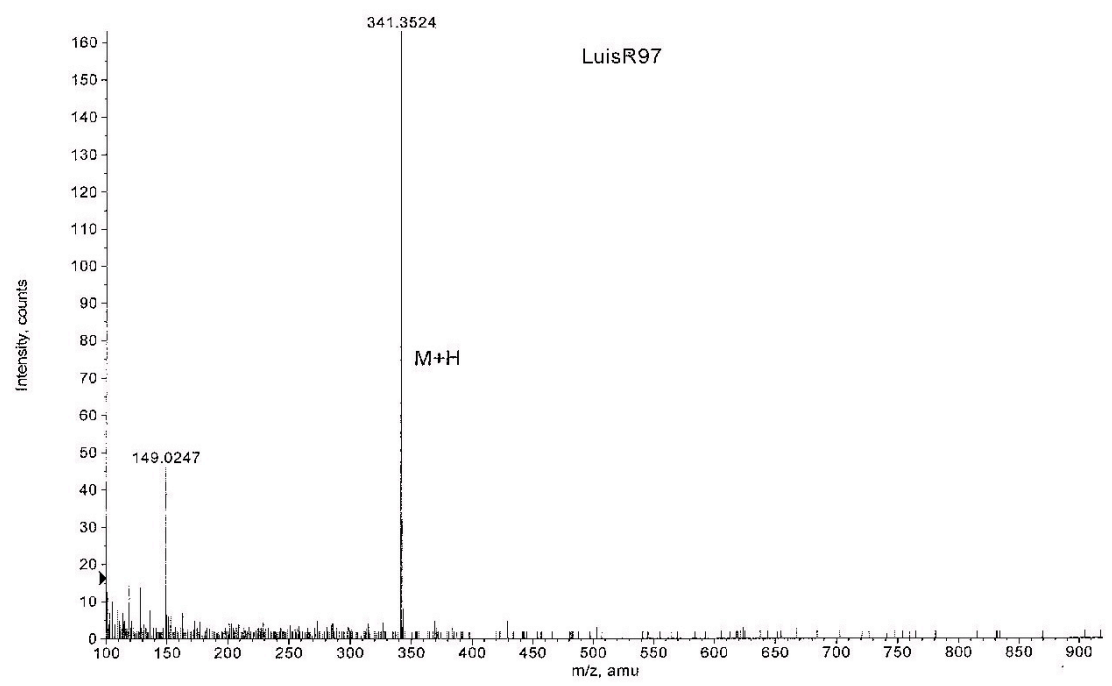


Figura X.152. Espectros de IR y MS del compuesto 15q13.

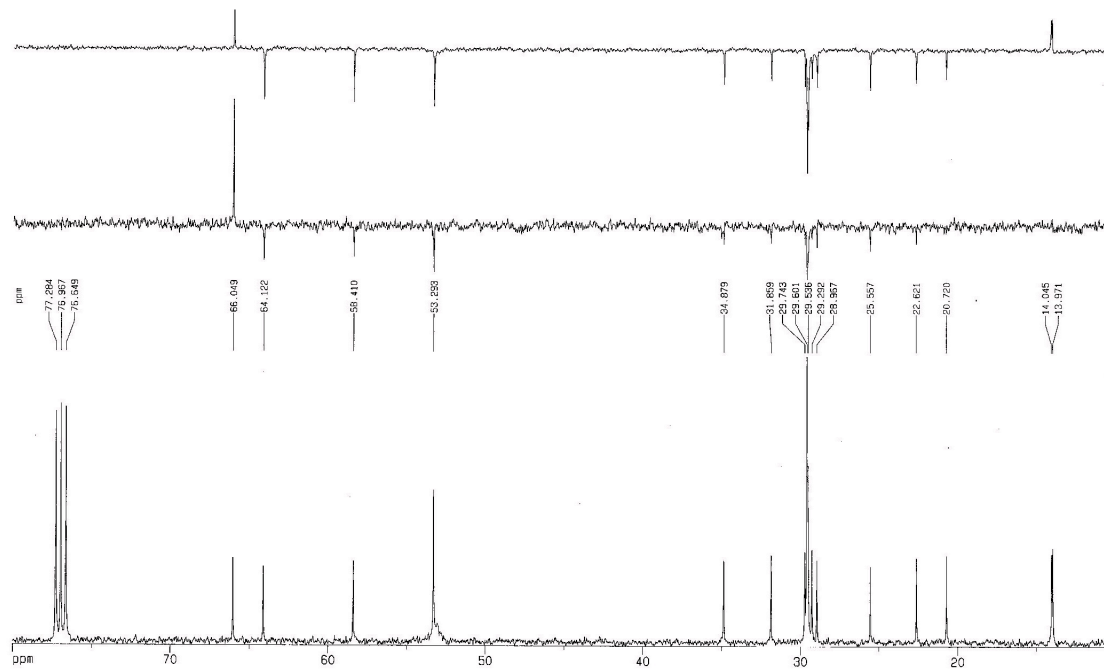
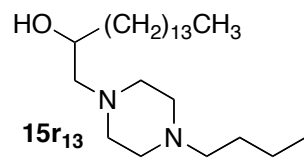
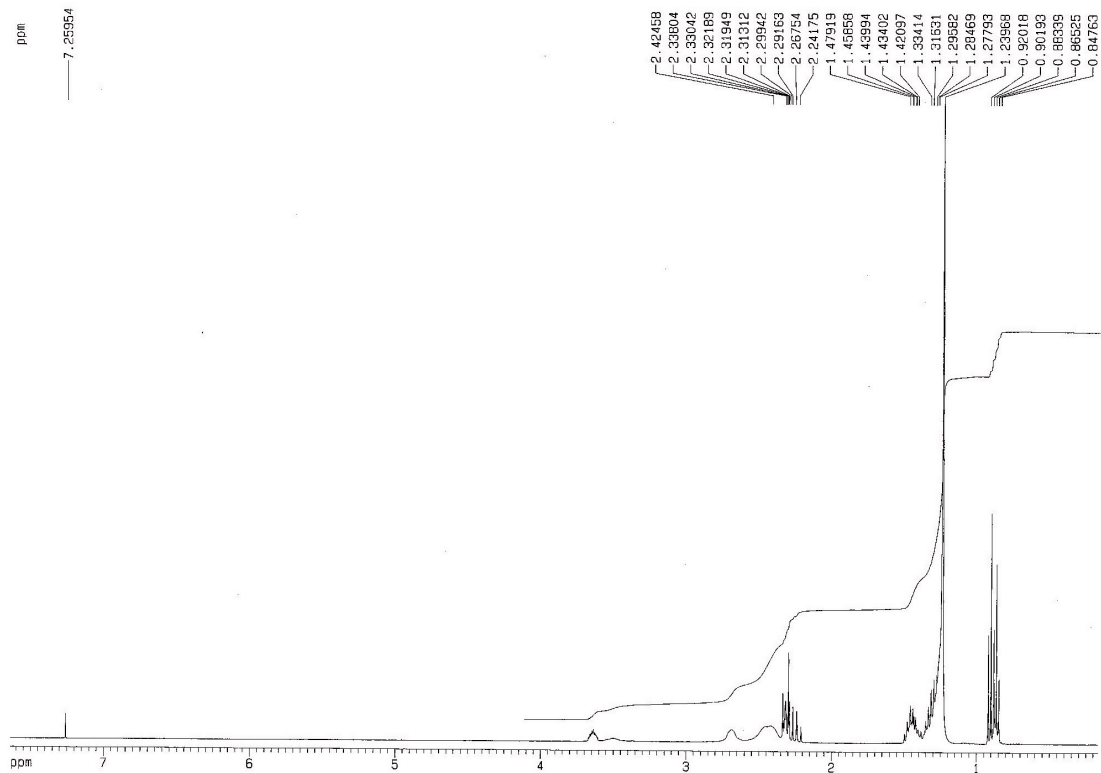


Figura X.153. Espectros de RMN ¹H y ¹³C del compuesto **15r₁₃**.

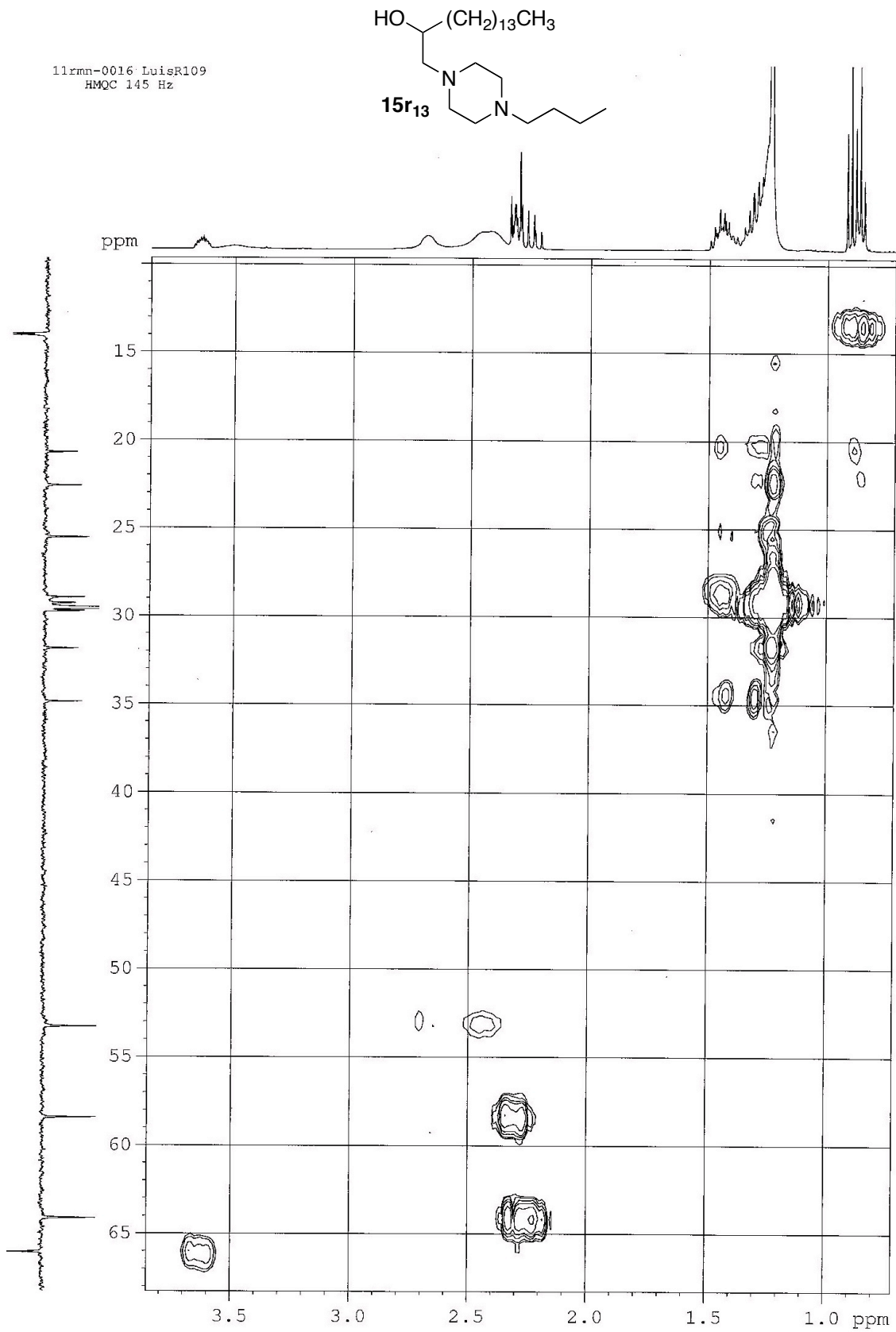
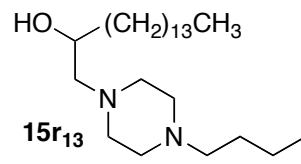


Figura X.154. Espectros de HMOC del compuesto 15r₁₃.



09

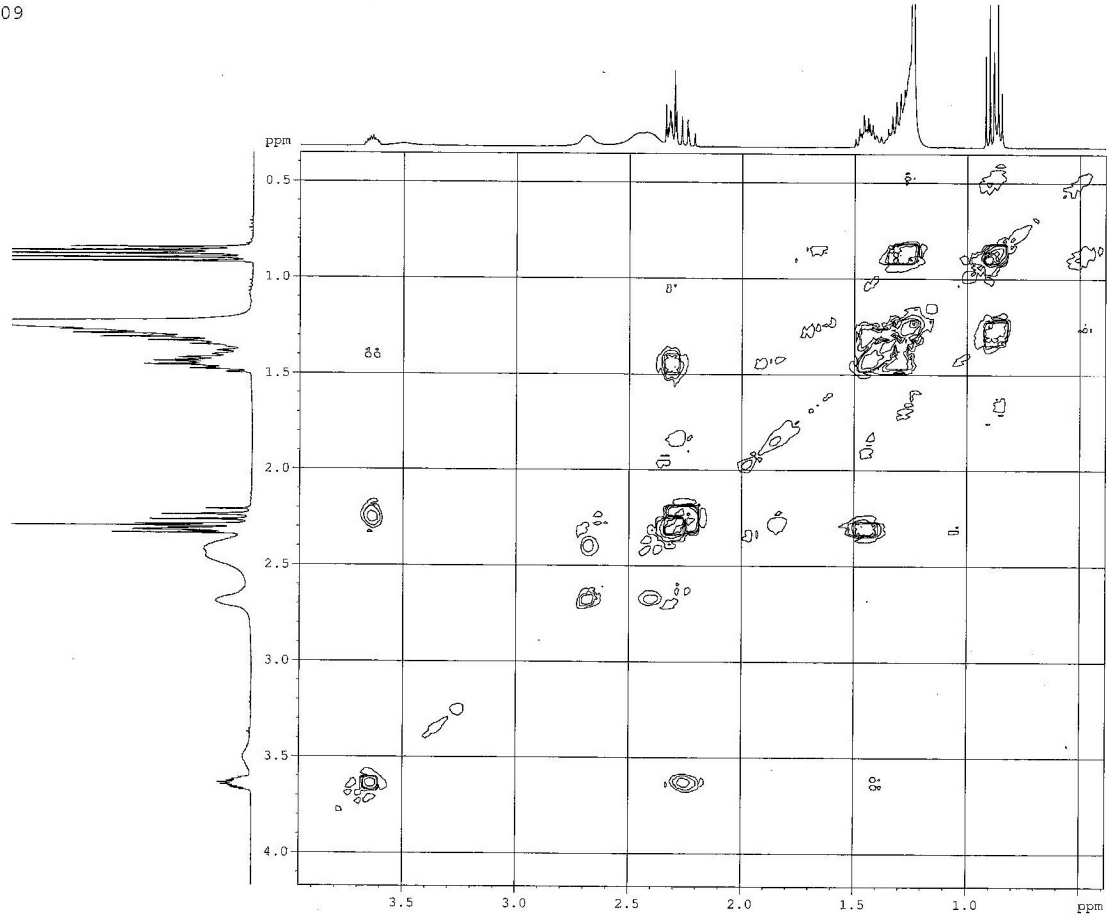


Figura X.155. Espectros de COSY del compuesto 15r_{13} .

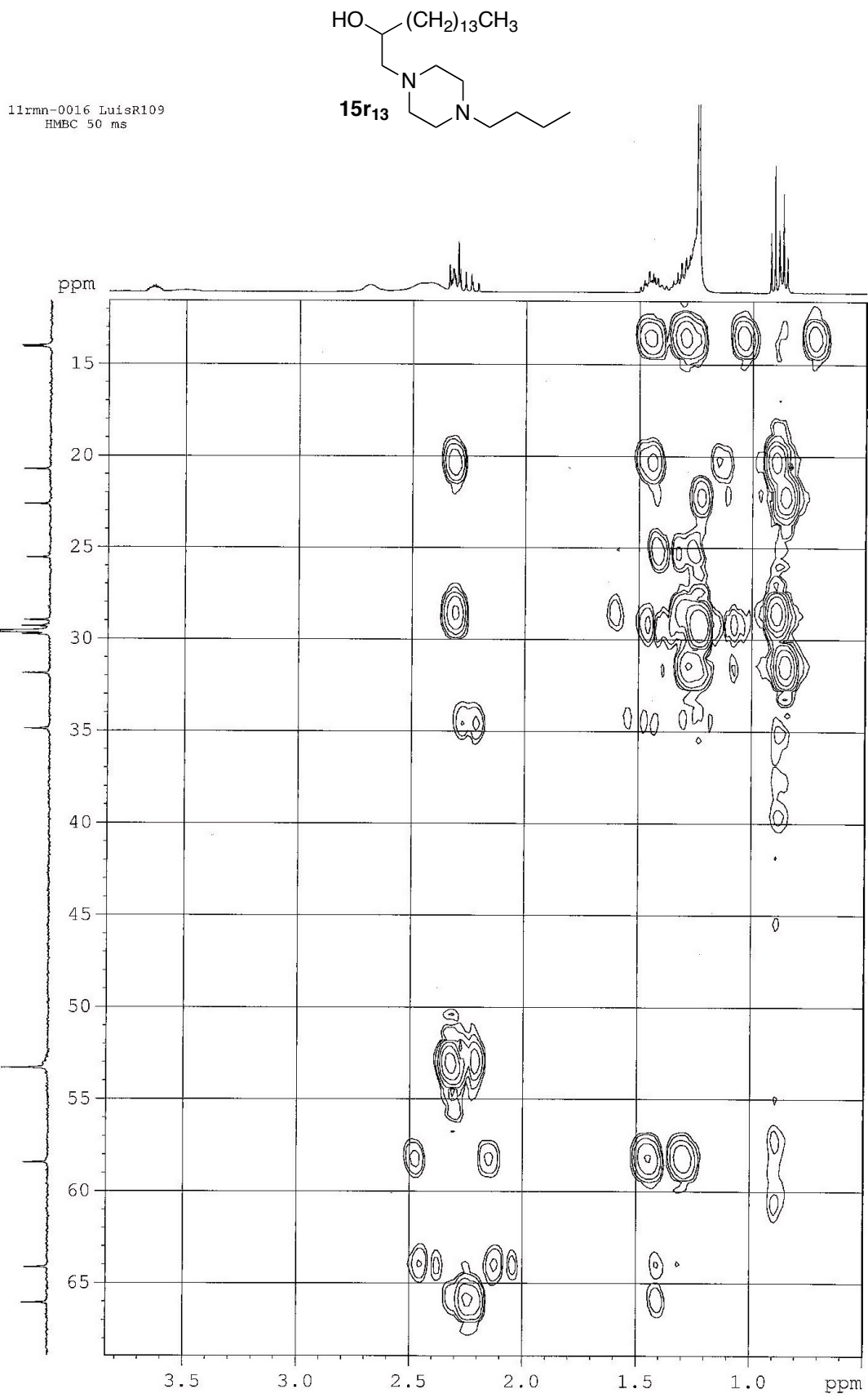


Figura X.156. Espectros de HMBC del compuesto **15r₁₃**

+TOF MS: 0.967 min from Sample 5 (Luis R109) of feb101012.wiff
a=3.56409109108974640e-004, t0=-1.02617812043936260e+001 R_i; subtracted (0.033 to 0...

Max. 799.0 counts.

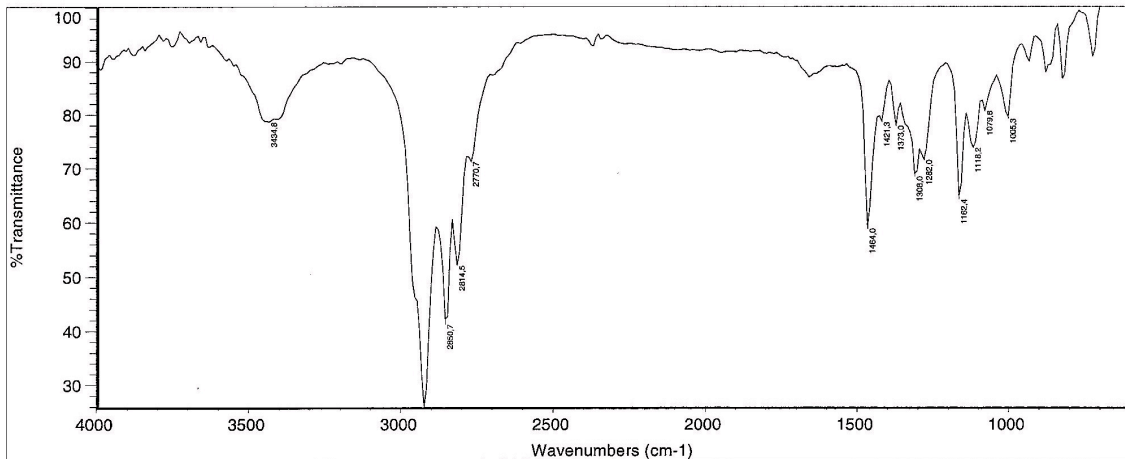
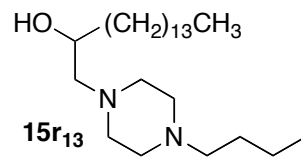
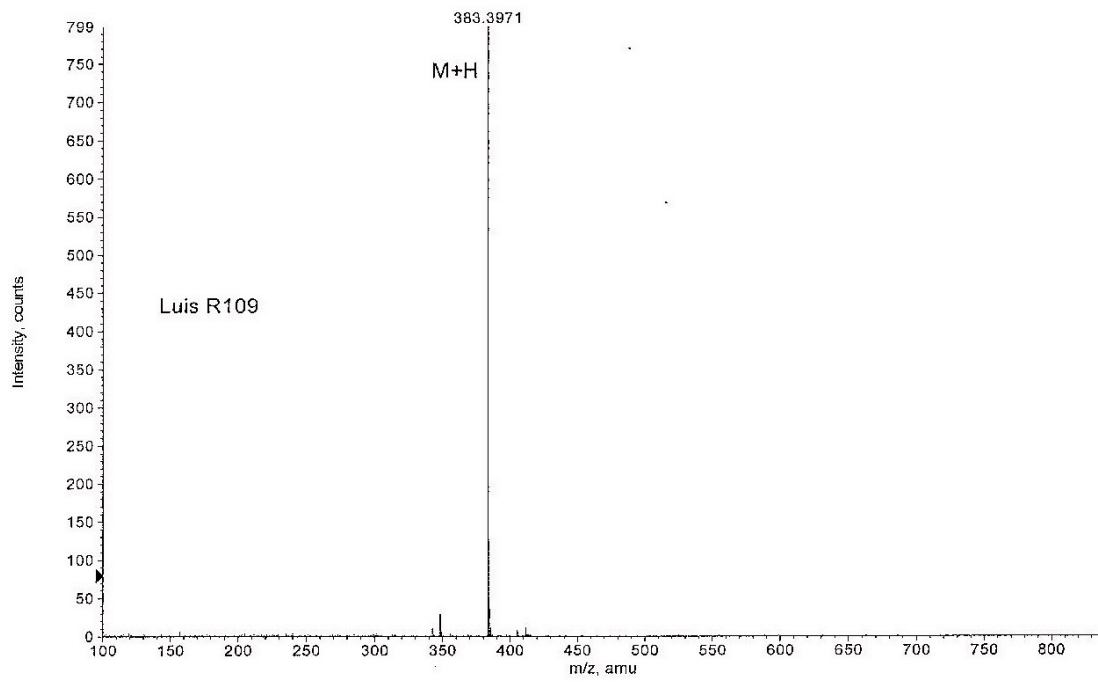


Figura X.157. Espectros de IR y MS del compuesto **15r₁₃**.

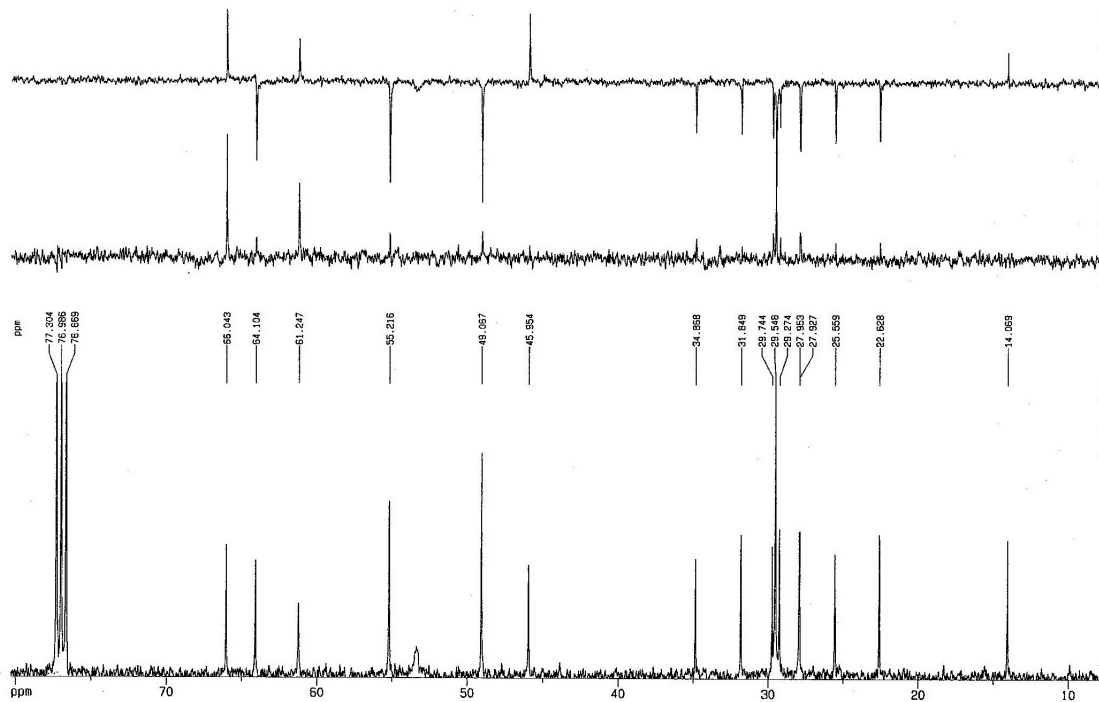
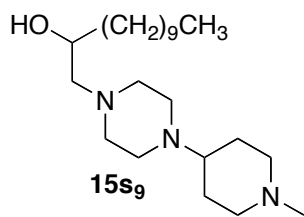
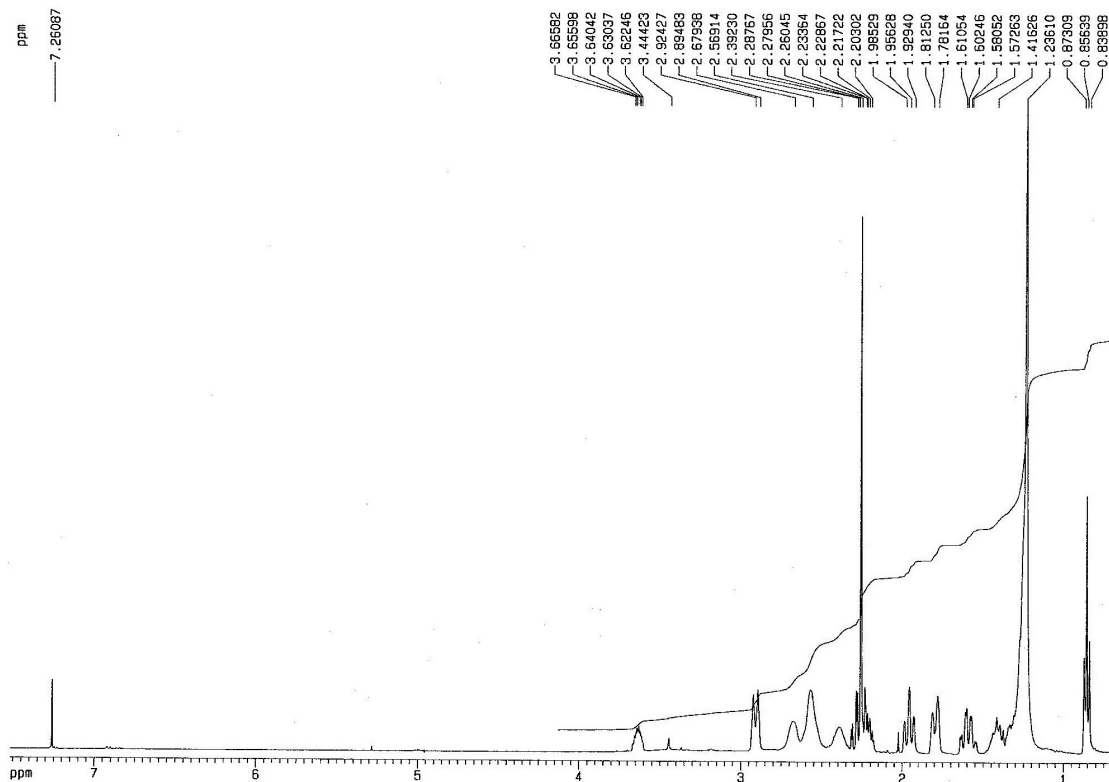


Figura X.158. Espectros de RMN ¹H y ¹³C del compuesto 15s₉.

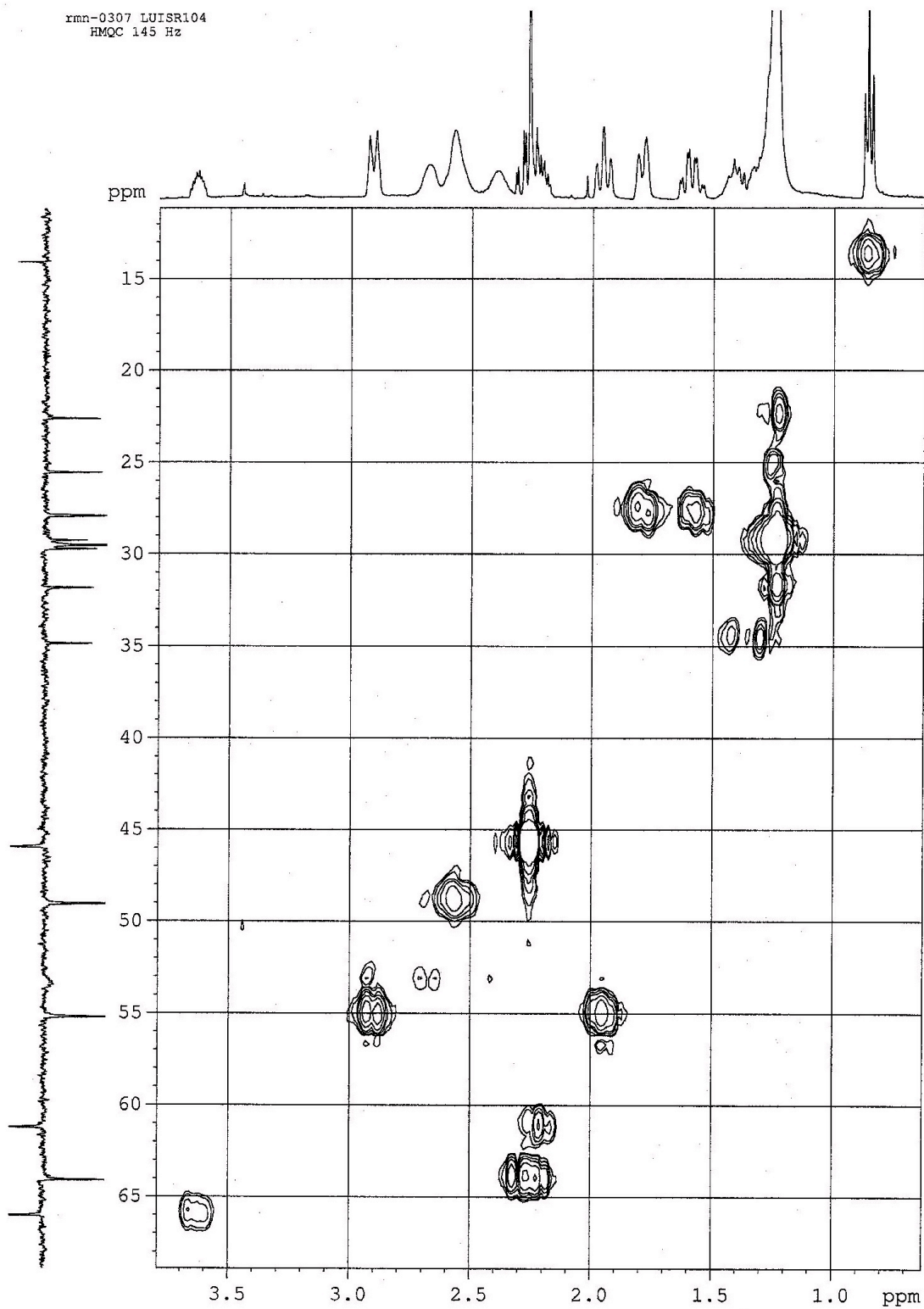
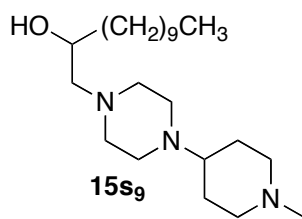
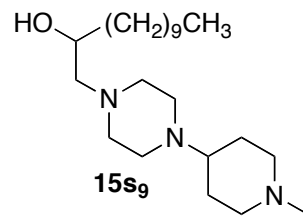


Figura X.159. Espectros de HMQC del compuesto **15s₉**.



104

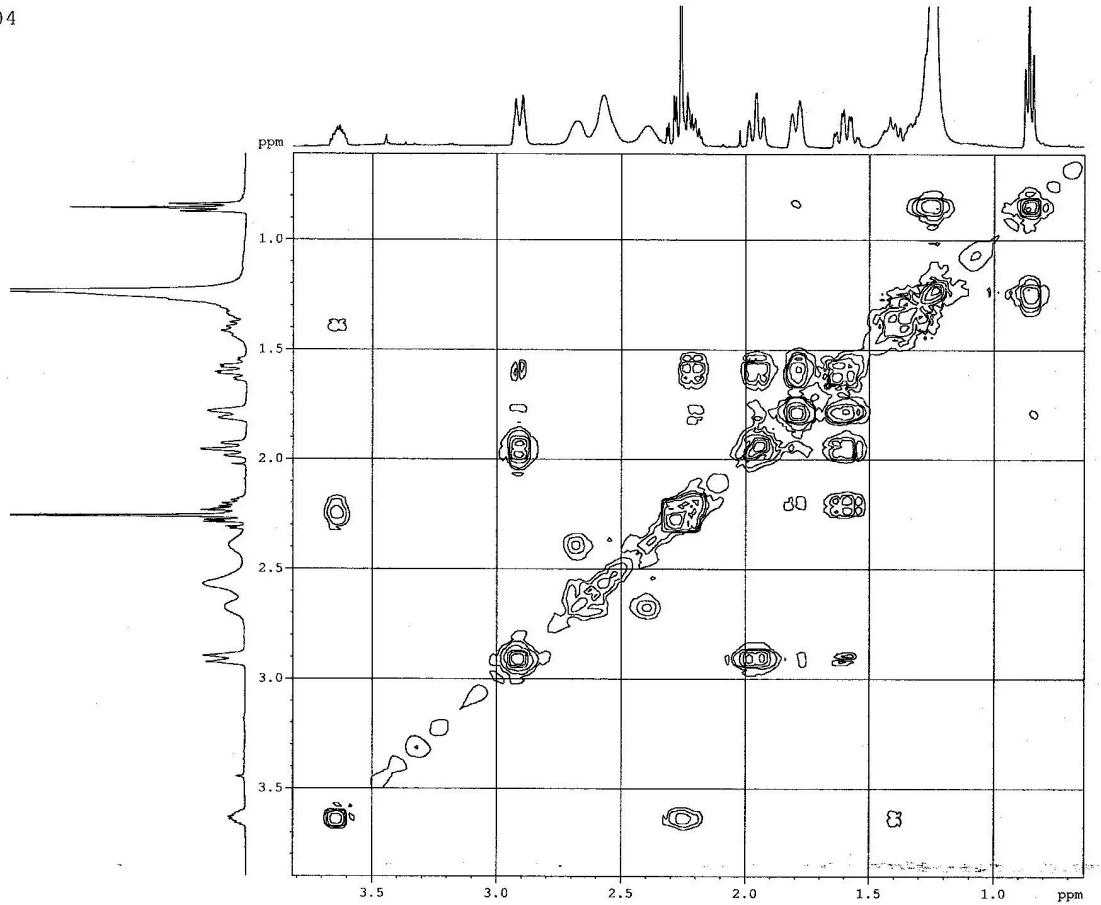
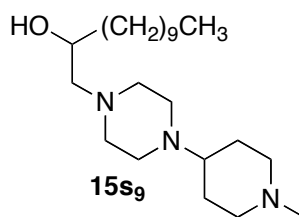


Figura X.160. Espectros de COSY del compuesto 15s₉.



zmn-0307 LUISR104
HMBC 50 ms

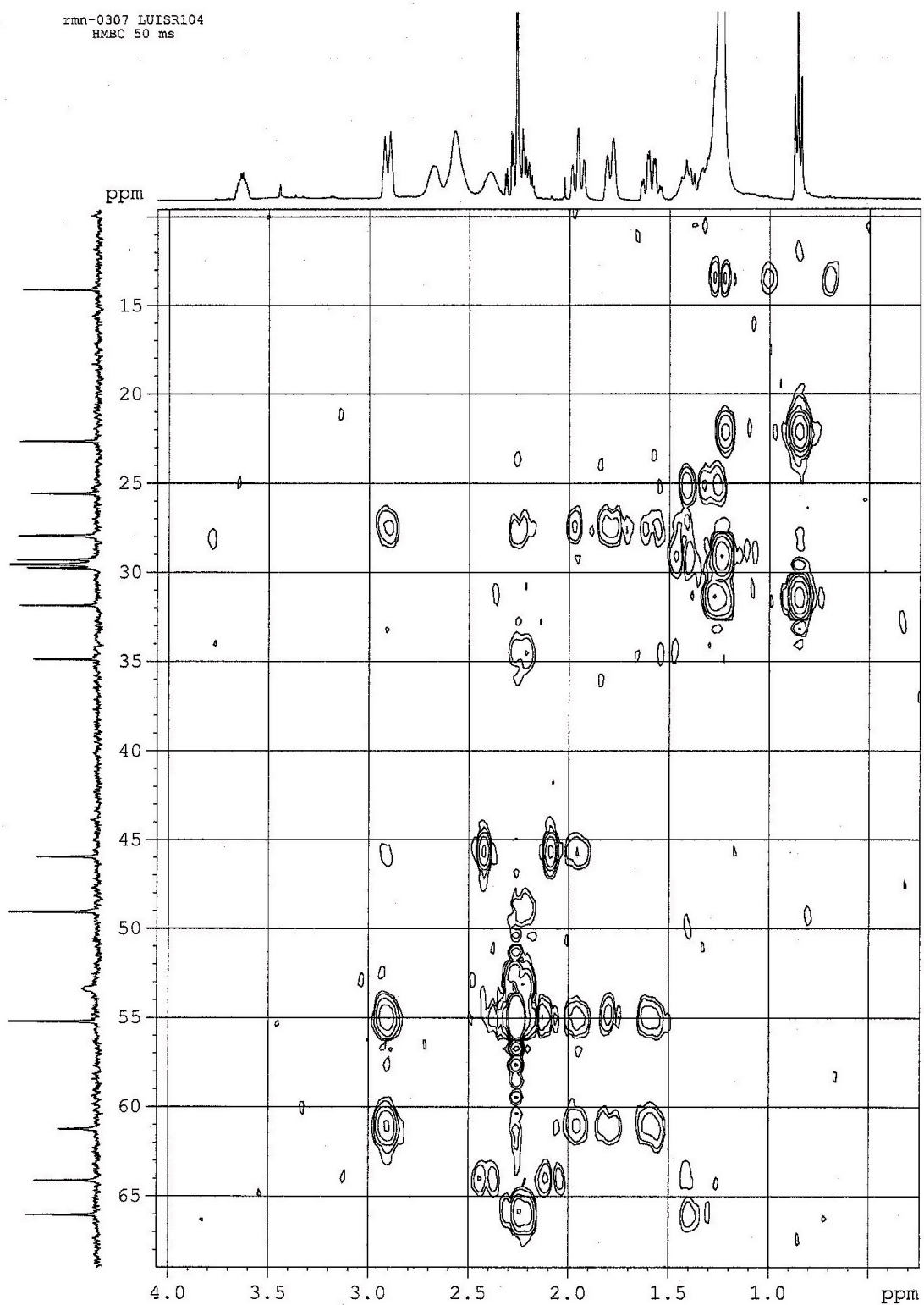


Figura X.161. Espectros de HMBC del compuesto 15s₉.

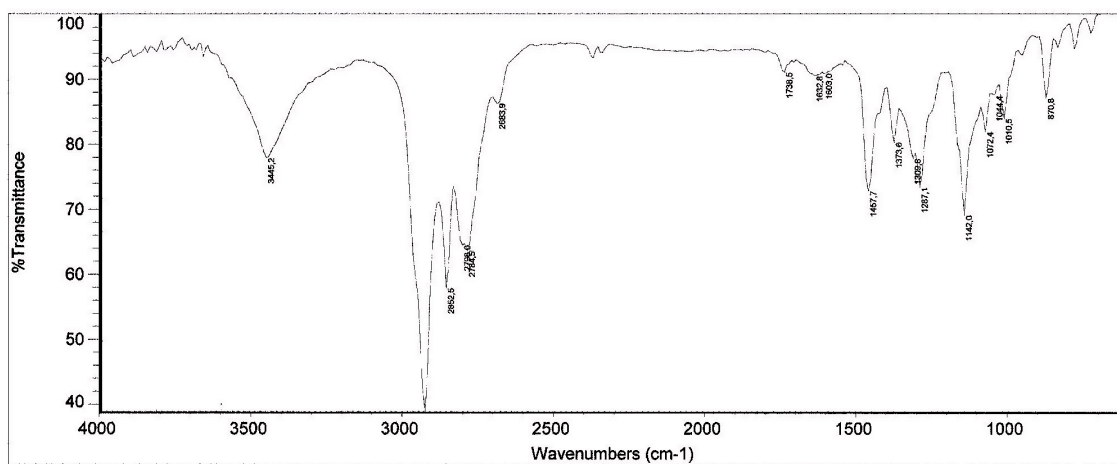
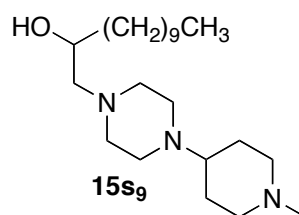
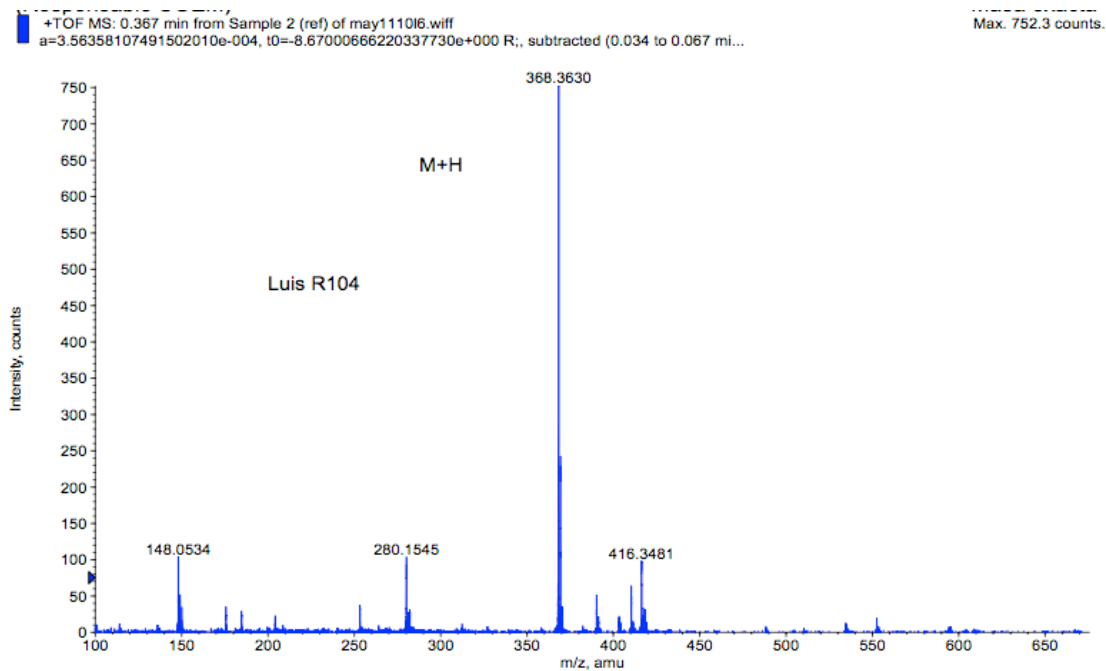


Figura X.162. Espectros de IR y MS del compuesto **15s₉**.

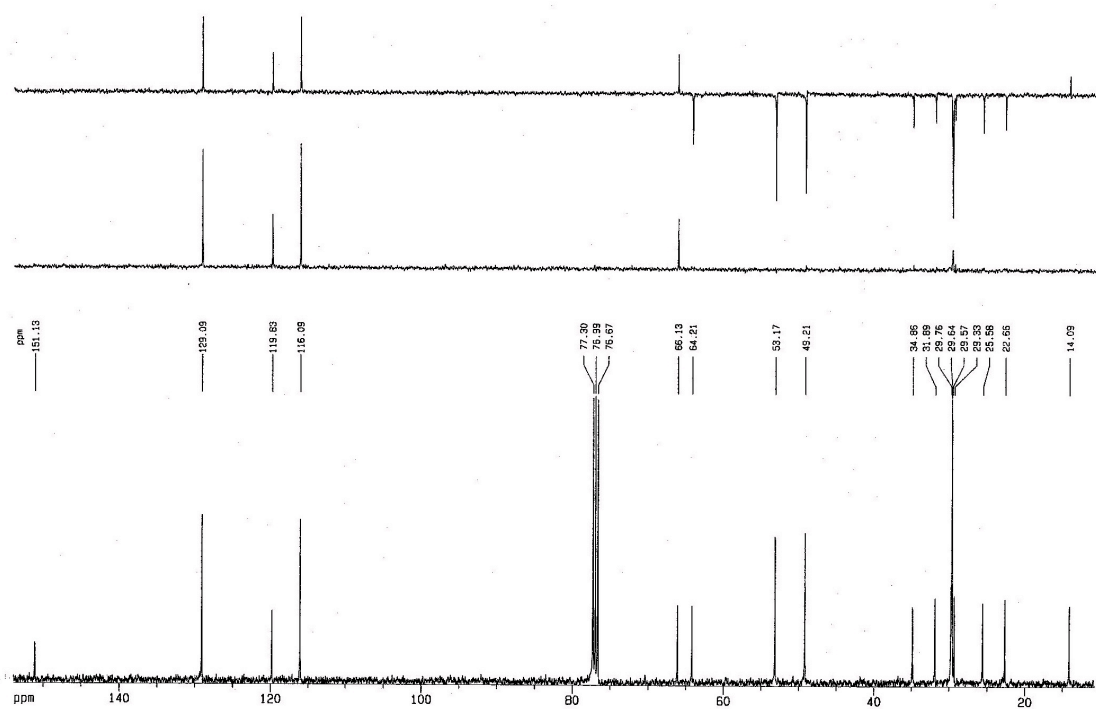
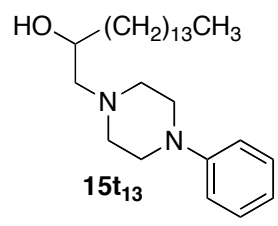
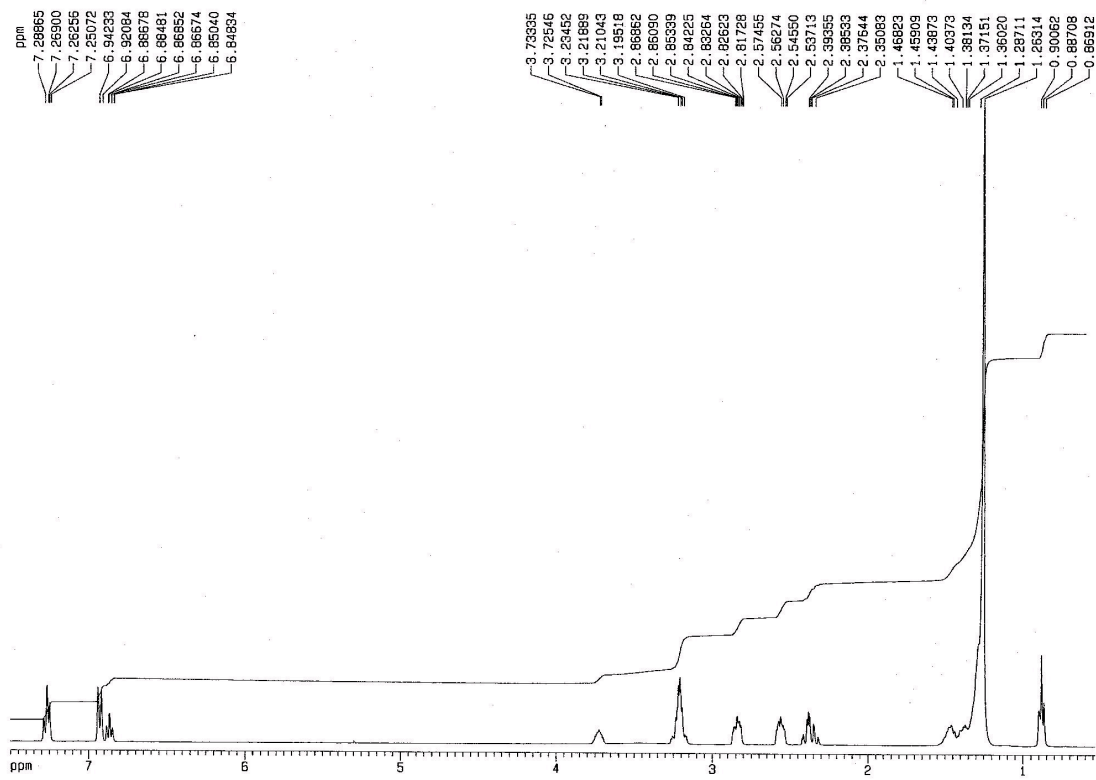
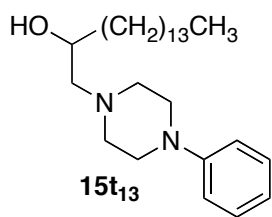


Figura X.163. Espectros de RMN ¹H y ¹³C del compuesto 15t₁₃.



nmr-0306 LUISR103
HMQC 145 Hz

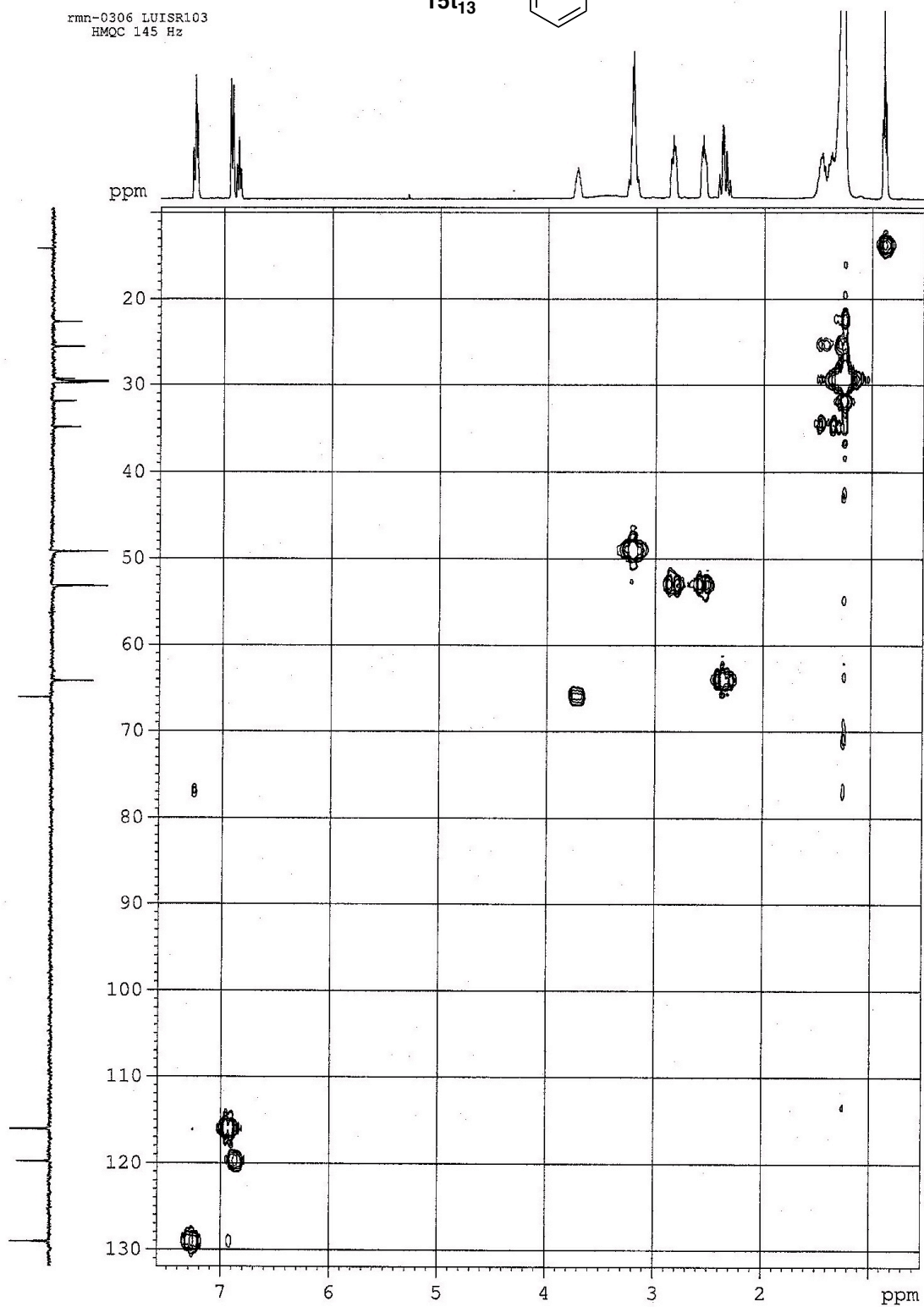
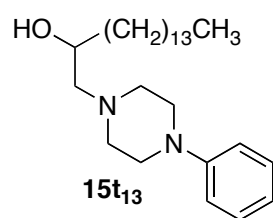


Figura X.164. Espectros de HMQC del compuesto 15t₁₃.



103

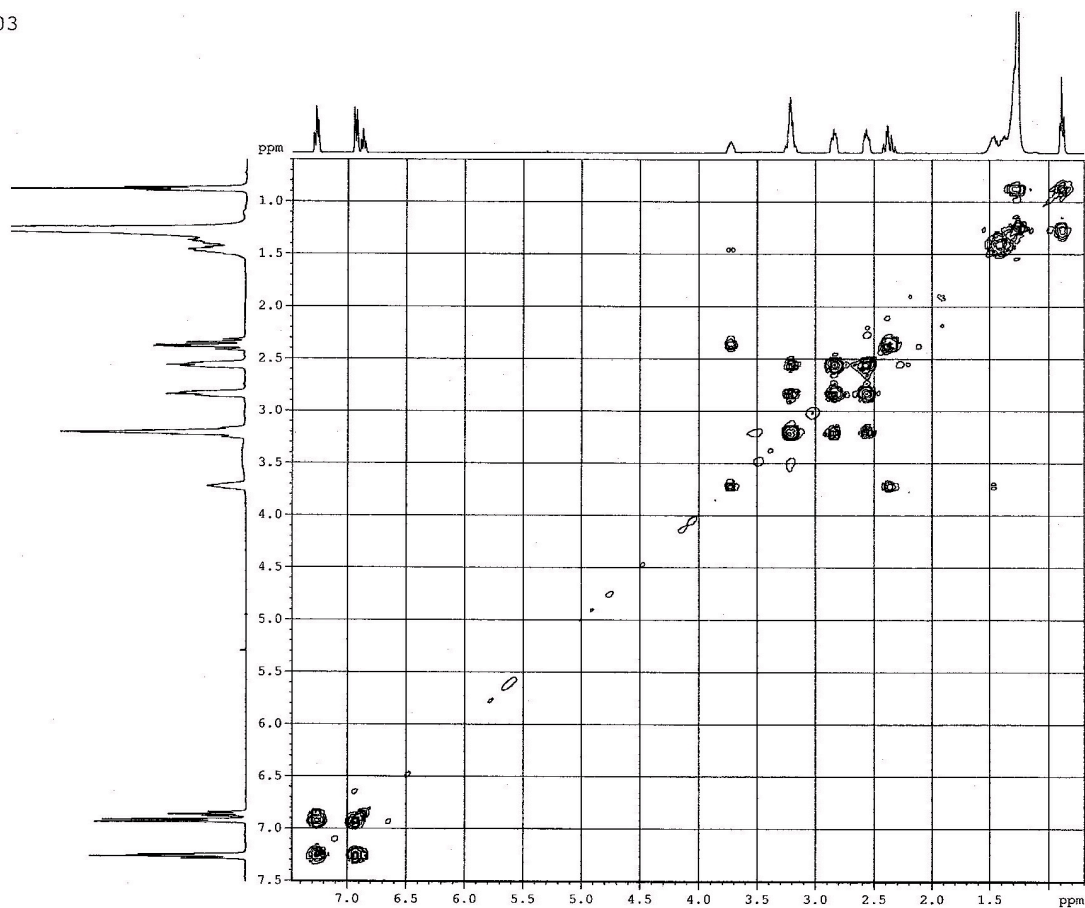
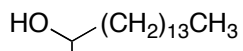


Figura X.165. Espectros de COSY del compuesto **15t₁₃**.



15t₁₃

rmn-0306 LUISR103
HMBC 50 ms

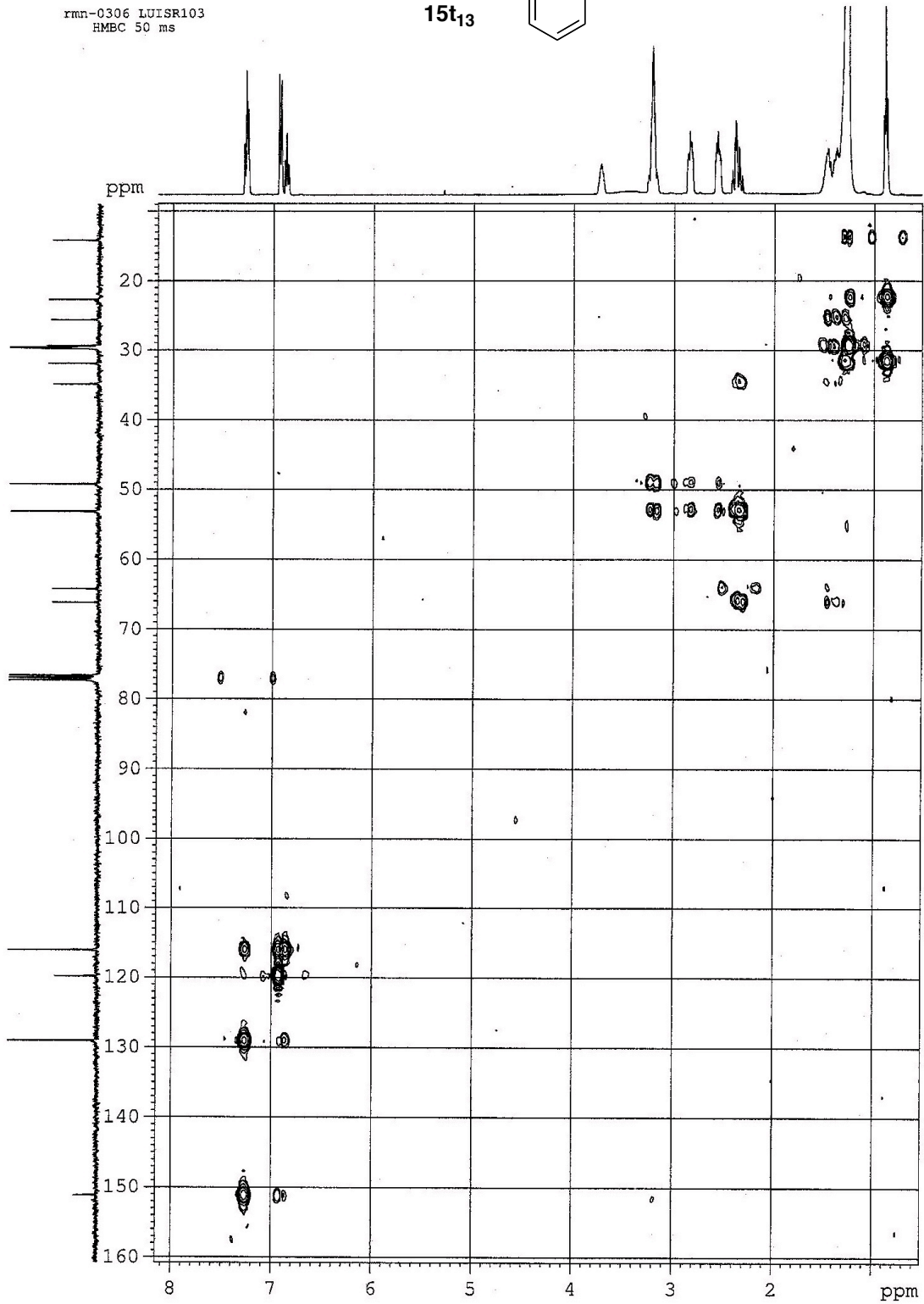


Figura X.166. Espectros de HMBC del compuesto 15t₁₃.

+TOF MS: 0.667 min from Sample 2 (LuisR103) of oct270913.wiff
a=3.56412373584468340e-004, t0=-1.03372370500874240e+001 R; subtracted (0.017 to 0...

Max. 539.0 counts.

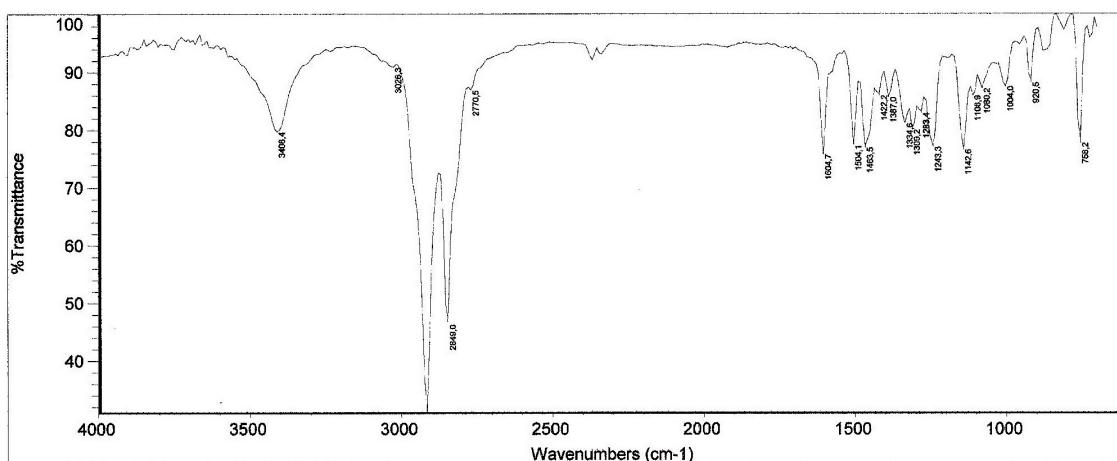
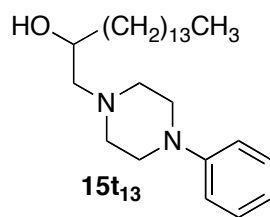
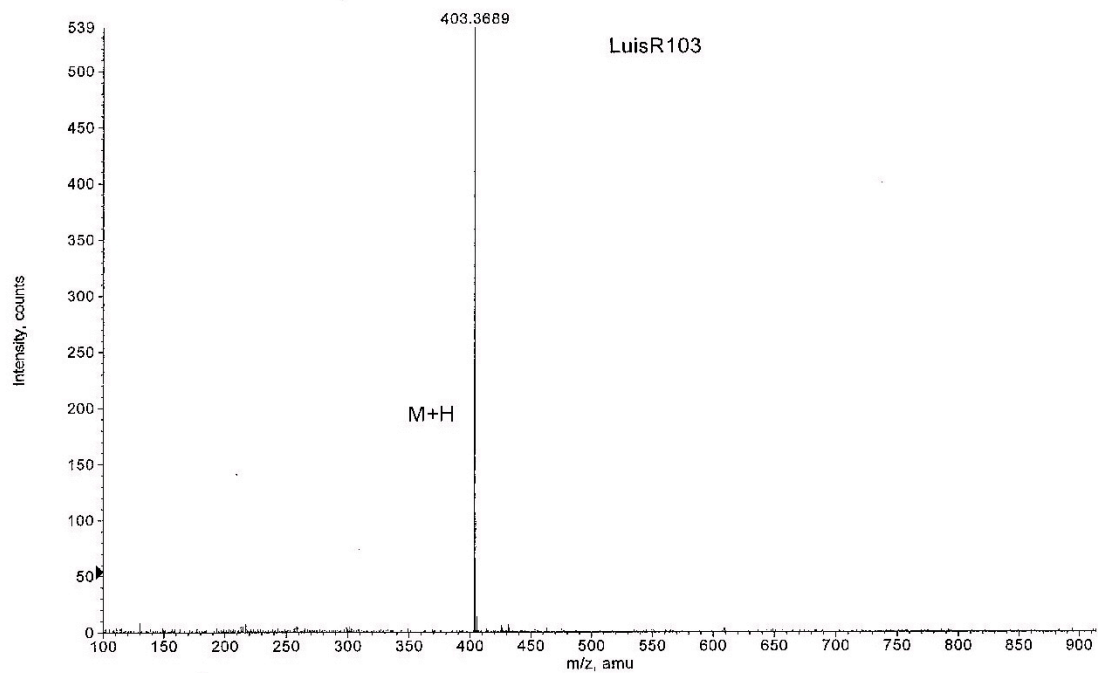


Figura X.167. Espectros de IR y MS del compuesto 15t₁₃.

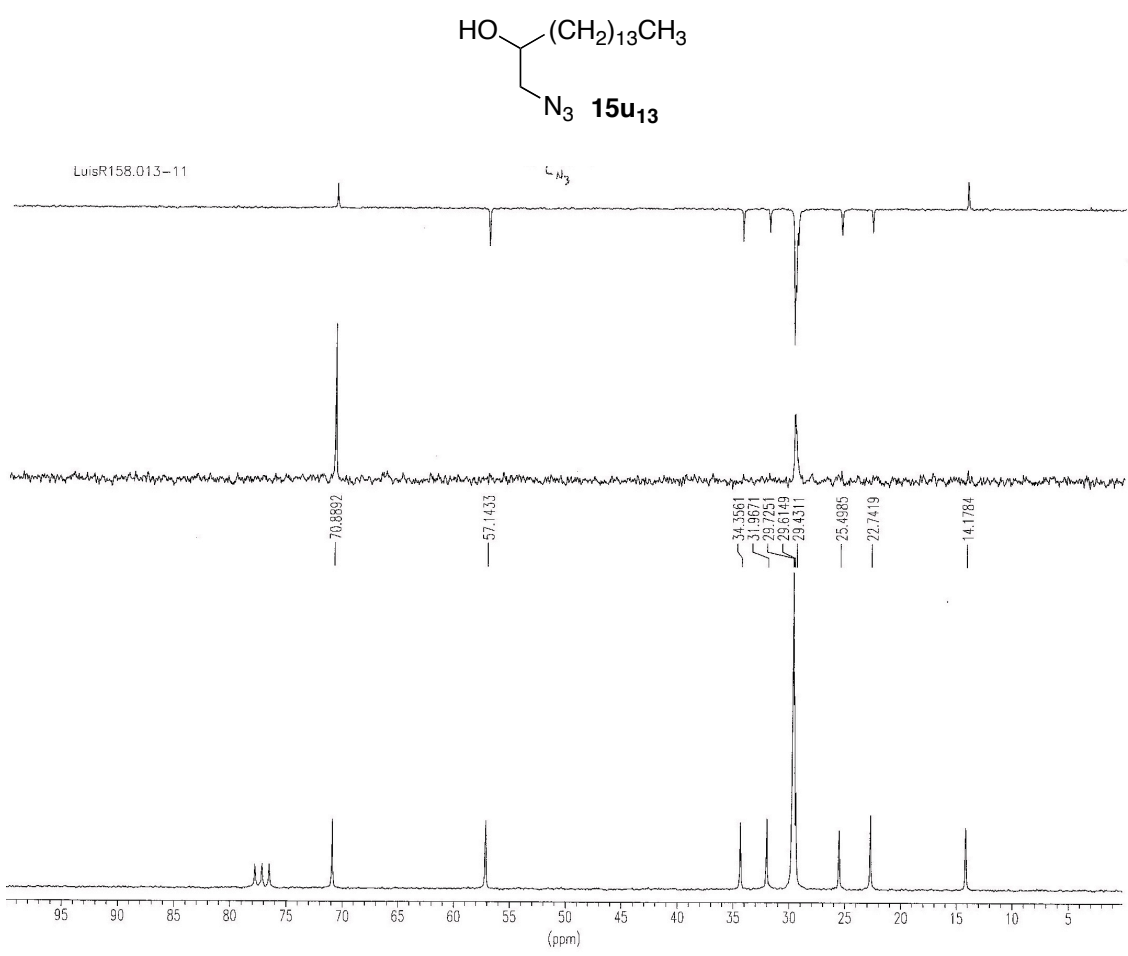
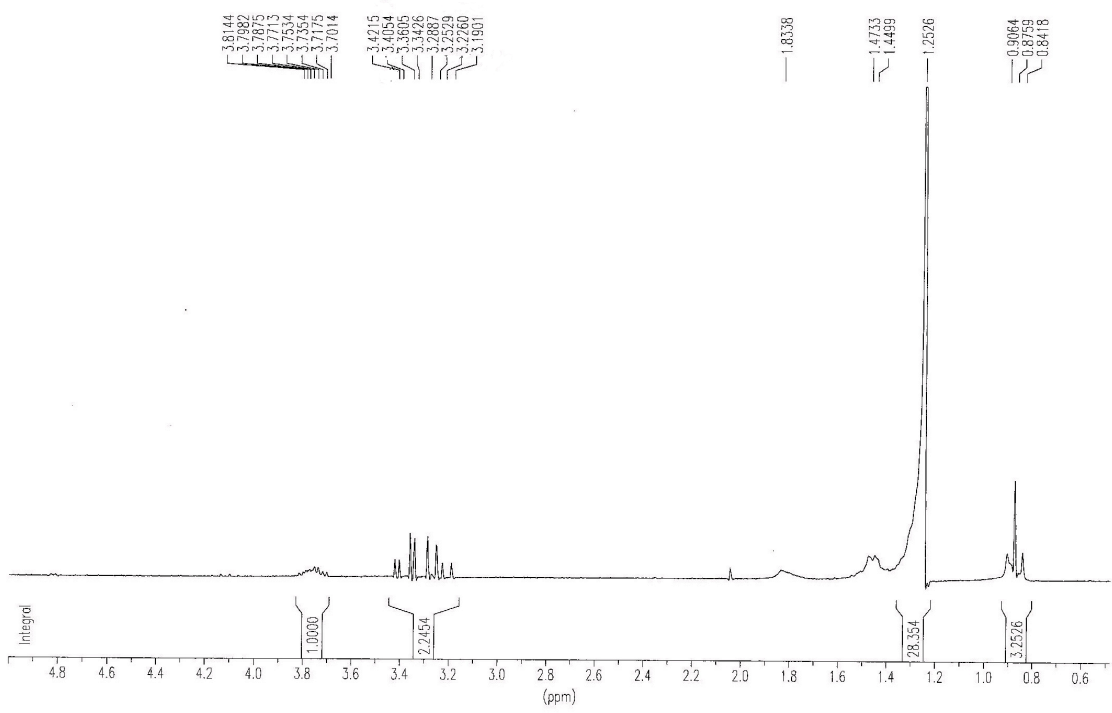


Figura X.168. Espectros de RMN 1H y ^{13}C del compuesto $15u_{13}$.

+TOF MS: 0.217 min from Sample 3 (ref) of may111013.wiff
a=3.56357994938245040e-004, t0=-9.06131921017004060e+000 R., subtracted (0.034 to 0.067 mi... Max. 575.0 counts.

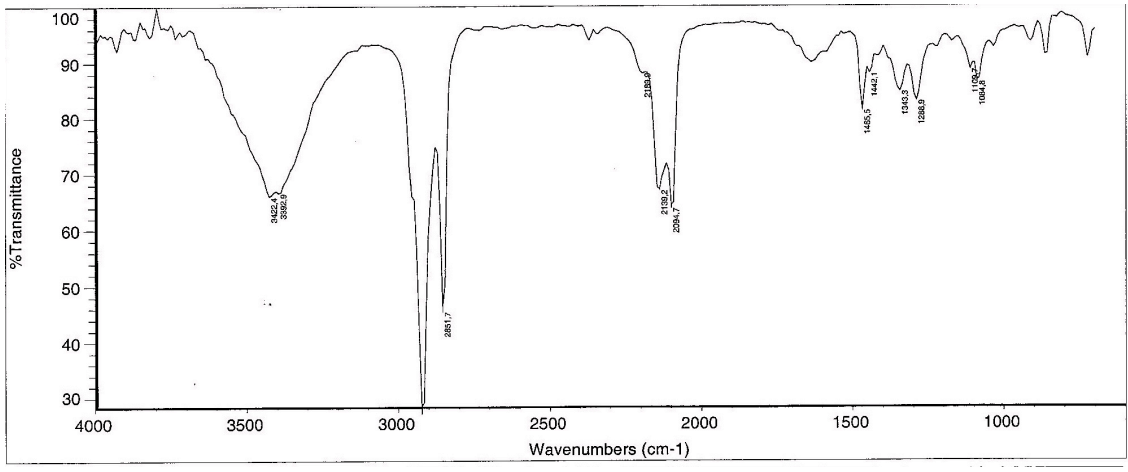
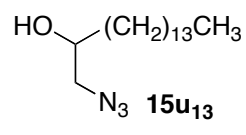
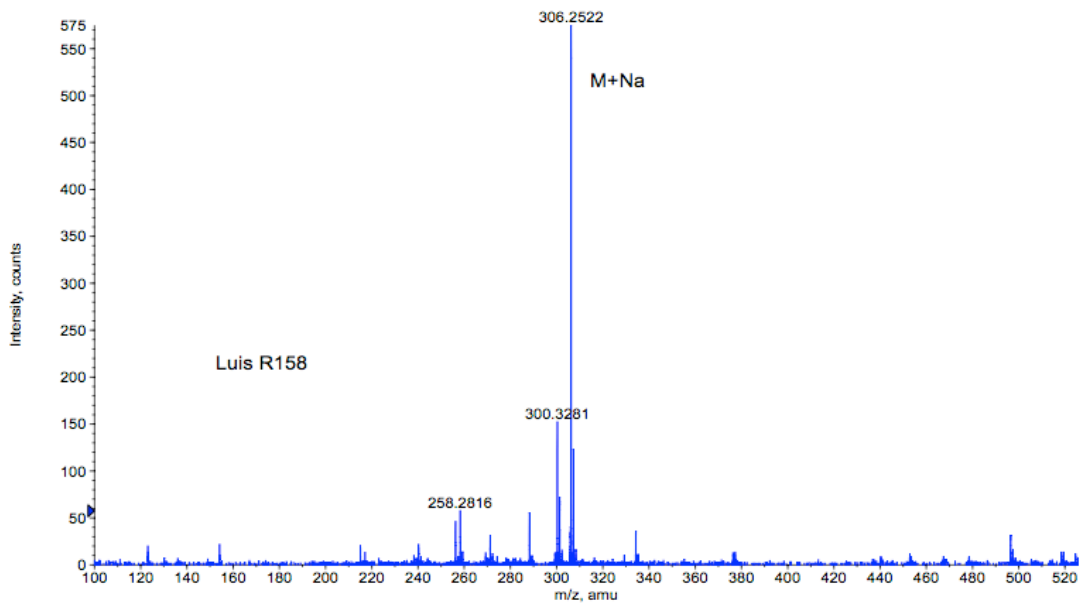


Figura X.169. Espectros de IR y MS del compuesto **15u₁₃**.

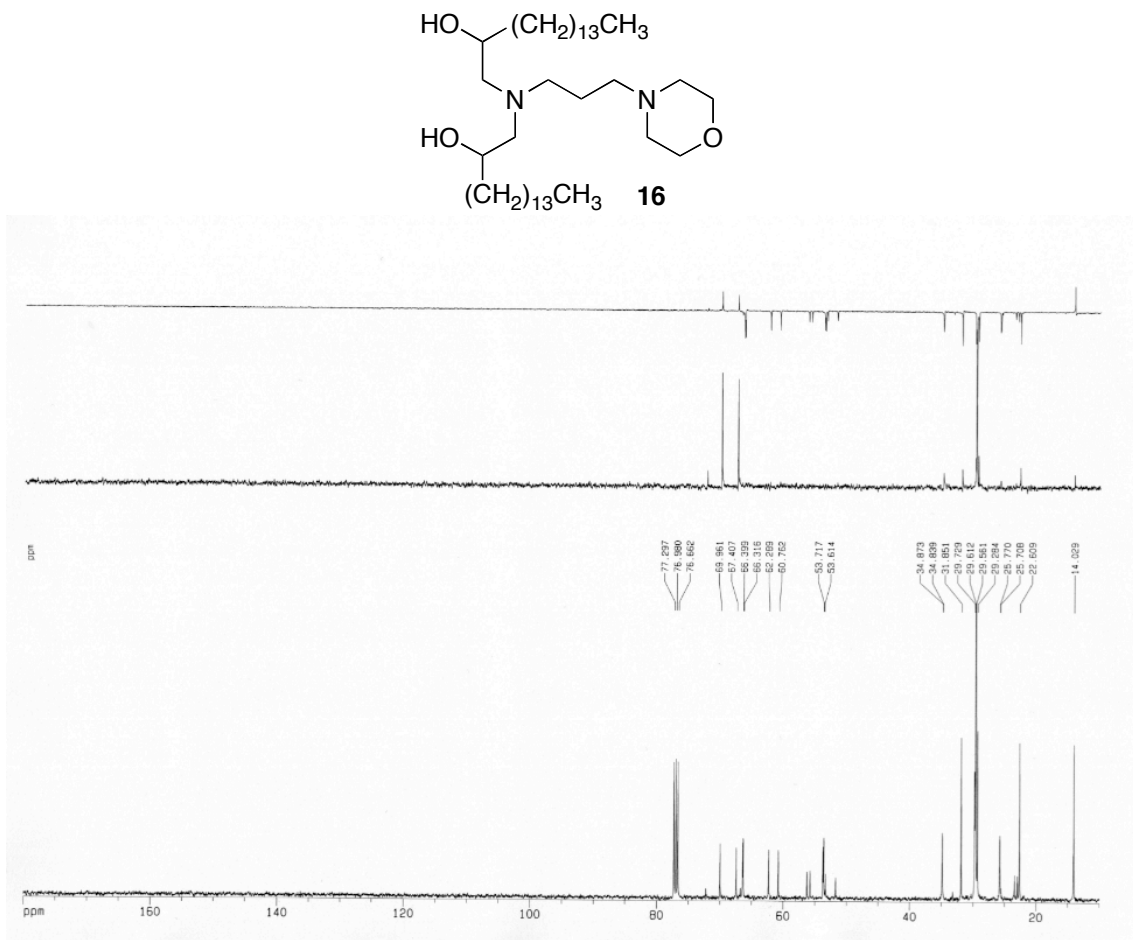
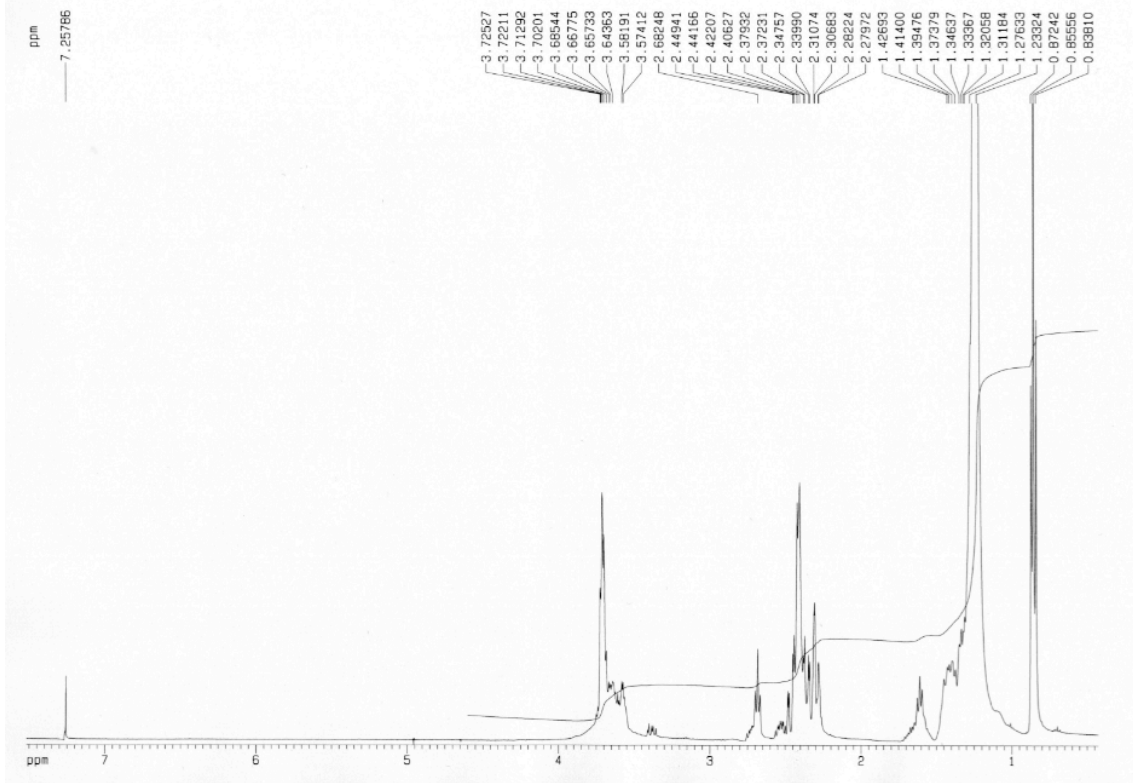


Figura X.170. Espectros de RMN ¹H y ¹³C del compuesto **16**.

+TOF MS: 0.784 min from Sample 4 (Luis R144) of feb171911.wiff
a=3.56409473050216700e-004, t0=-1.03274733040962020e+001 R_i, subtracted (0.034 to 0... Max. 311.0 counts.

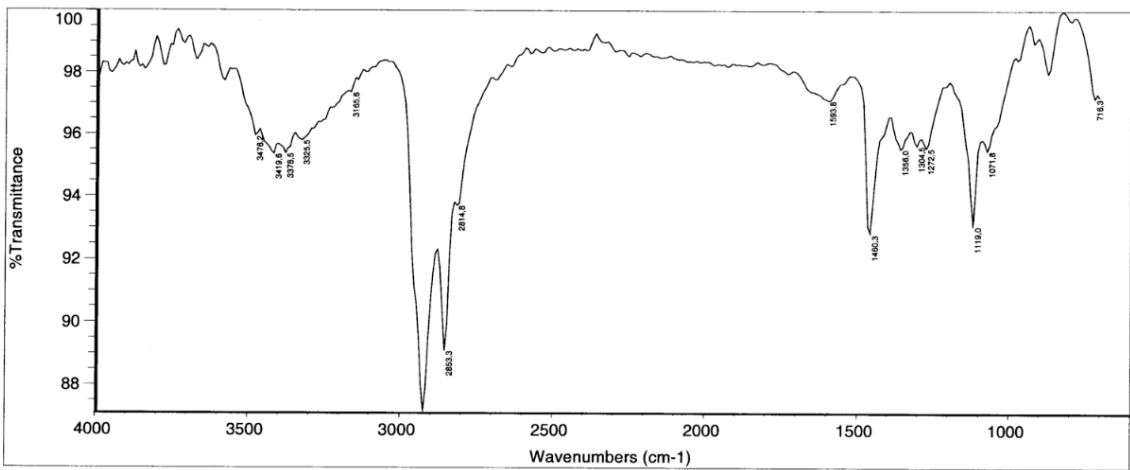
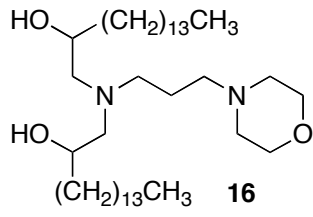
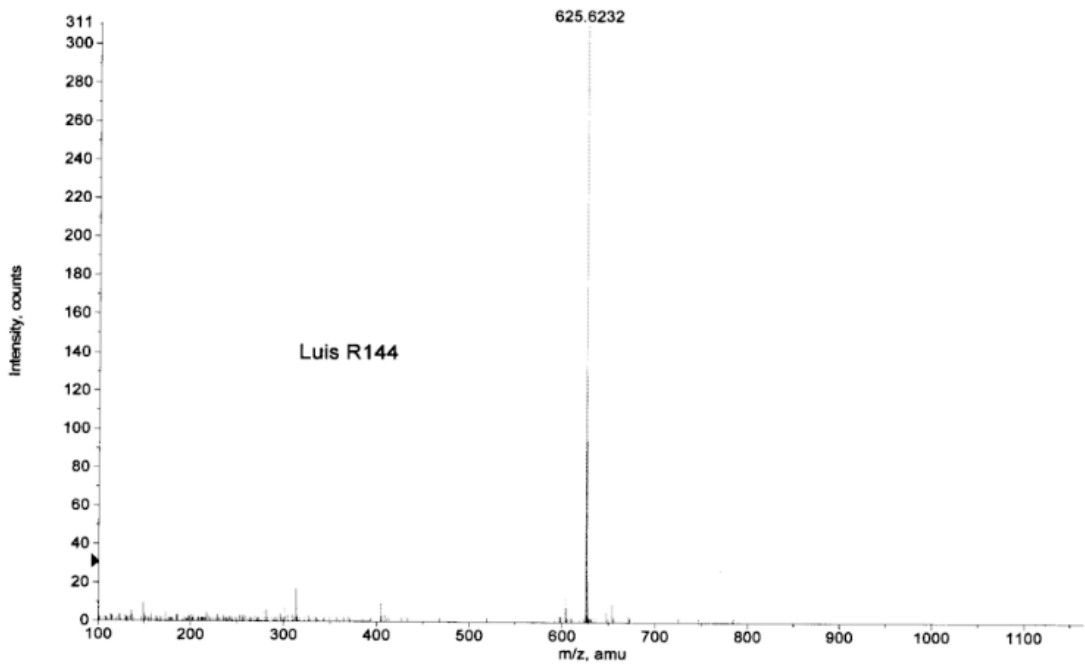


Figura X.171. Espectros de IR y MS del compuesto 16.

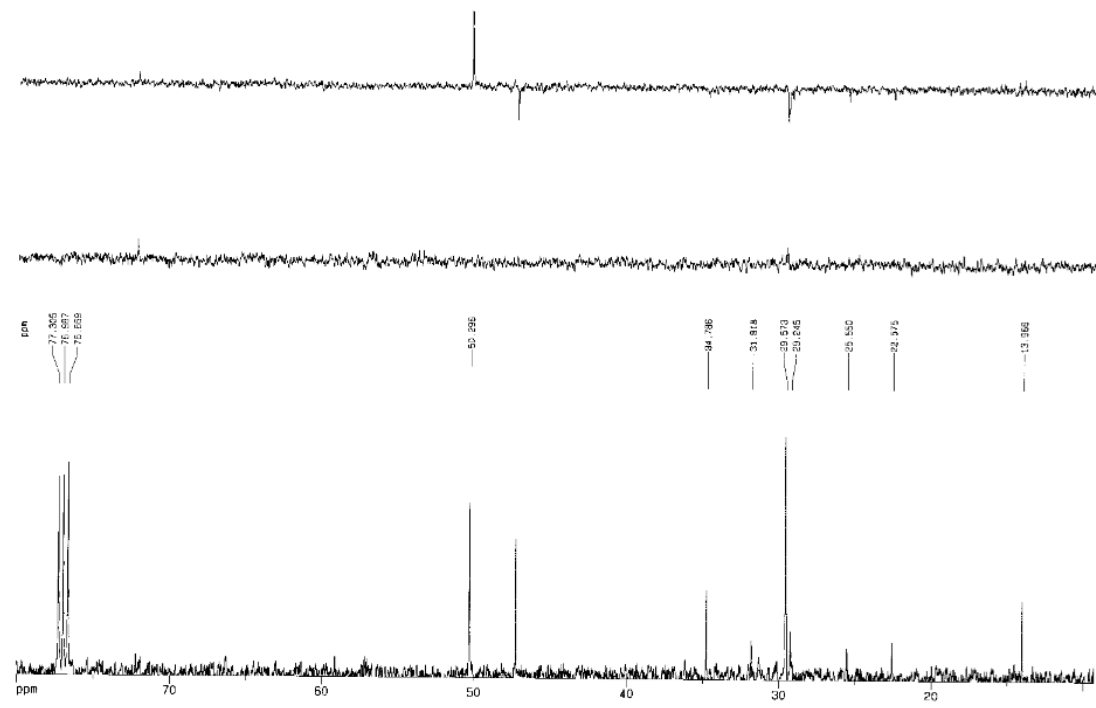
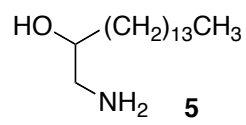
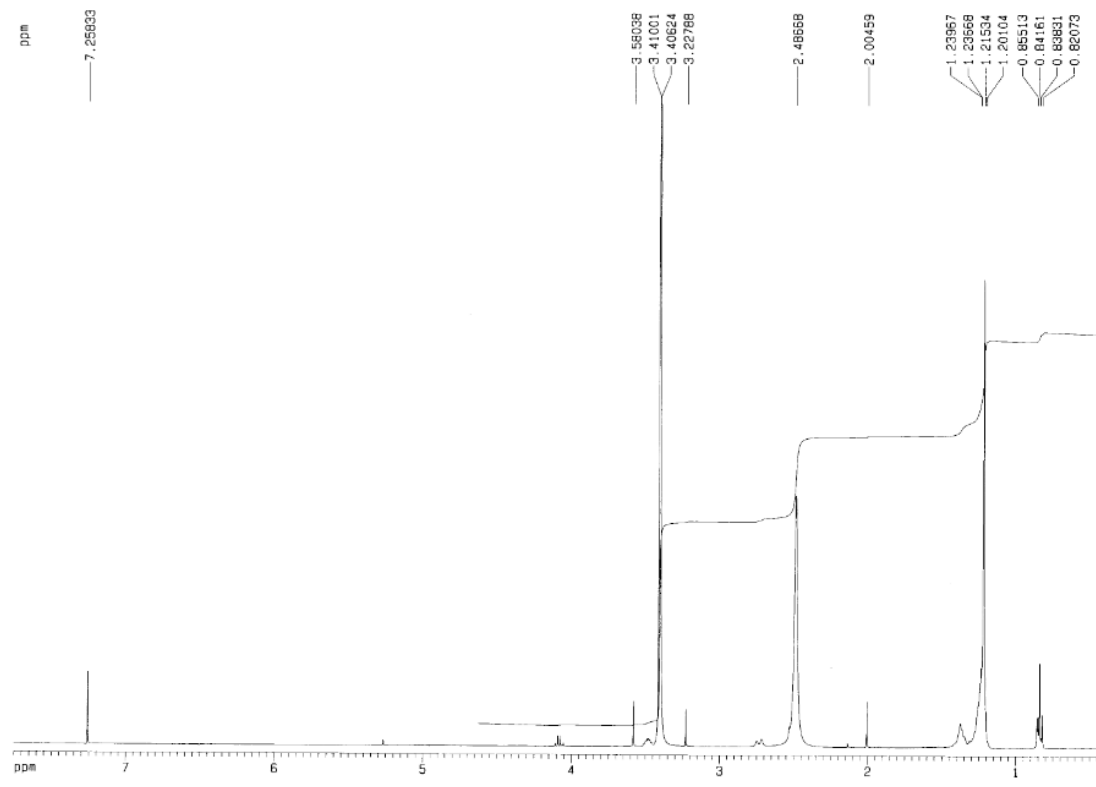


Figura X.172. Espectros de RMN ^1H y ^{13}C del compuesto 5.

+TOF MS: 0.401 min from Sample 4 (ref) of may111012.wiff
a=3.56360570221609580e-004, t0=-8.95292943717140590e+000 R., subtracted (0.034 to 0.084 mi...

Max. 652.0 counts.

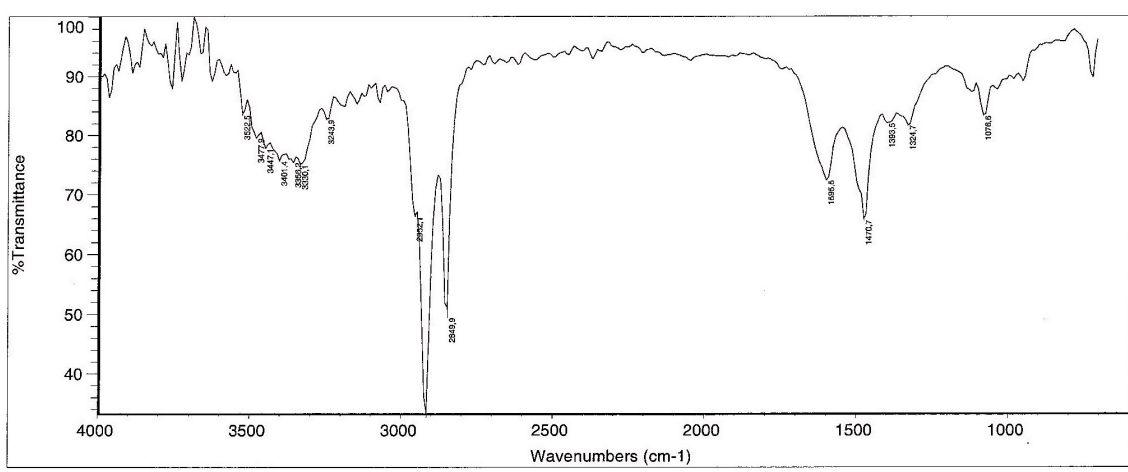
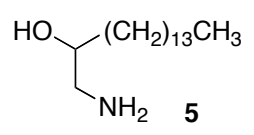
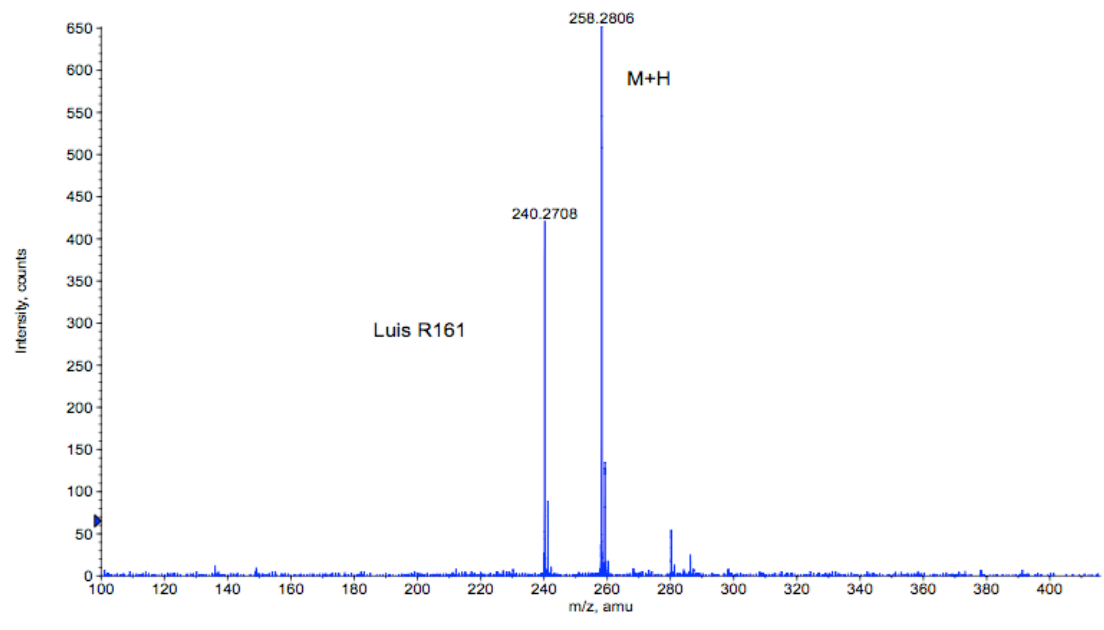


Figura X.173. Espectros de IR y MS del compuesto 5.

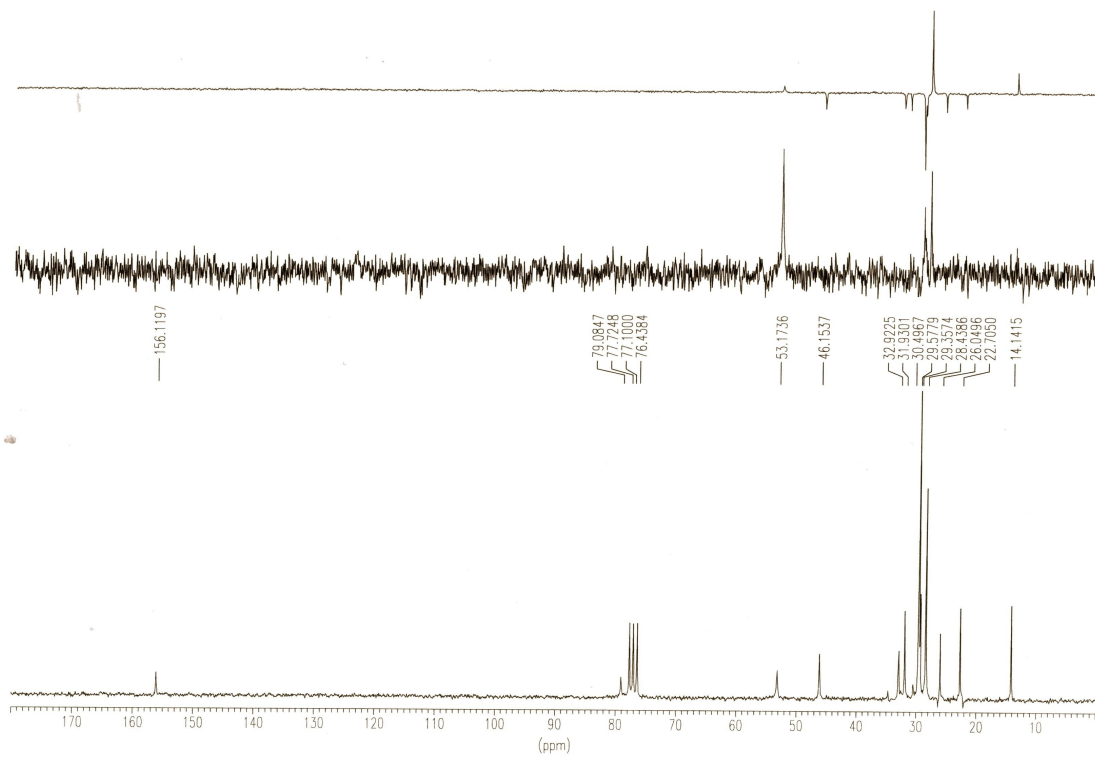
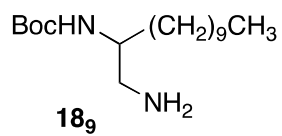
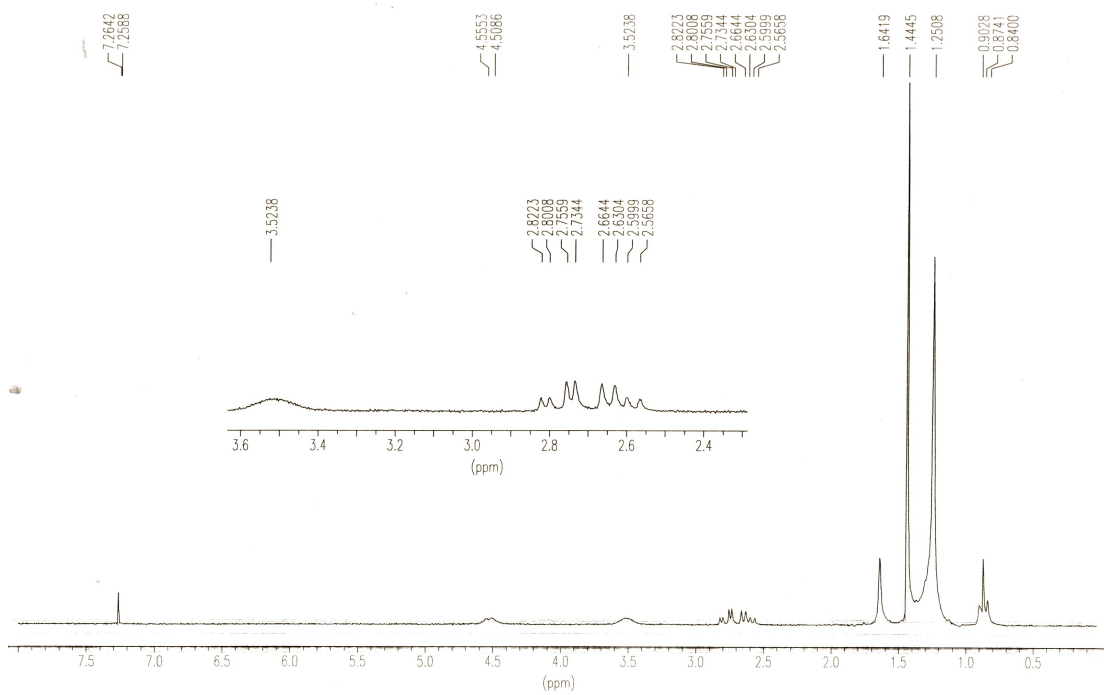


Figura X.174. Espectros de RMN ^1H y ^{13}C del compuesto **189**.

+TOF MS: 0.367 min from Sample 3 (Luis1410) of dic121113.wiff
a=3.56659341974339310e-004, t0=-3.51717422417132180e+001 R_i; subtracted (0.017 to 0...

Max. 915.0 counts.

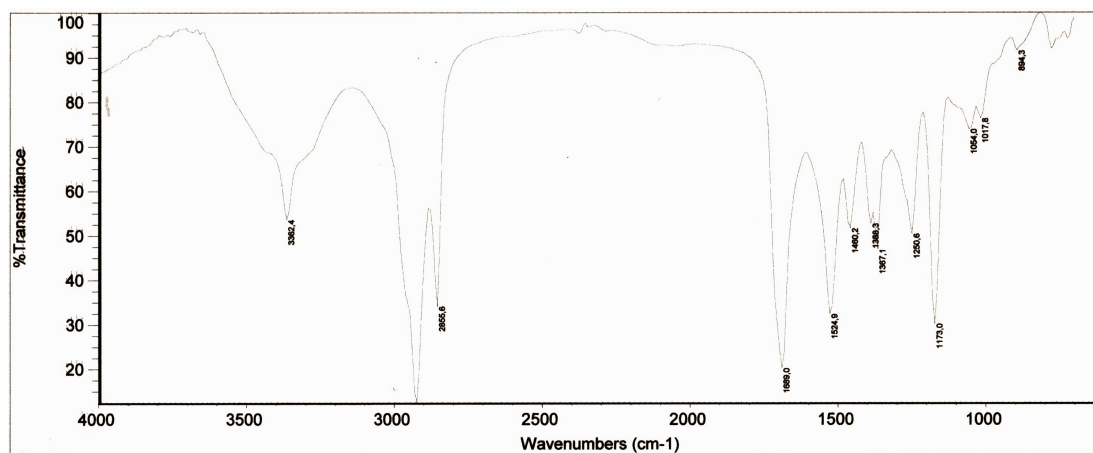
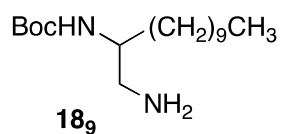
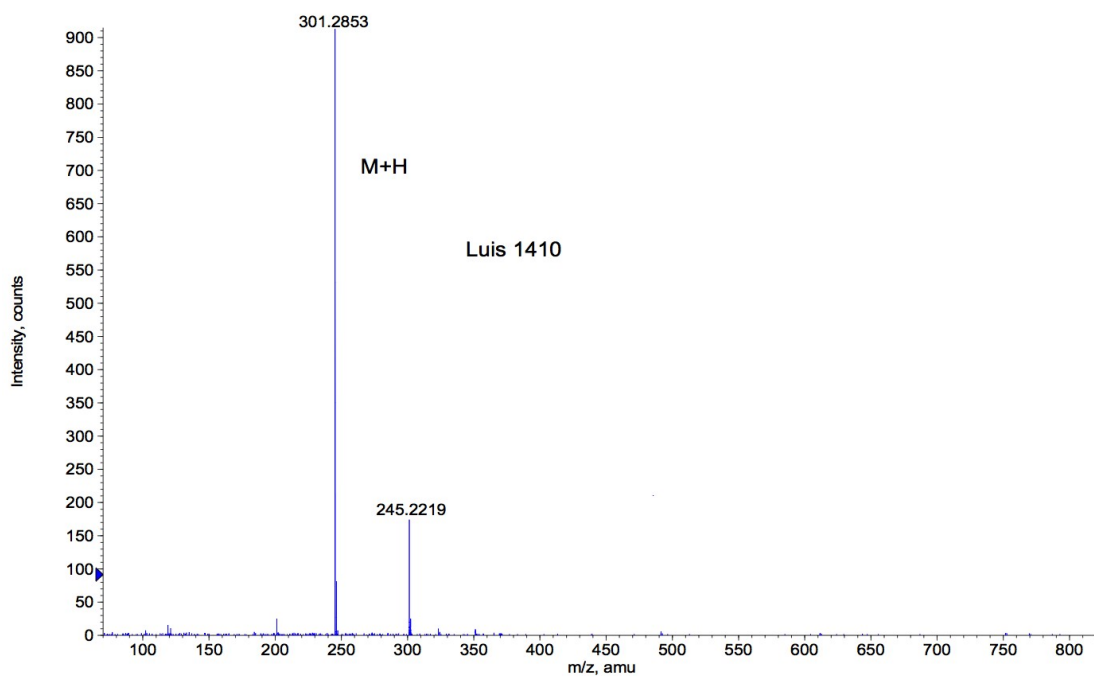


Figura X.175. Espectros de IR y MS del compuesto **189**.

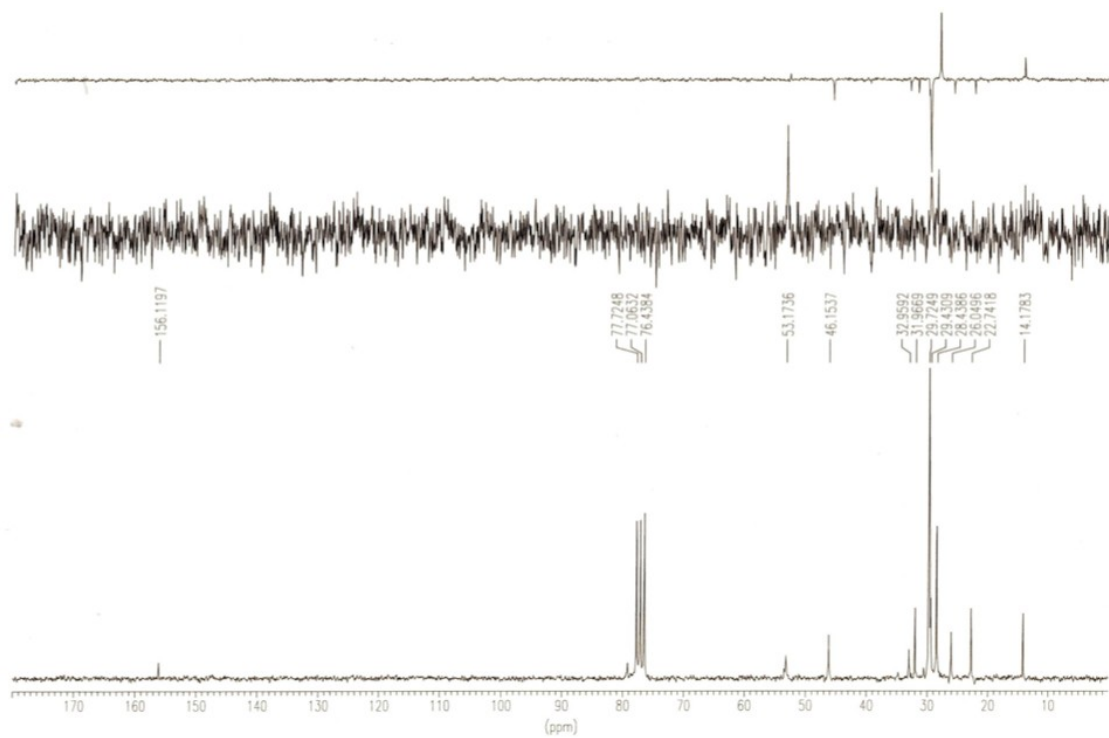
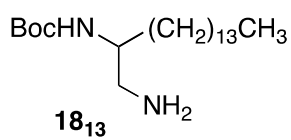
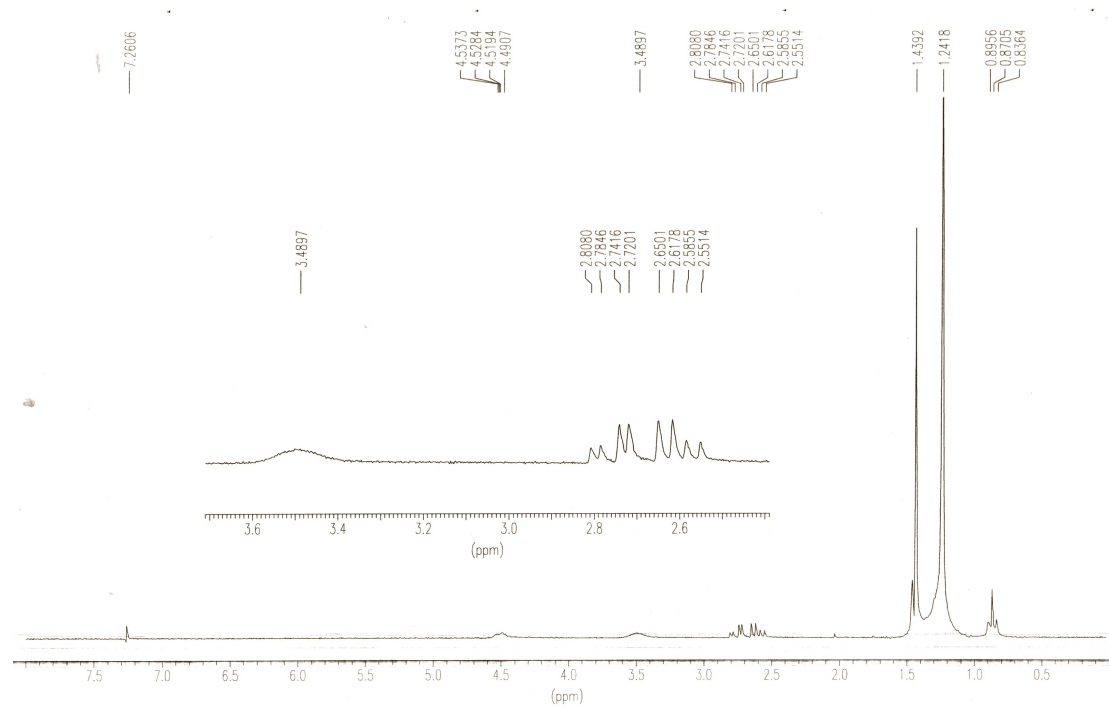


Figura X.176. Espectros de RMN ¹H y ¹³C del compuesto **18₁₃**.

+TOF MS: 0.934 min from Sample 2 (LuisR24) of jun260811.wiff
a=3.56062990172712470e-004, t0=-1.06248272578166710e+001 R., subtracted (0.017 to ...
Max. 3210.6 counts.

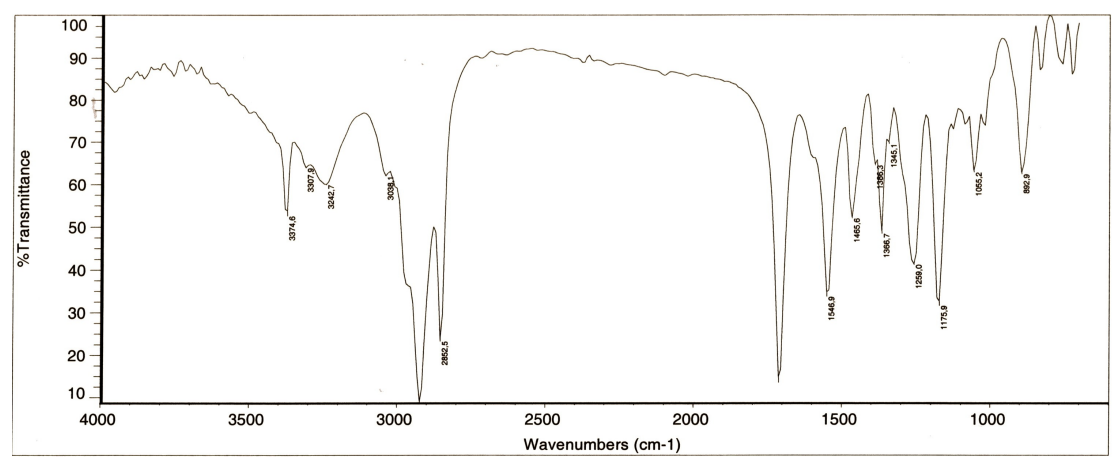
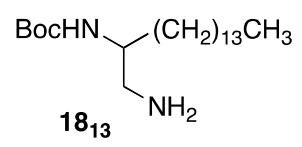
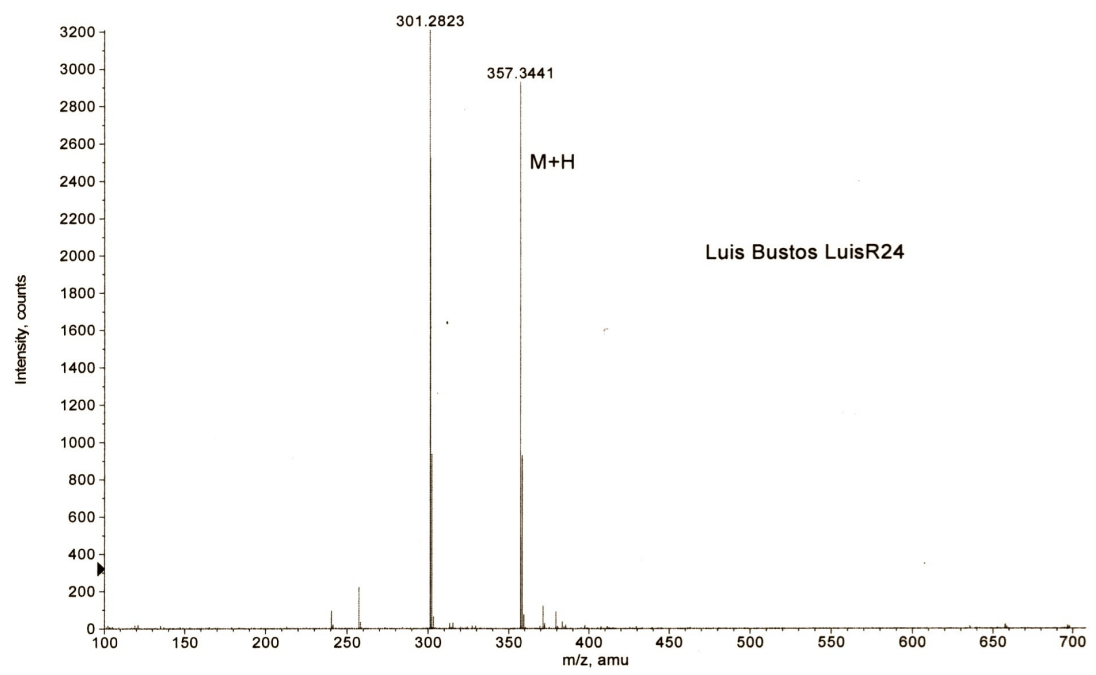


Figura X.177. Espectros de IR y MS del compuesto **18₁₃**.

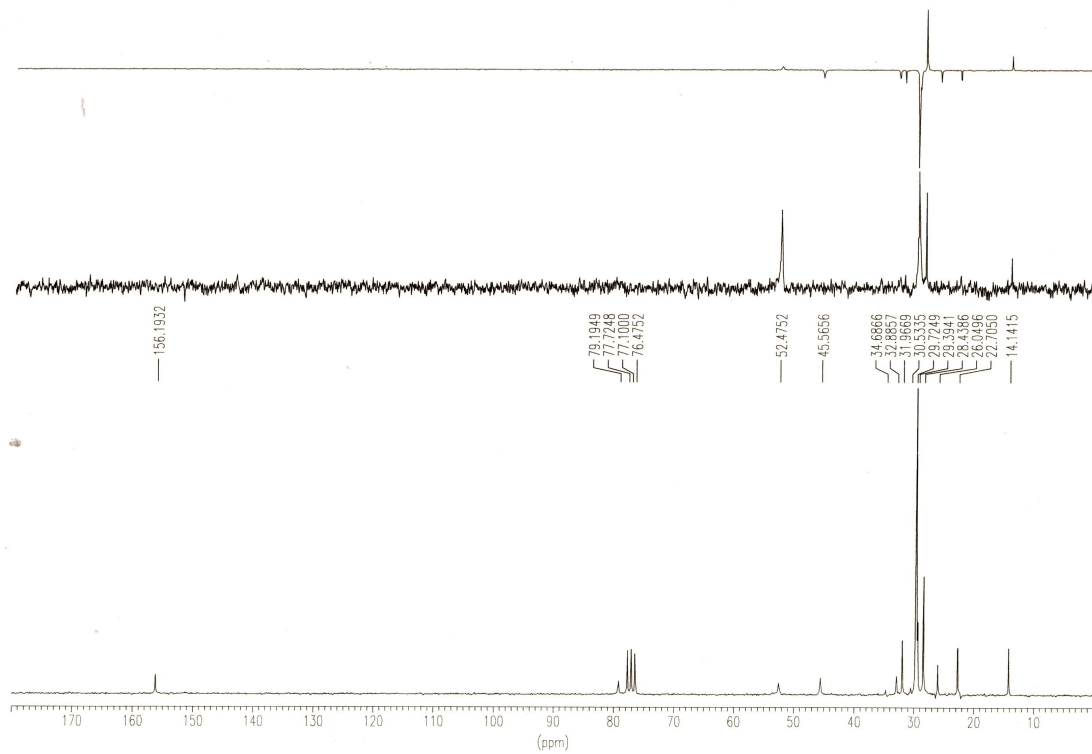
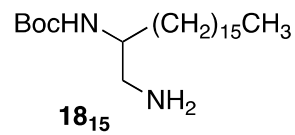
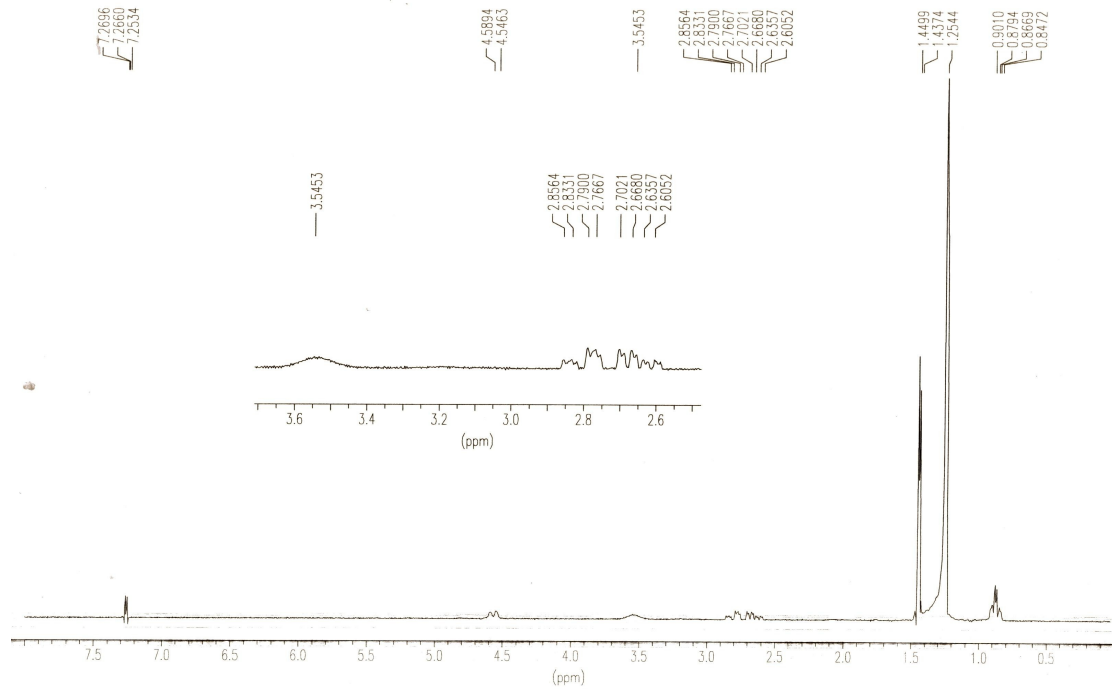


Figura X.178. Espectros de RMN ^1H y ^{13}C del compuesto **18₁₅**.

+TOF MS: 0.934 min from Sample 3 (LuisR25) of jun260811.wiff
a=3.56062990172712470e-004, t0=-1.06248272578166710e+001 R_i; subtracted (0.017 to ...

Max. 2546.6 counts.

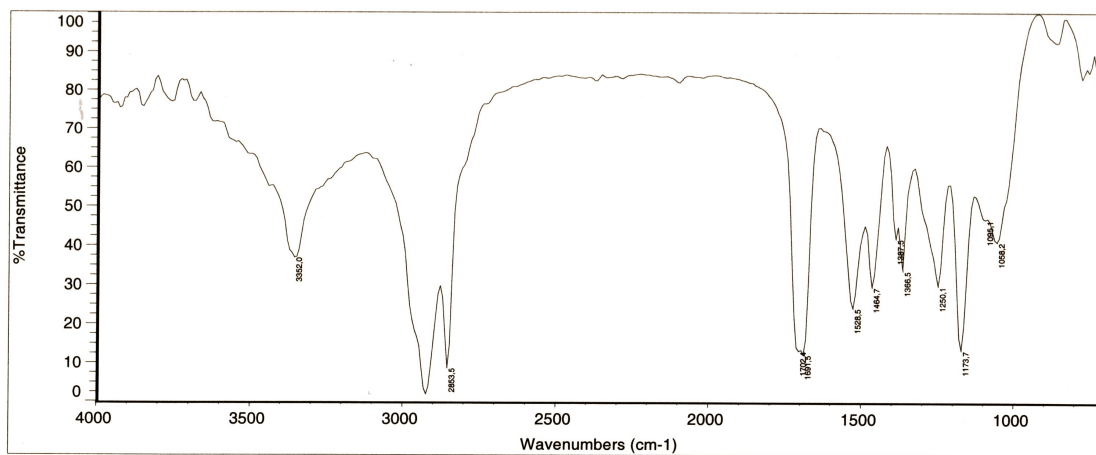
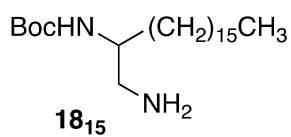
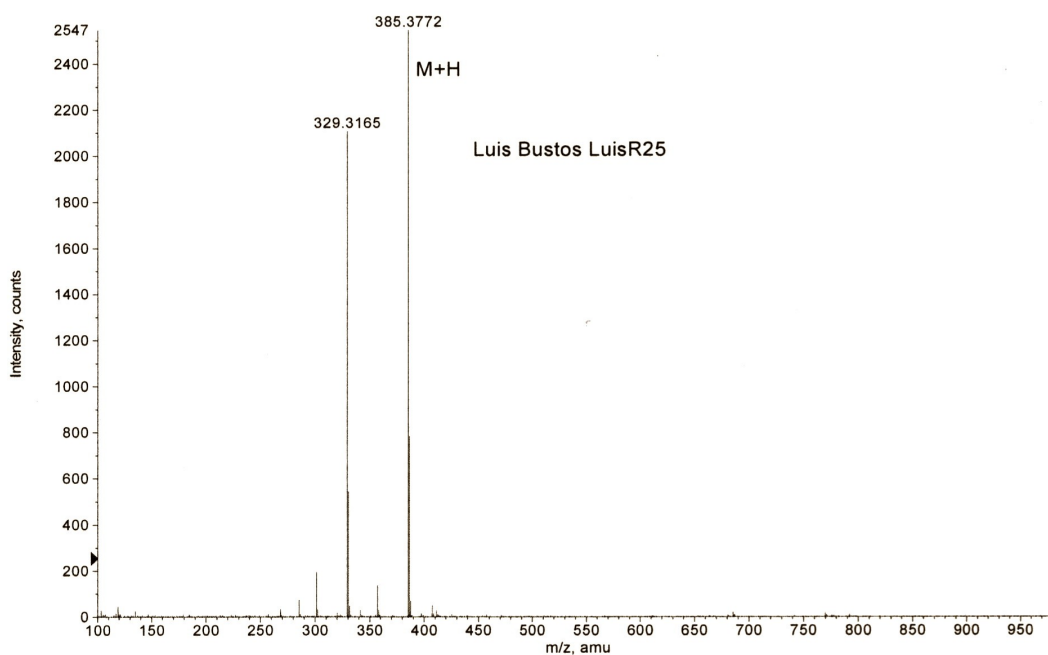


Figura X.179. Espectros de IR y MS del compuesto **1815**.

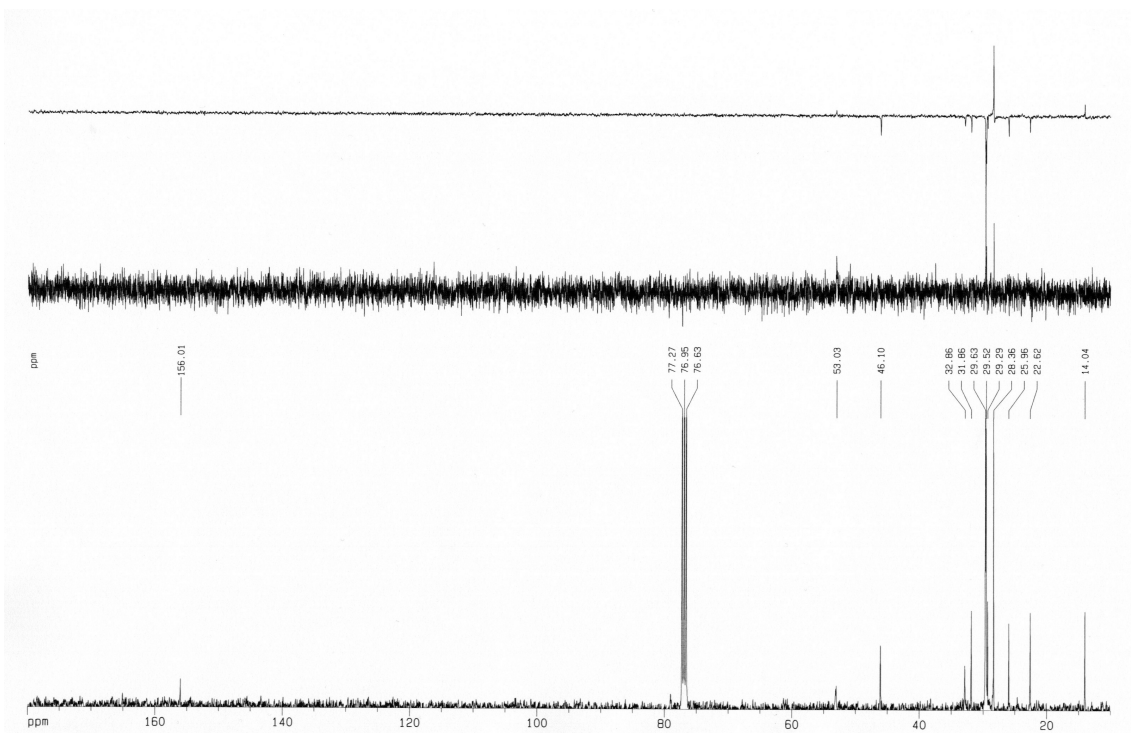
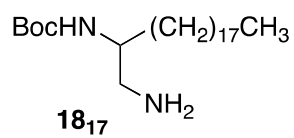
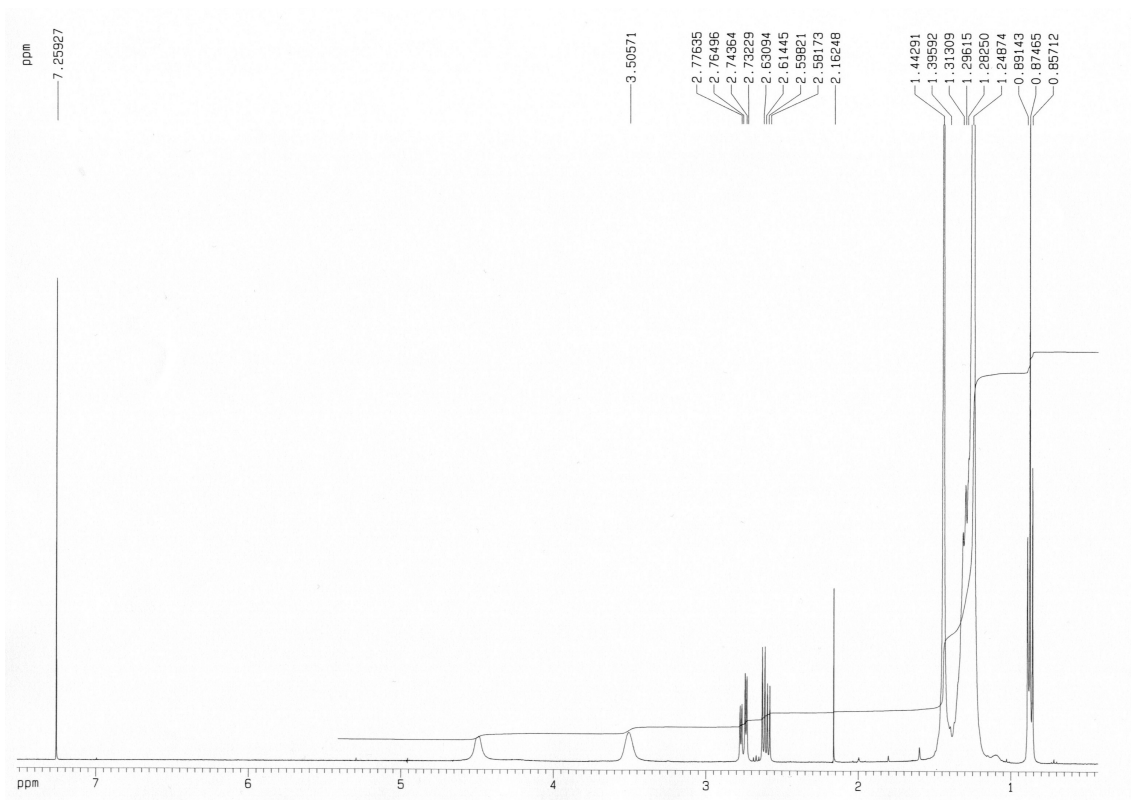


Figura X.180. Espectros de RMN ¹H y ¹³C del compuesto **18₁₇**.

TOF MS: 1.000 min from Sample 5 (LuisR27) of jun260811.wiff
a=3.56062990172712470e-004, t0=-1.06248272578166710e+001 R., subtracted (0.033 to ...

Max. 2450.3 counts.

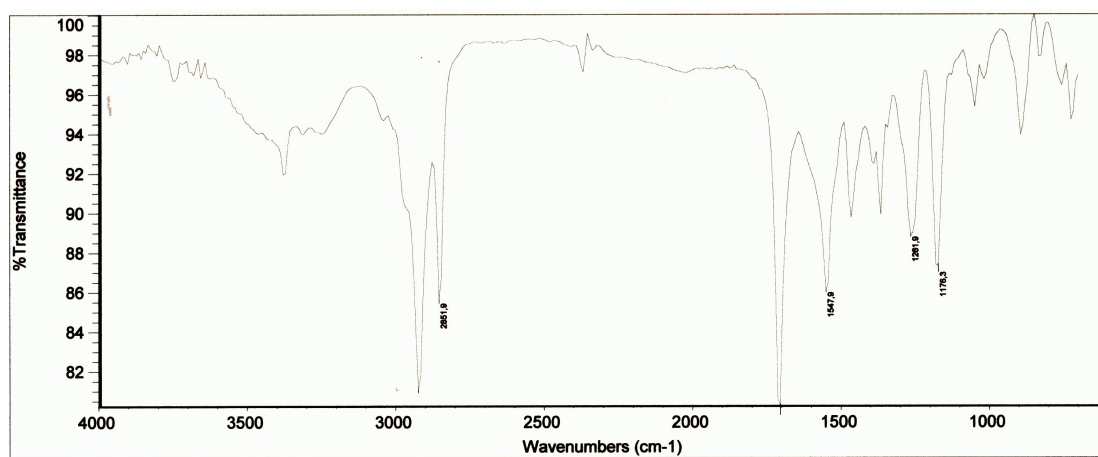
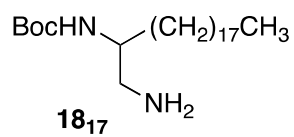
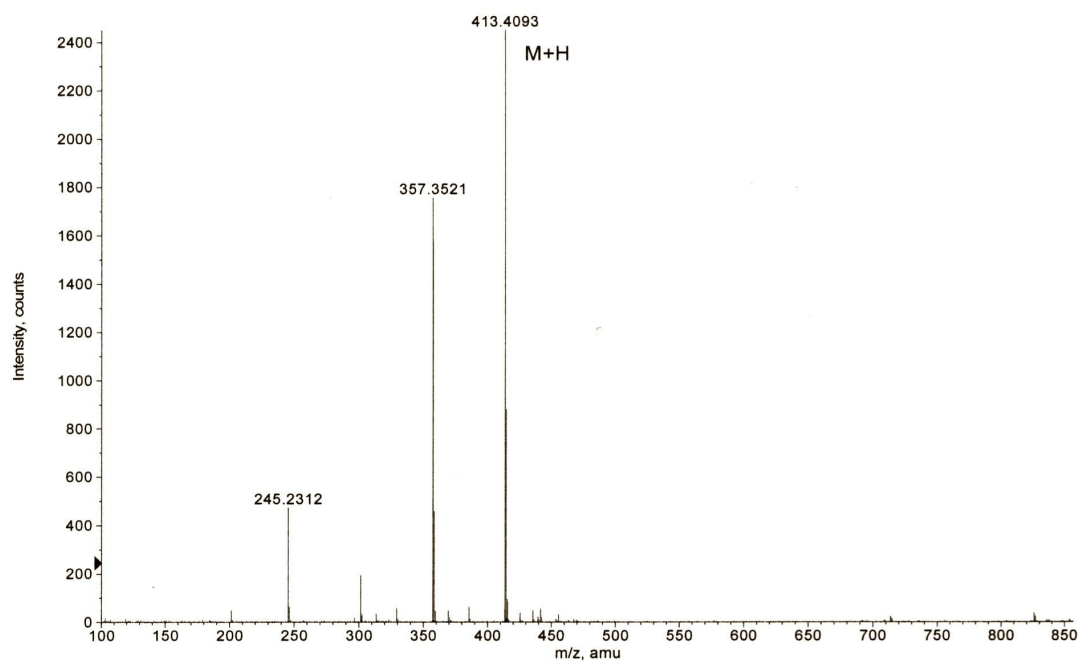


Figura X.181. Espectros de IR y MS del compuesto **18₁₇**.

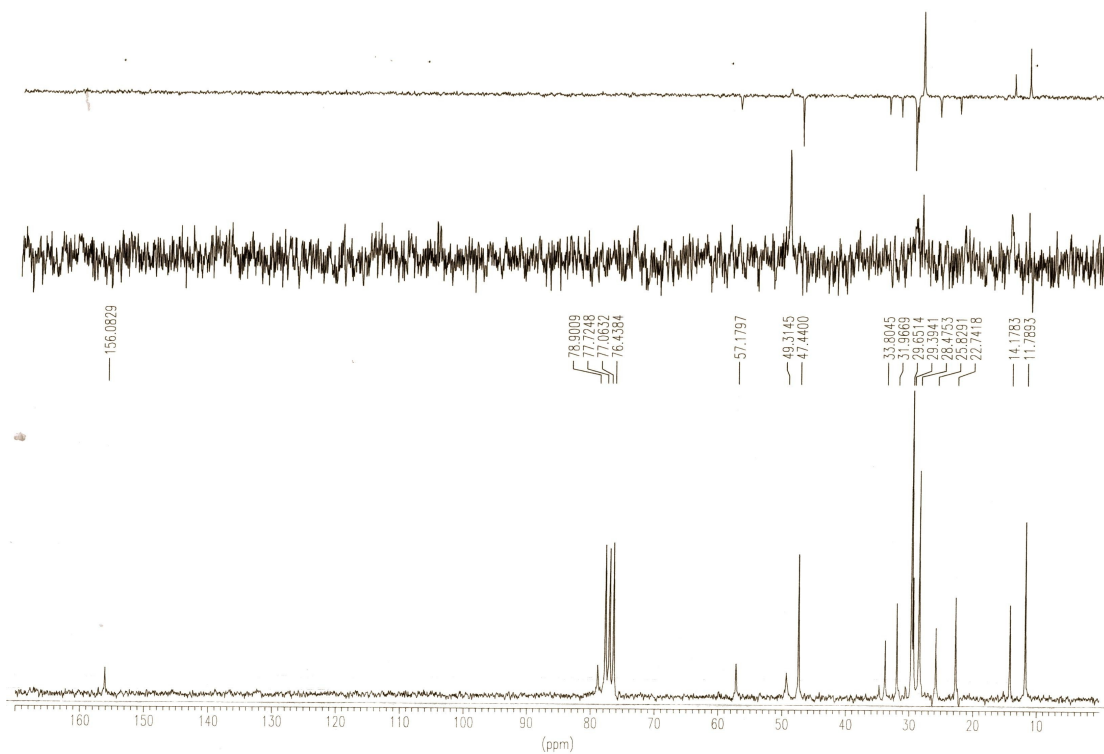
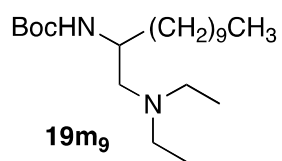
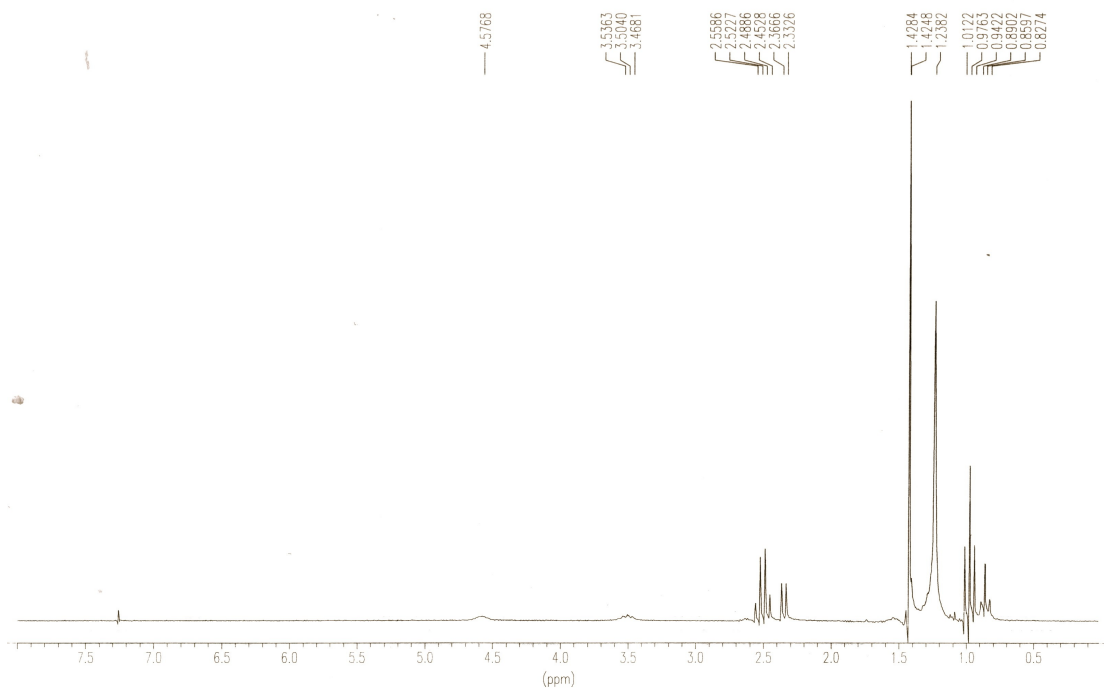


Figura X.182. Espectros de RMN ^1H y ^{13}C del compuesto **19m₉**.

+TOF MS: 1.000 min from Sample 5 (Luis R34) of jul040813.wiff
a=3.56067007398656940e-004, t0=-1.02299756567117580e+001 R; subtracted (0.017 to ...

Max. 3569.6 counts.

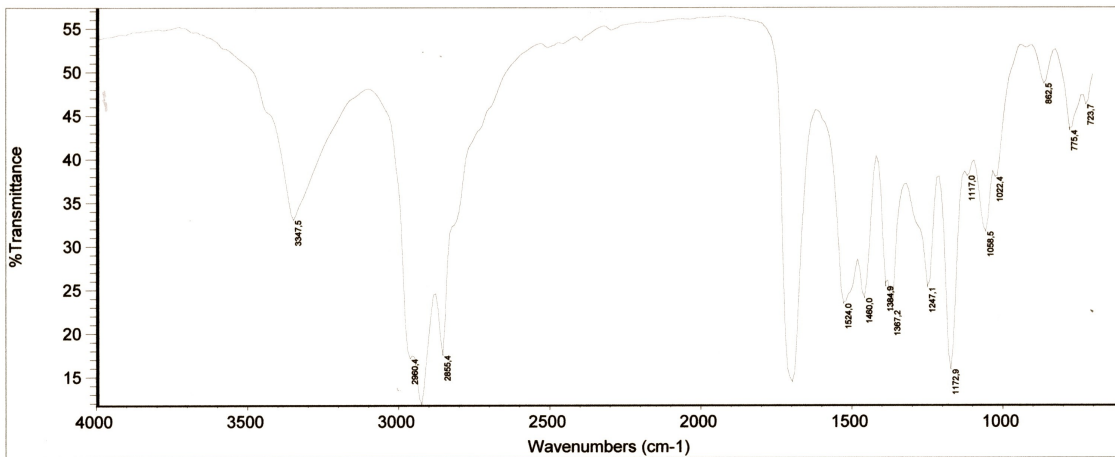
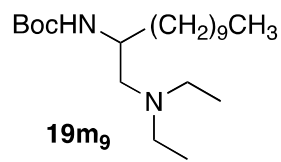
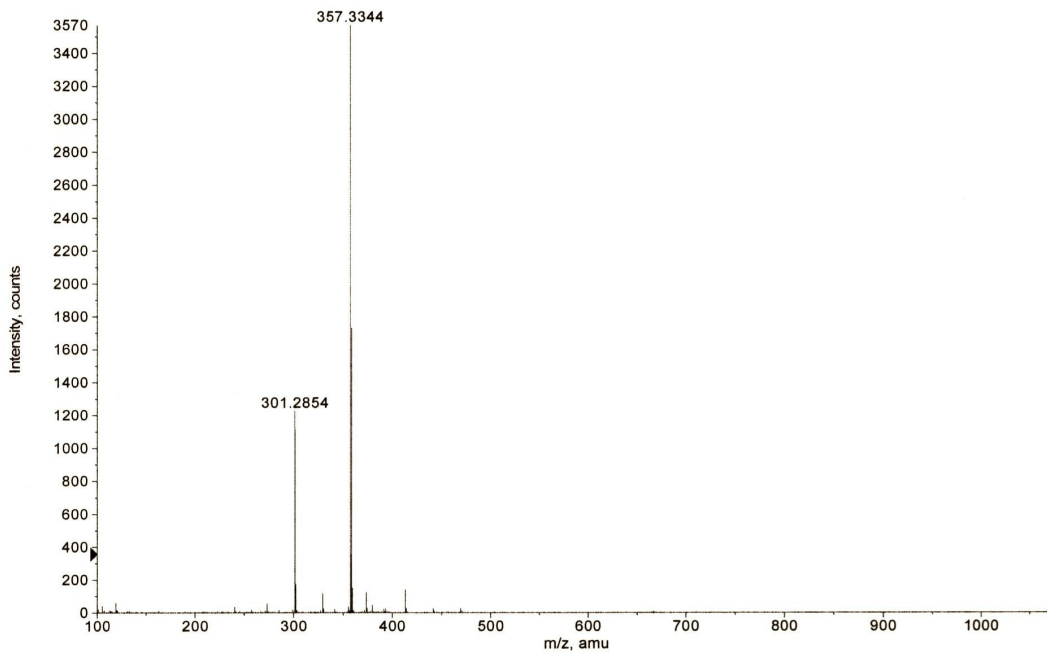


Figura X.183. Espectros de IR y MS del compuesto **19m₉**.

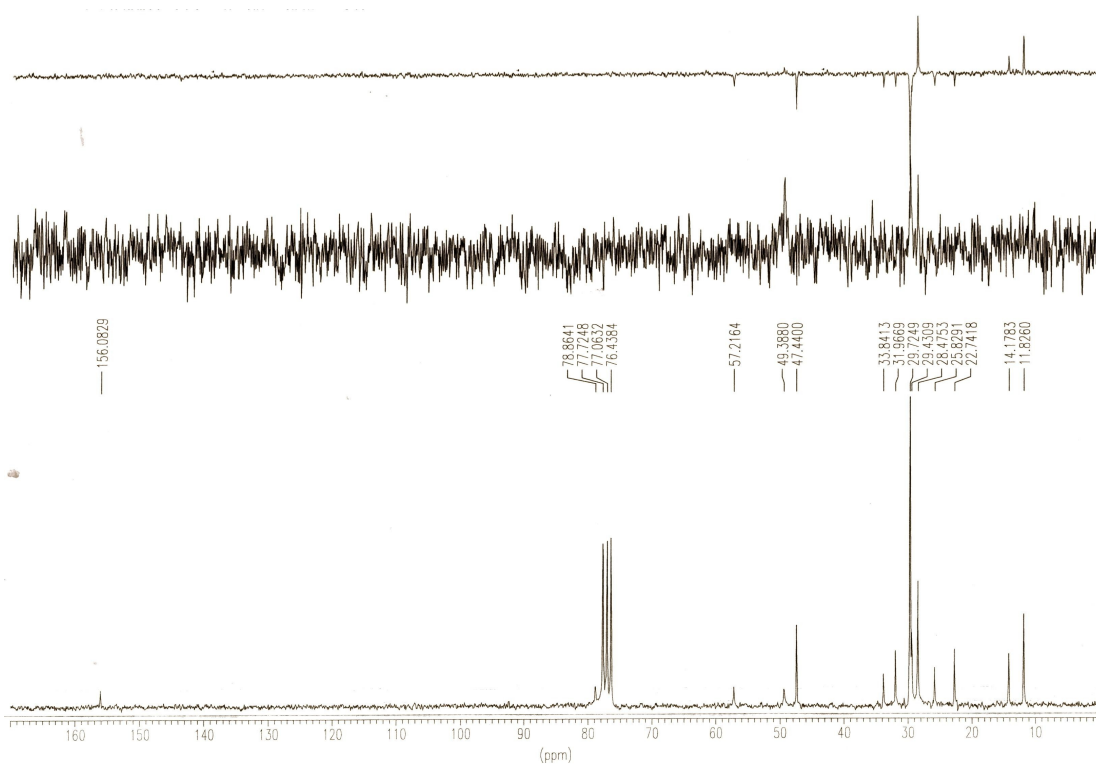
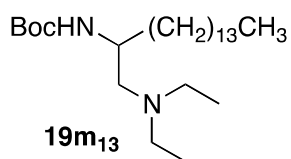
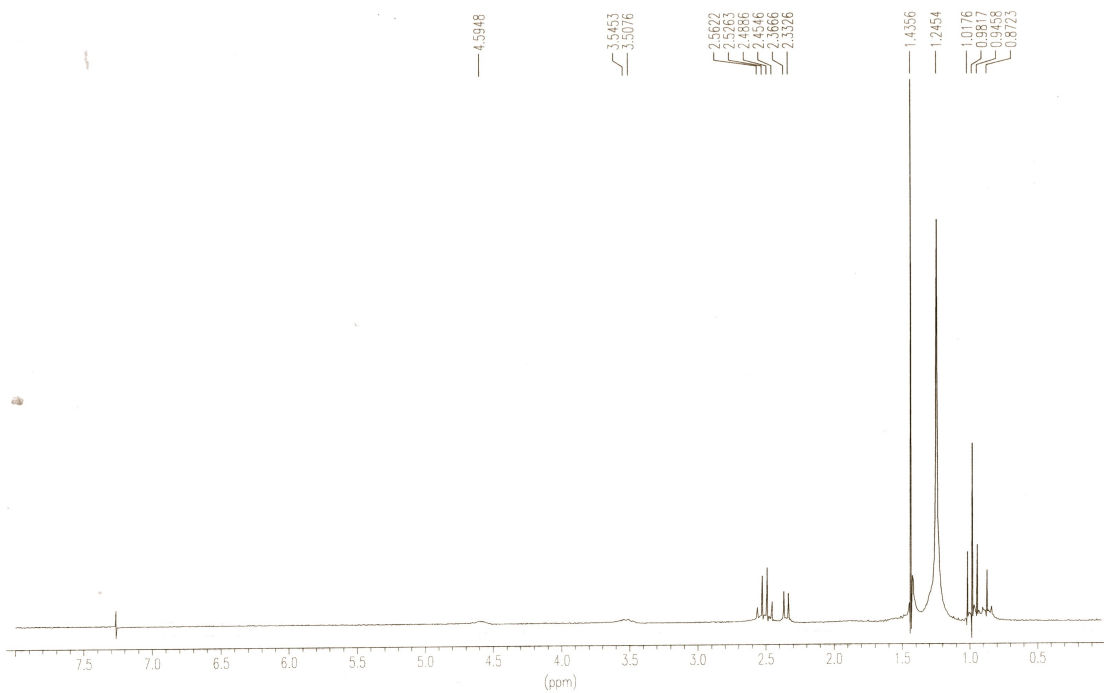


Figura X.184. Espectros de RMN ^1H y ^{13}C del compuesto **19m₁₃**.

+TOF MS: 0.050 min from Sample 4 (Luis R31) of jun260812.wiff
a=3.56059495234797220e-004, t0=-1.03801425560595820e+001 R; Max. 521.0 counts.

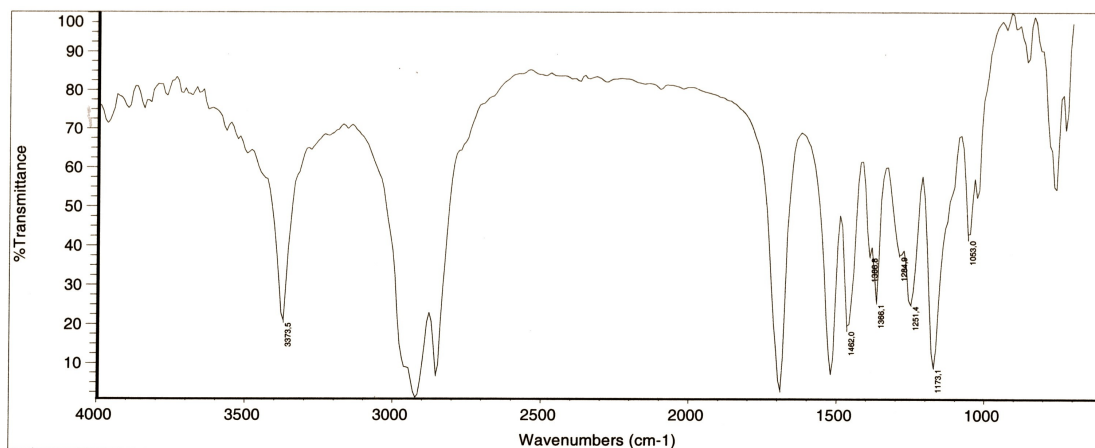
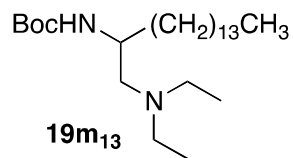
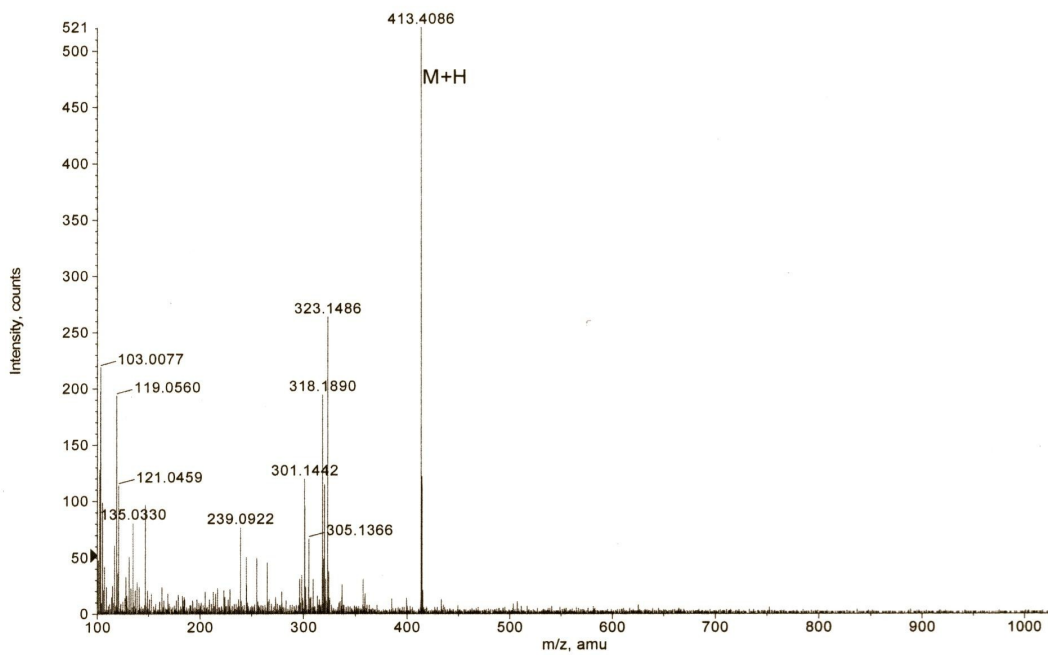


Figura X.185. Espectros de IR y MS del compuesto **19m₁₃**.

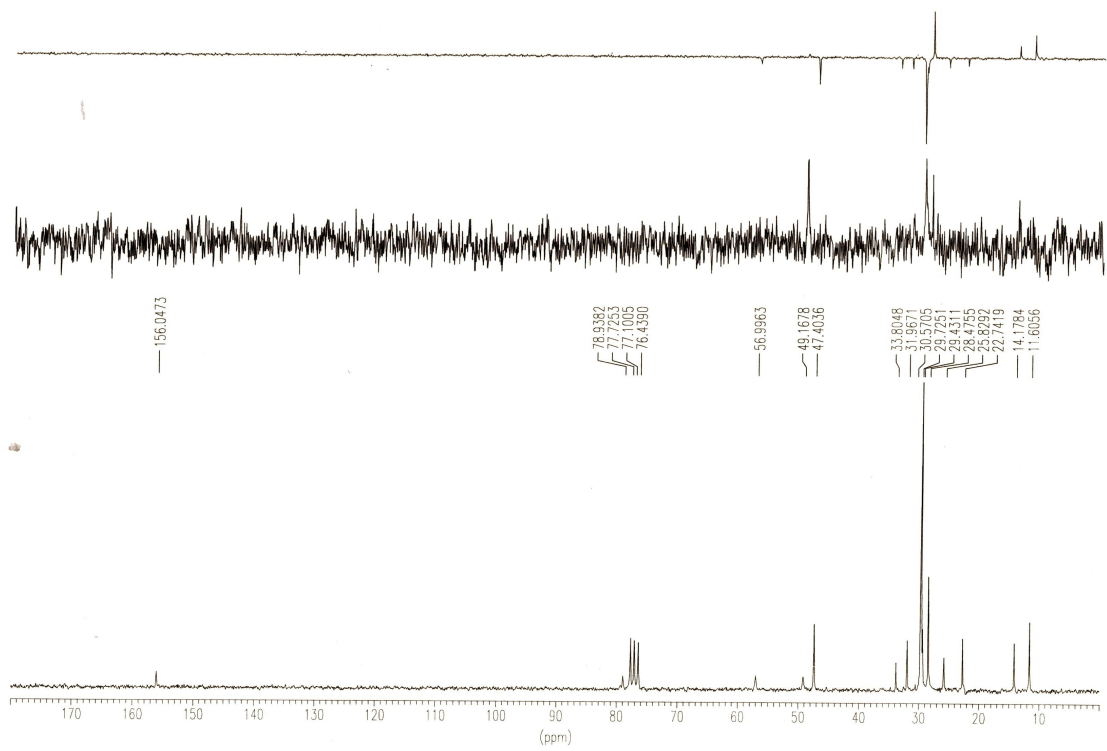
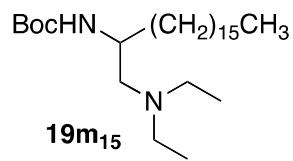
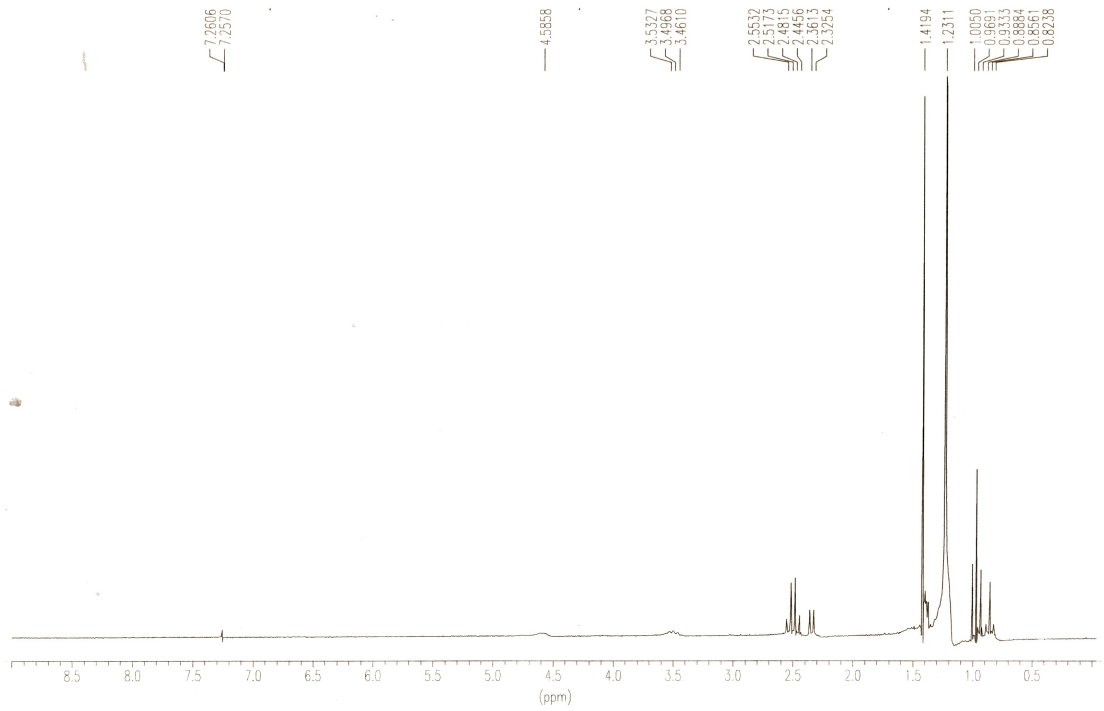


Figura X.186. Espectros de RMN ^1H y ^{13}C del compuesto **19m₁₅**.

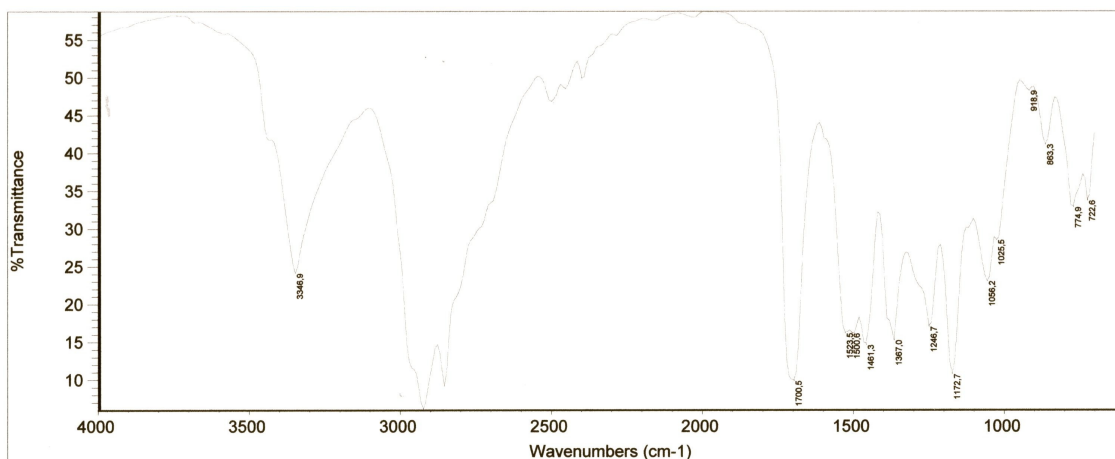
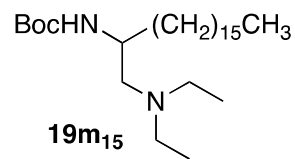
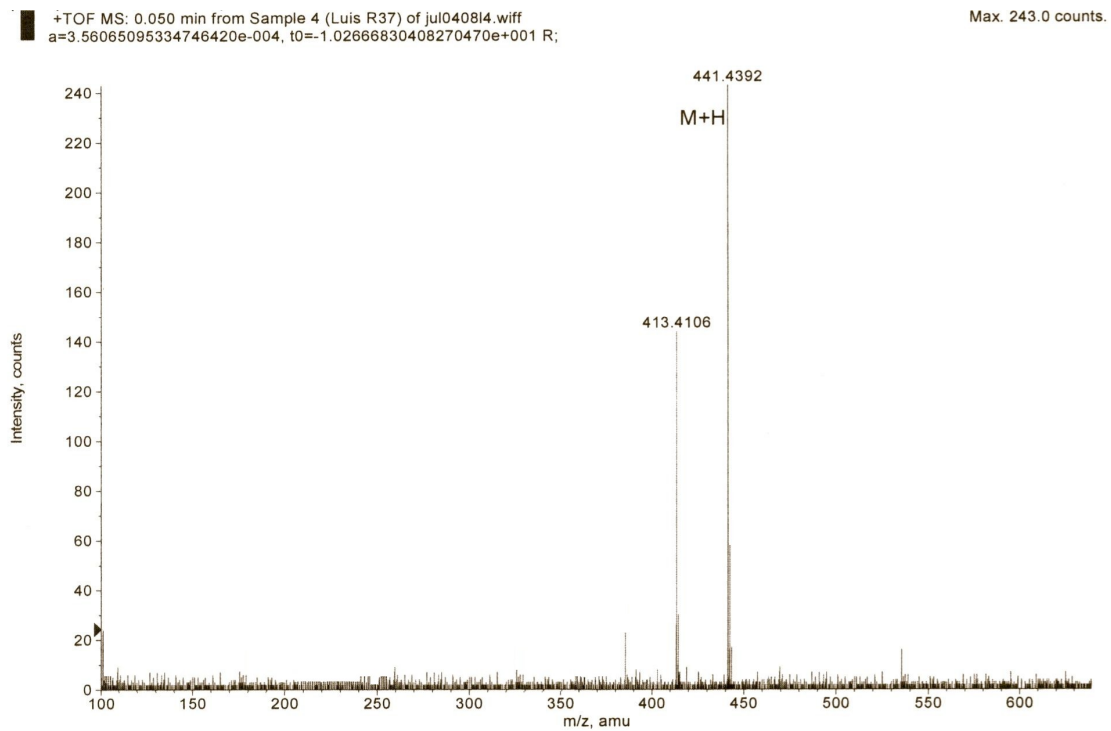


Figura X.187. Espectros de IR y MS del compuesto 19m_{15} .

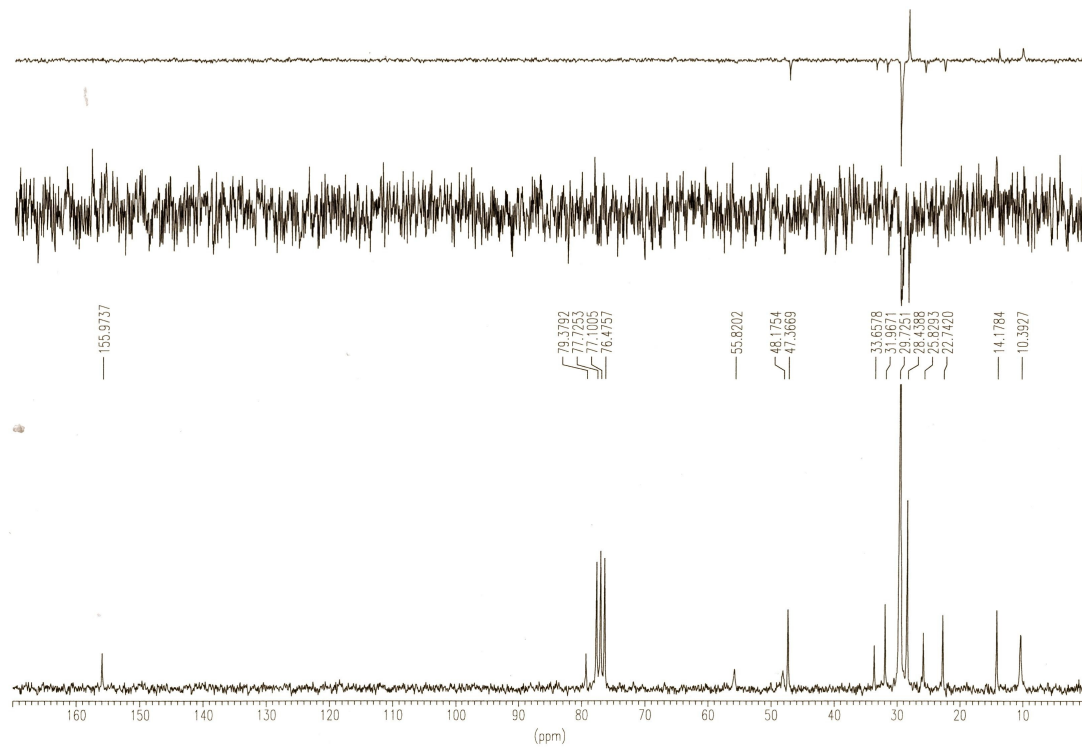
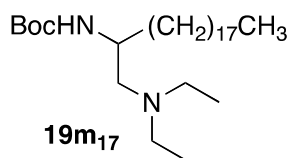
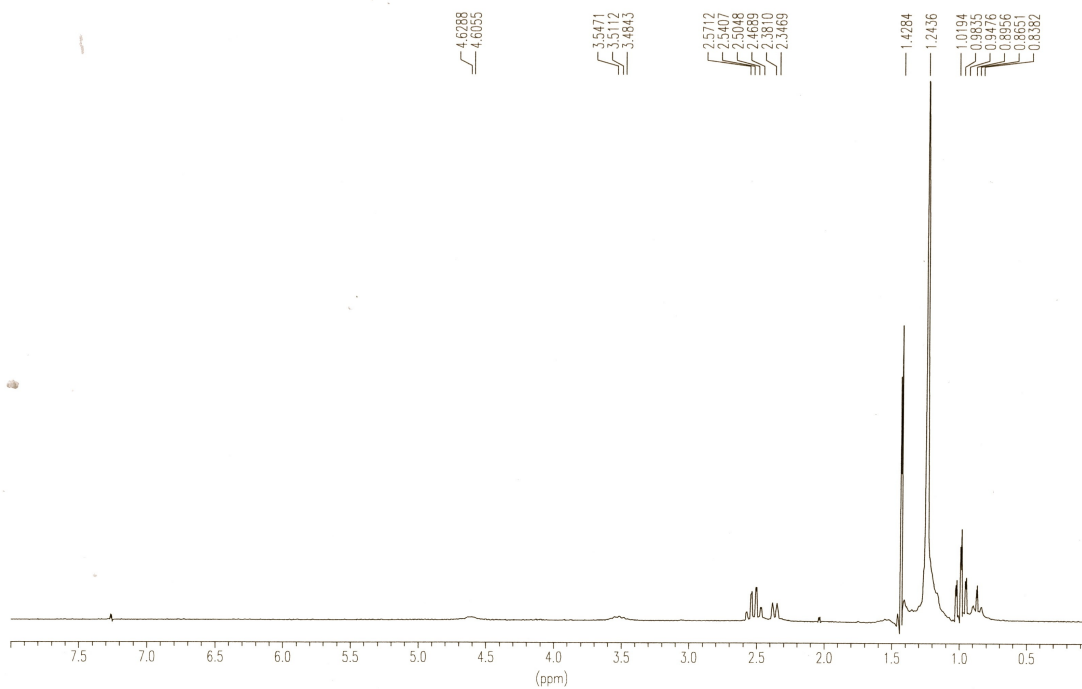


Figura X.188. Espectros de RMN ^1H y ^{13}C del compuesto 19m_{17}

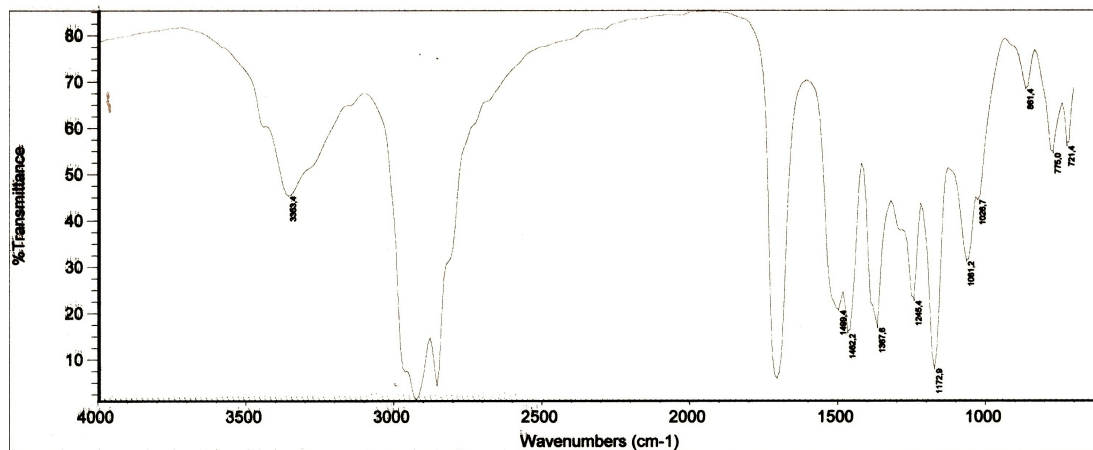
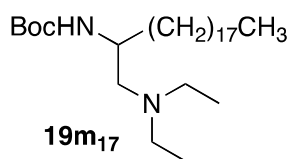
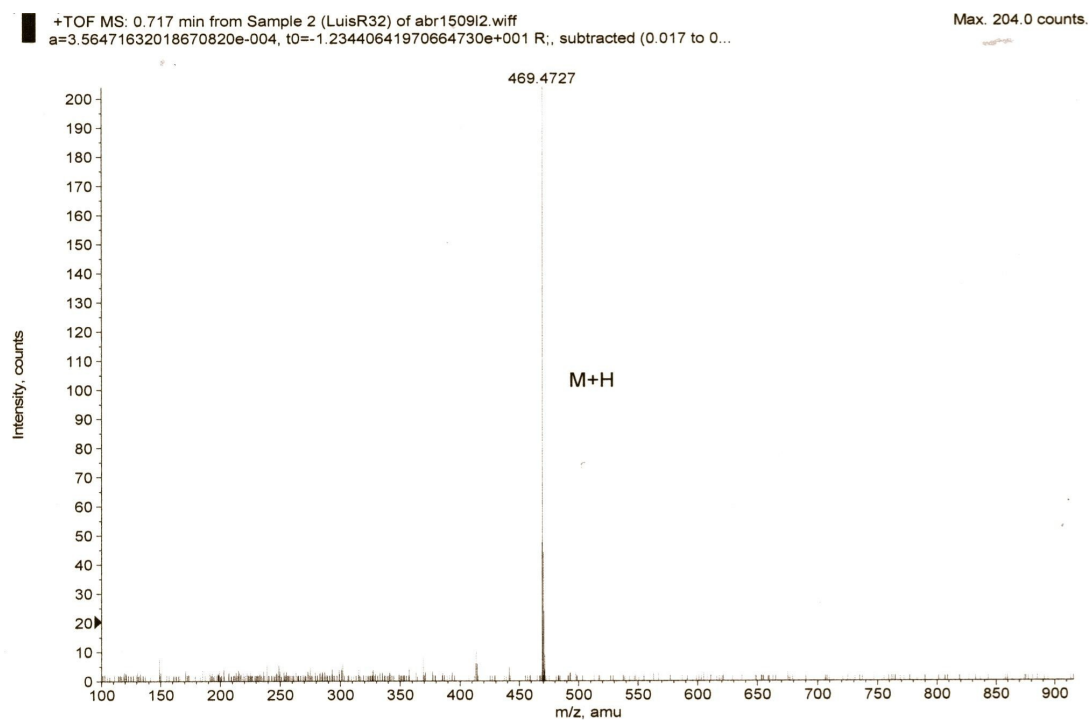


Figura X.189. Espectros de IR y MS del compuesto **19m₁₇**.

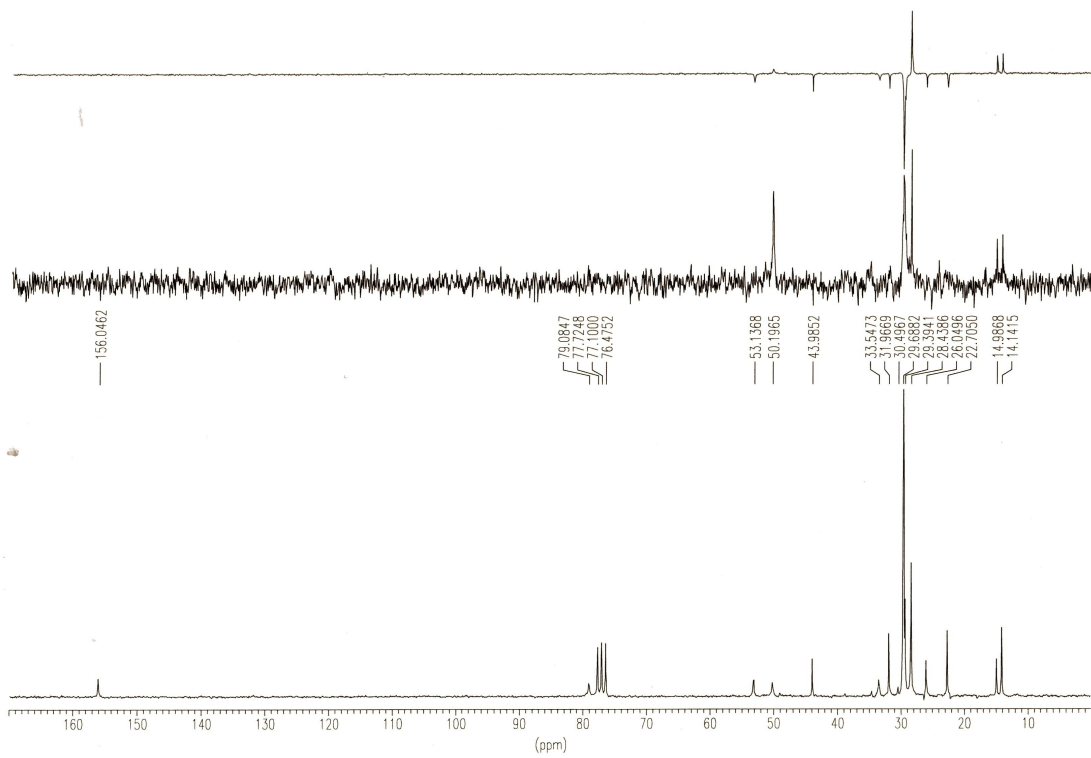
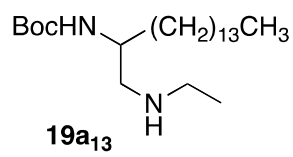
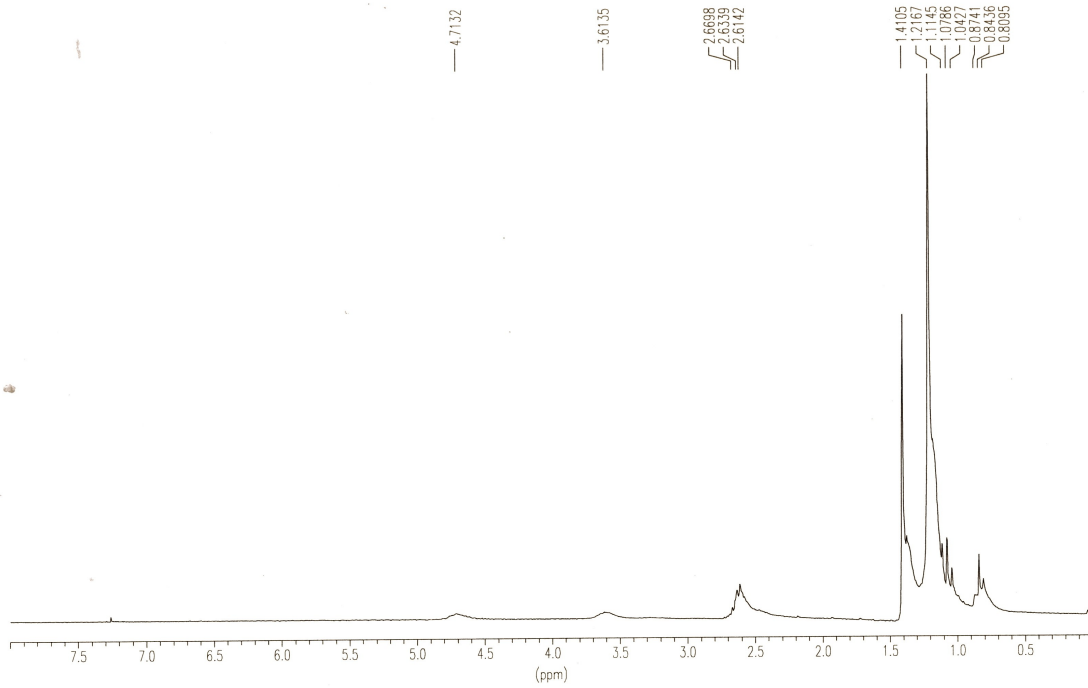


Figura X.190. Espectros de RMN ^1H y ^{13}C del compuesto $\mathbf{19a}_{13}$.

TOF MS: 0.283 min from Sample 5 (LuisR30) of abr020911.wiff
a=3.56467608093295300e-004, t0=-1.15741758905205640e+001 R; subtracted (0.017 to 0... Max. 261.5 counts.

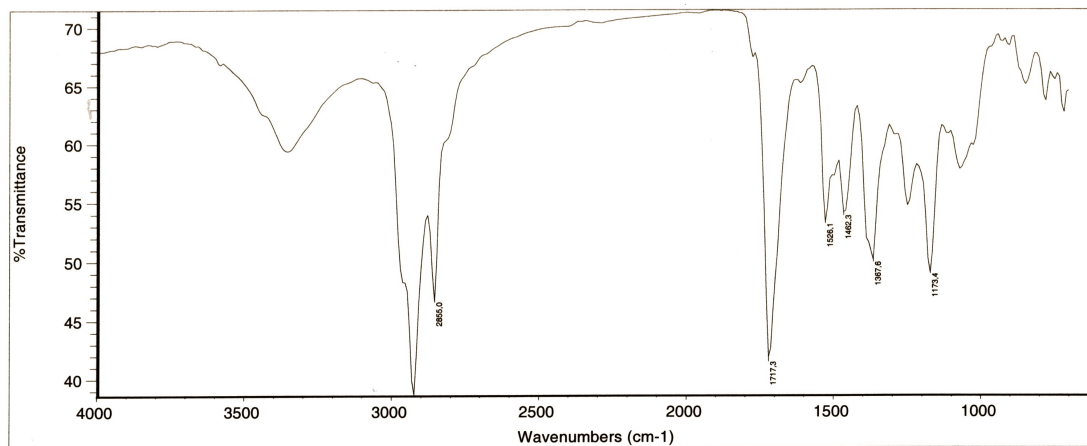
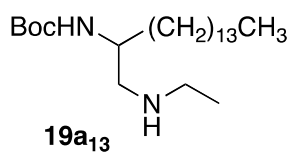
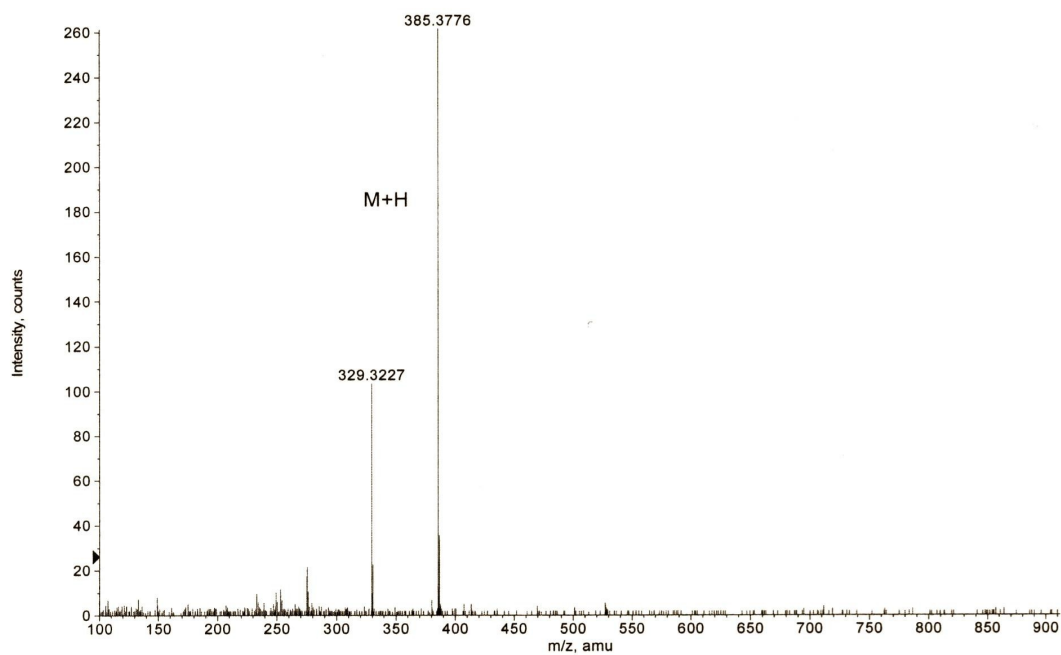


Figura X.191. Espectros de IR y MS del compuesto **19a₁₃**.

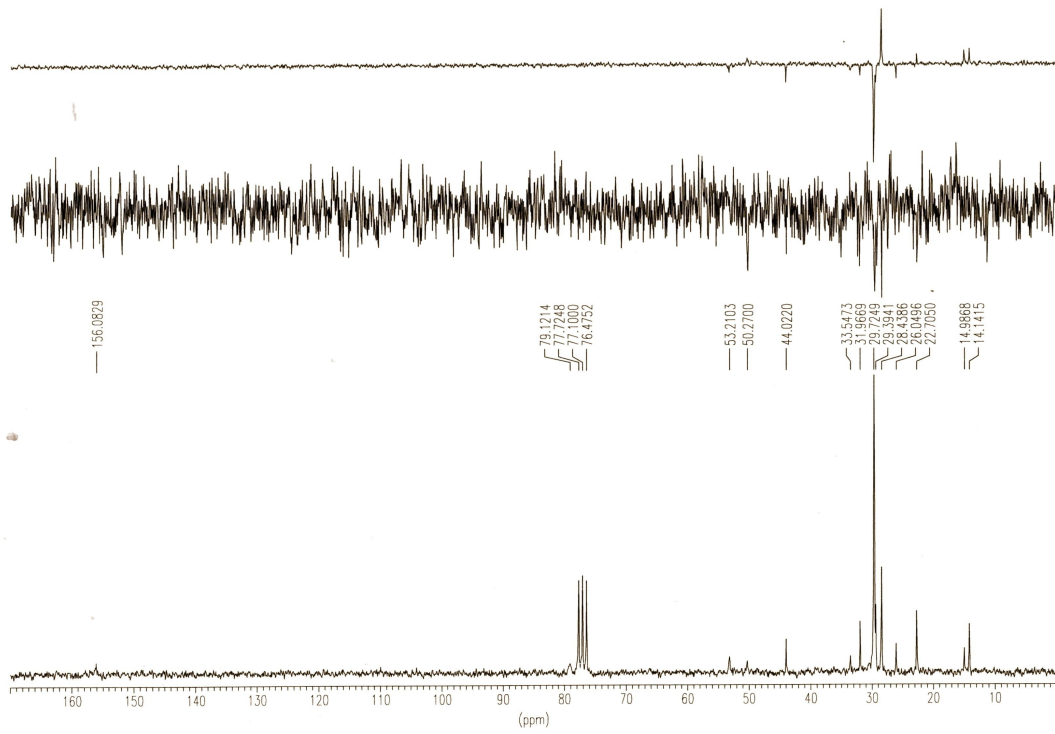
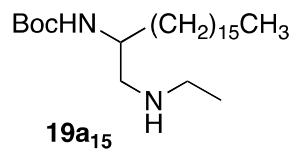
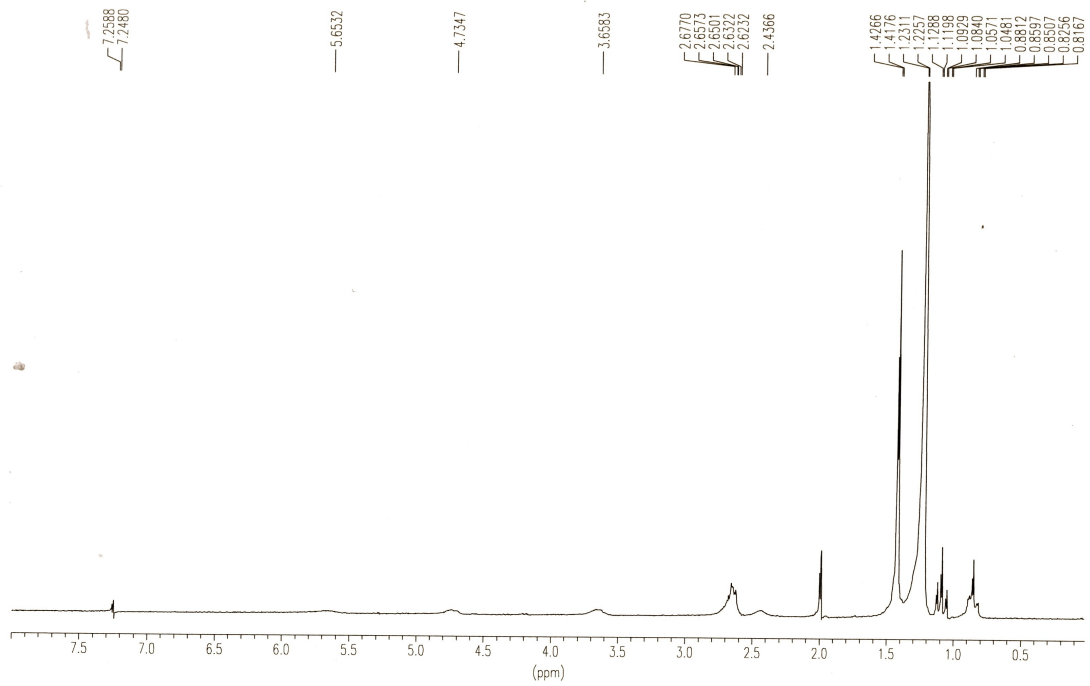


Figura X.192. Espectros de RMN ^1H y ^{13}C del compuesto **19a₁₅**.

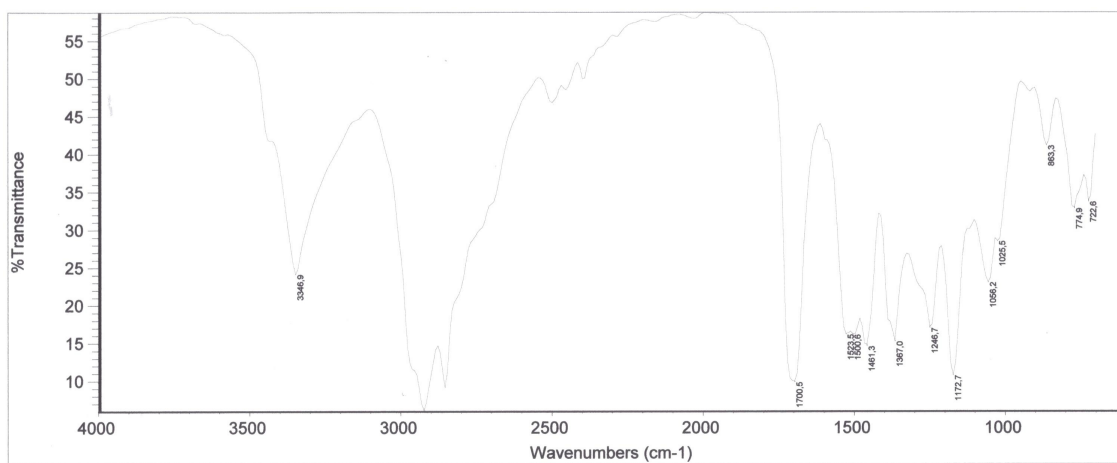
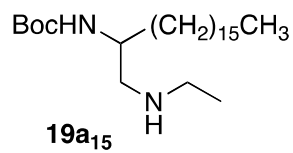
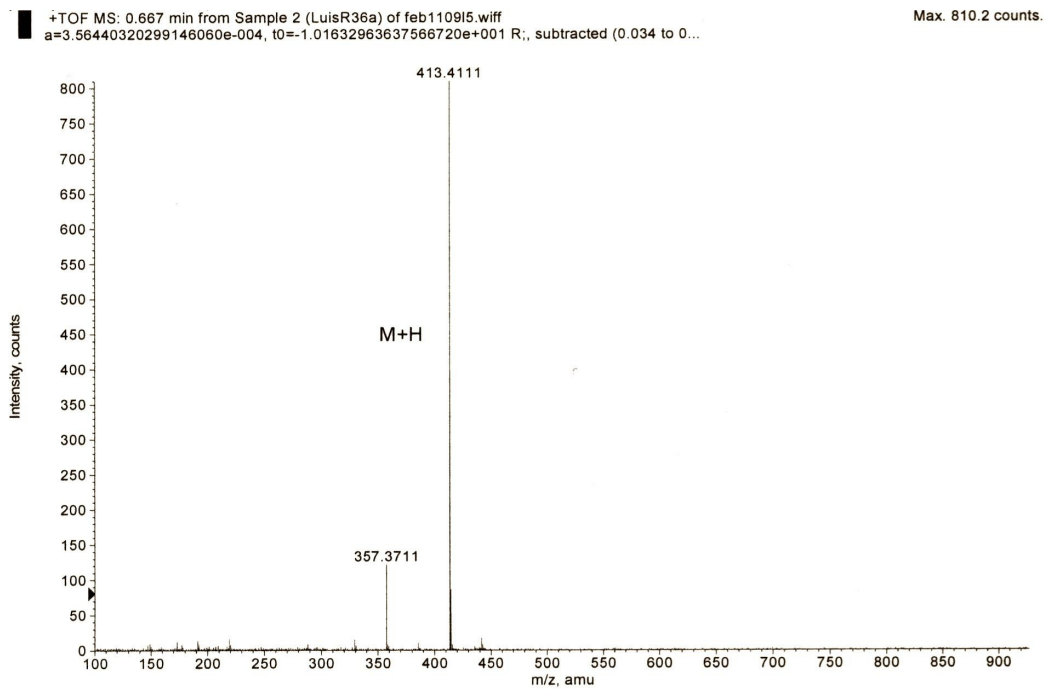


Figura X.193. Espectros de IR y MS del compuesto **19a₁₅**.

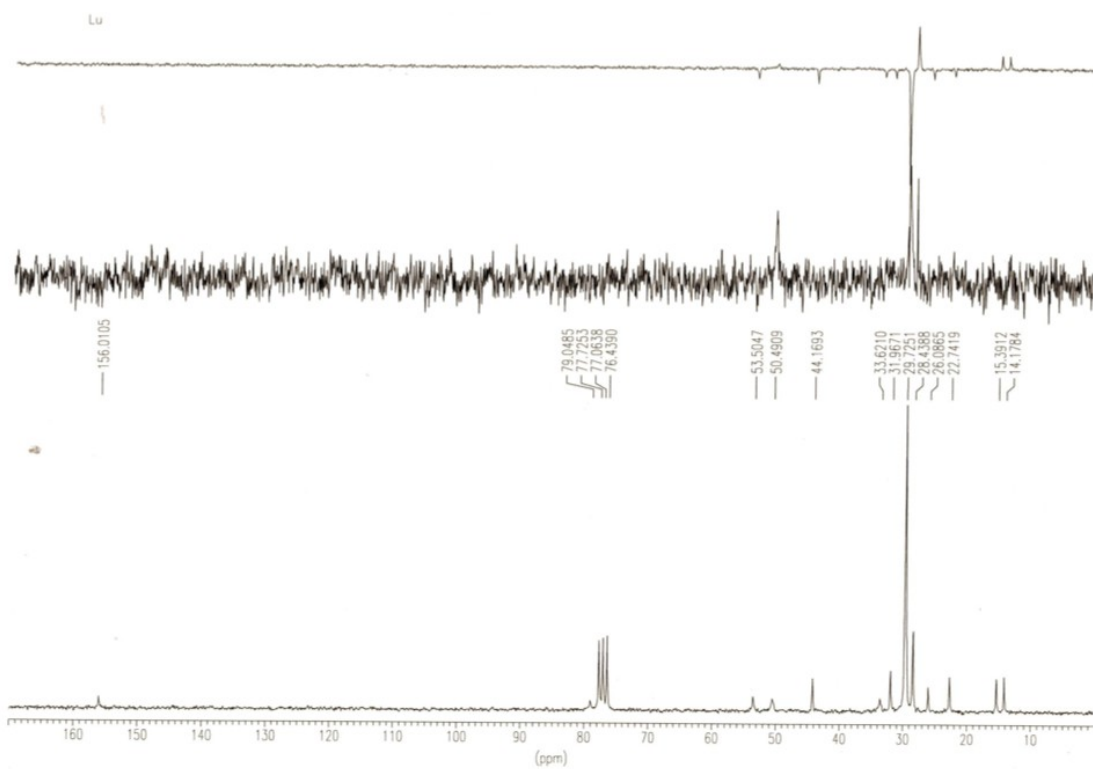
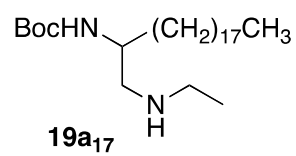
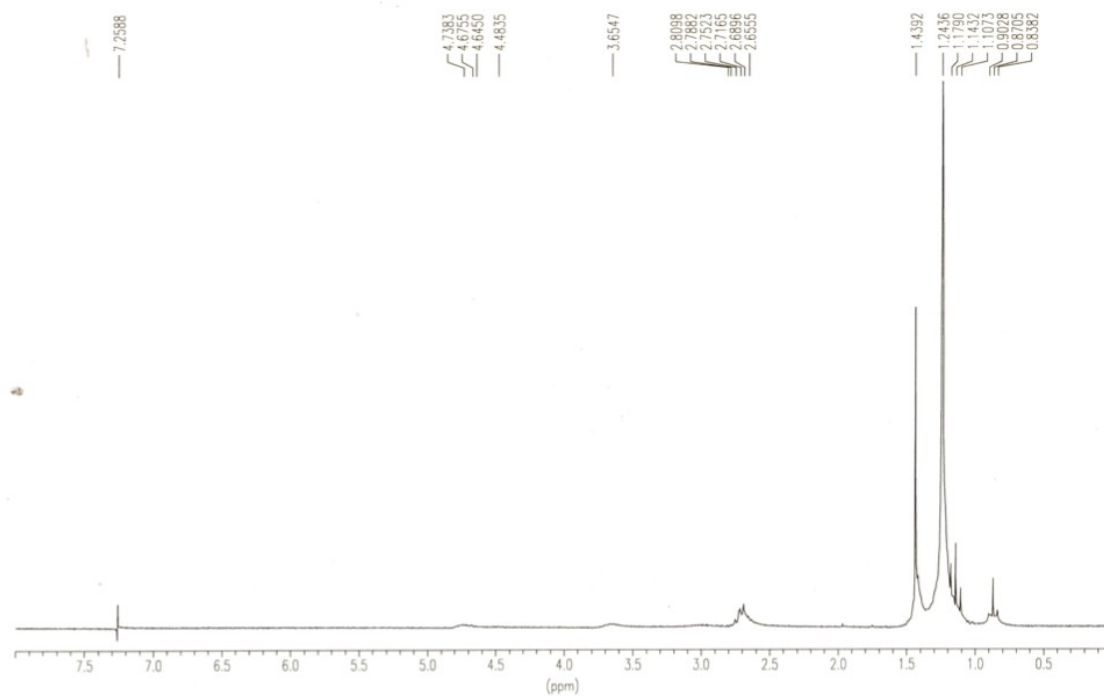


Figura X.194. Espectros de RMN ¹H y ¹³C del compuesto **19a₁₇**.

+TOF MS: 0.400 min from Sample 2 (LuisR32m) of may130911.wiff
a=3.56452895097150260e-004, t0=-1.10506856241045170e+001 R_i, subtracted (0.017 to 0...

Max. 374.8 counts.

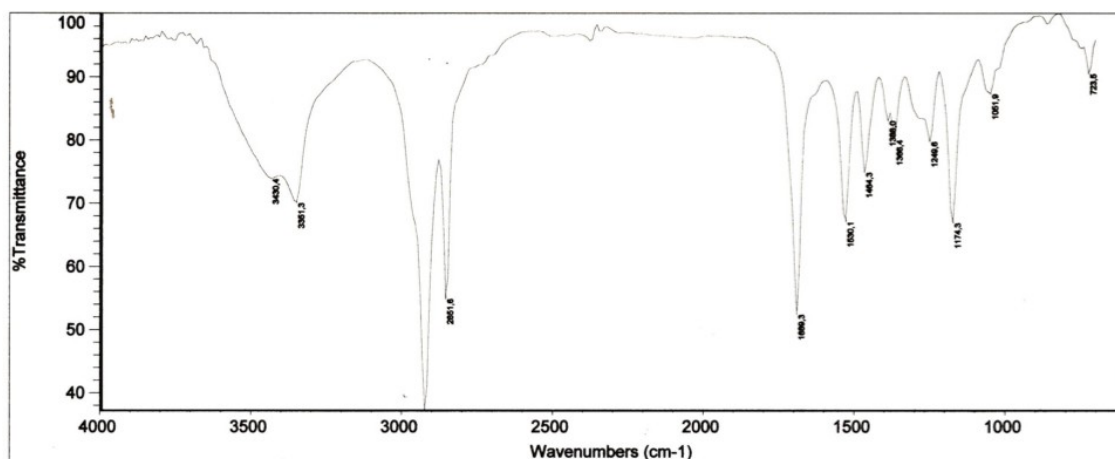
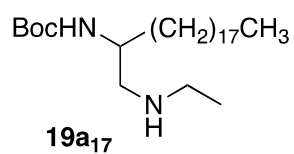
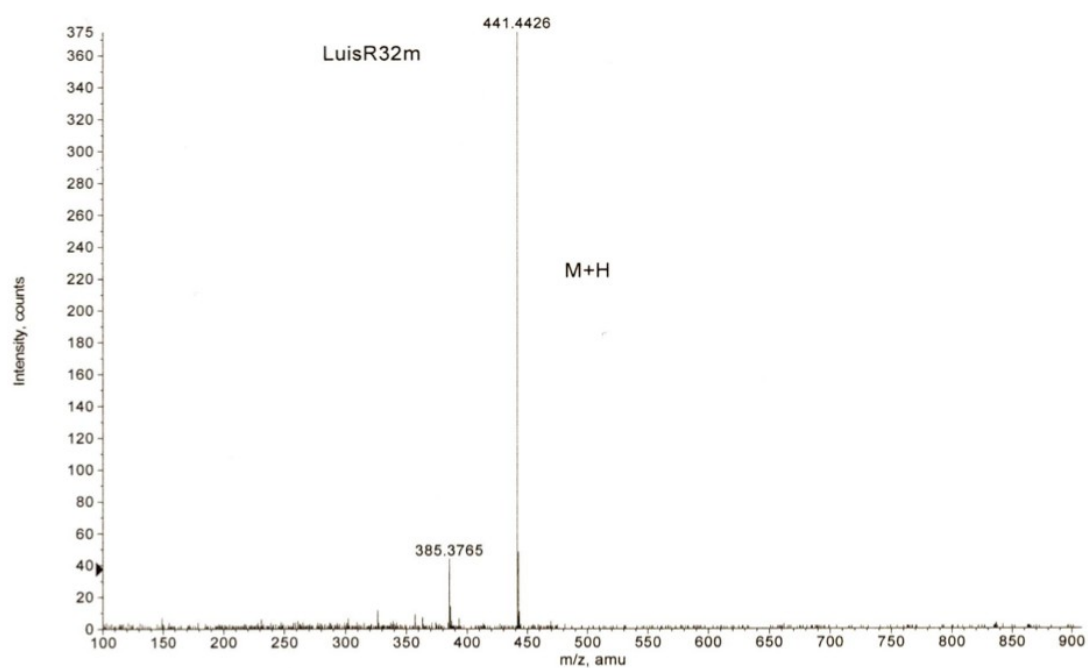


Figura X.195. Espectros de IR y MS del compuesto **19a₁₇**.

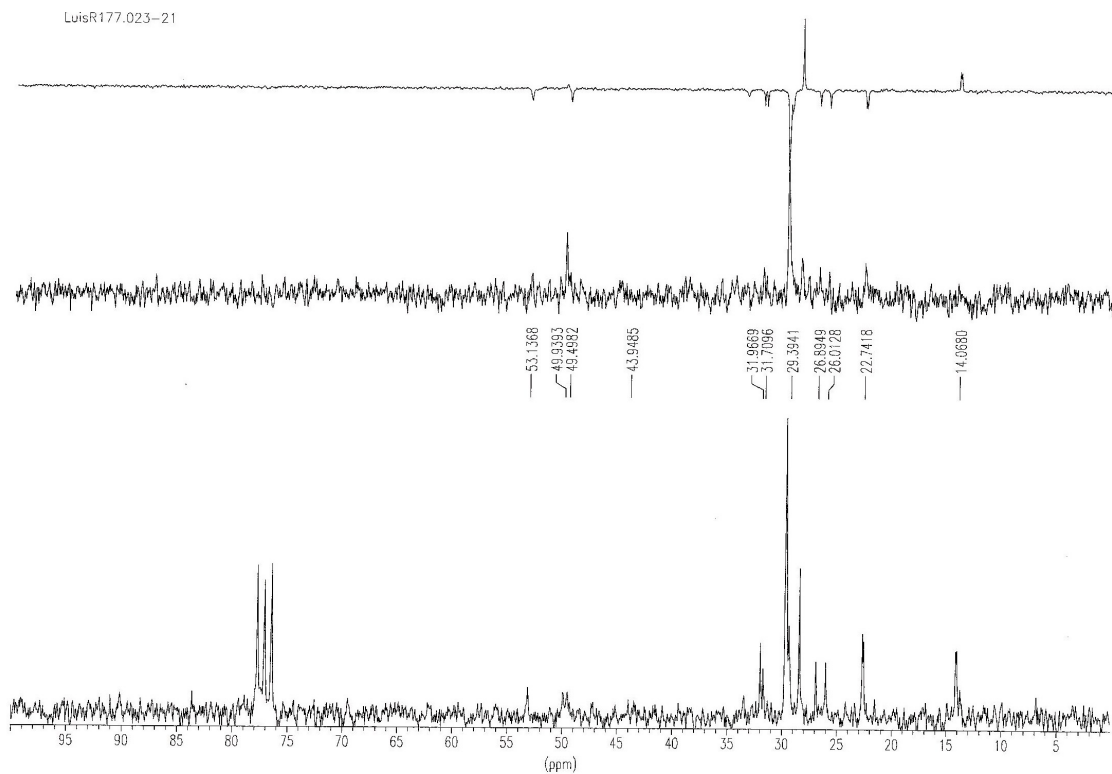
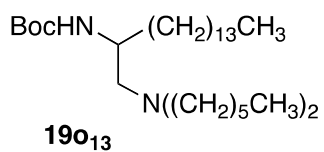
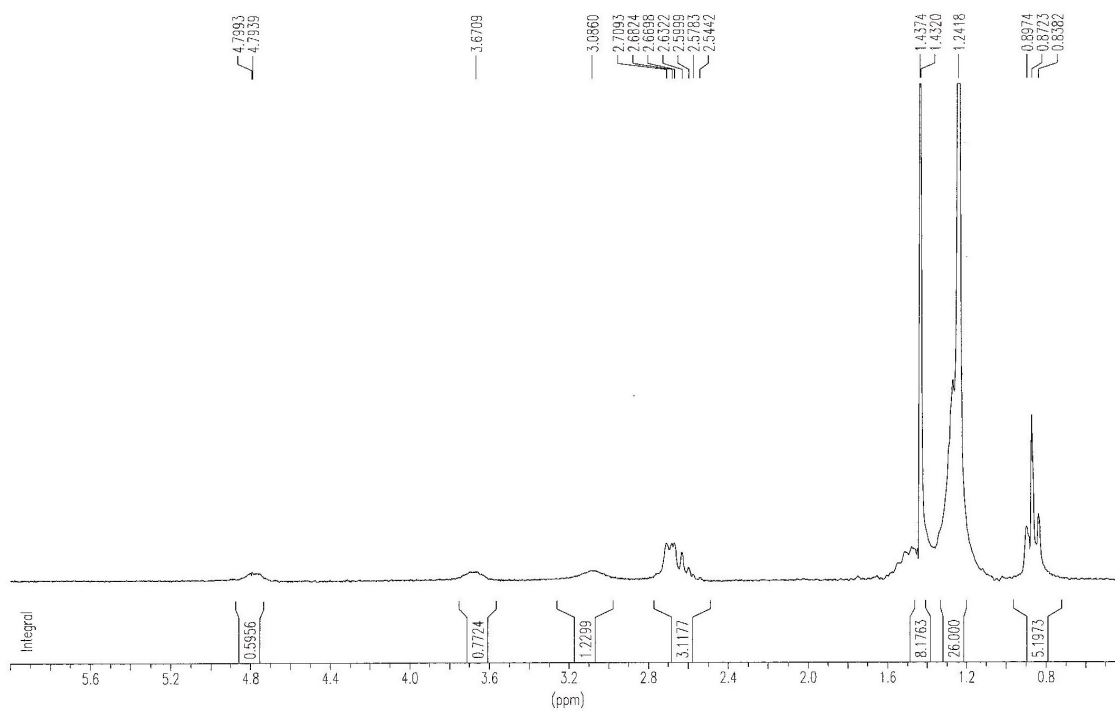


Figura X.196. Espectros de RMN ¹H y ¹³C del compuesto **19o₁₃**.

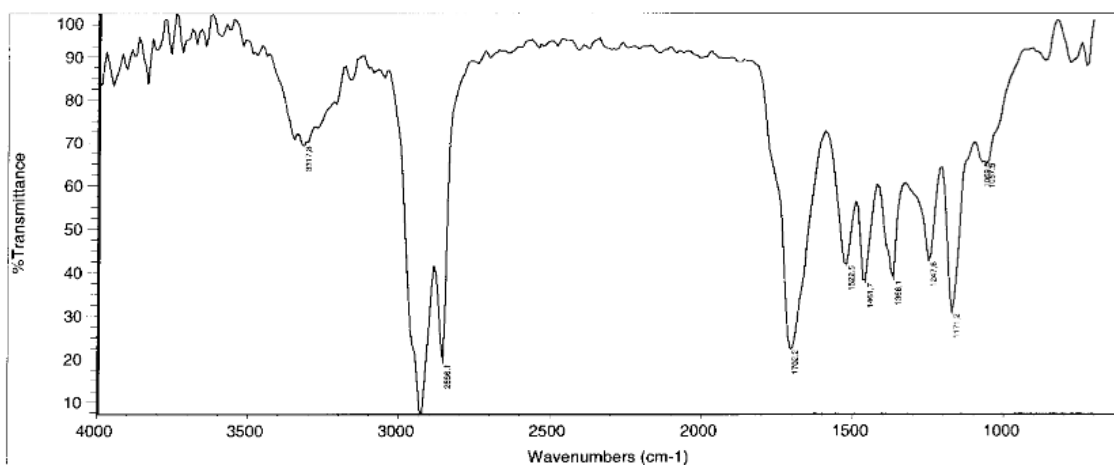
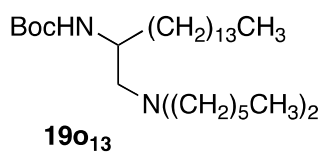
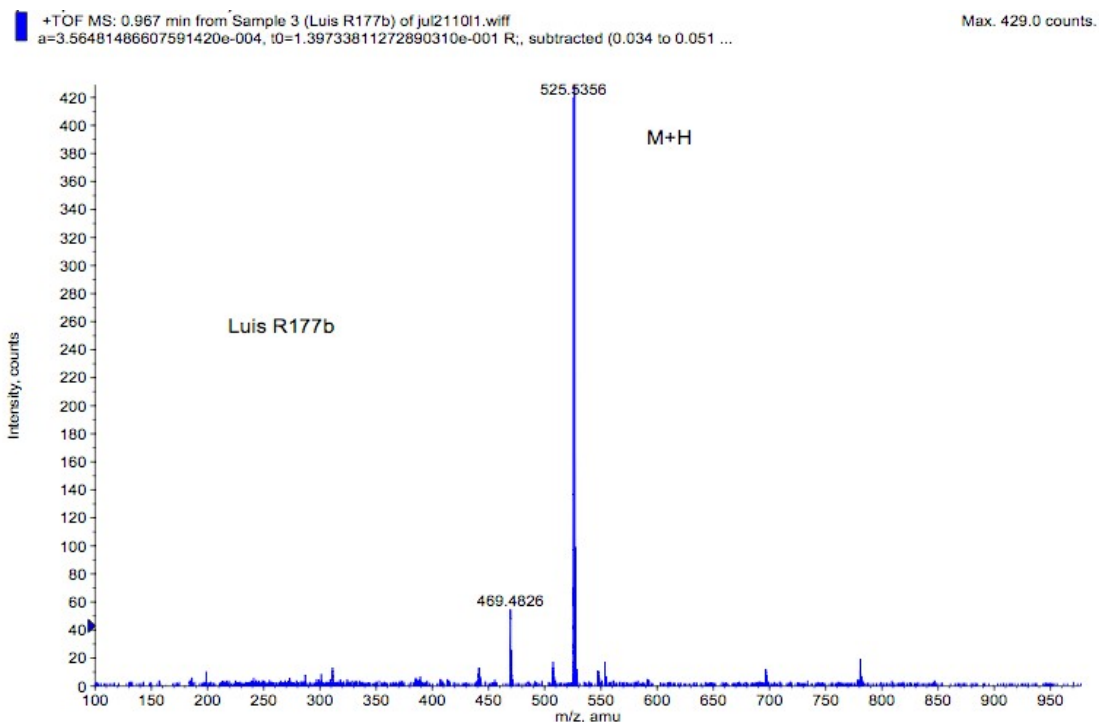


Figura X.197. Espectros de IR y MS del compuesto **19o₁₃**.

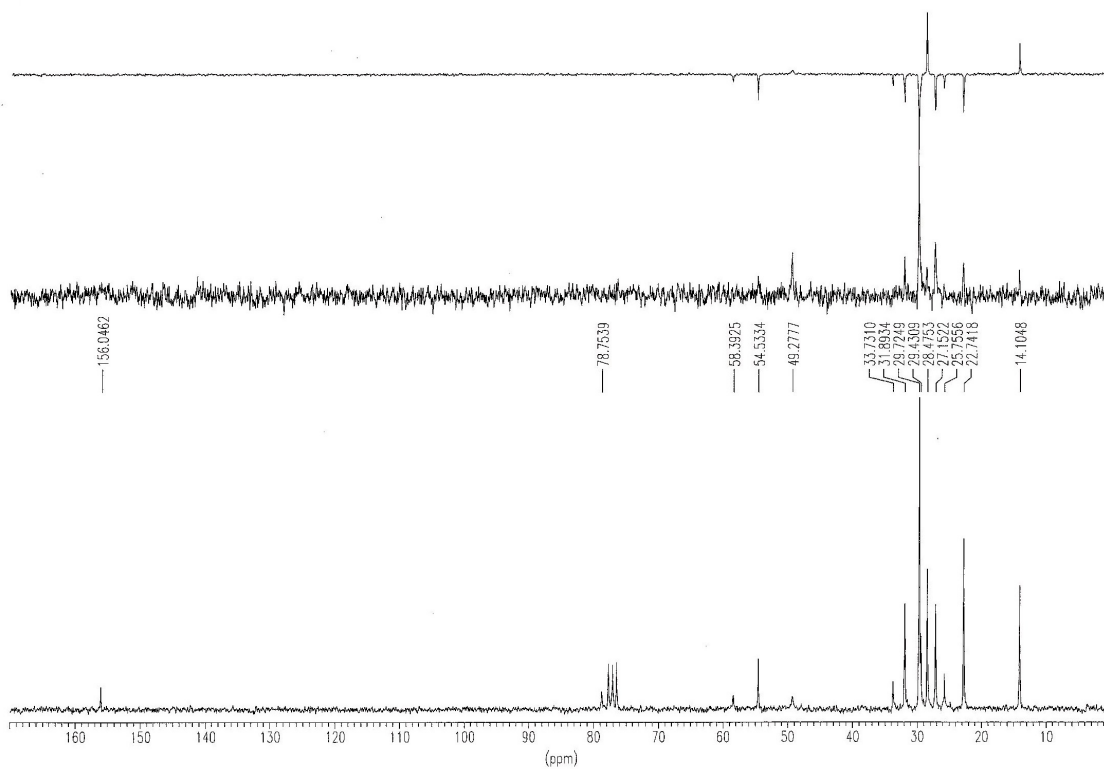
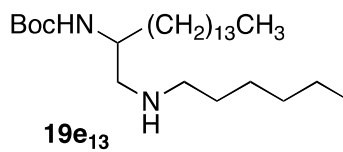
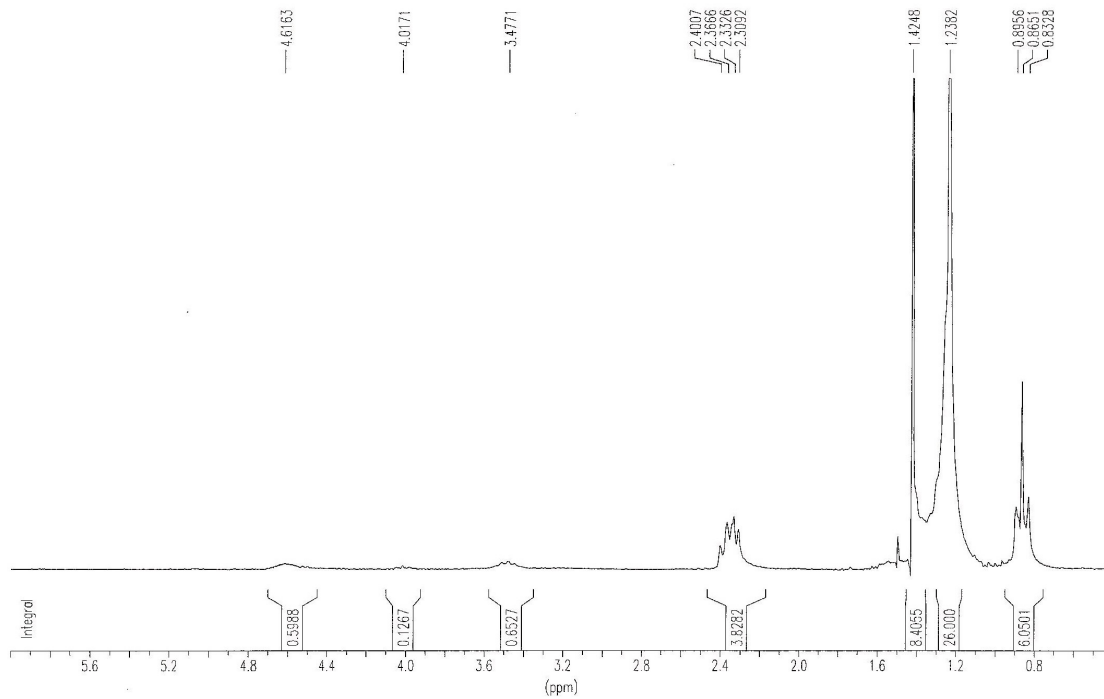


Figura X.198. Espectros de RMN ^1H y ^{13}C del compuesto **19e13**.

+TOF MS: 1.000 min from Sample 4 (Luis R177a) of jul211011.wiff
a=3.56362074666041840e-004, t0=-2.02095219848124540e+001 R_i, subtracted (0.033 to 0.05... Max. 456.0 counts.

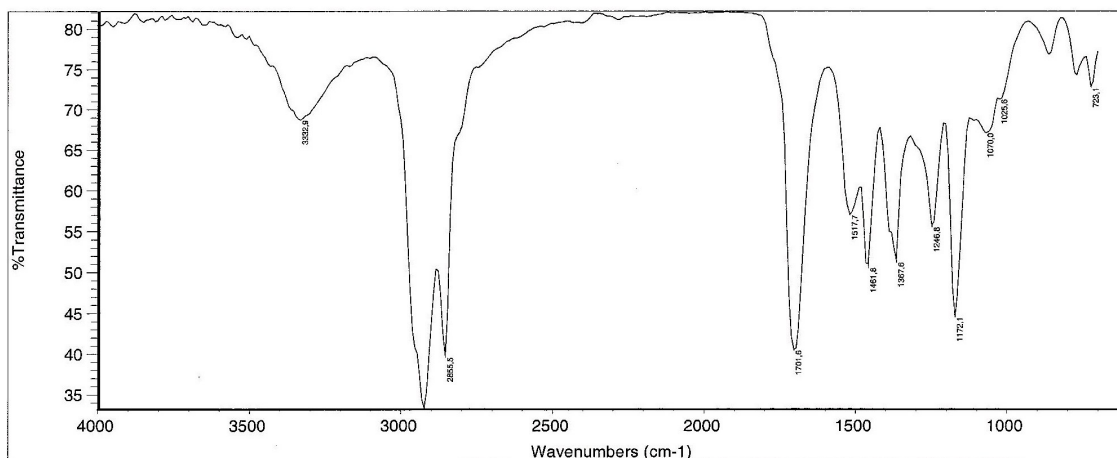
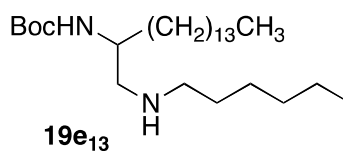
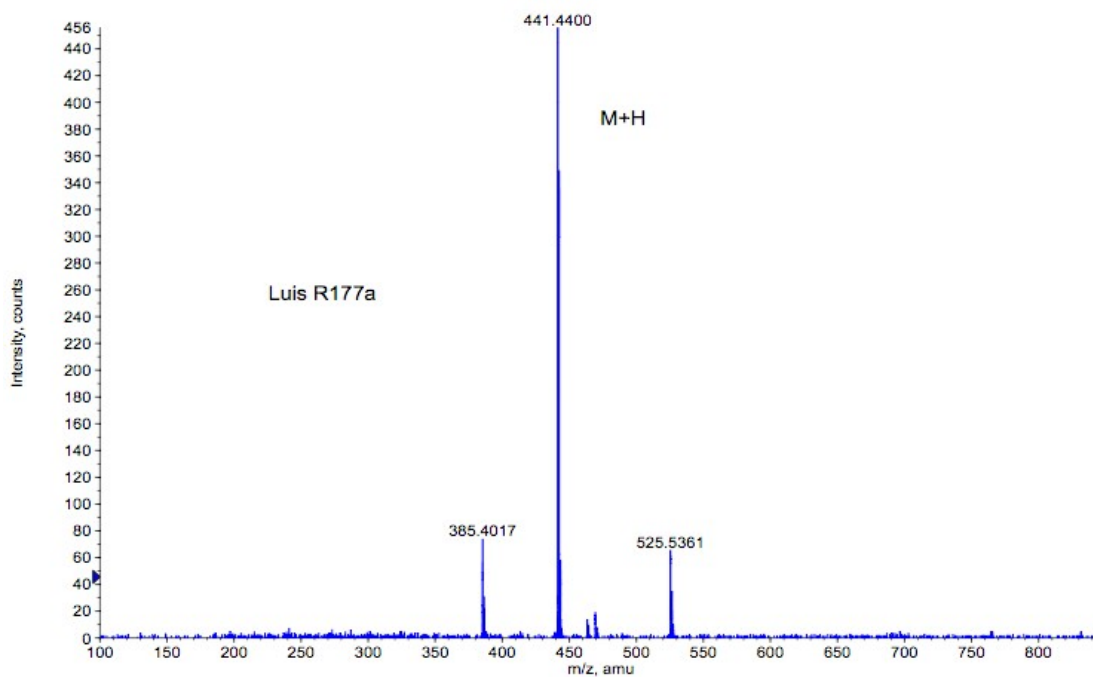


Figura X.199. Espectros de IR y MS del compuesto **19e₁₃**.

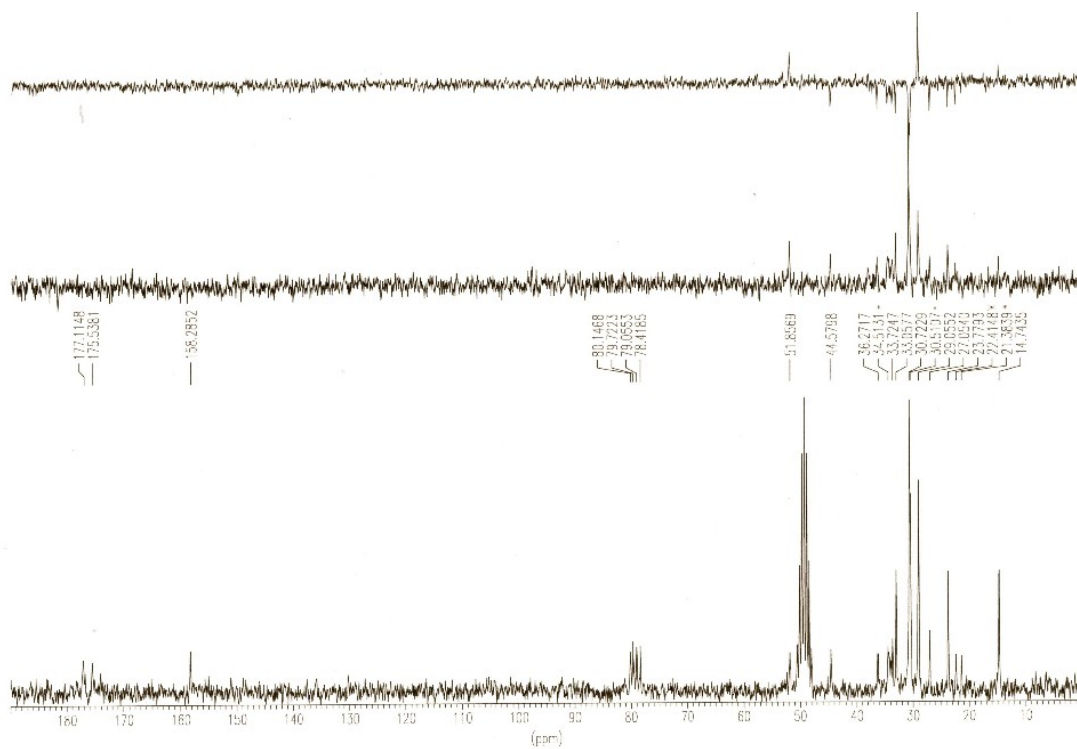
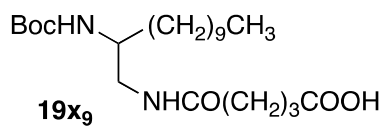
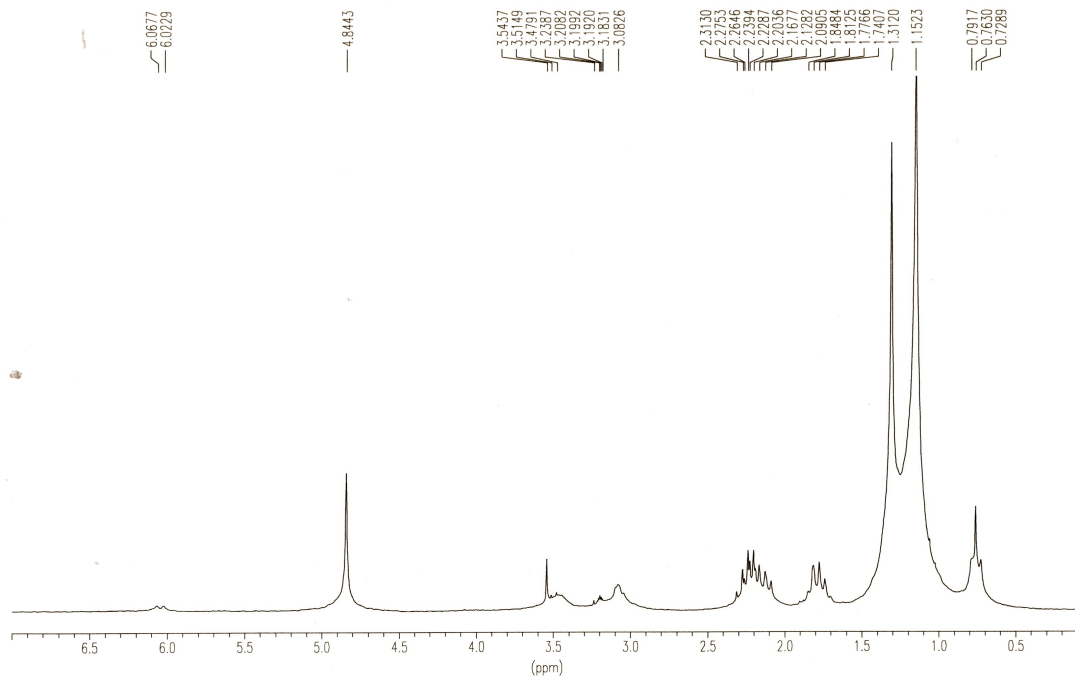


Figura X.200. Espectros de RMN ^1H y ^{13}C del compuesto $\mathbf{19x_9}$.

+TOF MS: 0.384 min from Sample 5 (LuisR47) of feb110915.wiff
a=3.56440320299146060e-004, t0=-1.01632963637566720e+001 R., subtracted (0.017 to 0...

Max. 383.5 counts.

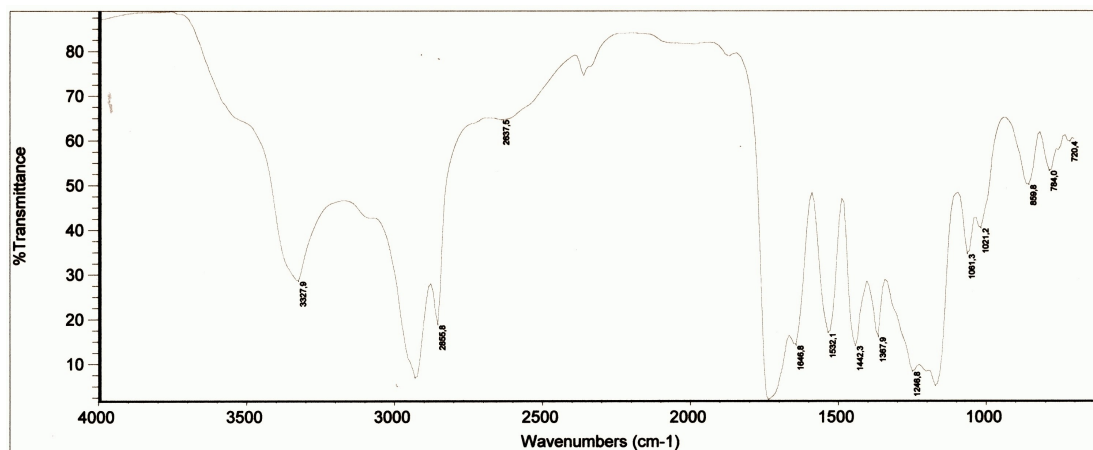
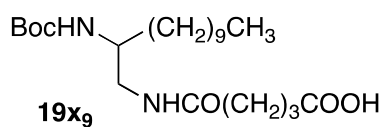
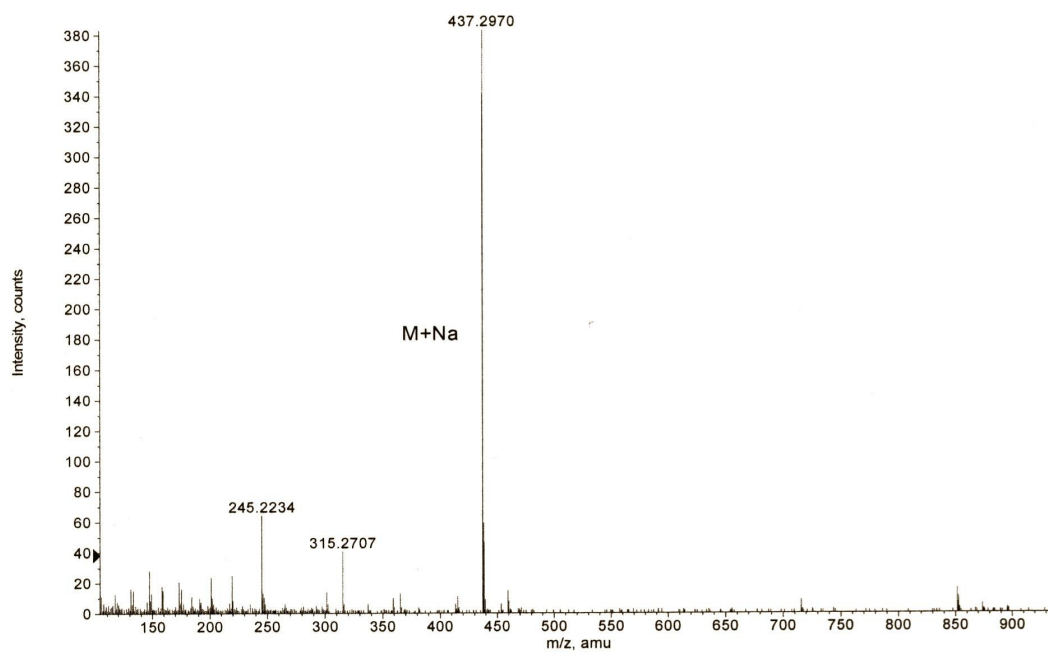


Figura X.201. Espectros de IR y MS del compuesto **19x₉**.

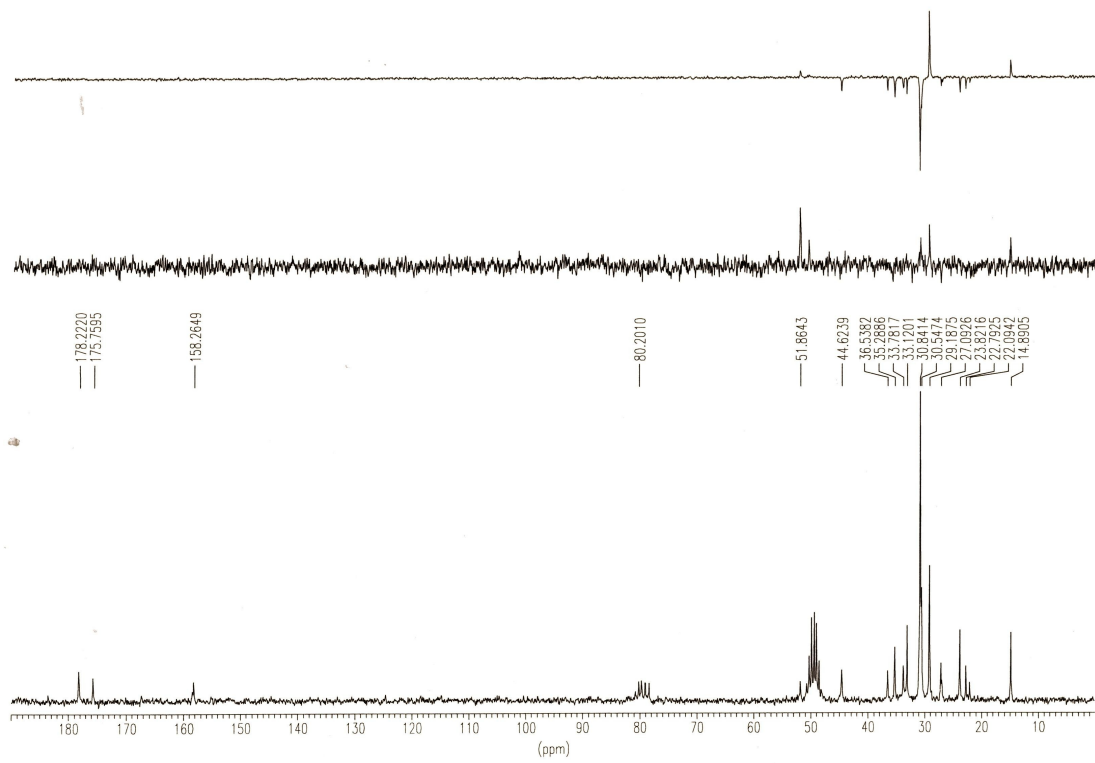
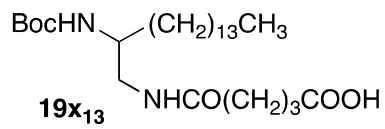
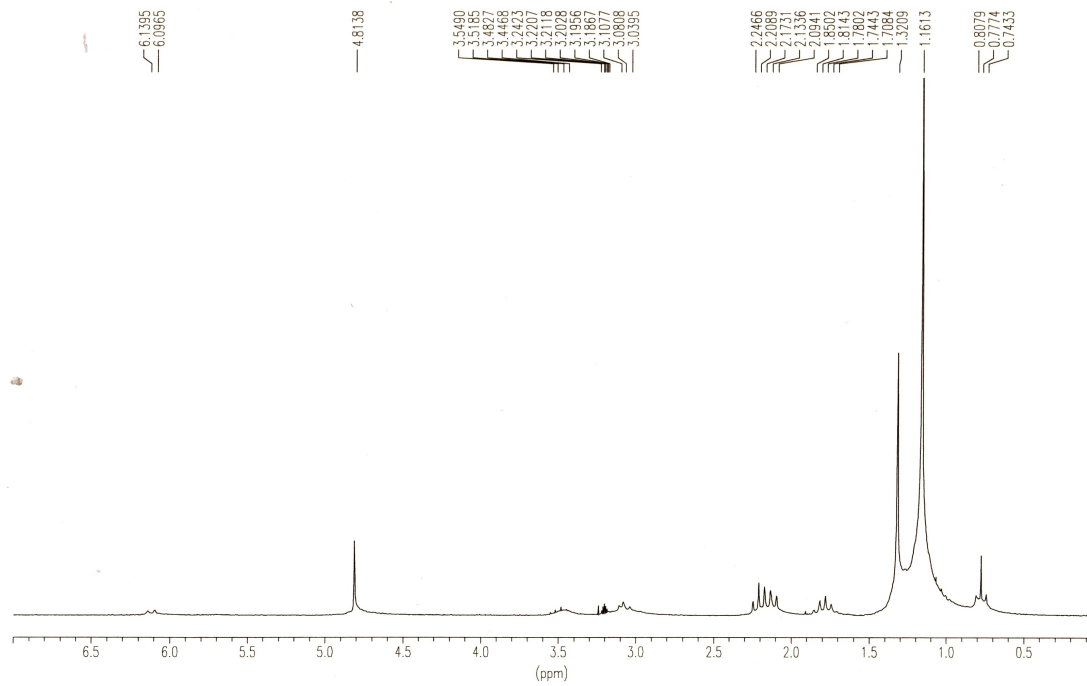


Figura X.202. Espectros de RMN ^1H y ^{13}C del compuesto 19x_{13} .

+TOF MS: 0.317 min from Sample 3 (LuisR43a) of feb110915.wiff
a=3.56440320299146060e-004, t0=-1.01632963637566720e+001 R; subtracted (0.017 to 0.017)

Max. 233.3 counts.

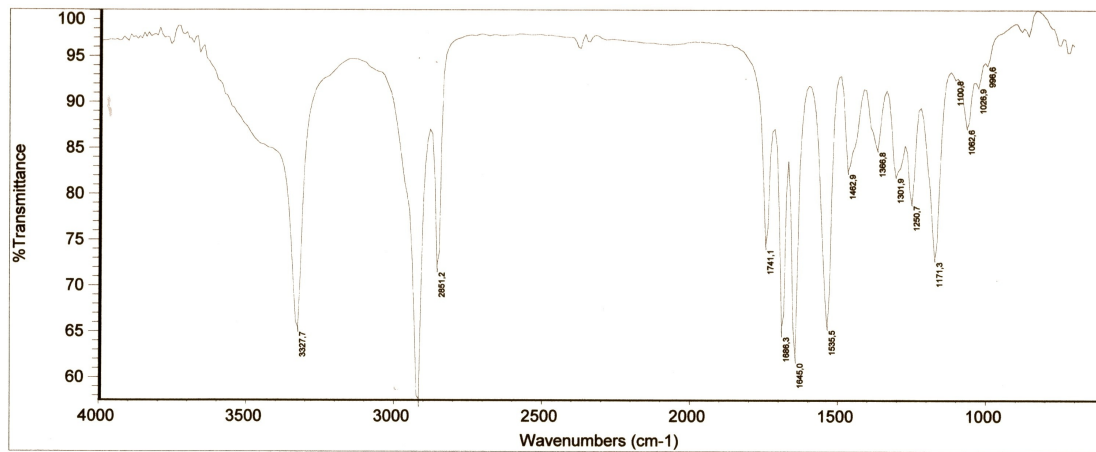
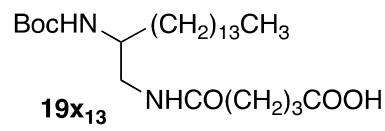
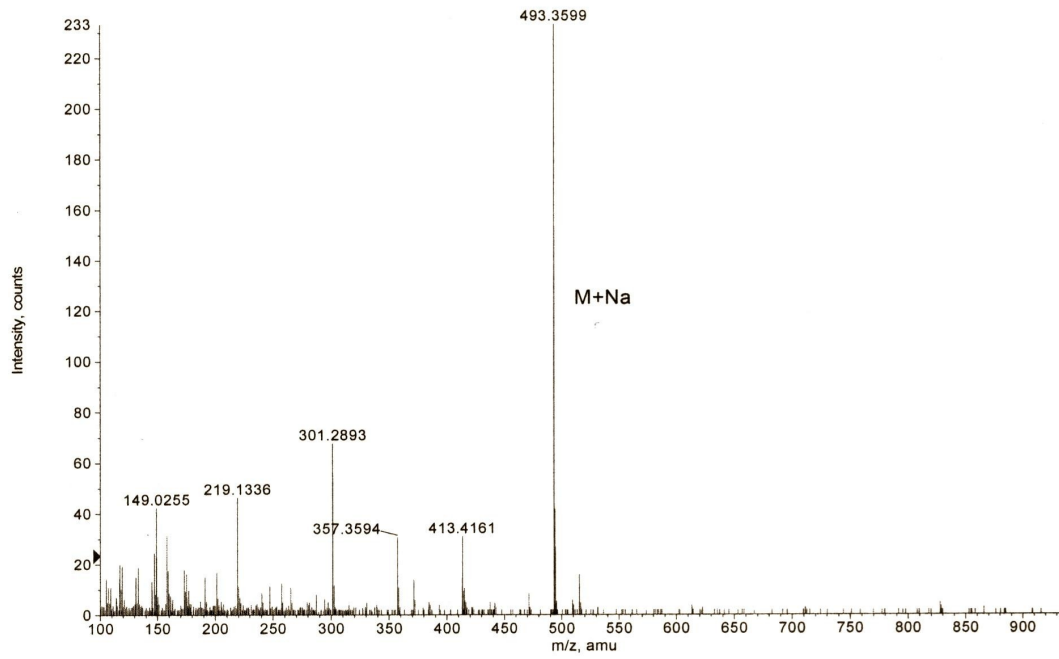


Figura X.203. Espectros de IR y MS del compuesto **19x₁₃**.

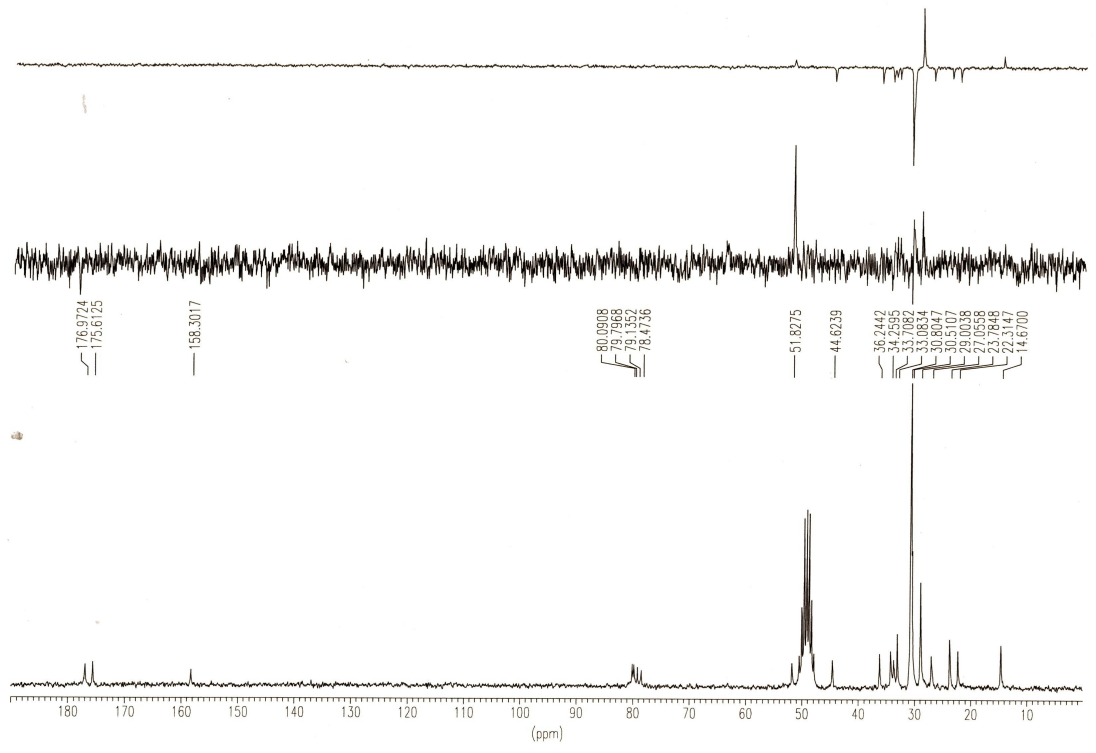
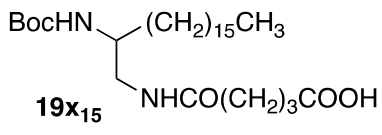
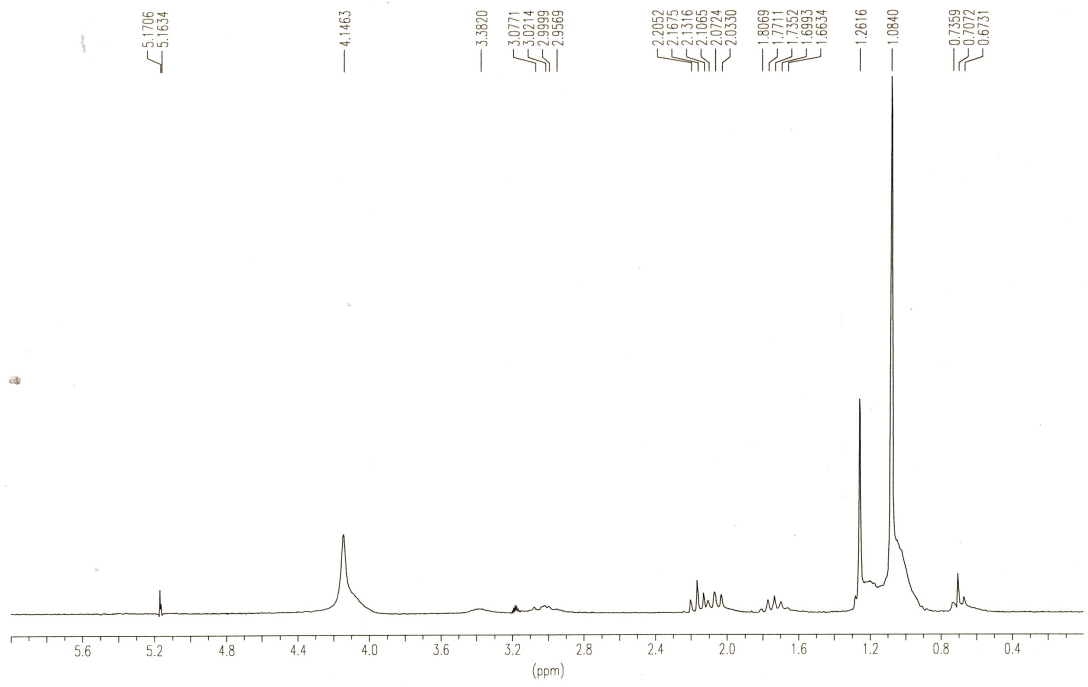


Figura X.204. Espectros de RMN ¹H y ¹³C del compuesto **19x₁₅**.

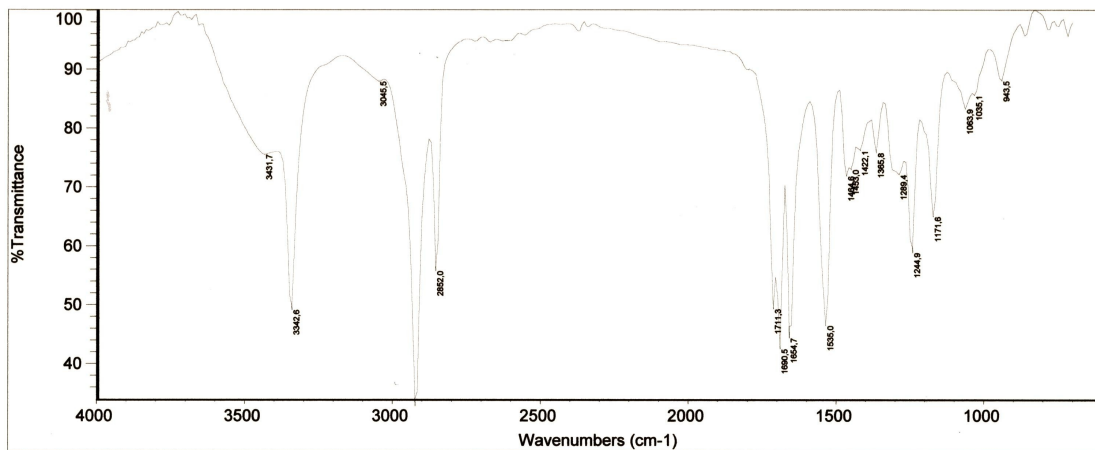
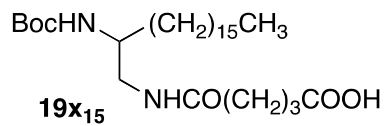
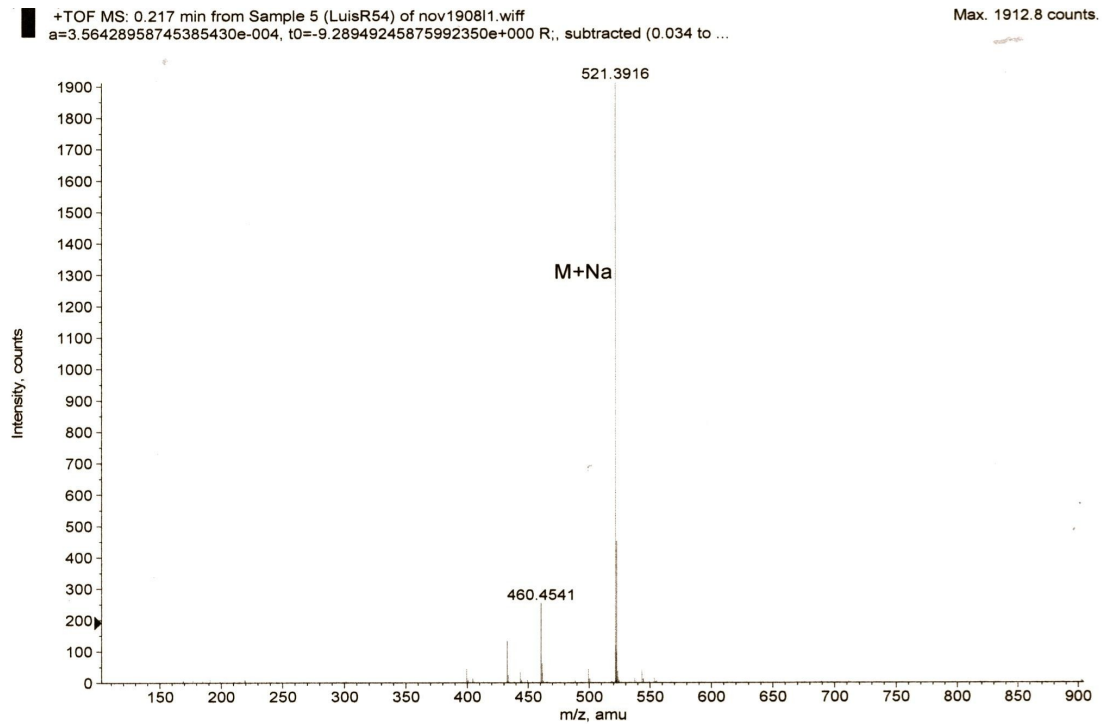


Figura X.205. Espectros de IR y MS del compuesto **19x15**.

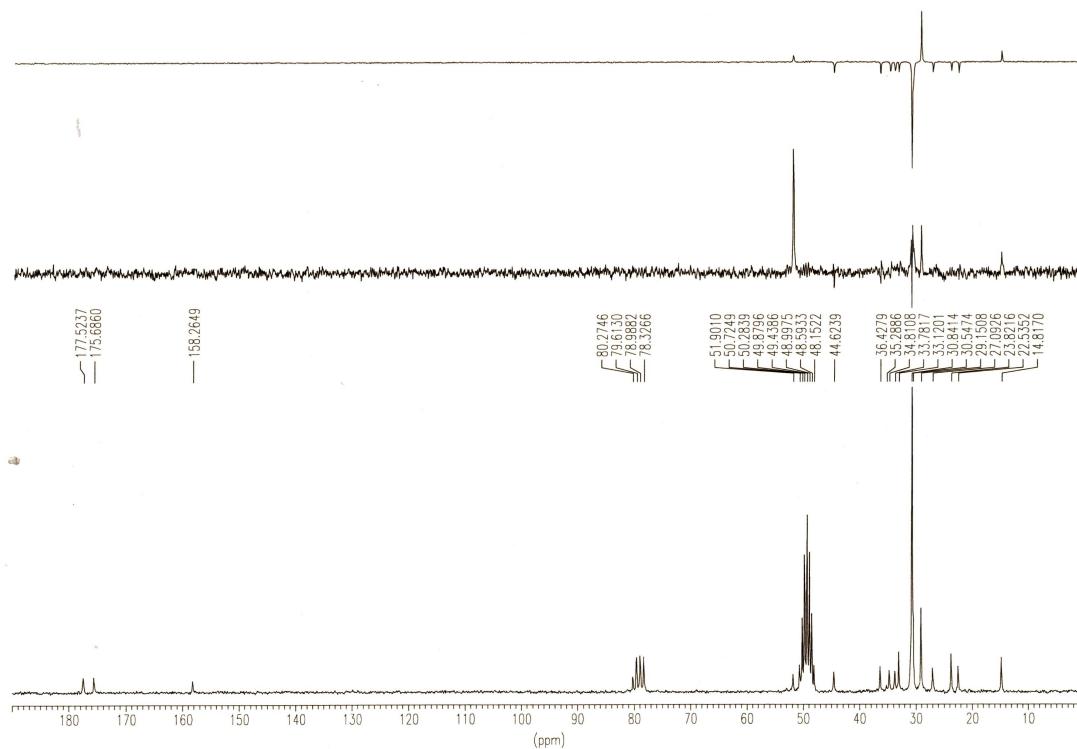
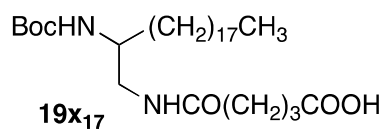
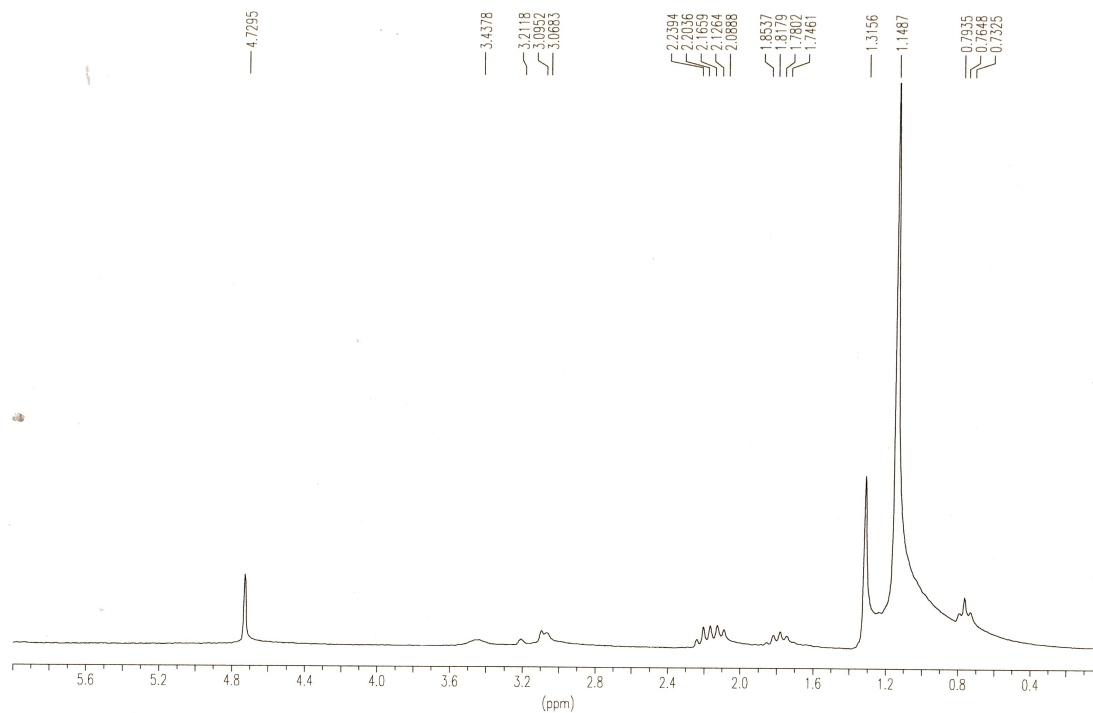


Figura X.206. Espectros de RMN ^1H y ^{13}C del compuesto $\mathbf{19x_{17}}$.

+TOF MS: 0.283 min from Sample 5 (LuisR62) of abr020912.wiff
a=3.56469745679635270e-004, t0=-1.12100976356996400e+001 R., subtracted (0.033 to 0....

Max. 70.0 counts.

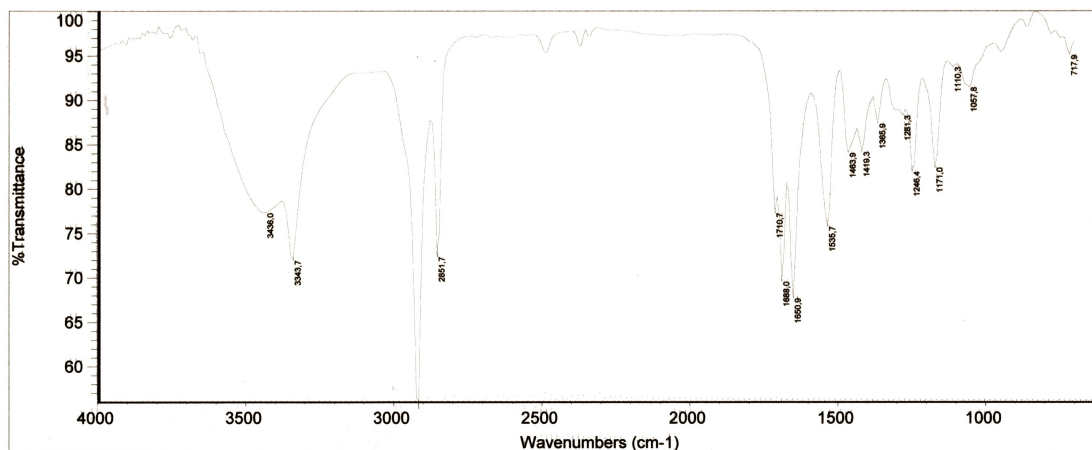
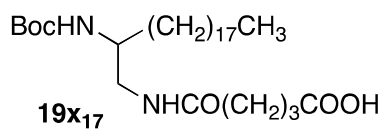
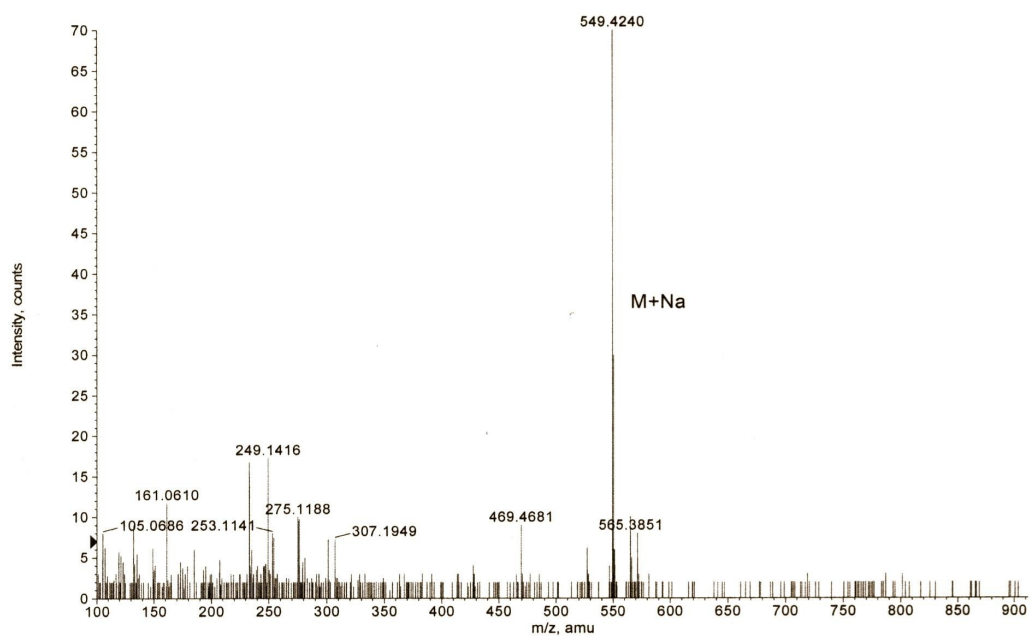


Figura X.207. Espectros de IR y MS del compuesto **19x₁₇**.

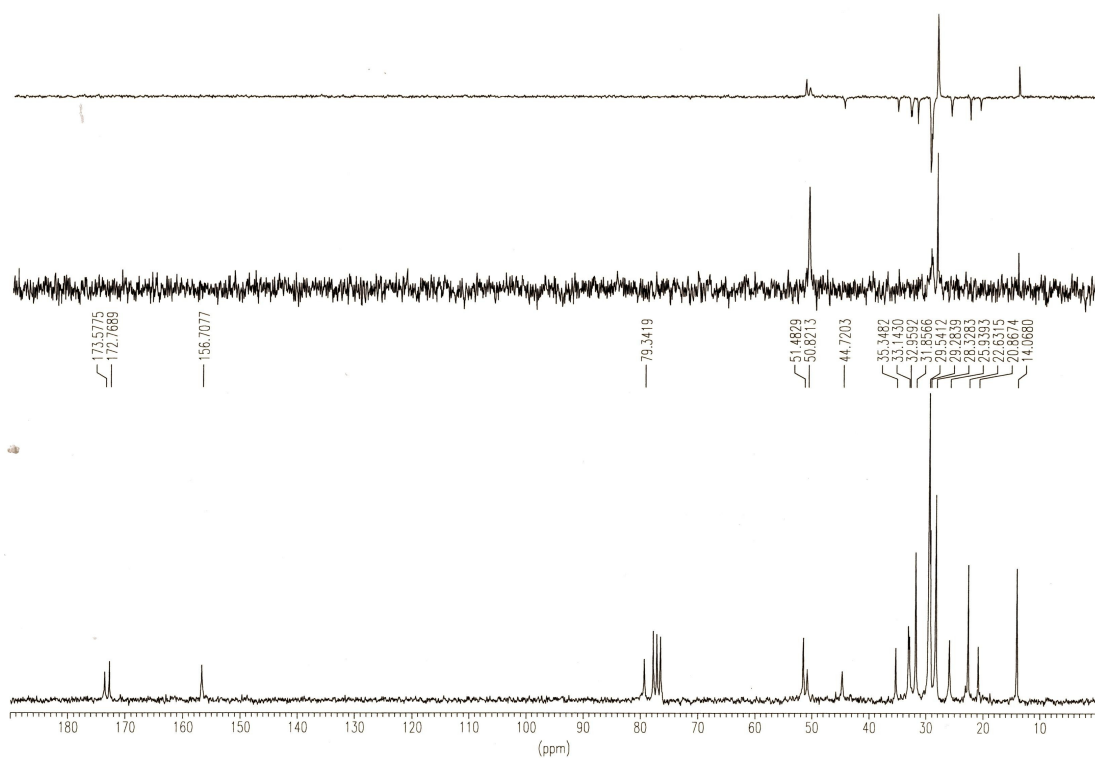
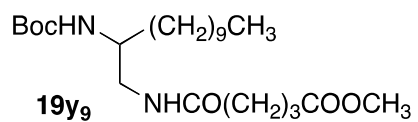
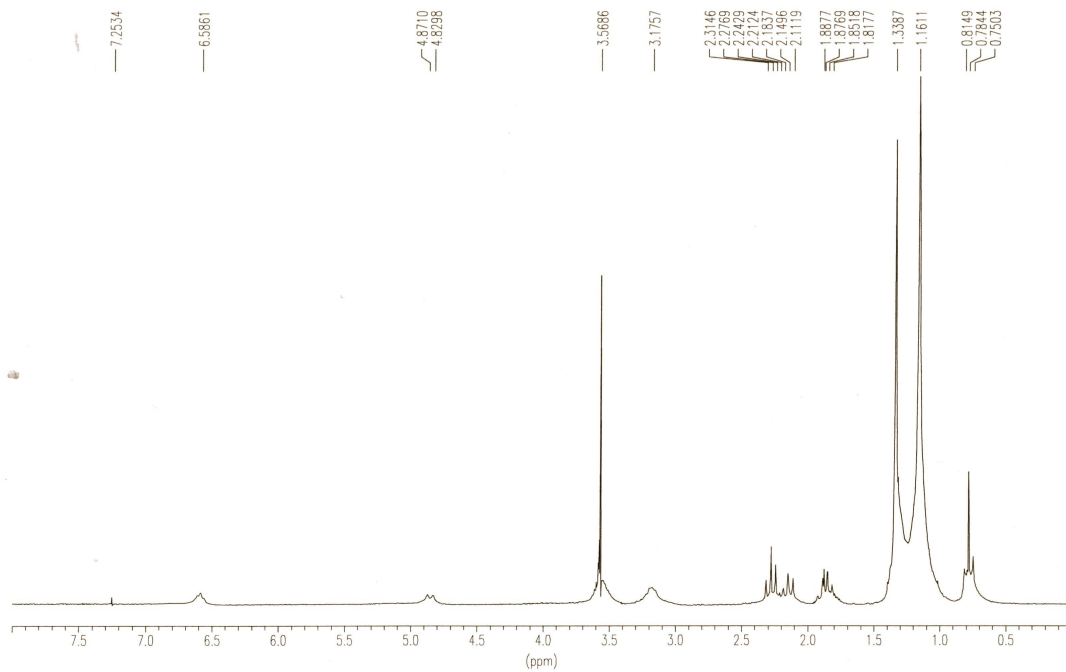


Figura X.208. Espectros de RMN ¹H y ¹³C del compuesto 19y₉.

+TOF MS: 0.984 min from Sample 2 (Luis R33) of jun260813.wiff
a=3.56067035688874060e-004, t0=-9.85804757621735920e+000 R;

Max. 1772.0 counts.

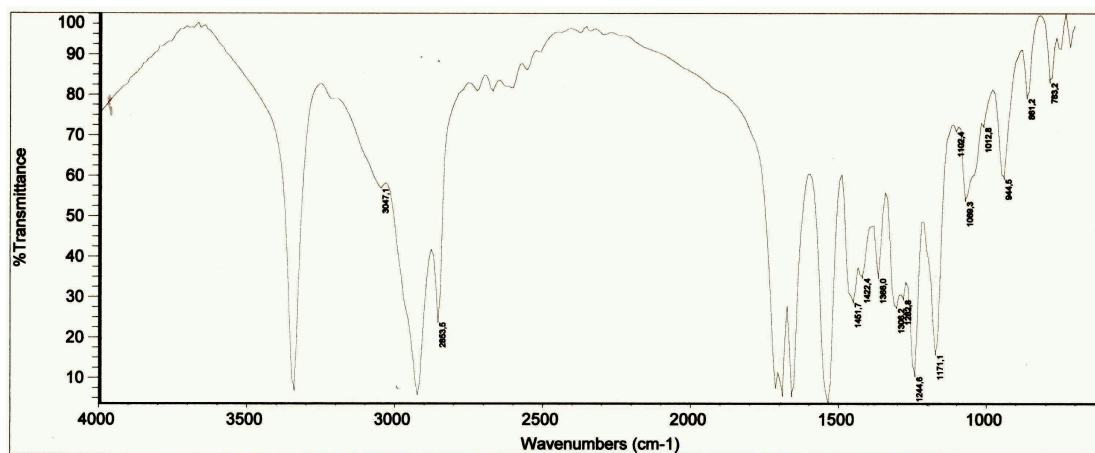
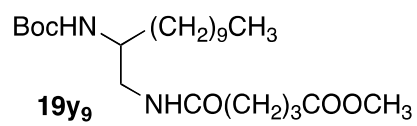
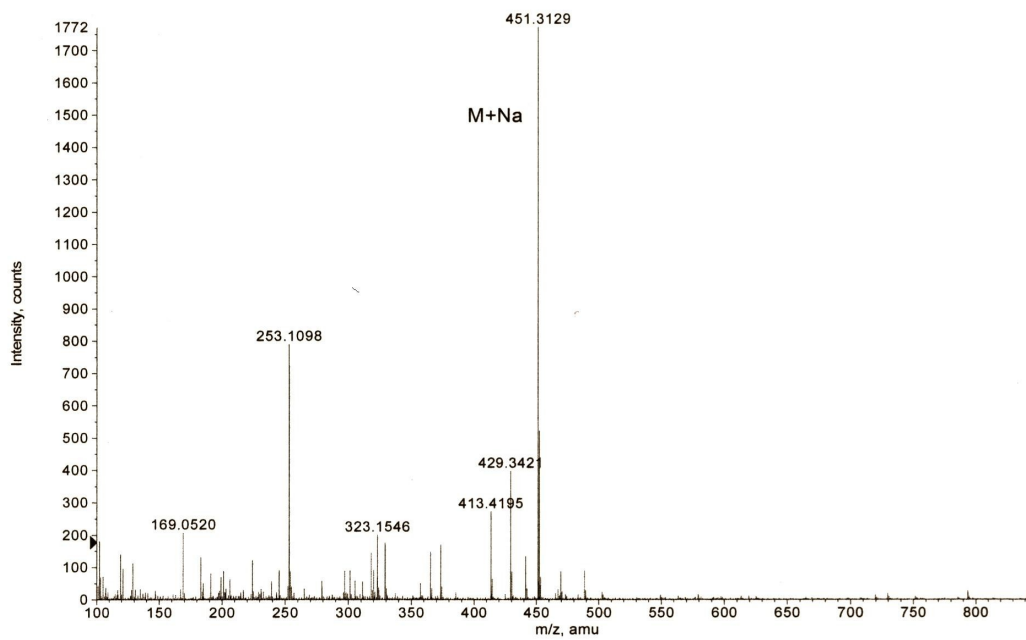


Figura X.209. Espectros de IR y MS del compuesto **19y₉**.

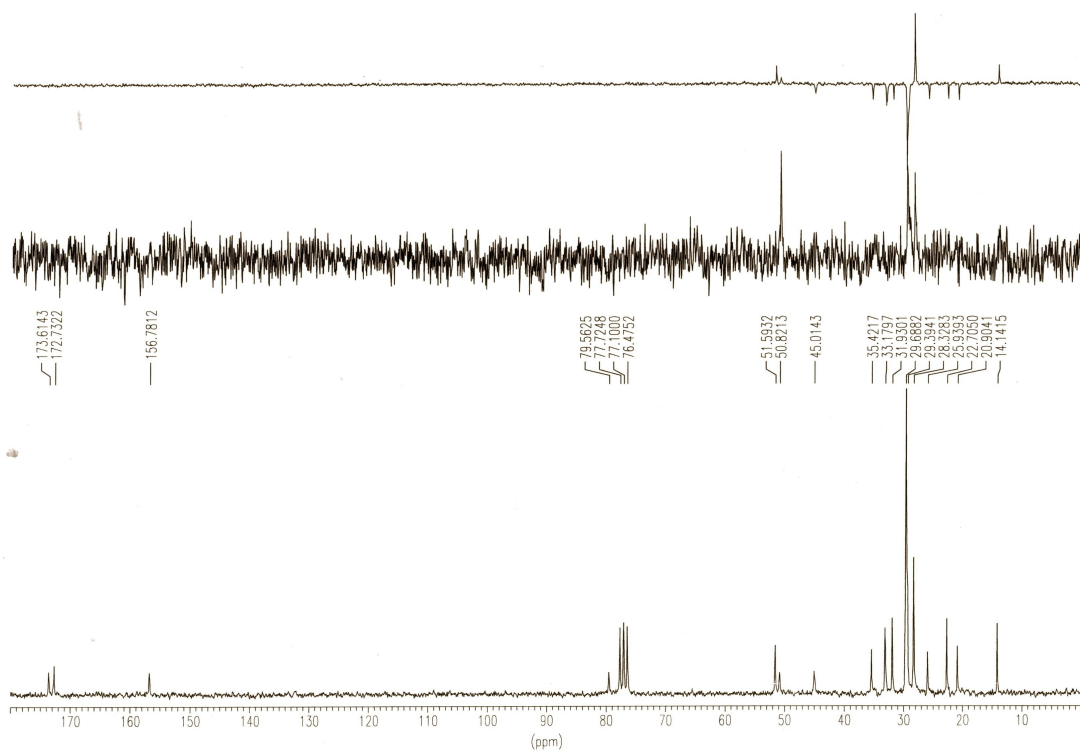
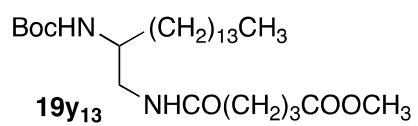
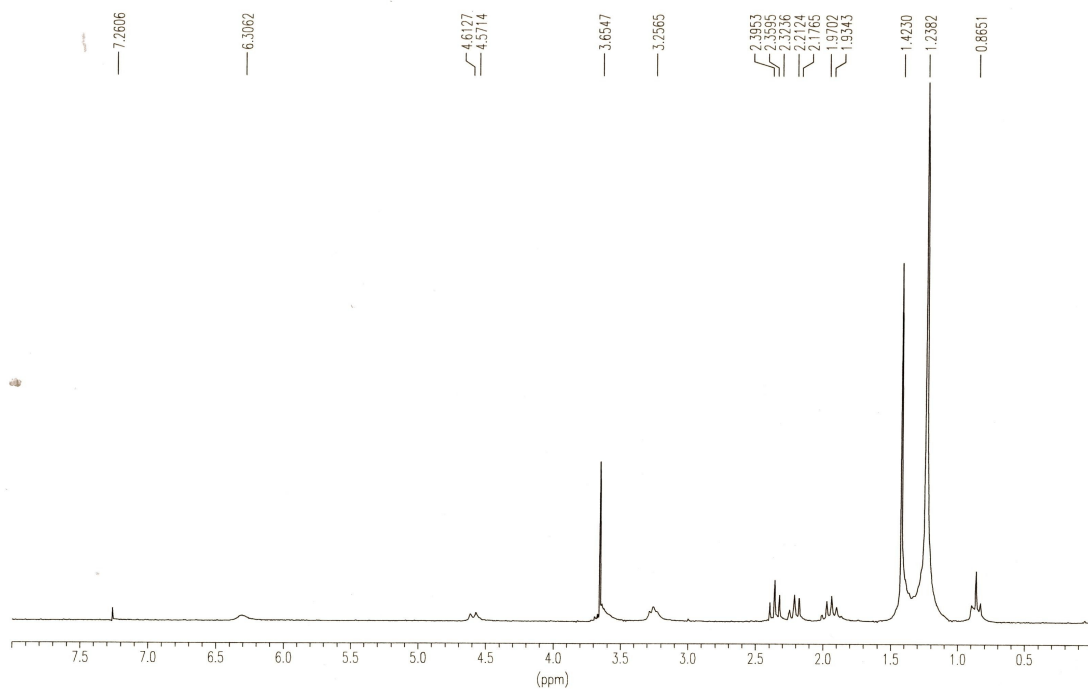


Figura X.210. Espectros de RMN ^1H y ^{13}C del compuesto $\mathbf{19y}_{13}$.

+TOF MS: 0.984 min from Sample 2 (Luis R29) of jun260812.wiff
a=3.56061267572464370e-004, t0=-1.07006827890520330e+001 R; subtracted (0.017 to ...

Max. 1920.0 counts.

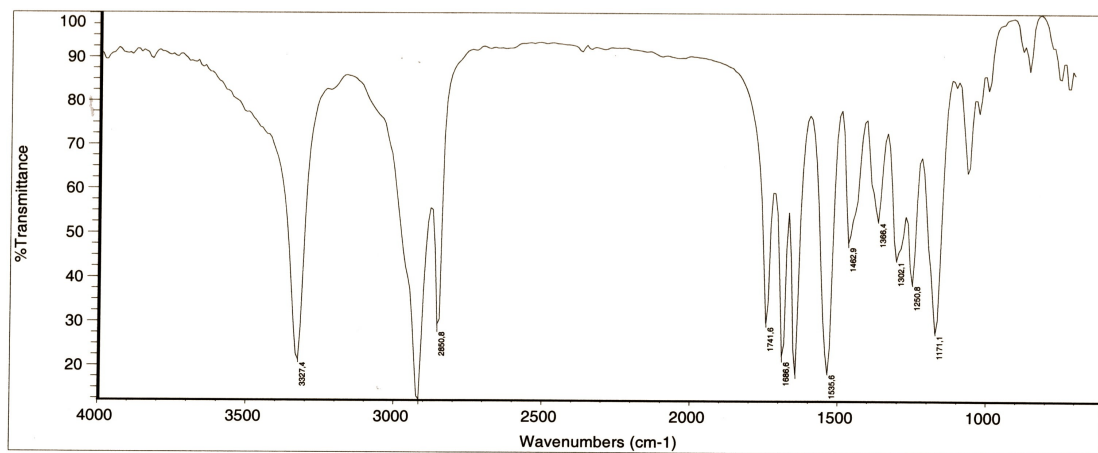
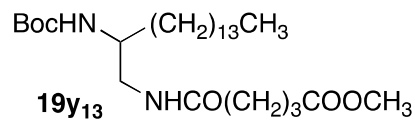
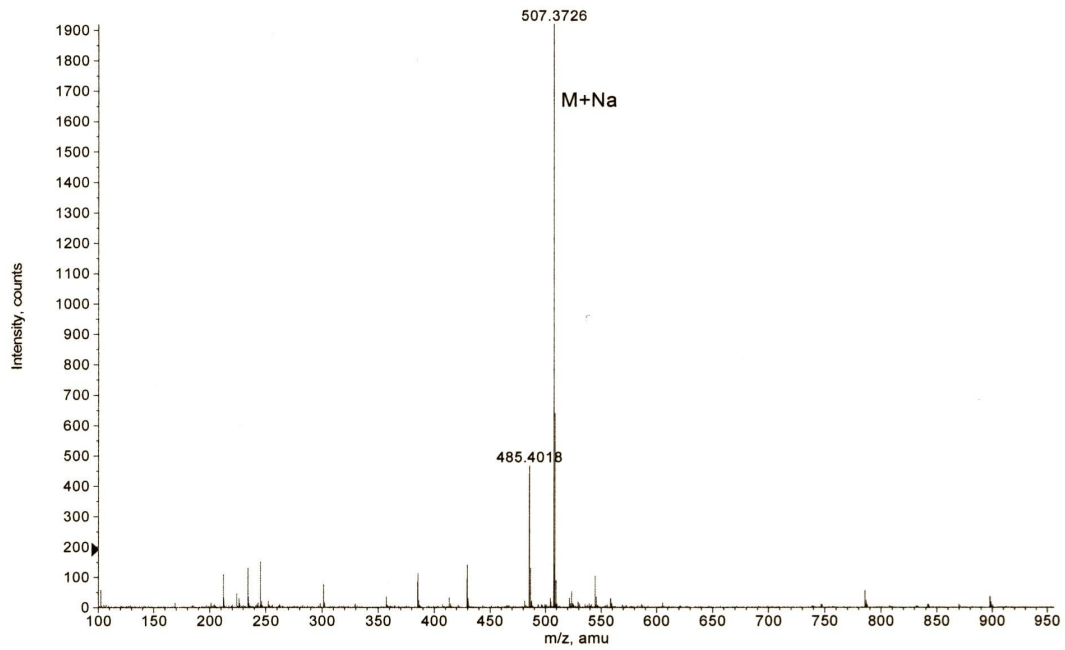


Figura X.211. Espectros de IR y MS del compuesto **19y₁₃**.

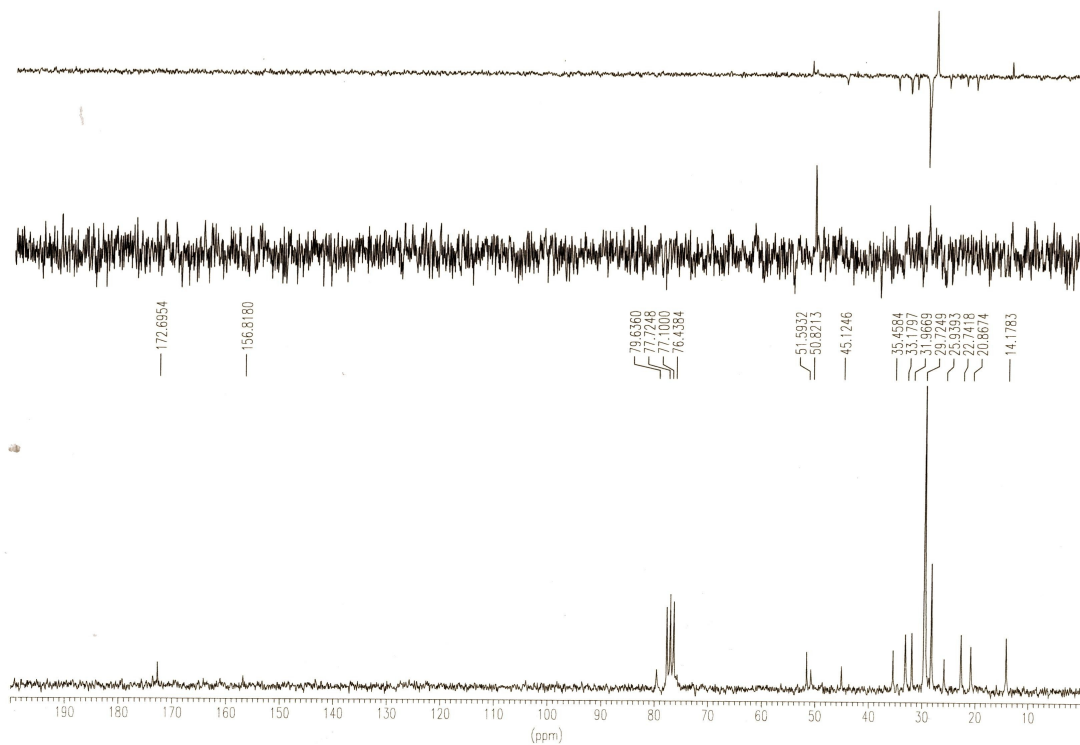
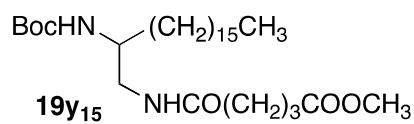
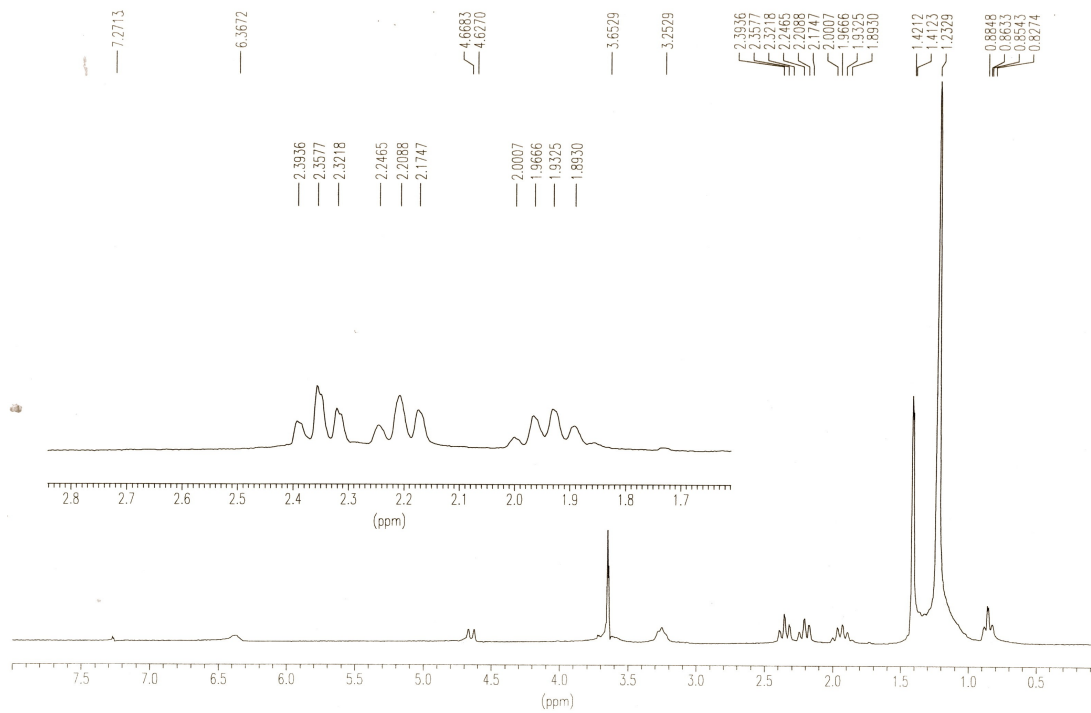


Figura X.212. Espectros de RMN ¹H y ¹³C del compuesto **19y₁₅**.

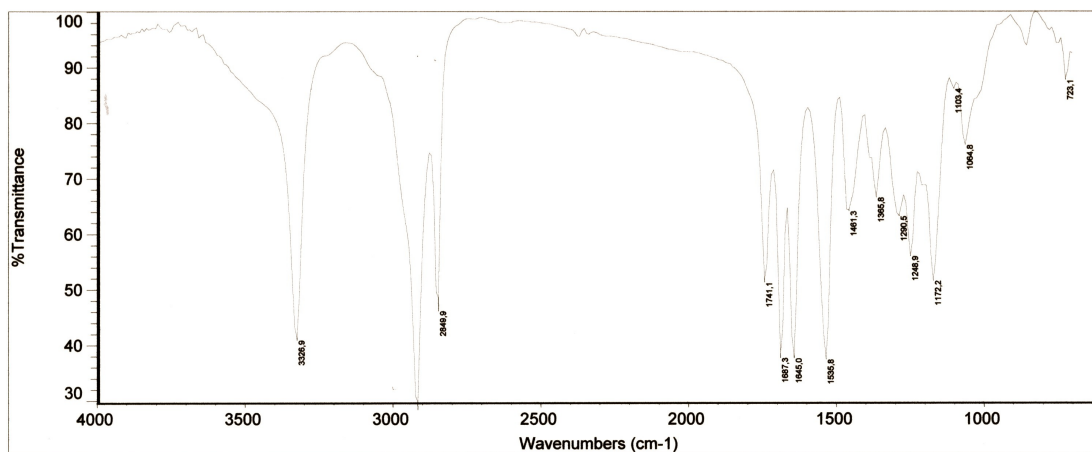
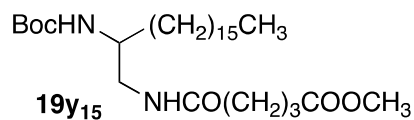
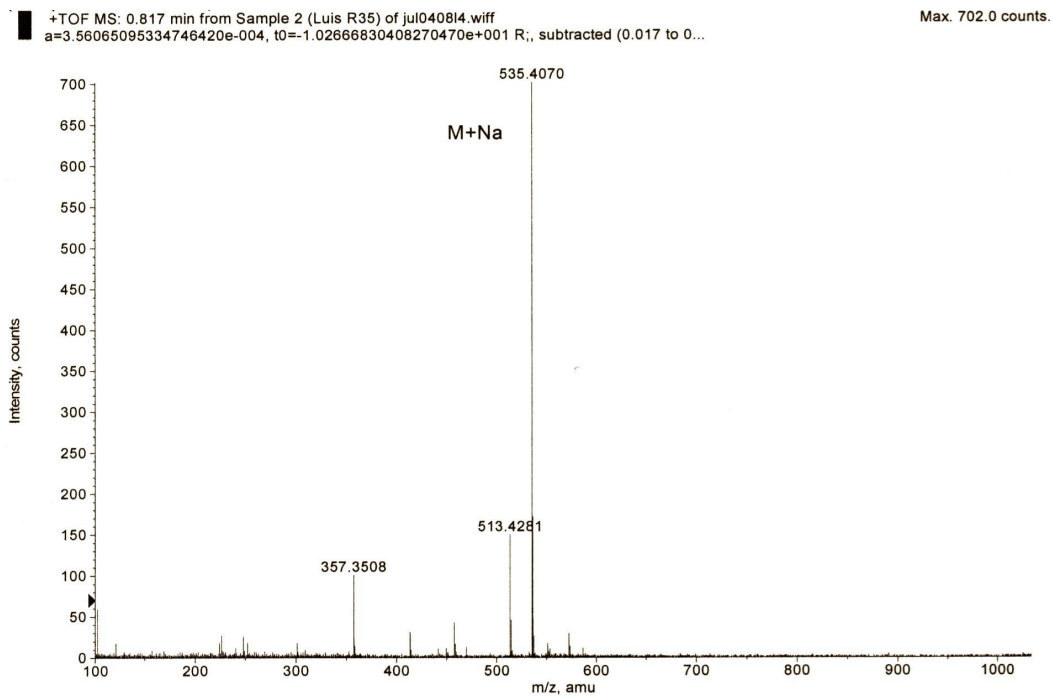


Figura X.213. Espectros de IR y MS del compuesto **19y₁₅**.

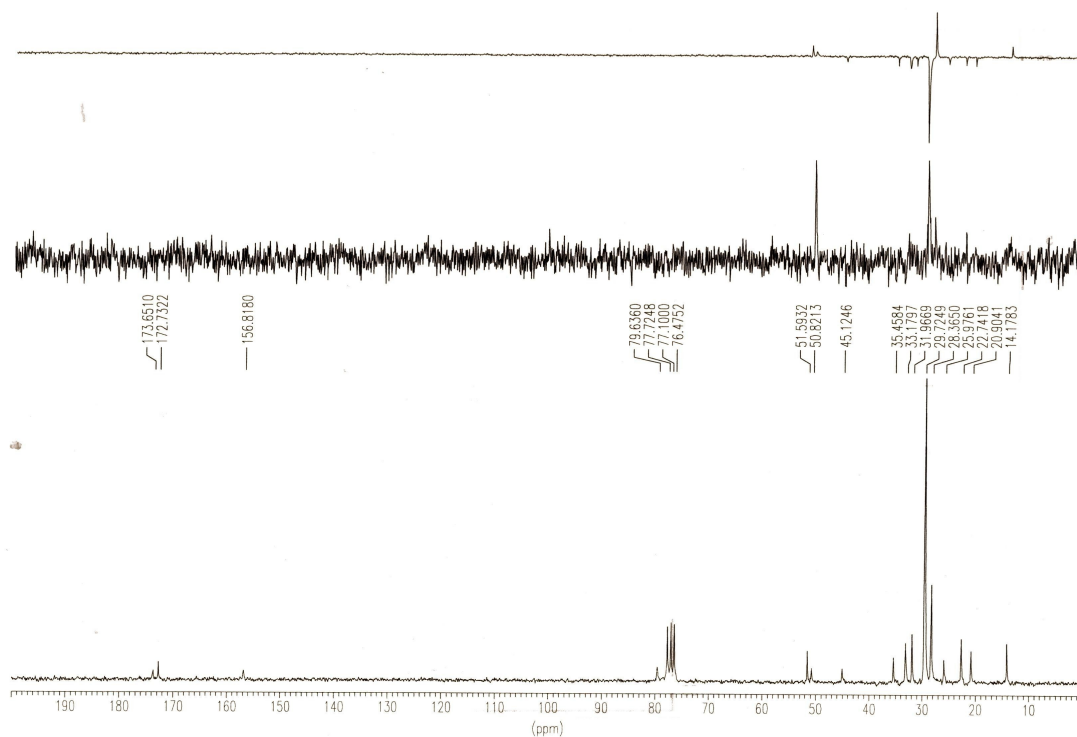
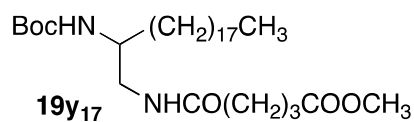
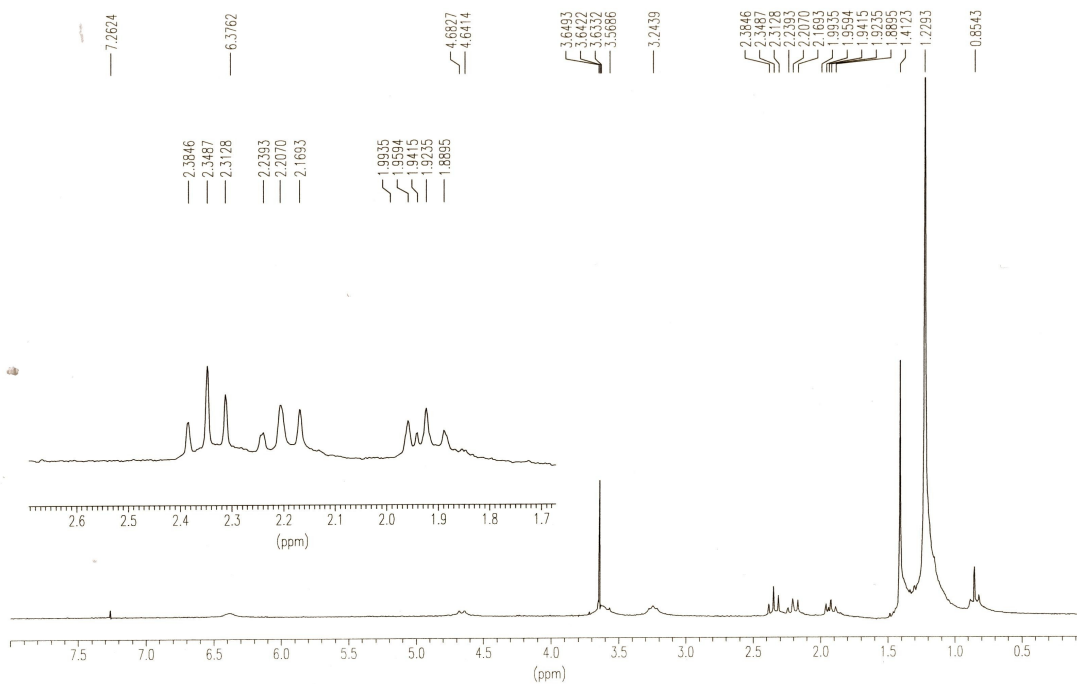


Figura X.214. Espectros de RMN ¹H y ¹³C del compuesto **19y₁₇**.

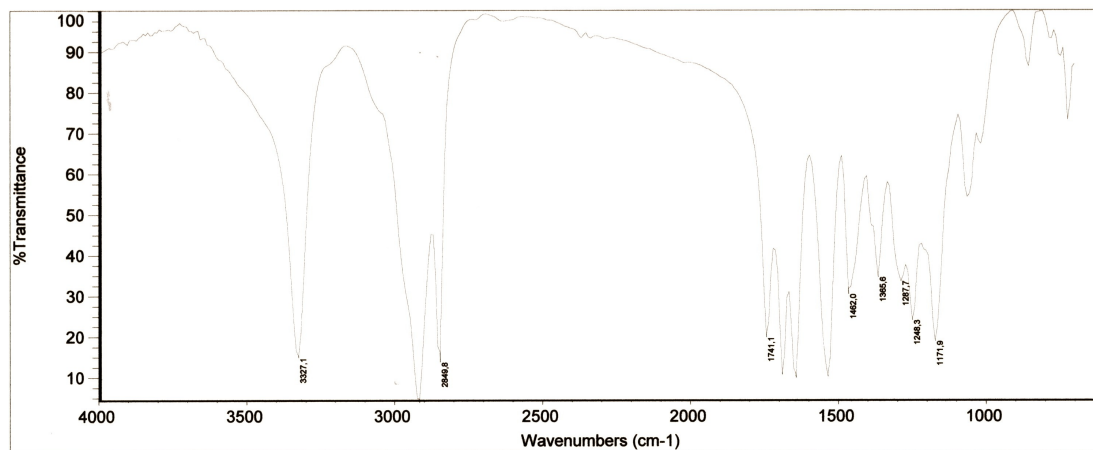
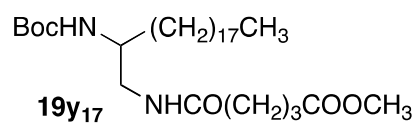
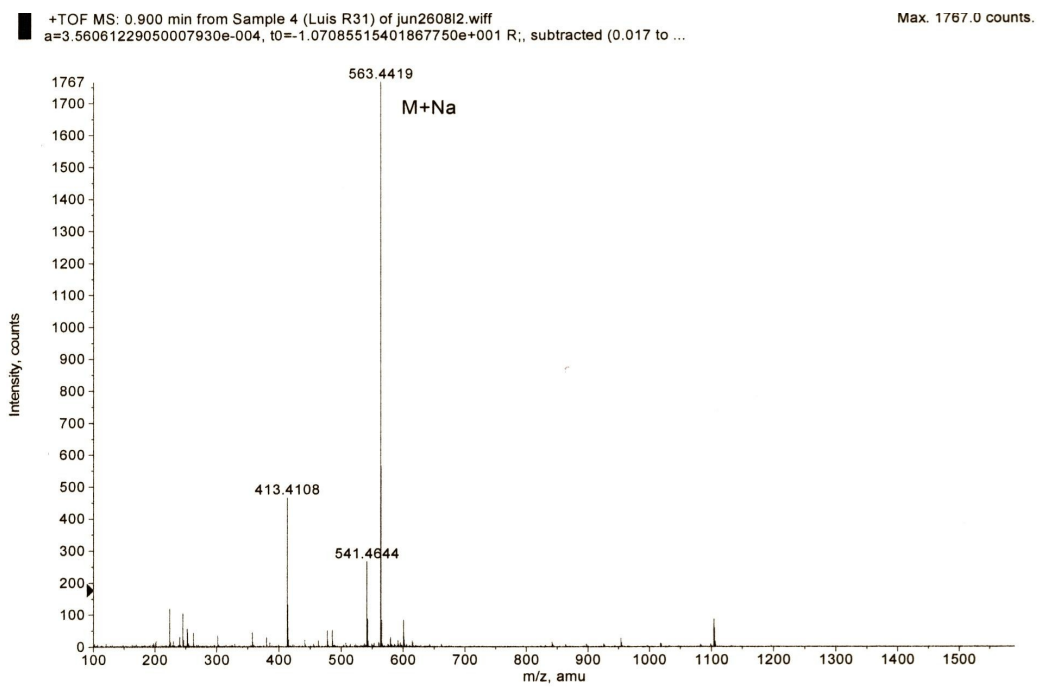


Figura X.215. Espectros de IR y MS del compuesto **19y₁₇**.

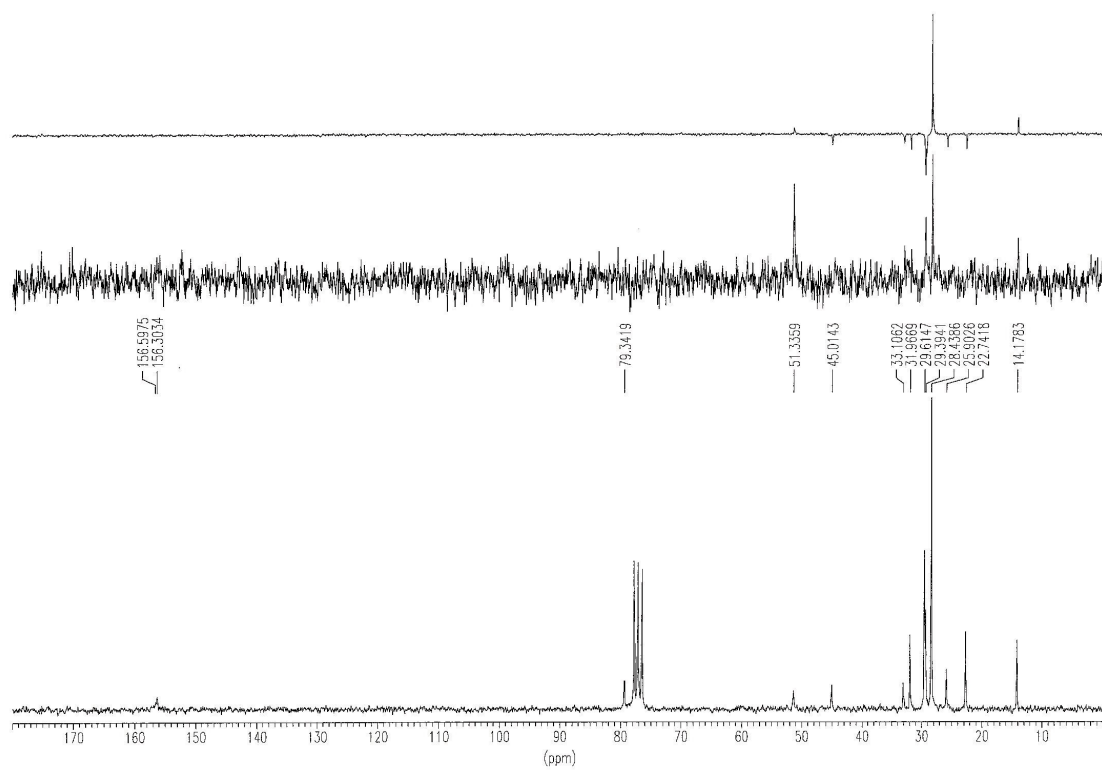
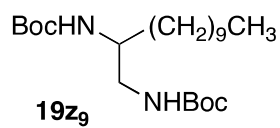
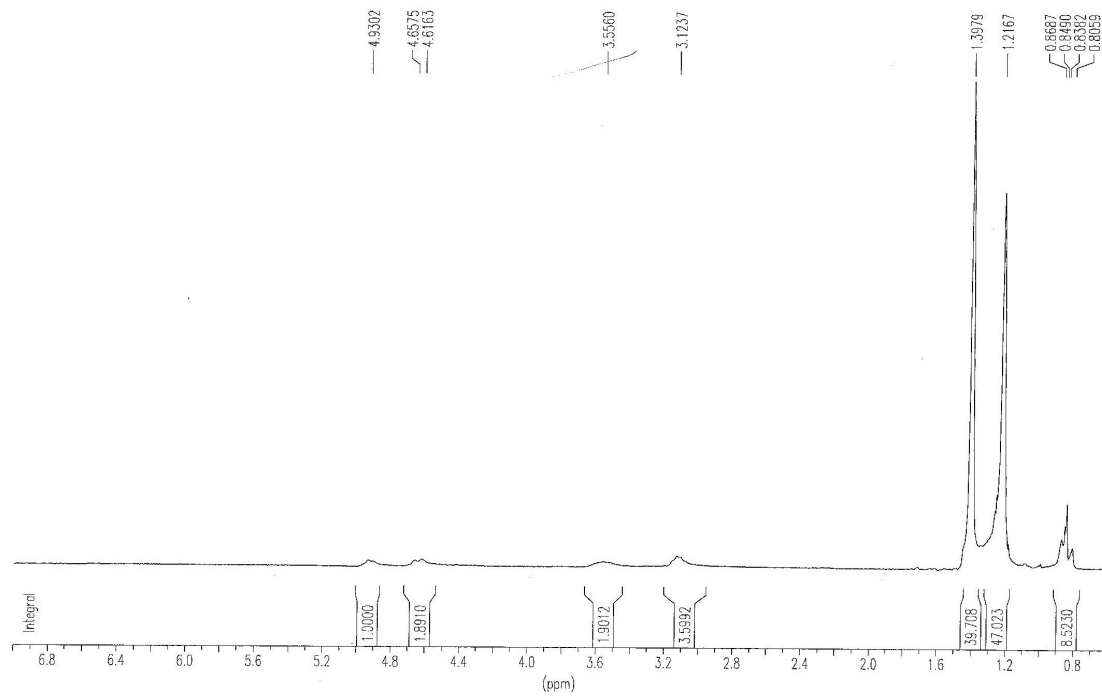


Figura X.216. Espectros de RMN ^1H y ^{13}C del compuesto **19z₉**.

+TOF MS: 0.433 min from Sample 3 (Luis R143) of feb171912.wiff
a=3.56409173406110780e-004, t0=-1.03174931623907470e+001 R_t, subtracted (0.017 to 0...

Max. 376.0 counts.

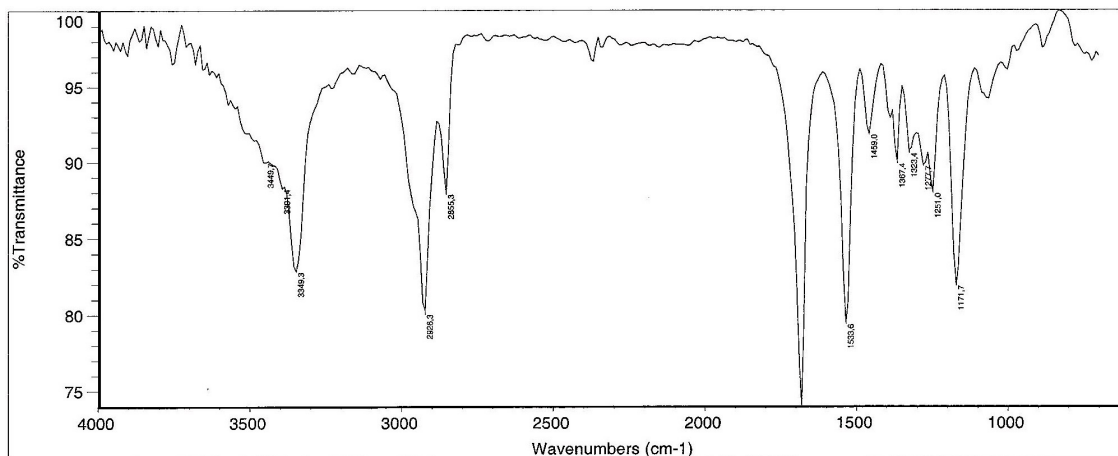
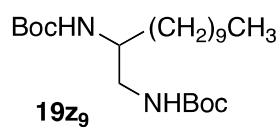
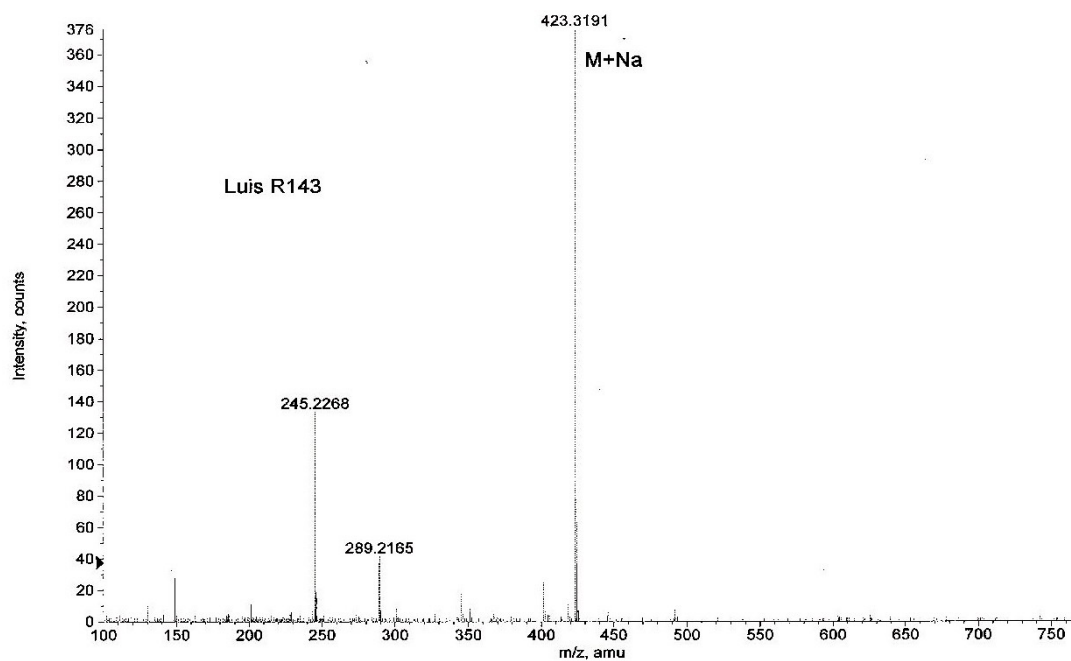


Figura X.217. Espectros de IR y MS del compuesto **19z₉**.

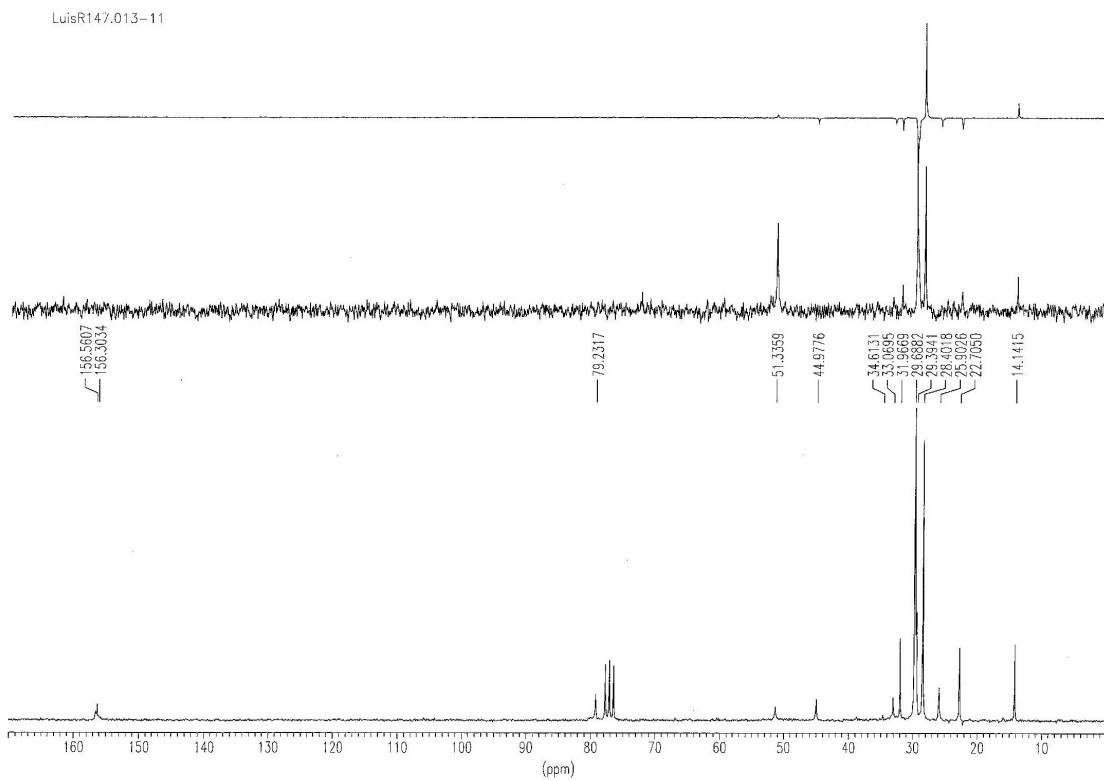
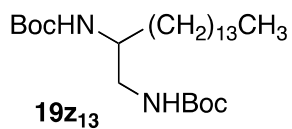
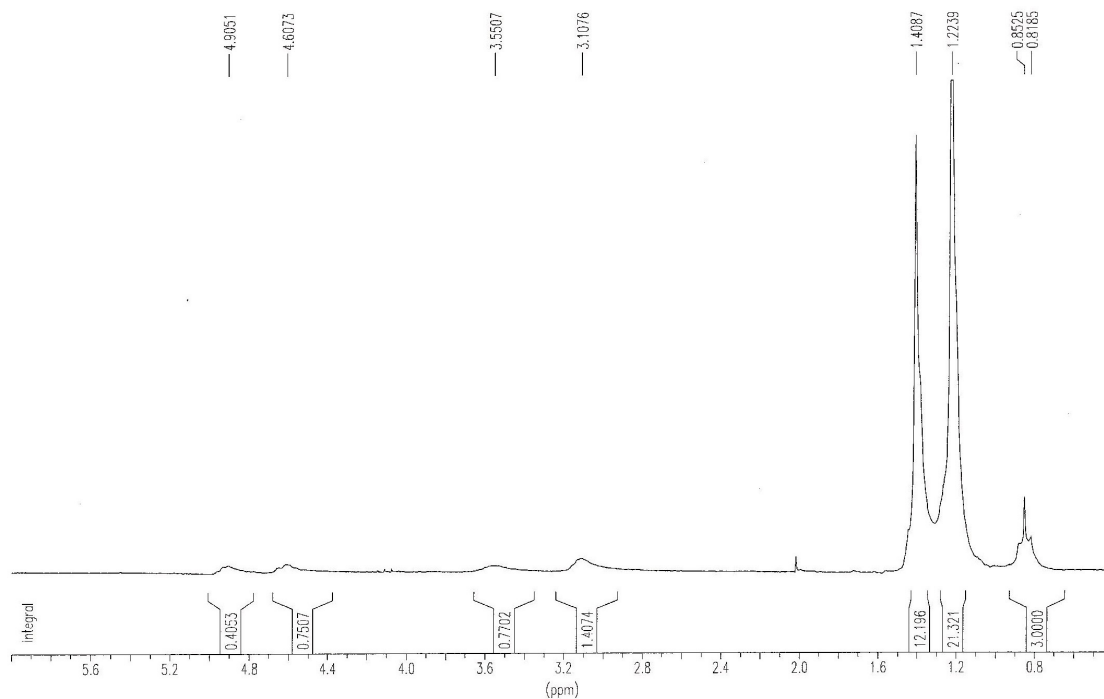


Figura X.218. Espectros de RMN ^1H y ^{13}C del compuesto **19z₁₃**.

+TOF MS: 0.251 min from Sample 5 (ref) of may111015.wiff
a=3.56356965707914080e-004, t0=-8.77258342793720660e+000 R., subtracted (0.034 to 0.067 ...
Max. 1585.0 counts.

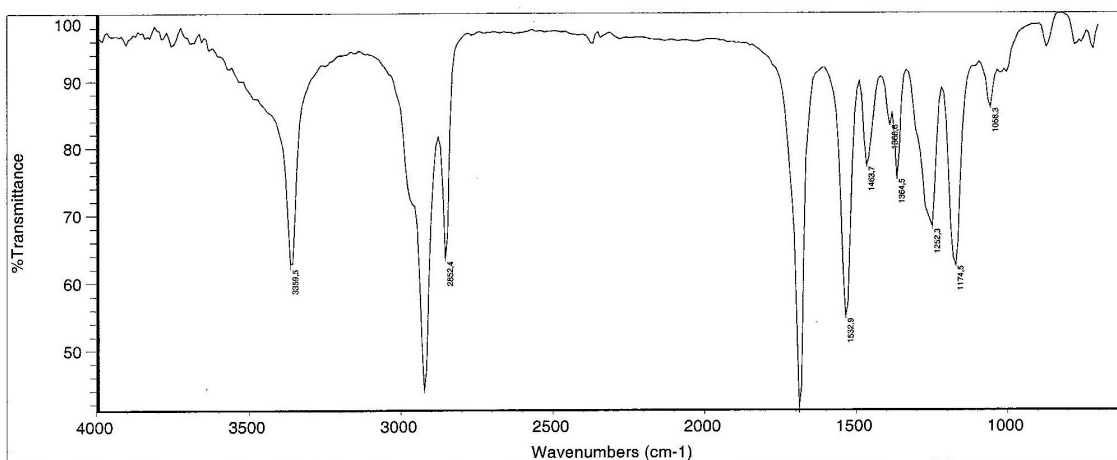
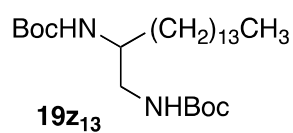
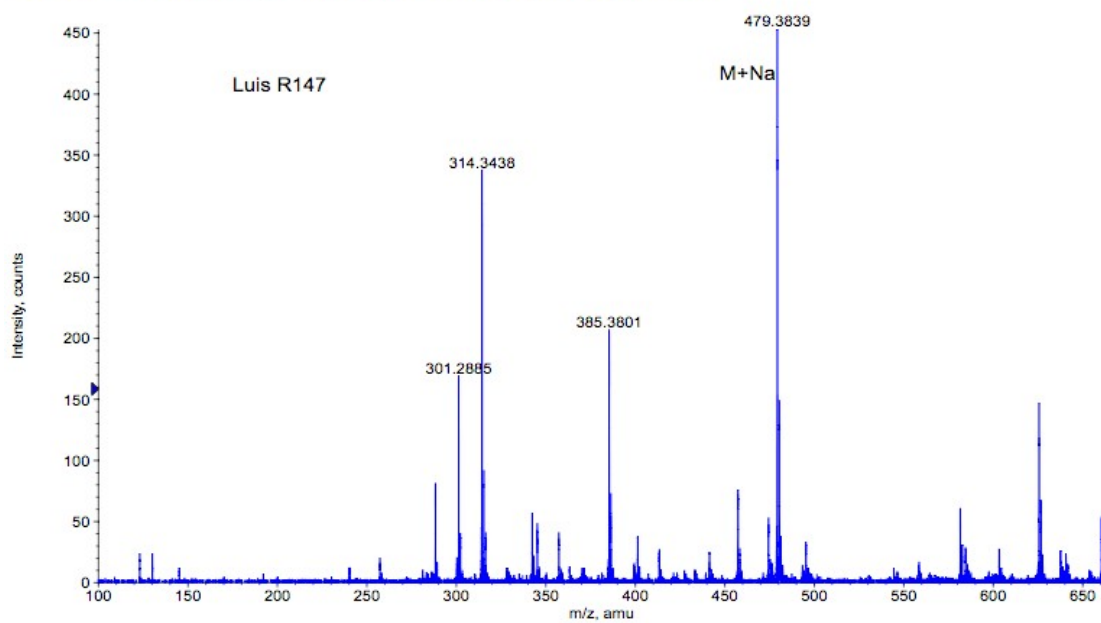


Figura X.219. Espectros de IR y MS del compuesto **19z₁₃**.

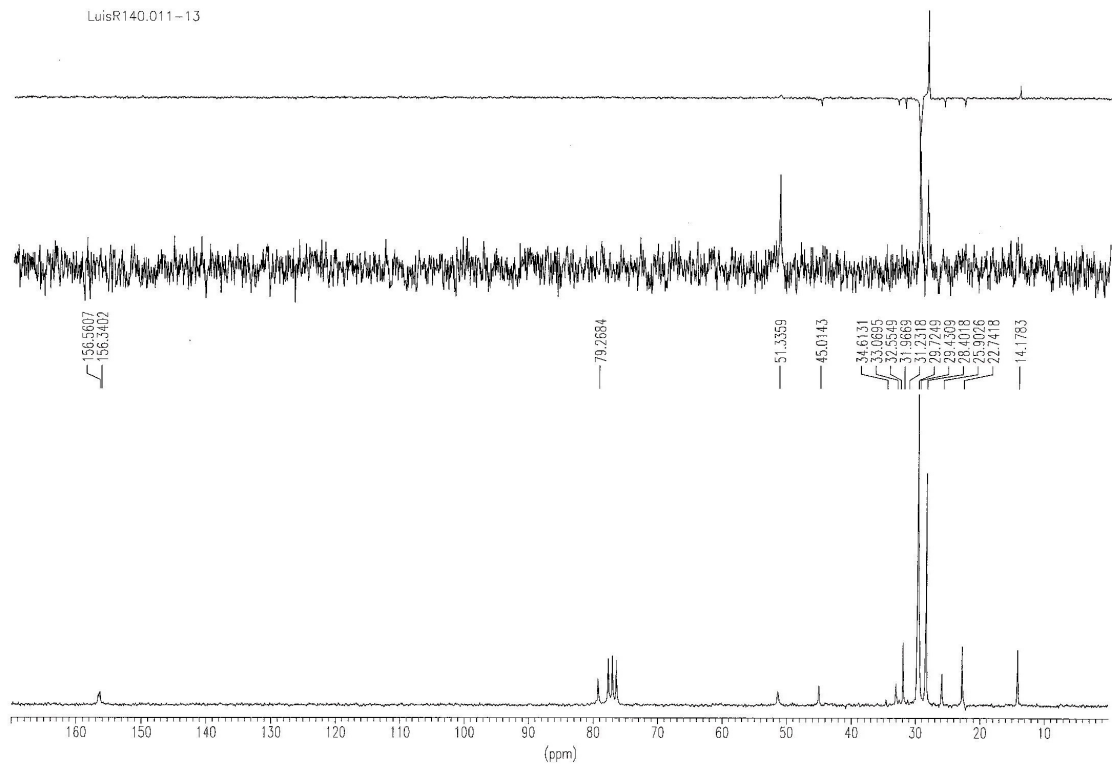
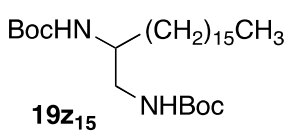
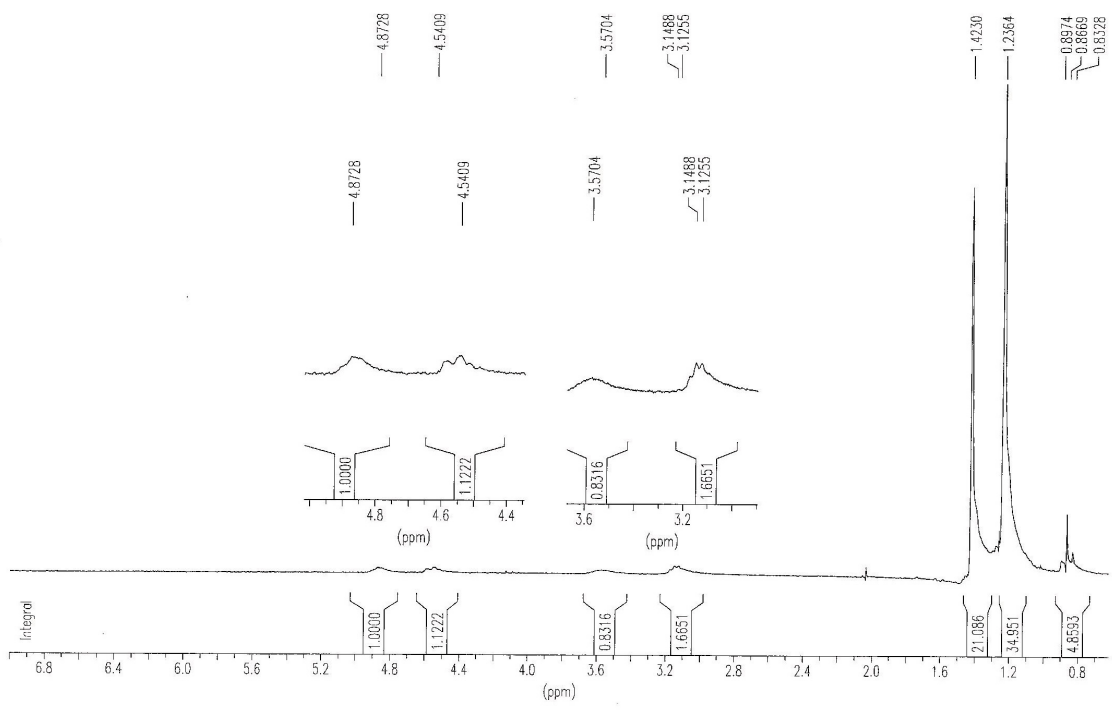


Figura X.220. Espectros de RMN ¹H y ¹³C del compuesto **19z₁₅**.

+TOF MS: 0.267 min from Sample 5 (Luis R140) of feb101011.wiff
 a=3.56410233482334850e-004, t0=-1.01853927644806390e+001 R; subtracted (0.034 to 0... Max. 403.0 counts.

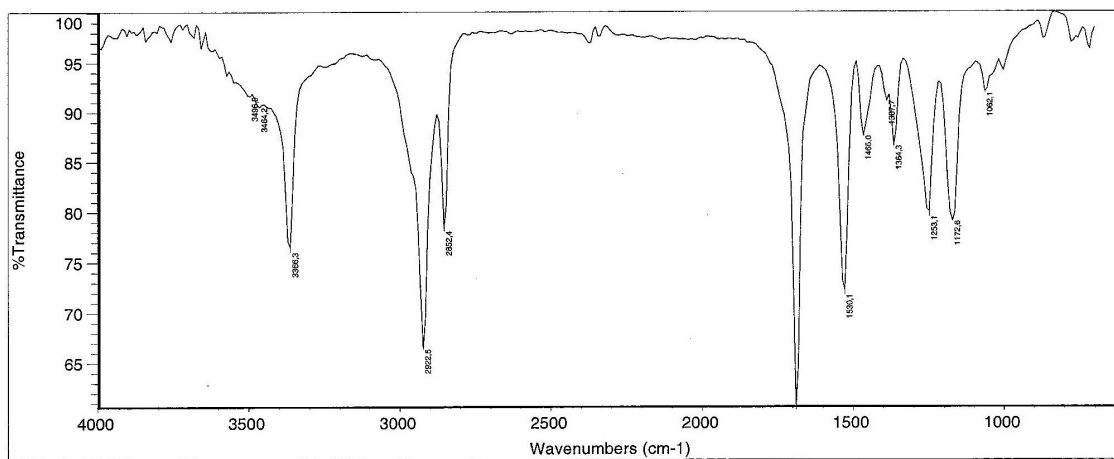
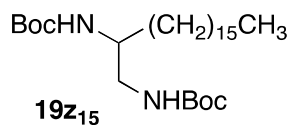
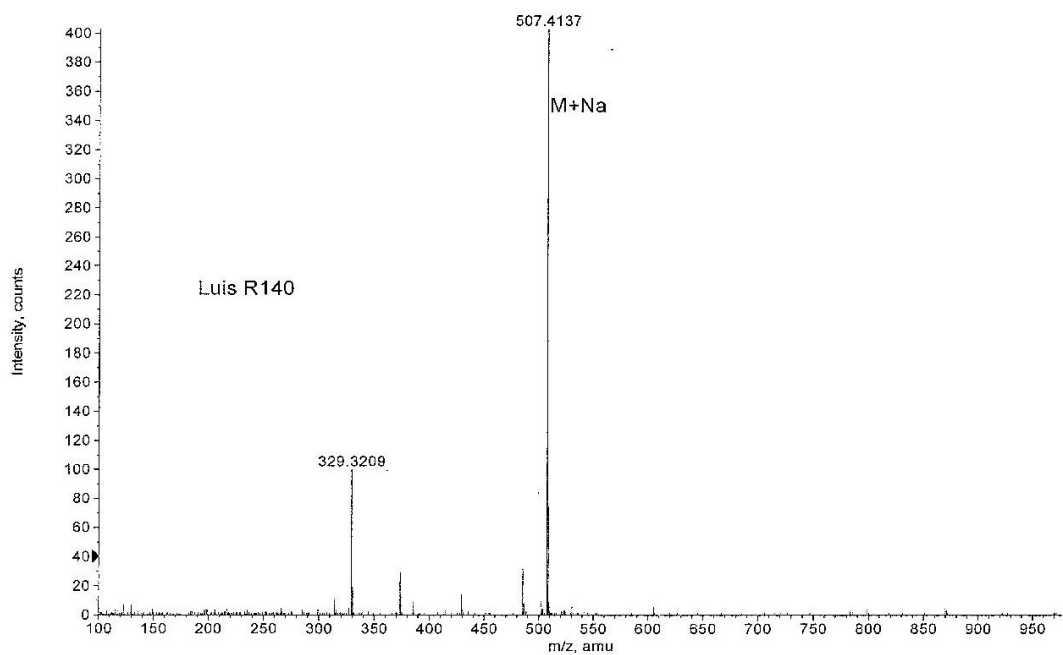


Figura X.221. Espectros de IR y MS del compuesto **19z₁₅**.

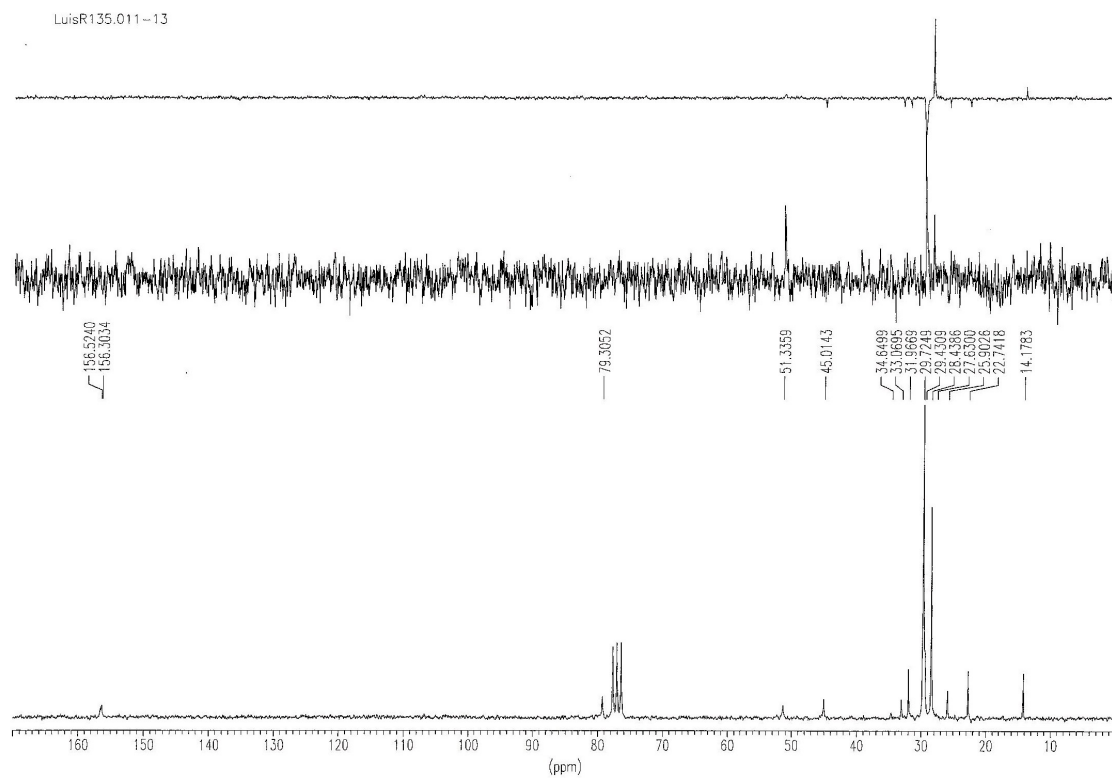
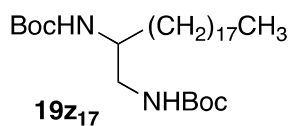
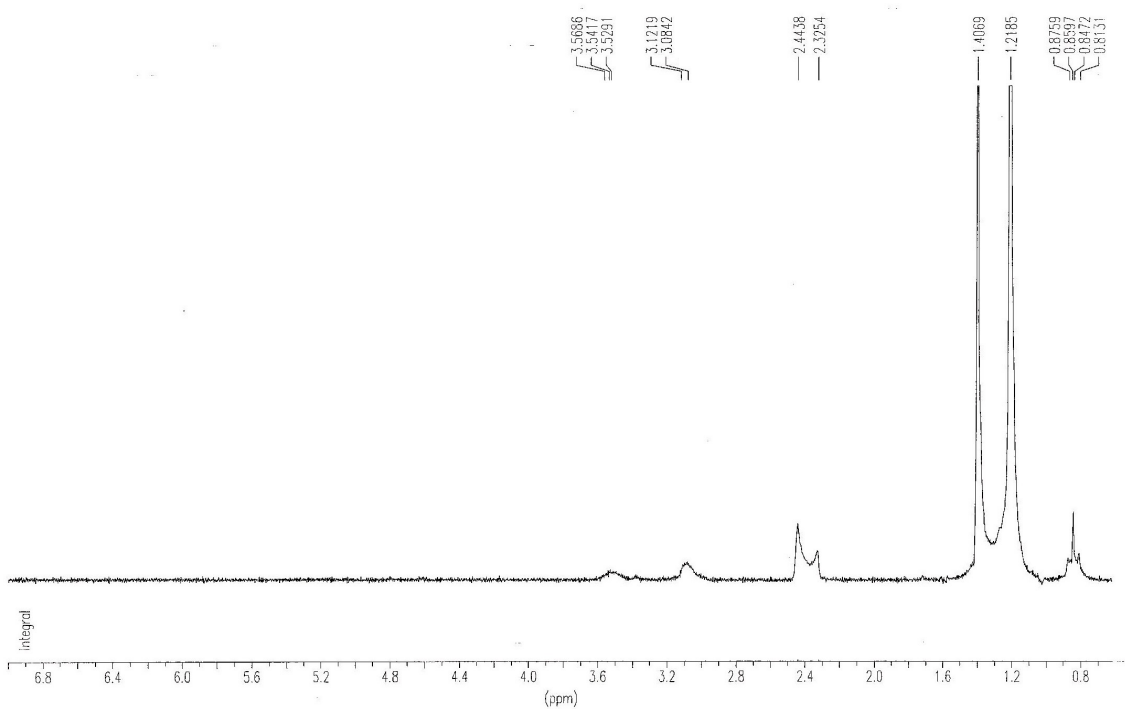


Figura X.222. Espectros de RMN ¹H y ¹³C del compuesto **19z₁₇**.

+TOF MS: 0.351 min from Sample 2 (Luis R135) of feb101013.wiff
a=3.56407767192936400e-004, t0=-1.03577086099467120e+001 R_i, subtracted (0.034 to 0...

Max. 387.0 counts.

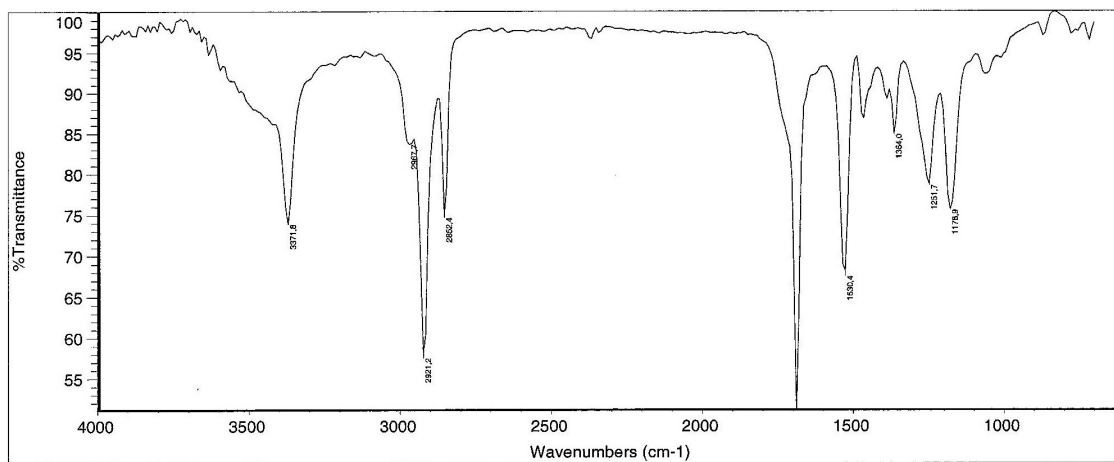
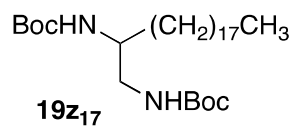
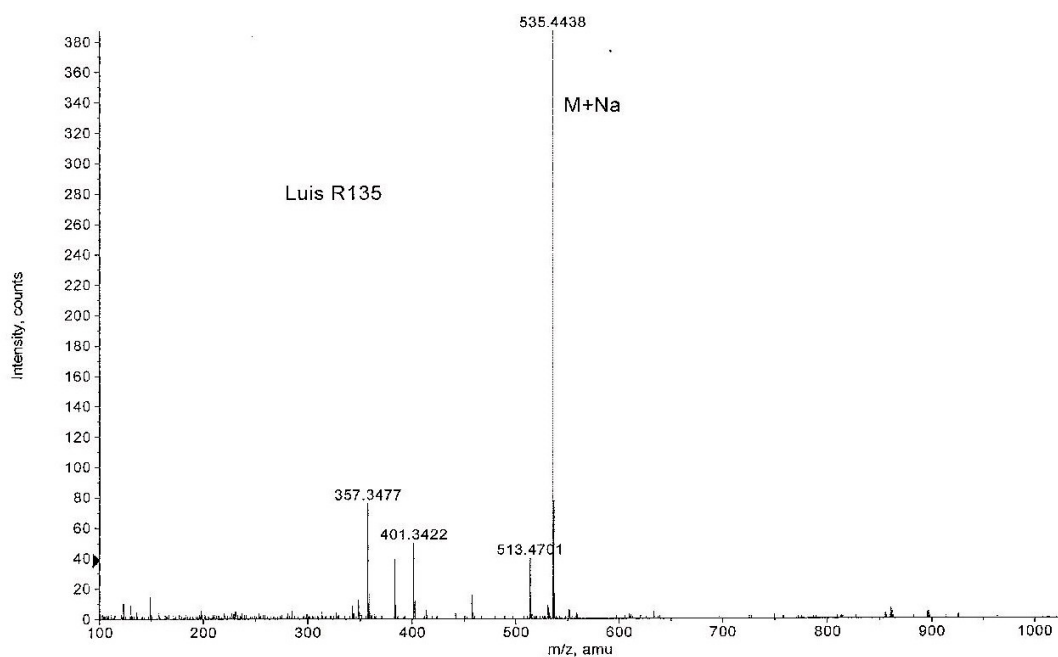


Figura X.223. Espectros de IR y MS del compuesto **19z₁₇**.

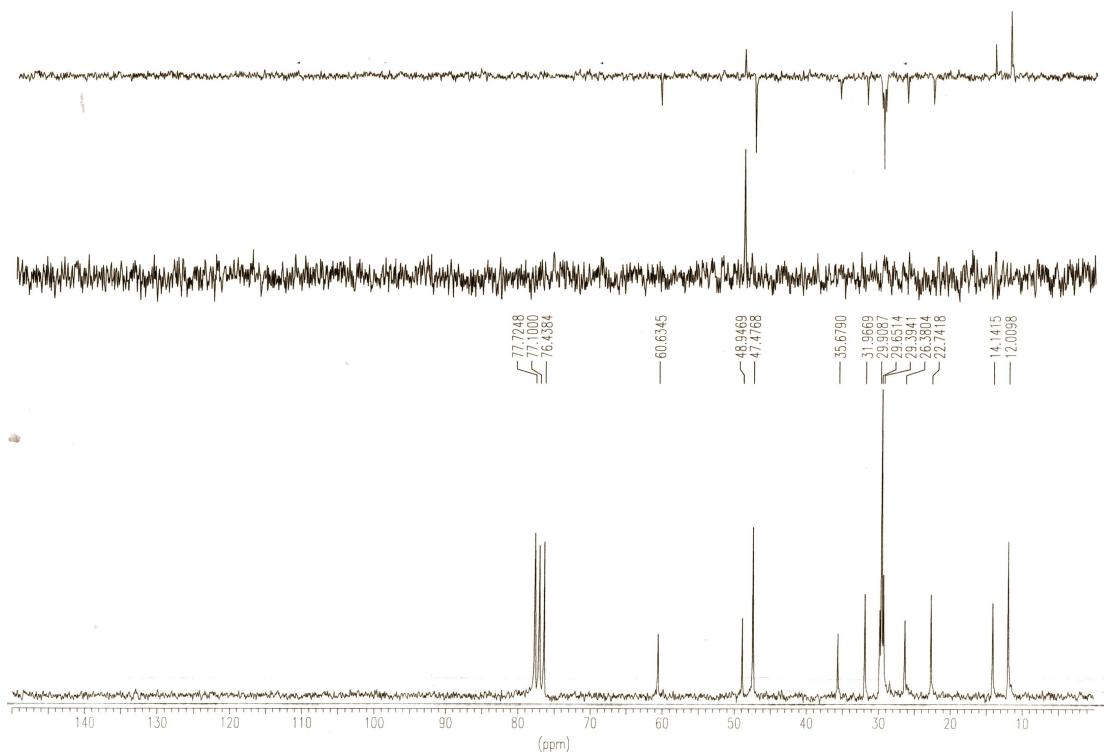
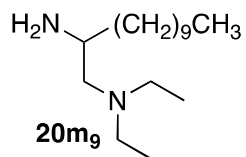
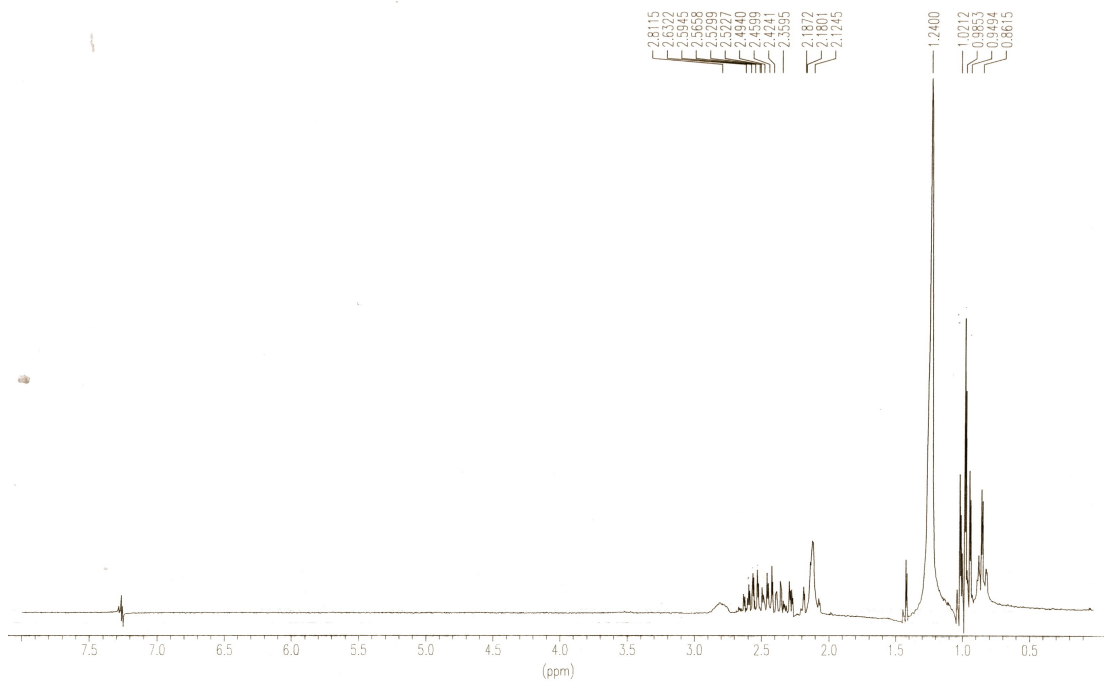


Figura X.224. Espectros de RMN ¹H y ¹³C del compuesto **20m9**.

+TOF MS: 1.000 min from Sample 4 (LuisR57) of nov190812.wiff
a=3.56426257209920320e-004, t0=-9.50750920330028750e+000 R_i; subtracted (0.017 to ...

Max. 2054.8 counts.

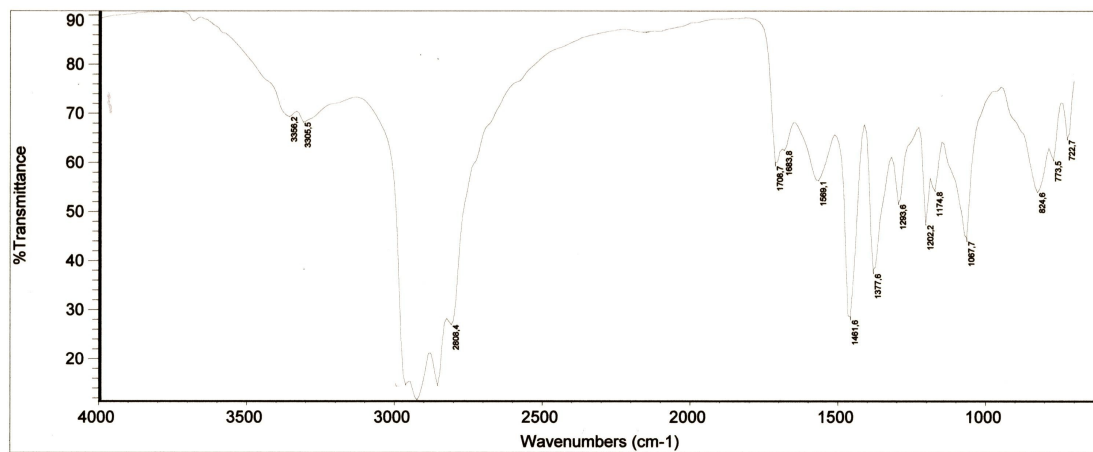
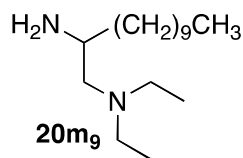
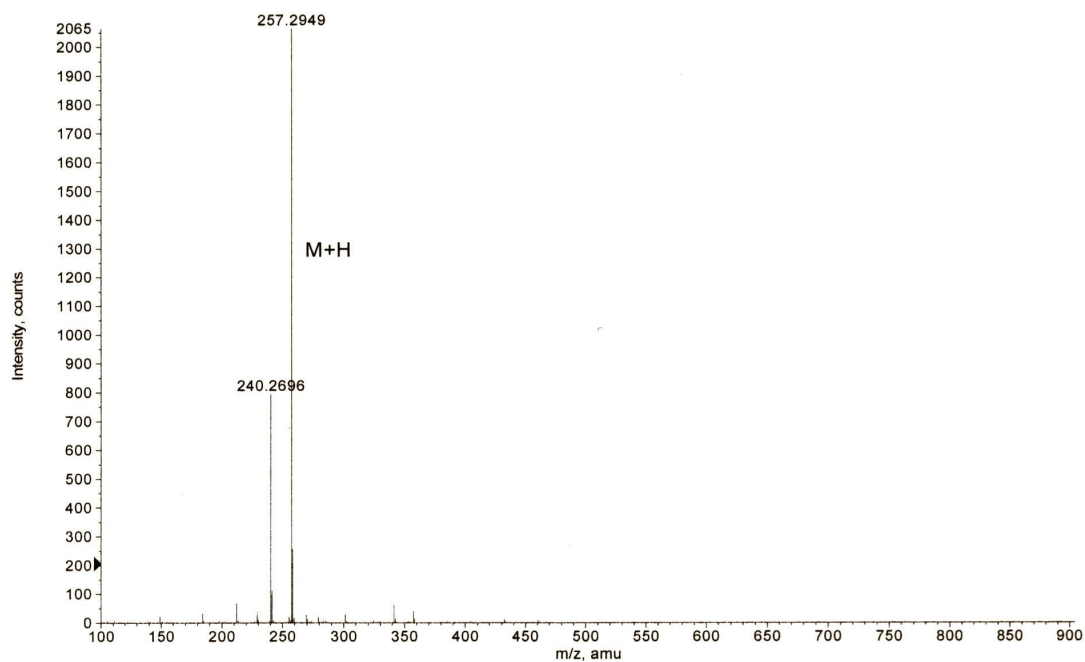


Figura X.225. Espectros de IR y MS del compuesto 20m₉.

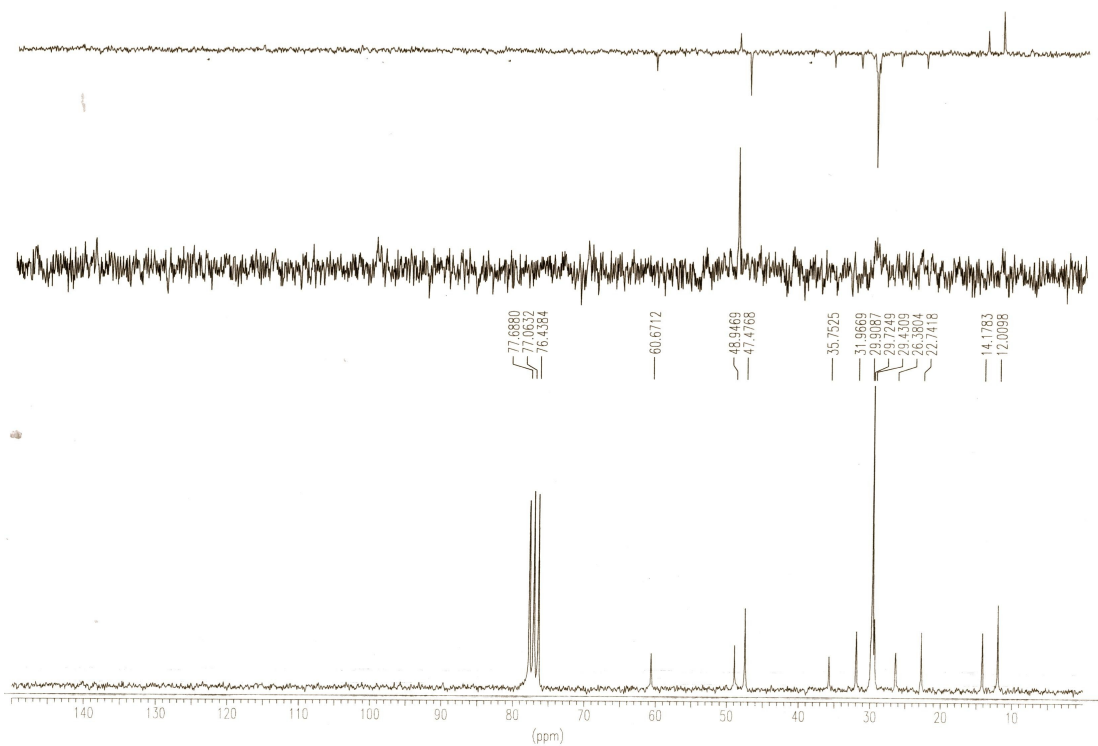
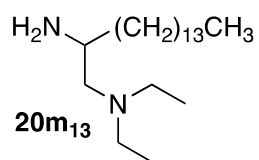
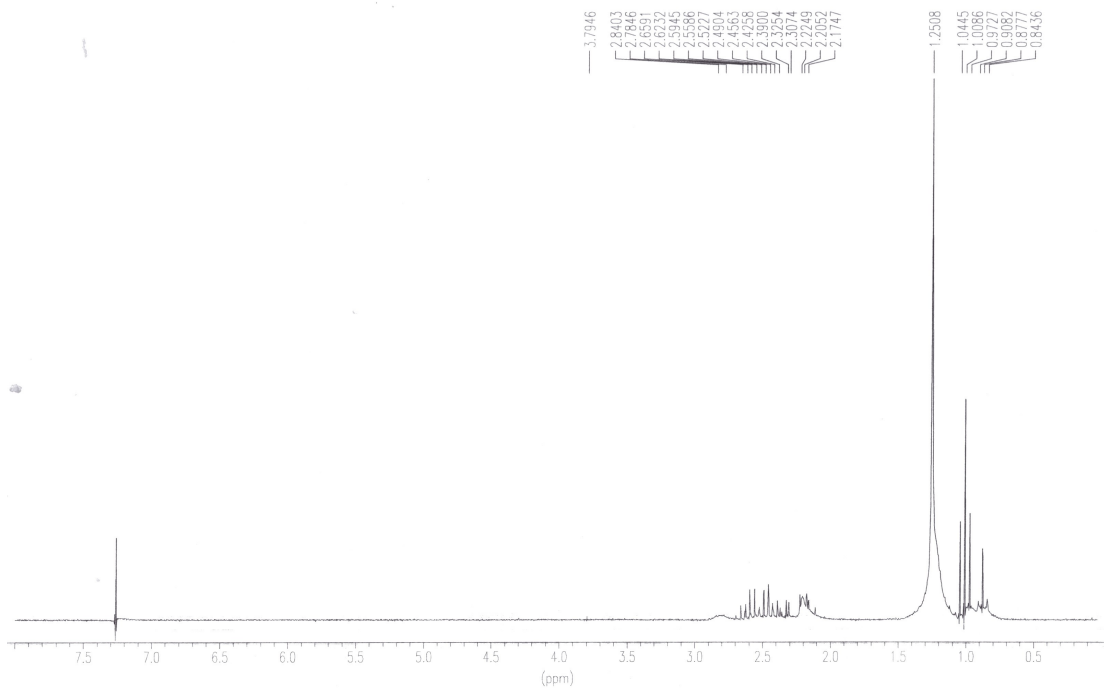


Figura X.226. Espectros de RMN ¹H y ¹³C del compuesto **20m₁₃**.

+TOF MS: 0.050 min from Sample 4 (AZ26) of nov190813.wiff
a=3.56424687912391970e-004, t0=-9.56237046466048920e+000 R;

Max. 320.0 counts.

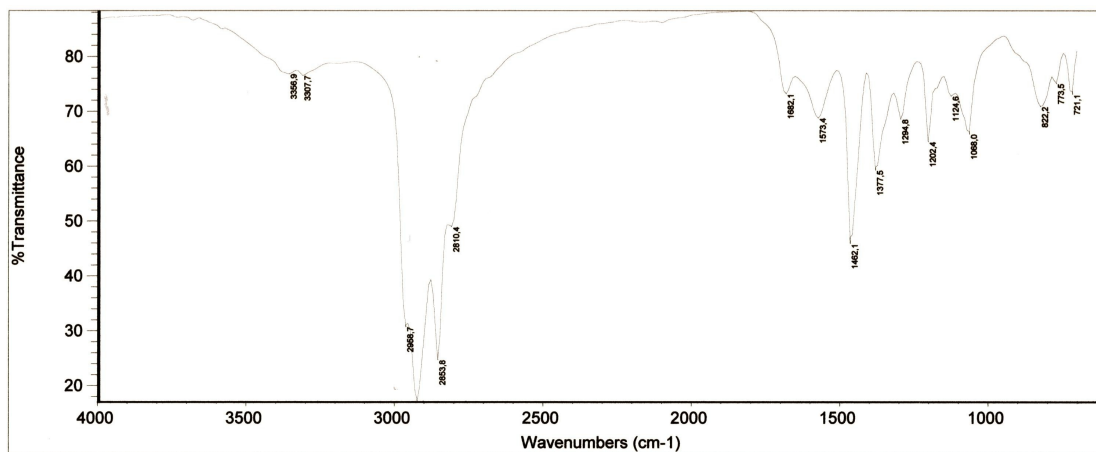
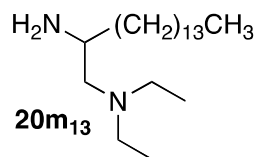
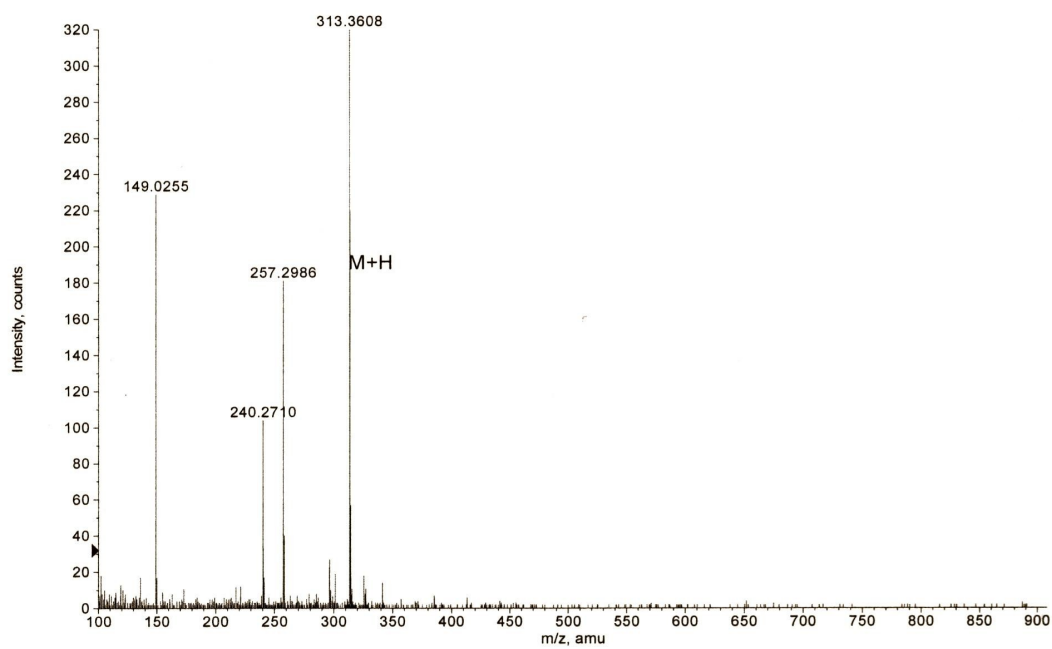


Figura X.227. Espectros de IR y MS del compuesto **20m₁₃**.

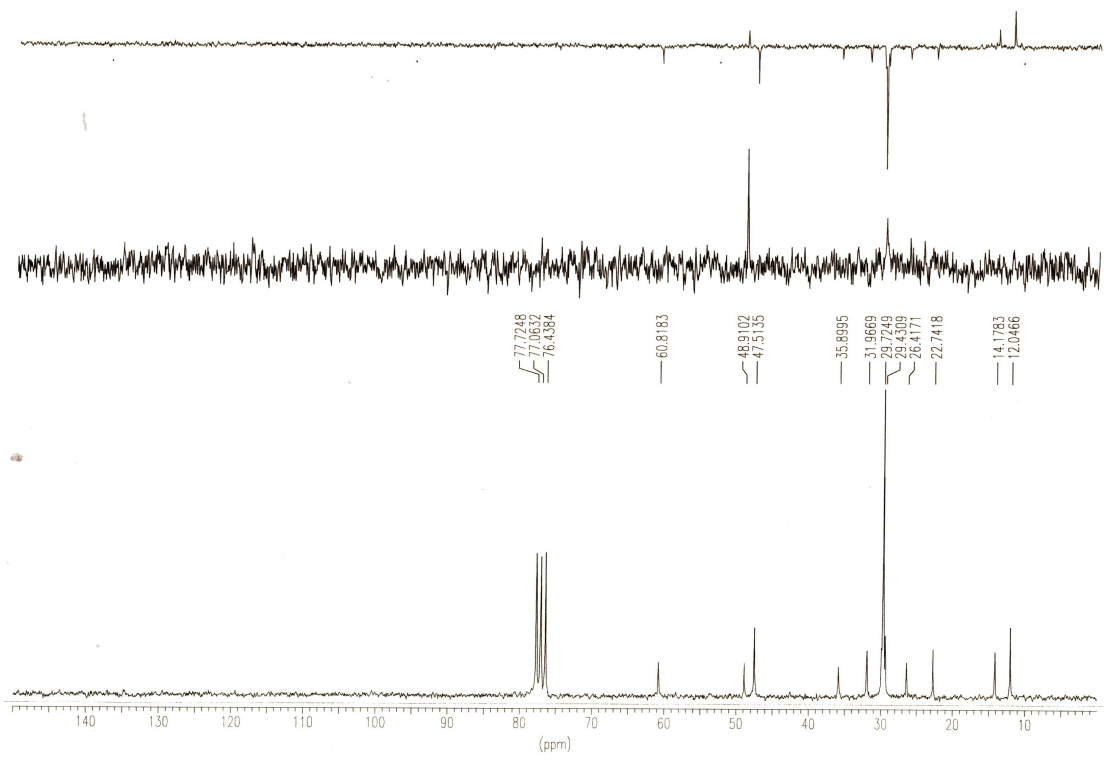
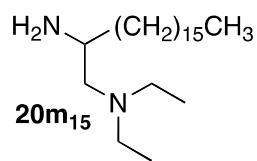
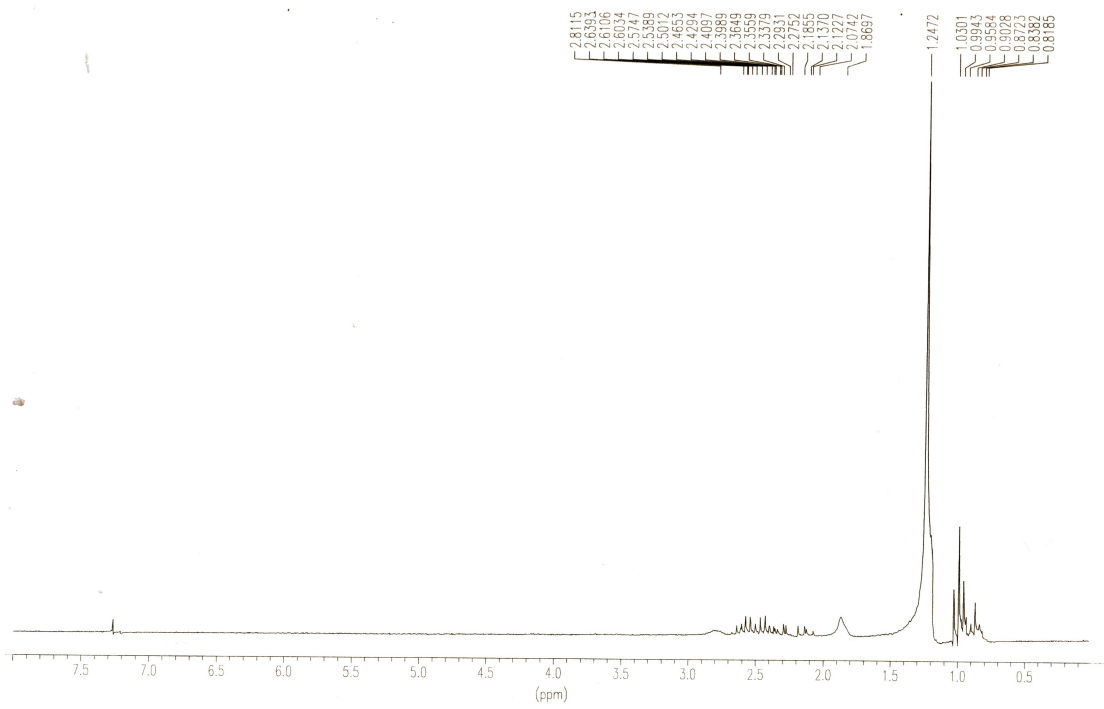


Figura X.228. Espectros de RMN ¹H y ¹³C del compuesto **20m₁₅**.

+TOF MS: 1.000 min from Sample 2 (LuisR55) of nov1908l2.wiff
a=3.56426257209920320e-004, t0=-9.50750920330028750e+000 R_i; subtracted (0.017 to ...

Max. 1327.0 counts.

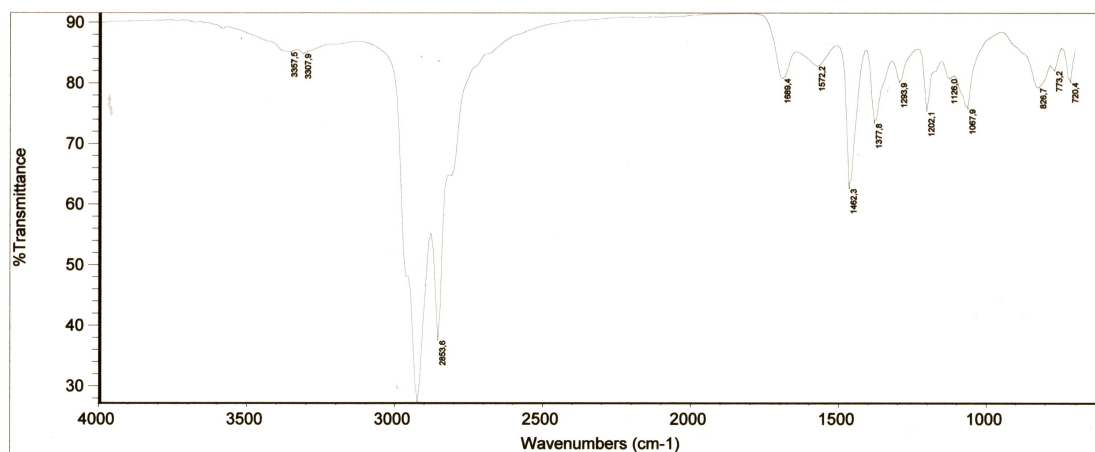
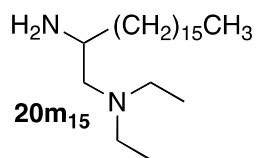
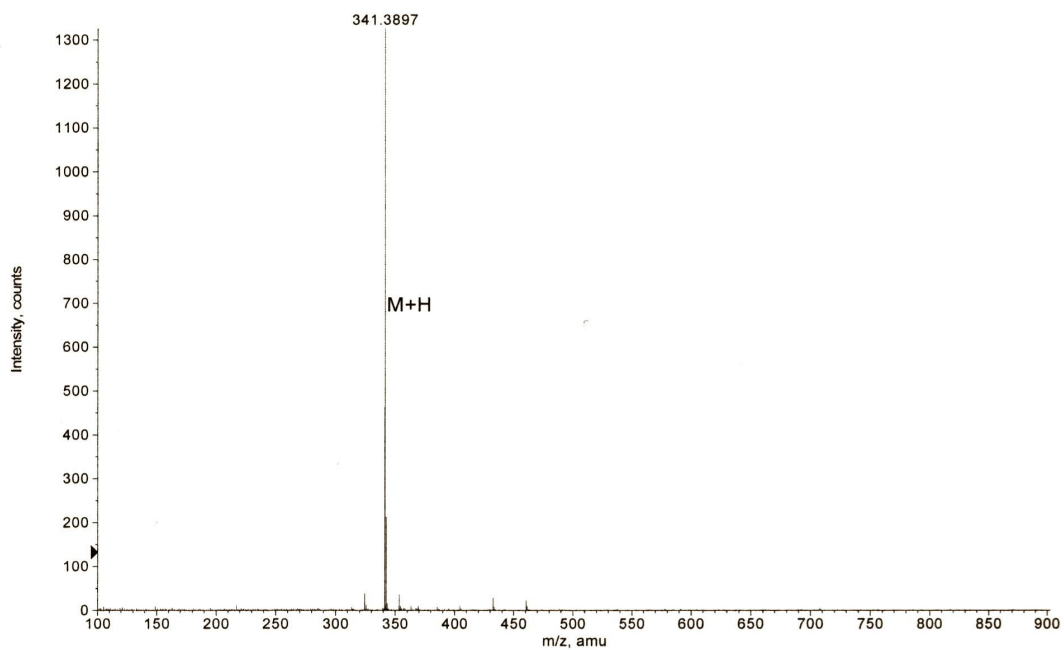


Figura X.229. Espectros de IR y MS del compuesto **20m₁₅**.

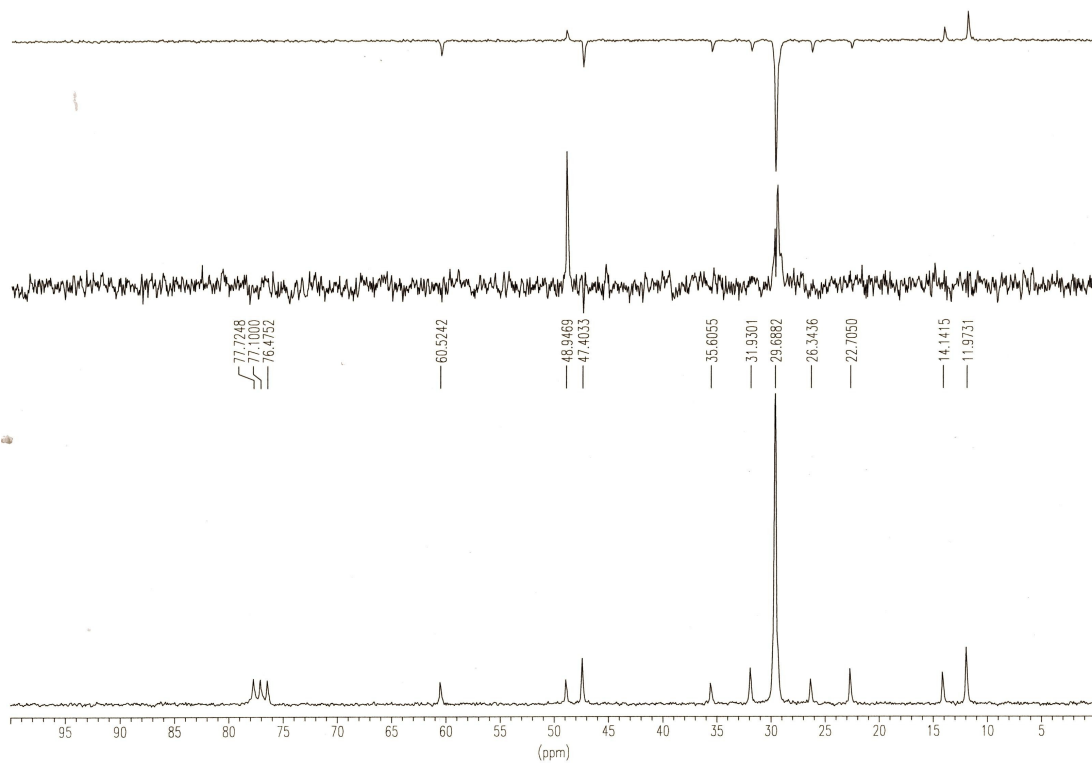
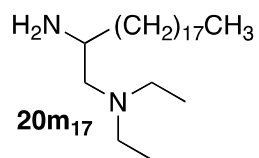
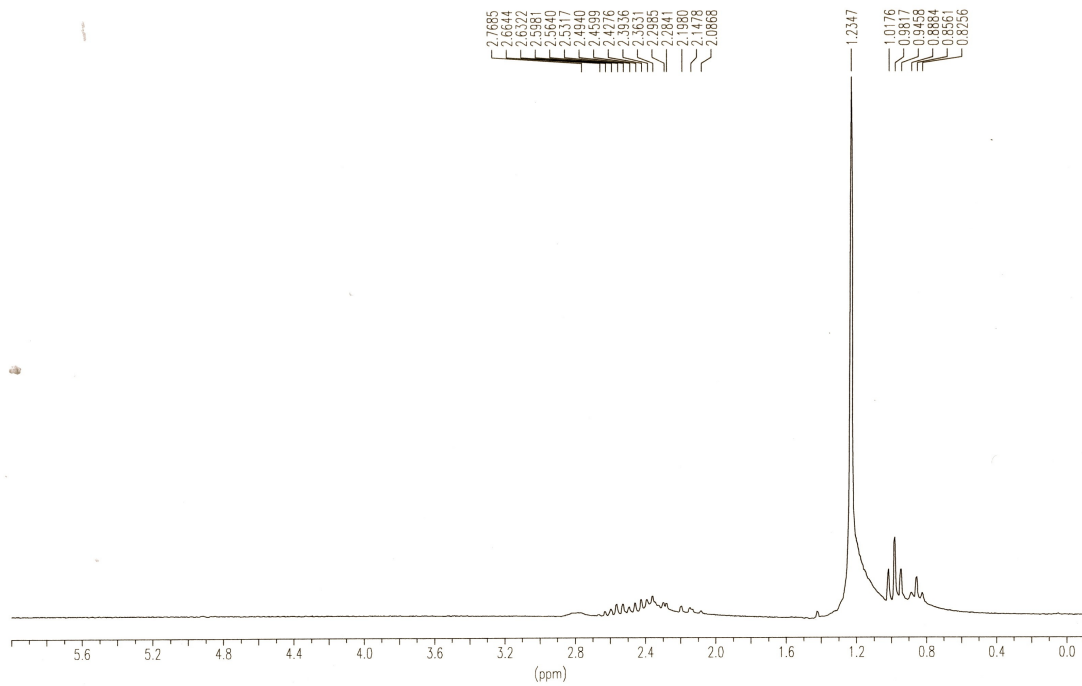


Figura X.230. Espectros de RMN ^1H y ^{13}C del compuesto 20m_{17} .

+TOF MS: 0.967 min from Sample 3 (LuisR63) of abr150912.wiff
a=3.56471632018670820e-004, t0=-1.23440641970664730e+001 R., subtracted (0.017 to 0...

Max. 327.8 counts.

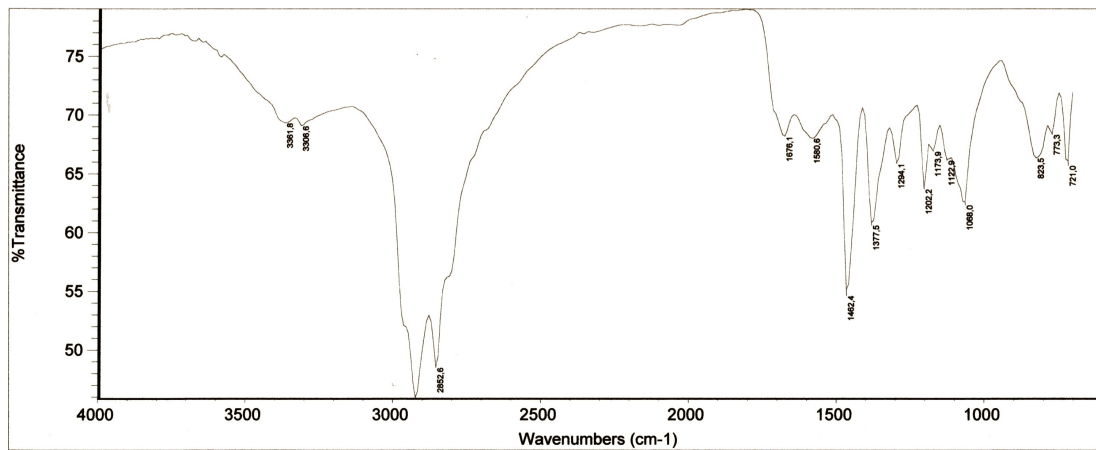
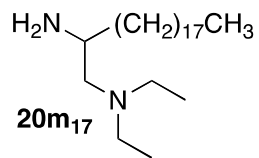
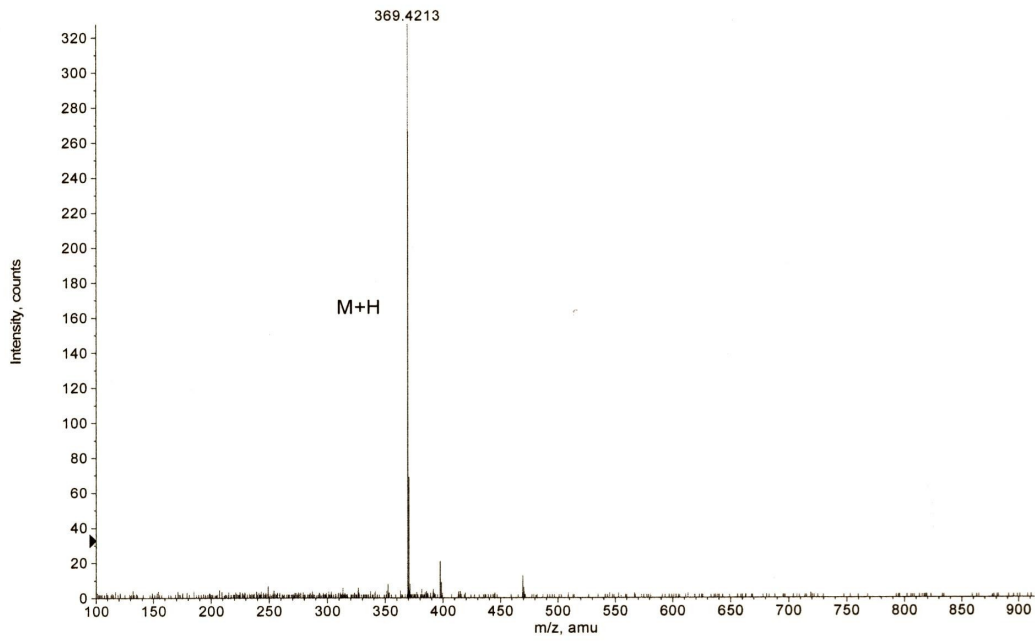


Figura X.231. Espectros de IR y MS del compuesto **20m₁₇**.

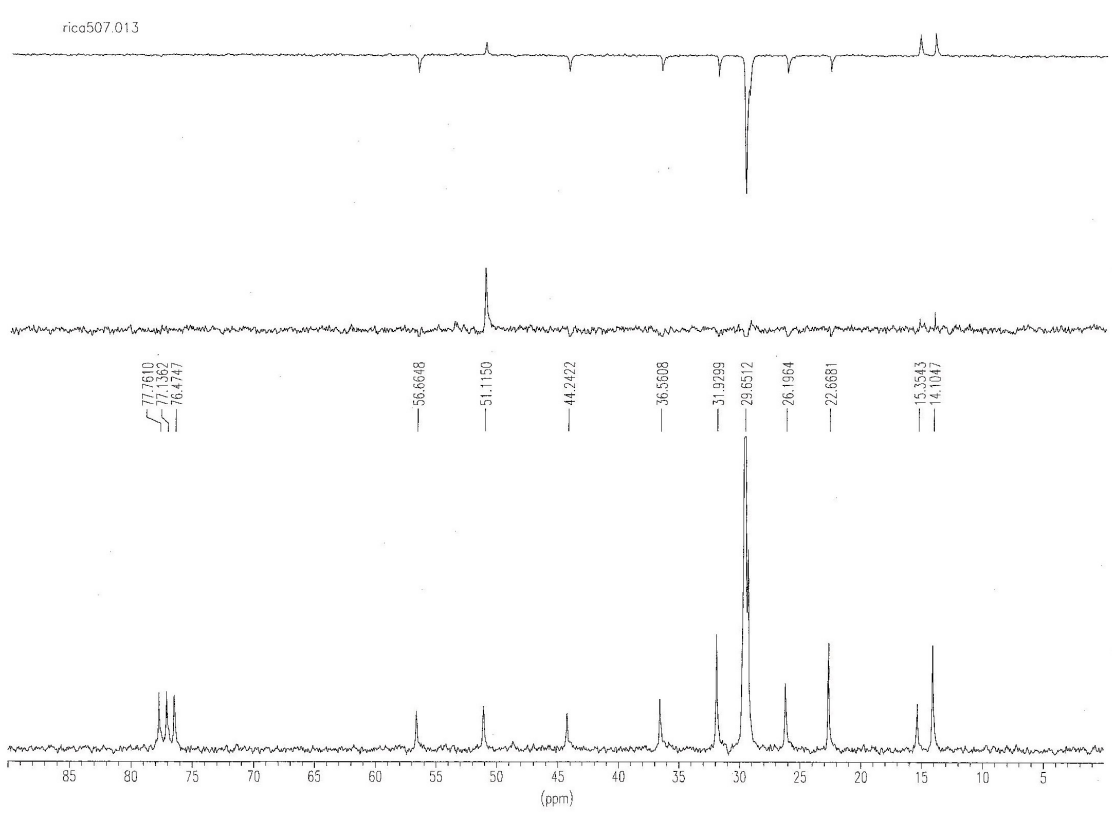
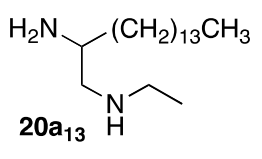
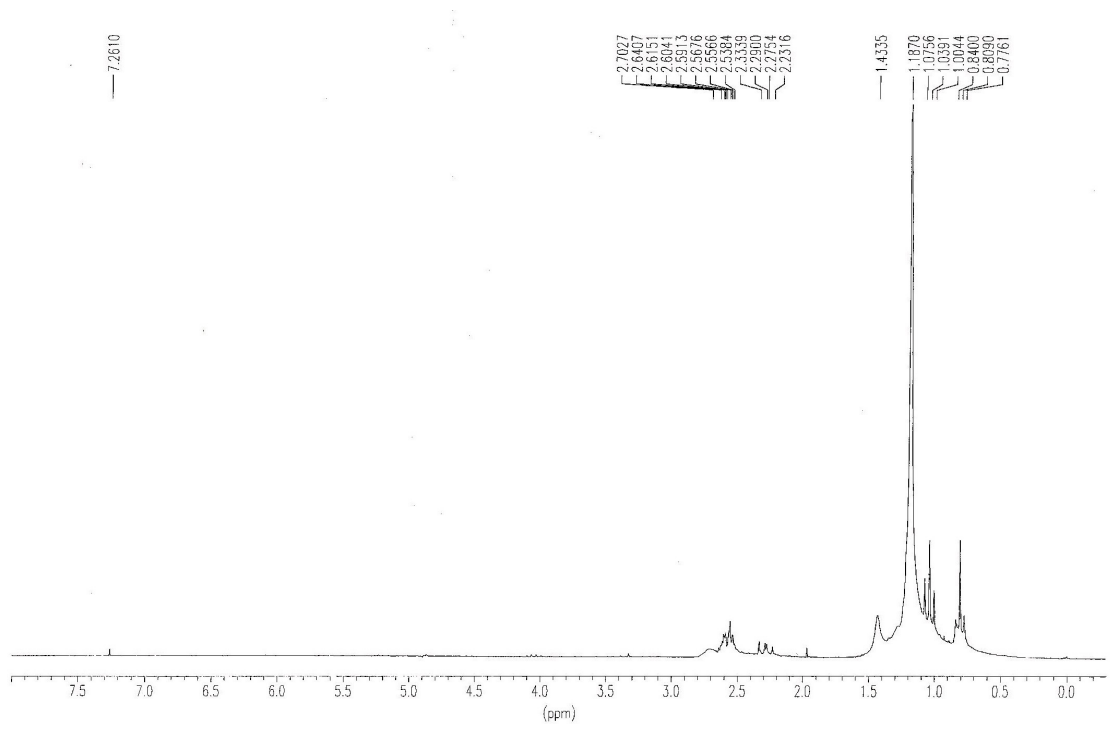


Figura X.232. Espectros de RMN ¹H y ¹³C del compuesto **20a₁₃**.

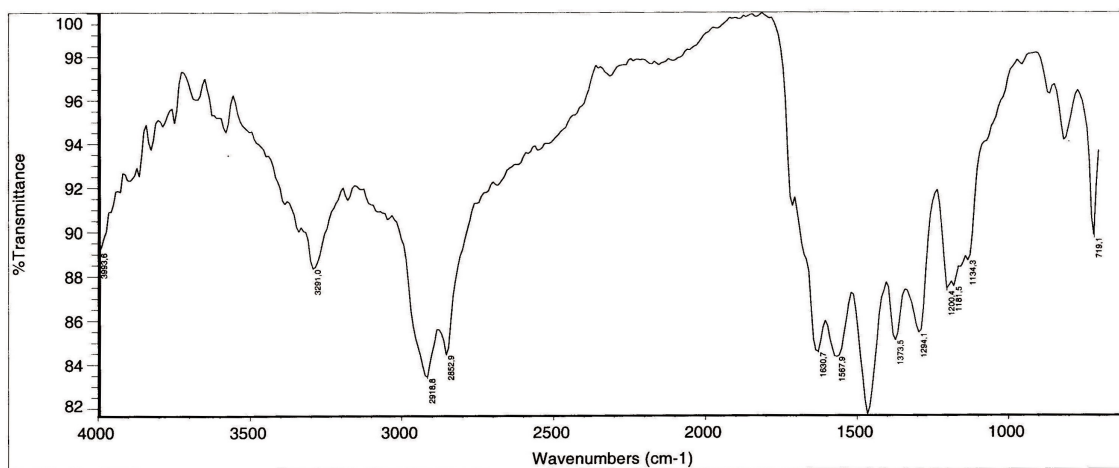
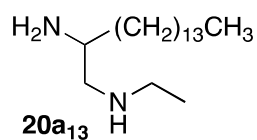
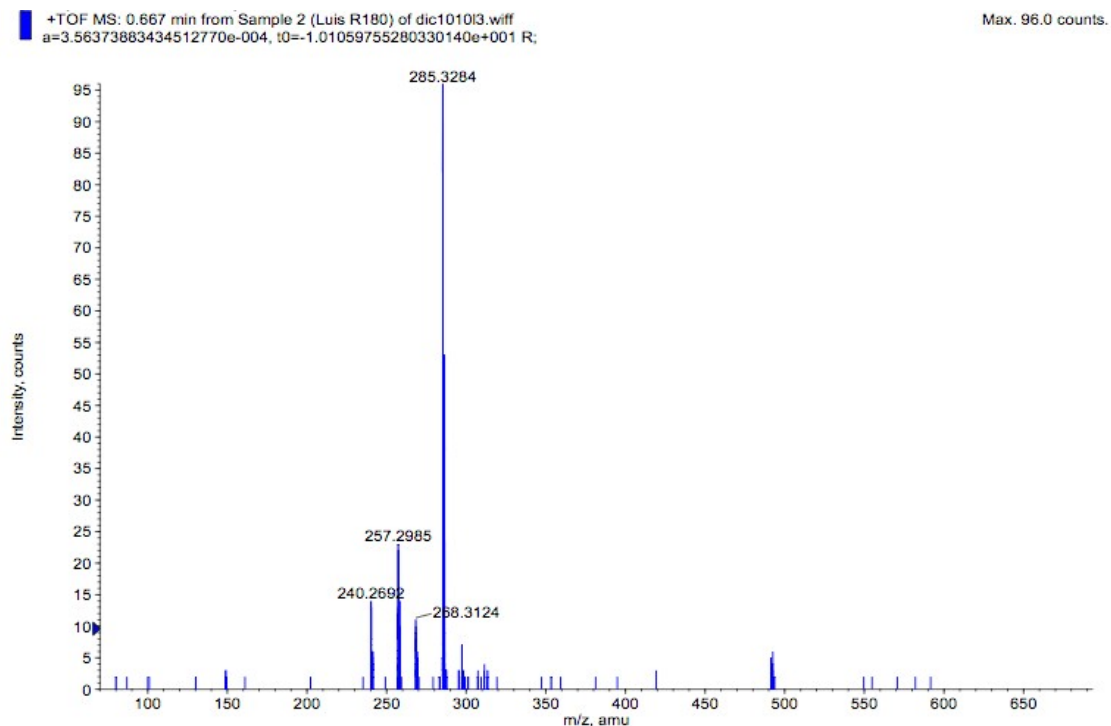


Figura X.233. Espectros de IR y MS del compuesto **20a₁₃**.

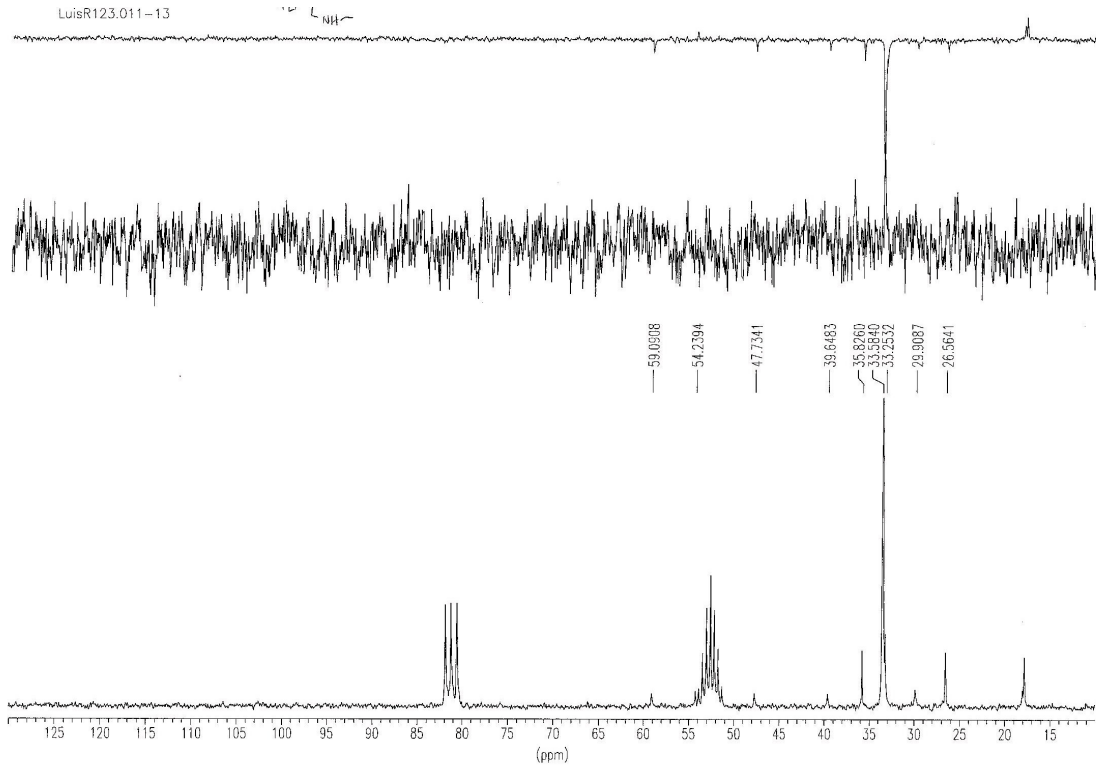
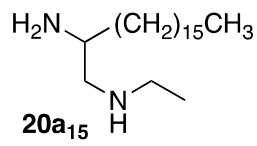
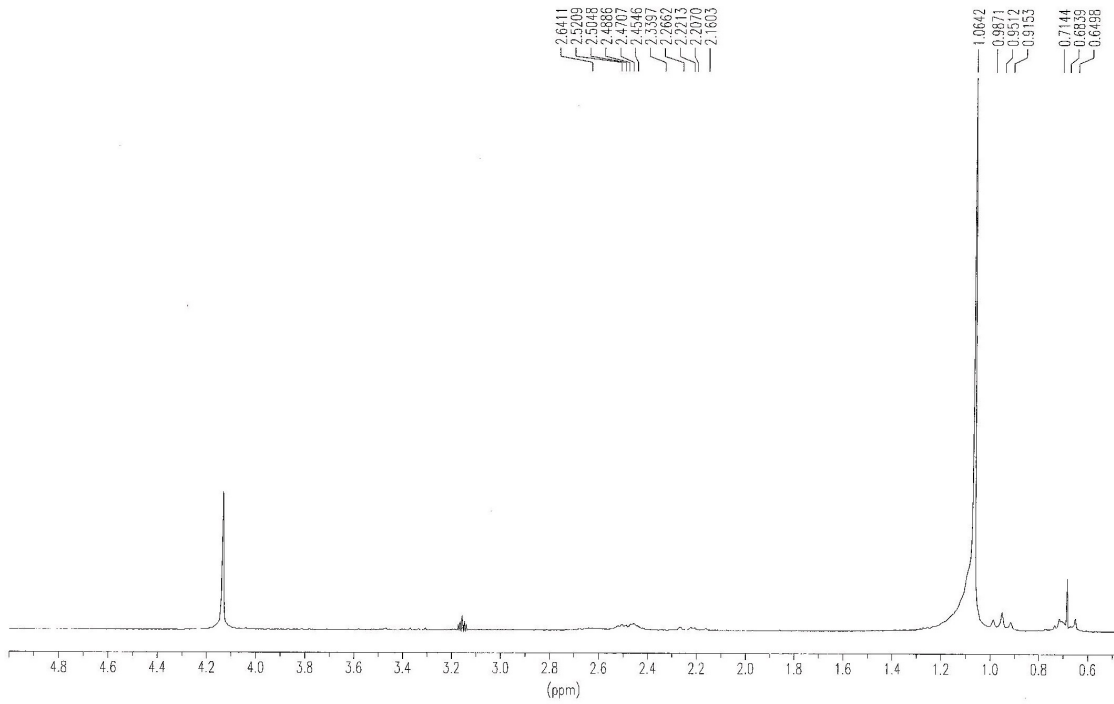


Figura X.234. Espectros de RMN ^1H y ^{13}C del compuesto **20a₁₅**.

†TOF MS: 0.350 min from Sample 2 (Luis R123) of feb101012.wiff
a=3.56409109108974640e-004, t0=-1.02617812043936280e+001 R_i, subtracted (0.033 to 0...

Max. 736.0 counts.

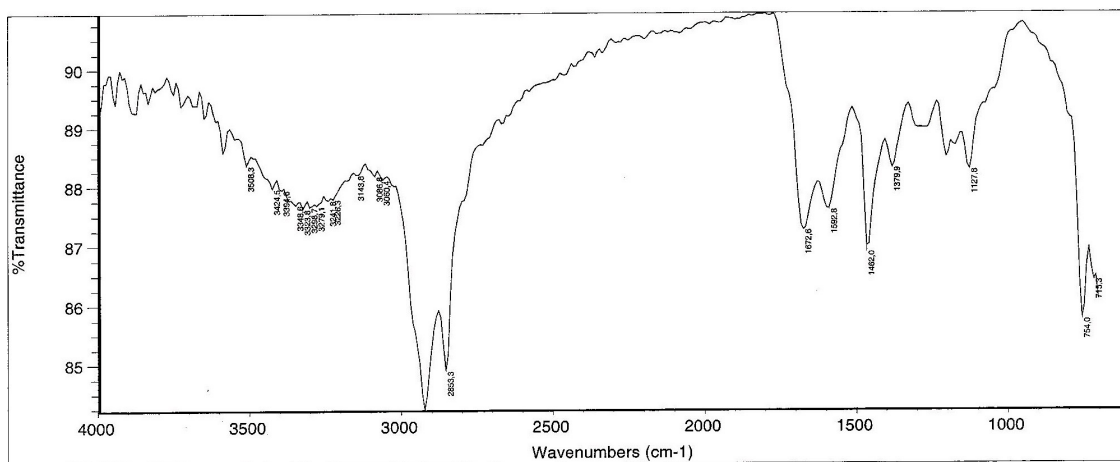
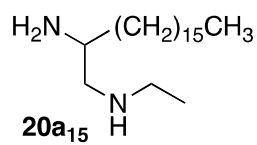
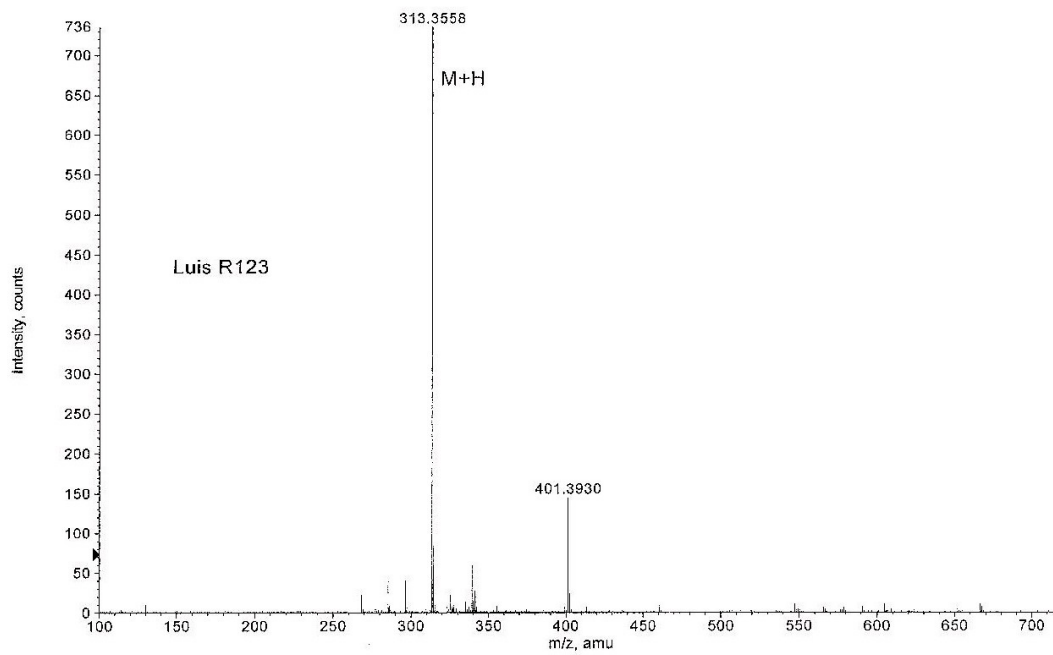


Figura X.235. Espectros de IR y MS del compuesto **20a₁₅**.

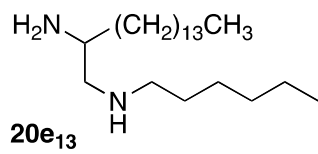
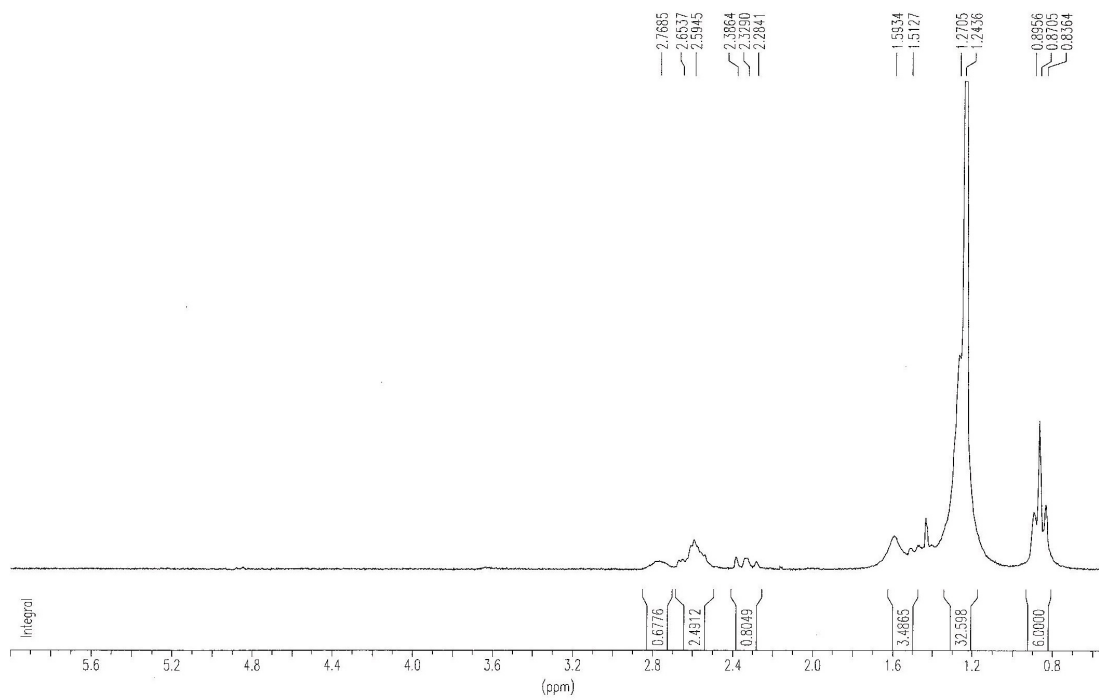


Figura X.236. Espectros de RMN ¹H del compuesto **20e₁₃**.

+TOF MS: 0.834 min from Sample 4 (Luis R179) of jul231011.wiff
a=3.56424717480269900e-004, t0=-1.02257414334708300e+001 R., subtracted (0.034 to 0.06...

Max. 301.0 counts.

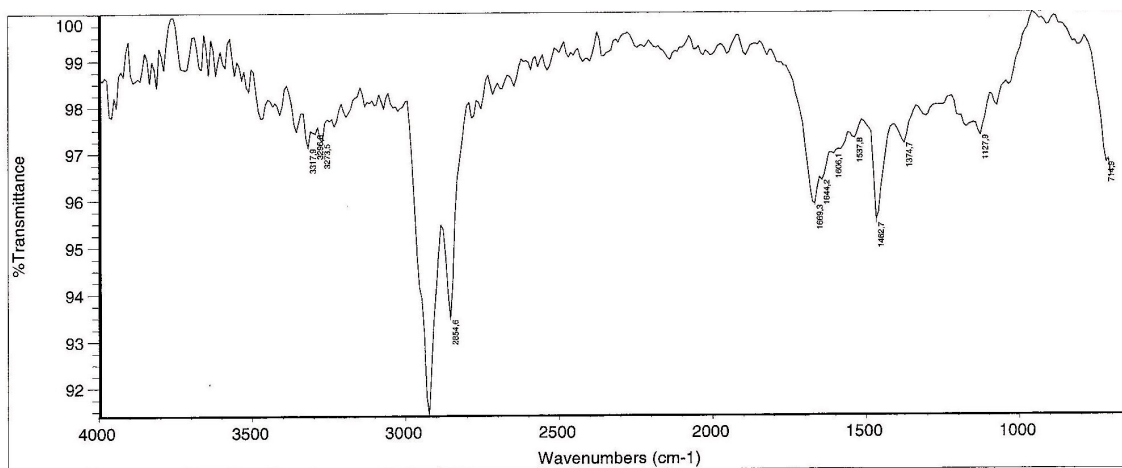
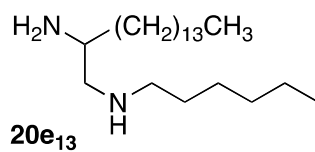
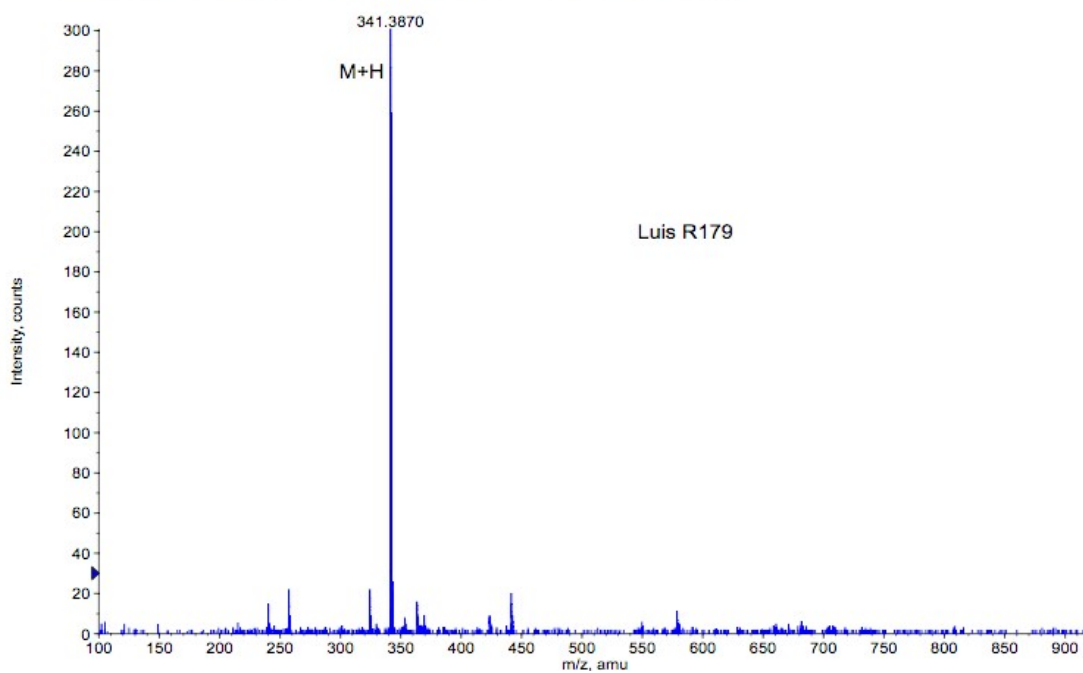


Figura X.237. Espectros de IR y MS del compuesto 20e13.

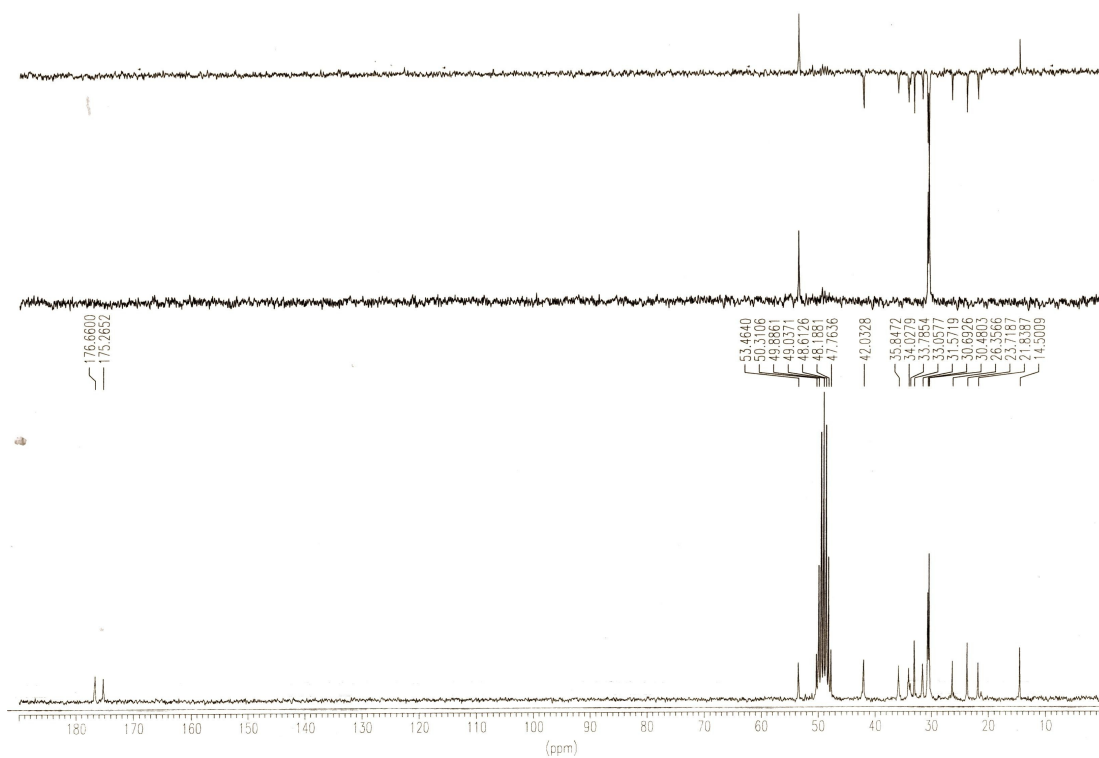
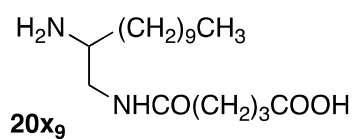
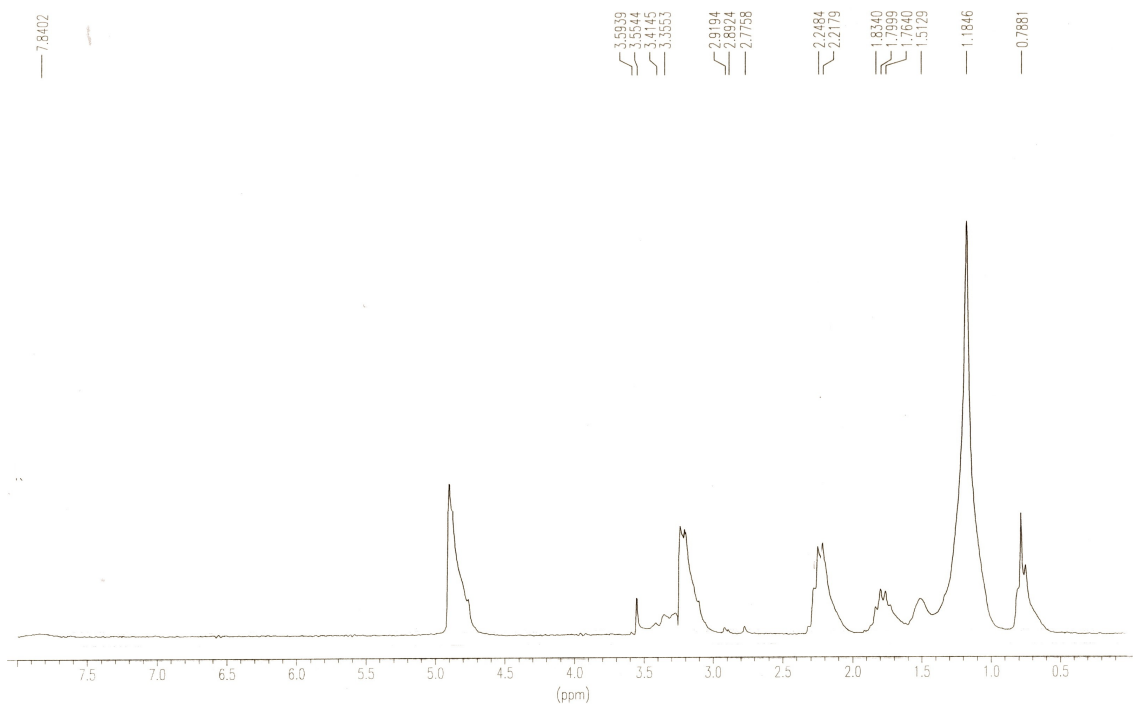


Figura X.238. Espectros de RMN ^1H y ^{13}C del compuesto $20x_9$.

+TOF MS: 0.684 min from Sample 4 (LuisR59) of nov190814.wiff
a=3.56419387594908390e-004, t0=-9.54653696960303930e+000 R_i; subtracted (0.017 to 0...

Max. 895.0 counts.

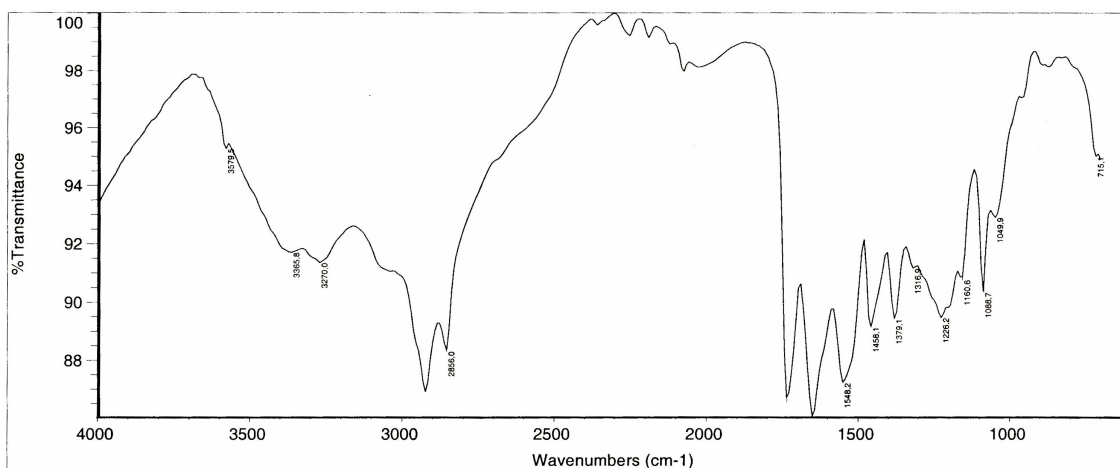
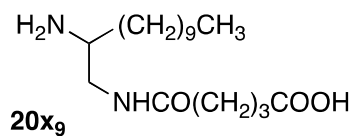
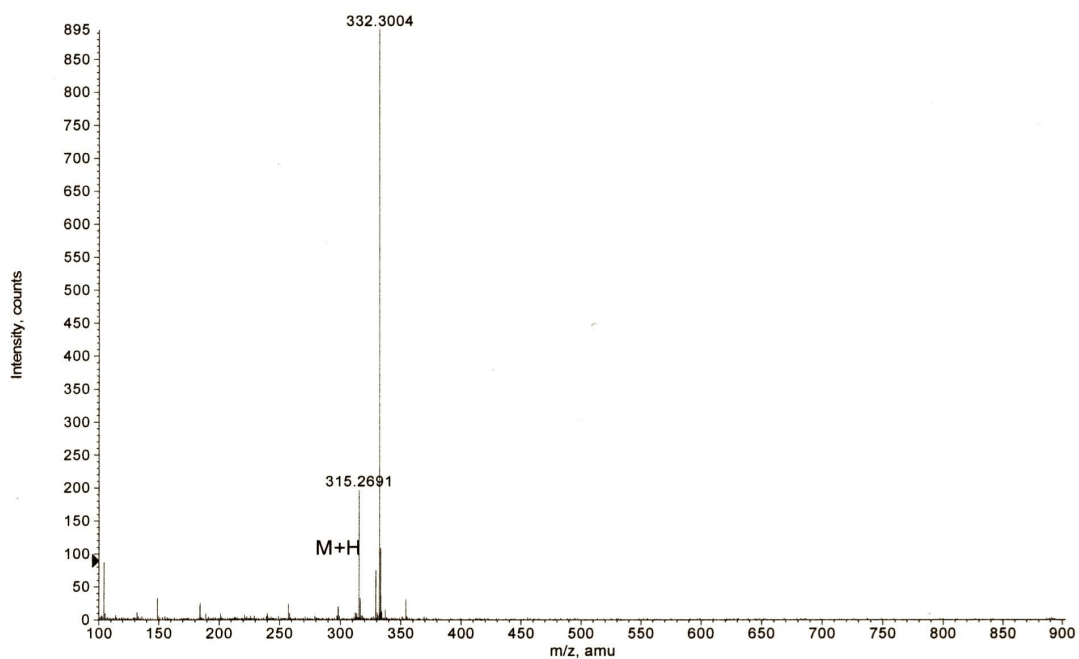


Figura X.239. Espectros de IR y MS del compuesto **20x₉**.

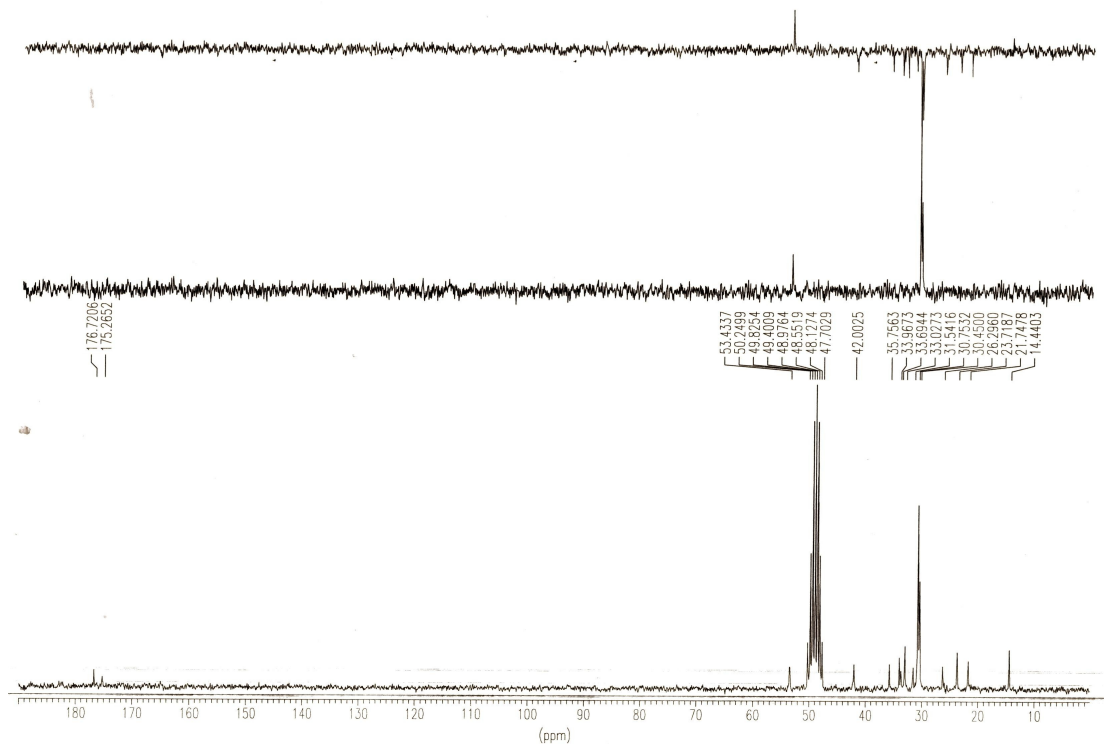
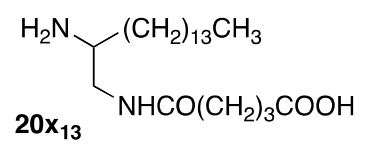
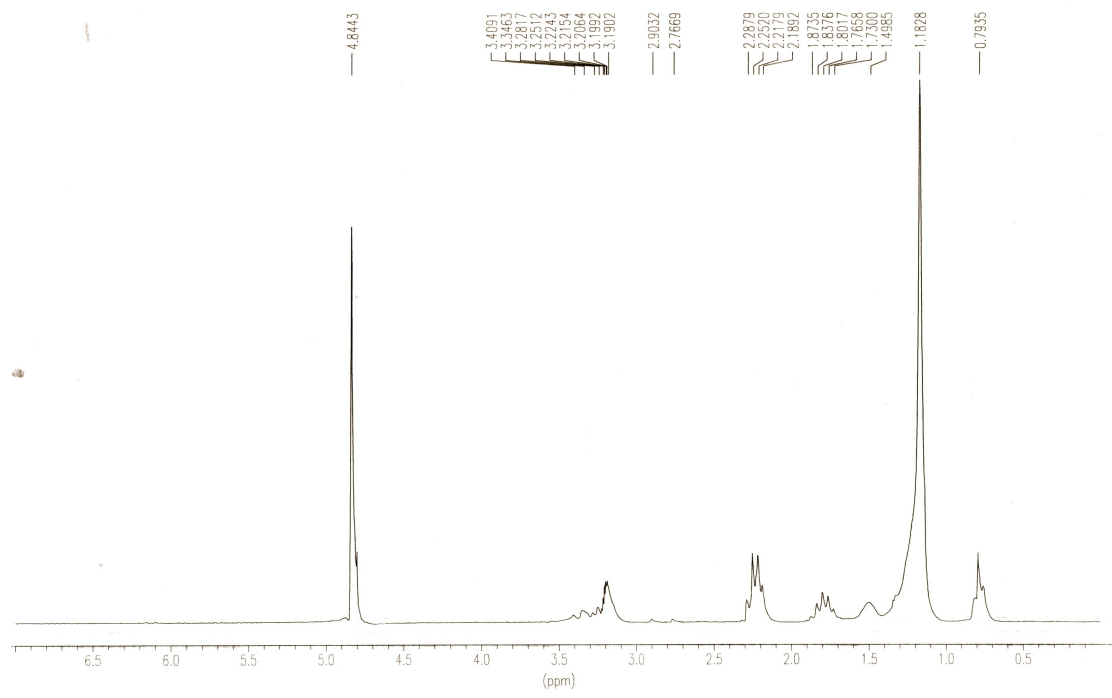


Figura X.240. Espectros de RMN ^1H y ^{13}C del compuesto $20x_{13}$.

TOF MS: 0.300 min from Sample 5 (LuisR58) of nov190812.wiff
a=3.56426311597561950e-004, t0=-9.5026249533299740e+000 R_i; subtracted (0.017 to ...

Max. 1789.6 counts.

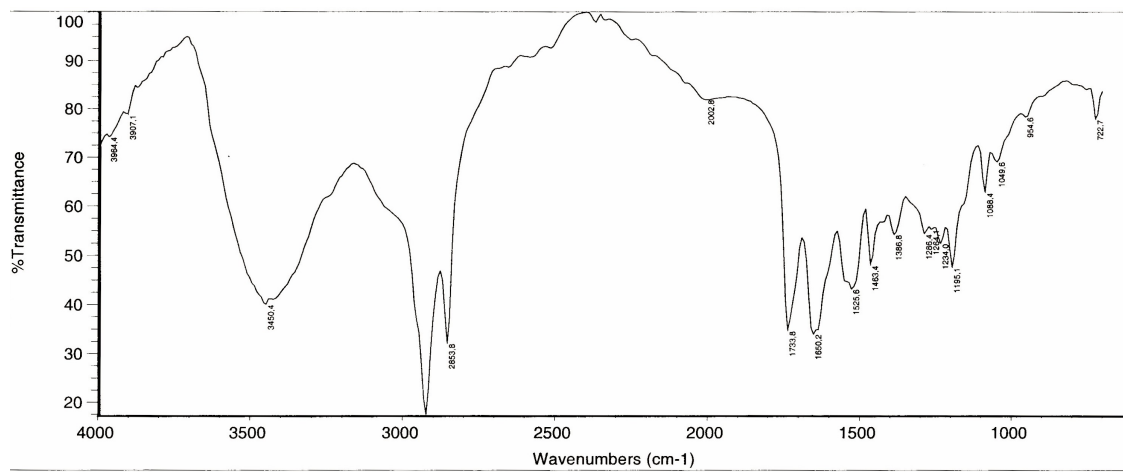
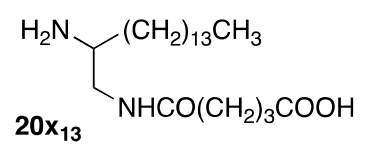
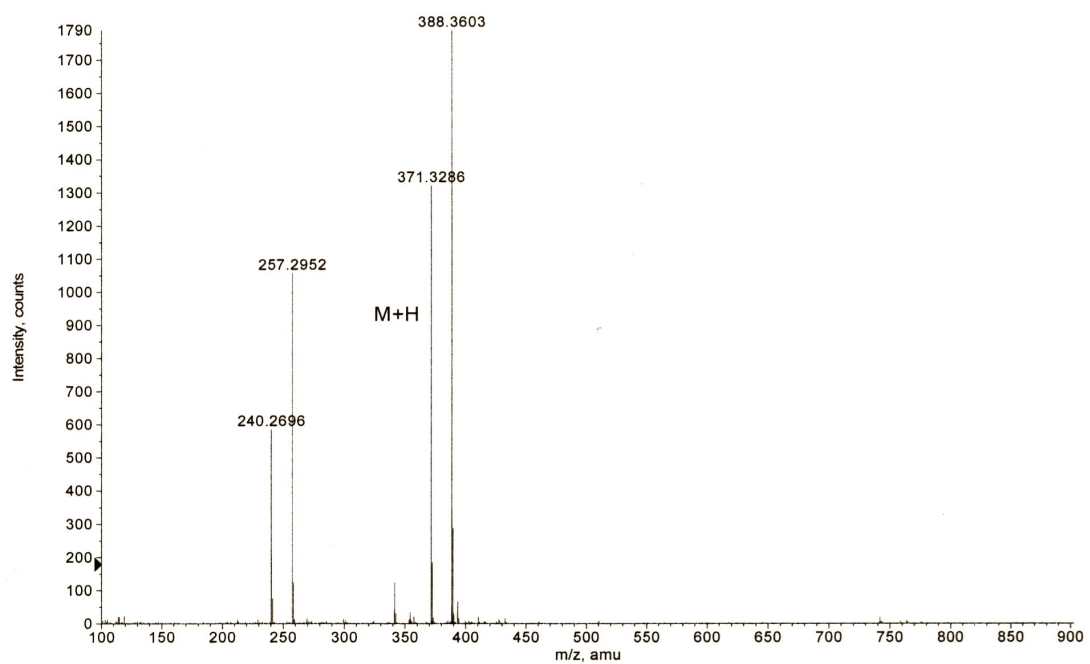


Figura X.241. Espectros de IR y MS del compuesto 20x₁₃.

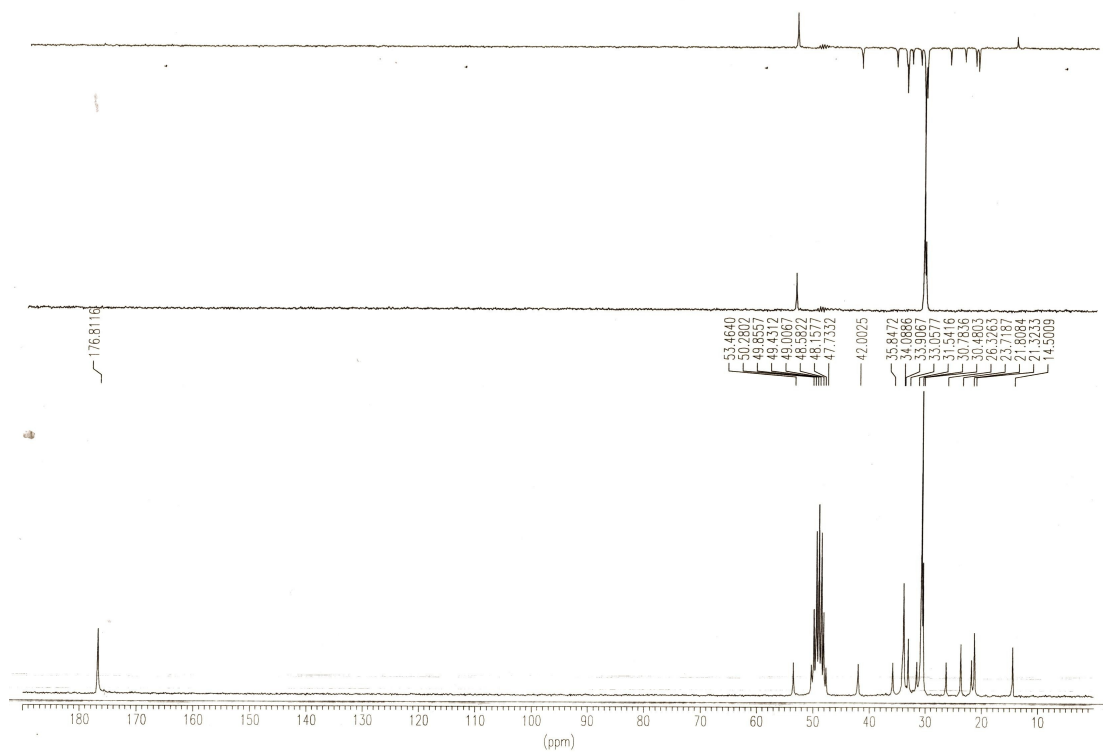
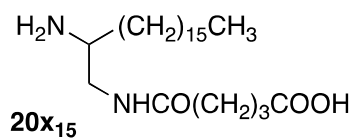
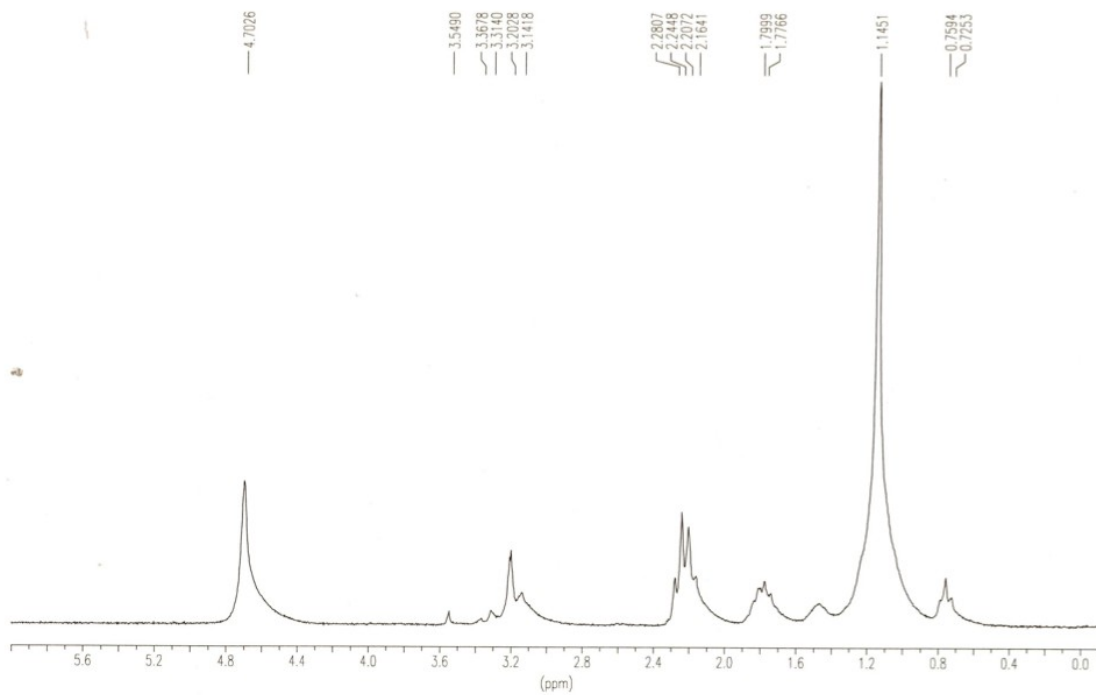


Figura X.242. Espectros de RMN ^1H y ^{13}C del compuesto $\mathbf{20x15}$.

+TOF MS: 0.317 min from Sample 3 (LuisR56) of nov190812.wiff
a=3.56426257209920320e-004, t0=-9.50750920330028750e+000 R_i, subtracted (0.017 to 0...

Max. /64.U counts.

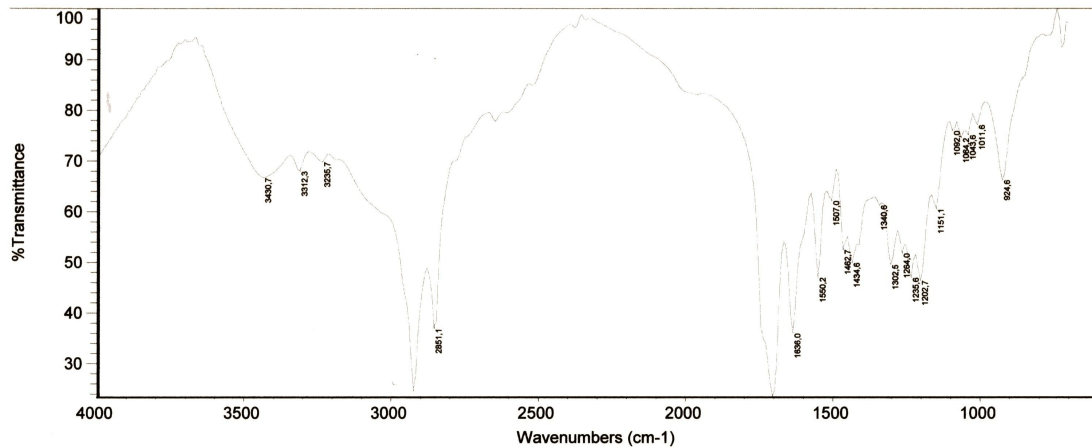
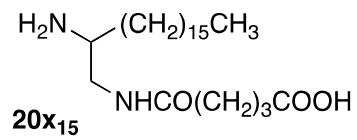
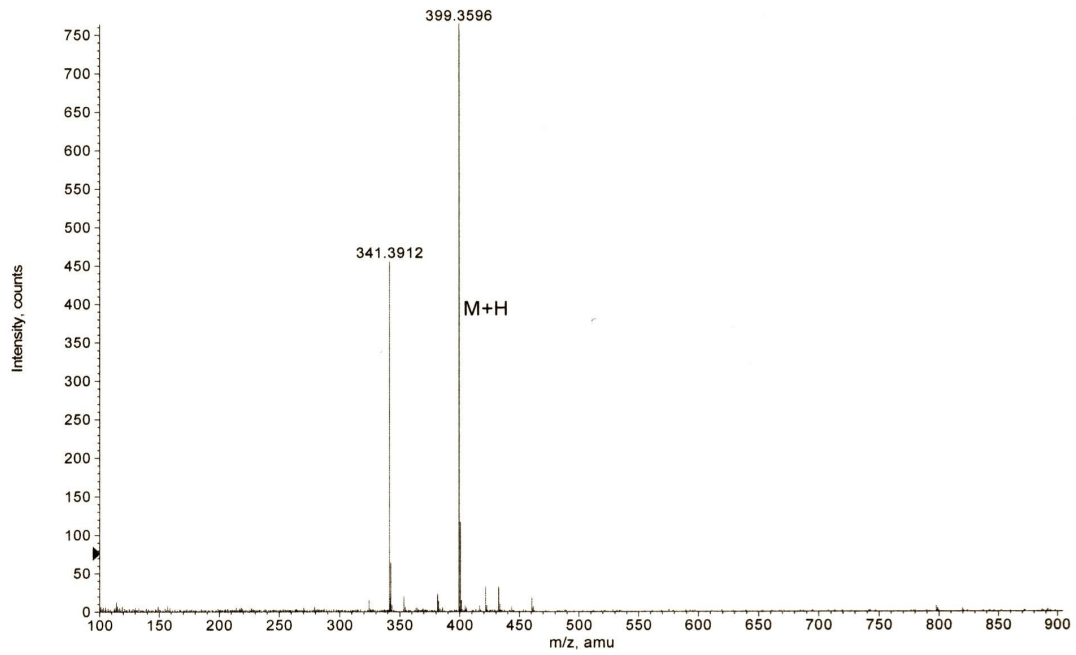


Figura X.243. Espectros de IR y MS del compuesto 20x₁₅.

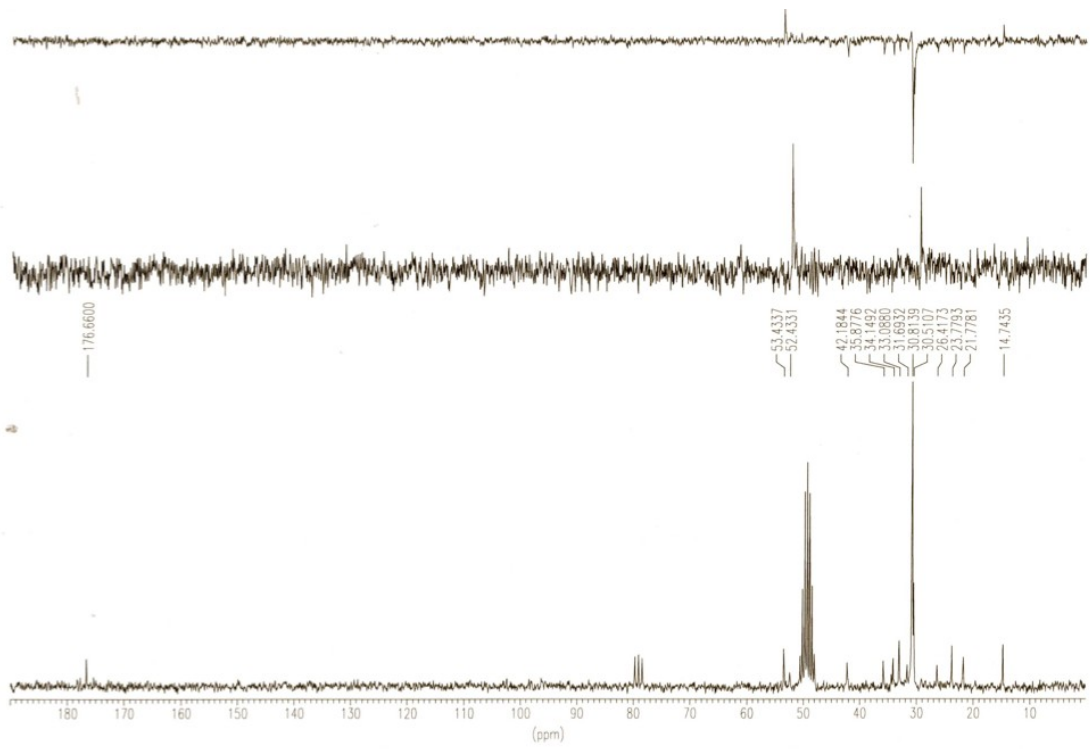
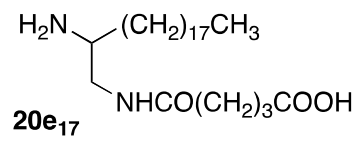
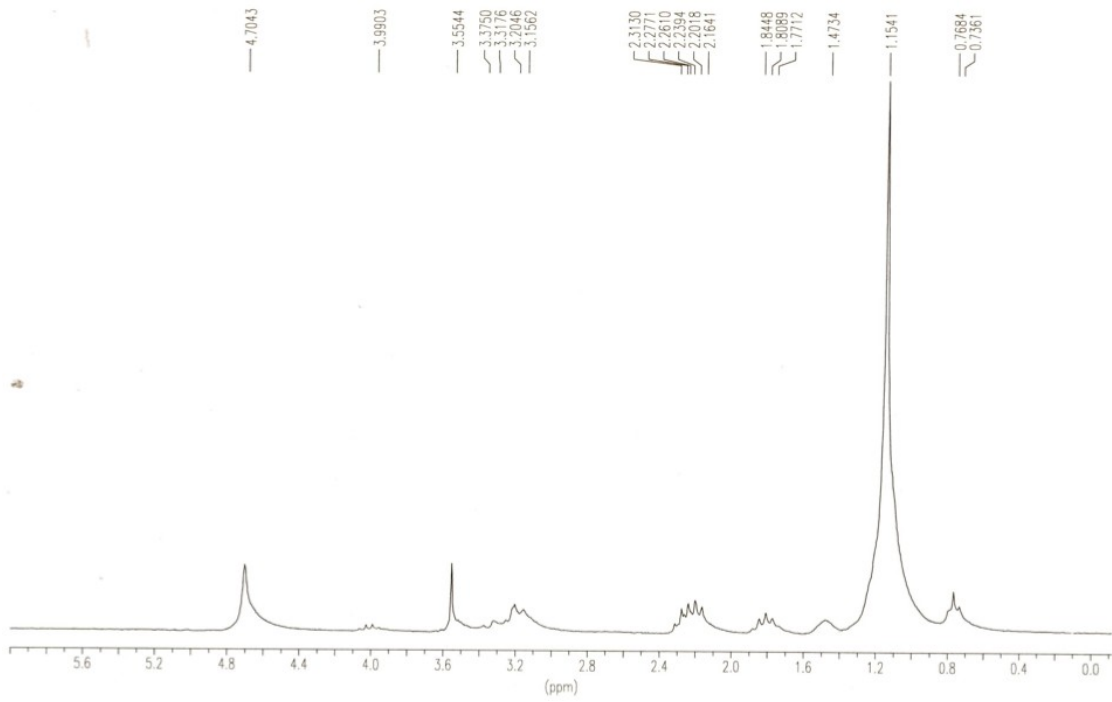


Figura X.244. Espectros de RMN ^1H y ^{13}C del compuesto $20\mathbf{x}_{17}$.

+TOF MS: 0.417 min from Sample 2 (LuisR71) of may1309/2.wiff
a=3.56455243953829240e-004, f0=-1.09012586412718520e+001 R., subtracted (0.017 to 0...

Max. 313.0 counts.

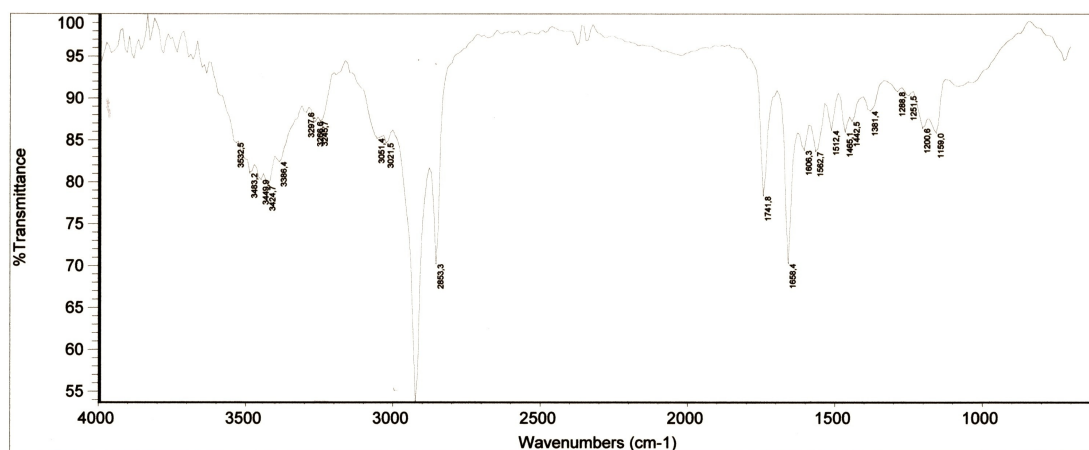
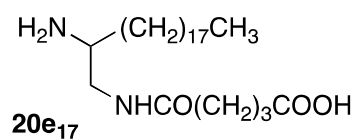
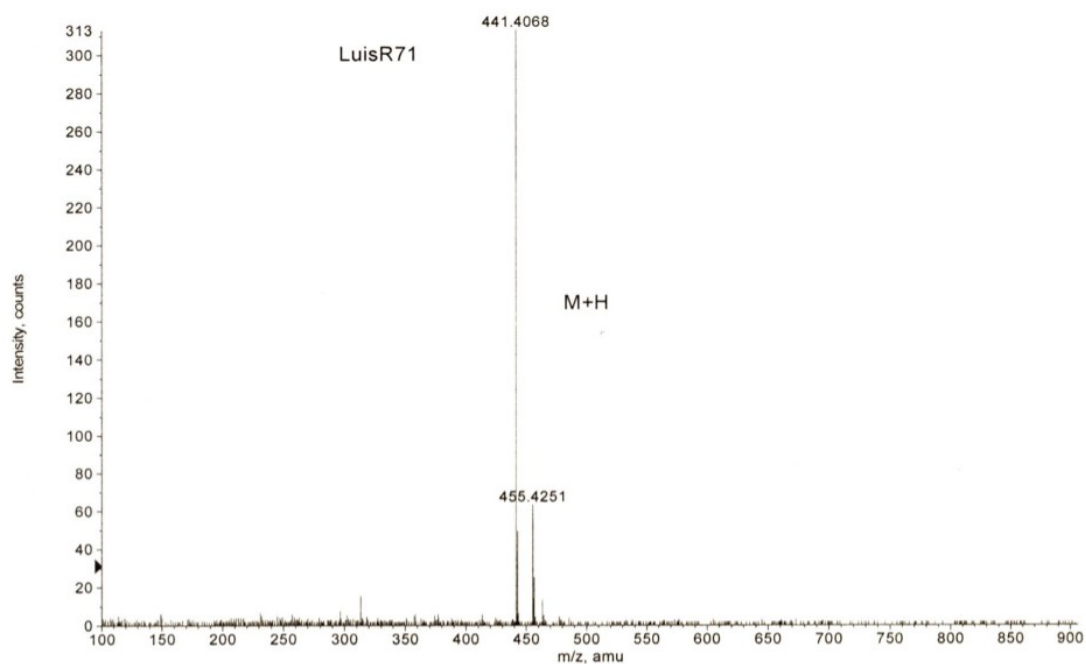


Figura X.245. Espectros de IR y MS del compuesto 20x₁₇.

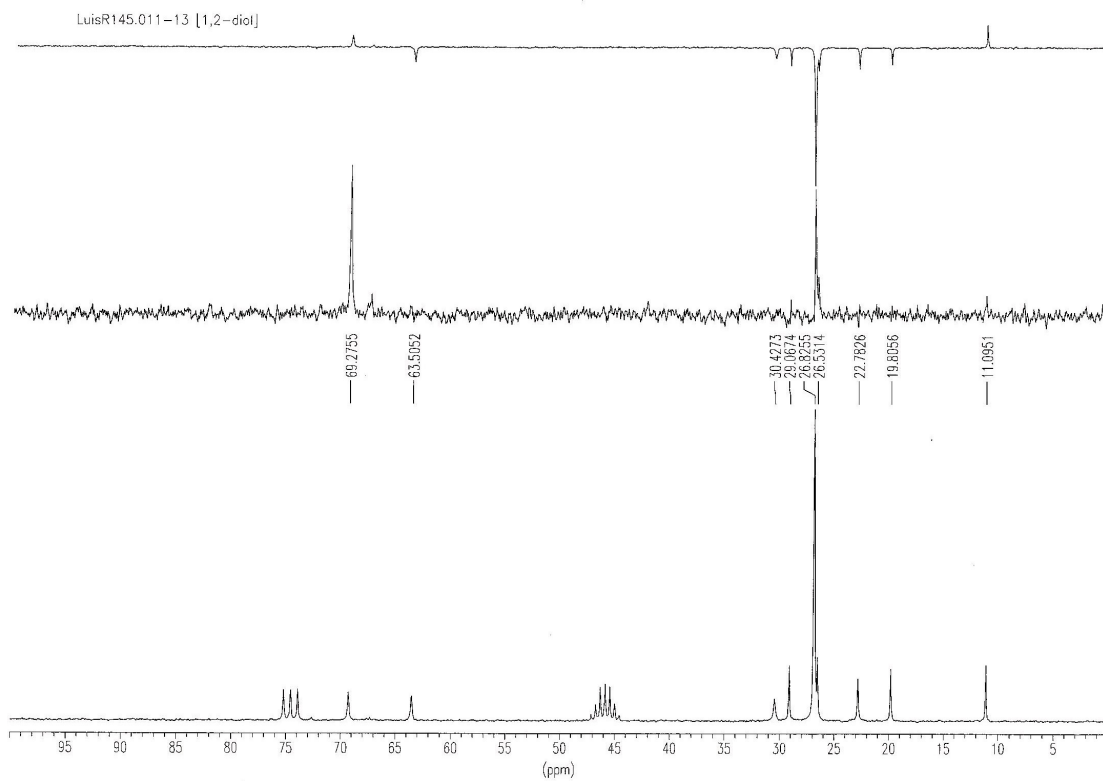
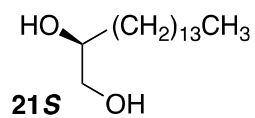
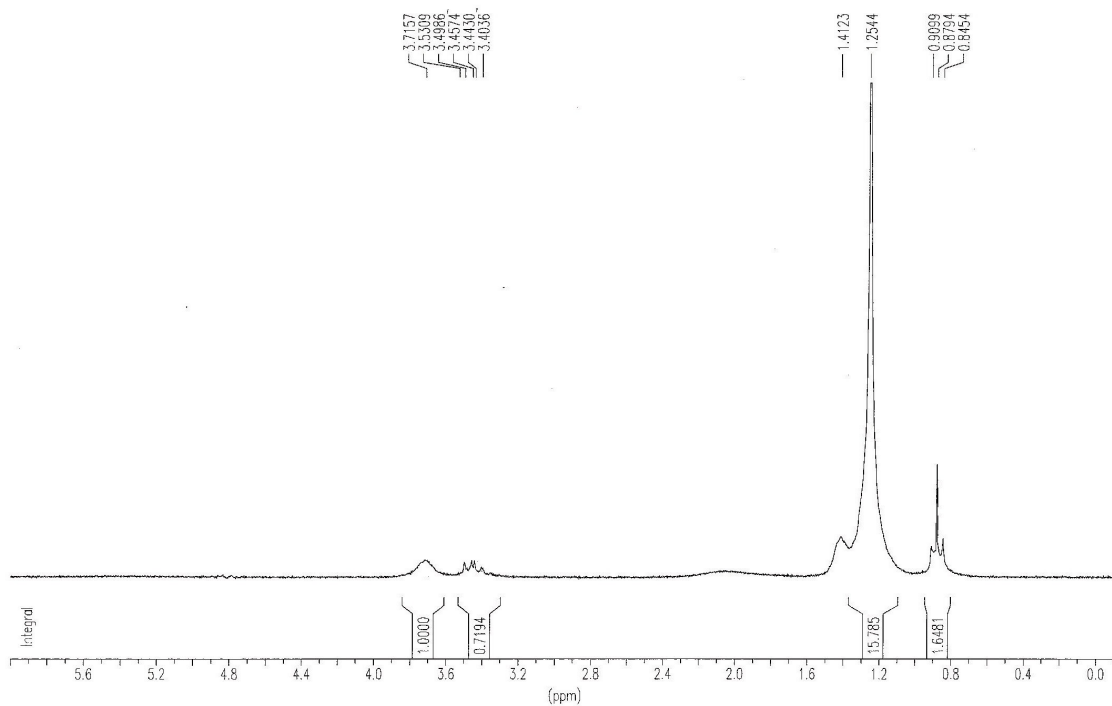


Figura X.246. Espectros de RMN ^1H y ^{13}C del compuesto **21S**.

+TOF MS: 0.234 min from Sample 2 (Luis R145.1) of feb171912.wiff
a=3.56409173406110780e-004, t0=1.03174931623907470e+001 R., subtracted (0.017 to ...

Max. 1346.0 counts.

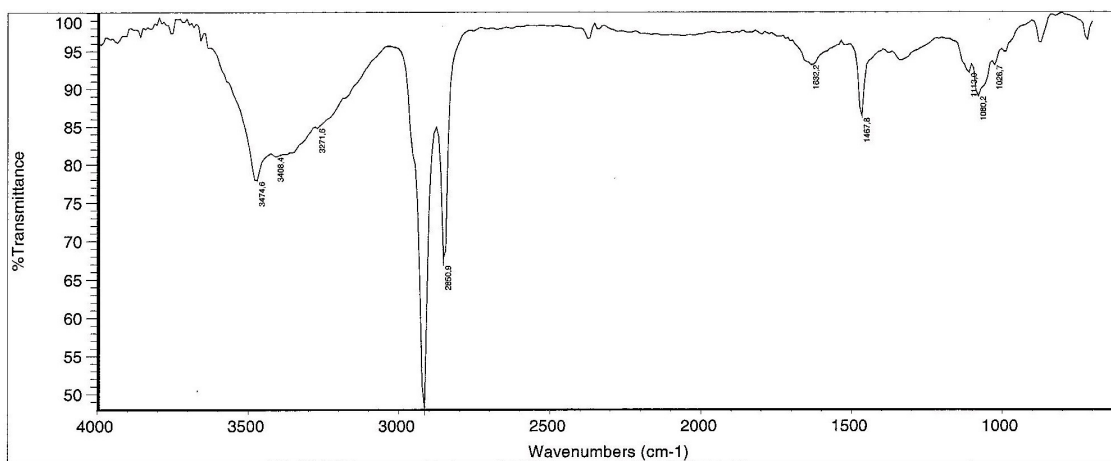
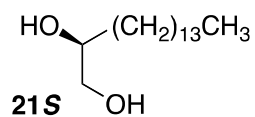
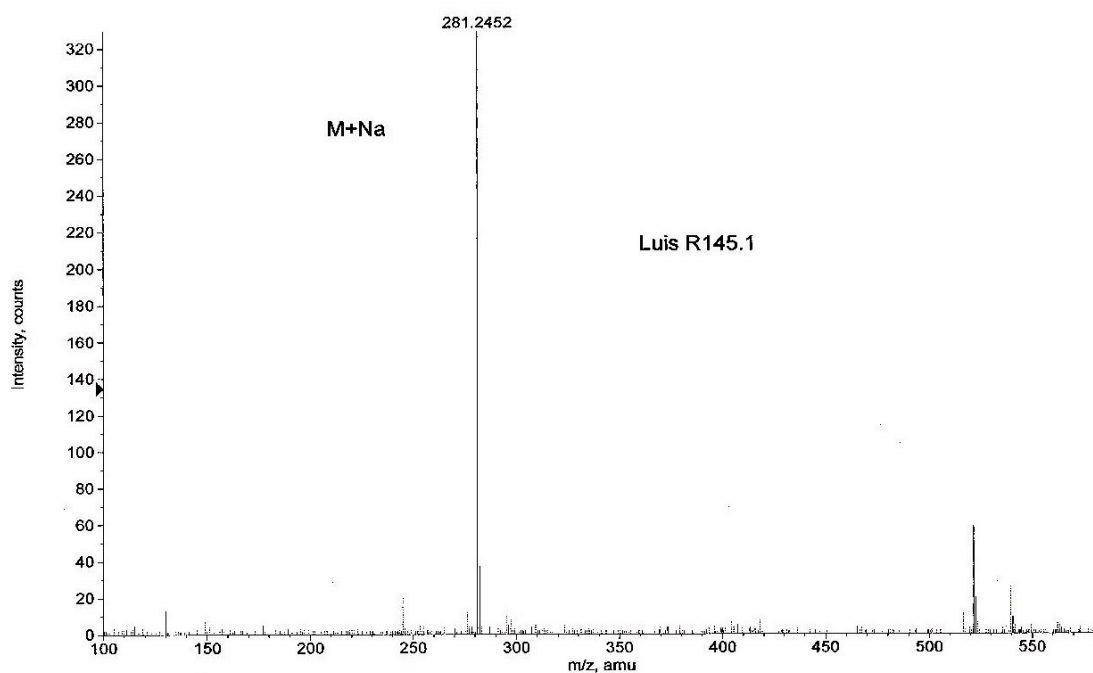


Figura X.247. Espectros de IR y MS del compuesto 21S.

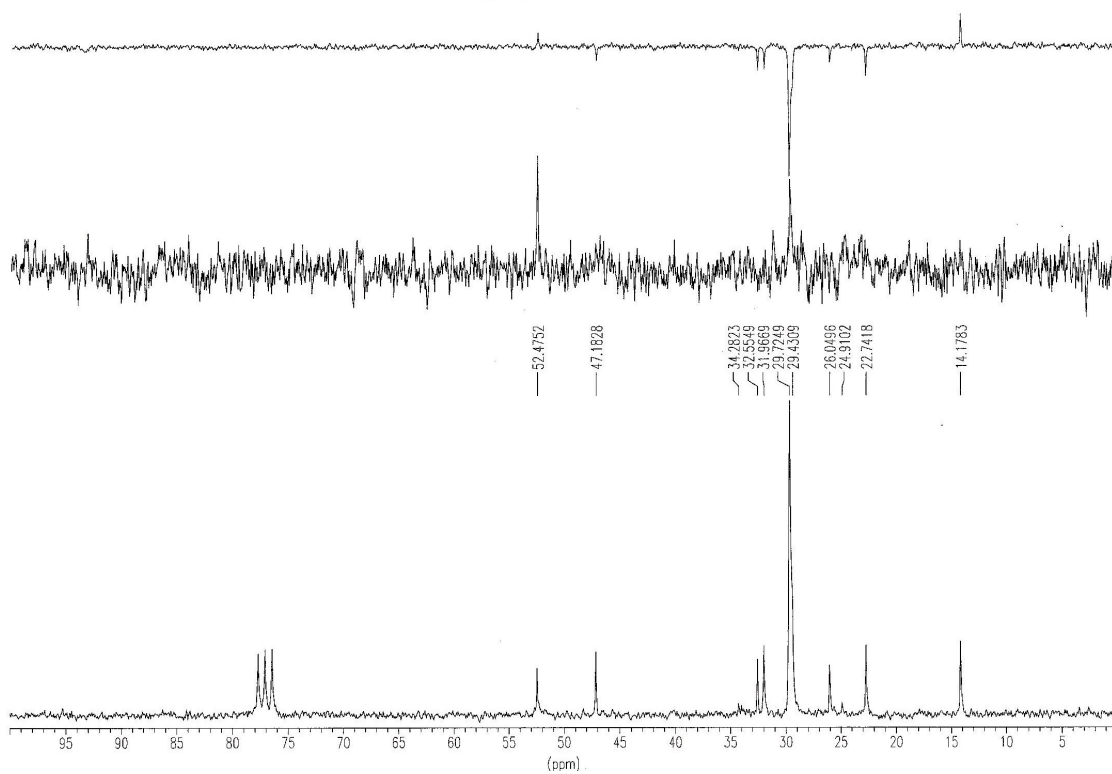
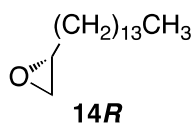
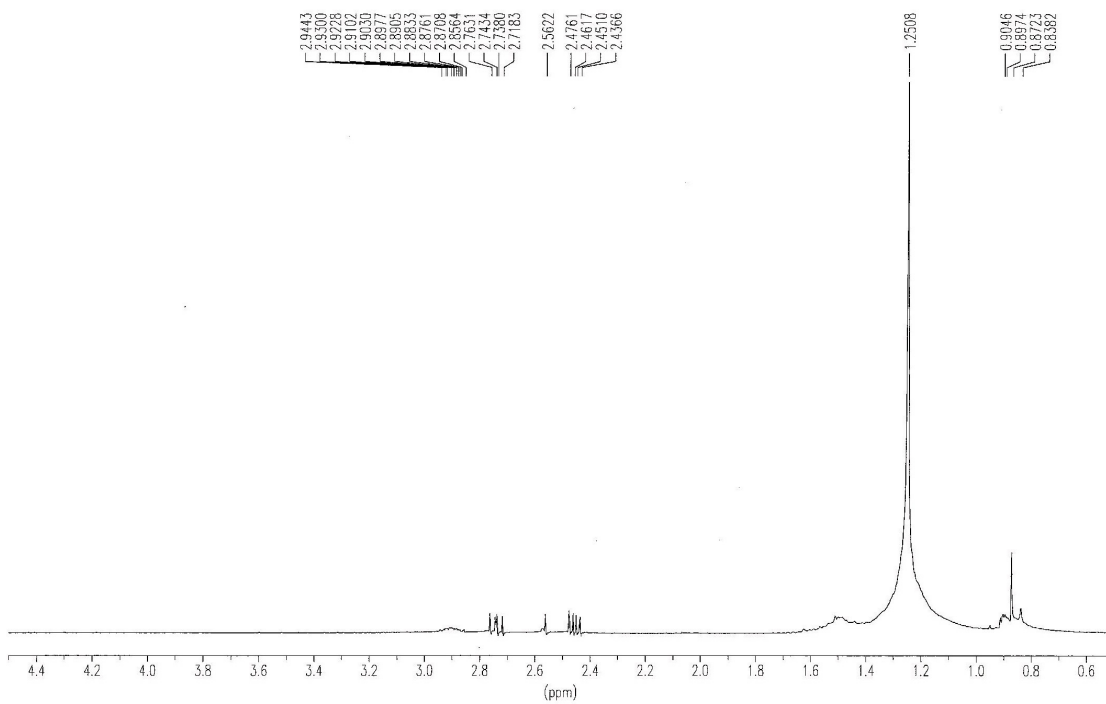


Figura X.248. Espectros de RMN ^1H y ^{13}C del compuesto **14R**.

+TOF MS: 0.234 min from Sample 3 (ref) of may11104.wiff
a=3.56359452041120300e-004, t0=-8.79514997324804430e+000 R., subtracted (0.034 to 0.067 mi... Max. 315.0 counts.

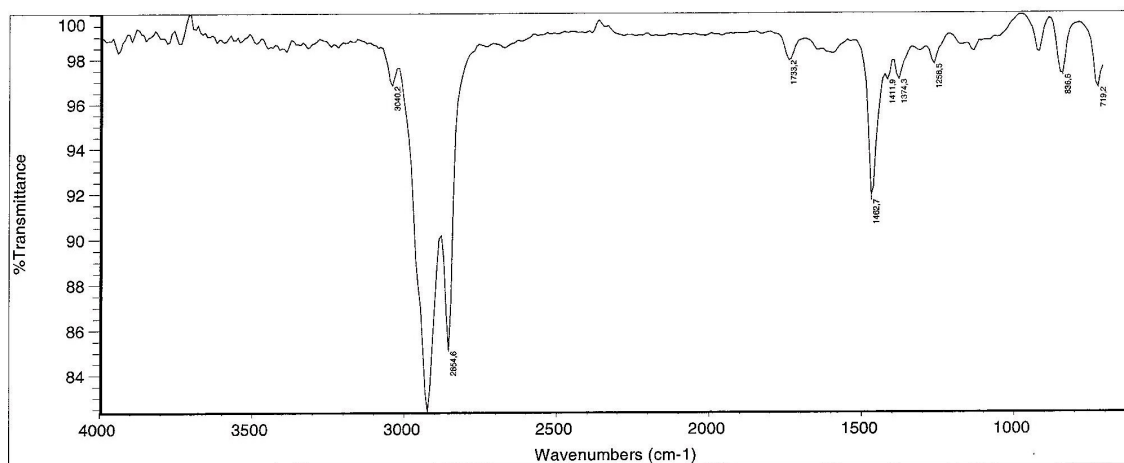
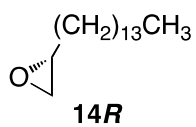
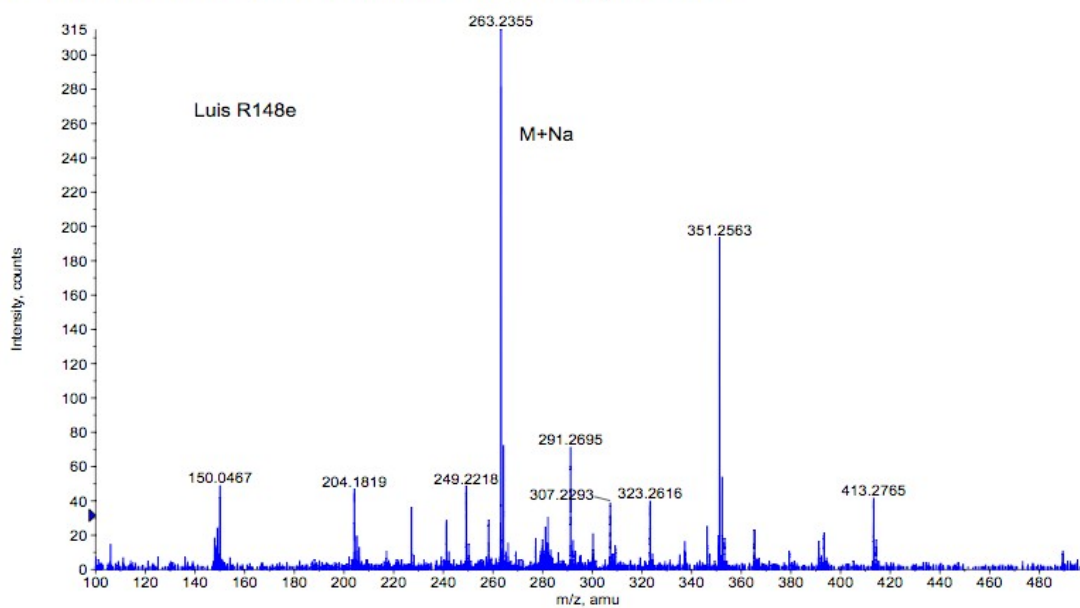


Figura X.249. Espectros de IR y MS del compuesto 14R.

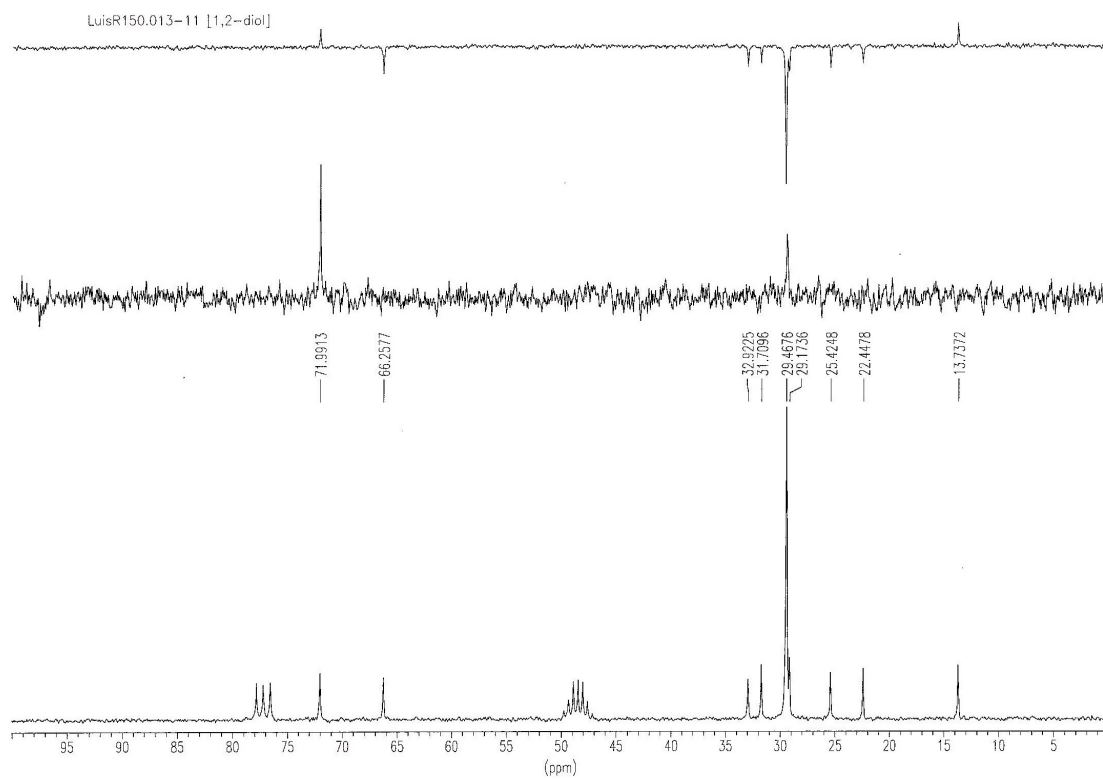
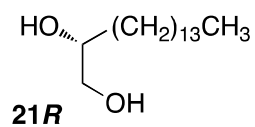
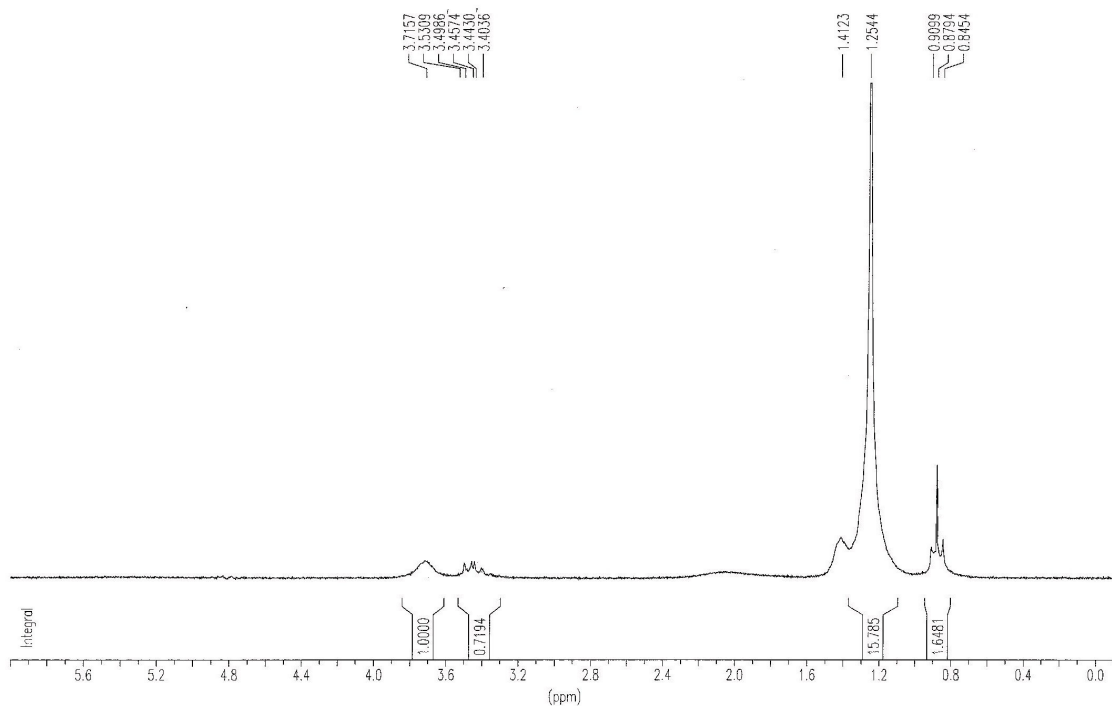


Figura X.250. Espectros de RMN ^1H y ^{13}C del compuesto **21R**.

+TOF MS: 0.234 min from Sample 2 (Luis R145.1) of feb171912.wiff
a=3.56409173406110780e-004, t0=-1.03174931623907470e+001 R_z; subtracted (0.017 to ...

Max. 1346.0 counts.

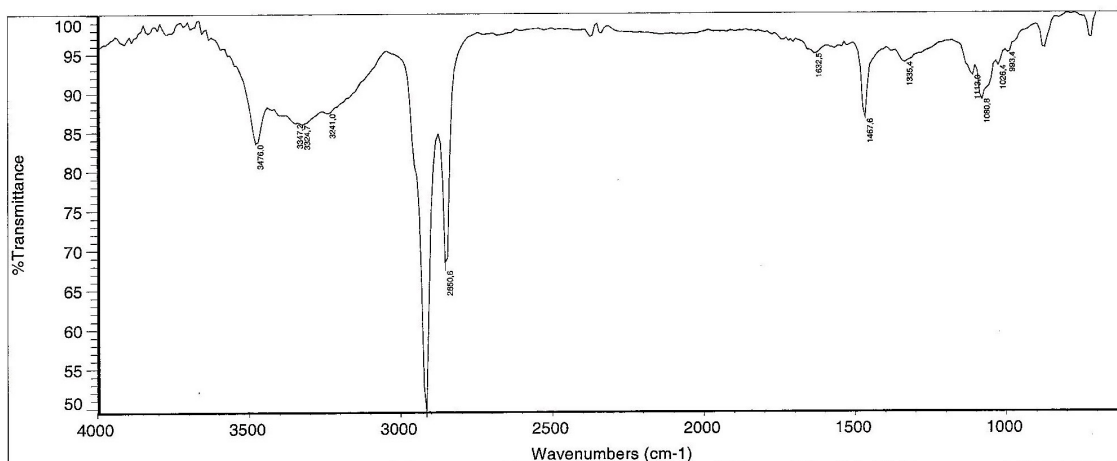
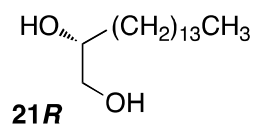
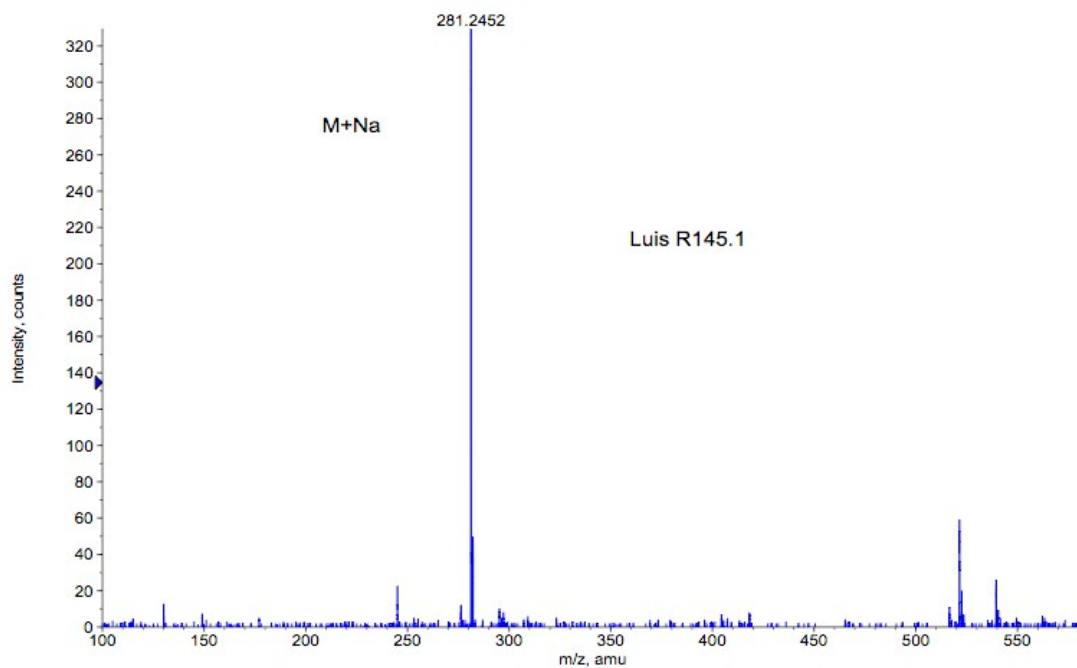


Figura X.251. Espectros de IR y MS del compuesto **21R**.

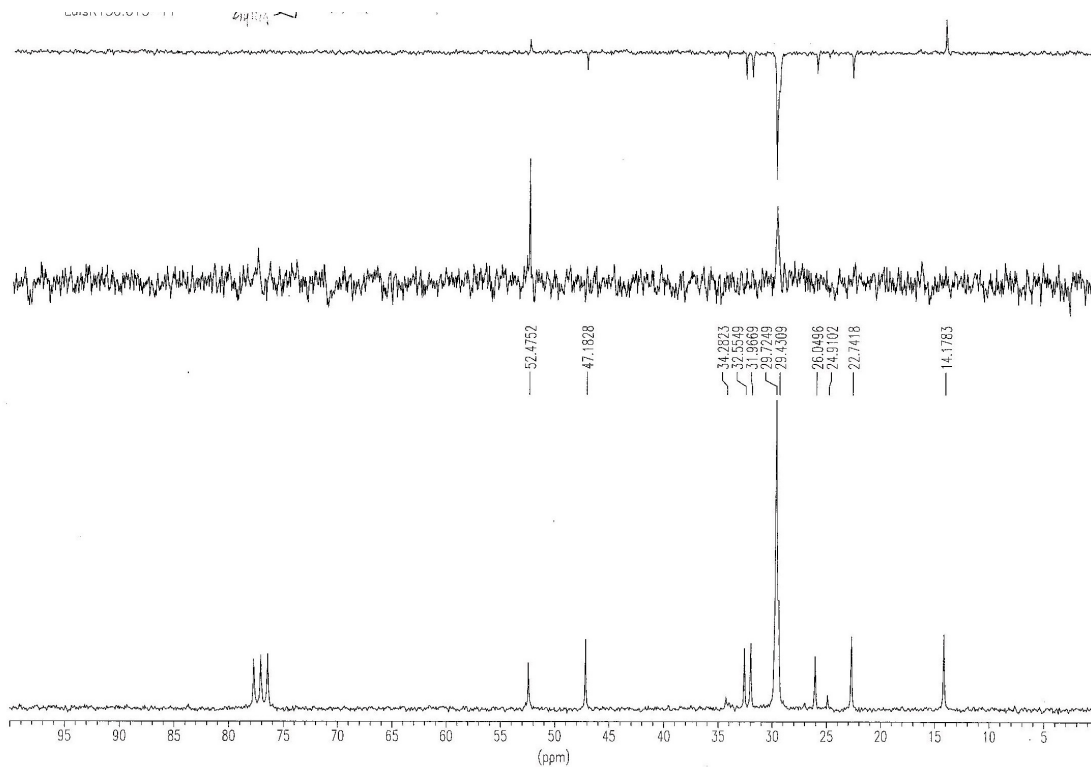
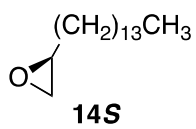
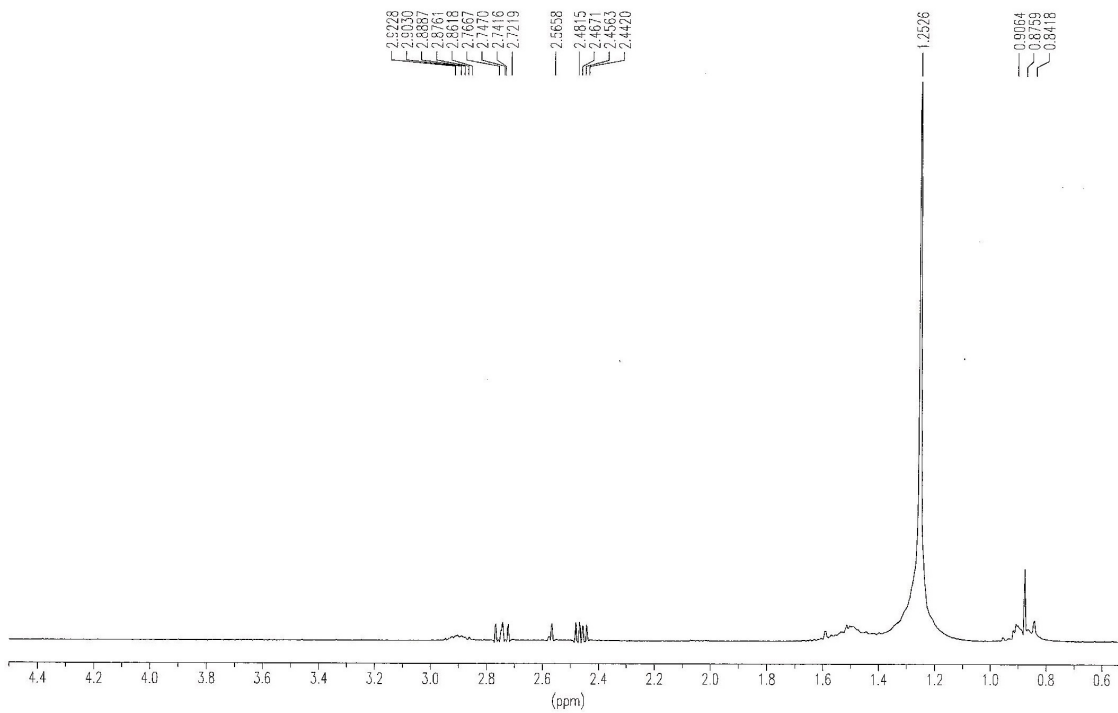


Figura X.252. Espectros de RMN ^1H y ^{13}C del compuesto **14S**.

+TOF MS: 0.267 min from Sample 2 (ref) of may111014.wiff
a=3.56359452041120300e-004, t0=-8.79514997324804430e+000 R_i, subtracted (0.034 to 0.067 mi... Max. 356.3 counts.

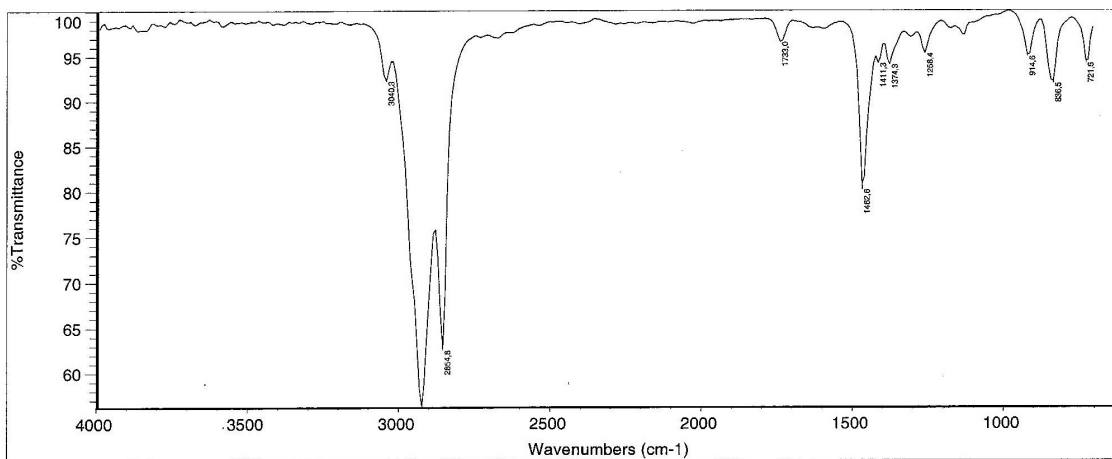
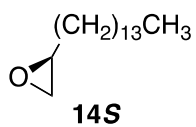
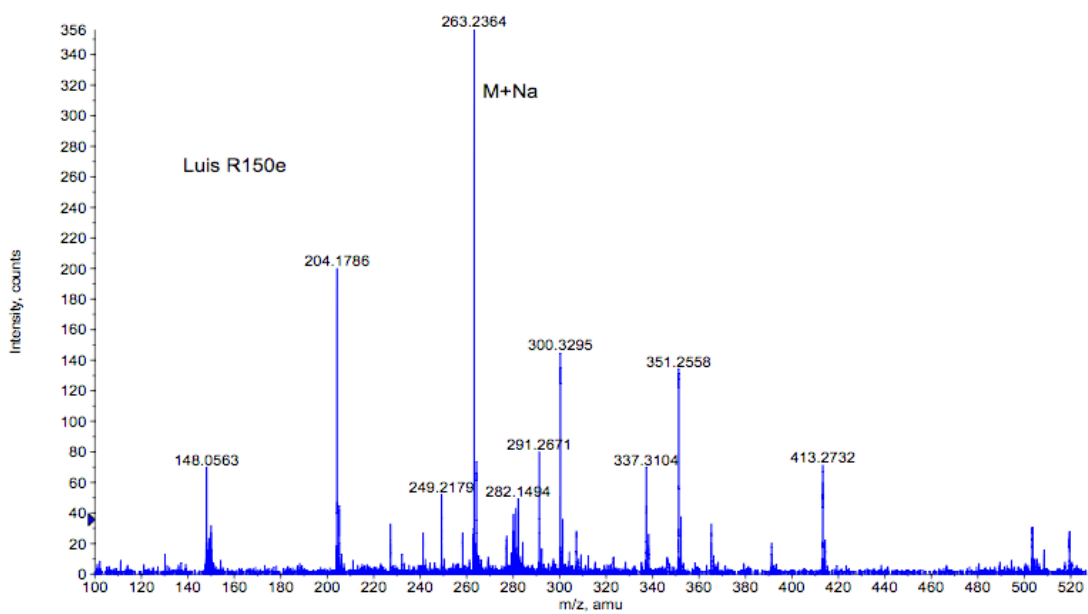


Figura X.253. Espectros de IR y MS del compuesto 14S.

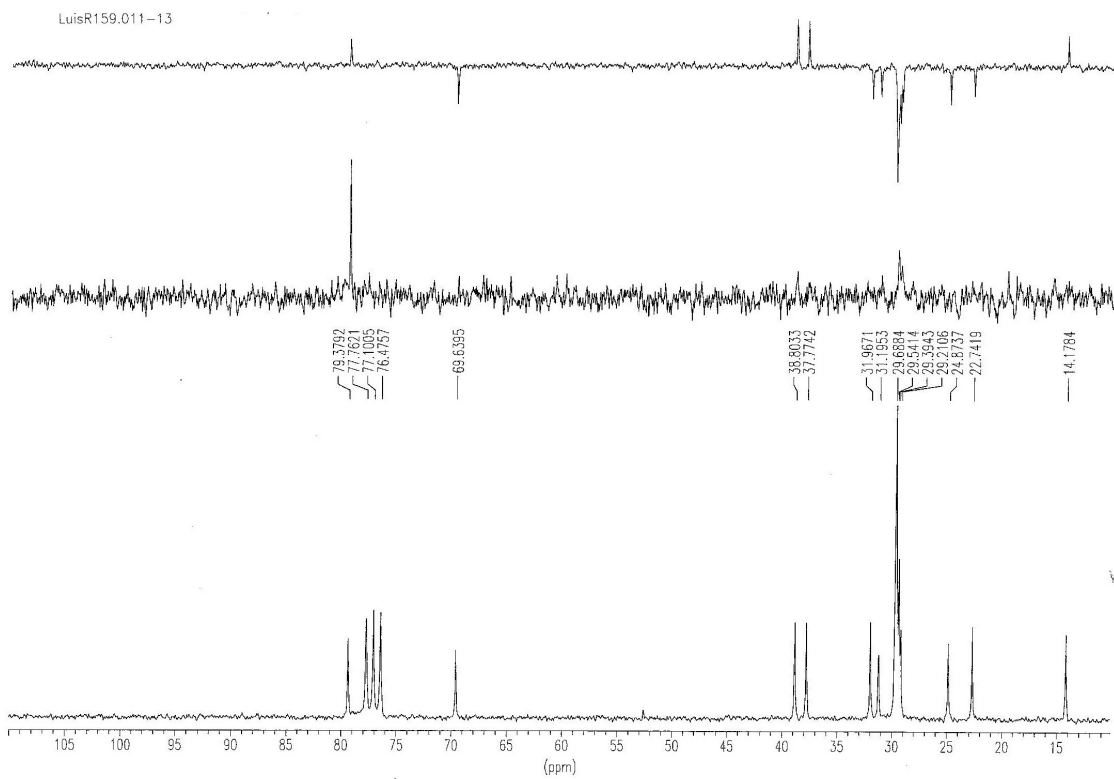
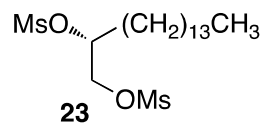
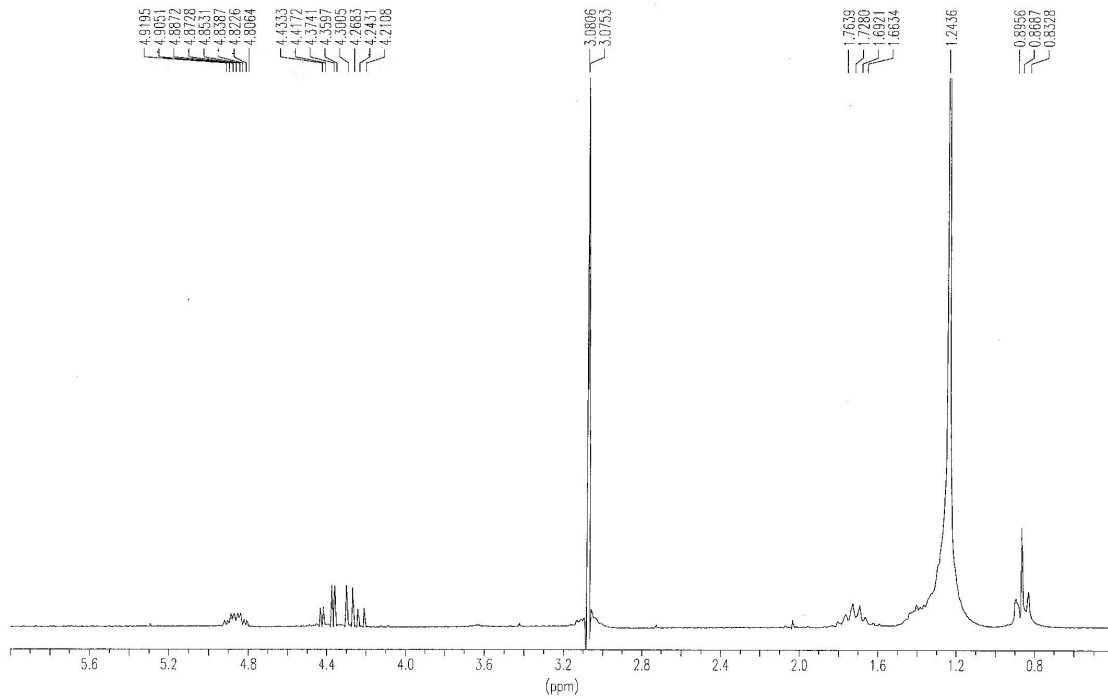


Figura X.254. Espectros de RMN ^1H y ^{13}C del compuesto 23.

+TOF MS: 0.184 min from Sample 5 (ref) of may111012.wiff
a=3.56360570221609580e-004, t0=-8.95292943717140590e+000 R_i; subtracted (0.034 to 0.084 mi...

Max. 851.3 counts.

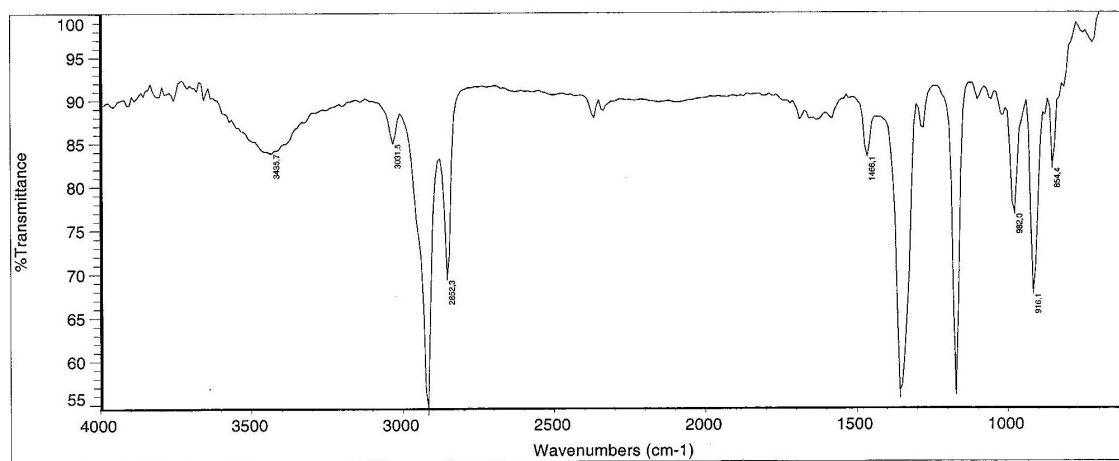
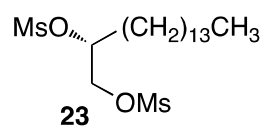
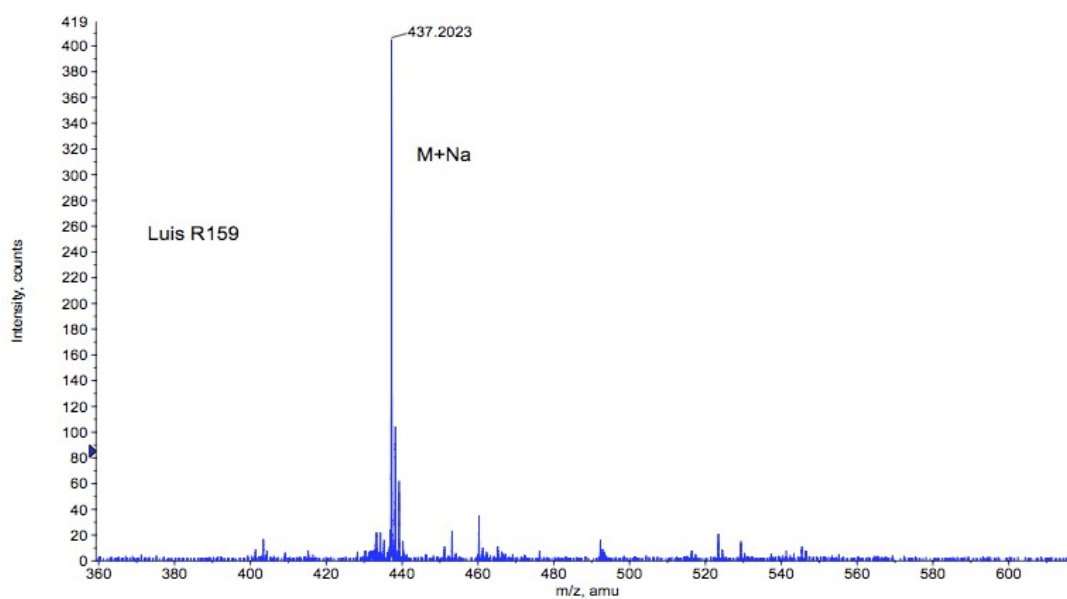


Figura X.255. Espectros de IR y MS del compuesto 23.

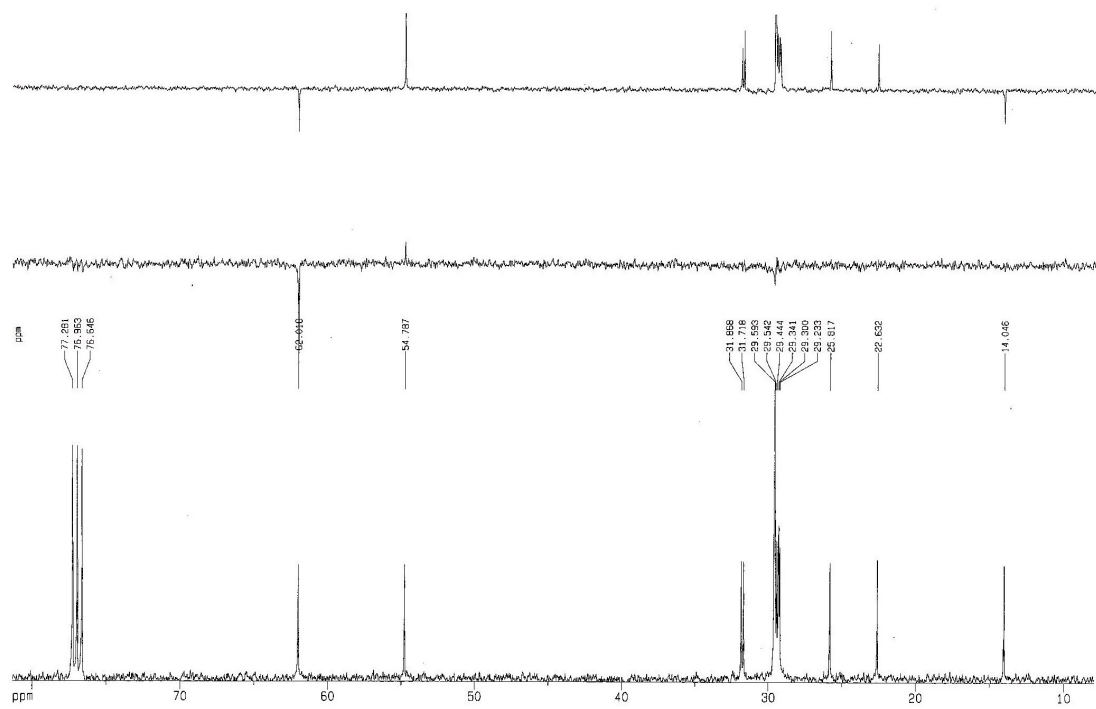
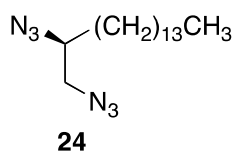
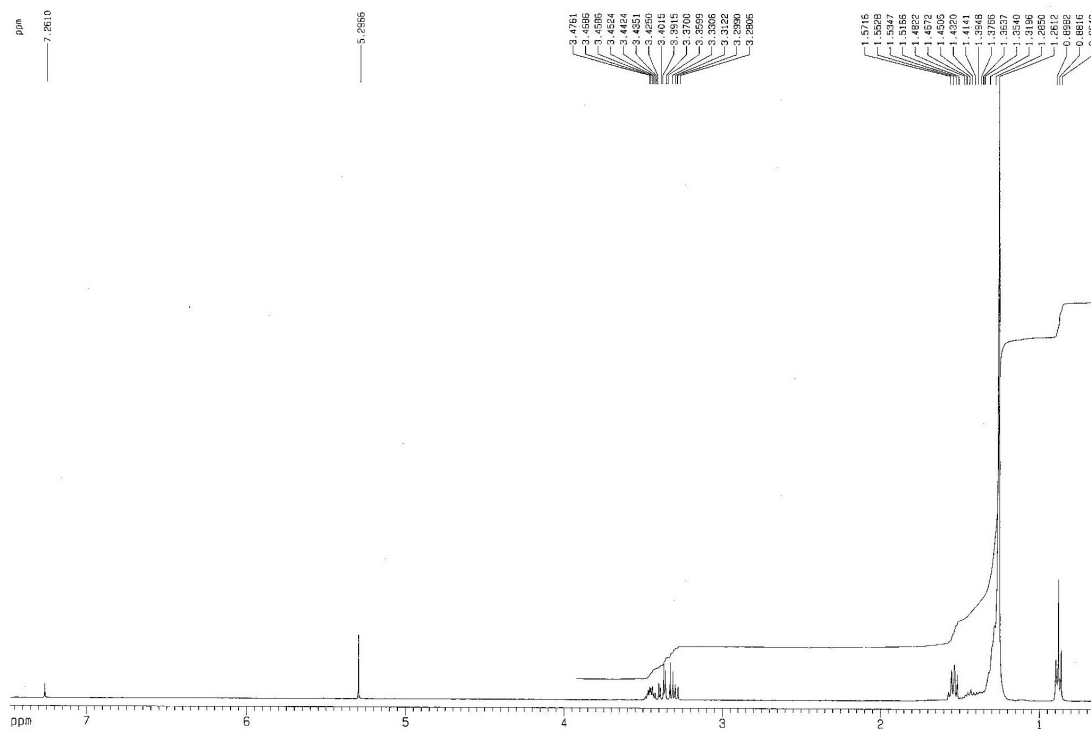


Figura X.256. Espectros de RMN ¹H y ¹³C del compuesto 24.

+TOF MS: 0.167 min from Sample 3 (Luis R165) of jun021011.wiff
a=3.56384794292394720e-004, t0=-8.54782071805675510e+000 R₁, subtracted (0.034 to 0.067 mi...

Max. 389.3 counts.

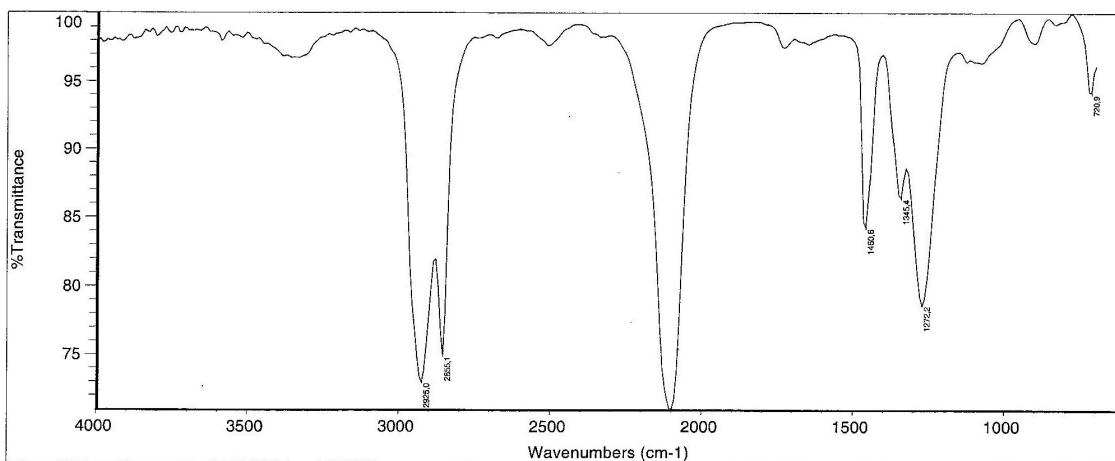
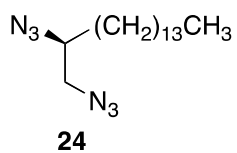
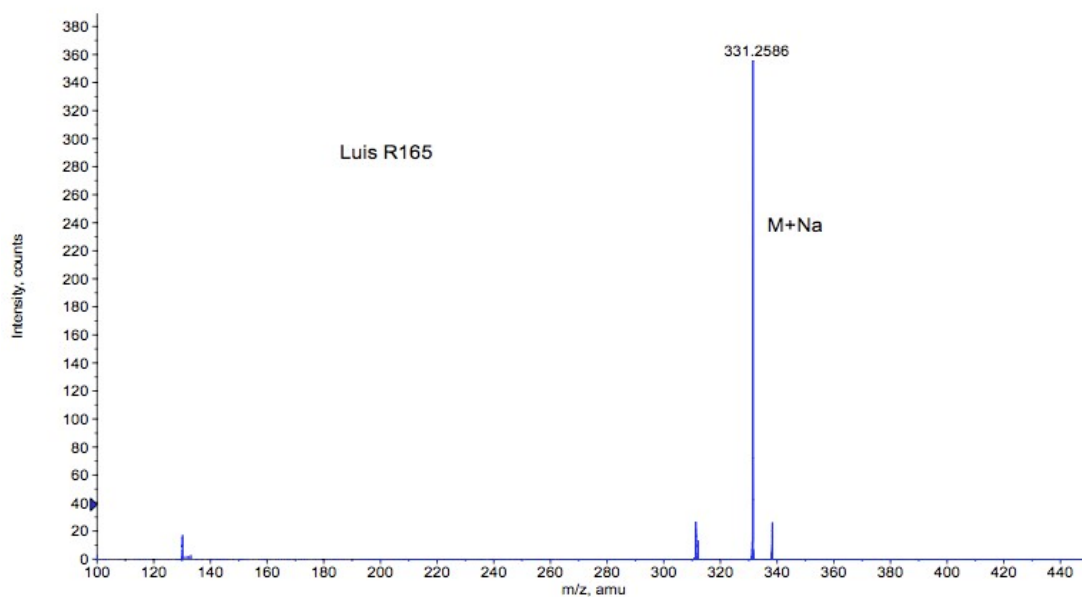


Figura X.257. Espectros de IR y MS del compuesto 24.

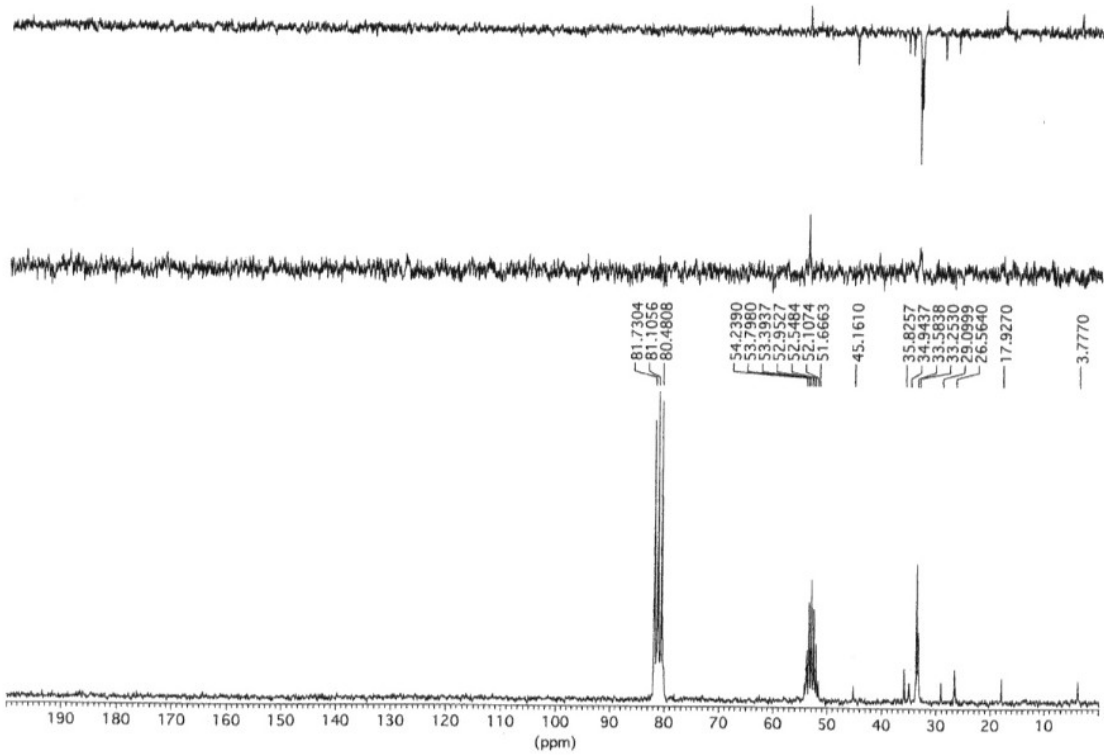
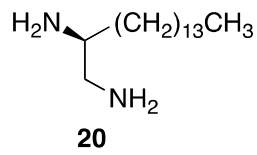
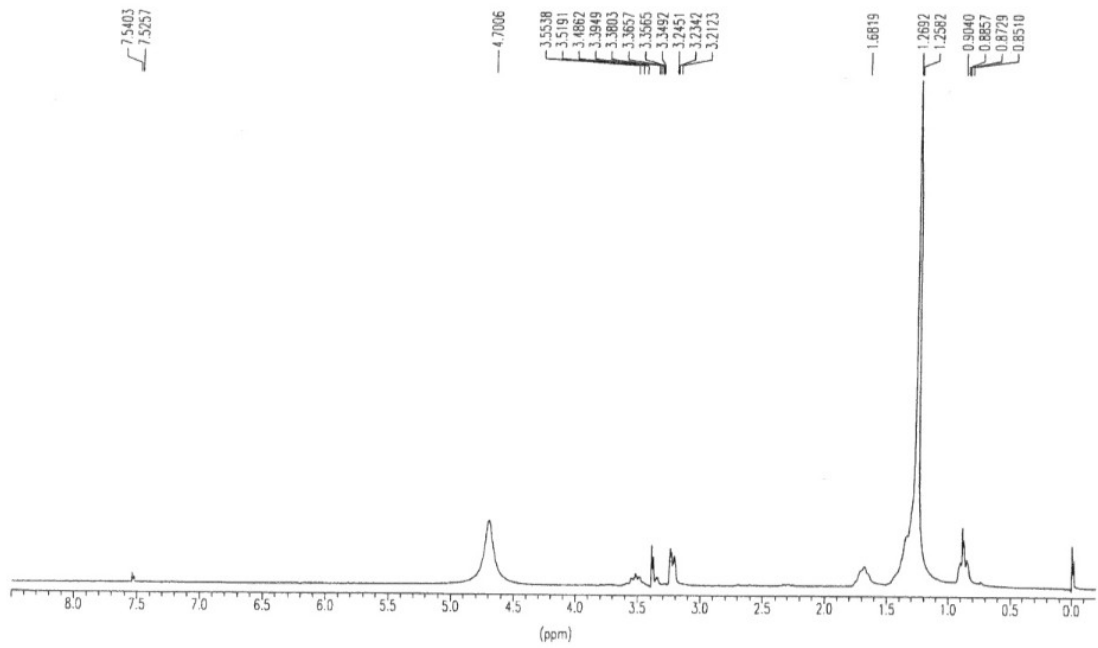


Figura X.257a. Espectros de RMN ^1H y ^{13}C del compuesto **20**.

+TOF MS: 0.284 min from Sample 2 Luis20 of oct271112.wiff
a=3.56671790905354040e-004, t0=-3.50505284760984070e+001 R;, subtracted (0.034 to 0...

Max. 548.0 counts.

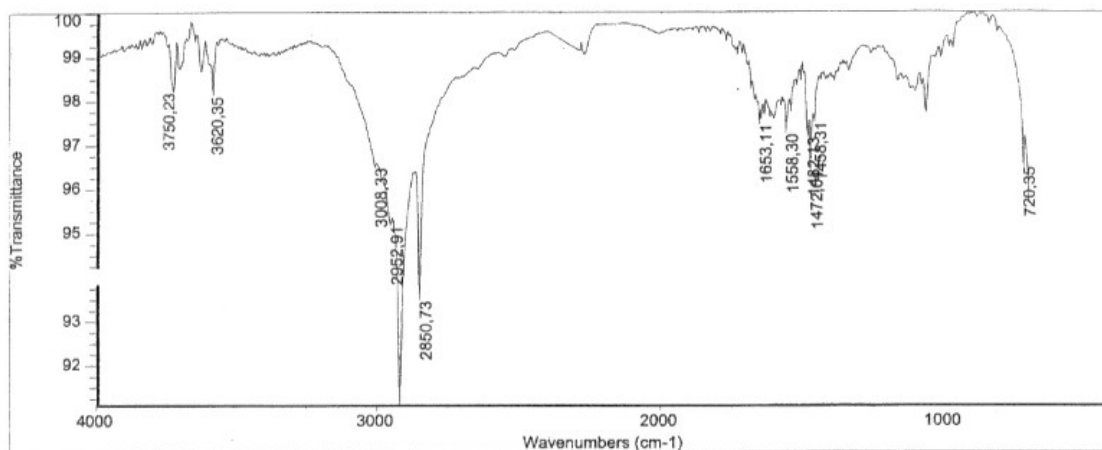
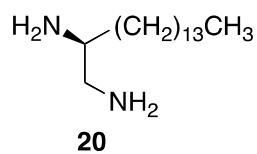
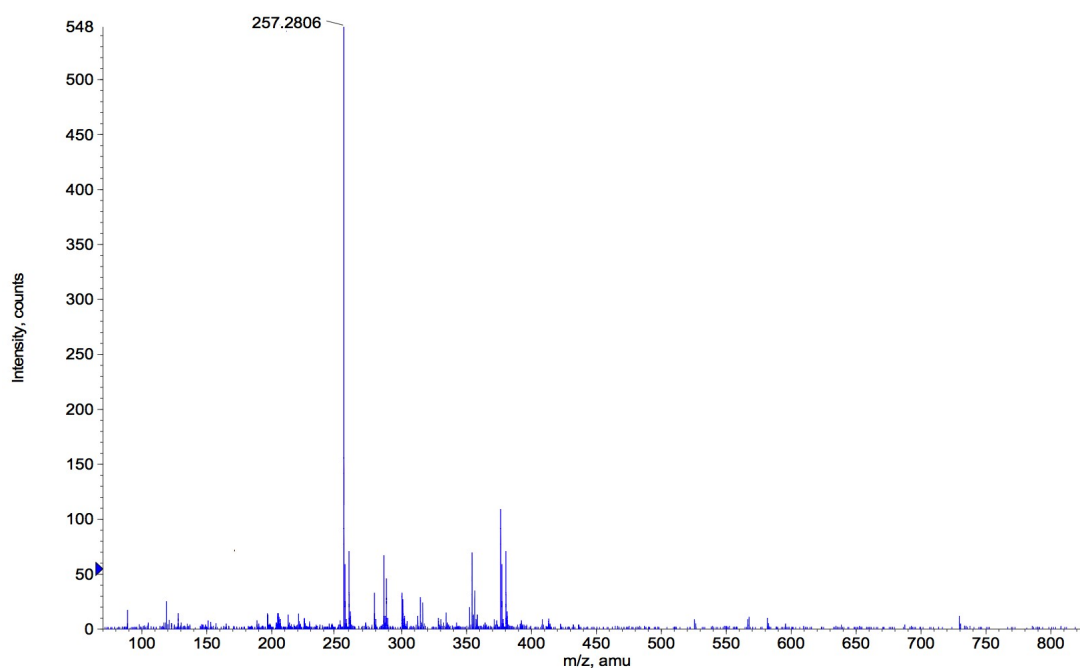


Figura X.257b. Espectros de IR y MS del compuesto 20.

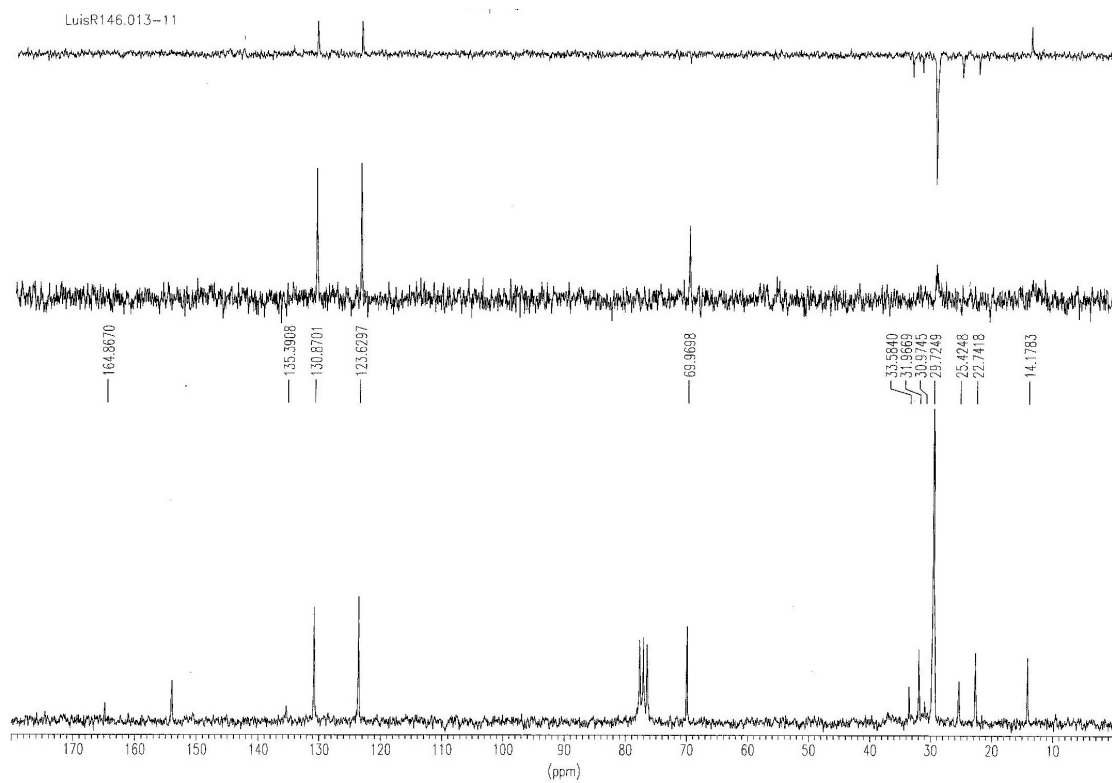
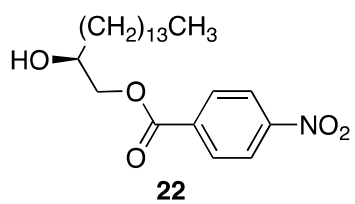
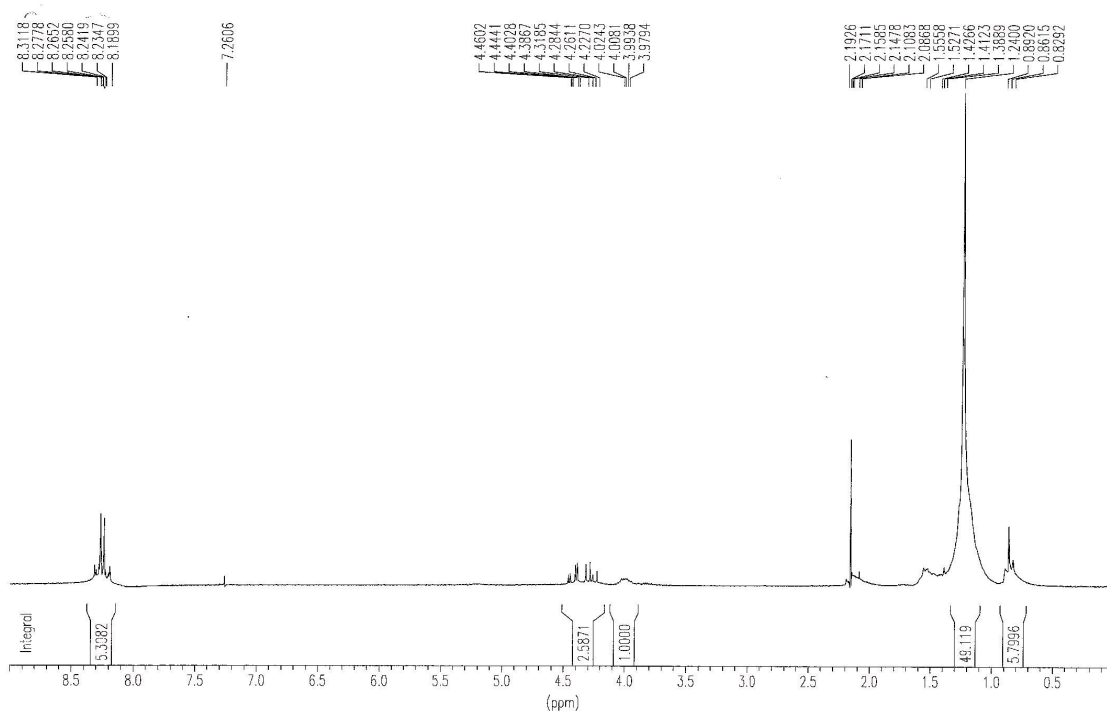


Figura X.258. Espectros de RMN ^1H y ^{13}C del compuesto **22**.

+TOF MS: 0.284 min from Sample 4 (Luis r146) of may061014.wiff
a=3.56364802673708550e-004, t0=-9.26133603159541960e+000 R_z, subtracted (0.034 to 0.067 min... Max. 73.0 counts.

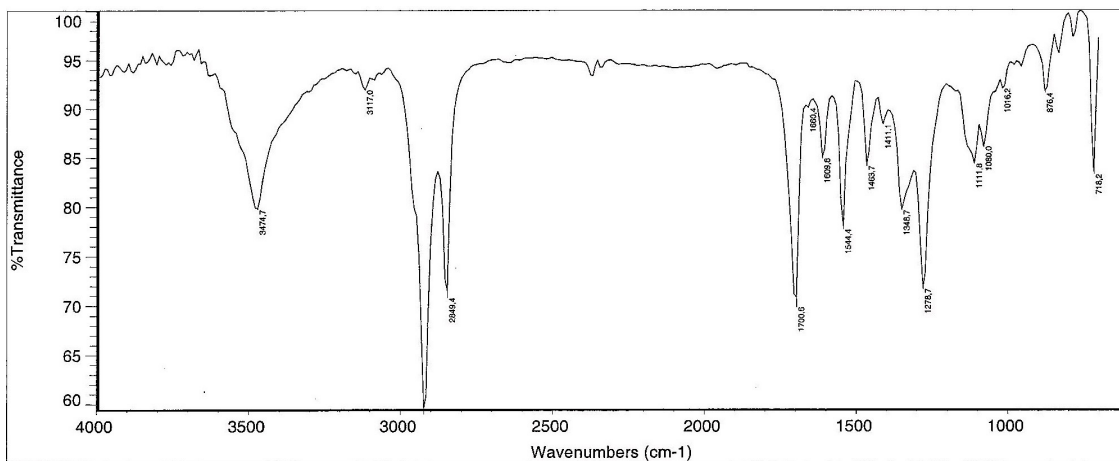
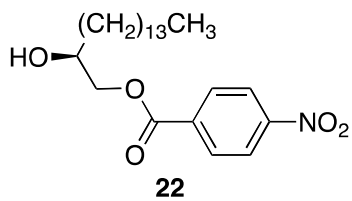
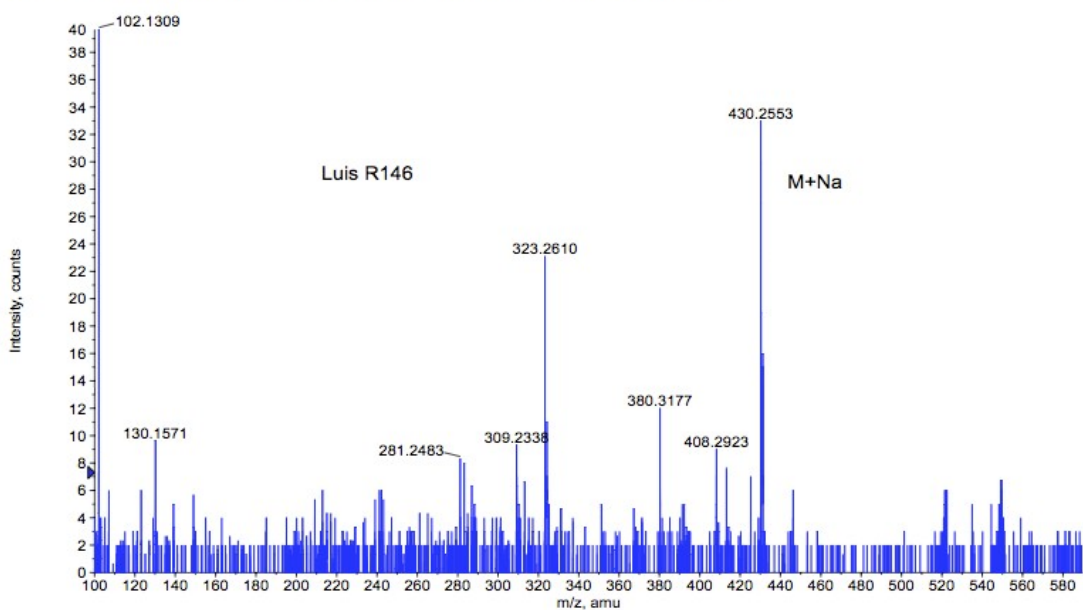


Figura X.259. Espectros de IR y MS del compuesto 22.

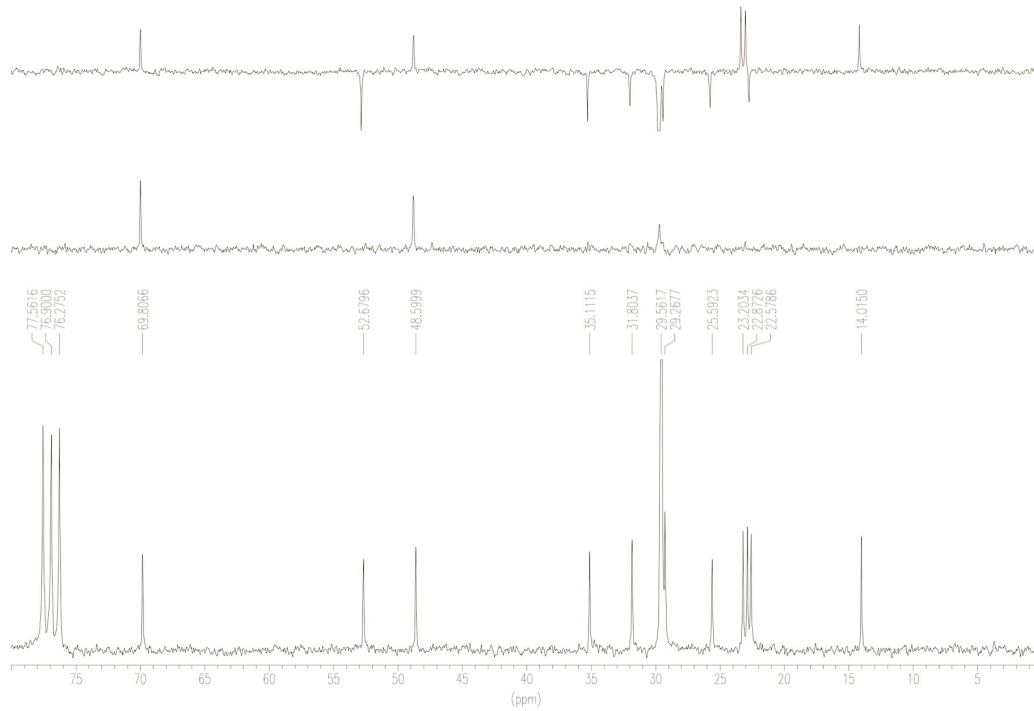
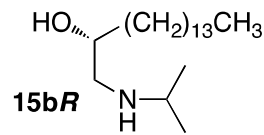
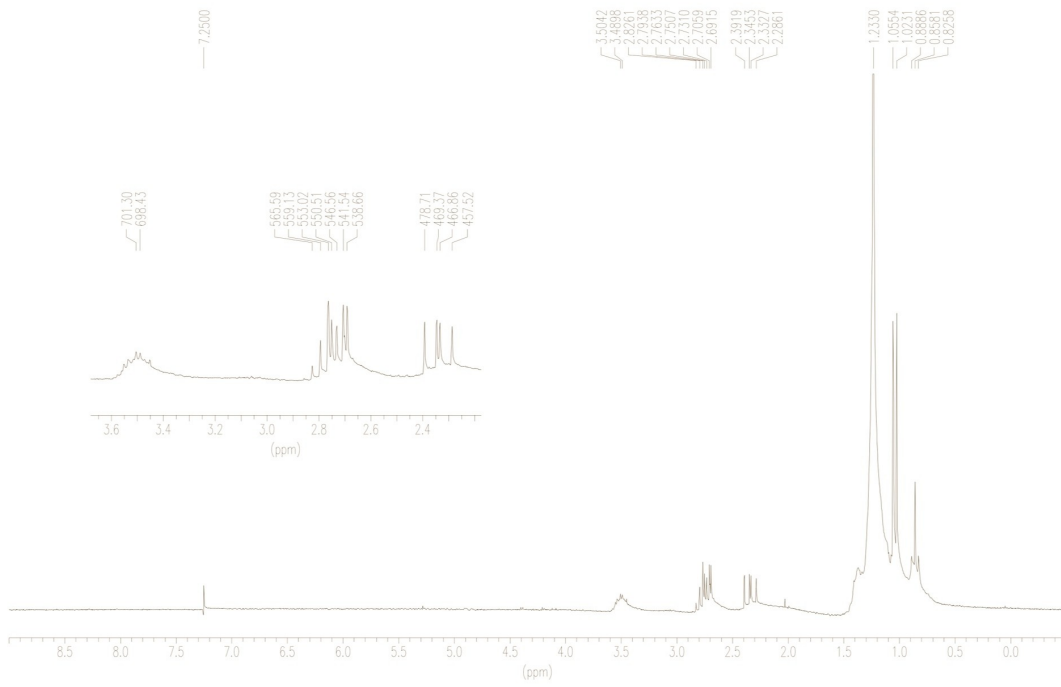


Figura X.260. Espectros de RMN ¹H y ¹³C del compuesto **15bR**.

+TOF MS: 0.534 min from Sample 4 (ref) of may111014.wiff
a=3.56359452041120300e-004, t0=-8.79514997324804430e+000 R., subtracted (0.034 to 0.067 mi...

Max. 509.0 counts.

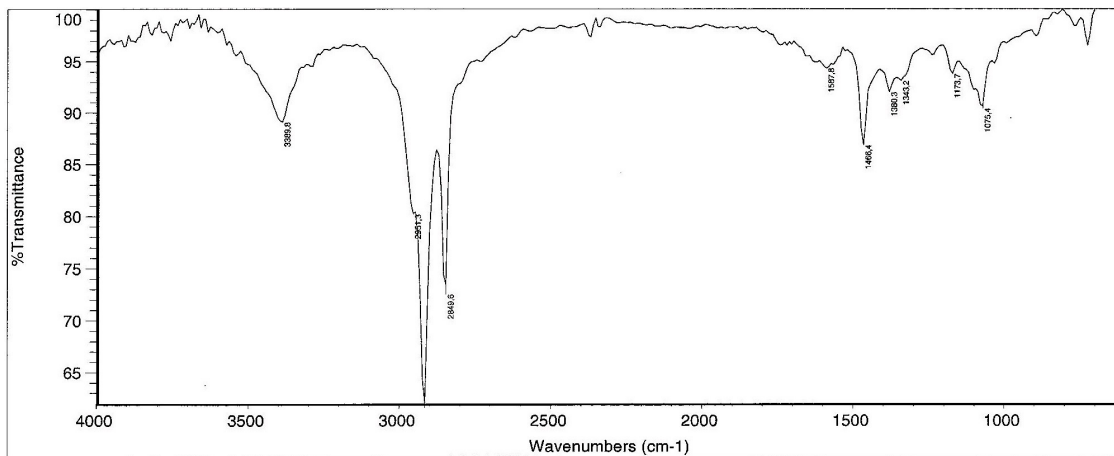
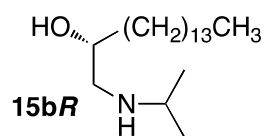
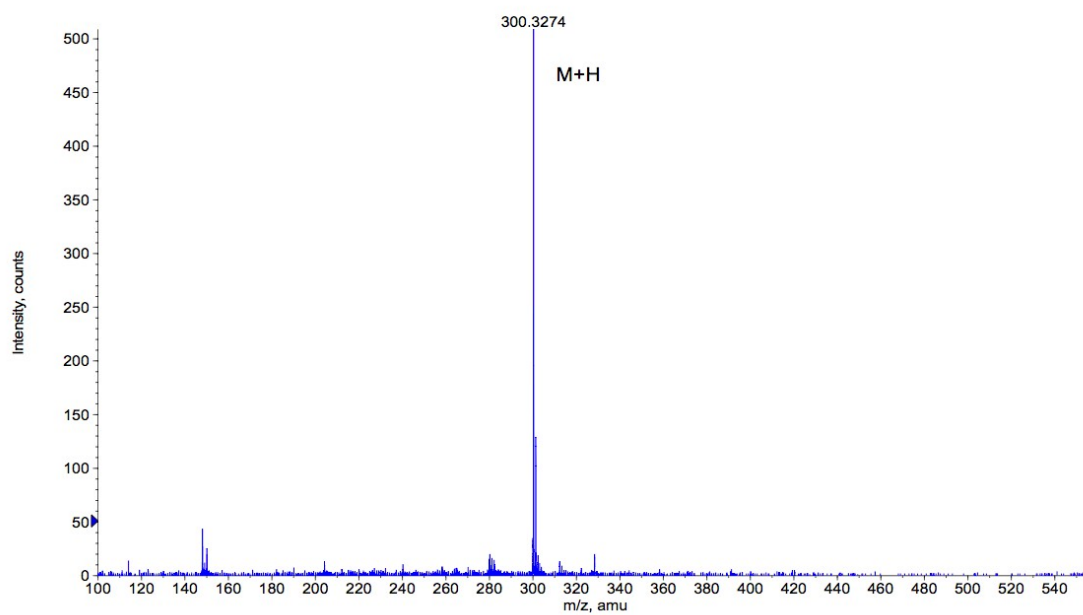


Figura X.261. Espectros de IR y MS del compuesto **15bR**.

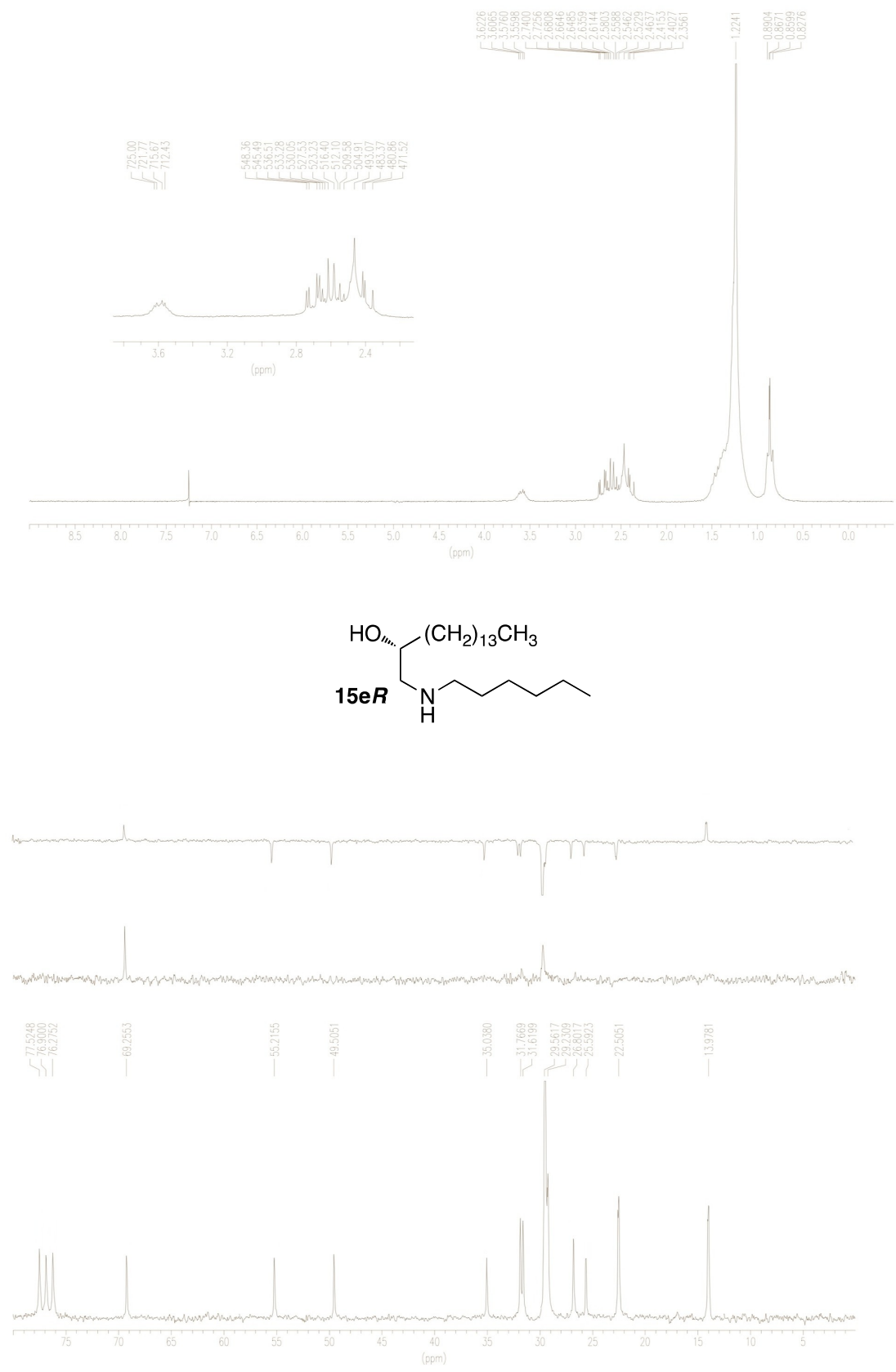


Figura X.262. Espectros de RMN ¹H y ¹³C del compuesto 15eR.

+TOF MS: 0.483 min from Sample 4 (ref) of may111015.wiff
a=3.56356965707914080e-004, t0=-8.77258342793720660e+000 R-, subtracted (0.033 to 0.067 mi...

Max. 544.7 counts.

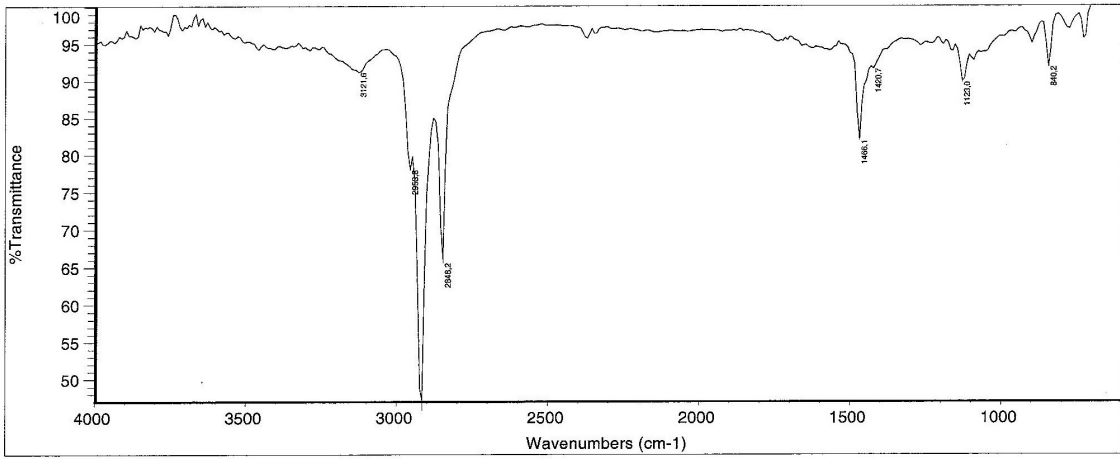
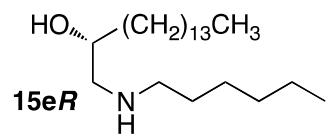
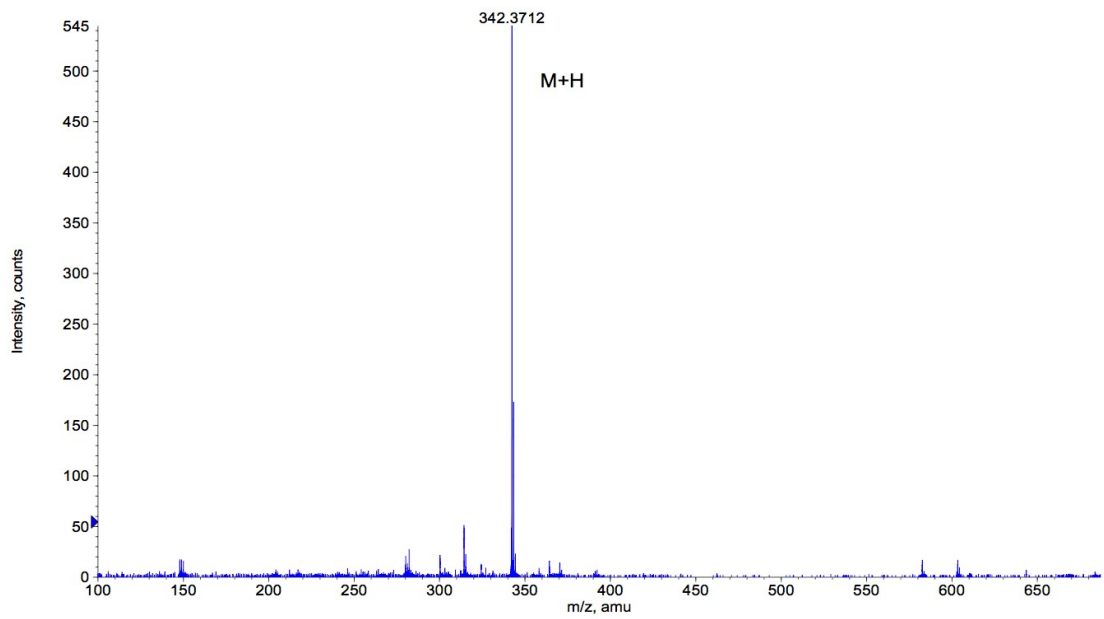
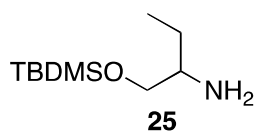
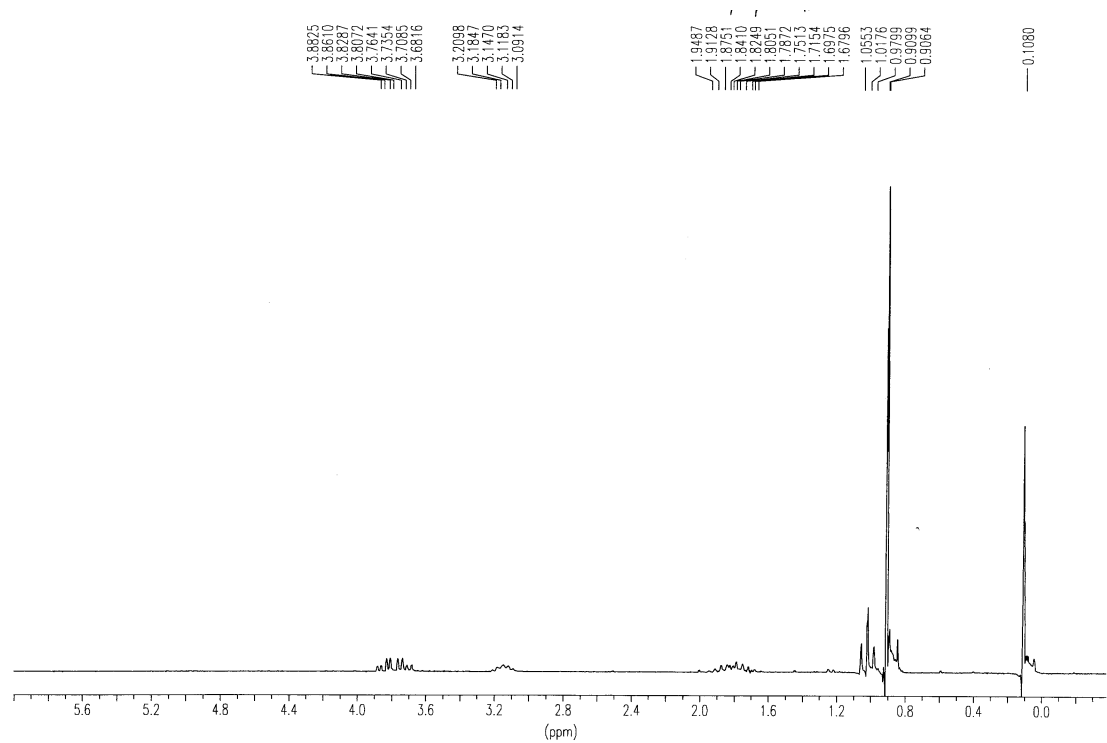


Figura X.263. Espectros de IR y MS del compuesto 15eR.



LuisR155.013-11

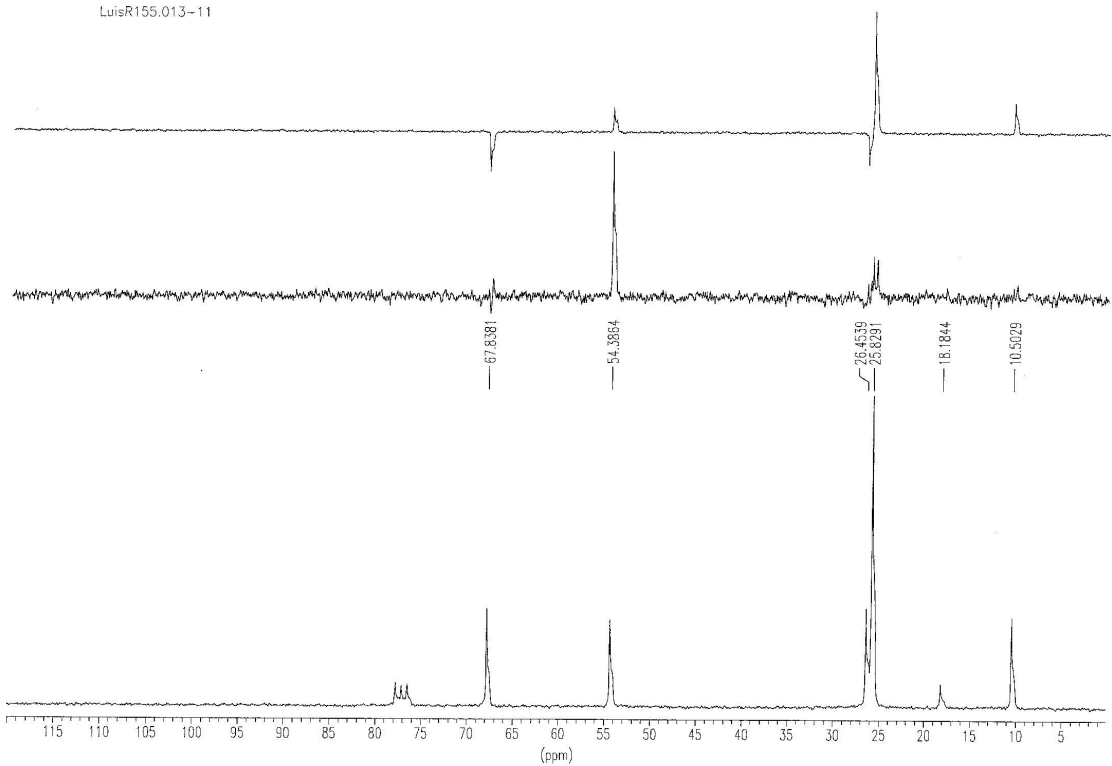


Figura X.264. Espectros de RMN ^1H y ^{13}C del compuesto 25.

+TOF MS: 0.967 min from Sample 5 (ref) of may111013.wiff
a=3.56357994938245040e-004, t0=-9.06131921017004060e+000 R., subtracted (0.034 to 0.067 ...

Max. 1100.0 counts.

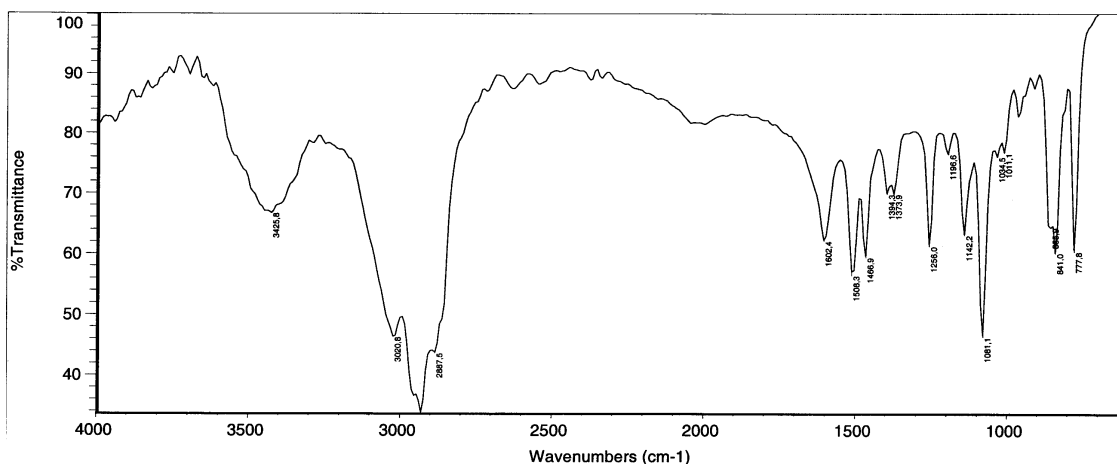
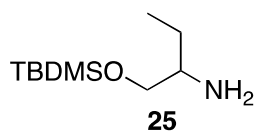
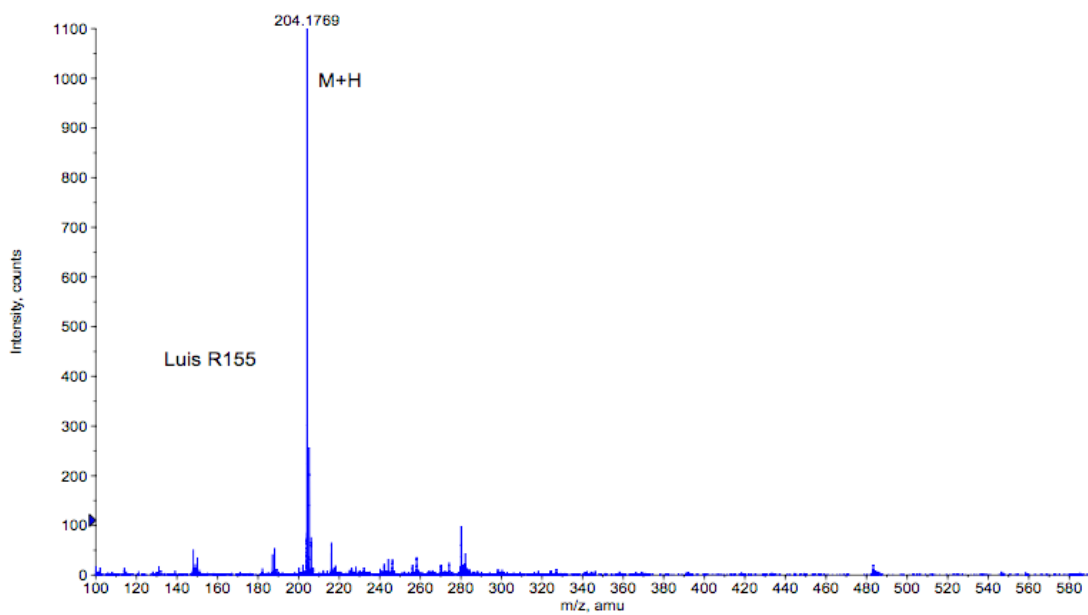


Figura X.265. Espectros de IR y MS del compuesto 25.

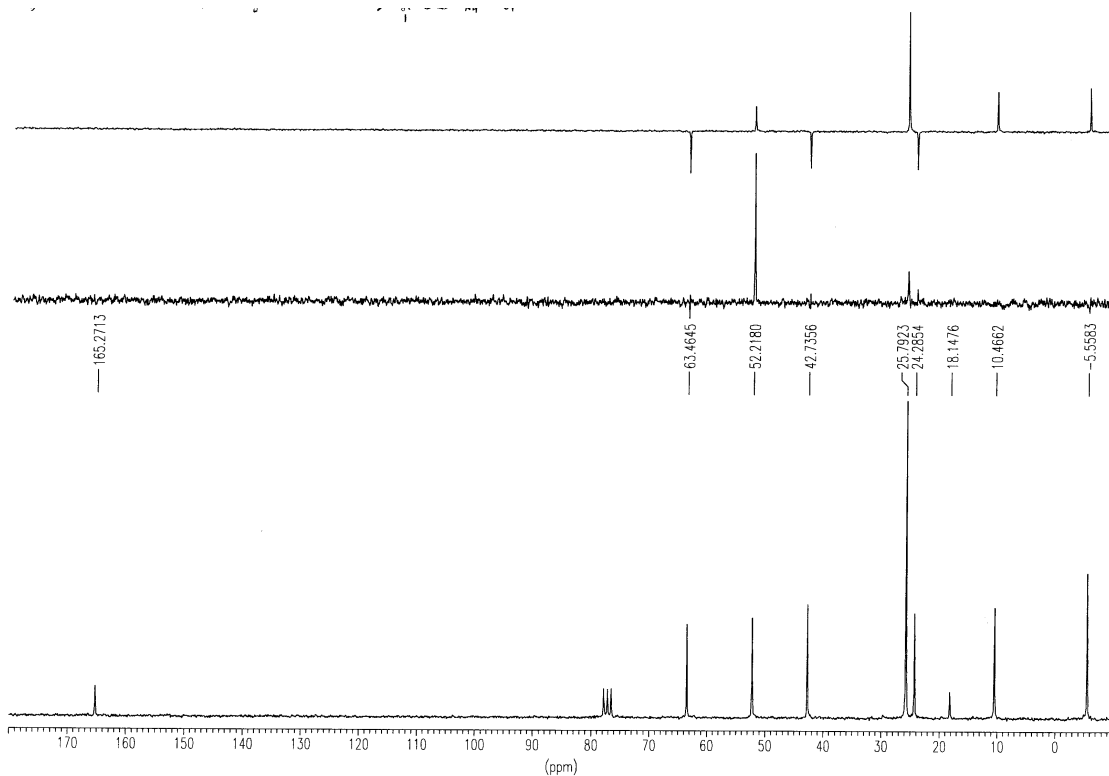
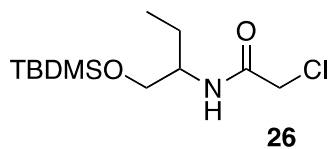
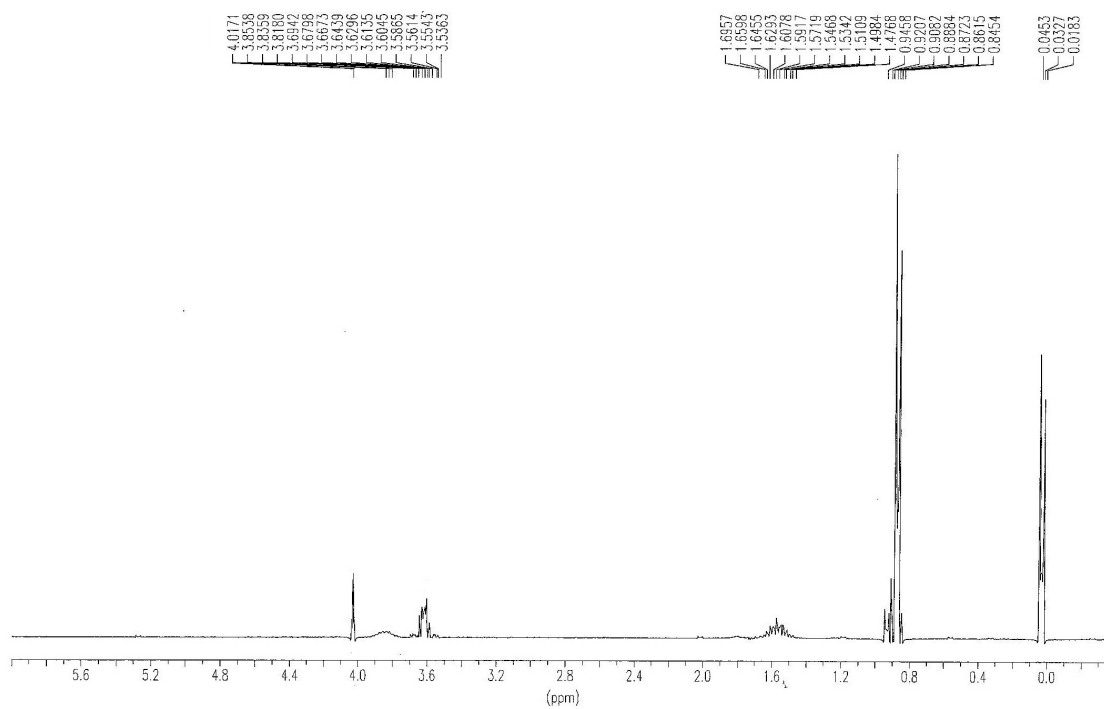


Figura X.266. Espectros de RMN ^1H y ^{13}C del compuesto **26**.

+TOF MS: 0.117 min from Sample 4 (ref) of may111013.wiff
a=3.56357994938245040e-004, t0=-9.06131921017004060e+000 R_i; subtracted (0.034 to 0.067 m... Max. 802.0 counts.

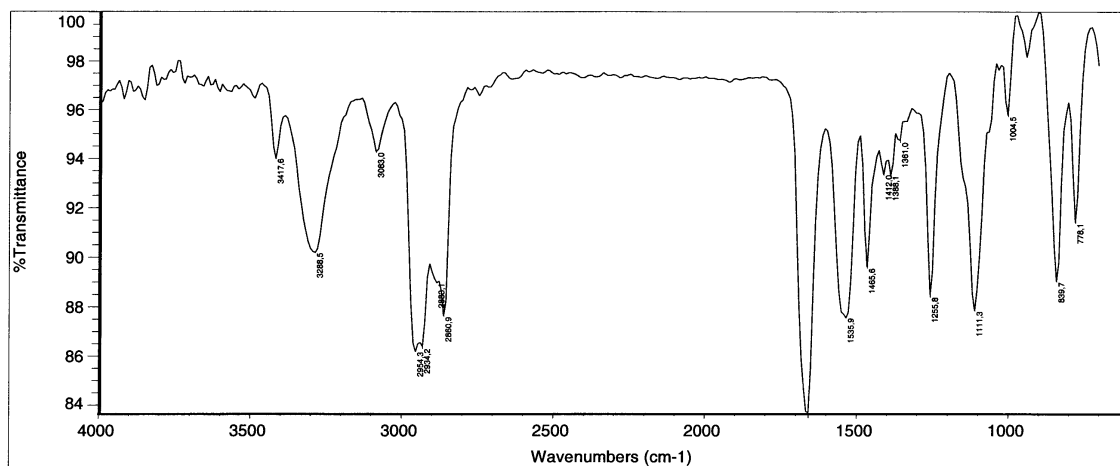
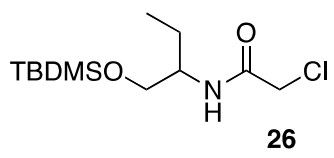
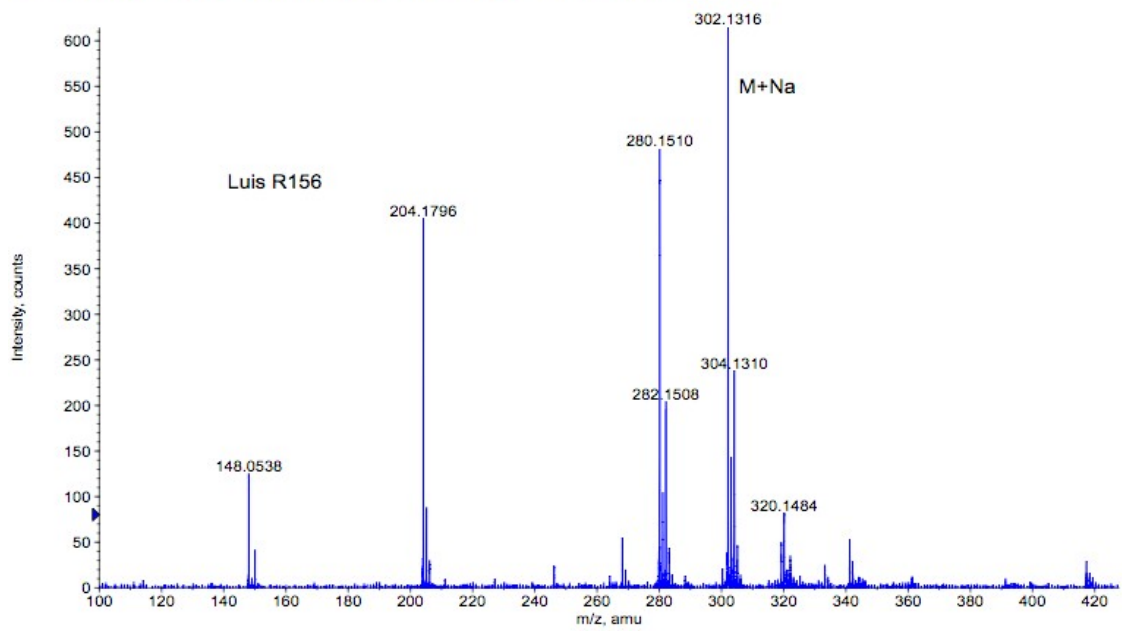


Figura X.267. Espectros de IR y MS del compuesto 26.

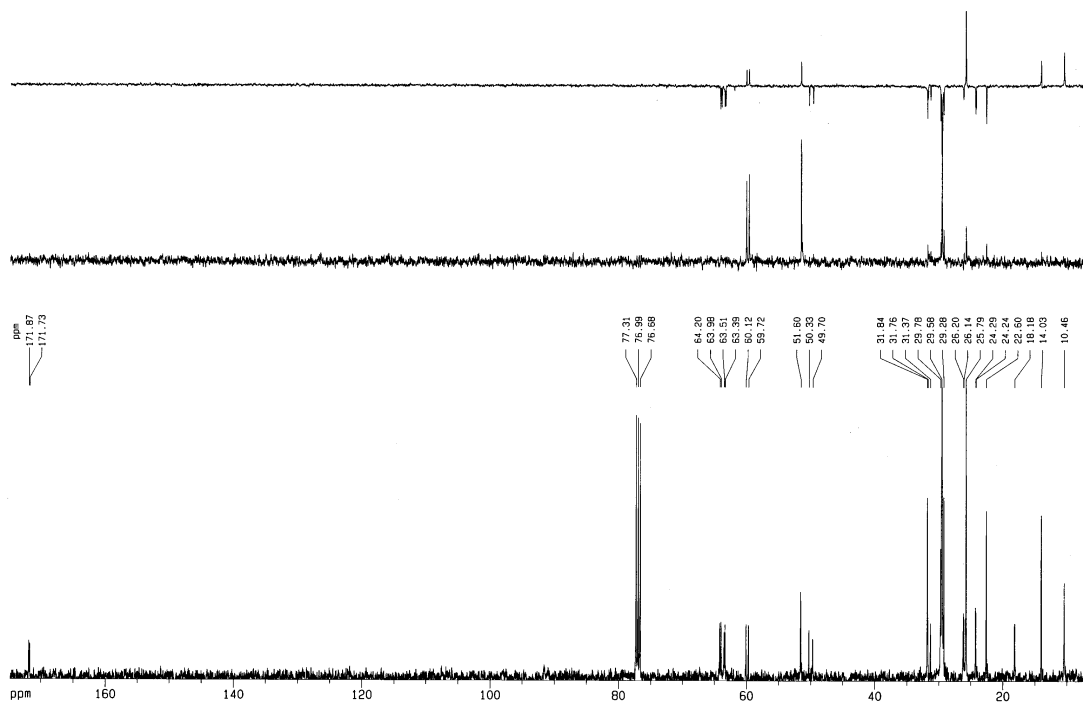
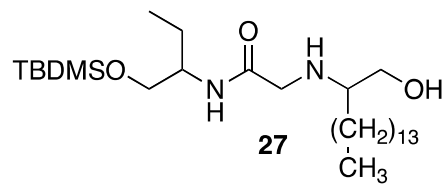
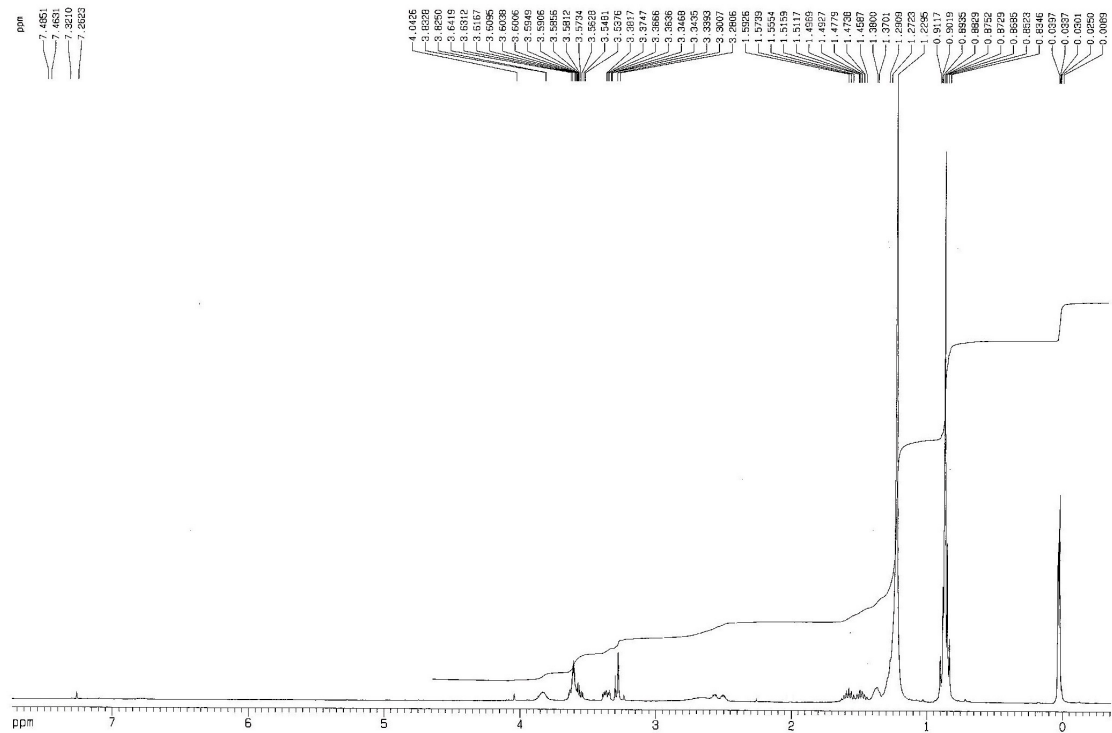


Figura X.268. Espectros de RMN 1H y ^{13}C del compuesto 27.

+TOF MS: 0.434 min from Sample 2 (157) of may201011.wiff
a=3.56398085302962240e-004, t0=-8.97715271852939620e+000 R_i, subtracted (0.017 to 0.050 mi...

Max. 492.0 counts.

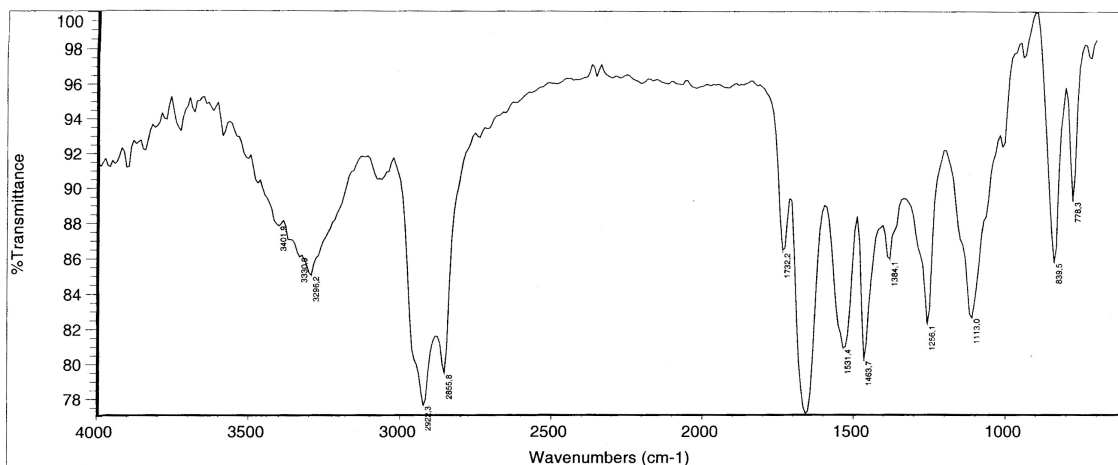
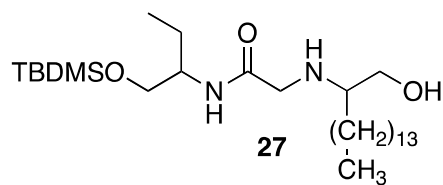
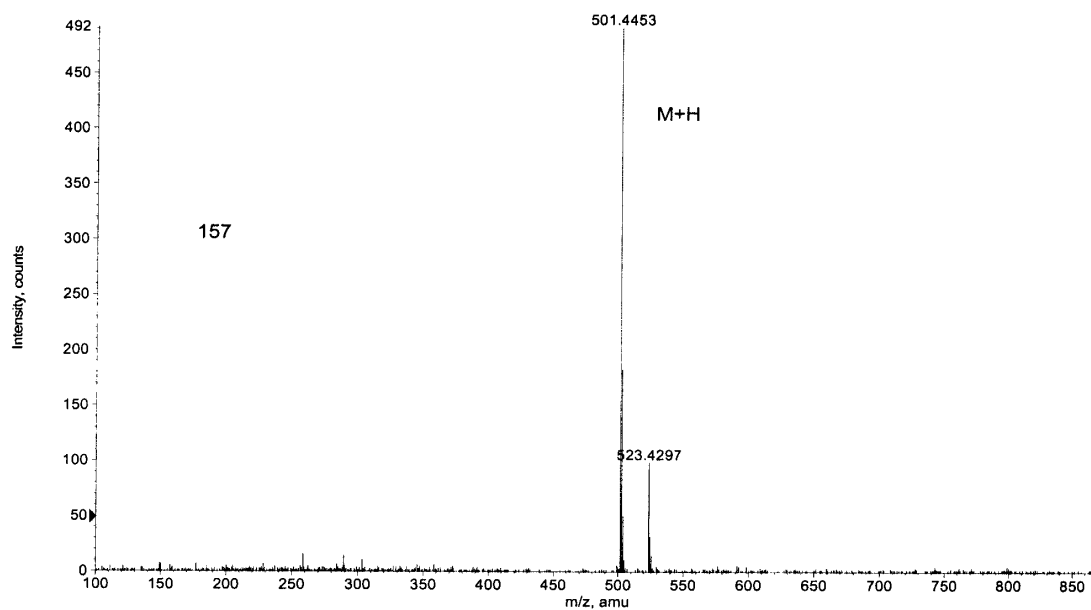


Figura X.269. Espectros de IR y MS del compuesto 27.

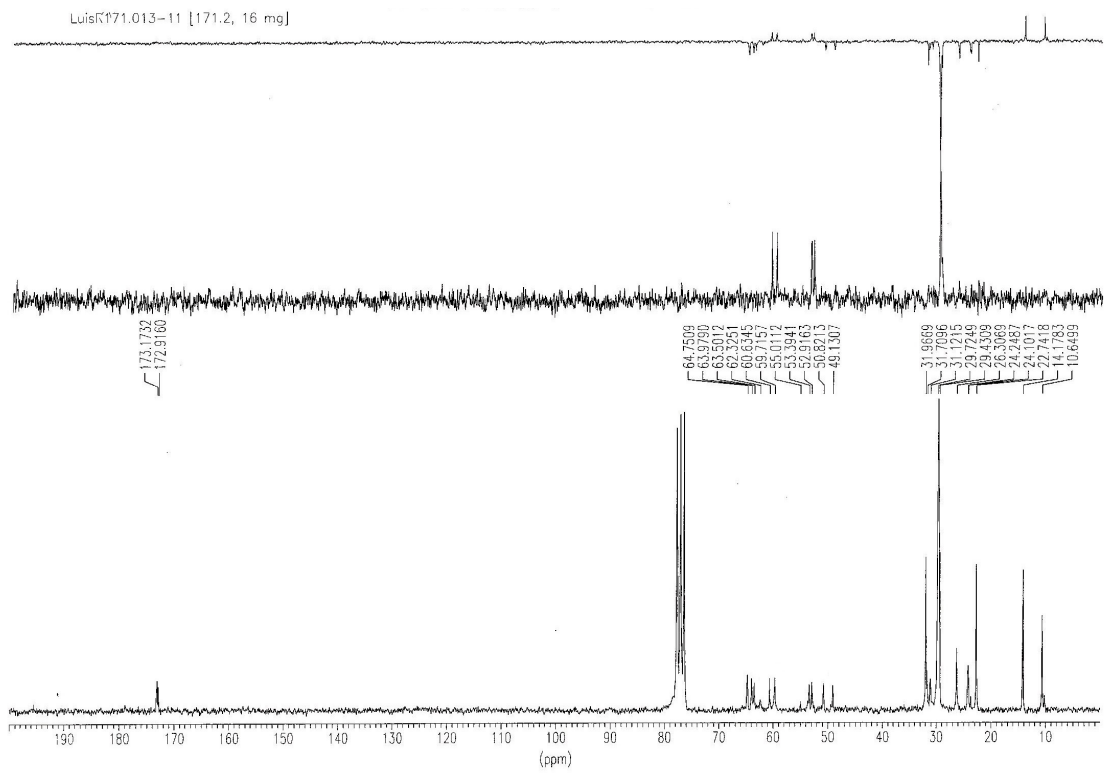
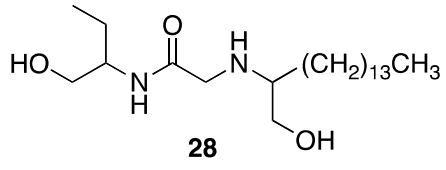
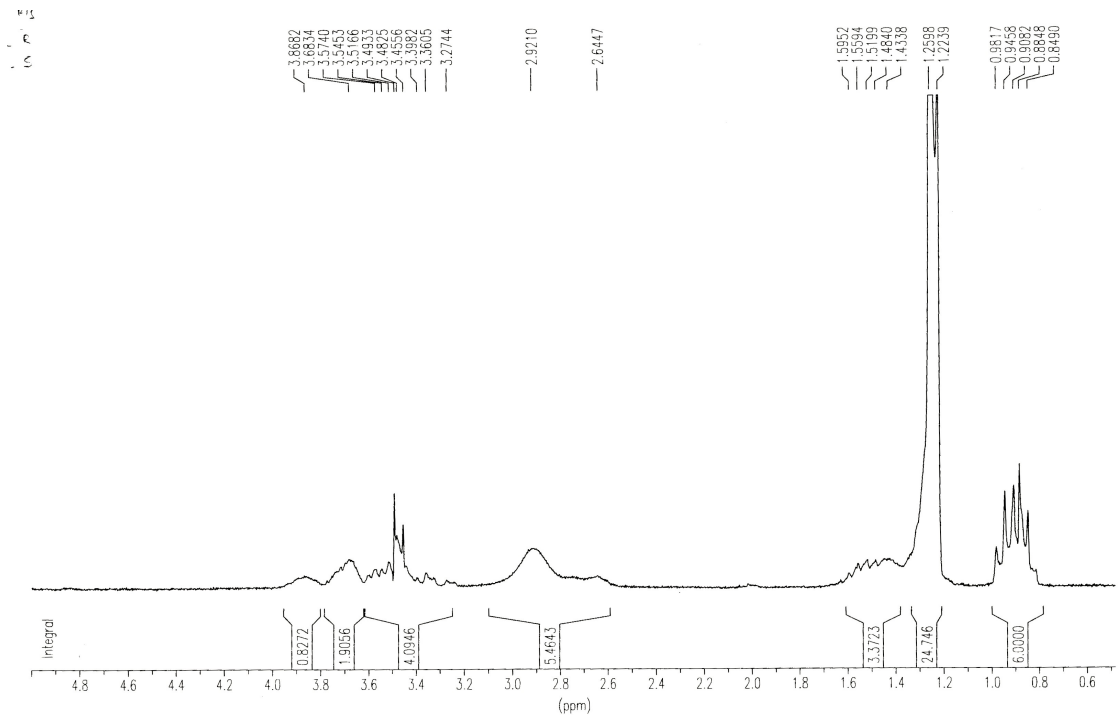


Figura X.270. Espectros de RMN ¹H y ¹³C del compuesto 28.

+TOF MS: 0.317 min from Sample 3 (Luis r171) of jun031011.wiff
a=3.56380206897503520e-004, t0=-8.83692716661244050e+000 R, subtracted (0.034 to 0.067 mi...

Max. 665.0 counts.

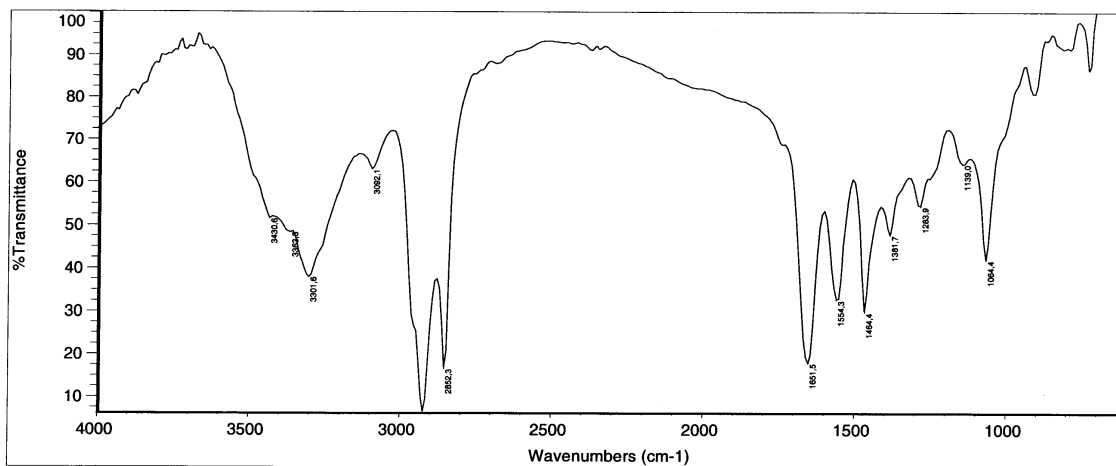
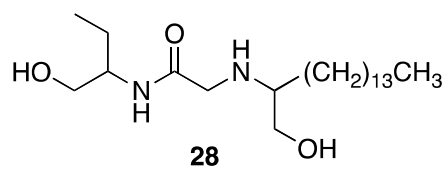
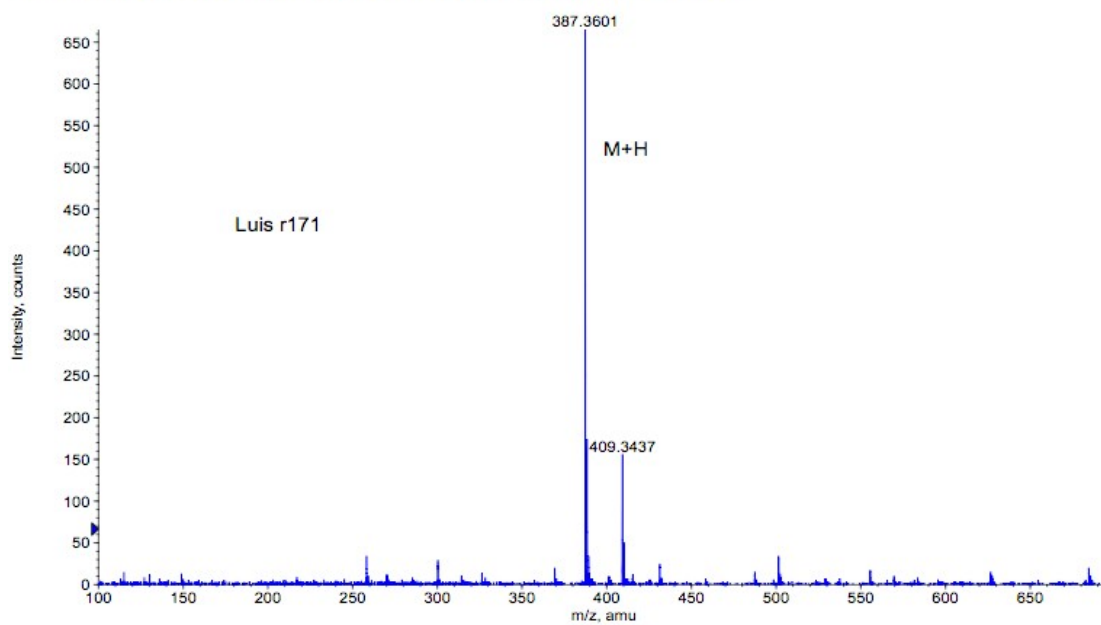


Figura X.271. Espectros de IR y MS del compuesto 28.

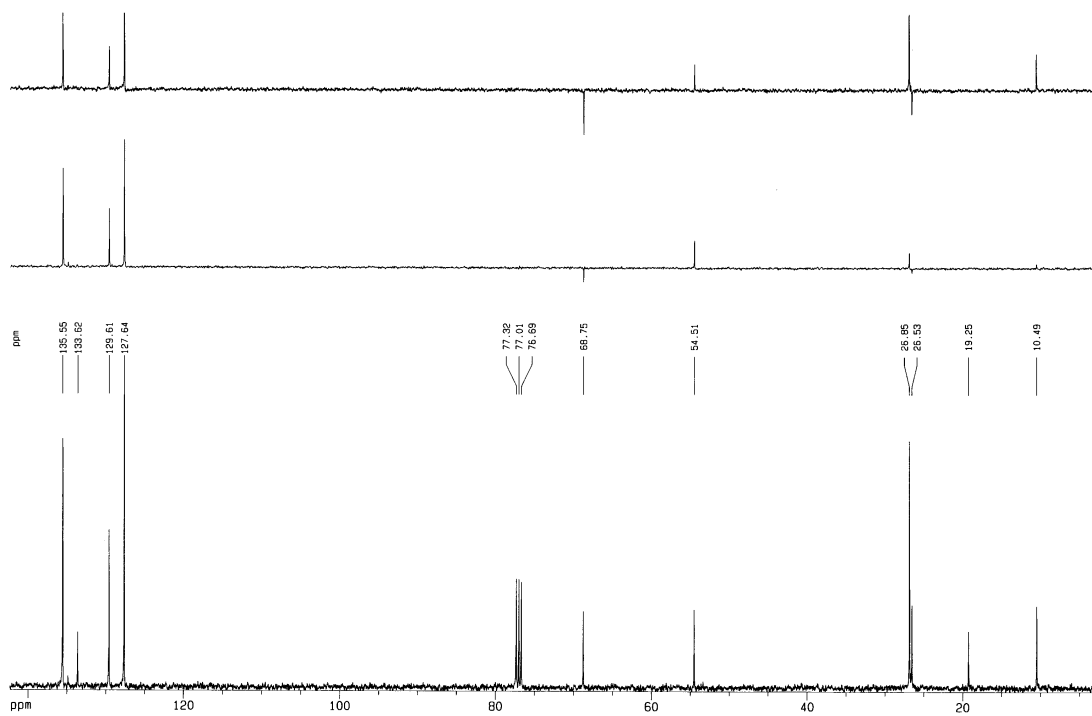
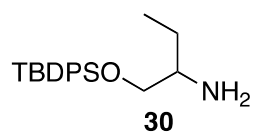
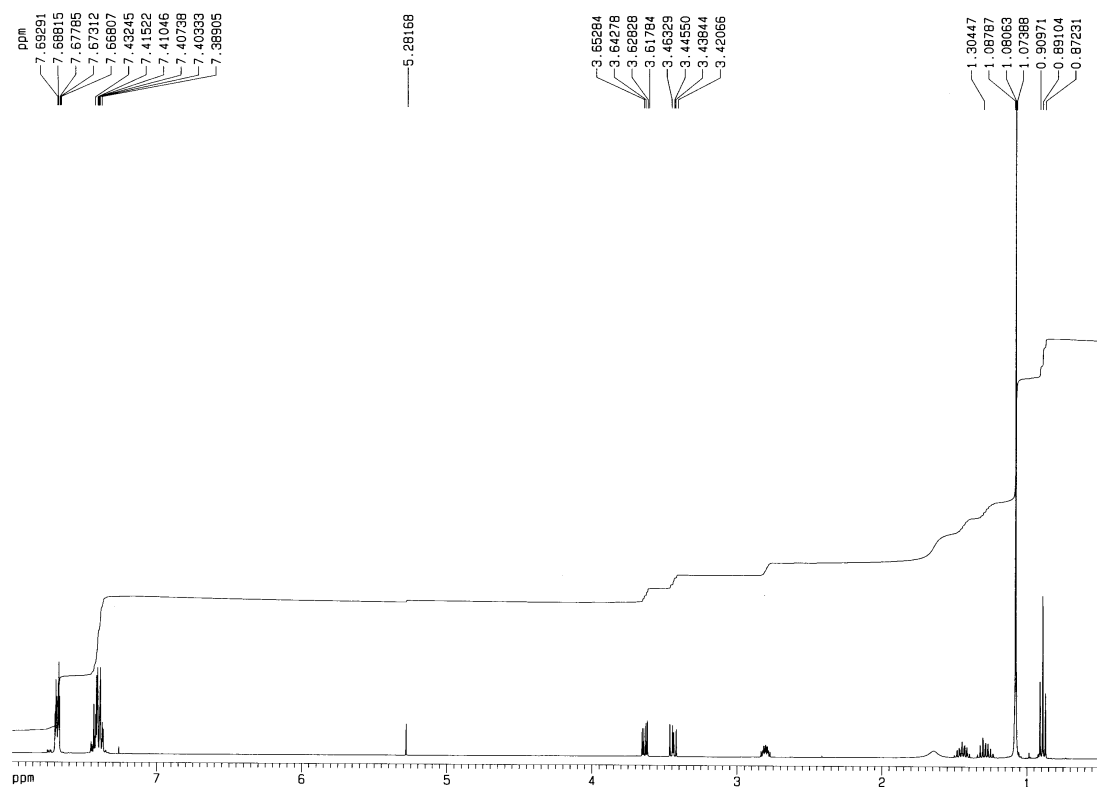


Figura X.272. Espectros de RMN ¹H y ¹³C del compuesto 30.

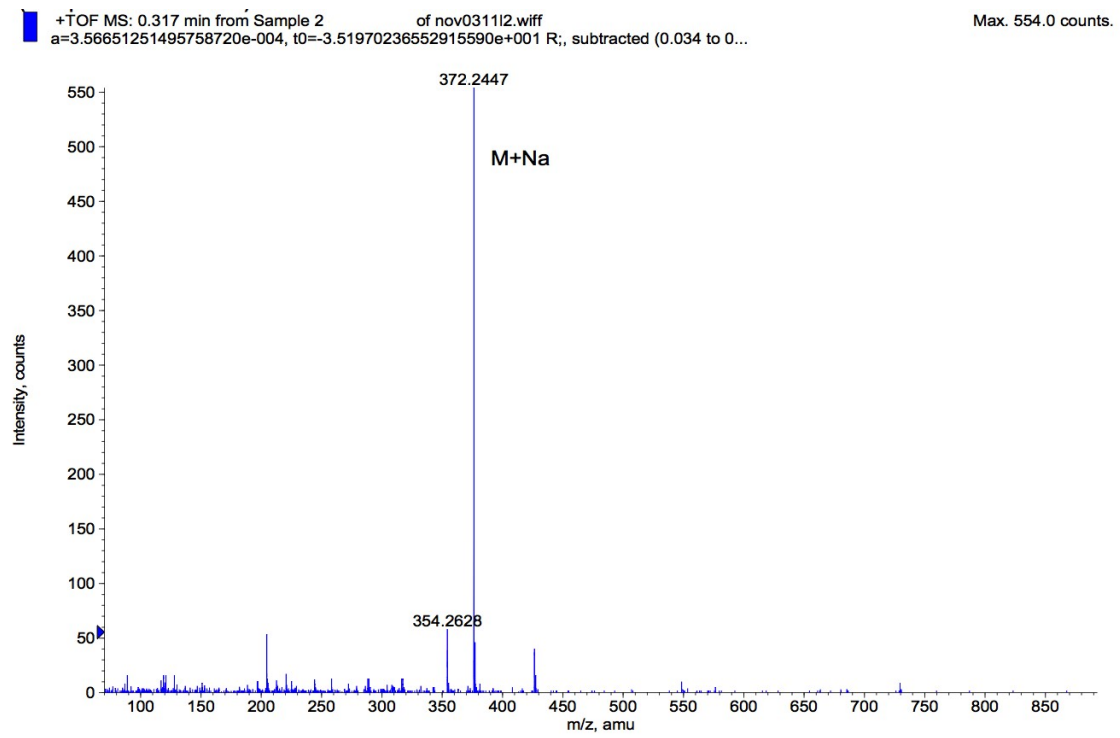
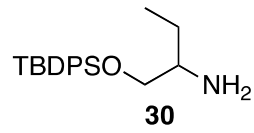


Figura X.273. Espectro de MS del compuesto **30**.

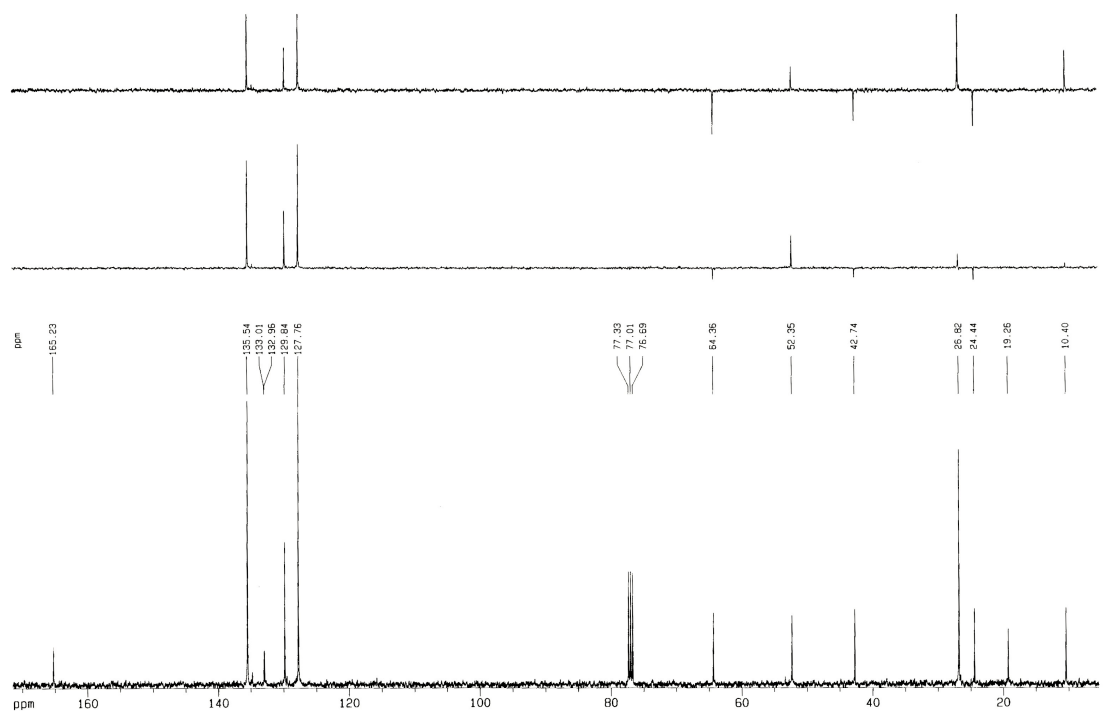
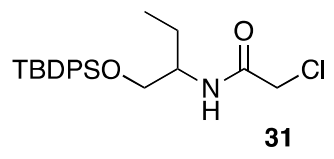
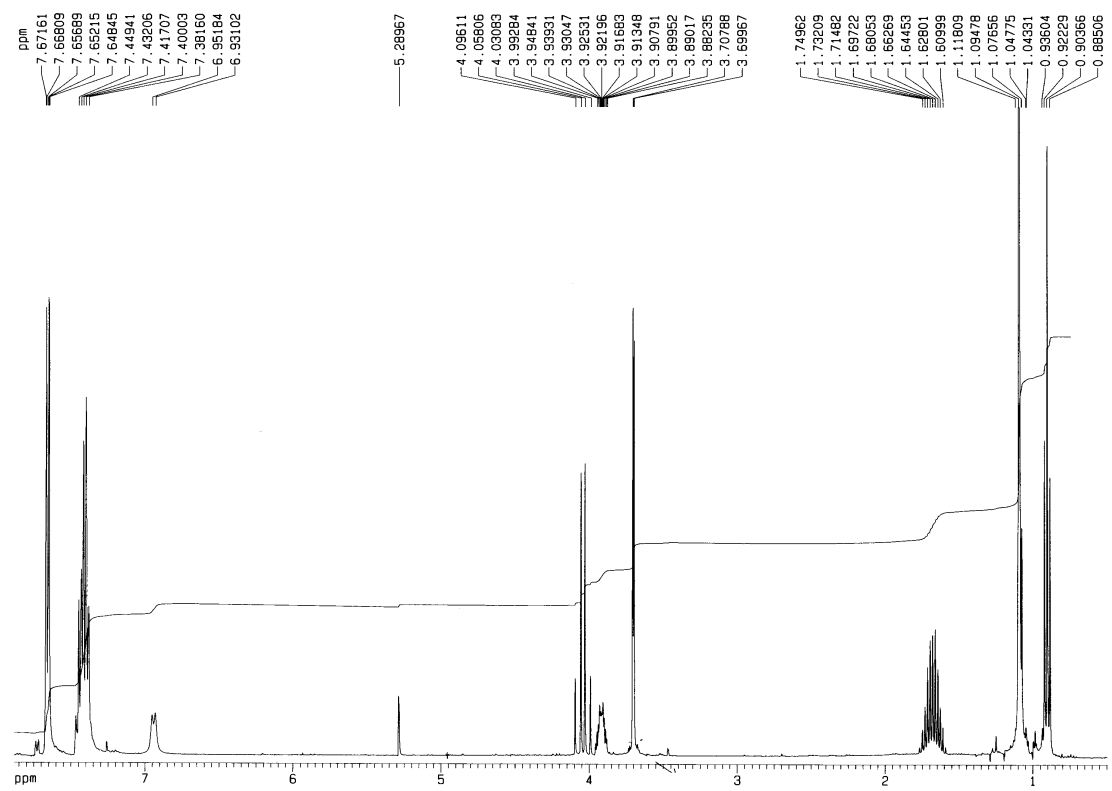


Figura X.274. Espectros de RMN ^1H y ^{13}C del compuesto 31.

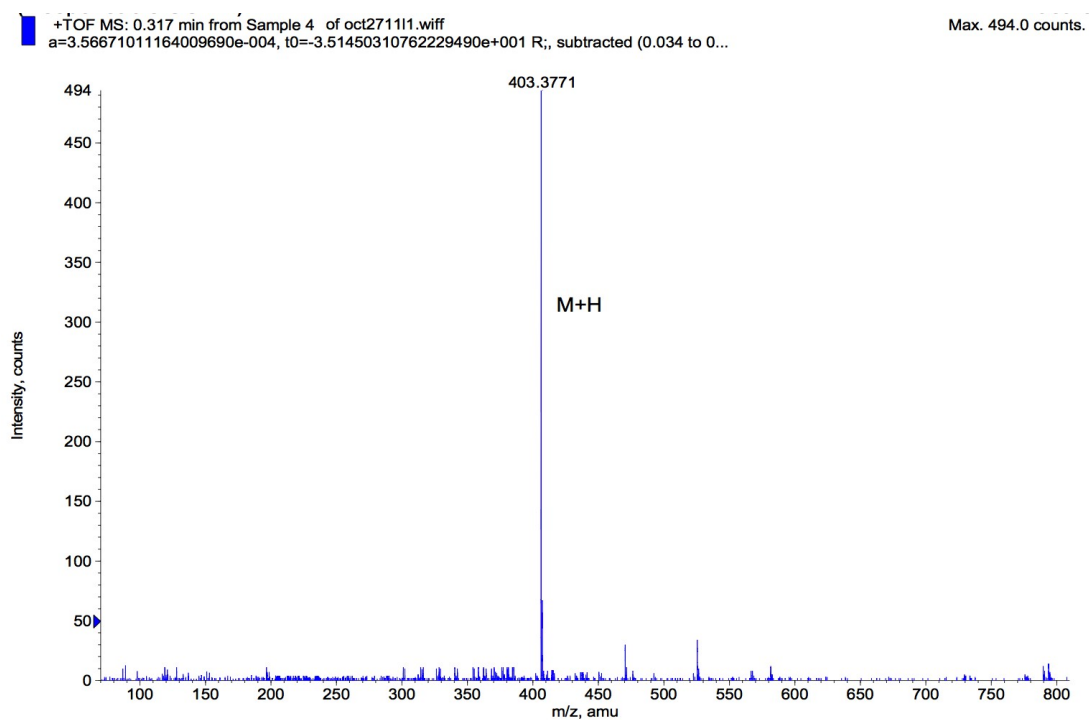
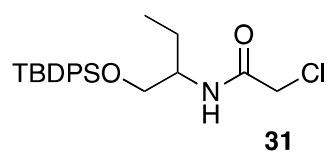


Figura X.275. Espectro de MS del compuesto **31**.

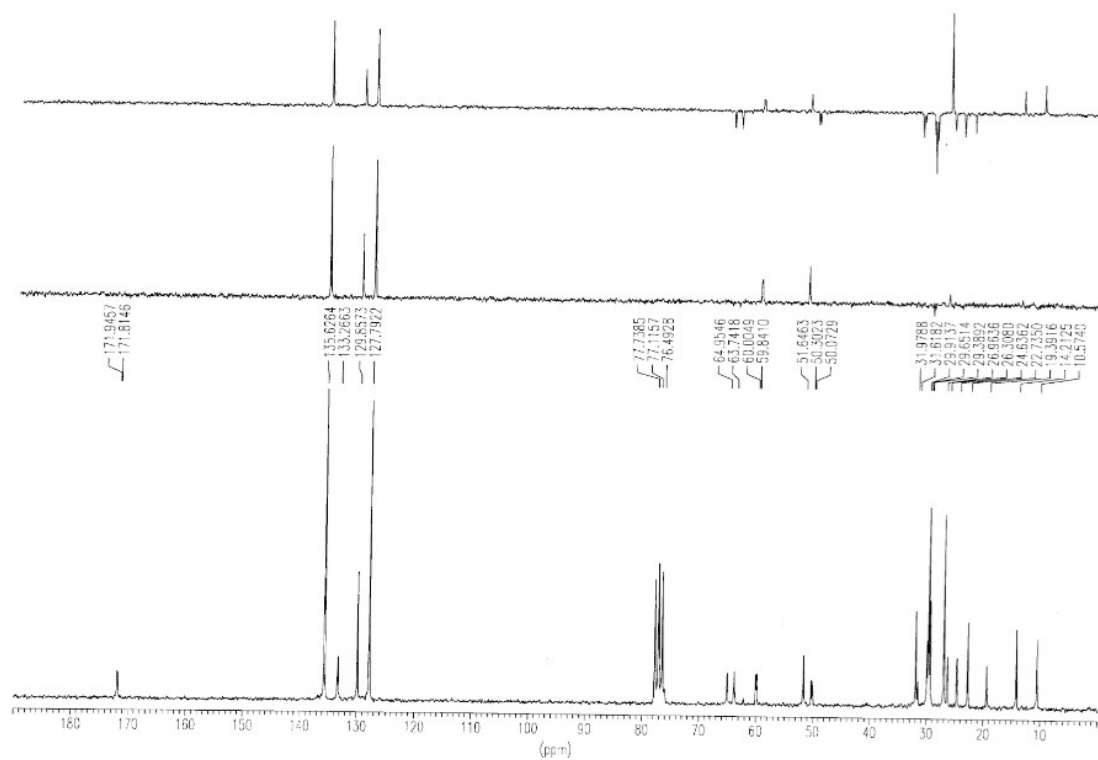
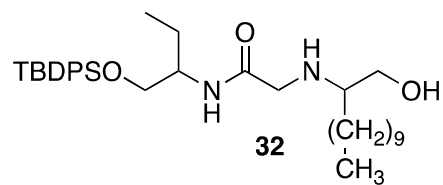
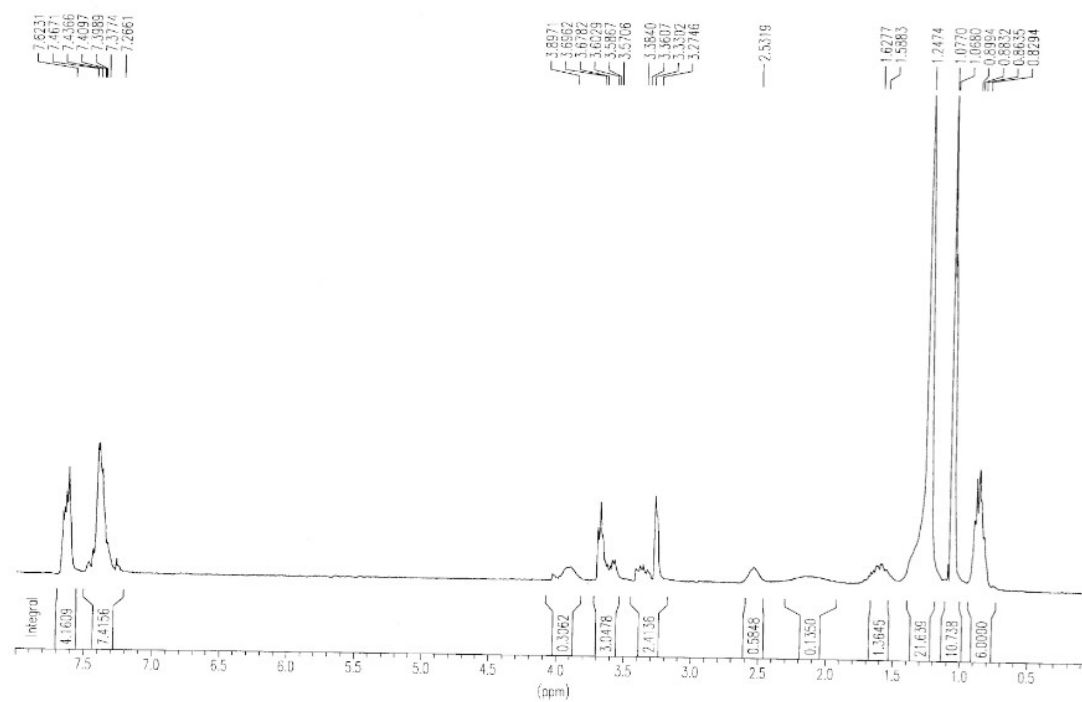


Figura X.276. Espectros de RMN ¹H y ¹³C del compuesto 32.

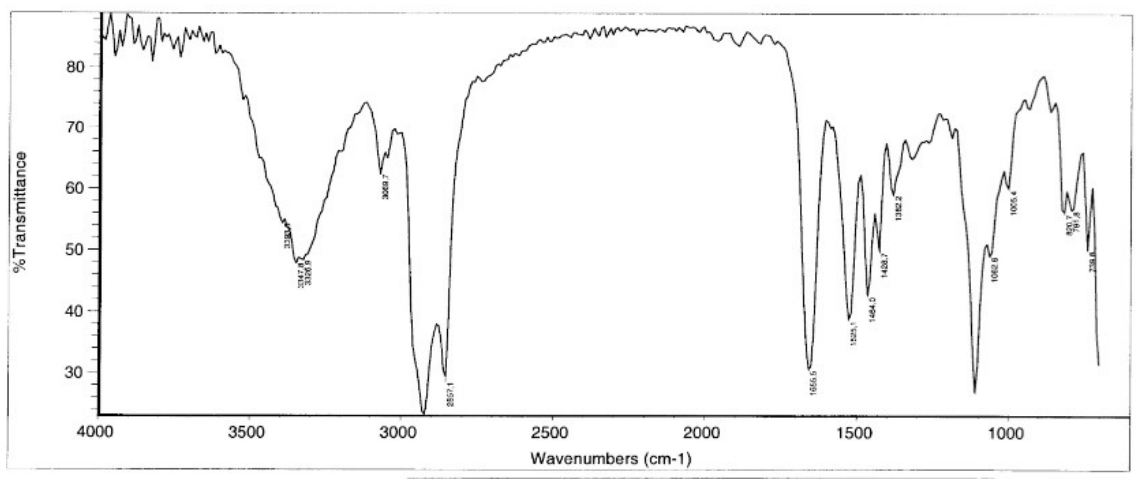
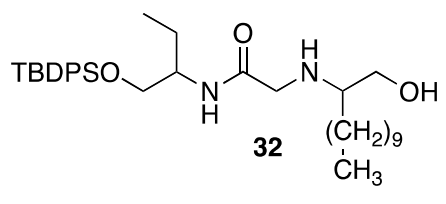
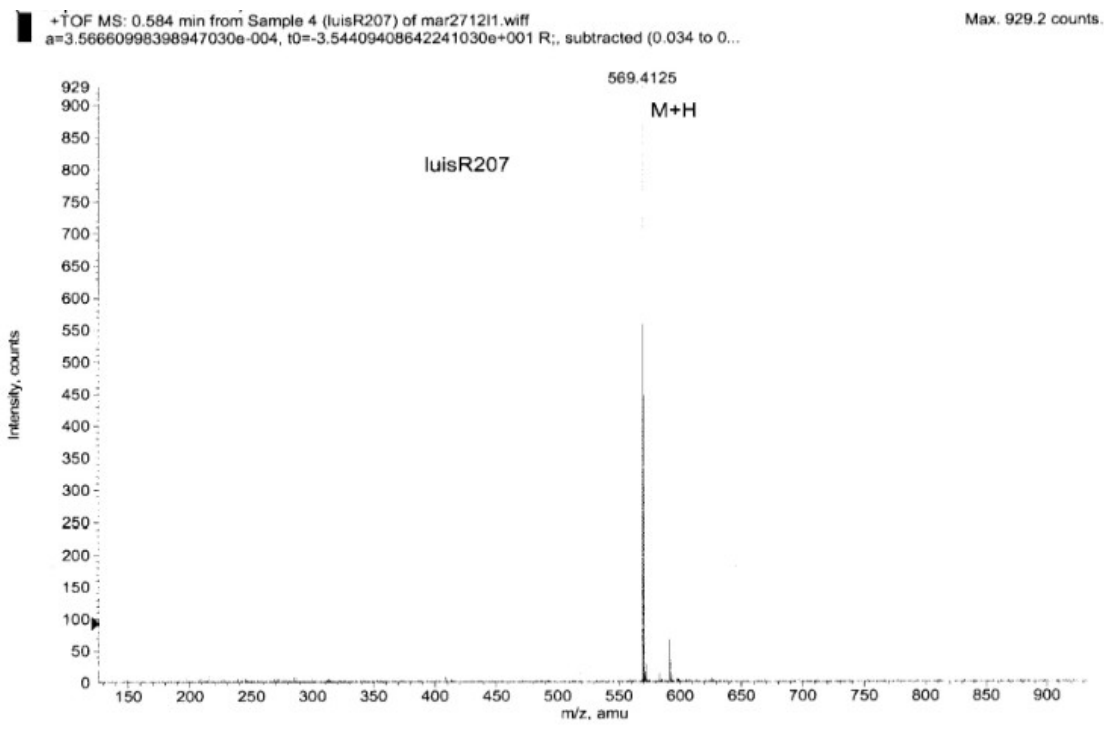


Figura X.277. Espectros de IR y MS del compuesto 32.

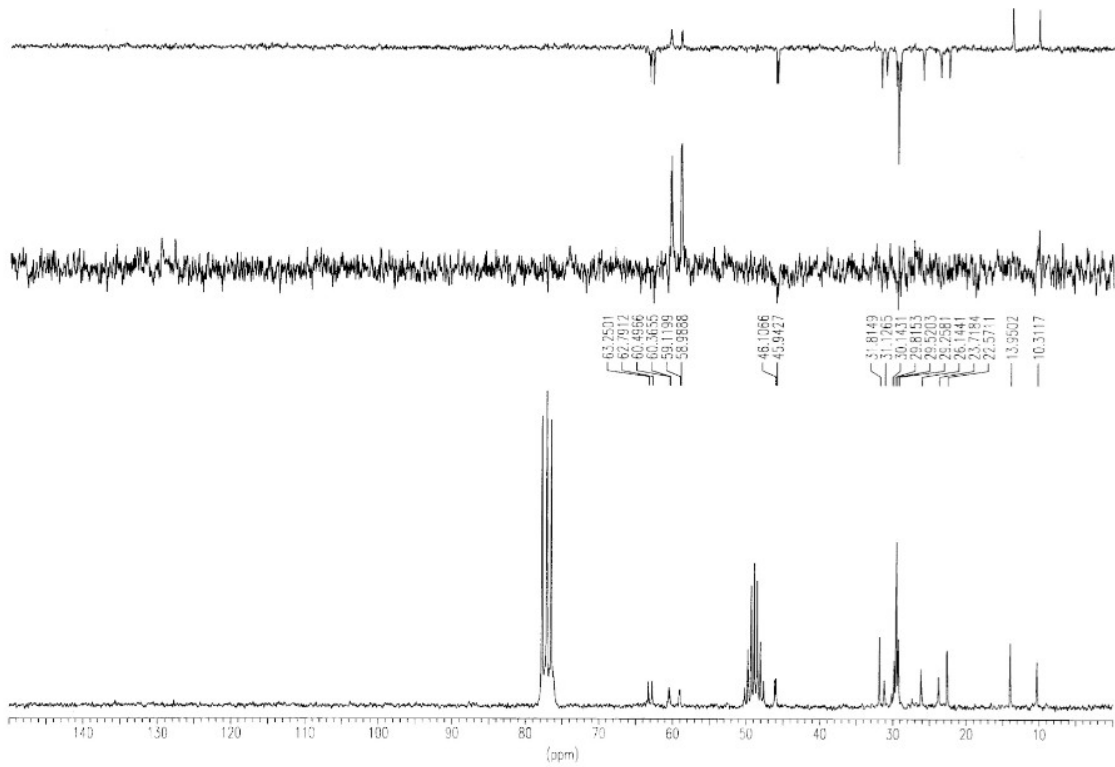
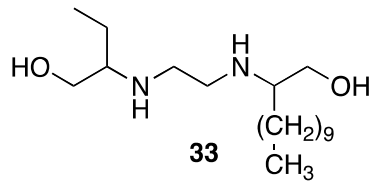
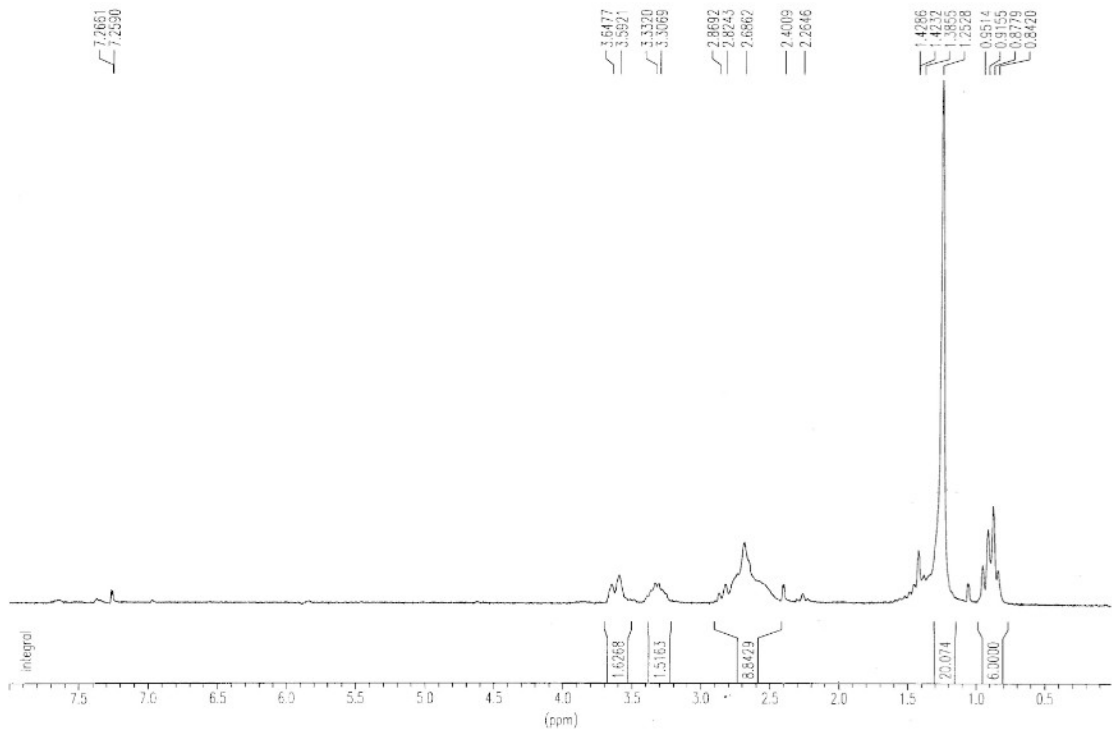


Figura X.278. Espectros de RMN ¹H y ¹³C del compuesto 33.

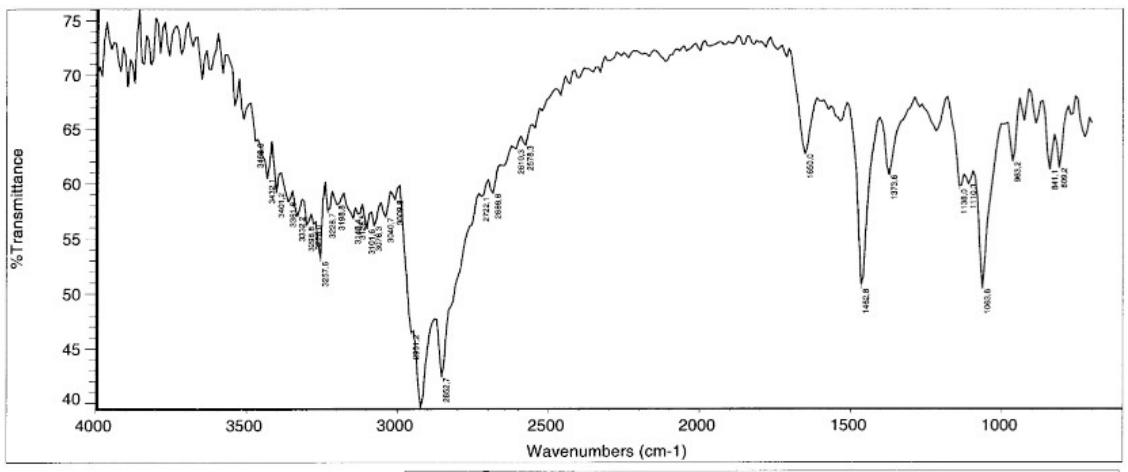
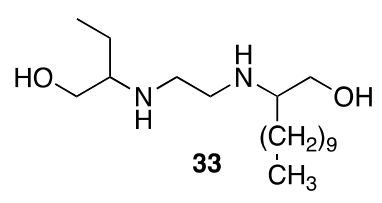
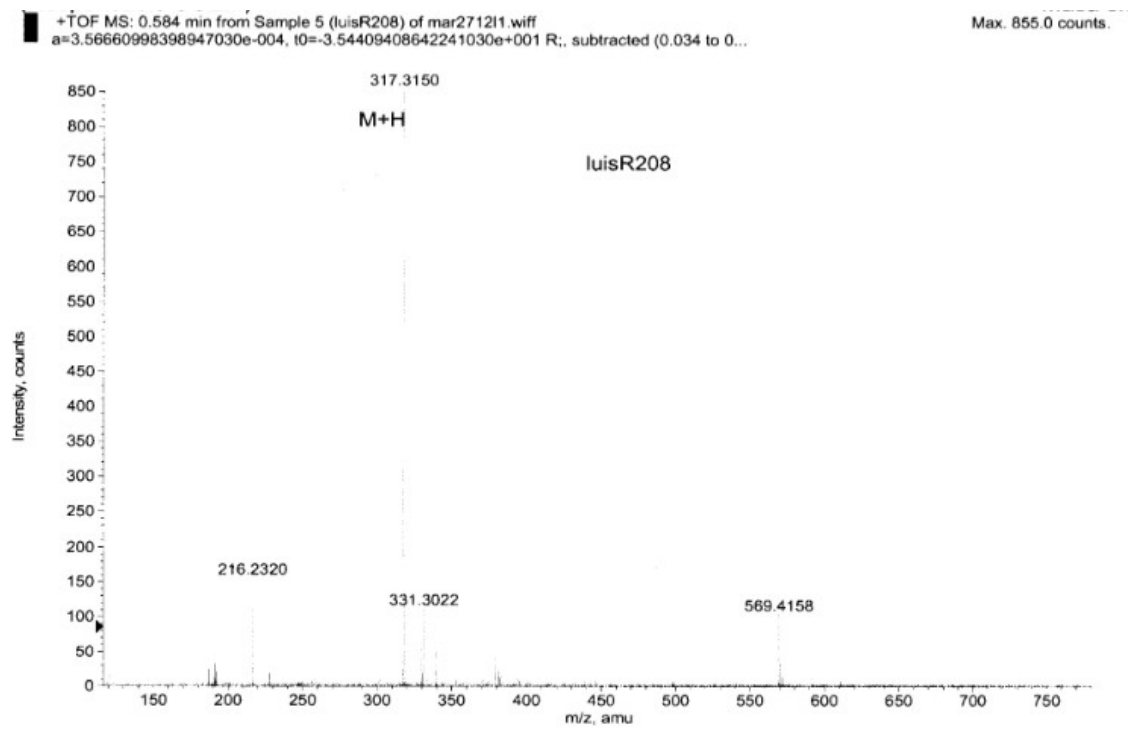


Figura X.279. Espectros de IR y MS del compuesto 33.